



รายงานวิจัยฉบับสมบูรณ์

โครงการพัฒนาเครื่องวิเคราะห์ปริมาณความเข้มข้นเชิง จำนวนของอนุภาคนาโนแบบใช้หลักการวัดประจุไฟฟ้าสถิต

โดย ดร.พานิช อินต๊ะ

พฤษภาคม 2553

สัญญาเลขที่ MRG5180217

รายงานวิจัยฉบับสมบูรณ์

โครงการพัฒนาเครื่องวิเคราะห์ปริมาณความเข้มข้นเชิง จำนวนของอนุภาคนาโนแบบใช้หลักการวัดประจุไฟฟ้าสถิต

ดร.พานิช อินต๊ะ มหาวิทยาลัยเทคโนโลยีราชมงคลล้านนา

สนับสนุนโดยสำนักงานกองทุนสนับสนุนการวิจัย

(ความเห็นในรายงานนี้เป็นของผู้วิจัย สกว.ไม่จำเป็นต้องเห็นด้วยเสมอไป)

กิตติกรรมประกาศ

งานวิจัยนี้สำเร็จลงได้ด้วยความกรุณาจาก รองศาสตราจารย์ ดร. นคร ทิพยาวงศ์ จาก ภาควิชาวิศวกรรมเครื่องกล มหาวิทยาลัยเชียงใหม่ นักวิจัยที่ปรึกษาที่กรุณาให้คำปรึกษาและ ข้อแนะนำต่างๆ รวมไปถึงตรวจสอบแก้ไขรายงานการงานวิจัยฉบับนี้สมบูรณ์ ผู้เขียนขอกราบ ขอบพระคุณเป็นอย่างสูง ณ โอกาสนี้

ผลการวิจัย พัฒนา และวิศวกรรมภายใต้โครงการนี้ได้รับการสนับสนุนจากเงินทุน พัฒนาศักยภาพในการทำงานวิจัยของอาจารย์รุ่นใหม่ จากสำนักงานกองทุนสนับสนุนการวิจัย ประจำปีงบประมาณ 2551

ดร. พานิช อินต๊ะ

บทคัดย่อ

รหัสโครงการ : MRG5180217

ชื่อโครงการ: โครงการพัฒนาเครื่องวิเคราะห์ปริมาณความเข้มข้นเชิงจำนวนของ

อนุภาคนาโนแบบใช้หลักการวัดประจุไฟฟ้าสถิต

ชื่อนักวิจัย: ดร.พานิช อินต๊ะ

E-mail Address : panich_intra@yahoo.com

ระยะเวลาโครงการ : 2 ปี

โครงการวิจัยนี้ เป็นการพัฒนาเครื่องวิเคราะห์ปริมาณความเข้มข้นเชิงจำนวนของ อนุภาคนาโนแบบใช้หลักการวัดประจุไฟฟ้าสถิต โดยมีวัตถุประสงค์เพื่อศึกษาออกแบบ สร้าง และทดสอบสมรรถนะต้นแบบของเครื่องวิเคราะห์ปริมาณความเข้มข้นเชิงจำนวนของอนุภาค แบบใช้หลักการการวัดประจุไฟฟ้าสถิต โดยใช้ เครื่องมือ วัสดุ อุปกรณ์ และระบบควบคุม ที่ สามารถพัฒนาและหาได้ภายในประเทศ ทดแทนชิ้นส่วนจากต่างประเทศ และเพื่อให้ได้เงื่อนไข ของแบบเครื่องมือวัดที่เหมาะสมต่อการทำงาน ราคา และการยอมรับของผู้ใช้เชิงพาณิชย์

เครื่องวิเคราะห์ฯต้นแบบนี้ ประกอบด้วย ชุดคัดแยกสิ่งปนเปื้อนขนาดใหญ่ ชุดอัดประจุ ละอองลอยแบบโคโรนา ชุดดักจับไอออน ลูกถ้วยฟาราเดย์ ชุดตรวจวัดกระแสระดับต่ำ ชุด โปรแกรมบันทึกและประมวลผลข้อมูล และระบบควบคุมการไหลของของไหล โดยระบบการไหล ของเครื่องวิเคราะห์ฯ จะถูกจ่ายและควบคุมโดยเครื่องควบคุมอัตราการไหลเชิงมวลกับเครื่องดูด สุญญากาศ การทำงานของเครื่องวิเคราะห์ฯต้นแบบนี้เริ่มต้นโดยการดูดตัวอย่างละอองลอยที่ ต้องการวัดผ่านท่อเก็บตัวอย่าง และผ่านเข้าไปยังชุดคัดแยกสิ่งปนเปื้อนขนาดใหญ่เพื่อคัดแยก อนุภาคที่มีขนาดเส้นผ่านศูนย์กลางใหญ่กว่าช่วงขนาดที่ต้องการวัดออกด้วยหลักการทางอากาศ พลศาสตร์ และจากนั้นอนุภาคจะถูกใส่ประจุไฟฟ้าด้วยวิธีการแพร่กระจายและสนามโดยชุดให้ ประจุแบบโคโรนาเข็มปลายแหลม จากนั้นอนุภาคที่มีประจุจะผ่านเข้าไปยังชุดดักจับไอออนเพื่อ กำจัดไอออนอิสระที่มีความสามารถในการเคลื่อนตัวทางไฟฟ้าสูงเจือปนมากับอนุภาคที่มีประจุ ออกก่อน เพื่อป้องกันการเจือปนสัญญาณทางไฟฟ้าของอนุภาคขณะทำการวัด เมื่ออนุภาคที่มี ประจุออกจากชุดดักจับไอออนแล้วก็จะผ่านเข้าไปยังลูกถ้วยฟาราเดย์ อนุภาคที่มีประจุทั้งหมด จะตกสะสมตัวบนแผ่นดักกรองประสิทธิภาพสูงแบบ HEPA บรรจุอยู่ภายในตัวจับยึดแผ่นกรอง ในลูกถ้วยฟาราเดย์ และเชื่อมต่อเข้ากับชุดวัดกระแสไฟฟ้าระดับต่ำเพื่อวัดกระแสไฟฟ้าของ ในลูกถ้วยฟาราเดย์ และเชื่อมด่อเข้ากับชุดวัดกระแสไฟฟ้าระดับต่ำเพื่อวัดกระแสไฟฟ้าของ

อนุภาคที่ตกสะสมตัวบนแผ่นกรอง ซึ่งกระแสไฟฟ้าของอนุภาคที่มีประจุที่วัดได้จะสัมพันธ์กับค่า ความเข้มข้นเชิงจำนวนของอนุภาคที่ผ่านเข้าไปยังฟาราเดย์คลับ โดยสัญญาณกระแสไฟฟ้าที่ได้ จะถูกนำไปประมวลผลข้อมูลด้วยโปรแกรมคอมพิวเตอร์ที่พัฒนาขึ้น และแสดงผลข้อมูลออกมา ในรูปแบบของกราฟ ที่แสดงถึงค่าความเข้มข้นเชิงจำนวนของอนุภาคที่มีการเปลี่ยนแปลงตาม เวลา

ในการวิจัยนี้ ได้ทำการการศึกษาทั้งภาคทฤษฎีและการทดลองของส่วนประกอบย่อย ต่างๆ ของเครื่องวิเคราะห์ฯตันแบบนี้ ซึ่งประกอบด้วย ชุดคัดแยกสิ่งปนเปื้อนขนาดใหญ่ ชุดอัด ประจุละอองลอยแบบโคโรนา ชุดดักจับไอออน ลูกถ้วยฟาราเดย์ ชุดตรวจวัดกระแสระดับต่ำ โดยได้ทำการเปรียบผลการทดลองกับเครื่องมือวัดมาตรฐานเพื่อยืนยันความถูกต้อง ในการ ทดสอบสมรรถนะการวิเคราะห์ฯ ได้ทำการทดสอบกับแหล่งจ่ายอนุภาคนาโนที่เกิดจากการเผา ไหม้จากน้ำมัน ซึ่งจากผลการทดสอบสมรรถนะการวิเคราะห์ฯแสดงให้เห็นว่าตันแบบเครื่อง วิเคราะห์ฯ ที่ได้พัฒนานี้สามารถวิเคราะห์ปริมาณความเข้มขันเชิงจำนวนของอนุภาคนาโนได้ ในช่วงขนาด 10 นาโนเมตร ถึง 1,000 นาโนเมตร ค่ากระแสไฟฟ้าของอนุภาคที่วัดได้อยู่ในช่วง 1 พิโคแอมป์ ถึง 250 พิโคแอมป์ จะสอดคล้องกับค่าความเข้มขันจำนวนของอนุภาคอยู่ในช่วง 1 × 10¹² อนุภาคต่อลูกบาศก์เมตร เครื่องวิเคราะห์นี้ใช้เวลาในการวัดและ ประมวลผลประมาณ 1 วินาที

ในส่วนของการศึกษาวิจัยทั้งทฤษฎีและการทดลองต่อไปคือ (ก) ควรให้ความสนใจ เกี่ยวกับผลของรูปร่างของอนุภาคที่มีต่อสมรรถนะการวิเคราะห์ (ข) ควรมีการปรับปรุงระบบให้ มีขนาดที่เล็กลงเหมาะสำหรับการพกพาไปในสถานที่ต่างๆได้ (ค) ควรการทดสอบการวัดใน ภาคสนามเพิ่มเติม และเปรียบเทียบผลของการวิเคราะห์ของเครื่องวิเคราะห์ๆที่พัฒนาขึ้นกับ เครื่องวิเคราะห์ขนาดอนุภาคฯ มาตรฐานอื่นๆ เช่น EAD SMPS EAS DMS และ EEPS เพื่อ เป็นการยืนยันความถูกต้องของเครื่องมือวัดมากยิ่งขึ้น

คำหลัก : อนุภาค ละอองลอย ไอออน นาโน ไฟฟ้าสถิต

Abstract

Project Code: MRG5180217

Project Title: Development of a Nanometer Electrical Particle Analyzer using

Electrostatic Charge Measurement Technique

Investigator: Dr. Panich Intra

E-mail Address : panich intra@yahoo.com

Project Period: 2 Years

A nanometer electrical particle analyzer using electrostatic charge measurement technique was developed in this project. The aim of this project is to design, construct, and performance test the prototype of the analyzer by using materials and control system which is the development and domestic replacement parts from abroad in order to the terms of the instrumentation appropriate work rates and the adoption of commercial.

The developed particle analyzer consists of a size selective inlet, a particle corona charger, an ion trap, a Faraday cup, an electrometer, a data acquisition and processing system, and a fluid flow control system. The flow system of the analyzer was controlled and regulated by mean of mass flow controller and vacuum pump. In this system, a nanoparticle sample first passes through the size selective inlet to remove particles outside the measurement size range based on their aerodynamic diameter, and then pass through the particle corona charger that sets a charge on the particles and enter the ion trap to remove the free ions. After the ion trap, the charged particles then enter the Faraday cup electrometer for measuring ultra low current about 10⁻¹² A induced by charged particles collected on the HEPA filter in Faraday cup corresponding to the number concentration of particles. Signal current is then recorded and processed by a data acquisition system. Finally, time variation of particle number concentration was also shown.

จ

In this project, both theoretical and experimental studies of the sub-components

of the analyzer includes the size selective inlet, the particle corona charger, the ion trap,

a Faraday cup, the electrometer, and the data acquisition and processing system were

conducted. The combustion aerosol generator (CAG) was used to generate a

polydisperse aerosol for the performance test of this analyzer. The results have been

compared with the standard instruments to verify the accuracy. It was found from the

results that the developed analyzer was capable of measuring number concentration of

nanometer sized particles in the range of approximately 1 \times 10 10 to 1 \times 10 12

particles/m³ corresponding to the signal current in the range of approximately 1 to 250

pA. Time response of this analyzer was about 1 s.

Suggestions for further research on both the theoretical and experimental parts

of this project: (a) further research should be focused on the effect of particle shape on

the overall performance of the analyzer, (b) the analyzer should be improved to a

smaller size for portability in field test, and (c) calibration and comparison of the

analyzer with other particle measuring devices (e.g. SMPS, EAS, DMS, and ELPI)

should be conducted further.

Keywords: Particle Aerosol ion Nanometer Electrostatic

ฉ

Executive Summary

1. ชื่อโครงการ (ภาษาไทย) : โครงการพัฒนาเครื่องวิเคราะห์ปริมาณความเข้มข้นเชิงจำนวน

ของอนุภาคนาโนแบบใช้หลักการวัดประจุไฟฟ้าสถิต

(ภาษาอังกฤษ): Development of a Nanometer Electrical Particle Analyzer

using Electrostatic Charge Measurement Technique

2. ชื่อหัวหน้าโครงการ (ภาษาไทย): ดร. พานิช อินต๊ะ

(ภาษาอังกฤษ): Dr. Panich Intra

(ตำแหน่งวิชาการ): อาจารย์

3. ระยะเวลาดำเหินงาน: 2 ปี - เดือน

4. เวลาทำงานวิจัยในโครงการประมาณสัปดาห์ละ 18 ชั่วโมง

5. สถานที่ติดต่อ :

ที่ทำงาน วิทยาลัยเทคโนโลยีและสหวิทยาการ

มหาวิทยาลัยเทคโนโลยีราชมงคลล้านนา

128 ถนนหัวยแก้ว ต.ช้างเผือก อ.เมือง จ.เชียงใหม่ 50300

โทรศัพท์ 053-921-444

โทรสาร 053-213-183

e-mail panich_intra@yahoo.com, panich.intra@hotmail.com

6. ชื่อนักวิจัยที่ปรึกษา (ภาษาไทย): ดร. นคร ทิพยาวงศ์

(ภาษาอังกฤษ): Dr. Nakorn Tippayawong

(ตำแหน่งวิชาการ): รองศาสตราจารย์

6.1 สถานที่ติดต่อ :

ที่ทำงาน ภาควิชาวิศวกรรมเครื่องกล คณะวิศวกรรมศาสตร์

มหาวิทยาลัยเชียงใหม่

เลขที่ 239 ถนนหัวยแก้ว ต.สุเทพ อ.เมือง จ.เชียงใหม่

50200

โทรศัพท์ 053-944-146 โทรสาร 053-944-145

e-mail n.tippayawong@yahoo.com

7. ชื่ออธิการบดี หรือผู้รับมอบอำนาจให้ลงนามแทนอธิการบดี

ผู้ช่วยศาสตราจารย์ประพัฒน์ เชื้อไทย

8. ความสำคัญและที่มาของปัญหา

ละอองลอย (aerosol) คืออนุภาค (particles) ที่เป็นของแข็ง (solid) หรือของเหลว (liquid) แขวนลอยอยู่ในอากาศหรือแก๊สและมีขนาดอยู่ในช่วง 1 นาโนเมตร (nm) ถึง 100 ไมโครเมตร (µm) (Hinds, 1999) ละอองลอยเหล่านี้มีผลกระทบต่อสิ่งแวดล้อม สุขภาพและ คุณภาพชีวิตของประชากร และการแผ่รังสีมายังโลกในบรรยากาศ ปัญหามลพิษทางอากาศใน เมืองใหญ่ทำให้เกิดโรคระบบทางเดินหายใจเรื้อรัง และยิ่งไปกว่านั้นยังเพิ่มอัตราการเสียชีวิต ของประชากร เนื่องจากการสูดหรือหายใจเอาอนุภาคที่มีขนาดเล็กกว่า 2.5 ไมโครเมตร (Hinds, 1999) นอกจากนี้ ปัญหาการปนเปื้อนของอนุภาคในระดับนาโนเมตร หรือ อนุภาคนาโน (nanoparticles) ยังมีต่อระบบการผลิตในอุตสาหกรรมไมโครอิเล็กทรอนิกส์และสารกึ่งตัวนำ เภสัช การพัฒนาระบบเครื่องกลไฟฟ้าขนาดจิ๋ว และนาโนเทคโนโลยี เช่น กรรม electromechanical systems) หรือ NEMs ซึ่งอนุภาคนาโนเหล่านี้จะส่งผลเสียต่ออุปกรณ์ ระบบ และผลิตภัณฑ์ การป้องกันสามารถทำได้โดย มีการตรวจสอบ วิเคราะห์ ควบคุมคุณภาพอากาศ และสิ่งปนเปื้อนจากอนุภาคนาโน ซึ่งจะบ่งชี้ปริมาณและแหล่งที่มาของอนุภาคเหล่านี้ได้ โดย พฤติกรรมและกลไกของอนุภาคเป็นฟังก์ชั่นของขนาด (size) จำนวน (number) และมวล (mass) (Intra and Tippayawong, 2003)

ในปัจจุบันมาตรฐานความเข้มขันของอนุภาคจะอยู่บนพื้นฐานของมวลอนุภาค เช่น มาตรฐาน Particulate Matter 10 หรือ PM 10 (ปริมาณความเข้มขันมวลของอนุภาคแขวนลอย ในอากาศที่มีขนาดเล็กกว่า 10 ไมโครเมตร) ของกรมควบคุมมลพิษ แต่ปัญหาของการวัดมวล ของอนุภาคในปัจจุบัน ส่วนใหญ่จะเกิดกับอนุภาคที่มีขนาดใหญ่ เพราะว่าอนุภาคขนาดเล็ก จำนวนมากอาจมีมวลเท่ากับมวลของอนุภาคที่มีขนาดใหญ่เพียงอนุภาคเดียว ตัวอย่างเช่น มวล อนุภาคขนาด 1 ไมโครเมตร จำนวน 1000 อนุภาค จะเท่ากับมวลของอนุภาคขนาด 10 ไมโครเมตร เพียงอนุภาคเดียว ซึ่งจากรายงานการวิจัยพบว่าผลกระทบต่อสุขภาพของอนุภาคที่ มีขนาดเล็กกว่า 1 ไมโครเมตร มีแนวโน้มสูงกว่าอนุภาคขนาด 10 ไมโครเมตร เพราะว่าอนุภาค ขนาดเล็กกว่า 1 ไมโครเมตร สามารถทะลุทะลวงลงไปถึงบริเวณส่วนลึกที่สุดของปอดในการ หายใจได้ (Hinds, 1999) ดังนั้นการวัดจำนวนของอนุภาคจึงมีความสำคัญและให้ความถูกต้อง แม่นยำกว่าการวัดมวลของอนุภาค และการวัดจำนวนของอนุภาคสามารถที่จะแปลงผันไปเป็น มวลของอนุภาคได้ภายหลังได้

จากการสำรวจข้อมูลจากผู้ที่เกี่ยวข้องและเอกสารงานวิจัยต่างๆ พบว่าเครื่องวิเคราะห์ ปริมาณความเข้มข้นจำนวนของอนุภาคนาโน (nano-particles number concentration analyzer) ในปัจจุบันได้มีการศึกษาวิจัยและพัฒนากันอย่างต่อเนื่อง (Agrawal and Sem, 1980; Thermo-System Inc., 2002; Johnson et al., 2002; Kaufman et al., 2002; Wilson, et al., 2004; Thermo-System Inc., 2005; Park et al., 2005) และได้มีการผลิตออกมาเป็นเครื่อง

มาตรฐานเพื่อเชิงพาณิชย์ (Thermo-System Inc., 2002; 2005) เช่น CPC (Condensation Particle Counter) (Agrawal and Sem, 1980; Thermo-System Inc., 2002) หรือ EAD (Electrical Aerosol Detector) (Johnson et al., 2002; Kaufman et al., 2002; Wilson, et al., 2004; Thermo-System Inc., 2005) CPC เป็นเครื่องนับจำนวนอนุภาคที่ใช้กันอย่างกว้างขวาง สำหรับนับจำนวนอนุภาคที่มีขนาดอยู่ในช่วง 2.5 นาโนเมตร ถึง 10 ไมโครเมตร ใน CPC อนุภาคถูกทำให้มีขนาดใหญ่ขึ้นโดยการควบแน่นของไอโบทานอล (butanal vapor) และจากนั้น จะถูกตรวจจับและนับจำนวนโดยให้อนุภาคเคลื่อนที่ตัดผ่านเลเซอร์ไดโอด (laser diode) แต่ CPC มีขนาดใหญ่ เคลื่อนย้ายยากและมีราคาสูง สำหรับ EAD อนุภาคจะถูกอัดประจุโดยเครื่อง อัดประจุอนุภาคแบบแพร่กระจาย (diffusion charger) และอนุภาคที่มีประจุจะถูกสะสมตัวโดย การผ่านเข้าไปยังตัวดักกรองอนุภาคที่เป็นตัวนำ (conducting filter) กระแสไฟฟ้าที่เกิดจากการ สะสมตัวของอนุภาคบนตัวดักกรองจะถูกวัดด้วยเครื่องวัดกระแสต่ำ หรือ อิเล็กโทรมิเตอร์ (electrometer) และจากนั้นจะถูกแปลงผันเป็นความเข้มข้นเชิงจำนวนของอนุภาค

ประเทศไทยเป็นประเทศที่มีอุตสาหกรรมและเทคโนโลยีการผลิตที่เข้มแข็ง ซึ่งมี ศักยภาพในการผลิตวัตถุดิบและอุปกรณ์ชิ้นส่วนต่างๆ สำหรับการสร้างเครื่องมือและอุปกรณ์ พื้นฐานที่จำเป็นทางด้านงานวิศวกรรม ขึ้นได้เองภายในประเทศ เครื่องวิเคราะห์ปริมาณความ เข้มข้นจำนวนของอนุภาคที่มีใช้กันอยู่ในปัจจุบัน โดยเฉพาะในงานวิจัยหรืองานควบคุมคุณภาพ มีราคาสูงมากอยู่ในหลักหลายแสนบาท อีกทั้งยังต้องพึ่งพาการนำเข้าเครื่องมือและบริการจาก ต่างประเทศเกือบทั้งหมด ซึ่งเป็นการเสียดุลทางการค้าอย่างเห็นได้ชัด เนื่องจากข้อจำกัดใน งบประมาณค่าใช้จ่ายเกี่ยวกับเครื่องมือและครุภัณฑ์ดังกล่าว ทำให้การทำงานวิจัยและศึกษาที่ ต้องใช้เครื่องมือเหล่านี้จึงมีอยู่น้อยในวงจำกัดหรือไม่มีเลย มีการพัฒนาและประยุกต์เครื่องมือ เหล่านี้โดยใช้เทคโนโลยี และวัสดุที่เหมาะสมให้ทำงานได้จริงส่วนใหญ่ในประเทศจะทำให้มีราคา สมเหตุสมผล การทำงานการศึกษาและวิจัยที่เกี่ยวข้องกับเรื่องเทคโนโลยีอนุภาค จะทำได้แพร่ หลายกว้างขวางมากยิ่งขึ้นในวงการวิชาการ สถาบันที่เกี่ยวข้องกับมลพิษอนุภาค และ อุตสาหกรรมการผลิตของประเทศ

จุดมุ่งหมายของโครงการนี้จะทำการออกแบบ สร้าง และทดสอบสมรรถนะต้นแบบ เครื่องวิเคราะห์ปริมาณความเข้มข้นจำนวนของอนุภาคนาโนแบบใช้หลักการวัดประจุไฟฟ้าสถิต ขึ้นเองภายในประเทศ จากการประยุกต์ใช้องค์ความรู้และเทคโนโลยีที่มีอยู่ในปัจจุบัน ซึ่ง สามารถทำงานได้ดีในการตรวจสอบศึกษามลพิษทางอากาศ และการปนเปื้อนของอนุภาคใน ผลิตภัณฑ์ เทียบเคียงได้กับอุปกรณ์ที่มาจากต่างประเทศ และให้กะทัดรัด น้ำหนักเบา ขนาด เล็ก ทนทาน โดยจะใช้วัสดุอุปกรณ์ ฝีมือ และเครื่องจักรในการประกอบติดตั้งและสร้างจาก ภายในประเทศ เพื่อช่วยลดการพึ่งพาการนำเข้าจากต่างประเทศ ทำให้ได้อุปกรณ์ที่มีราคาถูก กว่าและสามารถแข่งขันได้กับของต่างประเทศ ซึ่งจะเป็นประโยชน์ต่อวงการวิชาการและ อุตสาหกรรม ที่ปฏิบัติงานเกี่ยวข้องกับการตรวจวัดและควบคุมมลพิษทางอากาศ ไม่ว่าจะเป็น กรมควบคุมมลพิษ สถาบันวิจัยทางอนุภาคในบรรยากาศ งานทางสาธารณสุข ศูนย์นาโน เทคโนโลยีแห่งชาติ สถานศึกษาที่มีการเรียนการสอนหรืองานวิจัยเกี่ยวกับศาสตร์และ

เทคโนโลยีอนุภาค ห้องสะอาด (clean room) ของโรงงานอุตสาหกรรมการผลิตไมโคร อิเล็กทรอนิกส์และอื่นๆ ที่ต้องการการตรวจวัดปริมาณอนุภาคในอากาศอย่างต่อเนื่อง การตรวจ วิเคราะห์อนุภาคไอเสียจากเครื่องยนต์และการเผาไหม้ และกลุ่มนักวิจัยหรือบริษัทที่พัฒนา เครื่องดักกรองผงฝุ่นและอนุภาคในอากาศ และบริษัทเครื่องปรับอากาศ

โดยหลักการหรือวิธีการใหม่ที่จะทำการศึกษาในโครงการที่เสนอนี้ คือ (ก) การเคลื่อนที่ แบบบราวเนียนไร้ทิศทางของอนุภาค (Brownian motion) ที่มีขนาดเล็กกว่า 100 นาโนเมตร ภายในเครื่องมือวัด (ข) ผลของประจุค้าง (space charge effect) ภายในฟาราเดย์คลับ (ค) ลักษณะสนามไฟฟ้าและสนามการไหลภายในเครื่องมือวัด (flow and electric fields) และ (ง) ความไม่สมบูรณ์ของพื้นผิวของขั้วอิเล็กโทรด (electrode acentricity) ที่มีผลต่อการดิสชาร์จ (discharge) และการอัดประจุภายในเครื่องอัดประจุ เนื่องจากปัจจัยต่างๆ เหล่านี้มีอิทธิพลต่อ สมรรถนะการทำงาน และความถูกต้องแม่นยำของเครื่องวิเคราะห์จำนวนอนุภาคในระดับนาโน เมตร โดยจะทำการศึกษาทั้งภาคทฤษฎีและการทดลอง เพื่อสร้างนวัตกรรมนำไปสู่การตีพิมพ์ ผลงานในวารสารวิชาการระดับนานาชาติได้

9. วัตถุประสงค์

เพื่อศึกษาออกแบบ สร้าง และทดสอบสมรรถนะต้นแบบของเครื่องวิเคราะห์ปริมาณ ความเข้มข้นเชิงจำนวนของอนุภาคแบบใช้หลักการการวัดประจุไฟฟ้าสถิต โดยใช้ เครื่องมือ วัสดุ อุปกรณ์ และระบบควบคุม ที่สามารถพัฒนาและหาได้ภายในประเทศ ทดแทนชิ้นส่วนจาก ต่างประเทศ และเพื่อให้ได้เงื่อนไขของแบบเครื่องมือวัดที่เหมาะสมต่อการทำงาน ราคา และการ ยอมรับของผู้ใช้เชิงพาณิชย์

10. ระเบียบวิธีวิจัย

ระเบียบวิธีวิจัย แบ่งเป็น

- 10.1 สืบคันรวบรวม ทบทวนเอกสารอ้างอิงทางวิชาการ และศึกษาทฤษฎี และข้อมูลที่ เกี่ยวข้อง
- 10.2 ศึกษาการทำงานที่เหมาะสมและปัจจัยต่าง ๆที่มีผลต่อสมรรถนะการทำงานในระดับนา โน ทางทฤษฎี
- 10.3 ออกแบบอุปกรณ์ในแต่ละส่วนประกอบย่อยให้กะทัดรัด น้ำหนักเบา ขนาดเล็ก และ ทนทาน จัดทำรายละเอียดแบบร่าง ส่วนประกอบย่อยต่างๆ ได้แก่ ระบบควบคุมการไหลของ ของไหล (flow control system) ชุดคัดแยกสิ่งปนเปื้อนขนาดใหญ่ (inertial impactor) เครื่องอัด ประจุละอองลอยแบบโคโรนา (corona charger) ฟาราเดย์คลับ (Faraday cup) ชุดตรวจวัด กระแสระดับต่ำ (electrometer) และชุดโปรแกรมบันทึกและประมวลผลข้อมูล (data reduction and processing system)
 - 10.4 จัดหาและจัดเตรียมวัสดุ เพื่อสร้างและประกอบ ในแต่ละส่วนประกอบย่อย

- 10.5 จัดหาและจัดเตรียมอนุภาคตัวอย่างที่ใช้ในการทดสอบสมรรถนะการทำงานของเครื่อง มีควัด
- 10.6 ออกแบบชุดทดสอบอุปกรณ์ พัฒนา ปรับปรุงโปรแกรมควบคุมการทำงาน ตรวจเก็บ และประมวลผลข้อมูล
 - 10.7 สร้าง ประกอบติดตั้ง และทดสอบการทำงานเบื้องตัน ของแต่ละส่วนประกอบย่อย
 - 10.8 ทดสอบสมรรถนะการวัดจำนวนของเครื่องมือวัดกับอนุภาคตัวอย่างที่เตรียมไว้
 - 10.9 เปรียบเทียบกับเครื่องมือวัดขนาดมาตรฐาน
 - 10.10 วิเคราะห์ข้อมูล ปรับปรุงแก้ไข
 - 10.11 วิจารณ์ สรุปรายงานผล
- 10.12 ยื่นจดสิทธิบัตร/อนุสิทธิบัตร เผยแพร่บทความวิชาการระดับนานาชาติและรายงาน ฉบับสมบูรณ์

11. แผนการดำเหินงานวิจัยตลอดโครงการในแต่ละช่วง 6 เดือน

ระยะเวลาของโครงการวิจัย 24 เดือนแสดงไว้ดังตารางที่ 11.1

ตารางที่ 11.1 แผนการดำเนินงานวิจัยตลอดโครงการ

	แผนการดำเนินการวิจัย	ระย	ะเวลาดำเนิน	งานวิจัย (เดือ	น)
	PM WILLIAN IP W WILLI 19 J.D.	1-6	7-12	13-18	19-24
1.	สืบค้นรวบรวม ทบทวนเอกสารอ้างอิง	←			
	ทางวิชาการ และข้อมูลที่เกี่ยวข้อง				
2.	ศึกษาการทำงานที่เหมาะสมที่สุดและ	•			
	ปัจจัยต่างๆที่มีผลต่อสมรรถนะการ				
	ทำงานในระดับนาโนสเกล ทางทฤษฎี				
3.	จัดหาและจัดเตรียมวัสดุ อุปกรณ์ และ	•		•	
	อนุภาคตัวอย่างที่ใช้ในการทดสอบ	·			
4.	ออกแบบและสร้างต้นแบบ		←		
5.	ทดสอบสมรรถนะการทำงานของ		←	-	
	ระบบ				
6.	เปรียบเทียบกับเครื่องมือวัดมาตรฐาน		•		
7.	วิเคราะห์ข้อมูล ปรับปรุงแก้ไข			←	
8.	วิจารณ์ สรุปรายงานผล				←
9.	บทความวิชาการ และรายงานฉบับ				
	สมบูรณ์				

12. ผลงานที่ได้รับจากโครงการ

12.1 ผลงานที่ได้จากการวิจัย

- O ผลการสรุปและทบทวนเอกสารอ้างอิงทางวิชาการ และศึกษาทฤษฎี เทคโนโลยี สิทธิบัตร และข้อมูลที่เกี่ยวข้อง
- O ใดอะแกรมและหลักการทำงานของต้นแบบเครื่องวิเคราะห์ปริมาณความเข้มข้นเชิง จำนวนของอนุภาคนาโนแบบใช้หลักการวัดประจุไฟฟ้าสถิต
- O แบบเชิงเทคนิคของอุปกรณ์ประกอบย่อยของระบบตันแบบฯ
- O อุปกรณ์ประกอบย่อย ได้แก่ ชุดคัดแยกสิ่งปนเปื้อนขนาดใหญ่ ชุดให้ประจุไฟฟ้าอนุภาค ชุดดักจับไอออน ถ้วยฟาราเดย์ ชุดตรวจวัดกระแสระดับต่ำ และชุดโปรแกรมบันทึกและ ประมวลผลข้อมูล
- O ระบบต้นแบบเครื่องวิเคราะห์ปริมาณความเข้มข้นเชิงจำนวนของอนุภาคนาโนแบบใช้ หลักการวัดประจุไฟฟ้าสถิต
- O ผลการทดสอบสมรรถนะการทำงานของตันแบบเครื่องวิเคราะห์ฯ
- O บทความวิจัยและรายงานฉบับสมบูรณ์

12.2 ผลงานที่ได้รับตีพิมพ์หรืออยู่ระหว่างการพิจารณาในวารสารวิชาการ ระดับนานาชาติ

- O Intra, P. and Tippayawong, N., "Performance evaluation of an electrometer system for ion and aerosol charge measurements", *Korean Journal of Chemical Engineering*, under review. (MS. ID: KJ2010-004) มี impact factor = 0.830 (JCR ปี 2008)
- O Intra, P. and Tippayawong, N., "Use of electrostatic precipitation for excess ion trapping in an electrical aerosol analyzer", *Journal of Electrostatics*, under review. มี impact factor = 1.240 (JCR ปี 2008)
- O Intra, P. and Tippayawing, N., "Effect of needle cone angle and air flow rate on electrostatic discharge characteristics of a corona-needle ionizer", *Journal of Electrostatics*, 2010, in press, 10.1016/j.elstat.2010.01.008. มี impact factor = 1.240 (JCR ปี 2008)
- O Intra, P. and Tippayawong, N., "An electrostatic sensor for nanometer-sized aerosol particles detection", *Journal of the Japan Society of Applied Electromagnetics and Mechanics*, Vol.17, Supplement, pp. s17 s20, 2009. มี impact factor = 0.0
- O Intra, P. and Tippayawong, N., "Progress in unipolar corona discharger designs for airborne particle charging: A literature review", *Journal of Electrostatics*, Vol. 67, No.4, pp. 605 615, 2009. มี impact factor = 1.240 (JCR ปี 2008)

- O Intra, P. and Tippayawong, N., "Measurements of ion current from a coronaneedle charger using a Faraday cup electrometer", *Chiang Mai Journal of Science*, Vol. 36, No. 1, pp. 110 119, 2009. ถูกบรรจุเข้าใน Journal Citation Reports/Science Edition ตั้งแต่ปี 2008
- O Intra, P., "Investigation of a submicron-particle inertial impactor for size-selective inlet of the electrical mobility spectrometer", *Chiang Mai University Journal of Natural Science*, Vol. 7, No. 2, pp. 257 268, 2008. มี impact factor = 0.0

12.3 ผลงานที่ได้รับการนำเสนอในที่ประชุมวิชาการระดับชาติและนานาชาติ 1) ประชุมวิชาการระดับนานาชาติ

O Intra, P. and Tippayawong, N., "An electrostatic sensor for nanometer-sized aerosol particles detection", Poster presentation, *Asia-Pacific Symposium on Applied Electromagnetics and Mechanics*, Bangkok, Thailand, 24 – 25 July, 2008.

2) ประชุมวิชาการระดับชาติ

- O Intra, P. and Tippayawong, N., "A submicron electrical aerosol detection system with a Faraday cup electrometer", Oral presentation, *The 22*nd *Conference on Mechanical Engineering Network of Thailand*, Pathumthani, Thailand, 15 17 October, 2008.
- O Intra, P. and Tippayawong, N., "Analytical investigation of an electrostatic precipitator for excess ions removal after charging process of the electrical mobility spectrometer", Oral presentation, *The* 7th *PSU-Engineering Conference*, 21 22 May, 2009.
- O Intra, P. and Tippayawong, N., "An electrical detector for nanometer-sized aerosol particles detection: development of the equipment and preliminary results", *The* 9th *TRF Academic Meeting*, Phetchaburi, Thailand, 15 17 October, 2009.

สารบาญ

	หน้า
กิตติกรรมประกาศ	ข
บทคัดย่อภาษาไทย	ค
บทคัดย่อภาษาอังกฤษ	
	จ
Executive Summary	U
สารบาญตาราง	វា
สารบาญภาพ	ท
อักษรย่อและสัญลักษณ์	И
บทที่ 1 บทนำ	1
1.1 ปัญหาและความต้องการในการพัฒนา	1
1.2 การทบทวนวรรณกรรม	3
1.3 โครงของรายงานการวิจัยฉบับสมบูรณ์	10
บทที่ 2 หลักการและทฤษฎี	11
2.1 คุณสมบัติของละอองลอย	11
2.1.1 ขนาดของละอองลอย	11
2.1.2 การแจกแจงขนาดของละอองลอย	12
2.2 การเคลื่อนของอนุภาคในแก๊ส	13
2.2.1 ความห ^{ึ่} นืดของแก๊ส	13
2.2.3 ตัวเลขเรย์โนลด์ของอนุภาค	14
2.2.4 กฎของสโตกส์และตัวช [ั] ดเชยคันนิงแฮม	14
2.2.5 กลไกเชิงเฉื่อย	16
2.2.6 การเคลื่อนที่แบบบราวเนียนและการแพร่กระจาย	16
2.2.7 การเคลื่อนที่อนุภาคภายใต้สนามไฟฟ้า	18
2.3 ทฤษฎีการไหลของของไหล	19
2.3.1 สมการการไหลของของไหล	19
2.3.2 ตัวเลขเรย์โนลด์และรูปร่างความเร็วของการไหลในท่อ	20
2.4 สนามไฟฟ้า	20

2.5 การวิเคราะห์สนามไฟฟ้าและสนามการไหล	21
2.6 การเกิดโคโรนาดิสซาร์จในก๊าซและการไหลของกระแสไฟฟ้า	22
2.7 ทฤษฎีการอัดประจุอนุภาค	23
2.8 การวัดและการตรวจจับสัญญาณ	28
บทที่ 3 การออกแบบตันแบบเครื่องวิเคราะห์ฯ	30
3.1 เป้าหมายในการออกแบบทั้งหมด	30
3.2 ชุดคัดแยกสิ่งปนเปื้อนขนาดใหญ่ขาเข้า	31
3.2.1 ความต้องการในการออกแบบ	31
3.2.2 รายละเอียดในการออกแบบ	32
 3.2.3 การวิเคราะห์เส้นผ่านศูนย์กลางจุดตัดของอนุภาค 	33
3.2.4 ประสิทธิภาพการสะสมตัวของอนุภาค	35
3.3 ชุดดักจับไอออน	35
้ 3.3.1 ความต้องการในการออกแบบ	35
3.3.2 รายละเอียดในการออกแบบ	35
3.3.4 การวิเคราะห์การเคลื่อนที่ของไอออนภายในชุดดักจับไอออน	36
3.3.5 การวิเคราะห์ประสิท ธิ ภาพการดักจับไอออน	39
3.4 ชุดให้ประจุไฟฟ้ากับอนุภาคแบบโคโรนาเข็ม	39
้ 3.4.1 ความต้องการในการออกแบบ	39
3.4.2 รายละเอียดในการออกแบบ	40
3.4.3 การประมาณค่าผลคูณ <i>N,t</i> ของชุดให้ประจุไฟฟ้าอนุภาค	41
้ 3.4.4 ความเข้มข้นจำนวนไอออนที่ทางออกของชุดให้ประจุไฟฟ้า	43
3.4.5 การประมาณค่าการผ่านทะลุของอนุภาคของชุดให้ประจุไฟฟ้า	44
3.5 ลูกถัวยฟาราเดย์และอิเล็กโทรมิเตอร์	44
	44
3.5.2 รายละเอียดในการออกแบบ	45
3.6 ชุดโปรแกรมบันทึกและประมวลผลข้อมูล	48
3.6.1 ความต้องการในการออกแบบ	48
3.6.2 รายละเอียดในการออกแบบ	49
บทที่ 4 ตันแบบเครื่องวิเคราะห์ปริมาณความเข้มข้นเชิงจำนวนของอนุภาคนาโนแว	บบใช้
หลักการวัดประจุไฟฟ้าสถิต	52
4.1 รายละเอียดและหลักการทำงาน	52
4.2 ส่วนประกอบของระบบตันแบบ	54
4.2.1 โมดูลอนาลอกอินพุตและเอาต์พุต	54

4.2.2 โมดูลแหล่งจ่ายไฟฟ้าแรงดันสูง	54
4.2.3 โมดูลแหล่งจ่ายไฟฟ้ากระแสตรง 12 โวลต์ ดีซี	55
4.2.4 ตัวแปลงผัน RS-485 ไปเป็น USB	57
4.2.5 ตัวควบคุมอัตราการไหลและเครื่องดูดสุญญากาศ	57
4.2.6 ตัวกรองอนุภาคประสิทธิภาพสูง	58
4.3 ต้นแบบที่ประกอบรวมกัน	59
บทที่ 5 อุปกรณ์และวิธีการทดลอง	62
5.1 อุปกรณ์การทดลอง	62
5.1.1 ตัวกรองอนุภาคประสิทธิภาพสูง	62
5.1.2 ระบบการจ่ายและวัดไฟฟ้าแรงดันสูง	62
5.1.3 อิเล็กโทรมิเตอร์มาตรฐาน	63
5.1.4 ออสซิลโลสโคปแบบดิจิตอล	64
5.1.5 มัลติมิเตอร์แบบดิจิตอล	65
5.1.6 เครื่องวิเคราะห์ขนาดอนุภาค	66
5.1.7 กล้องจุลทรรศน์อิเล็กตรอนแบบส่องกราด	68
5.2 ระเบียบวิธีการทดลอง	68
5.2.1 การสร้างอนุภาคตัวอย่างสำหรับการทดสอบ	68
5.2.2 การทดสอบสมรรถนะของชุดคัดแยกสิ่งปนเปื้อนขนาดใหญ่	71
5.2.3 การทดสอบสมรรถนะของชุดดักจับไอออน	72
5.2.4 การทดสอบสมรรถนะของชุดให้ประจุอนุภาค	74
5.2.5 การทดสอบสมรรถนะของวงจรอิเล็กโทรมิเตอร์	75
5.2.6 การทดสอบสมรรถนะการวัดของเครื่องวิเคราะห์ฯ	76
d ou o	
บทที่ 6 ผลการวิจัยและวิจารณ์ผล	77
6.1 สมรรถนะของชุดคัดแยกสิ่งปนเปื้อนขนาดใหญ่	77
6.2 สมรรถนะของชุดดักจับไอออน	80
6.2.1 การเคลื่อนที่ของไอออน	80
6.2.2 ประสิทธิภาพการดักจับไอออน	82
6.3 สมรรถนะของชุดให้ประจุไฟฟ้าอนุภาค	87
6.3.1 ความสัมพันธ์ระหว่างกระแส – แรงดันของชุดให้ประจุไฟฟ้าอนุภาศ	n 87
6.3.2 กระแสไอออนที่ทางออกของชุดให้ประจุไฟฟ้าอนุภาค	87
6.3.3 ความเข้มขันจำนวนของไอออนและการทะลุผ่านของไอออน	89
6.3.4 การวิเคราะห์จำนวนประจุของอนุภาค	95
6.3.5 การประมาณค่าการผ่านทะลุของอนุภาคที่มีประจุ	95

6.4 สมรรถนะของวงจรอิเล็กโทรมิเตอร์	97
6.5 สมรรถนะการวัดไอออนและอนุภาคของเครื่องวิเคราะห์ฯต้นแบบ	99
	100
บทที่ 7 สรุปผลการวิจัยและข้อเสนอแนะ	103
7.1 สรุปผลการวิจัย	103
7.1.1 สมรรถนะของชุดคัดแยกสิ่งปนเปื้อนขนาดใหญ่	103
7.1.2 สมรรถนะของชุดดักจับไอออน	103
7.1.3 สมรรถนะของชุดให้ประจุไฟฟ้าของอนุภาค	104
7.1.4 สมรรถนะของวงจรอิเล็กโทรมิเตอร์และระบบบันทึกและประมวลผล	
ข้อมูล	104
7.1.5 สมรรถนะการวัดไอออนและอนุภาคของเครื่องวิเคราะห์ตันแบบ	105
7.2 ข้อเสนอแนะและการพัฒนาต่อในอนาคต	105
เอกสารอ้างอิง	107
ภาคผนวก	
ภาคผนวก ก: สรุปผลผลิตของโครงการ	111
ภาคผนวก ข: สิ่งตีพิมพ์และผลงานอื่น ๆจากโครงการนี้	116
ภาคผนวก ค: แบบเชิงเทคนิคของต้นแบบเครื่องวิเคราะห์ปริมาณความเข้มข้น	
เชิงจำนวนของอนุภาคนาโนแบบใช้หลักการวัดประจุไฟฟ้าสถิต	229
ประวัติคณะผู้วิจัย	244

สารบาญตาราง

ตาราง		หน้า
3.1	เกณฑ์ในการออกแบบโดยรวมของเครื่องวิเคราะห์ขนาดอนุภาคฯ	31
5.1	เงื่อนไขที่ใช้ในการทดสอบสมรรถนะการทำงานของชุดดักจับไอออน	73
5.2	เงื่อนไขที่ใช้ในการทดสอบสมรรถนะการทำงานของชุดให้ประจุไฟฟ้าอนุภาค	75
6.1	กระแสไฟฟ้าที่วัดได้จากวงจรอิเล็กโทรมิเตอร์ที่ได้สร้างขึ้น	98

สารบาญภาพ

ภาพ		หน้า
1.1	ลักษณะโครงสร้างของ DMA (Intra and Tippayawong 2008)	4
1.2	ลักษณะโครงสร้างของ CPC (Agrawal and Sem 1980)	5
1.3	ลักษณะโครงสร้างของ EAA (Lehtimaki 1983)	6
1.4	ลักษณะโครงสร้างของ EAD (Johnson et al. 2002)	7
1.5	ลักษณะโครงสร้างของ UPMS (Park et al. 2005)	8
1.6	ลักษณะโครงสร้างของ DCE (Fierz et al. 2002)	9
1.7	ลักษณะโครงสร้างของ Epiphaniometer (Hinds 1999)	9
2.1	ภาพถ่ายของอนุภาคระดับนาโนเมตร	12
2.2	การแจกแจงขนาดละอองลอยในบรรยากาศ	13
3.1	หลักการทำงานของตันแบบเครื่องวิเคราะห์ปริมาณความเข้มข้นเชิงจำนวนของ	
	อนุภาคนาโนแบบใช้หลักการวัดประจุไฟฟ้าสถิต	32
3.2	ลักษณะโครงสร้างของชุดคัดแยกสิ่งปนเปื้อนขนาดใหญ่ (Intra, 2008)	33
3.3	รูปถ่ายของชุดคัดแยกสิ่งปนเปื้อนขนาดใหญ่ที่สร้างขึ้น (Intra, 2008)	33
3.4	ลักษณะโครงสร้างของชุดดักจับไอออน (Intra and Tippayawong, 2009)	36
3.5	รูปถ่ายของชุดดักจับไอออนที่สร้างขึ้น (Intra and Tippayawong, 2009)	36
3.6	หลักการตกตะกอนเชิงไฟฟ้าสถิต (Intra and Tippayawong, 2009)	37
3.7	ไดอะแกรมลักษณะโครงสร้างของชุดให้ประจุไฟฟ้าอนุภาค (Intra and	
	Tippayawong, 2009)	41
3.8	รูปถ่ายของชุดให้ประจุไฟฟ้าอนุภาคที่สร้างขึ้น (Intra and Tippayawong,	
	2009)	41
3.9	ลักษณะโครงสร้างของลูกถ้วยฟาราเดย์	45
3.10	รูปถ่ายของลูกถ้วยฟาราเดย์ที่สร้างขึ้น	45
3.11	ลักษณะโครงสร้างของวงจรอิเล็กโทรมิเตอร์	46
3.12	วงจรกรองความถี่แบบ RC low-pass	47
3.13	รูปถ่ายของวงจรอิเล็กโทรมิเตอร์ที่สร้างขึ้น	48
3.14	ไดอะแกรมของระบบการวัดและควบคุมของเครื่องวิเคราะห์ฯที่พัฒนาขึ้น	49
3.15	โปรแกรมบันทึกและประมวลผลข้อมูลขณะทำการวัด	50
3.16	ใดอะแกรมกระบวนการทำงานของชดโปรแกรมบันทึกและประมวลผลข้อมล	51

ภาพ		หน้า
4.1	ลักษณะโครงสร้างและการทำงานของต้นแบบเครื่องวิเคราะห์ปริมาณความ	
	เข้มขันเชิงจำนวนของอนุภาคนาโนแบบใช้หลักการวัดประจุไฟฟ้าสถิตนี้	53
4.2	รูปถ่ายของโมดูลอนาลอกอินพุตและเอาต์พุตของ Advantech	55
4.3	รูปถ่ายของโมดูลแหล่งจ่ายไฟฟ้าแรงดันสูงโมเดล PMT-50CP	56
4.4	รูปถ่ายของโมดูลแหล่งจ่ายไฟฟ้ากระแสตรง 12 โวลต์ ดีซี	56
4.5	รูปถ่ายของตัวควบคุมอัตราการของ Dwyer	57
4.6	รูปถ่ายของเครื่องดูดสูญญากาศแบบโรตารีของ Busch	58
4.7	รูปถ่ายของแผ่นกรองอนุภาคประสิทธิภาพสูงแบบ HEPA	58
4.8	รูปถ่ายต้นแบบเครื่องวิเคราะห์ปริมาณความเข้มขันเชิงจำนวนของอนุภาคนาโน	
	แบบใช้หลักการวัดประจุไฟฟ้าสถิต	59
4.9	รูปถ่ายด้านหลังของเครื่องวิเคราะห์ที่แสดงถึงตำแหน่งของพอร์ต USB และจุด	
	เชื่อมต่อไฟฟ้า 220 โวลต์	60
4.10	รูปถ่ายลักษณะการติดตั้งอุปกรณ์ต่างๆ และการเชื่อมต่อสายสัญญาณและ	
	สายไฟฟ้ากำลังต่างๆ และท่อในระบบการไหล	61
5.1	รูปถ่ายของตัวกรองอนุภาคแบบ HEPA ที่ใช้ในการศึกษานี้	63
5.2	รูปถ่ายของแหล่งจ่ายไฟฟ้าแรงดันสูงของ Leybold Didactic โมเดล 521721	64
5.3	หัววัดไฟฟ้าแรงดันสูงของ Fluke โมเดล 80K-40	64
5.4	รูปถ่ายของอิเล็กโทรมิเตอร์ของ Keithley โมเดล 6517A	65
5.5	รูปถ่ายของ Keithley โมเดล 6522	65
5.6	รูปถ่ายของสายสัญญาณของ Keithley โมเดล 237-ALG-2	66
5.7	รูปถ่ายของออสซิลโลสโคปของ RIGOL โมเคล DS1000	66
5.8	มัลติมิเตอร์แบบดิจิตอลที่ใช้ในการทดสอบนี้	67
5.9	เครื่องวิเคราะห์ขนาดอนุภาค (Intra and Tippayawong, 2009)	67
5.10	รูปถ่ายของกลัองจุลทรรศน์อิเล็กตรอนแบบส่องกราดของ JEOL JSM-6335F	68
5.11	ไดอะแกรมของเครื่องสร้างอนุภาคตัวอย่างที่ใช้ในการศึกษานี้ (Yawootti et al.,	
	2010)	69
5.12	รูปถ่ายของเครื่องสร้างละอองลอยที่ใช้ในการศึกษานี้ (Yawootti et al., 2010)	69
5.13	รูปถ่ายจากกลัองจุลทรรศน์อิเล็กตรอนของอนุภาคตัวอย่าง (Yawootti et al.,	
	2010)	70
5.14	การแจกแจงขนาดของอนุภาคของเครื่องสร้างอนุภาคที่พัฒนาขึ้นที่วิเคราะห์โดย	
	เครื่อง EMS (Yawootti et al., 2010)	70

ภาพ		หน้า
5.15	ผลการวิเคราะห็องค์ประกอบธาตุของอนุภาคตัวอย่างด้วย EDS (Yawootti et	
	al., 2010)	71
5.16	ไดอะแกรมของการทดสอบสมรรถนะการสะสมตัวของอนุภาคภายในชุดคัดแยก	
	สิ่งปนเปื้อนขนาดใหญ่ (Intra, 2008)	72
5.17	ไดอะแกรมของการทดสอบสมรรถนะของชุดดักจับไอออน "" " " " " " " " " " " " " " " " " " "	73
5.18	ไดอะแกรมการทดสอบสมรรถนะการทำงานของชุดให้ประจุไฟฟ้า (Intra and	
	Tippayawong, 2010)	74
5.19	ไดอะแกรมสำหรับการทดสอบการวัดเทียบอิเล็กโทรมิเตอร์ในแต่ละช่อง (Intra	
	and Tippayawong, 2008)	76
5.20	ไดอะแกรมการทดสอบสมรรถนะการวัดของเครื่องวิเคราะห์ฯ	76
6.1	การเปรียบเทียบประสิทธิภาพการสะสมตัวกับขนาดเส้นผ่านศูนย์กลางของ	77
	อนุภาคของชุดคัดแยกสิ่งปนเปื้อนที่อัตราการไหลของละอองต่างกัน (Intra,	
	2008)	
6.2	การเปรียบเทียบประสิทธิภาพการสะสมตัวกับขนาดเส้นผ่านศูนย์กลางของ	
	อนุภาคของชุดคัดแยกสิ่งปนเปื้อนที่ขนาดเส้นผ่านศูนย์กลางช่องเร่งต่างกัน	
	(Intra, 2008)	78
6.3	การเปรียบเทียบความเข้มข้นจำนวนของอนุภาคและกระแสไฟฟ้าที่วัดได้จากลูก	
	ถ้วยฟาราเดย์อิเล็กโทรมิเตอร์กับอัตราการไหลของละอองลอยที่ทางเข้าและ	
	ทางออกของชุดคัดแยกสิ่งปนเปื้อนขนาดใหญ่ (Intra, 2008)	79
6.4	การเปรียบเทียบค่าการผ่านทะลุของอนุภาคของชุดคัดแยกสิ่งปนเปื้อนกับอัตรา	
	การไหลละอองลอย (Intra, 2008)	79
6.5	รูปถ่ายของอนุภาคที่สะสมตัวบนพื้นผิวของแผ่นกระทบภายในชุดคัดแยกสิ่ง	
	ู้ ปนเปื้อน (Intra, 2008)	80
6.6	การเปรียบเทียบเส้นโคจรของไอออนระหว่างโมเดลที่พัฒนาขึ้นกับโมเดลที่มีอยู่	
	(Intra and Tippayawong, 2009)	81
6.7	เส้นโคจรของไอออนภายในชุดดักจับไอออนที่มีการเปลี่ยนแปลงแรงดันไฟฟ้าที่	
	เส้น ลวดอิเล็กโทรดต่างกัน (Intra and Tippayawong, 2009)	81
6.8	เส้นโคจรของไอออนภายในชุดดักจับไอออนที่มีการเปลี่ยนแปลงอัตราการไหล	
0.0	ต่างกัน (Intra and Tippayawong, 2009)	82
6.9	เส้นโคจรของอนุภาคที่มีประจุขนาดเส้นผ่านศูนย์กลาง 10 นาโนเมตร ที่	52
5.0	ตำแหน่งรัศมีทางเข้าต่างกัน (Intra and Tippayawong, 2009)	83
	indianistrial in the indianistrial in the indianistrial indianist	00

ภาพ		หน้า
6.10	การเปลี่ยนแปลงตามเวลาของความเข้มข้นจำนวนของไอออนและสัญญาณ กระแสไฟฟ้าทางด้านทางออกของชุดดักจับไอออนที่แรงดันและอัตราการไหล	
	ต่างๆ	84
6.11	การเปลี่ยนแปลงของค่าความเข้มข้นจำนวนของไอออนทางด้านทางออกกับ	04
0.11	แรงดันไฟฟ้าที่จ่ายให้ขั้วอิเล็กโทรดที่อัตราการไหลของไอออนต่างๆ	85
6.12	การเปลี่ยนแปลงของค่าประสิทธิภาพการตกตะกอนของชุดดักจับไอออนที่เป็น	00
0.12	พังก์ชั่นของแรงดันไฟฟ้าที่มีการเปลี่ยนแปลงอัตราการไหลต่างๆ	85
6.13	สัญญาณกระแสไฟฟ้าและค่าความเข้มข้นจำนวนของอนุภาคที่วัดได้ที่ทางออก	00
0.13	ของชุดดักจับไอออนในกรณีที่จ่ายแรงดันไฟฟ้าและไม่มีการจ่ายแรงดันไฟฟ้า	86
6.14	ความสัมพันธ์ระหว่างกระแส – แรงดันของชุดให้ประจุไฟฟ้าอนุภาค(Intra and	00
0.14	Tippayawong, 2010)	88
6.15	การเปลี่ยนแปลงของค่ากระแสไอออนกับแรงดันโคโรนาที่ทางออกของชุดให้	00
0.10	ประจุไฟฟ้าที่อัตราการไหลของอากาศต่างกัน (Intra and Tippayawong, 2010)	90
6.16	การเปลี่ยนแปลงของค่าความเข้มข้นจำนวนไอออนกับแรงดันโคโรนาภายใน	30
0.10	พื้นที่อัดประจุของชุดให้ประจุ (Intra and Tippayawong, 2010)	91
6.17	กราฟความเข้มข้นจำนวนของไอออนที่ทางออกของชุดให้ประจุที่เป็นฟังก์ชั่น	01
0.17	ของแรงดันโคโรนา องศาของมุมขั้วอิเล็กโทรดเข็ม และอัตราการไหลของอากาศ	
	(Intra and Tippayawong, 2010)	92
6.18	การเปลี่ยนแปลงค่าการทะลุผ่านไอออนของปลายเข็มโคโรนาที่ 10 และ 20	32
0.10	องศา ที่แรงดันโคโรนาบวกและลบและที่อัตราการไหลต่างๆ	94
6.19	การเปลี่ยนแปลงค่าการทะลุผ่านไอออนของปลายเข็มโคโรนาที่ 10 และ 20	04
0.13	องศา ที่แรงดันโคโรนาบวกและลบและที่อัตราการไหลต่างๆ	96
6.20	ค่าการผ่านทะลุของอนุภาคของชุดให้ประจุเปรียบเทียบกับขนาดเส้นผ่าน	30
0.20	ศูนย์กลางของอนุภาค	97
6.21	การเปรียบเทียบกระแสไฟฟ้าที่วัดได้จากวงจรอิเล็กโทรมิเตอร์ที่ได้สร้างขึ้นกับอิ	01
0.21	เล็กโทรมิเตอร์ของ Keithley โมเดล 6517A	98
6.22	สัญญาณกระแสไฟฟ้าของวงจรอิเล็กโทรมิเตอร์ที่วัดได้จากออสซิโลสโคป	99
6.23	การเปลี่ยนแปลงตามเวลาของความเข้มข้นจำนวนของไอออนและสัญญาณ	00
5.20	กระแสไฟฟ้าที่วัดได้จากลูกถ้วยฟาราเดย์และวงจรอิเล็กโทรมิเตอร์	100
6.24	การเปลี่ยนแปลงของกระแสไฟฟ้าของไอออนที่วัดได้จากวงจรอิเล็กโทรมิเตอร์	100
J. <u></u> .	กับอัตราการใหลของอากาศ	101

ภาพ		หน้า
6.25	การเปลี่ยนแปลงของกระแสไฟฟ้าของอนุภาคที่วัดได้จากวงจรอิเล็กโทรมิเตอร์	
	กับอัตราการใหลของอนุภาค	101
6.26	ค่าความเข้มข้นเชิงจำนวนและสัญญาณกระแสไฟฟ้าของอนุภาคที่วัดจากวงจรอิ เล็กโทรมิเตอร์ที่มีการเปลี่ยนแปลงตามเวลา	102
	5011.511.505511.511.552.512.7552.51511.555.501.1	102

สัญลักษณ์และอักษรย่อ

สัญลักษณ์ละติน

สัญลักษณ์	ความหมาย	หน่วย
A	พื้นที่ผิว	m^2
B	ความสามารถในการเคลื่อนตัวเชิงกลของอนุภาค	m ³ /N.s
C	ความความจุของตัวเก็บประจุ	F
C_c	ตัวชดเชยคันนิงแฮม	-
D	สัมประสิทธิ์การแพร่กระจายของอนุภาค	m²/s
D	ขนาดเส้นผ่านศูนย์กลางช่องเร่ง	m
D_h	เส้นผ่านศูนย์กลาง hydraulic ของพื้นที่การไหลแบบวงแหวน	-
D_{i}	สัมประสิ ^ท ิธิ์การแพร่กระจายของไอออน	m²/s
E	ประสิทธิภาพการสะสมตัวของอนุภาค	%
E	สนามไฟฟ้า	V/m
E_0	สนามไฟฟ้าเริ่มเกิดการโคโรนาดิสชารจ์	V/m
E_s	สนามไฟฟ้าที่ทำให้เกิดการเบรกดาวน์	V/m
E_r	สนามไฟฟ้าในแนวรัศมี	V/m
E_z	สนามไฟฟ้าในแนวแกน	V/m
F	แรงปฏิกิริยาทางไฟฟ้าสถิตระหว่างไอออนและอนุภาคที่มีประจุ	N
F_{D}	แรงเสียดลากเชิงอากาศพลศาสตร์	N
$F_{\scriptscriptstyle E}$	แรงไฟฟ้าสถิต	N
F_G	แรงโน้มถ่วงของโลก	N
I	กระแสไฟฟ้า	Α
$I_{\it in}$	กระแสไฟฟ้าทางด้านทางเข้า	Α
$I_{\it in}$	กระไฟฟ้าของไอออนภายในชุดให้ประจุไฟฟ้าอนุภาค	Α
I_p	กระแสไฟฟ้าที่วัดได้จากอิเล็กโทรมิเตอร์	Α
J	ฟลักซ์ของอนุภาค	-
$K_{\scriptscriptstyle E}$	ค่าคงที่จากสมการของคูลอมป์	$N.m^2/C^2$
Kn	ตัวเลข Knudsen	-
L	ความยาว	m
M	จำนวนของ bin ขนาดอนุภาค	-

สัญลักษณ์	ความหมาย	หน่วย
N	จำนวนรวมของอนุภาค	-
N_{0}	จำนวนความเข้มข้นของไอออนที่ทางด้านทางเข้า	ions/m ³
N_{i}	ความเข้มข้นของไอออน	ions/m ³
n_{in}	ความเข้มข้นของไอออนที่ทางเข้า	ions/m ³
n_{out}	ความเข้มข้นของไอออนที่ทางออก	ions/m ³
N_{in}	ความเข้มข้นของอนุภาคที่ทางเข้า	particles/m ³
N_{out}	ความเข้มข้นของอนุภาคที่ทางออก	particles/m ³
N_{p}	ความเข้มข้นของอนุภาค	particles/m ³
N_s	ความเข้มข้นของไอออนที่พื้นผิว	ions/m ³
P	ประสิทธิภาพการผ่านทะลุ	%
P_p	ประสิทธิภาพการผ่านทะลุของอนุภาค	%
P	ความดันของของไหล	bar
Q	อัตราการไหลของของไหล	L/min
Q_a	อัตราการไหลของละออง	L/min
Q_{i}	อัตราการไหลของชุดดักจับไอออน	L/min
R	ค่าความต้านทานตัวต้านทาน	Ω
Re	ตัวเลขเรย์โนลด์	-
Re_p	ตัวเลขเรย์โนลด์ของอนุภาค	-
R_f	ตัวต้านทานป้อนกลับ	Ω
S	ค่าคงที่การประมาณค่าพหุนามต่อเนื่องของ Sutherland	-
S	ระยะหยุดของอนุภาค	m
Stk	ตัวเลขสโตกส์	-
Stk_{50}	ตัวเลขสโตกส์ที่ประสิทธิภาพการสะสมตัว 50 เปอร์เซ็นต์	-
T	อุณหภูมิ	K
T_r	อุณหภูมิอ้างอิง	K
U	ความเร็วเฉลี่ยที่ผ่านช่องเร่ง	m/s
\overline{U}	ความเร็วเฉลี่ย	m/s
V	ความศักย์ไฟฟ้า	V
V	ความเร็วเฉลี่ยของของไหลต่ออนุภาค	m/s
V_0	แรงดันเริ่มเกิดโคโรนา	V
V_0	ความเร็วเริ่มต้นของอนุภาคที่เวลาเท่ากับศูนย์	m/s

สัญลักษณ์	ความหมาย	หน่วย
V_f	ความเร็วของของไหล	m/s
V_{in}	แรงดันอินพุต	V
V_{out}	แรงดันเอาต์์พุต	V
V_{p}	ความเร็วของอนุภาค	m/s
V_s	แรงดันของแหล่งจ่าย	V
V_{TS}	ความเร็วการตกสุดท้ายของอนุภาค	m/s
V_{TE}	ความเร็วเชิงไฟฟ้าสถิตสุดท้ายของอนุภาคที่มีประจุ	m/s
Z_{i}	ความสามารถในการเคลื่อนตัวเชิงไฟฟ้าของไอออน	$m^2/V.s$
Z_p	ความสามารถในการเคลื่อนตัวเชิงไฟฟ้าของอนุภาค	m ² /V.s
a	ขนาดรัศมีของอนุภาค	m
$\overline{C_i}$	ความเร็วเชิงความร้อนเฉลี่ยนของไอออน	m/s
d	ระยะห่าง	m
\overline{d}	เส้นผ่านศูนย์กลางเฉลี่ยของจำนวนรวม	m
d_{50}	ขนาดเส้นผ่านศูนย์กลางจุดตัดอนุภาคที่ประสิทธิภาพ	
	50 เปอร์เซ็นต์	m
d_c	ขนาดลักษณะเฉพาะของสิ่งกีดขวาง	m
d_g	ขนาดเส้นผ่านศูนย์กลางเฉลี่ยทางเรขาคณิตเชิงจำนวน	m
d_{p}	ขนาดเส้นผ่านศูนย์กลางของอนุภาค	m
е	ประจุของอิเล็กตรอนพื้นฐาน	С
f	ปัจจัยแรงเสียดทาน	-
g	ความเร่งเนื่องจากแรงโน๊มถ่วง	m/s ²
j	ความหนาแน่นของกระแสไฟฟ้า	A/m ²
k	ค่าคงที่ของ Boltzmann's	J/K
$loss_{el}$	การสูญเสียเนื่องจากไฟฟ้าสถิต	%
m_p	มวลของอนุภาค	g
n_s	การอิ่มตัวของประจุที่อยู่บนอนุภาค	-
n_i	จำนวนของอนุภาคในกลุ่ม \emph{i}	-
n_p	ประจุของอนุภาค	-
r	ตำแหน่งในแนวรัศมี	m
r_1	รัศมีของอิเล็กโทรดทรงกระบอกด้านใน	m

สัญลักษณ์	ความหมาย	หน่วย		
r_2	รัศมีของอิเล็กโทรดทรงกระบอกด้านนอก	m		
S	ความชั้นของเส้นโค้งประสิทธิภาพ	-		
t	เวลาที่ใช้ในการอัดประจุ	s		
и	ความเร็วของการใหล	m/s		
u_r	ความเร็วของการใหลในแนวรัศมี r	m/s		
u_z	ความเร็วของการใหลในแนวแกน z	m/s		
u_{θ}	ความเร็วของของไหลในแนวแกน $ heta$	m/s		
\overline{x}	ระยะการเคลื่อนที่บราวเนียน	m		
Z	ตำแหน่งในแนวแกน	m		
ตัวอักษรกรีก				
β	สัมประสิทธิ์การรวมกันของไอออนกับอนุภาค	_		
δ	รัศมีของรูปทรงกลมมีขอบเขต	_		
δ	ความหนาแน่นสัมพันธ์	-		
\mathcal{E}	ค่าคงที่ของการเป็นฉนวนของอนุภาค	F/m		
\mathcal{E}_0	สภาพะยอมทางไฟฟ้าของอวกาศว่าง	F/m		
\mathcal{E}_1	ค่าสภาพยอมทางไฟฟ้าสัมพันธ์ของวัสดุอนุภาค	F/m		
ϕ	ความต่างศักย์เชิงไฟฟ้าสถิตของไอออน	-		
γ	ความเป็นไปได้ของไอออนที่โอนย้ายประจุไปยังอนุภาค	-		
η	ความหนืดของแก๊ส	Pa.s		
η_r	ความหนือของแก๊สอ้างอิง	Pa s		
K	สัดส่วนของเส้นผ่านศูนย์กลางของทรงกระบอกด้านในต่อด้านนอก-			
λ	ค่าเฉลี่ยระยะการเคลื่อนที่อิสระของแก๊ส	m		
$\lambda_{_i}$	การเคลื่อนที่อิสระเฉลี่ยของไอออน	m		
λ_r	ค่าเฉลี่ยการเคลื่อนที่อิสระของอากาศที่สภาวะมาตรฐาน	m		
μ	ความหนืดของแก๊ส	Pa.s		
ρ	ความหนาแน่นของประจุ	C/m ³		
ρ	ความหนาแน่ของแก๊ส	kg/m ³		
$ ho_{\scriptscriptstyle p}$	ความหนาแน่นของอนุภาค	kg/m ³		
$\sigma_{\scriptscriptstyle g}$	ค่าเบี่ยงเบนมาตรฐานทางเรขาคณิต	-		

สัญลักษณ์ ความหมาย

อักษรย่อ

ADC Analog to Digital Converter CAG Combustion Aerosol Generator CPC Condensation Particle Counter DCE Diffusion Charging Electrometer DMA Differential Mobility Analyzer EAA Electrical Aerosol Analyzer EAD **Electrical Aerosol Detector HEPA** High Efficiency Particulate Air NEM Nano Electromechanical System PTFE Polytetrafluoroethylene SEM Scanning Electron Microscope TSI Thermo-Systems Incorporated **UPMS** Ultrafine Particle Measurement System WAA Whitby Aerosol Analyzer

บทที่ 1 บทนำ

1.1 ปัญหาและความต้องการในการพัฒนา

ละอองลอย (aerosol) คืออนุภาค (particles) ที่เป็นของแข็ง (solid) หรือของเหลว (liquid) แขวนลอยอยู่ในอากาศหรือแก๊สและมีขนาดอยู่ในช่วง 1 นาโนเมตร (nm) ถึง 100 ไมโครเมตร (µm) (Hinds 1999) ละอองลอยเหล่านี้มีผลกระทบต่อสิ่งแวดล้อม สุขภาพและคุณภาพชีวิตของประชากร และการแผ่รังสีมายังโลกในบรรยากาศ ปัญหามลพิษทางอากาศในเมืองใหญ่ทำให้เกิดโรคระบบ ทางเดินหายใจเรื้อรัง และยิ่งไปกว่านั้นยังเพิ่มอัตราการเสียชีวิตของประชากรเนื่องจากการสูดหรือ หายใจเอาอนุภาคที่มีขนาดเล็กกว่า 2.5 ไมโครเมตร (Hinds 1999) นอกจากนี้ ปัญหาการปนเปื้อน ของอนุภาคในระดับนาโนเมตร หรือ อนุภาคนาโน (nano-particles) ยังมีต่อระบบการผลิตใน อุตสาหกรรมไมโครอิเล็กทรอนิกส์และสารกึ่งตัวนำ เภสัชกรรม และนาโนเทคโนโลยี เช่น การพัฒนา ระบบเครื่องกลไฟฟ้าขนาดจิ๋ว (nano-electromechanical systems) หรือ NEMs ซึ่งอนุภาคนาโน เหล่านี้จะส่งผลเสียต่ออุปกรณ์ ระบบ และผลิตภัณฑ์ การป้องกันสามารถทำได้โดย มีการตรวจสอบ วิเคราะห์ ควบคุมคุณภาพอากาศ และสิ่งปนเปื้อนจากอนุภาคนาโน ซึ่งจะบ่งชี้ปริมาณและแหล่งที่มา ของอนุภาคเหล่านี้ได้ โดยพฤติกรรมและกลไกของอนุภาคเป็นฟังก์ชั่นของขนาด (size) จำนวน (number) และมวล (mass) (Intra and Tippayawong, 2003)

ในปัจจุบันมาตรฐานความเข้มขันของอนุภาคจะอยู่บนพื้นฐานของมวลอนุภาค เช่น มาตรฐาน Particulate Matter 10 หรือ PM 10 (ปริมาณความเข้มขันมวลของอนุภาคแขวนลอยใน อากาศที่มีขนาดเล็กกว่า 10 ไมโครเมตร) ของกรมควบคุมมลพิษ แต่ปัญหาของการวัดมวลของ อนุภาคในปัจจุบัน มักจะเกิดกับอนุภาคที่มีขนาดใหญ่ เพราะว่ามันทำให้อนุภาคขนาดเล็กจำนวน มากมีมวลเท่ากับมวลของอนุภาคที่มีขนาดใหญ่ ตัวอย่างเช่น มวลอนุภาคขนาด 1 ไมโครเมตร จำนวน 1000 อนุภาค จะเท่ากับมวลของอนุภาคขนาด 10 ไมโครเมตร เพียงอนุภาคเดียว ซึ่งจาก รายงานการวิจัยพบว่าผลกระทบต่อสุขภาพของอนุภาคระดับ 1 ไมโครเมตร มีแนวโน้มสูงกว่า อนุภาคขนาด 10 ไมโครเมตร เพราะว่าอนุภาคขนาด 1 ไมโครเมตร สามารถทะลุทะลวงลงไปถึง บริเวณส่วนลึกที่สุดของปอดในการหายใจได้ (Hinds 1999) ดังนั้นการวัดจำนวนของอนุภาคจึงมี ความสำคัญและให้ความถูกต้องแม่นยำกว่าการวัดมวลของอนุภาค และการวัดจำนวนของอนุภาค สามารถที่จะแปลงผันไปเป็นมวลของอนุภาคได้ภายหลังได้

จากการสำรวจข้อมูลจากผู้ที่เกี่ยวข้องและเอกสารงานวิจัยต่างๆ พบว่าเครื่องวิเคราะห์ ปริมาณความเข้มข้นจำนวนของอนุภาคนาโน (nano-particles number concentration analyzer) ในปัจจุบันได้มีการศึกษาวิจัยและพัฒนากันอย่างต่อเนื่อง (Agrawal and Sem 1980; Lehtimaki 1983; Johnson et al. 2002; Kaufman et al. 2002; Wilson et al. 2004; Park et al. 2005) และ ได้มีการผลิตออกมาเป็นเครื่องมาตรฐานเพื่อเชิงพาณิชย์ (Thermo-System Inc. 2002; ThermoSystem Inc. 2005) เช่น CPC (Condensation Particle Counter) (Agrawal and Sem 1980) หรือ EAD (Electrical Aerosol Detector) (Lehtimaki 1983; Johnson et al. 2002; Kaufman et al. 2002; Wilson et al. 2004) CPC เป็นเครื่องนับจำนวนอนุภาคที่ใช้กันอย่างกว้างขวางสำหรับนับ จำนวนอนุภาคที่มีขนาดอยู่ในช่วง 2.5 นาโนเมตร ถึง 10 ไมโครเมตร ใน CPC อนุภาคถูกทำให้มี ขนาดใหญ่ขึ้นโดยการควบแน่นของไอโบทานอล (butanal vapor) และจากนั้นจะถูกตรวจจับและนับ จำนวนโดยให้อนุภาคเคลื่อนที่ตัดผ่านเลเซอร์ไดโอด (laser diode) แต่ CPC มีขนาดใหญ่ เคลื่อนย้ายยากและมีราคาสูง สำหรับ EAD อนุภาคจะถูกอัดประจุโดยเครื่องอัดประจุอนุภาคแบบ แพร่กระจาย (diffusion charger) และอนุภาคที่มีประจุจะถูกสะสมตัวโดยการผ่านเข้าไปยังตัวดัก กรองอนุภาคที่เป็นตัวนำ (conducting filter) กระแสไฟฟ้าที่เกิดจากการสะสมตัวของอนุภาคบนตัว ดักกรองจะถูกวัดด้วยเครื่องวัดกระแสต่ำ หรือ อิเล็กโทรมิเตอร์ (electrometer) และจากนั้นจะถูก แปลงผันเป็นความเข้มข้นเชิงจำนวนของอนุภาค

ประเทศไทยเป็นประเทศที่มีอุตสาหกรรมและเทคโนโลยีการผลิตที่เข้มแข็ง ซึ่งมีศักยภาพใน
การผลิตวัตถุดิบและอุปกรณ์ชิ้นส่วนต่างๆ สำหรับการสร้างเครื่องมือและอุปกรณ์พื้นฐานที่จำเป็น
ทางด้านงานวิศวกรรม ขึ้นได้เองภายในประเทศ เครื่องวิเคราะห์ปริมาณความเข้มข้นจำนวนของ
อนุภาคที่มีใช้กันอยู่ในปัจจุบัน โดยเฉพาะในงานวิจัยหรืองานควบคุมคุณภาพมีราคาสูงมากอยู่ใน
หลักหลายแสนบาท อีกทั้งยังต้องพึ่งพาการนำเข้าเครื่องมือและบริการจากต่างประเทศเกือบทั้งหมด
ซึ่งเป็นการเสียดุลทางการค้าอย่างเห็นได้ชัด เนื่องจากข้อจำกัดในงบประมาณค่าใช้จ่ายเกี่ยวกับ
เครื่องมือและครุภัณฑ์ดังกล่าว ทำให้การทำงานวิจัยและศึกษาที่ต้องใช้เครื่องมือเหล่านี้จึงมีอยู่น้อย
ในวงจำกัดหรือไม่มีเลย มีการพัฒนาและประยุกต์เครื่องมือเหล่านี้โดยใช้เทคโนโลยี และวัสดุที่
เหมาะสมให้ทำงานได้จริงส่วนใหญ่ในประเทศจะทำให้มีราคาสมเหตุสมผล การทำงานการศึกษา
และวิจัยที่เกี่ยวข้องกับเรื่องเทคโนโลยีอนุภาค จะทำได้แพร่หลายกว้างขวางมากยิ่งขึ้นในวงการ
วิชาการ สถาบันที่เกี่ยวข้องกับมลพิษอนุภาค และอุตสาหกรรมการผลิตของประเทศ

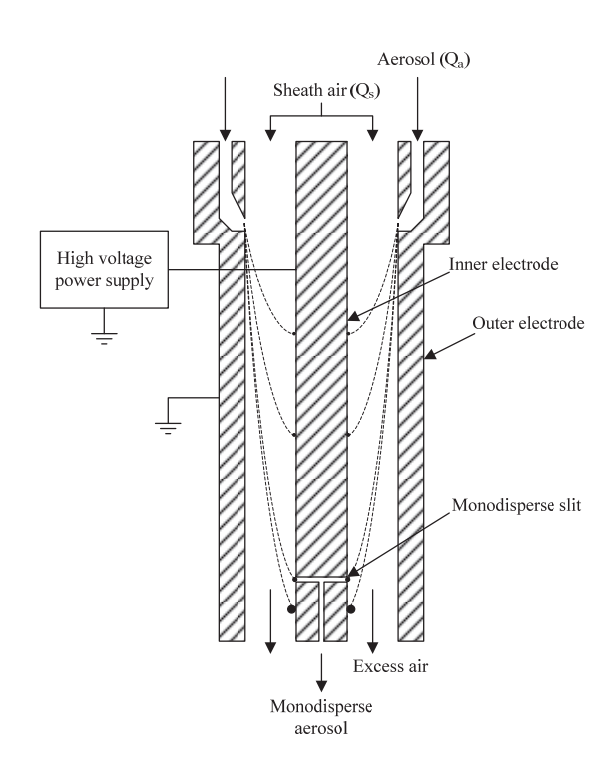
จุดมุ่งหมายของโครงการนี้ จะทำการพัฒนาต้นแบบเครื่องมือวิเคราะห์ปริมาณความเข้มข้น จำนวนของอนุภาคนาโนแบบใช้หลักการวัดประจุไฟฟ้าสถิตขึ้นเองภายในประเทศ จากการ ประยุกต์ใช้องค์ความรู้และเทคโนโลยีที่มีอยู่ในปัจจุบัน ซึ่งสามารถทำงานได้ดีในการตรวจสอบศึกษา มลพิษทางอากาศ และการปนเปื้อนของอนุภาคในผลิตภัณฑ์ เทียบเคียงได้กับอุปกรณ์ที่มาจาก ต่างประเทศ และให้กะทัดรัด น้ำหนักเบา ขนาดเล็ก ทนทาน โดยจะใช้วัสดุอุปกรณ์ ฝีมือ และ เครื่องจักรในการประกอบติดตั้งและสร้างจากภายในประเทศ เพื่อช่วยลดการพึ่งพาการนำเข้าจาก ต่างประเทศ ทำให้ได้อุปกรณ์ที่มีราคาถูกกว่าและสามารถแข่งขันได้กับของต่างประเทศ ซึ่งจะเป็น ประโยชน์ต่อวงการวิชาการและอุตสาหกรรม ที่ปฏิบัติงานเกี่ยวข้องกับการตรวจวัดและควบคุม มลพิษทางอากาศ ไม่ว่าจะเป็น กรมควบคุมมลพิษ สถาบันวิจัยทางอนุภาคในบรรยากาศ งานทาง สาธารณสุข ศูนย์นาโนเทคโนโลยีแห่งชาติ สถานศึกษาที่มีการเรียนการสอนหรืองานวิจัยเกี่ยวกับ ศาสตร์และเทคโนโลยีอนุภาค ห้องสะอาด (clean room) ของโรงงานอุตสาหกรรมการผลิตไมโคร อิเล็กทรอนิกส์และอื่นๆ ที่ต้องการการตรวจวัดปริมาณอนุภาคในอากาศอย่างต่อเนื่อง การตรวจ

วิเคราะห์อนุภาคไอเสียจากเครื่องยนต์และการเผาไหม้ และกลุ่มนักวิจัยหรือบริษัทที่พัฒนาเครื่องดัก กรองผงฝุ่นและอนุภาคในอากาศ

1.2 การทบทวนวรรณกรรม

การศึกษาสุ่มตัวอย่างเพื่อตรวจวัดขนาดและปริมาณของอนุภาคจุลสารในอากาศ มีอยู่อย่าง แพร่หลาย เช่น (Chen et al. 1997; Balachandran et al. 2000; Tippayawong et al. 2002) ซึ่งมี ทั้งการวิเคราะห์ปริมาณความเข้มข้นของจำนวนและมวลต่อปริมาตรอากาศ ซึ่งเป็นงานที่เกี่ยงข้องกับการศึกษาคุณภาพอากาศและ กระจายขนาดของอนุภาคขนาดเล็กด้วย ขณะที่มีตัวอย่างการควบคุมตรวจวัดจำนวนและขนาดอนุภาคเพื่อควบคุมคุณภาพของ ผลิตภัณฑ์ เช่น ในอุตสาหกรรมผลิตชิ้นส่วนไมโครอิเล็กทรอนิคส์ นาโนเทคโนโลยี และเภสัชกรรม 1999) ในส่วนของงานศึกษาวิจัยที่เกี่ยวกับการออกแบบเครื่องมือวิเคราะห์ปริมาณความ เข้มขันจำนวนของอนุภาค มีอยู่ค่อนข้างแพร่หลาย เช่นโดย (Agrawal and Sem 1980; Lehtimaki 1983; Johnson et al. 2002; Kaufman et al. 2002; Wilson et al. 2004; Park et al. 2005) ซึ่งมี การพัฒนามาอย่างต่อเนื่องยาวนาน และได้มีการผลิตออกมาเป็นเครื่องมือ (Flagan 1999) มาตรฐานในการวิเคราะห์ปริมาณความเข้มข้นเชิงจำนวนของอนุภาคเพื่อเชิงพาณิชย์ System Inc. 2002; Thermo-System Inc. 2005) และยังมีการพัฒนาอย่างต่อเนื่อง โดยเฉพาะเรื่อง การปรับปรุงความแม่นยำที่ขนาดอนุภาคที่เล็กมากๆในระดับนาโนเมตร ความสามารถในการวัด และประมวลผลได้อย่างรวดเร็วด้วยเวลาจริง (real-time) สำหรับอุปกรณ์และเครื่องมือวัดปริมาณ ความเข้มข้นจำนวนของอนุภาคที่มีอยู่ในปัจจุบันมีอยู่หลายชนิดด้วยกัน แต่จะยกมากล่าวเฉพาะ บางชนิดที่สำคัญมีการใช้อย่างแพร่หลายและบางอุปกรณ์อยู่ระหว่างการวิจัยพัฒนา Differential Mobility Analyzer (DMA), Condensation Particle Counter (CPC), Electrical Aerosol Analyzer (EAA), Electrical Aerosol Detector (EAD), Ultrafine Particle Measurement System (UPMS), Diffusion charging electrometer (DCE) และ Epiphaniometer โดยรายละเอียด ของเครื่องเหล่านี้มีดังนี้

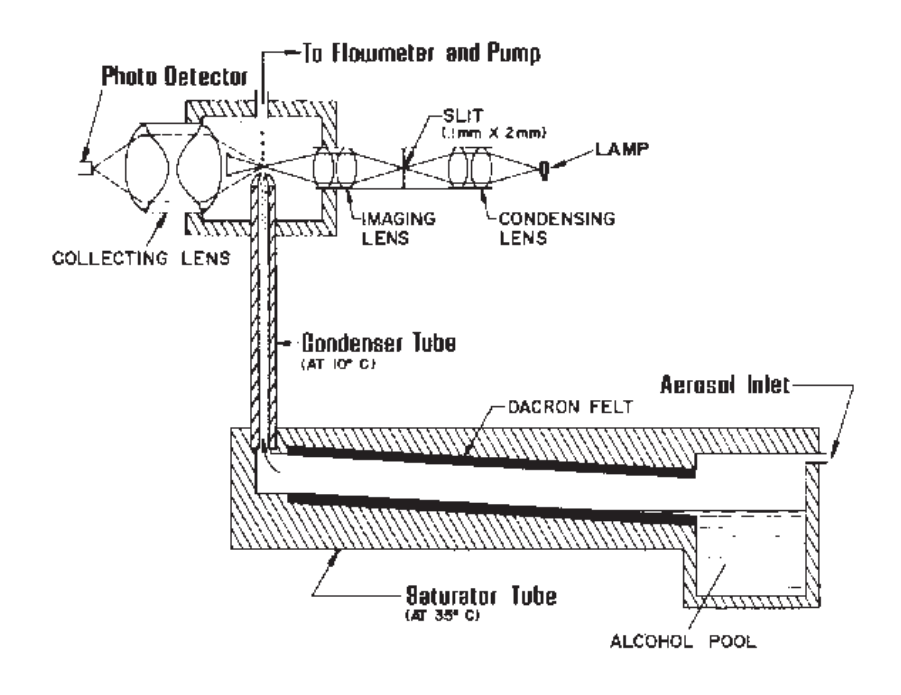
Differential Mobility Analyzer (DMA) เป็นอุปกรณ์ที่ใช้หลักการความสามารถในการ เคลื่อนที่ของอนุภาคภายใต้สนามไฟฟ้า (Intra and Tippayawong 2008) คือเมื่ออนุภาคที่มีประจุ เป็นลบหรือบวกผ่านเข้ามาในสนามไฟฟ้า จะทำให้อนุภาคที่เป็นบวกเคลื่อนที่โค้งเข้าหาขั้วลบและ อนุภาคที่เป็นลบจะเคลื่อนที่โค้งเข้าหาขั้วบวก DMA เป็นอุปกรณ์ที่ใช้สำหรับแยกขนาดของอนุภาค ที่กระจายอยู่ในอากาศ มีลักษณะโครงสร้าง และการทำงานแสดงไว้ดังรูปที่ 1.1 ลักษณะอุปกรณ์เป็น ทรงกระบอกแกนร่วม (two concentric cylinders) ทรงกระบอกด้านในเป็นขั้วบวกและทรงกระบอกด้านใน จะทำให้เกิดสนามไฟฟ้าตรงบริเวณช่องว่างระหว่างทรงกระบอก ในการทำงานจะเริ่มต้นด้วยการอัด ประจุลบให้กับอนุภาคตัวอย่าง ดังนั้นเมื่ออนุภาคเคลื่อนที่เข้ามาในสนามไฟฟ้าดังรูปจะเคลื่อนที่โค้ง เข้าหาขั้วบวกซึ่งอยู่ตรงกลาง อนุภาคที่มีขนาดที่เหมาะสมกับแรงของสนามไฟฟ้าที่กระทำต่อ อนุภาคก็จะเคลื่อนที่เข้าช่องเก็บตัวอย่างซึ่งต่อกับเครื่องนับจำนวนอนุภาค (particle counter) ส่วน



รูปที่ 1.1 ลักษณะโครงสร้างของ DMA (Intra and Tippayawong 2008)

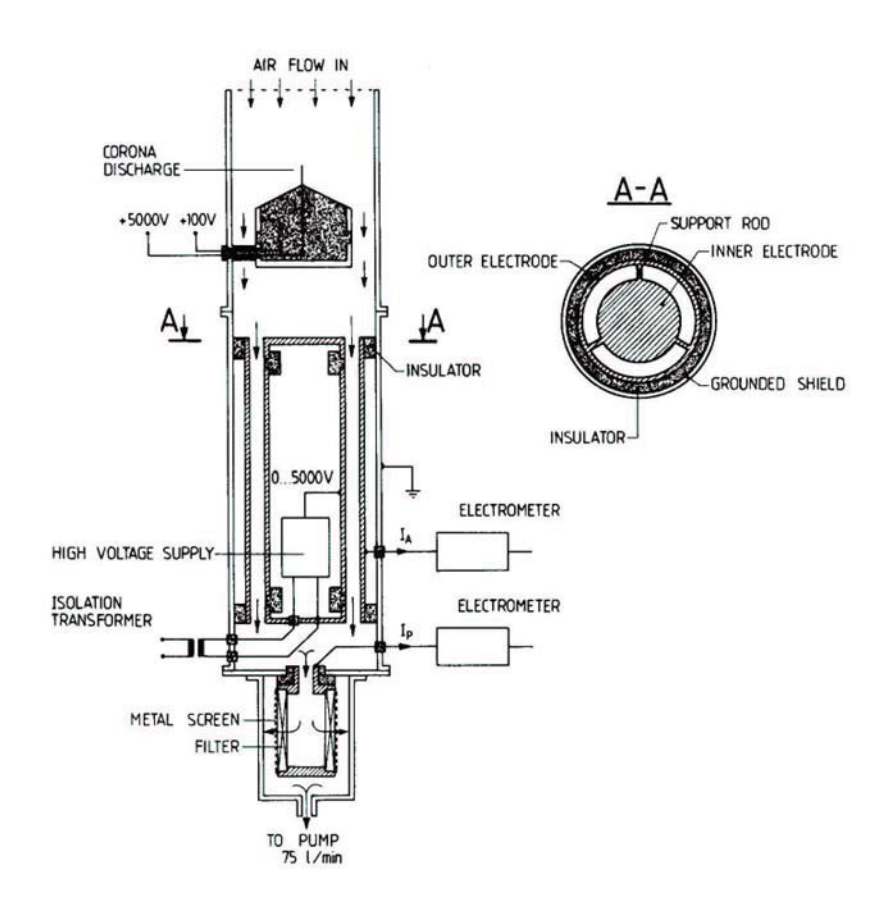
อนุภาคที่มีขนาดเล็กกว่าจะเคลื่อนที่เข้าหาขั้วบวกเร็ว ตกกระทบที่ผิวขั้วบวกก่อนที่จะถึงช่องเก็บ ตัวอย่าง และอนุภาคที่มีขนาดใหญ่กว่าจะเคลื่อนที่ด้วยความเฉื่อยของตัวอนุภาคเองผ่านช่องเก็บ ตัวอย่างออกไปพร้อมกับอากาศสะอาด การคัดขนาดอนุภาคจะทำได้โดยการปรับแรงดันไฟฟ้าที่ จ่ายให้กับขั้วบวก ทำให้แรงทางไฟฟ้าที่กระทำต่ออนุภาคเปลี่ยนไปดังนั้นอนุภาคที่ผ่านเข้าช่องเก็บ ตัวอย่างจะมีขนาดที่ต่างๆกัน แปรผันตามแรงดันไฟฟ้าที่จ่ายให้กับขั้วบวกซึ่งสามารถนำข้อมูลมา ประมวลผลเป็นกราฟแสดงความสัมพันธ์ระหว่างขนาดและจำนวนของอนุภาคได้ ซึ่งเรียกว่า กราฟ ของการกระจายขนาดของอนุภาค

Condensation Particle Counter (CPC) (Agrawal and Sem 1980) เป็นเครื่องนับจำนวน อนุภาคแบบการควบแน่น โดยทั่วไปถูกใช้เป็นเครื่องมือสำหรับการวัดความเข้มขันเชิงจำนวนของ อนุภาครวมทั้งหมด โดยไม่คำนึงถึงขนาดอนุภาค ดังนั้นมันจึงไม่ให้ข้อมูลที่เกี่ยวกับขนาดอนุภาค ลักษณะโครงสร้างของ CPC แสดงไว้ในรูปที่ 1.2 ขณะที่อนุภาคตัวอย่างเข้าไปใน CPC จะมีการ เปลี่ยนสัญญาณเป็นความร้อนจ่ายให้กับอ่างแอลกอฮอล์ จนทำให้แอลกอฮอล์กลายเป็นไอลอยผ่าน ขึ้นไปยังท่อควบแน่น ไอระเหยแอลกอฮอล์จะเกาะตัวลงบนอนุภาคและควบแน่นเป็นหยดอิ่มตัวซึ่งมี ขนาดประมาณ 12 ไมโครเมตร หยดของอนุภาคที่มีแอลกอฮอล์ควบแน่นอยู่จะถูกส่งให้เคลื่อนที่ผ่าน ลำแสงเลเซอร์ และใช้อุปกรณ์ตรวจจับสัญญาณการกระจายของแสงเพื่อนำไปแปลงค่าเป็นจำนวน ของอนุภาคต่อไป ตัวอย่าง CPC ที่นิยมมากคือโมเดล TSI 3010 (Thermo-System Inc. 2002) สามารถ ตรวจสอบอนุภาคได้เล็กถึง 10 นาโนเมตร ที่ความเข้มขันจำนวนถึง 10 อนุภาคต่อ ลูกบาศก์เซนติเมตร ด้วยเวลาการตอบสนองเป็น 1 วินาที ด้วยเวลาการตอบสนองน้อยกว่า 5 วินาที CPC โมเดล 3010 จะมีราคาโดยประมาณ 40,000 เหรียญสหรัฐ



รูปที่ 1.2 ลักษณะโครงสร้างของ CPC (Agrawal and Sem 1980)

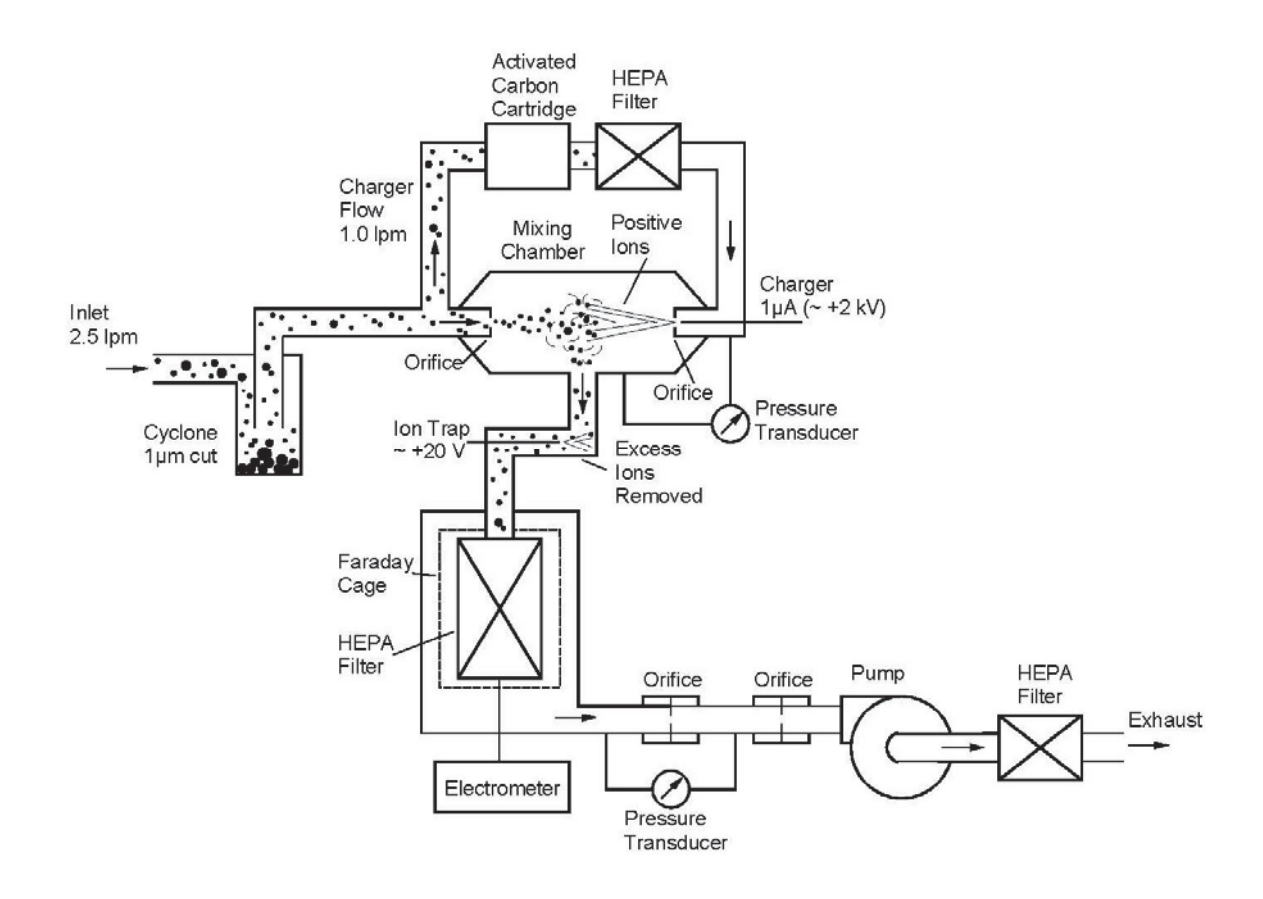
Electrical Aerosol Analyzer (EAA) เป็นเครื่องวิเคราะห์ละอองลอยด้วยวิธีการทางไฟฟ้า ลักษณะเฉพาะของวิธีการนี้เป็นเทคนิคการวัดกระแสไฟฟ้า (Lehtimaki 1983) ที่ทำให้สามารถวัด กระแสไฟฟ้าที่สะสมตัวในเครื่องวิเคราะห์การเคลื่อนตัวได้อย่างต่อเนื่อง ระบบการวัดนี้ประกอบด้วย เครื่องวิเคราะห์การเคลื่อนตัวทางไฟฟ้าอันดับศูนย์ (zeroth-order mobility analyzer) และเซนเซอร์ กระแสไฟฟ้าอิเล็กโทรมิเตอร์ (conventional electrometer current sensor) หลักการของเครื่อง วิเคราะห์การเคลื่อนตัวอันดับศูนย์มีลักษณะคล้ายกับที่ใช้ในเครื่องวัดไอออน (ion meter) โครงสร้าง ของระบบวัดแสดงไว้ในรูปที่ 1.3 ระบบจะประกอบด้วยตัวใส่ประจุไฟฟ้าให้ละอองลอย (aerosol ตัววิเคราะห์การเคลื่อนตัวทางไฟฟ้า (mobility analyzer) และตัวสะสมประจุตัวกรอง (filter charge collector) ตัวใส่ประจุไฟฟ้าให้ละอองลอยมีลักษณะคล้ายกับที่ใช้ในเครื่องตรวจวัด ละอองด้วยวิธีทางไฟฟ้า (electrical aerosol detector, EAD) ในตัวใส่ประจุไฟฟ้าให้ละอองลอยนี้ ไอออนอากาศถูกสร้างขึ้นโดยการโคโรนาดิสซาร์จที่อิเล็กโทรดเข็ม ที่ติดตั้งภายในทรงกระบอกที่มี รัศมี 3.8 เซนติเมตร ตัวสะสมประจุตัวกรองประกอบด้วยตัวกรองที่ถูกแยกออกทางไฟฟ้าและถูก ต่อเข้ากับวงจรขยายอิเล็กโทรมิเตอร์ ตัววิเคราะห์การเคลื่อนตัวทางไฟฟ้ามีลักษณะเป็น ทรงกระบอกซ้อนแกนร่วมที่มีรัศมีด้านใน 2.5 เซนติเมตร และด้านนอก 3.0 เซนติเมตร การไหล อากาศตัวอย่างที่อัตรา 75 ลิตรต่อนาที ผ่านเข้าไปในช่องระหว่างสองอิเล็กโทรด ตัววิเคราะห์การ เคลื่อนตัวถูกติดตั้งอยู่ภายในท่อโลหะที่เป็นกราวด์ วงแหวนฉนวน PTFE (polytetrafluoroethylene) ถูกใช้เพื่อป้องกันตัววิเคราะห์จากความต่างศักย์ไฟฟ้าเป็นกราวด์ และแหล่งจ่ายไฟฟ้าแรงดันสูงถูก ้ติดตั้งอยู่ภายในอิเล็กโทรดด้านในที่มีความยาว 13 เซนติเมตร ระบบนี้สามารถวัดกระแสไฟฟ้าได้ ์ ต่ำถึง 0.01 พิโคแอมป์ (pA) และแรงดันการสะสมตัว (collecting voltage) สามารถปรับได้อยู่ในช่วง 0 - 5000 โวลต์



รูปที่ 1.3 ลักษณะโครงสร้างของ EAA (Lehtimaki 1983)

Electrical Aerosol Detector หรือ EAD (Johnson et al. 2002) เป็นเครื่องมือวัดจำนวน อนุภาคที่อาศัยการอัดประจุแบบแพร่กระจาย (diffusion charging) และตามด้วยการตรวจจับละออง ลอยผ่านวงจรอิเล็กโทรมิเตอร์ที่มีความไวสูง ลักษณะโครงสร้างของ EAD แสดงไว้ในรูปที่ 1.4 โดย ละอองลอยเข้าไปในเครื่องมือวัดด้วยอัตราการไหล 2.5 ลิตร ต่อ นาที การไหลจะถูกแยกผ่านไปยัง ตัวดักกรองและเครื่องสร้างไอออน (ionizer) 1 ลิตร ต่อ นาที และละอองลอย 1.5 ลิตร ต่อ นาที และ การไหลทั้งหมดจะถูกรวมกันใหม่ในห้องผสม (mixing chamber) เมื่ออนุภาคในการไหลของละออง ลอยถูกผสมกับไอออน ทำให้อนุภาคได้รับประจุ (charge state) จากนั้นอนุภาคที่มีประจุจะผ่านเข้า ไปยังตัวดักไอออน (ion trap) เพื่อกำจัดไอออนที่มีความสามารถในการเคลื่อนตัวเชิงไฟฟ้าสูง (electrical mobility) ออกจากการไหล และเคลื่อนที่เข้าไปยัง ฟาราเดย์คลับ (Faraday cup) ทำให้ อนุภาคถูกสะสมตัวบนตัวดักกรองที่เชื่อมต่อเครื่องวัดกระแสต่ำอิเล็กโทรมิเตอร์ เพื่อการวัดประจุ ไฟฟ้า ซึ่งประจุไฟฟ้าที่วัดได้จะสัมพันธ์กับความเข้มข้นจำนวนของอนุภาค

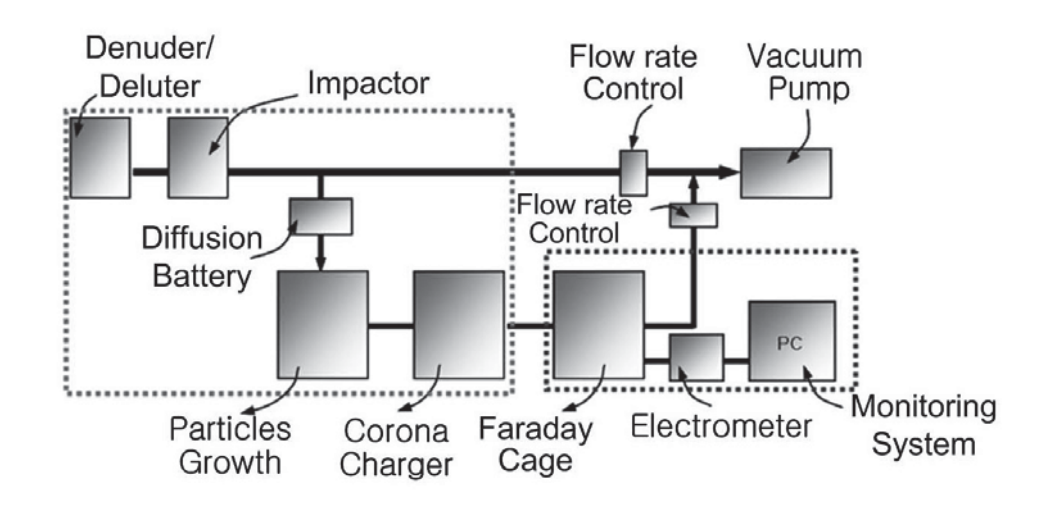
Ultrafine Particle Measurement System (UPMS) (Park et al. 2005) คือระบบการวัด อนุภาคระดับนาโนด้วยการใช้เทคนิคการควบแน่นร่วมการอัดประจุอนุภาค ซึ่งลักษณะโครงสร้าง และส่วนประกอบของ UPMS แสดงไว้ในรูปที่ 1.5 UPMS ประกอบด้วย 5 ส่วน คือส่วนคัดแยก ขนาดอนุภาคทางเข้า (inlet/size separation part) ส่วน Particle Growth ส่วนประจุละออง (aerosol charge) ส่วนการสะสมตัวอนุภาค (particle collection) และส่วนการวัดกระแสไฟฟ้า (current



รูปที่ 1.4 ลักษณะโครงสร้างของ EAD (Johnson et al. 2002)

measurement) การทำงานของ UPMS เริ่มต้นโดยการคัดแยกช่วงขนาดของอนุภาคที่ต้องการวัด ก่อน จากนั้นอนุภาคจะถูกนำเข้าไปในส่วน Particles Growth เพื่อควบแน่นอนุภาคให้มีขนาดใหญ่ ขึ้นและอนุภาคจะถูกอัดประจุด้วยเครื่องอัดประจุอนุภาค (particle charger) แบบโคโรนาดิสชาร์จ (corona discharge) อนุภาคที่มีประจุจะเข้าไปในส่วนของฟาราเดย์เคจ (Faraday cage) และ แอมมิเตอร์ (ammeter) เพื่อวัดกระแสไฟฟ้าระดับต่ำประมาณ 10⁻¹³ แอมป์ ที่เกิดจากการเหนียวนำ โดยอนุภาคที่มีประจุสะสมตัวบนแผ่นดักกรองในฟาราเดย์เคจ และสัญญากระแสไฟฟ้าที่จะถูกเชื่อม ต่อไปยังคอมพิวเตอร์สำหรับแสดงผลข้อมูลอนุภาคในเวลาจริง โดยค่ากระแสไฟฟ้าที่วัดได้จะถูก นำไปแปลงผันไปเป็นความเข้มข้นเชิงจำนวนของอนุภาคด้วยโปรแกรมคอมพิวเตอร์

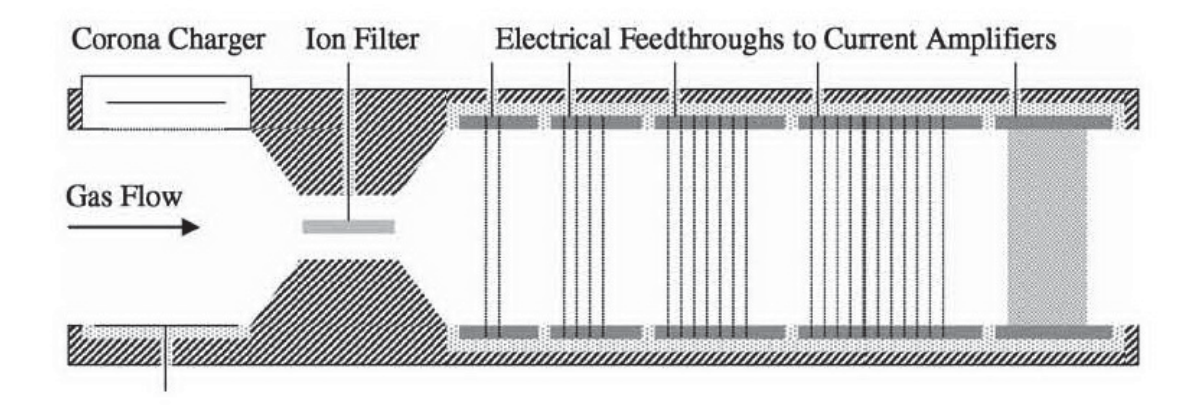
Diffusion charging electrometer (DCE) (Fierz et al. 2002) เป็นเครื่องมือวัดความเข้มข้น จำนวนของอนุภาคอีกแบบหนึ่ง ข้อดีของ DCE เป็นอุปกรณ์ที่มีหลักการทำงานง่ายที่และมีราคาถูก ลักษณะโครงสร้างของ DCE แสดงไว้ดังรูปที่ 1.6 DCE ประกอบด้วยชุดใส่ประจุอนุภาค (particle charger) ตัวกรองไอออน (ion filter) และตัวกรองอนุภาคที่มีประจุ (charged particle filter) โดย DCE จะทำงานโดยอาศัยการใส่ประจุให้กับอนุภาคด้วยวิธีการโคโรนาดิสซาร์จ เมื่ออนุภาคได้รับการ ใส่ประจุจะถูกผ่านเข้าไปยังแผ่นกรองเพื่อวัดกระแสไฟฟ้า ที่ถูกสร้างขึ้นจากการสะสมตัวของอนุภาค บนแผ่นกรองโดยวงจรอิเล็กโทรมิเตอร์ที่มีความไวสูง ซึ่งค่ากระแสไฟฟ้าที่วัดได้จะสอดคล้องกับค่า ความเข้มข้นของอนุภาคที่สะสมตัวอยู่บนแผ่นกรอง



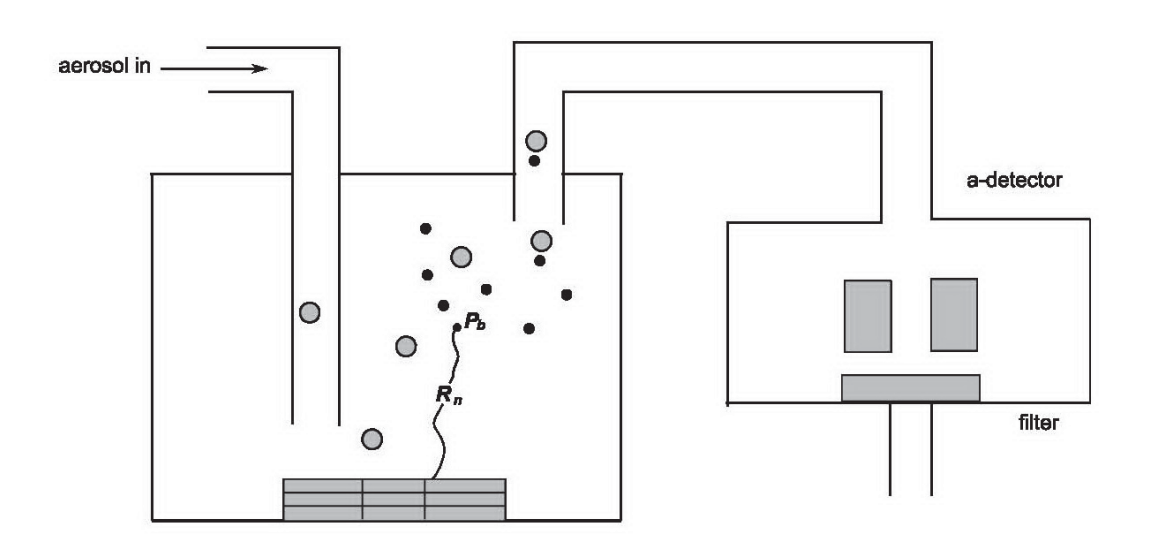
รูปที่ 1.5 ลักษณะโครงสร้างของ UPMS (Park et al. 2005)

Epiphaniometer (Hinds 1999) เป็นอุปกรณ์สำหรับวัดความเข้มข้นของอนุภาค รูปที่ 1.7 แสดงลักษณะโครงสร้างของ Epiphaniometer การทำงานของ Epiphaniometer จะขึ้นอยู่กับการวัด อัตราการเกาะติด (attachment rate) ของอะตอม 211 Pb ธรรมชาติบนพื้นผิวของอนุภาค โดยอะตอม ของ 211 Pb ถูกสร้างขึ้นที่อัตราคงที่โดยการย่อยสลาย (decay) ของ short-lived radon isotope (219 Rn) ที่พุ่งออกจาด long-lived artificial actinium source (227 Ac) ที่ถูกวางในห้องการเกาะติด (attachment chamber) ของ Epiphaniometer อะตอมของ 211 Pb จะเกาะติดกับอนุภาคละอองลอย ที่ถูกผ่านเข้าไป และผ่าเข้าไปยังตัวกรอง โดยอัตราการการเกาะติดจะหาได้โดย α -spectrocopy ผ่านการย่อยสลายของอะตอมของ 211 Pb ซึ่งจะเป็นสัดส่วนกับจำนวนทั้งหมดของอะตอมที่เกาะติด บนพื้นผิวของอนุภาค

จากการตรวจสอบเอกสารงานวิจัยที่เกี่ยวข้องพบว่า เครื่องวิเคราะห์ปริมาณความเข้มข้น เชิงจำนวนของอนุภาคระดับนาโนเมตร มีความสำคัญต่อการศึกษามลพิษทางอากาศและการวัดเพื่อ ควบคุมการปนเปื้อนของอนุภาคในผลิตภัณฑ์ และได้มีการพัฒนาปรับปรุงเครื่องมือสำหรับวิเคราะห์ จำนวนอนุภาคได้อยู่ในช่วงขนาด 1 นาโนเมตร – 10 ไมโครเมตร แต่จากผลงานวิจัยที่ได้ พบว่าเครื่องวิเคราะห์จำนวนอนุภาคแขวนลอยในอากาศที่มีจำหน่ายอยู่ใน ทำการค้นคว้ามาแล้ว ปัจจุบัน มีราคาสูงมากอยู่ในหลักหลายแสนบาท อีกทั้งยังต้องพึ่งพาการนำเข้าจากต่างประเทศเกือบ ทั้งหมด และยังมีปัจจัยอีกหลายอย่างที่มีอิทธิพลต่อสมรรถนะของเครื่องวิเคราะห์จำนวนอนุภาคใน ระดับนาโนเมตรที่ยังไม่มีความเด่นชัด เช่น ผลของประจุค้าง (space charge effect) ของสนามไฟฟ้าและลักษณะของสนามการใหลภายในเครื่องมือวัด (flow and electric fields) และ ความไม่สมบูรณ์ของพื้นผิวของขั้วอิเล็กโทรด (electrode acentricity) ภายในชุดใส่ประจุของอนุภาค ในโครงการวิจัยนี้จะทำการพัฒนาต้นแบบเครื่องมือวิเคราะห์จำนวนอนุภาคด้วยวิธีการวัด ประจุไฟฟ้าสถิต และทดสอบสมรรถนะในการวัดจำนวนของอนุภาคเปรียบเทียบกับเครื่องมือวัด มาตรฐาน เพื่อให้ได้เงื่อนไขของแบบเครื่องมือวัดที่เหมาะสมต่อการทำงาน ราคา และการยอมรับ ของผู้ใช้เชิงพาณิชย์



รูปที่ 1.6 ลักษณะโครงสร้างของ DCE (Fierz et al. 2002)



รูปที่ 1.7 ลักษณะโครงสร้างของ Epiphaniometer (Hinds 1999)

1.3 โครงของรายงานการวิจัยฉบับสมบูรณ์

โครงสร้างของรายงานการวิจัยฉบับสมบูรณ์นี้จะประกอบด้วย 6 บท คือ ในบทที่ 1 จะ กล่าวถึงความสำคัญของปัญหาและความต้องการพัฒนา การทบทวนวรรณกรรมของเครื่องวิเคราะห์ ปริมาณความเข้มข้นของอนุภาคที่มีอยู่ บทที่ 2 จะเป็นทฤษฎีที่เกี่ยวข้องกับการศึกษาวิจัย บทที่ 3 จะนำเสนอรายละเอียดในการออกแบบและแบบจำลองทางคณิตศาสตร์ของส่วนประกอบย่อยต่าง ๆ ของตันแบบเครื่องวิเคราะห์ฯ ได้แก่ ประกอบด้วย ระบบควบคุมการไหลของของไหล ชุดคัดแยกสิ่ง ปนเปื้อนขนาดใหญ่ ชุดอัดประจุละอองลอยแบบโคโรนา ชุดดักจับไอออน ลูกถ้วยฟาราเดย์ ชุด ตรวจวัดกระแสระดับต่ำ และชุดโปรแกรมบันทึกและประมวลผลข้อมูล ในบทที่ 4 จะกล่าวถึง หลักการทำงานและต้นแบบเครื่องวิเคราะห์ฯ พร้อมทั้งนำเสนอเครื่องมืออุปกรณ์ที่ใช้ในการทดลอง และเรียบวิธีการทดลองของส่วนประกอบย่อยต่าง ๆ และการทดสอบสมรรถนะการทำงานของเครื่อง วิเคราะห์ฯ ในบทที่ 5 บทที่ 6 จะเป็นการรายงานผลการวิจัยและวิจารณ์ผล อันได้แก่ ผลการวิจัยทั้ง ภาคทฤษฎีและการทดลองของอุปกรณ์ประกอบย่อยต่าง ๆ และการทดลองทั้งระบบของเครื่อง วิเคราะห์ฯ และในบทที่ 7 จะเป็นการสรุปผลการศึกษาวิจัยรวมไปถึงข้อเสนอแนะสำหรับการพัฒนา ต่อในอนาคต ส่วนภาคผนวกจะประกอบด้วย สำเนาบทความวิจัยที่ได้รับการตีพิมพ์หรือนำเสนอใน วารสารวิชาการและประชุมวิชาการในระดับชาติและนานาชาติ ร่างบทความวิจัยที่อยู่ระหว่างการ พิจารณา และแบบเทคนิคของอุปกรณ์ประกอบย่อยต่าง ๆของเครื่องวิเคราะห์ฯ

บทที่ 2 หลักการและทฤษฎี

2.1 คุณสมบัติของละอองลอย

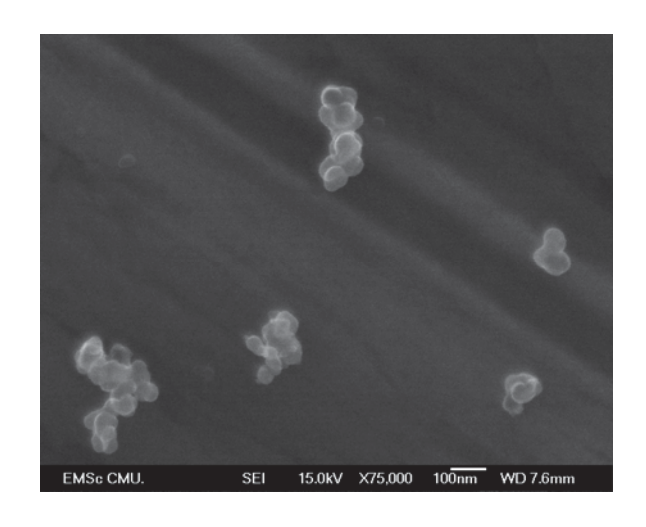
2.1.1 ขนาดของละอองลอย

ละอองลอย (aerosol) ถูกนิยามไว้คืออนุภาค (particle) ที่เป็นของแข็ง (solid) หรือ ของเหลว (liquid) หรือเป็นการรวมกัน (combination) ของทั้งสองที่แขวนลอยในแก๊สหรืออากาศ มีขนาดเส้นผ่านศูนย์กลางอยู่ในช่วงระหว่าง 1 นาโนเมตร (nm) และ 100 ไมโครเมตร (µm) (Hinds 1999) รูปที่ 2.1 แสดงภาพถ่ายของอนุภาคระดับนาโนเมตรโดยทั่วไป ขนาดอนุภาค (particle size) เป็นตัวแปรที่สำคัญที่สุดสำหรับการบ่งบอกถึงพฤติกรรม (behavior) ของละออง ลอย โดยพฤติกรรม องค์ประกอบทางเคมี (chemical composition) คุณสมบัติทางกายภาพ (physical properties) ของอนุภาคละอองลอยเป็นฟังก์ชั่นของขนาดอนุภาค ละอองลอยโดยทั่วไป จะประกอบด้วยจำนวนของอนุภาคที่มีขนาดแตกต่างกัน ละอองลอยที่มีการแจกแจงขนาดเดี่ยว (monodisperse aerosol) โดยการนิยามประกอบด้วยอนุภาคที่มีขนาดเหมือนกันทั้งหมด และ สามารถสร้างได้ในห้องปฏิบัติการสำหรับใช้เป็นละอองลอยในการทดสอบ อย่างไรก็ตาม ละออง ลอยโดยทั่วไปจะมีลักษณะการแจกแจงขนาดหลากหลาย (polydisperse) ที่ช่วงความกว้างของ ขนาดอนุภาค และการวัดทางสถิตควรจะถูกนำมาใช้ในการบ่งบอกคุณลักษณะของขนาดอนุภาค การแจกแจงของขนาดอนุภาคภายในละอองลอย ถูกอ้างเป็นการแจกแจงขนาดของละออง (aerosol size distribution) โดยปกติแล้ว การแจกแจงขนาดของละอองลอยจะถูกอธิบายด้วย ฟังก์ชั่นการแจกแจงแบบ Lognormal (Lognormal distribution function) ซึ่งไม่มีหลักพื้นฐานทาง ทฤษฏีสำหรับการประยุกต์ใช้ฟังก์ชั่นการแจกแจงแบบ Lognormal ดังนั้นฟังก์ชั่นการแจกแจง แบบ Lognormal สามารถหาได้จากสมการต่อไปนี้ (Hinds 1999)

$$df = \frac{1}{\sqrt{2\pi} \ln \sigma_g} \exp\left(-\frac{\left(\ln d_p - \ln \overline{d}\right)^2}{2\left(\ln \sigma_g\right)^2}\right) d\ln d_p$$
 (2.1)

เมื่อ d_p คือขนาดเส้นผ่านศูนย์กลางของอนุภาค \overline{d} คือเส้นผ่านศูนย์กลางเฉลี่ยของจำนวนรวม (count median diameter) และ σ_g คือค่าเบี่ยงเบนมาตรฐานทางเรขาคณิต (geometric standard deviation) หาได้จาก

$$\sigma_g = \exp\left(\frac{\sum n_i \left(\ln d_i - \ln d_g\right)^2}{N - 1}\right)^{1/2}$$
(2.2)



รูปที่ 2.1 ภาพถ่ายของอนุภาคระดับนาโนเมตร

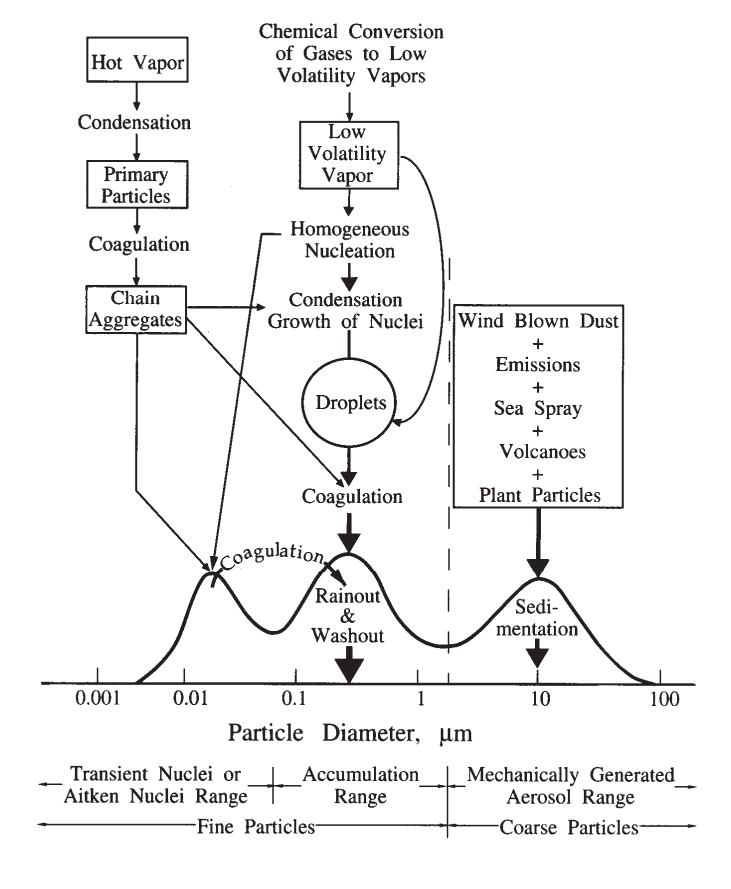
เมื่อ d_s คือขนาดเส้นผ่านศูนย์กลางเฉลี่ยทางเรขาคณิตเชิงจำนวน (number weighted geometric mean diameter) หรือ ขนาดเส้นผ่านศูนย์กลางเฉลี่ยของจำนวนรวมหาได้จาก (Hinds 1999)

$$d_g = \exp\left(\frac{\sum n_i \ln d_i}{N}\right) \tag{2.3}$$

เมื่อ n_i คือจำนวนของอนุภาคในกลุ่ม i ที่มีจุดกึ่งกลางของขนาด d_i และ N คือจำนวนรวมของ อนุภาค (Hinds 1999)

2.1.2 การแจกแจงขนาดของละอองลอย

การแจกแจงขนาดของอนุภาคโดยทั่วไปแล้วสามารถอธิบายได้ 3 โหมด คือ โหมด Nuclei โหมด Accumulation และโหมด Coarse ดังแสดงไว้ในรูปที่ 2.2 ในโหมด Nuclei ประกอบด้วย อนุภาคที่มีขนาดเส้นผ่านศูนย์กลางน้อยกว่า 100 นาโนเมตร อนุภาคในโหมด Nuclei ถูกสร้างขึ้น จากการปล่อยออกมาจากแหล่งที่มาและอนุภาคที่เกิดในบรรยากาศโดยการเปลี่ยนแปลงจากแก๊ส ไปเป็นอนุภาค (gas-to-particle conversion) และกระบวนการควบแน่น (condensation processes) อนุภาคในโหมดนี้จะมีการแจกแจงขนาดของละอองลอยเชิงจำนวน (number weighted aerosol size distribution) เนื่องจากอนุภาคในโหมด Nuclei มีขนาดเล็กและมีมวลน้อย มาก ๆจึงทำให้ไม่มีการแจกแจงขนาดเชิงมวล (mass weighted size distribution) โหมด Accumulation ประกอบด้วยอนุภาคที่มีขนาดเส้นผ่านศูนย์กลางในช่วงขนาดระหว่างประมาณ 100 นาโนเมตร และ 1 ไมโครเมตร เช่น ผลผลิตจากสารอินทรีย์ (organic product) อนุภาคควัน (smog particles) อนุภาคจากการเผาไหม้ (combustion particles) และ อนุภาคในโหมด Nuclei ที่มีการเกาะรวมตัวกันกับอนุภาคในโหมด Accumulation เนื่องจากอนุภาคในโหมดนี้ถูกสร้างขึ้น



รูปที่ 2.2 การแจกแจงขนาดละอองลอยในบรรยากาศ

โดยการเกาะรวมตัวกันของอนุภาคในโหมด Nuclei จึงทำให้มีขนาดที่ใหญ่กว่าและมีจำนวนที่น้อย กว่าจึงมีการแจกแจงขนาดอนุภาคแบบเชิงมวล (mass weighted particle size distribution) สำหรับอนุภาคในโหมด Coarse ประกอบด้วยอนุภาคที่มีขนาดเส้นผ่านศูนย์กลางใหญ่กว่า 1 ไมโครเมตร เช่น ฝุ่น (dust) อนุภาคเกลือ (sea-salt particle) อนุภาคที่ถูกสร้างขึ้นจาก เครื่องจักรกล เช่น การทำเกษตรกรรม การทำเหมืองแร่ ถึงแม้ว่าอนุภาคในโหมด Coarse จะมี มวลมาก แต่อนุภาคเหล่านี้จะมีจำนวนน้อยมากๆเมื่อเทียบกับอนุภาคในโหมด Nuclei และ Accumulation ดังนั้น อนุภาคในโหมดนี้จึงไม่ให้ความสำคัญกับการแจกแจงขนาดทั้งเชิงจำนวน และมวล

2.2 การเคลื่อนของอนุภาคในแก๊ส

2.2.1 ความหนืดของแก๊ส

ความหนืด (viscosity) คือค่าคงที่ของสัดส่วนที่มีความสัมพันธ์ระหว่างความเค้นเฉือน (shear stress) และความเร็วแกรเดียนท์ (velocity gradient) สำหรับลักษณะการไหลของของไหล ที่เป็นไปตามการสันนิษฐานของนิวตัน (Newtonian fluid) คือ

$$F \propto \frac{du}{dv} \tag{2.4}$$

ความหนืดจะมีค่าเท่ากับ 1.81 × 10⁻⁵ Pa.s. สำหรับอากาศที่อุณหภูมิ 20 องศาเซลเซียส ความ หนืดยังสามารถเขียนให้อยู่ในรูปของสัมพันธ์ระหว่างค่าความหนืดอ้างอิง (reference viscosity) ที่ อุณหภูมิอ้างอิง (reference temperature) ได้ดังสมการต่อไปนี้ (Willeke and Baron 1993)

$$\eta = \eta_r \left(\frac{T_r + S}{T + S}\right) \left(\frac{T}{T_r}\right) \tag{2.5}$$

เมื่อ S คือค่าคงที่การประมาณค่าพหุนามต่อเนื่องของ Sutherland (Willeke and Baron 1993) จากสมการที่ 2.5 จะเห็นว่าความหนืดจะเป็นอิสระหรือไม่ขึ้นอยู่กับความดัน

2.2.2 ตัวเลขเรย์โหลด์ของอนุภาค

$$R_{e_p} = \rho \frac{Vd_p}{\eta} \tag{2.6}$$

เมื่อ ρ คือความหนาแน่นของของไหล V คือความเร็วเฉลี่ยของของไหลต่ออนุภาค $d_{_p}$ คือ ขนาดเส้นผ่านศูนย์กลางของอนุภาค และ η คือค่าความหนืดสัมบูรณ์ของของไหล ตัวเลขเรย์ โนลด์ของอนุภาคคืออัตราส่วนของแรงเนื่องจากความเฉื่อย (inertial force) ต่อแรงเนื่องจากความหนืด (viscous force) หรือแรงเสียดทาน (frictional force) ที่กระทำบนอนุภาค ปกติแล้ว ถ้า $R_{e_p} < 1$ การไหลล้อมรอบอนุภาคสามารถอธิบายเป็นการไหลแบบราบเรียบ (laminar flow) ซึ่ง จำเป็นสำหรับการใช้งานในการศึกษานี้

2.2.3 กฎของสโตกส์และตัวชดเชยคันนิงแฮม

เมื่ออนุภาคละอองเคลื่อนที่ด้วยความเร็วสุทธิ (net velocity) V_p ด้วยสัมพันธ์กับแก๊สพา (carrier gas) ที่แขวนลอยอยู่ อนุภาคจะอยู่ภายใต้แรงเสียดลากเชิงอากาศพลศาสตร์ (aerodynamic drag force) F_D แรงเสียดลากนี้หาได้จากกฎของสโตกส์ (Stoke's law) แสดงดัง สมการที่ 2.7

$$F_D = 3\pi\mu V_p d_p \tag{2.7}$$

เมื่อ μ คือค่าความหนืดของแก๊ส โดยกฎของสโตกส์เป็นวิธีการจำเพาะของสมการ Navier-Stokes โดยการสมมุติให้แรงเนื่องจากความเฉื่อยมีค่าน้อยเมื่อเทียบกับแรงเนื่องจากความหนืด มี ค่าตัวเลขเรย์โนลด์ของอนุภาคน้อยกว่าประมาณ 1 การเคลื่อนที่ที่คงที่ของอนุภาคที่มีรูปร่างแข็ง ไม่ยืดหยุนไม่มีผนังกั้นหรืออนุภาคอื่นๆใกล้เคียง เป็นของไหลที่อัดตัวไม่ได้และความเร็วของของ ไหลเป็นศูนย์ที่พื้นผิวของอนุภาค เมื่ออนุภาคมีขนาดใกล้กับระยะการเคลื่อนที่อิสระเฉลี่ยของแก๊ส (gas mean free path) แรงต้านทานของแก๊สจะกระทำต่ออนุภาคอย่างไม่ต่อเนื่องและอนุภาคจะ "ฉิ่นไถล(slip)" ที่พื้นผิวระหว่างโมเลกุลของแก๊ส (ได้แก่ความเร็วของของไหลที่ล้อมรอบพื้นผิว อนุภาคจะไม่เป็นศูนย์) เพื่อทำการนับรวมสำหรับค่าฉื่นไถลของพื้นผิวนี้ จึงมีความจำเป็นต้องใช้ ตัวชดเชย (correction factor) กับสมการของกฎของสโตกส์ เพื่ออธิบายความเร็วที่อนุภาคตกเร็ว ขึ้น ตัวชดเชยนี้ มีชื่อเรียกว่า ตัวชดเชยของคันนิงแฮม (Cunningham slip correction factor) C_{c} (Cunningham, 1910) แสดงดังสมการที่ 2.8 – 2.10

$$F_D = \frac{3\pi\mu V_p d_p}{C_c} \tag{2.8}$$

$$C_c = 1 + \frac{\lambda}{d_p} \left[2.514 + 0.8 \exp\left(-0.55 \frac{d_p}{\lambda}\right) \right]$$
 (2.9)

$$\lambda = \lambda_r \left(\frac{101.3}{P}\right) \left(\frac{T}{293.15}\right) \left(\frac{1+110/293.15}{1+110/T}\right) \tag{2.10}$$

เมื่อ C_c คือตัวชดเชยของคันนิงแฮม λ คือค่าเฉลี่ยระยะการเคลื่อนที่อิสระของแก๊ส λ_r คือ ค่าเฉลี่ยการเคลื่อนที่อิสระของอากาศ (ที่สภาวะมาตรฐานมีค่าเท่ากับ 0.0665 µm) P คือความ ดันของของไหล โดยความเร็วการตกสุดท้าย (terminal settling velocity) V_{TS} ของอนุภาคที่ ลอยตัวในแก๊สนิ่งสามารถหาได้โดยสมการแรงเสียดลากสโตกส์ (Stoke's drag force) ต่อแรงโน้ม ถ่วง ($F_D=F_G$) ความเร็วการตกสุดท้ายนี้ สามารถคำนวณได้จาก

$$V_{TS} = \frac{\rho_p d_p^2 g C_c}{18\mu}$$
 (2.11)

เมื่อ ρ_p คือความหนาแน่นของอนุภาค และ g คือความเร่งเนื่องจากแรงโน้มถ่วง (มีค่าเท่ากับ 9.81 m/s²) ความเร็วการตกจะไม่มีความสำคัญสำหรับอนุภาคที่มีขนาดเล็กกว่า 1 ไมโครเมตร ความเร็วของอนุภาคจะแปรผันโดยตรงกับแรงที่กระทำต่ออนุภาค ตัวคงที่ที่ทำให้ความสัมพันธ์นี้ เท่ากันมีชื่อเรียกว่าความสามารถในการเคลื่อนตัวของอนุภาค (particle mobility) B นิยามเป็น อัตราส่วนของความเร็วอนุภาคต่อแรงเสียดลากที่กระทำบนอนุภาค แสดงดังสมการที่ 2.12

$$B = \frac{C_c}{3\pi\mu d_p} \tag{2.12}$$

เมื่อขนาดเส้นผ่านศูนย์กลางใช้เป็นของเส้นผ่านศูนย์กลางเชิงอากาศพลศาสตร์ (aerodynamic diameter)

2.2.4 กลไกเชิงเฉื่อย

การไหลโค้งของกระแสละออง สามารถปล่อยให้อนุภาคแขวนลอยไหลไปตามเส้นทางที่ ผิดแผกจากเส้นทางไหลของแก๊สรอบ ๆได้ เหตุที่เป็นเช่นนี้เพราะอนุภาคแขวนลอยมีความเฉื่อย มากกว่า จึงไม่อาจเลี้ยวโค้งได้ทันที่ ดังนั้น วัตถุที่วางขวางกั้นเส้นทางไหลของกระแสละอองจะ เก็บอนุภาคเหล่านี้ได้ ในการวิเคราะห์การเกาะจับของอนุภาคจากกระแสการไหลลงบนสิ่งกีด ขวาง ถ้าทำการวิเคราะห์โดยถือว่าอนุภาคมีขนาดเล็กมาก ๆในกระแสแก๊ส แต่มีมวลมากกว่ามวล ของแก๊ส กลไกการกำจัดอนุภาคนี้จะเรียกว่าการตกกระทบ (impaction) ในกรณีที่คำนึงถึงขนาด อนุภาคและมีการคำนวณเส้นทางบินของอนุภาค (particle trajectory) รอบ ๆ สิ่งกีดขวางนั้น เพื่อ ดูว่าเกิดการสัมผัสระหว่างอนุภาคกับผิวของสิ่งกีดขวางหรือไม่ กลไกการกำจัดอนุภาคนี้เรียกว่า การสกัดกั้น (interception) ในบางครั้งอาจมีความจำเป็นต้องคำนึงถึงกลไกการตกกระทบและ กลไกการสกัดกั้นพร้อม ๆกันในการวิเคราะห์ประสิทธิภาพการกำจัดอนุภาค โดยประสิทธิภาพของ อนุภาคถูกกำจัดออกจากกระแสการไหลของละอองโดยการตกกระทบ จะเป็นฟังก์ชั่นของตัวเลขสโตกส์ (Stoke's number) Stk สามารถคำนวณได้จาก

$$Stk = \frac{S}{d_c} = \frac{\rho_p d_p^2 V_f C_c}{18 \mu d_c}$$
 (2.13)

$$S = m_p B V_0 \tag{2.14}$$

เมื่อ d_c คือขนาดลักษณะเฉพาะ (characteristic dimension) ของสิ่งก็ดขวาง V_f คือความเร็ว ของของใหล S คือระยะหยุดของอนุภาค (stop distance of particle) m_p คือมวลของอนุภาค V_0 คือความเร็วเริ่มต้นของอนุภาคที่เวลาเท่ากับศูนย์ เมื่อนิยามสโตกส์ของขนาดเส้นผ่าน ศูนย์กลางของอนุภาคถูกใช้ จากการทดลองการสูญเสียเนื่องการตกกระทบจะเกิดขึ้นเฉพาะ สำหรับอนุภาคที่มีตัวเลขสโตกส์มากกว่า 0.6 และการตกกระทบจะมีความสำคัญเฉพาะสำหรับ อนุภาคที่มีขนาดเส้นผ่านศูนย์กลางใหญ่กว่า 1 ไมโครเมตร)

2.2.5 การเคลื่อนที่แบบบราวเนียนและการแพร่กระจาย

อนุภาคใดๆ ที่แขวนลอยอยู่ในอากาศจะถูกชนอย่างต่อเนื่องโดยโมเลกุลของอากาศ ซึ่ง เหตุการณ์ที่ไม่มีกฎเกณฑ์เหล่านี้แสดงให้เห็นว่า อนุภาคมีการเคลื่อนที่อย่างไม่มีกฎเกณฑ์อย่าง ต่อเนื่อง หรือการเคลื่อนที่แบบบราวเนียน (Brownian motion) การเคลื่อนที่แบบบราวเนียนที่ใช้ กับอนุภาคเดี่ยวเป็นกระบวนการในระดับโมเลกุล เมื่อระบบถูกสังเกตเป็นโครงสร้างที่เป็นกลุ่ม ก้อนใหญ่ กับจำนวนทั้งหมดของอนุภาคของการเปลี่ยนแปลงขนาด กระบวนการนี้ถูกเรียกว่าการ แพร่กระจาย (diffusion) การเปรียบเทียบการกระจัดในระดับโมเลกุลของจำนวนทั้งหมดของ อนุภาคที่เกิด โดยการเคลื่อนที่แบบบราวเนียนกับการแพร่กระจายถูกอธิบายโดยกฎของ Fick's ดังนี้

$$J = -D \cdot \frac{dn}{dx} \tag{2.15}$$

เมื่อ J คือฟลักซ์ของอนุภาค (particles flux) dn/dx คือแกรเดียนท์ความเข้มข้นของอนุภาค (particle concentration gradient) และ D คือสัมประสิทธิ์การแพร่กระจาย (diffusion coefficient) D จะสัมพันธ์กับขนาดอนุภาคดังนี้ (Hinds, 1999)

$$D = kTB = \frac{kTC_c}{3\pi\mu d_p} \tag{2.16}$$

ถ้าขนาดเส้นผ่านศูนย์กลางของอนุภาคมีค่าลดลงฟลักซ์การแพร่กระจายบราวเนียน (Brownian diffusional flux) จะมีแนวโน้มเพิ่มขึ้น ซึ่งหมายความว่าอนุภาคที่มีขนาดใหญ่จะมีการ แพร่กระจายช้ากว่าอนุภาคที่มีขนาดเล็ก ตัวอย่างเช่น อนุภาคขนาด 100 นาโนเมตร ภายใต้ เงื่อนไขอากาศล้อมรอบจะมีความเร็วในการแพร่กระจายเฉลี่ยเท่ากับ 14 cm/sec ขณะที่อนุภาค ขนาด 10 นาโนเมตร ภายใต้เงื่อนไขเดียวกันจะมีความเร็วในการแพร่กระจายเฉลี่ยเท่ากับ 440 cm/sec ดังนั้นการแพร่กระจายบราวเนียนต้องนำมาคิดรวมกับการสูญเสียของอนุภาคในระบบ การเตรียมตัวอย่างละอองด้วย

การเคลื่อนที่แบบแพร่ในการศึกษานี้ คือ ความสัมพันธ์ที่เกิดขึ้นในเครื่องคัดแยกขนาด อนุภาคเมื่ออนุภาคถูกผลักด้วยแรงทางไฟฟ้าสถิตตลอดเส้นโคจร (trajectory) ระยะการเคลื่อนที่ แบบบราวเนียนจะนำไปสู่ระยะการเคลื่อนที่สุทธิแบบไร้ทิศทาง (random net displacement) ที่ เสริมเข้าไปบนเส้นโคจรปกติเนื่องจากการเคลื่อนที่ไฟฟ้าสถิต โดยผลสุทธิของการเคลื่อนที่แบบบ ราวเนียนที่เสริมขึ้นจะมีอิทธิพลต่อเส้นโครจรของอนุภาค โดยค่าเฉลี่ยกำลังสอง (root mean square) ของระยะการเคลื่อนที่บราวเนียน \bar{x} ในช่วงคาบเวลา t หาได้จาก

$$\overline{x} = \sqrt{2Dt} \tag{2.17}$$

2.2.6 การเคลื่อนที่อนุภาคภายใต้สนามไฟฟ้า

เมื่ออนุภาคละอองที่มีประจุไฟฟ้าสถิตสุทธิ (net electrostatic charge) อยู่ภายใต้ สนามไฟฟ้าที่มีความเข้ม E อนุภาคที่มีประจุจะได้รับแรงกระทำเชิงไฟฟ้าสถิตสุทธิ (net electrostatic force) F_E ที่กระทำต่ออนุภาคสามารถคำนวณได้จาก

$$F_E = n_p e E ag{2.18}$$

เมื่อ n_p คือจำนวนประจุที่อยู่บนอนุภาค e คือค่าประจุของอิเล็กตรอน (1.6×10⁻¹⁹C) และ E คือ ความเครียดสนามไฟฟ้า ถ้าไม่มีแรงภายนอกอื่นใด ๆ มากระทำ (โดยทั่วไปแล้วสำหรับอนุภาค ระดับนาโนเมตรแรงทางไฟฟ้าสถิตจะมีค่ามากกว่าแรงโน้มถ่วงคือ F_E >> F_G) แรงทางไฟฟ้า สถิตจะสมดุลโดยแรงเสียดลากสโตกส์ F_D และมีค่าตัวเลขเรย์โนลด์ของอนุภาคน้อยกว่าประมาณ 1 จะได้สมการเชิงอนุพันธ์ของการเคลื่อนย้ายของอนุภาคภายใต้สนามไฟฟ้าคือ

$$m_p \cdot \frac{dV_p}{dt} = \frac{3\pi\mu d_p}{C_c} \cdot V_p + n_p eE \tag{2.19}$$

เมื่อ $m_{_p}$ คือมวลของอนุภาค และ $V_{_p}$ คือความเร็วในการเคลื่อนย้ายของอนุภาค สมมุติให้อนุภาค มีลักษณะเป็นทรงกลมจะสามารถคำนวณหามวลของอนุภาคที่เป็นฟังก์ชั่นของขนาดเส้นผ่าน ศูนย์กลางได้จาก

$$m_p = \frac{\pi}{6} \cdot \rho_p \cdot d_p^3 \tag{2.20}$$

ทำการอินทิเกรตสมการที่ 2.19 จะได้ความเร็วในการเคลื่อนย้ายเชิงไฟฟ้าสถิตบั้นปลาย (terminal electrostatic velocity) $V_{\scriptscriptstyle TE}$ สามารถคำนวณหาได้จาก

$$V_{TE} = \frac{n_p e E C_c}{3\pi\mu d_p} \tag{2.21}$$

จากสมการที่ 2.21 สามารถเขียนให้อยู่ในรูปของความสามารถในการเคลื่อนตัวอนุภาคเชิงกล (mechanical particle mobility) B แสดงได้โดย

$$V_{TE} = n_p e E B \tag{2.22}$$

แนวโน้มของอนุภาคที่ได้รับประจุเคลื่อนที่ภายใต้สนามไฟฟ้า ถูกเรียกว่าเป็นความสามารถในการ เคลื่อนตัวทางไฟฟ้า (electrical mobility) Z_p ($\text{m}^2/\text{V.s.}$) และมีความสัมพันธ์โดยตรงกับ ความสามารถในการเคลื่อนตัวอนุภาคเชิงกล B แสดงดังสมการที่ 2.23

$$Z_{p} = \frac{V_{TE}}{E} = n_{p}eB = \frac{n_{p}eC_{c}}{3\pi\mu d_{p}}$$
 (2.23)

2.3 ทฤษฎีการไหลของของไหล

2.3.1 สมการการไหลของของไหล

การไหลของของไหล (fluid flow) ภายในเครื่องวิเคราะห์ความเข้มข้นเชิงจำนวนของ อนุภาคในการศึกษานี้ จะสมมุติให้การไหลภายในเป็นการไหลแบบสมมาตรกับแกน (axisymmetric) แบบราบเรียบ (laminar) แบบรูปร่างของความเร็วพัฒนาไปจากเดิมอย่างเต็มที่ (fully developed) และแบบไม่ยุบตัวตามความดัน (incompressible) โดยสมการความต่อเนื่อง (continuity equation) และสมการ Navier-Stokes แบบไม่ยุบตัวตามความดัน (incompressible Navier-Stokes equation) ได้ถูกนำมาใช้ในการคำนวณเชิงตัวเลขของสนามการไหลภายใน เครื่องวิเคราะห์ขนาดอนุภาคนี้ ซึ่งสามารถเขียนให้อยู่ในรูปของสมการเชิงอนุพันธ์ย่อย (partial differential equation, PDE) ในระบบพิกัดทรงกระบอก (cylindrical coordinate system) แบบ 2 มิติได้ดังนี้

สมการความต่อเนื่อง :

$$\frac{1}{r}\frac{\partial}{\partial r}(ru_r) + \frac{\partial}{\partial_z}(u_z) = 0 \tag{2.24}$$

สมการ Navier-Stokes:

สำหรับในแนวแกน (*r*)

$$u_{r}\frac{\partial u_{r}}{\partial r} + u_{z}\frac{\partial u_{r}}{\partial z} - \frac{u_{\theta}^{2}}{r} = -\frac{1}{\rho}\frac{\partial p}{\partial r} + \mu \left(\frac{\partial}{\partial r}\left(\frac{1}{r}\frac{\partial}{\partial r}(ru_{r})\right) + \frac{\partial^{2} u_{r}}{\partial z^{2}}\right) - \mu \frac{1}{r^{2}}u_{r}$$
(2.25)

สำหรับในแนวแกน (z)

$$u_{r}\frac{\partial u_{r}}{\partial r} + u_{z}\frac{\partial u_{z}}{\partial z} = -\frac{1}{\rho}\frac{\partial p}{\partial z} + \mu \left(\frac{1}{r}\frac{\partial}{\partial r}\left(r\frac{\partial u_{z}}{\partial r}\right) + \frac{\partial^{2} u_{z}}{\partial z^{2}}\right)$$
(2.26)

สำหรับในแนวแกน (θ)

$$u_{r}\frac{\partial u_{\theta}}{\partial r} + u_{z}\frac{\partial u_{\theta}}{\partial z} = \mu \left(\frac{1}{r}\frac{\partial}{\partial r}\left(r\frac{\partial u_{\theta}}{\partial r}\right) + \frac{\partial^{2} u_{\theta}}{\partial z^{2}}\right) - \frac{2\mu}{r}\left(\frac{\partial u_{\theta}}{\partial r}\right)$$
(2.27)

เมื่อ u_x , u_y และ u_θ คือความเร็วของของไหลในแนวแกน x, y และ θ ตามลำดับ p คือความ ดันของของไหล และ μ คือความหนืดของของไหล (kinematic viscosity of air)

2.3.2 ตัวเลขเรย์โหลด์และรูปร่างความเร็วของการไหลในท่อ

ตัวเลขเรย์โนลด์ (Reynolds number) คือตัวเลขไร้มิติ (dimensionless number) ที่บ่ง บอกถึงคุณลักษณะการไหลของของไหลผ่านท่อ ในการศึกษานี้การไหลของของไหลภายในเครื่อง วิเคราะห์ฯถูกให้ทำงานที่เงื่อนไขการไหลแบบราบเรียบ (laminar flow condition) ดังนั้นตัวเลข เรย์โนลด์จะต้องอยู่ในระบอบแบบราบเรียบ (laminar regime) สำหรับเครื่องวิเคราะห์ฯที่ใช้โดย ปกติทั่วไป จะเป็นอิเล็กโทรดทรงกระบอกซ้อนแกนร่วม (coaxially cylindrical electrodes) มีการ ไหลแบบวงแหวน (annular flow) และตัวเลขเรย์โนลด์ในรูปทรงเลขาคณิตแบบนี้สามารถคำนวณ ได้จาก

$$Re = \frac{2r_2(1-\kappa)\rho\bar{U}}{\eta}$$
 (2.28)

เมื่อ r_2 คือรัศมีของอิเล็กโทรดทรงกระบอกด้านนอก (outer) κ คือสัดส่วนของเส้นผ่านศูนย์กลาง ของทรงกระบอกด้านในต่อด้านนอก \bar{U} คือความเร็วการไหลเฉลี่ย และ ρ คือความหนาแน่ของ แก๊ส (gas density) ดังนั้นรูปร่างความเร็ว (velocity profile) ในเรขาคณิตการไหลแบบวงแหวนจะ หาได้จาก

$$u(r) = \frac{r_2^2}{4\eta} \left(-\frac{dp}{dz} \right) \left(1 - \frac{r^2}{r_2^2} - \frac{1 - \kappa^2}{\ln(\kappa)} \ln\left(\frac{r}{r_2}\right) \right)$$
 (2.29)

เมื่อ dp/dz คือค่าคงที่ของความดันแกรเดียนท์ (pressure gradient)

2.4 สนามไฟฟ้า

สนามไฟฟ้าและการไหลของกระแสไฟฟ้า (electric field and current flow) สามารถ อธิบายได้จากสมการของ Maxwell's ที่ครอบคลุมสมการปัวส์ซง (Poisson's equation) ของ ศักย์ไฟฟ้า V คือ (Chang $et\ al.\ 1995$)

$$\nabla^2 V = -\frac{\rho}{\varepsilon_0} \tag{2.30}$$

เมื่อ ρ คือความหนาแน่นของประจุ (C/m³) และ ε_0 คือค่าเปอร์มิตติวิตี้ของสุญญากาศหรือที่ว่าง (Free-space permittivity) มีค่าเท่ากับ 8.854 x 10⁻¹² F/m ซึ่งสมการนี้ใช้ได้สำหรับแก๊สภายใต้ สภาวะปกติ ดังนั้นจากสมการที่ 2.30 สามารถเขียนเป็นสมการของลาปลาซ (Laplace's equation) ในระบบพิกัดทรงกระบอกแบบ 2 มิติ คือ

$$\frac{1}{r}\frac{\partial}{\partial r}\left(r\frac{\partial V}{\partial r}\right) + \frac{\partial^2 V}{\partial z^2} + \frac{\rho(r,z)}{\varepsilon_0} = 0$$
(2.31)

ดังนั้นความต่างศักย์ไฟฟ้า (electric potential) ที่ได้ในแนวแกน z และแนวรัศมี r สามารถ คำนวณได้จาก

$$E_r = -\frac{\partial V}{\partial r}, \qquad E_z = -\frac{\partial V}{\partial z}$$
 (3.32)

สมการของลาปลาชสำหรับความต่างศักย์ไฟฟ้า (สมการที่ 2.31 และ 2.32) ไม่สามารถที่จะ คำนวณเชิงวิเคราะห์ (analytical method) ได้ในการศึกษานี้ เนื่องจากความซับซ้อนของรูปทรง เรขาคณิตของเครื่องวิเคราะห์ฯ ดังนั้น ในการคำนวณสนามไฟฟ้าภายในเครื่องวิเคราะห์ฯนี้จะใช้ ระเบียบวิธีเชิงตัวเลข (numerical method) เข้ามาช่วยในการคำนวณ

2.5 การวิเคราะห์สนามไฟฟ้าและสนามการไหล

แบบจำลองการคำนวณเชิงตัวเลข (numerical model) ได้ถูกพัฒนาขึ้นเพื่อใช้ในการ วิเคราะห์สนามไฟฟ้าและสนามการไหลภายในเครื่องวิเคราะห์ฯเพื่อทำให้เกิดความเข้าใจถึงการ ทำงานของเครื่องวิเคราะห์มากยิ่งขึ้น โดยแบบจำลองจะประกอบด้วยสองส่วน คือ แบบจำลองของสนามไฟฟ้า (electric field model) และแบบจำลองของสนามการไหล (flow field model) โดยสมมุติให้การไหลภายในท่อเป็นการไหลแบบสมมาตรกับแกน (axisymmetric) แบบราบเรียบ (laminar) แบบรูปร่างของความเร็วพัฒนาไปจากเดิมอย่างเต็มที่ (fully developed) และแบบไม่ ยุบตัวตามความดัน (incompressible) และไม่มีผลของประจุในอวกาศว่าง ดังนั้นสมการ Navier-Stokes สองมิติแบบไม่ยุบตัวตามความดัน และสมการ Poisson's แบบสองมิติ (2D) จึงนำมาใช้ ในการคำนวณเชิงตัวเลขสำหรับสนามการไหลและสนามไฟฟ้า ตามลำดับ ด้วยโปรแกรมสำเร็จรูป CFDRC ที่ใช้ระเบียบวิธีการหาปริมาตรสืบเนื่อง (finite volume method) หรือที่นิยมเรียกด้วย คำย่อกันว่า FVM ซึ่งเป็นโปรแกรมแก้ไขปัญหาทางด้านพลศาสตร์ของไหล (computational fluid dynamic) พัฒนาขึ้นโดยบริษัท CFD Research Corporation สำหรับวิธีปริมาตรสืบเนื่องที่ใช้การ คำนวณของโปรแกรม CFDRC ™ เป็นระเบียบวิธีการเชิงตัวเลขเพื่อคำนวณหาผลเฉลยของ

ปัญหาที่กำหนดมาให้ โดยการแบ่งโดเมน (domain) ปัญหาออกเป็นหลายเซลล์หรือที่เรียกว่า ปริมาตรควบคุม (control volume) ซึ่งมาขนาดต่างๆกัน แล้วสร้างสมการควบคุม (governing equation) ของแต่ละปริมาตรควบคุมให้สอดคล้องกับสมการเชิงอนุพันธ์ย่อยและเงื่อนไขขอบเขต (boundary condition) ต่างๆ ที่กำหนดมาให้สำหรับปัญหานั้นๆ จากนั้นจึงนำเอาสมการของแต่ละ ปริมาตรควบคุมที่สร้างขึ้นมาได้นี้มาประกอบกันเข้า ก่อให้เกิดระบบสมการพร้อมกันขึ้น (system of simultaneous equations) และจึงทำการแก้ระบบสมการทั้งหมดโดยการอินทิเกรตเชิงตัวเลข ตลอดทั้งเซลล์หรือปริมาตรควบคุม ก่อให้เกิดผลเฉลยที่ต้องการตามตำแหน่งต่างๆของรูปร่าง ปัญหานั้น โปรแกรม CFDRC ใช้วิธีการจัดตัวแปรที่อยู่ศูนย์กลางของเซลล์ที่ตั้งร่วมกัน (colocated cell-centered variable arrangement) ซึ่งหมายความว่าตัวแปรตาม (dependent variable) และคุณสมบัติของวัสดุ (material properties) ทั้งหมดจะถูกเก็บไว้ที่จุดศูนย์กลางของ เซลล์ โดยค่าเฉลี่ยของจำนวนใดๆ ภายในปริมาตรควบคุมจะถูกส่งให้โดยค่าที่จุดศูนย์กลางของ เซลล์

2.6 การเกิดโคโรนาดิสชาร์จในก๊าซและการไหลของกระแสไฟฟ้า

โคโรนาดิสซาร์จ (corona discharge) เป็นส่วนที่สำคัญอย่างหนึ่งของกระบวนการอัด ประจุไฟฟ้าให้กับอนุภาค เพราะเป็นกระบวนการที่สร้างไอออนที่ทำให้อนุภาคได้รับประจุ ปกติ แล้วจะแสดงในรูปของคุณลักษณะของกระแสและแรงดัน (voltage-current characteristics) เมื่อ แรงดันไฟฟ้าสูงกว่าแรงดันเริ่มเกิดโคโรนา (corona onset voltage) กระแสโคโรนา (corona current) จะค่อยๆ เพิ่มขึ้นตามแรงดันไฟฟ้าที่เพิ่มขึ้น โดยแรงดันที่มีค่าสูงสุดจะสร้างประกายโคโรนา (sparkover corona) ดังนั้นเราจำเป็นต้องรู้สนามไฟฟ้าและกระแสไฟฟ้าเพื่อใช้ในการ ออกแบบเครื่องตกตะกอนเพื่อกำจัดอนุภาคออกจากกระแสก๊าซ สนามไฟฟ้าเริ่มเกิดโคโรนา (corona onset field strength) E_0 สามารถคำนวณได้จากสมการของ Peek (1929)

$$E_0 = E_s \left(\delta + A \sqrt{\delta/r_1} \right) \tag{2.33}$$

$$\delta = \frac{T_r}{T} \frac{P}{P_r} \tag{2.34}$$

เมื่อ E_s คือสนามไฟฟ้าเบรกดาวน์ (breakdown field) ในอากาศที่สภาวะปกติ (3.10 imes 10 โวลต์ ต่อ เมตร สำหรับโคโรนาลบ (negative corona) และ 3.37 imes 10 โวลต์ ต่อ เมตร สำหรับโคโรนาลบ (positive corona) A คือค่าคงที่ (0.0301 m $^{1/2}$ สำหรับโคโรนาขั้วลบ และ 0.0266 m $^{1/2}$ สำหรับโคโรนาขั้วบวก) δ คือความหนาแน่นของอากาศที่ความดันบรรยากาศ T_r คือ อุณหภูมิห้องของอากาศที่สภาวะมาตรฐาน T คืออุณหภูมิอากาศขณะทำงาน P_r คือความดัน บรรยากาศที่สภาวะมาตรฐาน และ P_r คือความดันบรรยากาศขณะทำงาน โดยสมการของ Peek's นี้สามารถใช้ได้เฉพาะเจาะจงกับรูปเรขาคณิตแบบทรงกระบอก (cylindrical geometry)

ถ้าเครื่องวิเคราะห์ฯเป็นแบบทรงกระบอกซ้อนแกนร่วมและไม่คิดผลของประจุค้าง แรงดันไฟฟ้าเริ่มเกิดโคโรนา V_0 สามารถคำนวณได้จาก

ค่า

$$V_0 = E_0 r_1 \ln(r_2 / r_1) \tag{2.35}$$

และความหนาแน่นของกระแสไฟฟ้าเฉลี่ย (average current density) j (A/m²) ที่พื้นที่ผิวของขั้ว อิเล็กโทรดด้านนอก ที่มีหน่วยเป็น กระแสไฟฟ้าต่อพื้นที่หนึ่งหน่วย เป็นฟังก์ชั่นของแรงดันไฟฟ้า ที่ขั้วโคโรนาดิสชารจ์ สามารถคำนวณได้จาก (Parker, 1997)

$$j = \frac{4\varepsilon_0 Z_i V(V - V_0)}{r_2^3 \ln(r_2 / r_1)}$$
 (2.36)

เมื่อ Z_i คือค่าความสามารถในการเคลื่อนตัวทางไฟฟ้าของไอออน (ion electrical mobility) มีค่า เท่ากับ 1.4×10^{-4} ตารางเมตรต่อโวลต์วินาที และ ε_0 คือค่าเปอร์มิตติวิตี้ของสูญญูกาศหรือที่ว่าง (free-space permittivity) มีค่าเท่ากับ 8.854×10^{-12} ฟารัดต่อเมตร โดยความหนาแน่นของ กระแสไฟฟ้าในสมการที่ 2.36 ยังสามารถเขียนให้อยู่ในรูปของกระแสไฟฟ้าที่ไหลผ่านพื้นที่ผิวของขั้วอิเล็กโทรดด้านนอก ได้คือ

$$I = \frac{8\pi\varepsilon_0 Z_i V(V - V_0)}{r_2^2 \ln(r_2 / r_1)}$$
 (2.37)

แรงดันที่ทำให้เกิดโคโรนา (flashover voltage) ของโคโรนาขั้วลบที่อิเล็กโทรดที่มีขนาดเส้นผ่าน ศูนย์กลาง (d) มากกว่า 5 × 10⁻² เมตร จะมีค่าเท่ากับ 15d กิโลโวลต์ เมื่อ d มีหน่วยเป็น เซนติเมตร และถ้าเป็นโคโรนาขั้วบวกจะประมาณครึ่งหนึ่งของโคโรนาลบ ปกติแล้วขั้วลบนิยม นำไปใช้งานมากเพราะว่าแรงดันการเกิดโคโรนาที่สูงกว่าจะให้ช่วงของแรงดันทำงานมากกว่า สำหรับการนำไปใช้งานภายในอาคารแล้ว จะนิยมใช้โคโรนาขั้วบวกเพราะขั้วบวกจะสร้างโอโซน ต่ำกว่าขั้วลบ

2.7 ทฤษฎีการอัดประจุอนุภาค

เมื่ออนุภาคละอองลอยเข้าไปในกลุ่มของแก๊สไอออน (gaseous ions) จะทำให้เกิดการ เกาะติดของไอออนบนอนุภาคขึ้นและนำไปสู่การอัดประจุไฟฟ้า (electrical charging) บนอนุภาค ขนาดของประจุจะขึ้นอยู่กับขนาดของอนุภาค (particle size) ความหนาแน่นของไอออน (ion density) และเวลาที่อนุภาคลอยอยู่ในแก๊สไอออนหรือเวลาที่ใช้ในการอัดประจุ (charging time) สำหรับในกรณีที่ไม่มีสนามไฟฟ้าใด ๆปรากฏ อนุภาคจะถูกอัดประจุแบบแพร่กระจาย (diffusion charging) โดยการเคลื่อนที่ไร้ทิศทางบราวเนียน (Brownian random motion) ของไอออนไปยัง อนุภาค ในการอัดประจุแบบแพร่กระจายนี้ การชนกันระหว่างอนุภาคละอองลอยกับไอออนจะถูก

พิจารณาเป็น 3 ระบอบ ซึ่งจะอยู่บนพื้นฐานของตัวเลข Knudsen, $\mathrm{Kn}=\lambda_{_{\!i}}/a$ เมื่อ $\lambda_{_{\!i}}$ คือระยะ การเคลื่อนที่อิสระเฉลี่ยของไอออน (ion mean free path) และ a คือขนาดรัศมีของอนุภาค เมื่อ ตัวเลข Knudsen มีค่าน้อย ได้แก่ Kn << 1 คือกระบวนการจะถูกควบคุมด้วยการแพร่กระจาย โดยค่าสัมประสิทธิ์การรวมกัน (combination coefficient) จะได้มาจากการแก้ปัญหาสมการการ แพร่กระจายในระดับที่มองเห็นได้ด้วยตาเปล่า (macroscopic diffusion equation) สำหรับตัวเลข Knudsen ที่มีค่ามาก (Kn >> 1) จะใช้ทฤษฎีจลน์ของแก๊ส (kinetic theory of gases) ในการหา ค่าค่าสัมประสิทธิ์การรวมกัน อย่างไรก็ตาม ในช่วงตัวเลข Knudsen มีค่าเท่ากับ 1 ใน กระบวนการนี้มีความซับซ้อนมากและมีการพัฒนาวิธีการทำนายขึ้นมาจำนวนมาก อย่างต่อเนื่องเกี่ยวกับไอออนและละอองลอยและได้มีการสร้างสมการกึ่งการทดลอง empirical expressions) ขึ้นมามากมายในช่วงก่อนปี 1950 สำหรับทำนายอัตราการเกาะติดของ ไอออนกับละอองลอย (rate of ion-aerosol attachment) ภายใต้การแพร่กระจายของไอออน โดย Fuchs (1947) เป็นนักวิทยาศาสตร์คนแรกที่ได้พัฒนาทฤษฎีการอัดประจุแบบแพร่กระจายและ ต่อมาได้ถูกพัฒนาอย่างต่อเนื่องโดย Bricard (1949) และ Gunn (1955) ต่อจากนั้นในปี 1962 ถึง 1963 Bricard (1962) และ Fuchs (1963) ได้พัฒนาทฤษฎีการอัดประจุต่อ โดยสมมุติให้ไอออนมี การแพร่กระจายไปยังอนุภาคและทำการแก้ปัญหาสมการการแพร่กระจายใกล้กับอนุภาค ทฤษฎีของ Fuchs เงื่อนไขขอบเขตที่ใช้คือฟลักซ์ (fluxes) เนื่องจากการแพร่กระจายและทฤษฎี จลน์เท่ากันที่รูปทรงกลมมีขอบเขต (limiting sphere) และที่ความหนาแน่นของไอออนไกลจาก อนุภาคเป็นค่าอนันต์ $(n(\infty)$ จะเท่ากับความเข้มข้นของไอออนในปริมาตร) โดยในทฤษฏีนี้ได้รวม แรงจินตภาพทางไฟฟ้า (electrical image force) เข้าไปด้วย ต่อมาในปี 1985 Adachi และคณะ (Adachi et al. (1985)) ได้นำเสนอผลการทดลองที่ไปในทิศทางเดียวกันได้ดีกับทฤษฎีรูปทรง กลมมีขอบเขตของ Fuchs สำหรับอนุภาคในระบอบการส่งผ่าน (transition regime) (Kn ~ 1) เมื่อขนาดอนุภาคมีค่าเท่ากับขนาดของระยะการเคลื่อนที่อิสระเฉลี่ยของไอออน โดยวิธีการแบบ ปกติสำหรับการแก้ปัญหาการอัดประจุแบบแพร่กระจายในแก๊สไอออนแบบขั้วเดียว (unipolar) จะ อยู่บนพื้นฐานของทฤษฏี birth-and-death ที่ถูกนำเสนอโดย Boisdraon and Brock (1970) การ ประมาเมินการกระจายตัวของประจุบนอนุภาคที่มีขนาดเดียว (monodisperse particles) จะได้มา จากการแก้ปัญหาสมการ Differential-Difference Equations (DDEs) ดังนี้ (Biskos 2004)

$$\frac{dN_{p,0}}{dt} = -\beta N_{p,0} N_i \tag{2.38}$$

$$\frac{dN_{p,1}}{dt} = \beta_0 N_{p,0} N_i - \beta_1 N_{p,1} N_i \tag{2.39}$$

$$\frac{dN_{p,n}}{dt} = \beta_{n-1} N_{p,n-1} N_i - \beta_n N_{p,n} N_i$$
 (2.40)

เมื่อ $N_{p,n}$ คือความเข้มข้นจำนวนของอนุภาคละอองลอยที่มีประจุ n N_i คือความเข้มข้นของ ไอออน และ β_n คือสัมประสิทธิ์การรวมกันของไอออนกับอนุภาคที่มีประจุ n สมการสำหรับ สัมประสิทธิ์การรวมกัน (Adachi et al. 1985) อยู่บนพื้นฐานทฤษฎีการอัดประจุของอนุภาคโดย Fuchs (1963) คือ

$$\beta_{n} = \frac{J_{n}}{N_{i}} = \frac{\pi \gamma \overline{c}_{i} \delta^{2} \exp\left(-\frac{\phi(\delta)}{kT}\right)}{1 + \exp\left(-\frac{\phi(\delta)}{kT}\right) \frac{\pi \gamma \overline{c}_{i} \delta^{2}}{4D_{i}a} \int_{0}^{a/\delta} \exp\left(\frac{\phi(a/x)}{kT}\right) dx}$$
(2.41)

เมื่อ

$$x = a/r \tag{2.42}$$

$$\phi(r) = \int_{r}^{\infty} F(r)dr = \frac{pe^2}{4\pi\varepsilon_0 r} - \frac{\varepsilon_1 - 1}{\varepsilon_1 + 1} \frac{e^2}{8\pi\varepsilon_0} \frac{a^3}{r^2(r^2 - a^2)}$$
(2.43)

$$\delta = \frac{a^3}{\lambda_i^2} \left[\frac{\left(1 + \frac{\lambda_i}{a}\right)^5}{5} - \frac{\left(1 + \frac{\lambda_i^2}{a^2}\right)\left(1 + \frac{\lambda_i}{a}\right)^3}{3} + \frac{2}{15}\left(1 + \frac{\lambda_i^2}{a^2}\right)^{5/2} \right]$$
 (2.44)

 $\phi(r)$ คือความต่างศักย์เชิงไฟฟ้าสถิต (electrostatic potential) ของไอออนที่ระยะรัศมี r จากจุด ศูนย์กลางของอนุภาค F(r) คือแรงปฏิกิริยาทางไฟฟ้าสถิตระหว่างไอออนและอนุภาคที่มีประจุ \mathcal{S} คือรัศมีของรูปทรงกลมมีขอบเขต $J_n=dn/dt$ คือฟลักซ์ของไอออนไปยังอนุภาค \mathcal{Y} คือความ เป็นไปได้ของไอออนที่เข้าไปรูปทรงกลมเพื่อชนและโอนย้ายประจุของมันไปยังอนุภาค $\overline{\mathcal{C}}_i$ คือ ความเร็วเชิงความร้อนเฉลี่ยของไอออน (ion mean thermal speed) D_i คือสัมประสิทธิ์การ แพร่กระจายของไอออน (diffusion coefficient of ions) k คือค่าคงที่ของโบร์ทมานน์ (Boltzmann's constant) มีค่าเท่ากับ 1.380658×10^{-23} J/K T คืออุณหภูมิทำงานของระบบ e คือค่าประจุของอิเล็กตรอนมีค่าเท่ากับ 1.6×10^{-19} C ε_0 คือค่าคงที่ของการเป็นฉนวนของ สุญญากาศ (dielectric constant of vacuum) ε_1 คือค่าสภาพยอมทางไฟฟ้าสัมพันธ์ของวัสดุ อนุภาค (relative permittivity of particle material) โดยการแก้ไขปัญหาพร้อม ๆกันของระบบ สมการข้างบนจะได้จำนวนประจุเฉลี่ย (average charge) และการกระจายตัวของประจุบนอนุภาค (charge distribution on particle) ในแต่ละขนาดตามเงื่อนไขการอัดประจุ

อย่างไรก็ตาม เราสามารถที่จะพิจารณากระบวนการของการอัดประจุแบบแพร่กระจาย แบบวิธีอย่างง่ายและพัฒนาทฤษฏีเพื่อประมาณค่าประจุของอนุภาคได้ ซึ่งทำได้โดย White (1951, 1963) ซึ่งเป็นผู้สร้างทฤษฏีโมเลกุลอิสระ (free molecule theory) โดยการพิจารณา ฟลักซ์ของไอออนที่ตกกระทบบนพื้นผิวอนุภาคและใช้การกระจายตัวของโบร์ทมานน์ (Boltzmann distribution) สำหรับการกระจายตัวของไอออนและสามารถเขียนให้อยู่ในรูปแบบเชิงวิเคราะห์ (analytic form) อย่างง่ายได้ สำหรับอนุภาคที่มีขนาดรัศมีใหญ่กว่าระยะการเคลื่อนที่อิสระ การ แพร่กระจายและการชนกันของไอออนกับอนุภาคละอองลอยจะถูกทำนายโดยทฤษฎีจลน์ อัตรา การชนกัน (collision rate) หรือ อัตราการอัดประจุ (charging rate) เป็นสัดส่วนกับความเร็วเชิง ความร้อน (thermal speed) และพื้นที่การจับตัวของอนุภาคละอองลอย ในทฤษฎีของ White's ไอออนจะถูกสมมุติให้มีลักษณะเป็นแท่งต่ออนุภาคหลังจากการชนกัน ซึ่งฟลักซ์ของไอออน J ที่ กระทบบนพื้นที่ผิวของอนุภาคสำหรับอนุภาคที่มีค่าเป็นกลาง (neutral particle) ที่ลอยอยู่ในกลุ่ม ควันของไอออนขั้วเดียวหาได้จาก

$$J = 4\pi a^2 \left(\overline{c_i} \frac{N_s}{4}\right) \tag{2.45}$$

เมื่อ N_s คือความเข้มข้นของไอออนเหนือพื้นผิว การกระจายตัวของไอออนจะหาได้จากการ กระจายตัวของโบร์ทมานน์สำหรับสถานะสมดุล (equilibrium state) ถ้าไม่สนใจแรงจินตภาพ ปฏิกิริยาระหว่างไอออนและอนุภาค โดยการกระจายตัวของโบร์ทมานน์ที่พื้นผิวของอนุภาคหาได้ จาก

$$N_s = N_i \exp\left(-K_E \frac{n_p e^2}{akT}\right) \tag{2.46}$$

เมื่อ n_p คือประจุของอนุภาค และ $K_{\scriptscriptstyle E}=1/4\piarepsilon_0$ แทนสมการที่ 2.46 ลงในสมการที่ 2.45 จะได้

$$J = \pi a^2 \overline{c}_i N_i \exp\left(-K_E \frac{n_p e^2}{akT}\right)$$
 (2.47)

โดยสมการที่ 2.45 เป็นสมการที่ถูกนำเสนอโดย White (1951, 1963) จากสมการที่ 2.47 สามารถอธิบายอัตราการอัดประจุโดยระบบของสมการเชิงอนุพันธ์ดังนี้

$$\frac{dn_p}{dt} = \pi a^2 \overline{c}_i N_i \exp\left(-K_E \frac{n_p e^2}{akT}\right)$$
 (2.48)

กำหนดเงื่อนไขเริ่มต้นคือ $n_p=0$ ที่ t=0 สำหรับการอัดประจุของละอองลอย ค่าประจุเฉลี่ยของ อนุภาคสามารถทำการอินทริเกรตเชิงวิเคราะห์ดังนี้

$$\int_{0}^{n_{p}} \frac{dn_{p}}{\exp\left(-K_{E} \frac{n_{p} e^{2}}{akT}\right)} = \int_{0}^{t} \pi a^{2} \overline{c}_{i} N_{i} dt$$
(2.49)

รูปแบบที่ถูกอินทริเกรตแล้วของสมการข้างบนถูกใช้กันอย่างแพร่หลาย และมีการตีพิมพ์ลงใน หนังสืออ่านมาตรฐาน (Willeke and Baron 1993; Hinds 1999) ดังนั้น ค่าประจุเฉลี่ย n_p ของ การอัดประจุแบบแพร่กระจายในช่วงเวลา t และขนาดเส้นผ่านศูนย์กลางของอนุภาค d_p สามารถหาได้จาก

$$n_p = \frac{d_p kT}{2K_E e^2} \ln \left(1 + \frac{\pi K_E d_p \overline{c}_i e^2 N_i t}{2kT} \right)$$
 (2.50)

เมื่อ d_p คือขนาดเส้นผ่าศูนย์กลางของอนุภาค โดยสมการที่ 2.50 จะใช้สำหรับอนุภาคในระบอบ คอนทรินูอัม (continuum regime) (Kn << 1) และต่อมายังแสดงให้เห็นว่าแบบจำลองนี้เหมาะ เฉพาะระบบโมเลกุลอิสระ (Kn >> 1) (Liu et al. 1967; Gentry and Brock 1967) อย่างไรก็ตาม Brock (1969, 1970) ได้รายงานว่ามีความผิดพลาดที่สำคัญเกิดขึ้นจากสมการที่ 2.50 เนื่องจาก ผลของแรงจินตภาพ ในการศึกษาต่อมา Liu et al. (1967) ได้ทำการปรับปรุงสมการของ White's ซึ่งได้รวมความโค้งของเส้นโคจรของไอออนที่เป็นผลจากประจุไฟฟ้าบนอนุภาค และ Gentry and Brock (1967) ก็ได้แก้ปัญหาสมการการชนกันของโบร์ทมานน์ (Boltzmann's collision equation) เพื่อยืนยันความถูกต้องของสมการของ White's โดยให้ความสนใจที่ $\mathrm{Kn} \to \infty$ อย่างไรก็ตาม การใช้การกระจายตัวของโบร์ทมานน์ในการหาการกระจายตัวของไอออนยังมีข้อเสีย เนื่องจากไม่ มีการชนกันของโมเลกุลที่เป็นกลางกับไอออนในบริเวณใกล้เคียงอนุภาค ดังนั้น Fuchs and Sutugin (1971) ได้แนะนำว่าจะไม่มีการกระจายตัวของโปร์ทมานน์ โดยพวกเค้าได้แนะนำว่า วิธีการของ Keefe et al. (1959) ดีกว่า โดยวิธีการของ Keefe et al. (1959) ได้พิจารณาเส้นโคจร ของไอออนในสนามแรงที่ถูกสร้างโดยประจุของอนุภาค ต่อมา Pui (1976) ได้ทำการรวมฟลักซ์ ไอออนที่ได้มาโดย Keefe et al. (1959) ในสมการและแสดงให้เห็นว่าสมการของพวกเค้าให้ผลที่ ตรงกันกับสมการของ White's สำหรับในกรณีของการอัดประจุแบบแพร่กระจายขั้วเดียว

สำหรับในกรณีที่มีสนามไฟฟ้าปรากฏ ไอออนจะถูกโอนย้ายไปยังอนุภาคที่แขวนลอยอยู่ ตลอดเส้นสนามไฟฟ้า (field line) โดยเส้นสนามไฟฟ้าจะผลักประจุอนุภาคให้มีค่าสูงไปจนกระทั่ง ไม่มีเส้นสนามไฟฟ้าไปยังอนุภาคหรือที่เรียกว่าการอิ่มตัวของประจุ (charge satura-tion) การอัด ประจุแบบนี้เรียกกว่าการอัดประจุสนาม (field charging) โดยผลของสนามไฟฟ้ามีขอบเขตจำกัด ที่ใช้ในพื้นที่การอัดประจุ (charging zone) สามารถประมาณค่าได้จากสมการการอัดประจุแบบ สนามของ White's (White 1963) โดยการอิ่มตัวของประจุ n_s ของอนุภาคในสนามไฟฟ้าหาได้ จาก

$$n_{s} = \left(1 + \frac{2\varepsilon - 1}{\varepsilon + 2}\right) \left(\frac{Ea^{2}}{K_{F}e}\right) \tag{2.51}$$

เมื่อ arepsilon คือค่าคงที่ของการเป็นฉนวนของอนุภาค และ E คือความเข้มของสนามไฟฟ้า ดังนั้น อัตราการอัดประจุแบบสนามสามารถหาได้จากสมการเชิงอนุพันธ์ดังนี้

$$\frac{dn_p}{dt} = n_s K_E e Z_i n_i \left(1 - \frac{n_p}{n_s} \right)^2 \tag{2.52}$$

ถ้าอนุภาคเริ่มตันมีค่าเป็นกลาง จำนวนประจุเฉลี่ยบนอนุภาคที่ได้มาในสนามไฟฟ้าเฉลี่ยจะ สามารถหาได้จาก

$$n_{p} = \left(1 + \frac{2\varepsilon - 1}{\varepsilon + 2}\right) \left(\frac{Ea^{2}}{K_{E}e}\right) \left(\frac{\pi K_{E}eZ_{i}n_{i}t}{1 + \pi K_{E}eZ_{i}n_{i}t}\right)$$
(2.53)

โดยสองเทอมแรกของสมการที่ 2.53 คือสถานะที่ประจุอิ่มตัว ในเทอมแรกจะอยู่บนพื้นฐานค่าคงที่ ความเป็นฉนวนของวัสดุโดยมีค่าอยู่ในช่วง 1 - ∞ ซึ่งค่าคงที่ความเป็นฉนวนมีค่าจาก 1 (อนุภาค ที่เป็นฉนวน) ไปจนถึงค่า ∞ (อนุภาคที่เป็นตัวนำ) โดยส่วนมากแล้วค่าคงที่ความเป็นฉนวนของ อนุภาคจะมีค่าอยู่ในช่วง 1 – 10 ในเทอมที่สองของสมการที่ 2.53 จะอยู่บนพื้นฐานของความเข้ม ของสนามไฟฟ้าและพื้นที่ผิวของอนุภาค ส่วนในเทอมที่สามของสมการที่ 2.53 จะเป็นเวลาที่ใช้ใน กระบวนการอัดประจุ ทั้งการอัดประจุแบบแพร่กระจายและสนามจะเกิดขึ้นในเวลาเดียวกัน ดังนั้น จำนวนประจุของอนุภาคที่ได้ จะเป็นการรวมกันระหว่างจำนวนประจุที่ได้จากการอัดประจุแบบ แพร่กระจายและสนาม (Liu and Kapadia 1975)

2.8 การวัดและการตรวจจับสัญญาณ

การวัดสัญญาณทางไฟฟ้าของอนุภาค (particle electrical measurement) ได้มีการ นำมาใช้อย่างแพร่หลายในเครื่องวิเคราะห์ขนาดละอองลอย (aerosol size spectrometer) และใน การตรวจสอบคุณสมบัติของแก๊สไอออนด้วยเทคนิคใช้หลักการเคลื่อนตัวทางไฟฟ้า โดยวงจรอิ เล็กโทรมิเตอร์ (electrometer circuit) ได้ถูกนำมาใช้เพื่อตรวจจับและวัดค่าความเข้มขัน (concentration) ของไอออนและอนุภาคที่มีประจุที่ถูกสร้างขึ้นในห้องปฏิบัติการและในบรรยากาศ Whitby Aerosol Analyser (WAA) และ Electrical Aerosol Analyser (EAA) เป็นเครื่องวิเคราะห์ ขนาดอนุภาคแบบใช้หลักการเคลื่อนตัวทางไฟฟ้าเครื่องแรก ที่ใช้อิเล็กโทรมิเตอร์กรงฟาราเดย์ (Faraday-cage electrometer) ในการวัดกระแสไฟฟ้าจากอนุภาคที่มีประจุด้านล่างของเครื่องคัด แยกขนาดอนุภาค โดยการวัดกระแสไฟฟ้าจากเครื่องวิเคราะห์ขนาดอนุภาคจะถูกแปลงผันไปเป็น

ความเข้มข้นจำนวนของอนุภาค $N_{_{p}}$ สำหรับอนุภาคละอองลอยแบบ Monodisperse ดังสมการ ต่อไปนี้

$$N_{p} = \frac{I_{p}}{g(n_{p}, d_{p})n_{p}eQ_{a}}$$
 (2.54)

เมื่อ I_p คือกระแสไฟฟ้าที่วัดได้จากอิเล็กโทรมิเตอร์ของเครื่องวิเคราะห์ฯ $g(n,d_p)$ คือความ เป็นไปได้ (probability) ของอนุภาคที่มีขนาดเส้นผ่านศูนย์กลาง d_p ที่ได้รับประจุ n_p และ Q_a คืออัตราการไหลของละอองลอย สำหรับในกรณีของอนุภาคละอองลอยแบบ Polydisperse สมการความเข้มข้นจำนวนของอนุภาคในสมการที่ 2.54 สามารถเขียนใหม่ได้ดังนี้

$$N_{p}(d_{p}) = \sum_{i=1}^{M} \frac{I_{p}}{g(n_{pi}(d_{pi}), d_{pi})n_{pi}(d_{pi})eQ_{a}} \Delta d_{pi}$$
(2.55)

เมื่อ M คือจำนวนของ bin ขนาดอนุภาค d_{pi} คือขนาดเส้นผ่านศูนย์กลางของอนุภาคเฉลี่ยใน i ของ bin และ Δd_{pi} คือความกว้างของ bin ขนาดอนุภาค i ดังสมการที่ 2.54 และ 2.55 การใช้ อิเล็กโทรมิเตอร์เพื่อวัดความเข้มข้นจำนวนของอนุภาค มีข้อเสียคือการตอบสนองของตัวตรวจจับ (sensor) จะถูกจำกัดด้วยจำนวนประจุที่อนุภาคได้รับ ดังนั้น ความไวของอิเล็กโทรมิเตอร์ (electrometer sensitivity) จึงมีความสำคัญอย่างมาก เนื่องจากเป็นตัวกำหนดช่วงของความ เข้มข้นจำนวนของอนุภาคที่เครื่องมือสามารถวัดได้ โดยปกติแล้ว อิเล็กโทรมิเตอร์ที่ใช้ใน เครื่องมือวัดละอองลอยจะมีความไวอยู่ที่ประมาณ 10^{-15} แอมป์ (A) หรือ fA ซึ่งจะสอดคล้องกับ ความเข้มข้นจำนวนของอนุภาคที่ประมาณ 10^2 อนุภาคต่อลูกบาศก์เซนติเมตร สำหรับอัตราการ ไหลปกติที่ใช้ในเครื่องมือวัด

บทที่ **3** การออกแบบตันแบบเครื่องวิเคราะห์ฯ

ในบทที่ 3 นี้จะได้นำเสนอเป้าหมายในการออกแบบและรายละเอียดในการออกแบบ อุปกรณ์ประกอบย่อยในแต่ละส่วนของเครื่องวิเคราะห์ฯ ซึ่งประกอบด้วย ชุดคัดแยกสิ่งปนเปื้อน ขนาดใหญ่ขาเข้า ชุดดักจับไอออน ชุดให้ประจุไฟฟ้ากับอนุภาคแบบโคโรนาเข็ม ลูกถ้วยฟารา เดย์และอิเล็กโทรมิเตอร์ และชุดโปรแกรมบันทึกและประมวลผลข้อมูล โดยมีรายละเอียด ดังต่อไปนี้

3.1 เป้าหมายในการออกแบบทั้งหมด

เป้าหมายในการออกแบบทั้งหมด (overall design goals) ของโครงการวิจัยนี้เพื่อศึกษา และทดสอบสมรรถนะต้นแบบของเครื่องวิเคราะห์ปริมาณความเข้มข้นเชิง จำนวนของอนุภาคแบบใช้หลักการการวัดประจุไฟฟ้าสถิต โดยใช้ เครื่องมือ วัสดุ อุปกรณ์ และ ระบบควบคุม ที่สามารถพัฒนาและหาได้ภายในประเทศ ทดแทนชิ้นส่วนจากต่างประเทศ และ เพื่อให้ได้เงื่อนไขของแบบเครื่องมือวัดที่เหมาะสมต่อการทำงาน ราคา และการยอมรับของผู้ใช้ เชิงพาณิชย์ ดังนั้น เพื่อให้บรรลุเป้าหมายที่ตั้งไว้ เครื่องวิเคราะห์ฯที่จะทำการพัฒนาขึ้นดังกล่าว จะต้องสามารถวิเคราะห์ปริมาณความเข้มข้นเชิงจำนวนของอนุภาค (particle concentration) ได้ต่ำกว่า 10¹⁴ อนุภาคต่อลูกบาศก์เมตร และช่วงขนาดเส้นผ่านศูนย์กลางของ อนุภาคอยู่ในช่วง 10 ถึง 1,000 นาโนเมตร โดยสามารถวิเคราะห์ขนาดอนุภาคที่สภาวะชั่วขณะ (transient) หรืออนุภาคที่มีการเปลี่ยนแปลงทางพลศาสตร์อย่างรวดเร็วได้ ซึ่งเหมาะกับการ นำไปใช้วิเคราะห์ความเข้มข้นของอนุภาคจากไอเสียของเครื่องยนต์หรือเตาเผา ซึ่งเป็นอนุภาค ที่ทำให้เกิดมลพิษทางอากาศ เวลาการตอบสนองในการวัด (time response) ของเครื่อง วิเคราะห์ฯนี้ควรจะน้อยกว่า 1 วินาที และยังสามารถทำการวิเคราะห์และแสดงผลการวิเคราะห์ ได้เป็นระยะเวลายาวนานไม่น้อยกว่า 1 ชั่วโมง โดยไม่มีซ่อมบำรุง หรือการถอดล้าง/เปลี่ยน อุปกรณ์ในขณะทำการวัด เพื่อให้ใช้งานในระดับภาคสนามได้ ดังนั้นเครื่องวิเคราะห์ฯนี้ควรจะมี ขนาดเล็ก น้ำหนักเบา ทนทาน เคลื่อนย้ายได้ง่าย สามารถทำงานในที่ที่มีการสั่นหรือการ เคลื่อนที่ได้ และมีราคาต้นทุนในการสร้างถูก ตารางที่ 3.1 แสดงเกณฑ์ในการออกแบบโดยรวม ของเครื่องวิเคราะห์ยที่จะทำการพัฒนา

จากการทบทวนวรรณกรรมของเครื่องวิเคราะห์ฯ แบบใช้หลักการวัดประจุไฟฟ้าสถิตใน บทที่ 1 จะทำให้ได้ระบบใหม่ที่ง่าย ราคาถูก มีประสิทธิภาพ และมีความน่าเชื่อถือในการ วิเคราะห์ปริมาณความเข้มข้นเชิงจำนวนของอนุภาคนาโน โดยอาศัยแนวความคิดพื้นฐานในรูป ที่ 3.1 โดยขั้นตอนแรกอนุภาคจะถูกคัดแยกขนาดอนุภาคที่เกินช่วงขนาดที่ต้องการวัดออกก่อน จากนั้นอนุภาคจะถูกใส่ประจุให้ โดยวิธีการอัดประจุแบบผสมผสานระหว่างการแพร่และ

ตารางที่ 3.1 เกณฑ์ในการออกแบบโดยรวมของเครื่องวิเคราะห์ขนาดอนุภาคฯ

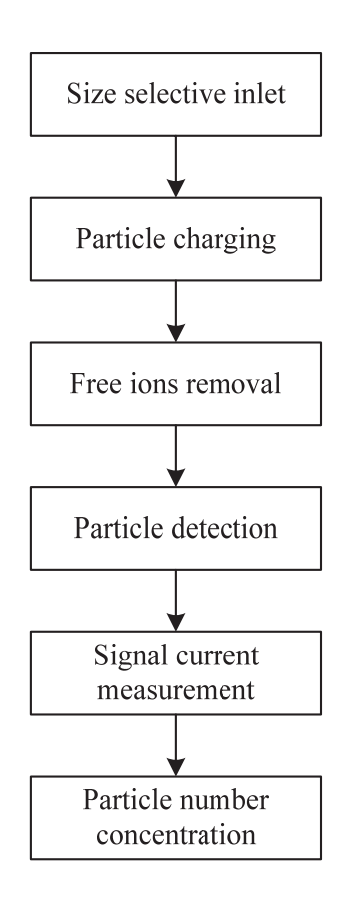
เกณฑ์ในการออกแบบ	คุณสมบัติ
เทคนิคการวิเคราะห์	หลักการทางไฟฟ้าสถิต
ช่วงขนาดเส้นผ่านศูนย์กลางของ	10 ถึง 1,000 นาโนเมตร
อนุภาค	
ความเข้มข้นจำนวนอนุภาค	น้อยกว่า 10 ¹⁴ อนุภาคต่อลูกบาศก์เมตร
อัตราการไหลของอนุภาค	1 ถึง 10 ลิตรต่อนาที
เวลาการประมวลผล	น้อยกว่า 1 วินาที
ชนิดและองค์ประกอบของอนุภาค	สามารถวัดอนุภาคได้ทั้งที่เป็นของแข็ง (solid) และ
	ของเหลว (liquid)
ความสามารถในการวัดและแสดงผล	สามารถทำการวัดอนุภาคได้เป็นเวลายาวนานกว่า 1
	ชั่วโมงโดยไม่มีการถอดล้างหรือถอดเปลี่ยนอุปกรณ์
	ในขณะทำการวัด
ขนาดของเครื่องมือ	สามารถเคลื่อนที่ง่ายเหมาะสำหรับงานภาคสนาม มี
	ขนาดเล็ก น้ำหนักเบา ทนทาน สามารถทำงานในที่มี
	การสั่นหรือการเคลื่อนที่ได้
การซ่อมบำรุง	ชั่วโมงในการทำงานอย่างน้อย 10 ชั่วโมง หลังจากทำ
·	ความสะอาดแล้ว
ราคา	น้อยกว่า 200,000 บาท

สนามไฟฟ้า จากนั้นไอออนที่มีความสามารถในการเคลื่อนตัวทางไฟฟ้าสูงซึ่งปะปนมากับ อนุภาคที่มีประจุ จะถูกดักจับหรือกำจัดออกโดยใช้เทคนิคการตกตะกอนเชิงไฟฟ้าสถิต (electrostatic precipitation method) เพื่อป้องกันมิให้มีผลต่อสัญญาณกระแสไฟฟ้าที่ต้องการ วัด จากนั้นอนุภาคที่มีประจุจะถูกดักกรองด้วยตัวกรองอนุภาคแบบประสิทธิภาพสูงภายในลูก ถ้วยฟาราเดย์และกระแสไฟฟ้าที่เกิดจากการเหนี่ยวนำของอนุภาคที่มีประจุซึ่งสะสมตัวอยู่บนตัว กรองอนุภาคจะถูกวัดโดยวงจรวัดสัญญาณกระแสไฟฟ้าระดับต่ำ โดยค่าความเข้มข้นเชิงจำนวน ของอนุภาคจะถูกแปลงผันมาจากค่าของกระแสไฟฟ้าที่วัดจากวงจรวัดสัญญาณฯ โดย รายละเอียดของการออกแบบส่วนประกอบย่อยต่างๆ รวมไปถึงการวิเคราะห์จะได้นำเสนอใน หัวข้อดังต่อไปนี้

3.2 ชุดคัดแยกสิ่งปนเปื้อนขนาดใหญ่ขาเข้า

3.2.1 ความต้องการในการออกแบบ

ในเครื่องวิเคราะห์ฯนี้ ชุดคัดแยกสิ่งปนเปื้อนขนาดใหญ่ขาเข้า (size selective inlet) จะ ทำหน้ากำจัดอนุภาคที่มีขนาดใหญ่กว่าช่วงขนาด (size range) ที่ต้องการวัดออก เนื่องจาก

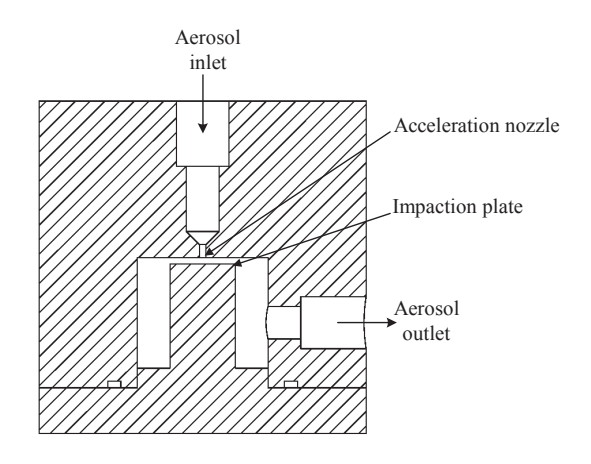


รูปที่ 3.1 หลักการทำงานของต้นแบบเครื่องวิเคราะห์ปริมาณความเข้มข้นเชิงจำนวนของ อนุภาคนาโนแบบใช้หลักการวัดประจุไฟฟ้าสถิต

อนุภาคที่มีขนาดใหญ่เหล่านั้นจะประกอบด้วยประจุที่หลากหลาย (multiple-charged aerosol) โดยอนุภาคที่มีประจุหลากหลายเหล่านี้ จะมีจำนวนประจุเดียวกันกับอนุภาคที่มีขนาดเล็กกว่า ซึ่งจะทำให้อนุภาคที่มีประจุหลากหลายเหล่านี้สามารถถูกวัดและตรวจจับสัญญาณได้พร้อมๆกับ อนุภาคที่มีขนาดเล็กกว่าได้ จึงทำให้สัญญาณไฟฟ้าที่วัดได้จะเป็นผลรวมระหว่างอนุภาคที่อยู่ ในช่วงการวัดและนอกช่วงการวัด โดยแล้วช่วงขนาดอนุภาคที่ต้องการวัดของเครื่องวิเคราะห์ฯนี้ คือ 10 นาโนเมตร ถึง 1 ไมโครเมตร ดังนั้นช่วงขนาดอนุภาคที่ต้องการกำจัดในการศึกษานี้คือ อนุภาคที่มีขนาดใหญ่กว่า 1 ไมโครเมตร

3.2.2 รายละเอียดในการออกแบบ

ลักษณะโครงสร้างของชุดคัดแยกสิ่งปนเปื้อนขนาดใหญ่ขาเข้าที่พัฒนาขึ้นแสดงไว้ดังรูป ที่ 3.2 โดยชุดคัดแยกสิ่งปนเปื้อนขนาดใหญ่ขาเข้าในการศึกษานี้ (Intra, 2008) ชุดคัดแยกฯนี้จะ อาศัยหลักการของความเฉื่อยของการเคลื่อนที่ของอนุภาค โครงสร้างทำจากสแตนเลส (stainless steel) ประกอบด้วย ช่องเร่ง (acceleration nozzle) ที่มีขนาดเส้นผ่านศูนย์กลาง 1.0 มิลลิเมตร และแผ่นตกกระทบ (impaction plate) ที่มีขนาดเส้นผ่านศูนย์กลาง 10 มิลลิเมตร วาง ขวางตรงทางออกของช่องเร่ง โดยมีระยะห่างระหว่างช่องเร่งกับแผ่นกระทบเท่ากับ 1.0 มิลลิเมตร



รูปที่ 3.2 ลักษณะโครงสร้างของชุดคัดแยกสิ่งปนเปื้อนขนาดใหญ่ (Intra, 2008)



รูปที่ 3.3 รูปถ่ายของชุดคัดแยกสิ่งปนเปื้อนขนาดใหญ่ที่สร้างขึ้น (Intra, 2008)

เมื่ออนุภาคละอองลอยไหลผ่านเข้าช่องเร่ง อนุภาคที่มีขนาดใหญ่จะมีความเฉื่อยสูงจะตกกระทบ ที่แผ่นกระทบเพราะไม่สามารถเคลื่อนที่อ้อมผ่านแผ่นกระทบไปได้ ส่วนอนุภาคที่มีขนาดเล็ก พอจะเคลื่อนที่ผ่านแผ่นกระทบไปได้พร้อมกับกระแสการไหลของของไหล โดยขนาดเส้นผ่าน ศูนย์กลางของอนุภาคที่ถูกแยกออก เรียกว่าขนาดเส้นผ่านศูนย์กลางจุดตัดอนุภาค (particle cut-point diameter) ในการศึกษานี้ขนาดเส้นผ่านศูนย์กลางจุดตัดอนุภาคมีค่าเท่ากับ 1.28 ไมโครเมตร ที่อัตราการไหลของละอองเท่ากับ 2.0 ลิตร ต่อ นาที รูปที่ 3.3 แสดงรูปถ่ายของชุด คัดแยกสิ่งปนเปื้อนขนาดใหญ่ที่สร้างขึ้น

3.2.3 การวิเคราะห์เส้นผ่านศูนย์กลางจุดตัดของอนุภาค

ขนาดเส้นผ่านศูนย์กลางของช่องเร่งสามารถคำนวณได้จากตัวเลขสโตกส์ (Stokes number, Stk) ตัวเลขสโตกส์คือตัวแปรไร้มิติ (dimensionless parameter) ที่อธิบายลักษณะการ กระทบ สมการสโตกส์ คือ

$$Stk = \frac{\rho_p C_c d_p^2 U}{9\eta D}$$
 (3.1)

โดยที่ ho_p คือความหนาแน่นของอนุภาค C_c คือตัวชดเชยของคันนิงแฮม d_p คือขนาดเส้นผ่าน ศูนย์กลางจุดตัดอนุภาค U คือความเร็วเฉลี่ยที่ผ่านช่องเร่ง η คือความหนืดของแก๊ส และ D คือขนาดเส้นผ่านศูนย์กลางของช่องเร่ง โดยความเร็วเฉลี่ยที่ผ่านช่องเร่งสามารถคำนวณได้จาก

$$U = \frac{4Q}{\pi D^2} \tag{3.2}$$

แทนสมการที่ 3.2 ลงในสมการที่ 3.1 จะได้

$$Stk = \frac{4\rho_p C_c d_p^2 Q}{9\pi \eta D^3}$$
(3.3)

จากสมการที่ 3.3 จะสามารถคำนวณขนาดเส้นผ่านศูนย์กลางจุดตัดอนุภาคที่ประสิทธิภาพการ สะสมตัว 50 เปอร์เซ็นต์ (d_{50}) (Hinds, 1999)

$$d_{50}\sqrt{C_c} = \sqrt{\frac{9\pi\eta D^3 \text{Stk}_{50}}{4\rho_p Q}}$$
 (3.4)

เนื่องจากตัวชดเชยคันนิงแฮมเป็นฟังก์ชั่นขนาดเส้นผ่านศูนย์กลาง สมการที่ 3.4 จึงไม่สามารถ ที่จะคำนวณโดยวิธีปกติได้ ดังนั้น d_{50} สามารถประมาณจาก $d_{50}\sqrt{C_c}$ โดยใช้สมการที่ได้การ ทดลอง (empirial equation) คือ (Hinds, 1999)

$$d_{50} = d_{50}\sqrt{C_c} - 0.078 \times 10^{-8}$$
 สำหรับ d_{50} ในหน่วยเมตร (3.5)

สมการนี้มีความถูกต้องอยู่ที่ 2 เปอร์เซ็นต์ สำหรับ $d_{50} > 0.2$ ไมโครเมตร และความดันในช่วง 0.9-1 บาร์ (Hinds, 1999) ดังนั้นขนาดเส้นผ่านศูนย์กลางช่องเร่งหาได้จาก

$$D = \sqrt[3]{\frac{4\rho_p \left(d_{50}\sqrt{C_c}\right)^2 Q}{9\pi\eta \text{Stk}_{50}}}$$
(3.6)

โดยที่ Stk₅₀ คือตัวเลขสโตกส์ของอนุภาคที่มีประสิทธิภาพการสะสมตัว 50 เปอร์เซ็นต์ มีค่า เท่ากับ 0.24 สำหรับสัดส่วนของขนาดเส้นผ่านศูนย์กลางช่องเร่งกับระยะห่างระหว่างช่องเร่งกับ แผ่นกระทบเท่ากับ 1.0 (Marple and Willeke, 1976; Hinds, 1999)

3.2.4 ประสิทธิภาพการสะสมตัวของอนุภาค

ประสิทธิภาพการผ่านทะลุของอนุภาค (particle penetration efficiency) P ของชุดคัด แยกสิ่งปนเปื้อนขนาดใหญ่ขาเข้าสามารถหาได้จากสมการที่ 3.7

$$P = (1 - E) \times 100 \tag{3.7}$$

โดยที่ E คือประสิทธิภาพการสะสมตัว (particle collection efficiency) ของเครื่องคัดแยกสิ่ง ปนเปื้อนนี้หาได้จาก

$$E = \left(1 + \left(\frac{d_{50}}{d_p}\right)^{2s}\right)^{-1} \tag{3.8}$$

โดยที่ s คือตัวแปรที่มีผลกระทบกับความชั้นของเส้นโค้งประสิทธิภาพการสะสมตัว ในการศึกษานี้สมมุติให้มีค่าเท่ากับ 1.0

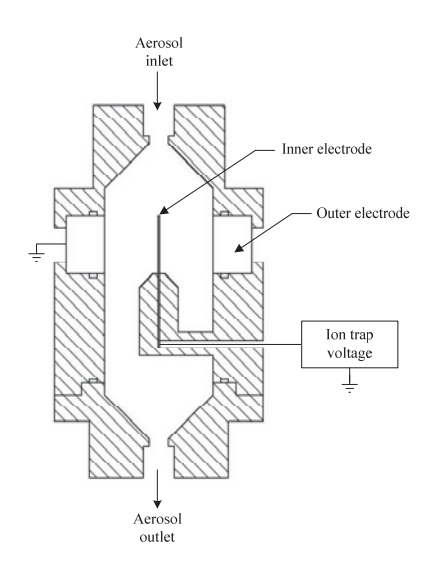
3.3 ชุดดักจับไอออน

3.3.1 ความต้องการในการออกแบบ

การไหลของอนุภาคที่มีประจุควรผ่านเข้าไปยังชุดดักจับไอออน (ion trap) เพื่อดักจับ ไอออนอิสระ (free ions) ที่มีความสามารถในการเคลื่อนตัวทางไฟฟ้าสูงปนมากับอนุภาคที่มี ประจุ ก่อนที่เข้าไปยังฟาราเดย์คลับอิเล็กโทรมิเตอร์ เนื่องจากไอออนอิสระเหล่านี้จะตกสะสมตัว พร้อมกับอนุภาคที่มีประจุ และจะเจือปนกับสัญญาณกระแสไฟฟ้าของอนุภาคที่มีประจุที่ต้องการ วัดได้ ดังนั้น จึงจำเป็นต้องมีชุดดักจับไอออนเพื่อกำจัดไอออนอิสระที่เจือปนมากับอนุภาคที่มี ประจุ

3.3.2 รายละเอียดในการออกแบบ

ลักษณะโครงสร้างของชุดดักจับไอออนแสดงไว้ในรูปที่ 3.4 โดยจะอาศัยหลักการการ ตกตะกอนเชิงไฟฟ้าสถิต (electrostatic precipitation) ชุดดักจับไอออนจะประกอบด้วยเส้นลวด อิเล็กโทรดด้านใน (inner electrode) ที่วางแกนร่วมกับท่ออิเล็กโทรดที่อยู่ด้านนอก (outer electrode) ท่ออิเล็กโทรดที่อยู่ด้านนอกทำมาจากอลูมิเนียมมีขนาดเส้นผ่านศูนย์กลาง 28 มิลลิเมตร และยาว 15 มิลลิเมตร ส่วนเส้นลวดอิเล็กโทรดด้านในทำจากสแตนเลสที่มีขนาดเส้น



รูปที่ 3.4 ลักษณะโครงสร้างของชุดดักจับไอออน (Intra and Tippayawong, 2009)

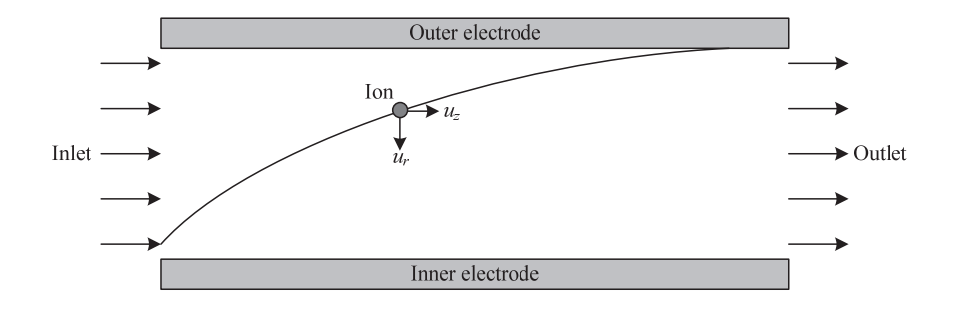


รูปที่ 3.5 รูปถ่ายของชุดดักจับไอออนที่สร้างขึ้น (Intra and Tippayawong, 2009)

ผ่านศูนย์กลาง 300 ไมโครเมตร และยาว 15 มิลลิเมตร โดยมีแหล่งจ่ายไฟฟ้าแรงดันสูงแบบ กระแสตรงจ่ายเข้าที่เส้นลวดอิเล็กโทรดด้านใน ในขณะที่ท่ออิเล็กโทรดด้านนอกเป็นกราวด์เพื่อ สร้างสนามไฟฟ้า แรงดันไฟฟ้าปกติอยู่ในช่วง 10 ถึง 100 โวลต์ รูปที่ 3.5 แสดงรูปถ่ายของชุด ดักจับไอออนที่สร้างขึ้น

3.3.4 การวิเคราะห์การเคลื่อนที่ของไอออนภายในชุดดักจับไอออน

รูปที่ 3.6 แสดงหลักการการตกตะกอนเชิงไฟฟ้าสถิต โดยการเคลื่อนที่ในแนวแกนจะ ได้รับอิทธิพลจากการไหลในแนวแกนของของไหล ส่วนการเคลื่อนที่ในแนวรัศมีจะได้รับอิทธิพล จากแรงทางไฟฟ้าซึ่งจะมีค่ามากกว่าแรงกระทำอื่นๆ เมื่อไอออนเข้าไปยังสนามไฟฟ้าดังรูป



รูปที่ 3.6 หลักการตกตะกอนเชิงไฟฟ้าสถิต (Intra and Tippayawong, 2009)

ไอออนจะอยู่ภายใต้อิทธิพลของสนามไฟฟ้า และจะมีความสามารถในการเคลื่อนตัวเชิงไฟฟ้า โดยสมมุติให้สนามการไหลและไฟฟ้ามีความสมมาตรกับแกน (axisymmetric) และคงตัว (steady) มีการไหลผ่านในจะต้องราบเรียบ (laminar) มีการพัฒนารูปร่างจากเดิมอย่างเต็มที่ (fully developed) และไม่มีการอัดตัว (incompressible) และไม่มีผลของประจุค้างภายใน (space charge effect) และการแพร่กระจายของอนุภาค (Brownian diffusion effect) ดังนั้น การเคลื่อนที่ของไอออนภายในชุดดักจับ จะสามารถอธิบายโดยระบบสมการเชิงอนุพันธ์ (differential equation system) คือ

$$\frac{dr}{dt} = u_r + Z_i E_r \tag{3.9}$$

$$\frac{dz}{dt} = u_z + Z_i E_z \tag{3.10}$$

เมื่อ u_r และ u_z คือความเร็วในแนวรัศมีและแนวแกน E_r และ E_z คือสนามไฟฟ้าในแนวรัศมี และแนวแกน และ Z_i คือความสามารถในการเคลื่อนตัวทางไฟฟ้าของไอออน (electrical mobility of ions) โดยค่าเฉลี่ยของความสามารถในการเคลื่อนตัวทางไฟฟ้าของไอออนบวก (positive) และลบ (negative) ที่ความดันบรรยากาศมีค่าเท่ากับ $1.4 \times 10^{-4} \, \mathrm{m}^2/\mathrm{V}$ s และ $2.2 \times 10^{-4} \, \mathrm{m}^2/\mathrm{V}$ s ตามลำดับ (White, 1963) ถ้าสมมุติให้การสูญเสียของสนามไฟฟ้าที่ขอบมุมของขั้ว อิเล็กโทรดมีค่าน้อยมากๆ และสนามไฟฟ้าภายในท่อทรงกระบอกสม่ำเสมอ (uniform electric field) สนามไฟฟ้าจะหาได้จากความสัมพันธ์

เมื่อ r_1 และ r_2 คือขนาดรัศมีของขั้วอิเล็กโทรดด้านในและด้านนอก และ V คือแรงดันไฟฟ้าที่ จ่ายให้กับขั้วอิเล็กโทรดด้านใน ดังนั้นความเร็วในแนวรัศมีสำหรับการไหลแบบราบเรียบมีค่า

เท่ากับศูนย์ และความเร็วในแนวแกนเท่ากับความเร็วของของไหลในท่อทรงกระบอกซ้อนแกน ร่วมคือ

โดยที่

$$A = \frac{1}{4\mu} \frac{\mathrm{d}p}{\mathrm{d}z}, B = -\frac{1}{4\mu} \frac{\mathrm{d}p}{\mathrm{d}z} \left(\frac{r_2^2 - r_1^2}{\ln(r_2/r_1)} \right), C = \frac{1}{4\mu} \frac{\mathrm{d}p}{\mathrm{d}z} \left(\frac{r_2^2 - r_1^2}{\ln(r_2/r_1)} \ln(r_1) - r_1^2 \right), (3.13)$$

และ $\mathrm{d}p/\mathrm{d}z$ คือค่าคงที่ของ Pressure gradient สามารถคำนวณได้จาก

$$\frac{\mathrm{d}p}{\mathrm{d}z} = -\frac{\rho \overline{U}^2 f}{2D_h} \tag{3.14}$$

เมื่อ

$$D_h = 2r_2 \left(1 - \left(r_1 / r_2 \right) \right), \tag{3.15}$$

$$f = \frac{64}{\text{Re}} \left(\frac{1 + (r_1/r_2)^2}{(1 - (r_1/r_2))^2} + \frac{1 + (r_1/r_2)}{(1 - (r_1/r_2))\ln(r_1/r_2)} \right)^{-1},$$
(3.16)

Re =
$$\frac{2r_2(1-(r_1/r_2))\overline{U}\rho}{\mu}$$
, (3.17)

 D_h คือขนาดเส้นผ่านศูนย์กลาง Hydraulic สำหรับพื้นที่การไหลแบบทรงกระบอกซ้อนแกนร่วม f คือปัจจัยการเสียดทาน (friction factor) \bar{U} คือความเร็วของการไหลในแนวแกนเฉลี่ย ρ คือความหนาแน่นของแก๊ส และ Re คือตัวเลขเรย์โนลด์ ทำการรวมสมการที่ 3.11 และ 3.12 ลงในสมการ 3.9 และ 3.10 ตามลำดับ จะได้สมการเส้นโคจรของไอออนคือ

$$\frac{\mathrm{d}r}{\mathrm{d}z} = \frac{\frac{\mathrm{d}r}{\mathrm{d}t}}{\frac{\mathrm{d}z}{\mathrm{d}t}} = \frac{Z_i V}{r u_z(r) \ln\left(r_2/r_1\right)} \tag{3.18}$$

ทำการอินทริเกรตสมการที่ 3.18 จะได้เส้นทางการเคลื่อนที่ (migration path) ของไอออนคือ

$$\int_{r_{in}}^{r_2} r u_z(r) dr = \int_{0}^{z} \frac{V Z_i}{\ln(r_2/r_1)} dz$$
(3.19)

เมื่อ r_{in} คือตำแหน่งรัศมีที่ไอออนเข้าไปยังชุดดักจับไอออน ดังนั้น ถ้าไอออนเข้าไปในชุดดักจับ ไอออนที่ตำแหน่งรัศมี r_{in} จะมีเส้นโคจรไปยังตำแหน่งแนวแกน z คือ

$$z = -\frac{g(r_{in})\ln(r_2/r_1)}{4VZ_i}$$
 (3.20)

$$g(r_{in}) = \begin{pmatrix} Ar_2^4 - Ar_{in}^4 + Br_{in}^2 - Br_2^2 + 2Br_2^2 \ln(r_2) \\ -2Br_{in}^2 \ln(r_{in}) + 2Cr_2^2 - 2Cr_{in}^2 \end{pmatrix}$$
(3.21)

3.3.5 การวิเคราะห์ประสิทธิภาพการดักจับไอออน

ประสิทธิภาพการดักจับหรือการตกตะกอน (removal or trapping efficiency) ของ ไอออน คือ อัตราการของความแตกต่างระหว่างความเข้มข้นทางด้านทางเข้าและทางออกของ ชุดดักจับไอออน โดยสมมุติให้มีการกระจายตัวอย่างสม่ำเสมอตลอดทางเข้าชุดดักจับไอออน ดังนั้น ประสิทธิภาพการดักจับไอออน η สามารถประมาณค่าได้จากสมการของ Deutsch-Anderson คือ (Hinds, 1999)

$$\eta = 1 - \exp\left(-\frac{2\pi r_2 L Z_i E}{Q_i}\right) \tag{3.22}$$

เมื่อ L คือความยาวของท่ออิเล็กโทรดด้านนอกของชุดดักจับไอออน E คือสนามไฟฟ้า และ Q_i คืออัตราการใหลของชุดดักจับไอออน ดังนั้น จำนวนความเข้มข้นของไอออนที่ทางด้าน ทางออกของชุดดักจับไอออน N_i จะหาได้จาก

$$N_{i} = N_{0} - N_{0} \eta \tag{3.23}$$

เมื่อ $N_{\scriptscriptstyle 0}$ คือจำนวนความเข้มข้นของไอออนที่ทางด้านทางเข้า

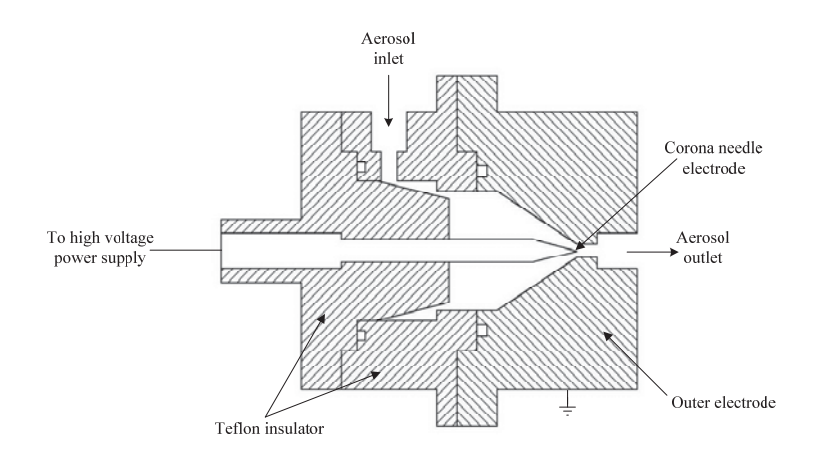
3.4 ชุดให้ประจุไฟฟ้ากับอนุภาคแบบโคโรนาเข็ม

3.4.1 ความต้องการในการออกแบบ

หลักการทำงานพื้นฐานของชุดอัดหรือให้ประจุไฟฟ้ากับอนุภาคแบบโคโรนา คือ การ ไหลของละอองลอยที่เข้ามาชนกับไอออนภายในชุดให้ประจุที่มีสนามไฟฟ้า ระหว่าง กระบวนการชน (collision process) ไอออนบางตัวจะกระทบและสะสมบนพื้นผิวของอนุภาค บนระดับมหภาค (macroscopic scale) จึงสามารถสรุปได้ว่าอนุภาคได้รับประจุ เป้าหมายหลัก ในการออกแบบก็คือชุดให้ประจุไฟฟ้ากับอนุภาคจะต้องมีประสิทธิภาพในการให้ประจุที่ค่อนข้าง สูง โดยความต้องการพื้นฐานของการออกแบบชุดให้ประจุไฟฟ้ากับอนุภาคแบบโคโรนาคือ ชุด อัดประจุควรจะมีประสิทธิภาพในการให้ประจุสูง (high charging efficiency) ในการให้ประจุ ไฟฟ้ากับอนุภาคละอองลอยที่เข้ามา โดยประสิทธิภาพในการให้ประจุของอนุภาคละอองลอยสูง มีผลทำให้เครื่องวัดมีความไวสูง (high sensitivity) ตามไปด้วย ประสิทธิภาพในการให้ประจุกับ จะถูกนิยามเป็นสัดส่วนของจำนวนอนุภาคที่ได้รับประจุทั้งหมดที่ทางออกของชุดให้ ซึ่งประสิทธิภาพนี้สามารถวัดได้โดยสองปัจจัยที่สำคัญ โดยปัจจัยแรกคือระดับประจุ แท้จริง (actual charge level) ที่ถูกสร้างบนแต่ละอนุภาค ขณะที่ปัจจัยที่สองคือเปอร์เซ็นต์สุทธิ percentage) ของอนุภาคที่ได้รับประจุ โดยทั้งระดับประจุและเปอร์เซ็นต์สุทธิจะมี ผลกระทบโดยตรงกับระดับสัญญาณกระแสไฟฟ้า (signal current) ที่เหนี่ยวนำโดยอนุภาคที่ สะสมตัวบนตัวกรองภายในฟาราเดย์คลับอิเล็กโทรมิเตอร์ ซึ่งหมายความว่าถ้าระดับประจุไฟฟ้า มีค่าต่ำและมีเปอร์เซ็นต์สุทธิน้อยจะมีผลทำให้สัญญาณกระแสมีค่าต่ำตามไปด้วย ความยากในการวัดที่ต้องการความถูกต้อง ดังนั้น ในการออกแบบชุดให้ประจุจึงต้องการเทคนิค ในการให้ประจุที่สูง ประกอบกับมีความเข้มข้นของไอออนที่สูงและค่อนข้างคงที่ โดยไม่ทำความ เสียหายให้กับอนุภาคละอองลอย มีการสูญเสียของอนุภาค (particle losses) ภายในต่ำ ไม่มี การปนเปื้อน (contamination) เหมาะสำหรับอนุภาคระดับนาโน และสามารถทำงานที่ความดัน ต่ำ (low pressure) และแก๊สที่มีความแตกต่าง (different gases) ได้ เนื่องจากมีการให้ แหล่งจ่ายไฟฟ้าแรงสูง (high voltage supply) จ่ายไฟฟ้าแรงสูงให้กับขั้วอิเล็กโทรดเข็มปลาย แหลมที่อยู่ด้านในเพื่อสร้างสนามโคโรนา (corona field) ที่มีความเครียดสูงภายในชุดให้ประจุ โดยอันตรายจากไฟฟ้าแรงสูงสามารถทำให้ลดลงได้โดยทำการฉนวนไฟฟ้าทั้งสาย ไฟฟ้าแรงสูงและจุดที่มีการเชื่อมต่อกัน การแยกอุปกรณ์ไฟฟ้าแรงสูงใด ๆออกจากกัน และการใช้ วัสดุฉนวนที่มีความเป็นฉนวนไฟฟ้าเพียงพอเพื่อป้องกันการเกิดประกายไฟฟ้าและการลัดวงจร ไฟฟ้า และนอกจากนี้ชุดอัดประจุอนุภาคที่ออกแบบจะต้องมีขนาดเล็กและทนทานเหมาะกับงาน ระดับภาคสนาม

3.4.2 รายละเอียดในการออกแบบ

ไดอะแกรมลักษณะโครงสร้างของชุดให้ประจุไฟฟ้าอนุภาคในการวิจัยนี้แสดงไว้ดังรูปที่ 3.7 โดยชุดให้ประจุไฟฟ้าอนุภาคนี้จะมีลักษณะคล้ายกับในงานของ Hernandez-Sierra et al. (2003) และ Alonso et al. (2005) อย่างไรก็ตาม ชุดให้ประจุนี้มีความแตกต่างจากงานของ Hernandez-Sierra et al. (2003) และ Alonso et al. (2005) คือทางเข้าของละอองลอยมี ลักษณะการไหลแบบเส้นสัมผัสวง (tangential aerosol inlet) เพื่อทำให้อนุภาคละอองลอยมีการ กระจายตัวอย่างสม่ำเสมอตลอดทางเข้าไป และสามารถทำงานที่ความดันบรรยากาศต่ำได้ ชุด ให้ประจุไฟฟ้านี้ประกอบไปด้วยขั้วอิเล็กโทรดเข็มปลายแหลม (needle electrode) ที่ทำมาจาก แท่งสแตนเลสที่มีขนาดเส้นผ่านศูนย์กลาง 6 มิลลิเมตร และยาว 49 มิลลิเมตร ในการศึกษานี้ได้



รูปที่ 3.7 ไดอะแกรมลักษณะโครงสร้างของชุดให้ประจุไฟฟ้าอนุภาค (Intra and Tippayawong, 2009)



รูปที่ 3.8 รูปถ่ายของชุดให้ประจุไฟฟ้าอนุภาคที่สร้างขึ้น (Intra and Tippayawong, 2009)

สร้างอิเล็กโทรดเข็มที่มีมุมของปลายแหลม 10 และ 20 องศา ขึ้นเพื่อศึกษาผลของมุมปลาย แหลมต่อการดิสชาร์จภายใน ส่วนขั้วอิเล็กโทรดด้านนอก (outer electrode) ของชุดให้ประจุนี้จะ มีลักษณะเป็นทรงกรวยทำจากสแตนเลสมีขนาดเส้นผ่านศูนย์กลางภายในเท่ากับ 30 มิลลิเมตร ยาว 15 มิลลิเมตร และมีมุมของทรงกรวย 30 องศา ขนาดเส้นผ่านศูนย์กลางที่ทางออกเท่ากับ 3.5 มิลลิเมตร และมีระยะห่างระหว่างปลายเข็มกับทางออกประมาณ 1.75 มิลลิเมตร โดยที่หัว ของขั้วอิเล็กโทรดเข็มต่อเข้ากับแหล่งจ่ายไฟแรงดันสูงที่สามารถปรับค่าได้ (adjustable high voltage power supply) ขณะที่ส่วนที่เป็นท่อทรงกรวยด้านนอกต่อกับกราวด์ รูปที่ 3.8 แสดงรูป ถ่ายของชุดให้ประจุไฟฟ้าอนุภาคที่สร้างขึ้น

3.4.3 การประมาณค่าผลคูณ *N_tt* ของชุดให้ประจุไฟฟ้าอนุภาค

สนามไฟฟ้า (electric field) ระหว่างขั้วอิเล็กโทรดเข็มปลายแหลมและขั้วอิเล็กโทรด ด้านนอกที่มีลักษณะเป็นท่อทรงกรวยของชุดให้ประจุไฟฟ้าอนุภาค สามารถอธิบายได้จาก สมการพื้นฐานของทฤษฎีแมกซ์เวลล์ (Maxwell's theory) ที่ครอบคลุมสมการปัวส์ซง (Poisson's equation) ของศักย์ไฟฟ้า V คือ

$$\nabla^2 V = \frac{\rho}{\varepsilon_0} \tag{3.24}$$

เมื่อ V คือแรงดันไฟฟ้า ρ คือความหนาแน่นประจุของอวกาศว่าง (space charge density) และ ε_0 คือสภาพยอมทางไฟฟ้าของอวกาศว่าง (vacuum permittivity) (มีค่าเท่ากับ 8.854 × 10^{-12} F/m) โดยความหนาแน่นกระแสไฟฟ้าของไอออน (ion current density) สามารถเขียนได้ ดังนี้

$$j = \rho Z_i E \tag{3.25}$$

และความหนาแน่นกระแสไฟฟ้าของไอออน ยังสามารถเขียนให้อยู่ในรูปของกระแสไฟฟ้าของ ไอออน (ion current) ที่ไหลผ่านพื้นที่ผิวด้านใน (inner surface area) ของชุดให้ประจุไฟฟ้า อนุภาคได้ดังนี้

$$\frac{I_{in}}{A} = \rho Z_i E \tag{3.26}$$

เมื่อ I_{in} คือค่ากระไฟฟ้าของไอออนภายในชุดให้ประจุไฟฟ้าอนุภาคและ A คือพื้นที่ผิวด้านใน ของชุดให้ประจุไฟฟ้าอนุภาค ปกติแล้วสมรรถนะการให้ประจุไฟฟ้ากับอนุภาคของชุดให้ประจุจะ ขึ้นอยู่กับผลคูณของ (product) ความเข้มข้นของไอออน (ion concentration) n_{in} ภายในชุดให้ ประจุและเวลาที่ใช้ในการให้ประจุ (residence time) t ของอนุภาคกับไอออนภายในชุดให้ประจุ ดังนั้นค่า $n_{in}t$ จึงเป็นตัวแปรหลักในกระบวนให้ประจุและจำเป็นต้องมีการประมาณค่า $n_{in}t$ ที่ เกิดขึ้นภายในชุดให้ประจุภายใต้เงื่อนไขต่างๆ (แรงดันไฟฟ้า อัตราการไหลของอนุภาค และ ความดันทำงาน) ประจุของอวกาศว่างยังสามารถเขียนให้อยู่ในรูปของความเข้มข้นของไอออน n_{in} คือ

$$\rho = n_{in}e \tag{3.27}$$

เมื่อ e คือ ค่าประจุพื้นฐานของอิเล็กตรอน (elementary charge) มีค่าเท่ากับ 1.61 × 10 $^{-19}$ C ทำการแทนสมการที่ 3.27 ลงในสมการที่ 3.26 จะได้ความเข้มข้นจำนวนของไอออนเฉลี่ยในชุด ให้ประจุไฟฟ้าอนุภาคสำหรับกรณีที่ไม่มีอนุภาคละอองคือ

$$n_{in} = \frac{I_{in}}{eZ_i EA} \tag{3.28}$$

ซึ่งค่าความเข้มข้นจำนวนของไอออนมีหน่วยเป็น ไอออน ต่อ ลูกบาศก์เมตร ถ้าสมมุติให้ไม่มีผล ของประจุของอวกาศว่างภายในชุดให้ประจุไฟฟ้าอนุภาค ค่าความเข้มของสนามไฟฟ้าภายใน ชุดให้ประจุไฟฟ้าอนุภาคสามารถประมาณค่าได้จากสมการอย่างง่ายคือ

$$E = \frac{V}{d} \tag{3.29}$$

เมื่อ V คือแรงดันไฟฟ้าที่จ่ายให้กับอิเล็กโทรดเข็ม และ d คือระยะห่างระหว่างอิเล็กโทรดเข็ม กับท่อทรงกรวย นำสมการที่ 3.29 แทนลงในสมการที่ 3.28 จะได้

$$n_{in} = \frac{I_{in}d}{eZ_iVA} \tag{3.30}$$

สำหรับเวลาที่ใช้ในการอัดประจุของอนุภาคของชุดให้ประจุไฟฟ้าอนุภาคนี้สามารถหาได้จาก

$$t = \frac{\pi \left(r_1^2 + r_1 r_2 + r_2^2\right) L}{3O} \tag{3.31}$$

เมื่อ r_1 คือรัศมีด้านในของท่อทรงกรวย r_2 คือรัศมีด้านนอกของท่อทรงกรวย L คือความยาว ของท่อทรงกรวย และ Q คืออัตราการไหล จากสมการที่ 3.31 เวลาที่ใช้ในการอัดประจุของ เครื่องอัดประจุนี้คือ 0.0814 วินาที ที่อัตราการไหลของละอองเท่ากับ 5 ลิตร ต่อ นาที และที่ ความดันบรรยากาศ

3.4.4 ความเข้มข้นจำนวนไอออนที่ทางออกของชุดให้ประจุไฟฟ้า

ความเข้มข้นจำนวนไอออนที่ทางออกของเครื่องให้ประจุไฟฟ้า สามารถคำนวณได้จาก กระแสไฟฟ้าของไอออนที่ทางออกของชุดให้ประจุไฟฟ้า คือ

$$n_{out} = \frac{I_{out}}{eQ} \tag{3.32}$$

เมื่อ n_{out} คือความเข้มข้นจำนวนของไอออนที่ทางออกของชุดให้ประจุไฟฟ้าอนุภาค และ I_{out} คือกระแสไอออนที่วัดได้ ดังนั้น ค่าการผ่านทะลุของไอออน (ion penetration) ของชุดให้ประจุ ไฟฟ้าอนุภาค P_i สามารถคำนวณได้จาก

$$P_i = \frac{n_{out}}{n_{in}} \tag{3.33}$$

3.4.5 การประมาณการสูญเสียและค่าการผ่านทะลุของอนุภาค

ในการศึกษานี้การสูญเสียของอนุภาค (particle loss) หลักภายในชุดให้ประจุไฟฟ้าจะ เป็นการสูญเสียเนื่องจากสนามไฟฟ้าที่มีความเครียดสูงที่เกิดขึ้น โดยการโคโรนาดิสชาร์จภายใน ชุดให้ประจุไฟฟ้าอนุภาค สำหรับการสูญเสียอื่นๆ เช่น เนื่องจากผลของแรงโน้มถ่วงของโลก (gravitational loss) ประจุค้าง (space charge) และการแพร่กระจาย (diffusion loss) ใน การศึกษานี้ถือว่ามีผลน้อยมากเมื่อเทียบกับการสูญเสียเนื่องจากไฟฟ้าสถิต โดยการสูญเสีย เนื่องจากไฟฟ้าสถิตใด้ถูกนิยามเป็นอัตราส่วนของความเข้มข้นอนุภาคที่มีประจุไฟฟ้าที่ทางออก N_{out} ต่อความเข้มข้นของอนุภาคที่ไม่ได้รับประจุไฟฟ้า (uncharged) ทั้งหมดที่ทางเข้า N_{in} ของชุดให้ประจุไฟฟ้า ซึ่งสามารถคำนวณได้จากสมการของ Deutsch-Anderson คือ (Hinds, 1999)

$$loss_{el} = \frac{N_{out}}{N_{in}} = 1 - P_p \tag{3.34}$$

เมื่อ P_p คือค่าการผ่านทะลุของอนุภาค (particle penetration) ของชุดให้ประจุไฟฟ้าอนุภาค สามารถคำนวณได้จาก

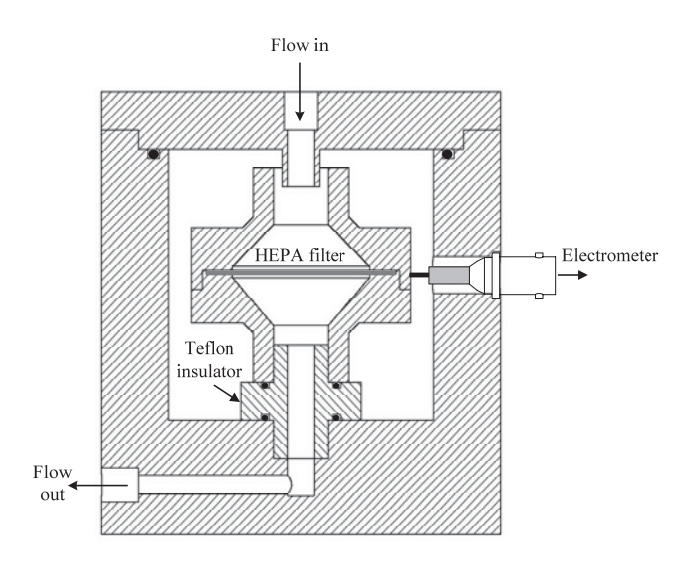
$$P_{p} = \exp\left(\frac{-Z_{p}EA}{Q}\right) \tag{3.35}$$

เมื่อ $Z_{\scriptscriptstyle p}$ คือความสามารถในการเคลื่อนตัวทางไฟฟ้าของอนุภาค

3.5 ลูกถ้วยฟาราเดย์และอิเล็กโทรมิเตอร์

3.5.1 ความต้องการในการออกแบบ

ในการตรวจวัดสัญญาณกระแสไฟฟ้าของอนุภาคที่ใช้ในการศึกษานี้ จะอาศัยหลักการ พื้นฐานการวัดประจุไฟฟ้าสถิตของอนุภาคผ่านลูกฟาราเดย์ (Faradya cup) โดยค่าความเข้มข้น จำนวนของอนุภาคสามารถคำนวณได้จากสมการที่ 2.54 การประมาณค่าอย่างง่ายจากสมการที่ 2.54 ที่ระดับสัญญาณกระแสไฟฟ้าในช่วง 10 เฟมโตแอมป์ (fA) ต่อ ความเข้มข้น 10⁸ อนุภาค ต่อ ลูกบาศก์เมตร สำหรับในศึกษานี้สนใจความเข้มข้นจำนวนอนุภาคน้อยกว่า 10¹⁴ อนุภาค ต่อ ลูกบาศก์เมตร ดังนั้นความไวของอิเล็กโทรมิเตอร์เท่ากับ 500 เฟมโตแอมป์ ก็เพียงพอ สำหรับการวัดนี้ นอกจากนี้ความไวในการวัดของอิเล็กโทรมิเตอร์ถูกจำกัดโดยระดับของ สัญญาณรบกวนที่ยอมรับได้ (acceptable noise level) สัญญาณกระแสไฟฟ้าจากอิเล็กโทร มิเตอร์จะต้องกำจัดจากสัญญาณรบกวนพื้นฐาน (background noise) ออก เวลาตอบสนองใน การวัดของวงจรอิเล็กโทรมิเตอร์ควรจะเร็วที่สุดเท่าที่จะเป็นไปได้ คุณสมบัติเป้าหมายน้อยที่สุด สำหรับเวลาในการตอบสนองของเครื่องวิเคราะห์ขนาดอนุภาคฯ นี้คือ 1 วินาที



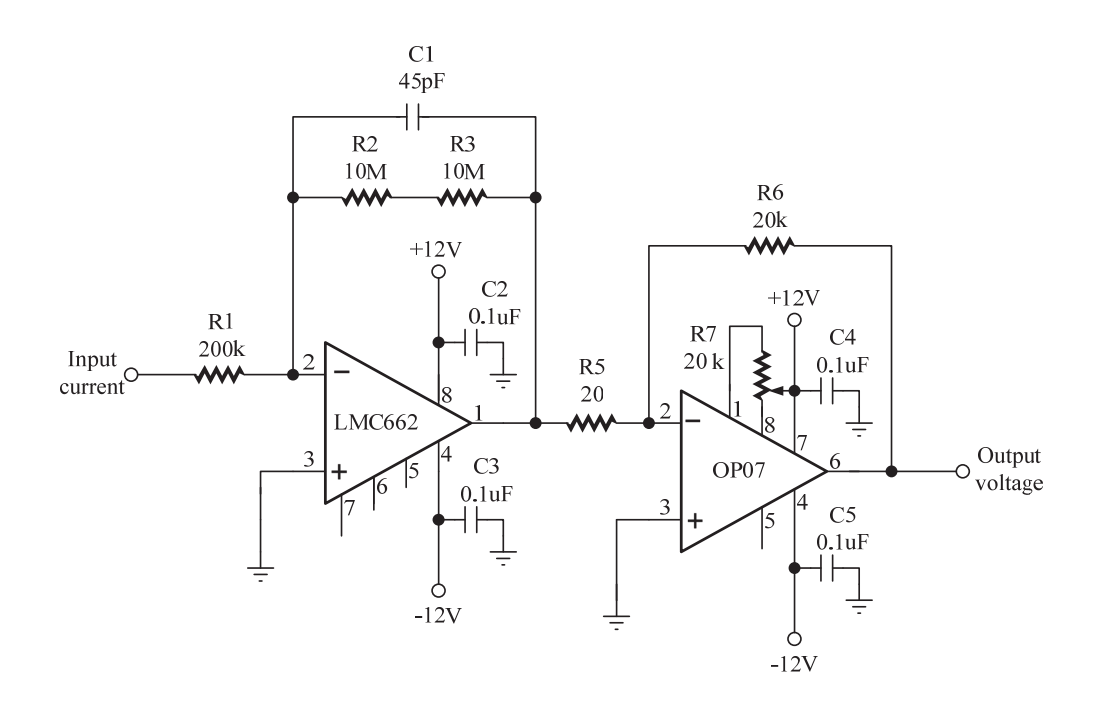
รูปที่ 3.9 ลักษณะโครงสร้างของลูกถ้วยฟาราเดย์



รูปที่ 3.10 รูปถ่ายของลูกถ้วยฟาราเดย์ที่สร้างขึ้น

3.5.2 รายละเอียดในการออกแบบ

รูปที่ 3.9 แสดงลักษณะโครงสร้างของลูกถ้วยฟาราเดย์ ซึ่งเป็นอุปกรณ์ที่ใช้ในการวัด ประจุไฟฟ้าของอนุภาค ลูกถ้วยฟาราเดย์ประกอบด้วยแผ่นกรองอนุภาคประสิทธิภาพสูงแบบ HEPA ที่วางอยู่ภายในตัวจับยึด (filter holder) ขนาด 47 มิลลิเมตรที่ทำจากสแตนเลส และ บรรจุอยู่ภายในลูกถ้วยสแตนเลส ที่ถูกแยกออกจากกันทางไฟฟ้าจากลูกถ้วยด้วยฉนวนไฟฟ้า แบบ Teflon® โดยตัวเชื่อมต่อแบบ BNC จะถูกเชื่อมต่อเข้ากับตัวจับยึดตัวกรองอนุภาคเพื่อส่ง ถ่ายประจุอนุภาคหรือไอออนที่สะสมบนตัวกรองไปยังอิเล็กโทรมิเตอร์ โดยรูปที่ 3.10 แสดงรูป ถ่ายของลูกถ้วยฟาราเดย์ที่สร้างขึ้น สำหรับไดอะแกรมวงจรอิเล็กโทรมิเตอร์ที่ออกแบบขึ้นได้

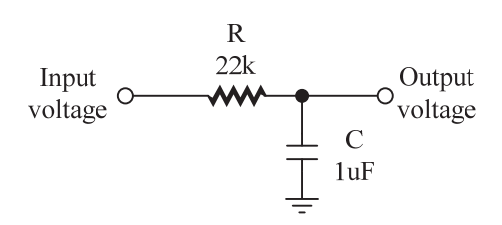


รูปที่ 3.11 ลักษณะโครงสร้างของวงจรอิเล็กโทรมิเตอร์

แสดงไว้ในรูปที่ 3.11 ซึ่งวงจรอิเล็กโทรมิเตอร์ที่ออกแบบประกอบด้วยวงจรแปลงผัน กระแสไฟฟ้าเป็นแรงดันไฟฟ้า (current-to-voltage converter circuit) โดยวงจรนี้ถูกสร้างขึ้น โดยวงจรขยายแบบป้อนกลับขั้วลบ (negative feedback amplifier) แบบสองขั้น สำหรับตัวเก็บ ประจุป้อนกลับ (feedback capacitor) C₁ ในวงจรจะทำหน้าที่ลดผลของคาปาซิแตนซ์ทางด้าน อินพุต (input capacitance) ของวงจรโดยปกติทั่วไปแล้วออปแอมป์ (opamp) ที่ใช้สำหรับ วงจรขยายที่มีอัตราขยายสูงมากๆ หรือที่มีกระแสไบอัสอินพุตระดับต่ำมากๆ (ultra-low bias current input) จะมีราคาสูงมาก (ราคาประมาณ 2,000 ถึง 5,000 บาท) ดังนั้น เพื่อหลีกเลี่ยง ค่าใช้จ่ายที่สูงในการสร้าง ในการศึกษานี้ได้เลือกออปแอมป์ที่นำมาใช้ในการสร้างวงจรนี้ซึ่งมี ราคาถูกและเหมาะกับการใช้งาน โดยออปแอมป์ที่ใช้ในวงจรนี้คือเบอร์ LMC662 และ OP07 ที่ ถูกออกแบบมาใช้สำหรับการวัดกระแสไฟฟ้าระดับต่ำมากๆ โดยมีกระแสไบอัสอินพุตระดับต่ำ มากๆ คือ 60 เฟมโตแอมป์ (fA) และสัญญาณรบกวนทางด้านอินพุตเนื่องจากการเหนี่ยวนำต่ำ (> 0.4 ไมโครแอมป์) ค่าแรงดันเอาต์พุตของวงจรนี้ Volu สามารถคำนวณได้จาก

$$V_{out} = I_{in} \frac{R_{f1} R_{f2}}{R_{i2}} \tag{3.36}$$

เมื่อ I_{in} คือกระแสไฟฟ้าทางด้านทางเข้า R_{f1} คือความต้านทานป้อนกลับของออปแอมป์ตัวที่ 1 R_{f2} คือความต้านทานป้อนกลับของออปแอมป์ตัวที่ 2 และ R_{i2} คือความต้านทานอินพุตของ ออปแอมป์ตัวที่ 2 จากสมการที่ 3.36 ค่าแรงดันเอาต์พุตที่ได้จากวงจรนี้คือ 10 มิลลิโวลต์ (mA) ต่อ 10 พิโคแอมป์ (pA)



รูปที่ 3.12 วงจรกรองความถี่แบบ RC low-pass

ในการศึกษานี้ใช้วงจรกรองความถี่แบบ RC low-pass เพื่อตัดสัญญาณรบกวนความถี่ สูงและเพื่อป้องกันการแกว่งของเอาต์พุตของวงจรขยายดังแสดงไว้ในรูปที่ 3.12 ซึ่งการตัด สัญญาณความถี่ (cut-off frequency) สามารถคำนวณได้จาก

$$Cut - off - frequency = \frac{1}{2\pi RC}$$
 (3.37)

เมื่อ R คือค่าความต้านทานตัวต้านทาน และ C คือความความจุของตัวเก็บประจุ จากวงจรใน รูปที่ 3.12 ใช้ตัวต้านทานขนาด 22 กิโลโอห์ม และตัวเก็บประจุขนาด 1 ไมโครฟาร์รัด จะได้การ ตัดสัญญาณความถี่สูงที่ 7.23 เฮิรตซ์ สำหรับค่าคงตัวของเวลา (time constant) t ของวงจรนี้ สามารถคำนวณได้จาก

$$t = RC (3.38)$$

ดังนั้น จากวงจรในรูปที่ 3.12 ค่าคงตัวของเวลาของวงจรนี้จะมีค่าประมาณ 22 มิลลิวินาที ซึ่ง ตามที่ได้กำหนดไว้ในความต้องการของการออกแบบวงจรเบื้องต้นคือ 1 วินาที ซึ่งเร็วกว่าที่ กำหนดไว้

เนื่องจากระดับสัญญาณกระแสไฟฟ้าที่วัดมีระดับต่ำมากๆ เทคนิคในการสร้างวงจร มาตรฐานยังไม่เพียงพอ ด้วยเหตุที่ว่ายังมีกระแสรั่ว (leakage current) ระหว่างแหล่งจ่ายกำลัง ของวงจรและด้านอินพุตของวงจรอิเล็กโทรมิเตอร์ผ่านวัสดุที่ใช้ทำแผ่นพิมพ์วงจรเอง ซึ่งจะมีค่า มากกว่ากระแสไฟฟ้าทางด้านอินพุตที่จะทำการวัด และนอกจากนี้คราบน้ำมัน สิ่งสกปรกและ การปนเปื้อนจากลายนิ้วมือหรือสารเคมีที่ใช้ในการเคลือบผิวของแผ่นวงจรพิมพ์ จะเป็นตัวนำ ไฟฟ้าที่มีค่าความต้านทานต่ำกว่าเส้นลายทองแดงของวงจร เพื่อหลีกเลี่ยงปัญหากระแสรั่วไหล ของกระแสไฟฟ้า ดังนั้น ขาอินพุตของวงจรขยายจะถูกแยกออกจากกันทางไฟฟ้า (electrical isolation) จากแผ่นวงจรพิมพ์ ซึ่งขาเชื่อมต่อจะถูกวางบนฉนวน Teflon® และการเชื่อมต่อ ระหว่างแต่ขาเหล่านี้กับขาอินพุตของวงจรขยายจะถูกเชื่อมต่อให้ลอยอยู่ในอากาศ หรือเหนือ แผ่นวงจรพิมพ์ โดยไม่มีการสัมผัสกับแผ่นวงจรพิมพ์ สำหรับการปนเปื้อนนั้นสามารถป้องกันได้ โดยเทคนิคการสร้างด้วยความระมัดระวัง และโดยการทำความสะอาดส่วนประกอบของวงจร



รูปที่ 3.13 รูปถ่ายของวงจรอิเล็กโทรมิเตอร์ที่สร้างขึ้น

ด้วยแอลกอฮอล์ หรือ ultrasonic หลังจากการประกอบวงจรเสร็จ (Pease, 1993; Intra and Tippayawong, 2007) รูปที่ 3.13 แสดงรูปถ่ายของวงจรอิเล็กโทรมิเตอร์ที่ได้สร้างขึ้น

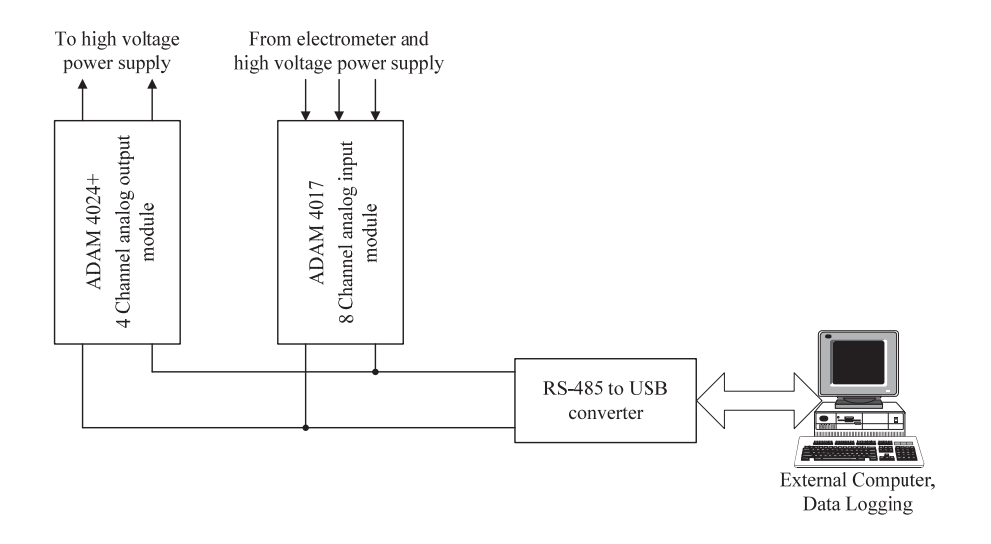
3.6 ชุดโปรแกรมบันทึกและประมวลผลข้อมูล

3.6.1 ความต้องการในการออกแบบ

ชุดโปรแกรมบันทึกและประมวลผลข้อมูล เป็นชุดโปรแกรมที่ทำหน้าที่วัด ควบคุม และประมวลผลข้อมูลสัญญาณไฟฟ้าจากวงจรอิเล็กโทรมิเตอร์แสดงผลค่าความ บันทึกข้อมูล เข้มขันเชิงจำนวนของอนุภาค ให้อยู่ในรูปแบบของกราฟและตารางข้อมูลที่ผู้ใช้สามารถอ่านและ เข้าใจได้ง่าย และยังสามารถบันทึกและเก็บข้อมูลให้อยู่ในรูปแบบของไฟล์และสามารถทำการ จากหัวข้อที่ได้กล่าวมาในข้างต้นสัญญาณไฟฟ้าที่รับมาจากวงจรอิเล็กโทร เปิดดูได้ภายหลัง มิเตอร์จะมีค่าอยู่ในช่วง 0 ถึง 5 โวลต์ ซึ่งเป็นสัญญาณแบบอนาลอก (analog signal) ดังนั้น ระบบจำเป็นต้องใช้ตัวแปลงผันสัญญาณอนาลอกไปเป็นสัญญาณดิจิตอล (analog to digital เพื่อส่งข้อมูลของสัญญาณไฟฟ้าแบบอนาลอกที่วัดได้ไปยังโปรแกรมบันทึกและ ประมวลผลข้อมูลบนคอมพิวเตอร์ โดยอัตราส่วนการเปลี่ยนแปลงของสัญญาณอนาลอกอินพุต หรือการแยกชัด (resolution) ของวงจรอิเล็กโทรมิเตอร์ประมาณ 5 มิลลิโวลต์ หรือ 0.5 พิโค แอมป์ โดยค่าการแยกชัดของตัวแปลงผันสัญญาณอนาลอกไปเป็นสัญญาณดิจิตอล R สามารถ คำนวณได้จาก

$$R = \frac{V_{in}}{2^n - 1} \tag{3.39}$$

เมื่อ V_{in} คือแรงดันทางด้านอินพุตเต็มสเกล และ n คือจำนวนบิตของตัวแปลงผันสัญญาณฯ เมื่อแรงดันทางด้านอินพุตเต็มสเกลของวงจรอิเล็กโทรมิเตอร์มีค่าเท่ากับ 5 โวลต์ และต้องการ

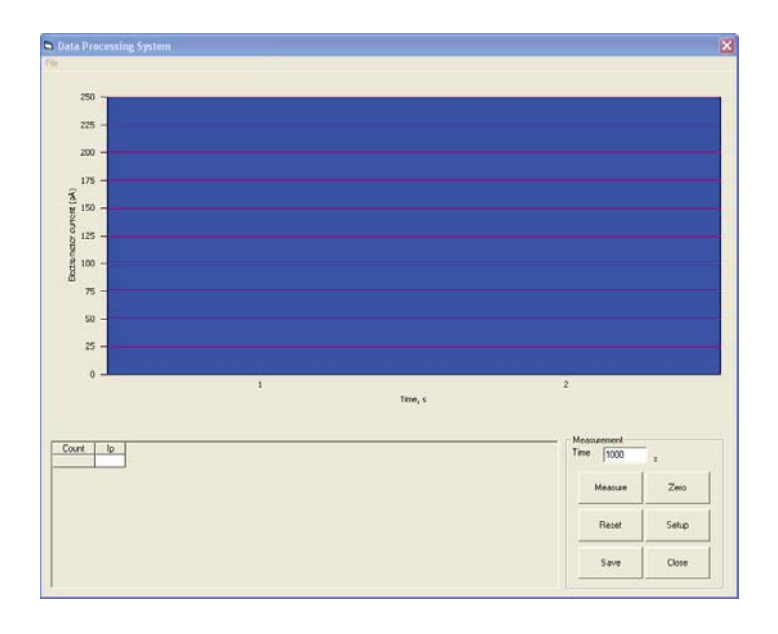


รูปที่ 3.14 ใดอะแกรมของระบบการวัดและควบคุมของเครื่องวิเคราะห์ฯที่พัฒนาขึ้น

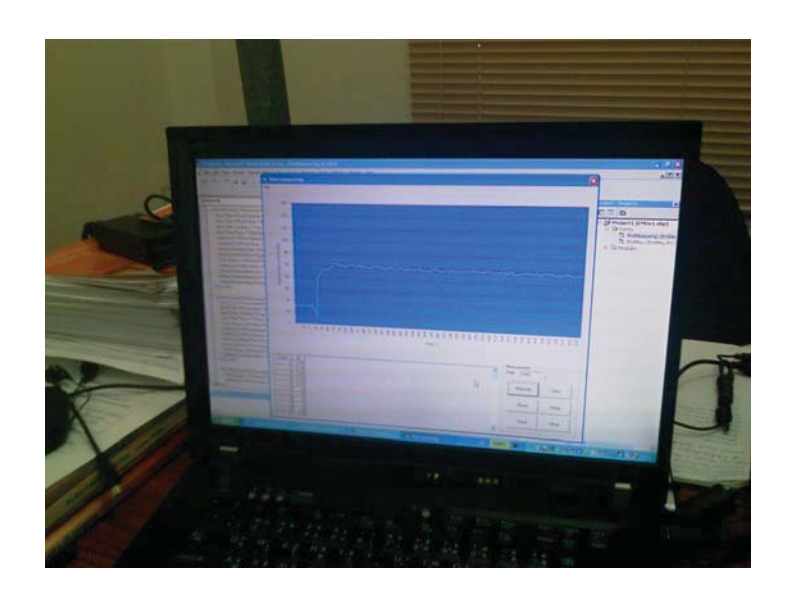
ค่าแยกชัดเท่ากับ 5 มิลลิโวลต์ ดังนั้น จากสมการที่ 3.39 จำนวนบิตของตัวแปลงผันสัญญาณ จะต้องมีค่าตั้งแต่ 10 บิตขึ้นไป และต้องมีอัตราการเก็บตัวอย่าง (sampling rate) อยู่ในช่วง 30 ถึง 100 มิลลิวินาที ซึ่งจะสอดคล้องกับค่าคงตัวของเวลาของวงจรอิเล็กโทรมิเตอร์

3.6.2 รายละเอียดในการออกแบบ

แสดงไดอะแกรมของระบบการวัดและควบคุมของเครื่องวิเคราะห์ฯที่ พัฒนาขึ้น โดยระบบประกอบด้วยอนาลอกอินพุตโมดูล (analog input module) 8 ช่อง ของ ADAM โมเดล 4017 จำนวน 1 โมดูล สำหรับรับสัญญาณอนาลอกอินพุตจากวงจรอิเล็กโทร มิเตอร์และจากแหล่งจ่ายไฟฟ้าแรงดันสูงจำนวน 3 อินพุต และอนาลอกเอาต์พุต (analog output module) 4 ช่อง ของ ADAM โมเดล 4024+ จำนวน 1 โมดูล สำหรับใช้ในการควบคุม แรงดันไฟฟ้าของแหล่งจ่ายไฟฟ้าแรงดันสูงจำนวน 2 เอาต์พุต โดยทั้ง 2 โมดูลจะถูกเชื่อมต่อเข้า ้กับเครื่องคอมพิวเตอร์ผ่านตัวแปลงผันจากมาตรฐาน RS-485 ไปเป็นมาตรฐาน RS-232 เข้ากับ พอร์ต USB ของเครื่องคอมพิวเตอร์ โดยค่าแรงดันอินพุตอนาลอกจากวงจรอิเล็กโทรมิเตอร์ที่วัด ได้ จะถูกเก็บบันทึกไว้ในรูปของแฟ้มข้อมูล และนำข้อมูลที่ได้ออกมาวิเคราะห์ผลให้อยู่ในรูปเชิง กราฟิกด้วยการพัฒนาโปรแกรมคอมพิวเตอร์ ในการศึกษานี้จะใช้โปรแกรม Microsoft Visual Basic ในการพัฒนาโปรแกรมควบคุมการทำงานและฐานข้อมูลดังแสดงไว้ในรูปที่ 3.15 และรูปที่ แสดงไดอะแกรมกระบวนการทำงานของชุดโปรแกรมบันทึกและประมวลผลข้อมูล โปรแกรมจะเริ่มต้นทำงาน โดยการเปิดแหล่งจ่ายไฟฟ้าแรงสูงให้กับชุดให้ประจุและชุดดักจับ จากนั้นโปรแกรมจะทำการวัดค่าแรงดันไฟฟ้าทางด้านอินพุตซึ่งเป็นแรงดันจาก วงจรอิเล็กโทรมิเตอร์ แล้วทำการตรวจสอบค่าแรงดันไฟฟ้าที่วัดได้ว่ามีค่าน้อยกว่า 1 มิลลิโวลต์ หรือไม่ ถ้ายังมีค่ามากกว่าก็ทำการวัดซ้ำไปเรื่อยๆ จนกว่าจะมีค่าน้อยกว่า 1 มิลลิโวลต์ กระบวนการนี้ถือว่าเป็นการ Warm up ระบบ หลังจากนั้นเมื่อค่าแรงดันไฟฟ้าอินพุตมีค่าน้อย กว่า 1 มิลลิโวลต์ แล้วก็เข้าสู่กระบวนการวัดได้ โดยสามารถที่จะทำการปรับศูนย์ (zero offset)



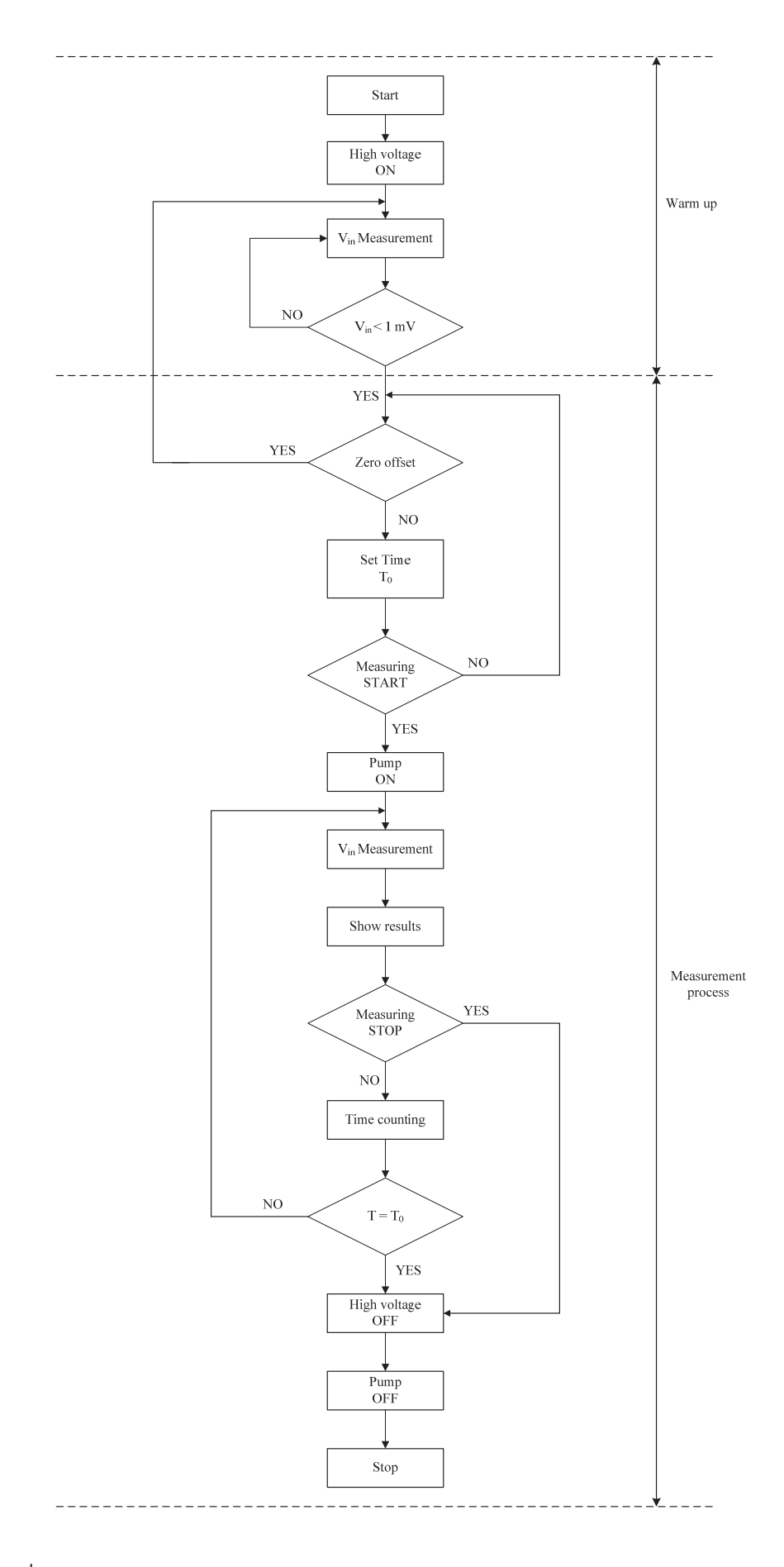
(ก) โปรแกรมบันทึกและประมวลผลข้อมูลที่พัฒนาขึ้น



(ข) โปรแกรมบันทึกและประมวลผลข้อมูลขณะทำงาน

รูปที่ 3.15 โปรแกรมบันทึกและประมวลผลข้อมูลขณะทำการวัด

และทำการตั้งค่าเวลาในการวัด และเมื่อสั่งให้เริ่มการวัดโปรแกรมก็จะส่งสัญญาณควบคุมไปที่ ปั๊มสุญญากาศทำงานเพื่อดูดอากาศเข้าไปในเครื่องวิเคราะห์ฯ แล้วทำการวัดค่าแรงดันไฟฟ้า อินพุตและแปลงค่าแรงดันไฟฟ้าที่วัดได้ไปเป็นค่าสัญญาณกระแสไฟฟ้าด้วยสมการที่ 3.36 และ ค่าความเข้มขันเชิงจำนวนของอนุภาคด้วยสมการที่ 2.54 พร้อมกับนำไปแสดงผลบนกราฟและ บันทึกลงตารางข้อมูลที่มีการเปลี่ยนแปลงตามเวลาทุกๆ 1 วินาที โปรแกรมก็จะทำการนับเวลา ระหว่างการไปจนกว่าจะครบเวลาการวัดที่กำหนด ก็สั่งให้หยุดการวัดโดยส่งสัญญาณควบคุม ให้กับแหล่งจ่ายไฟฟ้าแรงดันสูงและปั๊มสุญญากาศให้หยุดทำงาน



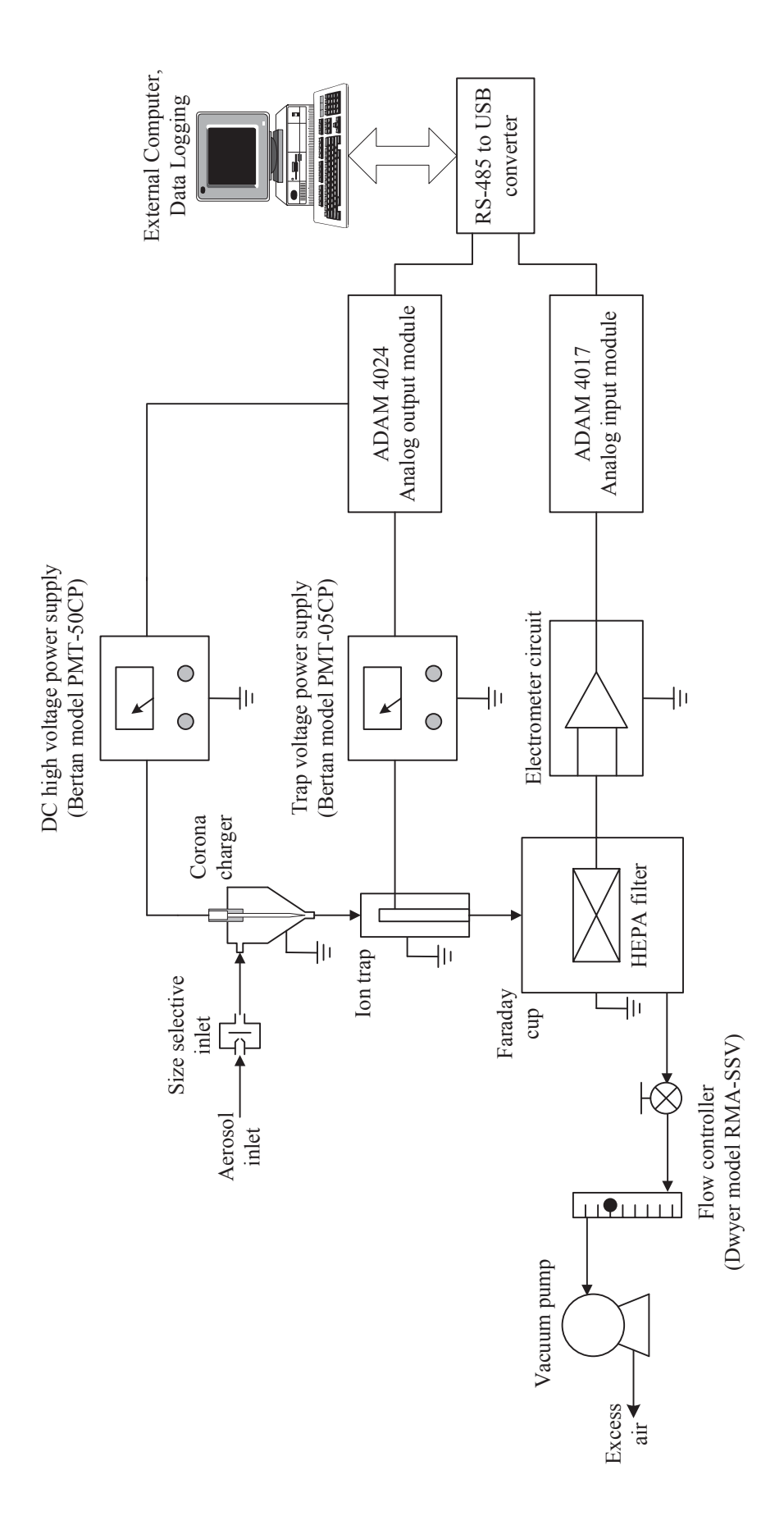
รูปที่ 3.16 ไดอะแกรมกระบวนการทำงานของชุดโปรแกรมบันทึกและประมวลผลข้อมูล

บทที่ 4

ต้นแบบเครื่องวิเคราะห์ปริมาณความเข้มข้นเชิงจำนวนของอนุภาคนาโน แบบใช้หลักการวัดประจุไฟฟ้าสถิต

4.1 รายละเอียดและหลักการทำงาน

รูปที่ 4.1 แสดงลักษณะโครงสร้างและการทำงานของต้นแบบเครื่องวิเคราะห์ปริมาณ ความเข้มข้นเชิงจำนวนของอนุภาคนาโนแบบใช้หลักการวัดประจุไฟฟ้าสถิตนี้ ซึ่งประกอบด้วย ชุดคัดแยกสิ่งปนเปื้อนขนาดใหญ่ ชุดอัดประจุละอองลอยแบบโคโรนา ชุดดักจับไอออน ลูก ถ้วยฟาราเดย์ ชุดตรวจวัดกระแสระดับต่ำ ชุดโปรแกรมบันทึกและประมวลผลข้อมูล และระบบ ควบคุมการใหลของของใหล โดยระบบการใหลของเครื่องวิเคราะห์ฯ จะถูกจ่ายและควบคุมโดย ตัวควบคุมอัตราการใหลเชิงมวล (Dwyer model RMA-SSV) กับเครื่องดูดสุญญากาศ (Busch โมเดล SV 1003) อยู่ในช่วง 0 ถึง 10 ลิตรต่อนาที การทำงานของเครื่องวิเคราะห์ฯต้นแบบนี้ เริ่มต้นโดยการดูดตัวอย่างละอองลอยที่ต้องการวัดผ่านท่อเก็บตัวอย่าง และผ่านเข้าไปยังชุดคัด แยกสิ่งปนเปื้อนขนาดใหญ่เพื่อคัดแยกอนุภาคที่มีขนาดเส้นผ่านศูนย์กลางใหญ่กว่าช่วงขนาดที่ ต้องการวัดออกด้วยหลักการทางอากาศพลศาสตร์ และจากนั้นอนุภาคจะถูกใส่ประจุไฟฟ้าด้วย วิธีการแพร่กระจายและสนามภายในชุดให้ประจุแบบโคโรนาเข็มปลายแหลมที่จ่ายไฟฟ้าแรงสูง ขนาด 3.5 กิโลโวลต์ ด้วยโมดูลแหล่งจ่ายไฟฟ้าแรงสูงของ Bertan โมเดล PMT-50CP และถูก ควบคุมแรงดันเอาต์พุตโดยโมดูลอนาลอกเอาต์พุตของ ADAM โมเดล 4024 จากนั้นอนุภาคที่มี ประจุจะผ่านเข้าไปยังชุดดักจับไอออนเพื่อกำจัดไอออนอิสระที่มีความสามารถในการเคลื่อนตัว ทางไฟฟ้าสูงเจือปนมากับอนุภาคที่มีประจุออกก่อน เพื่อป้องกันการเจือปนสัญญาณทางไฟฟ้า ของอนุภาคขณะทำการวัด ซึ่งแรงดันไฟฟ้าของชุดดักจับไอออนจะถูกจ่ายโดยโมดูลแหล่งจ่าย ไฟฟ้าแรงสูงของ Bertan โมเดล PMT-05CP ที่ควบคุมแรงดันเอาต์พุตโดยโมดูลอนาลอก เอาต์พุตของ ADAM โมเดล 4024 เมื่ออนุภาคที่มีประจุออกจากชุดดักจับไอออนแล้วก็จะผ่าน เข้าไปยังลูกถ้วยฟาราเดย์ อนุภาคที่มีประจุทั้งหมดจะตกสะสมตัวบนแผ่นดักกรองประสิทธิภาพ สูงแบบ HEPA ของ Whatman โมเดล EPM 2000 บรรจุอยู่ภายในตัวจับยึดแผ่นกรองในลูก ถ้วยฟาราเดย์ และเชื่อมต่อเข้ากับชุดวัดกระแสไฟฟ้าระดับต่ำหรือวงจรอิเล็กโทรมิเตอร์เพื่อวัด กระแสไฟฟ้าของอนุภาคที่ตกสะสมตัวบนแผ่นกรอง ซึ่งกระแสไฟฟ้าของอนุภาคที่มีประจุที่วัดได้ จะสัมพันธ์กับค่าความเข้มข้นเชิงจำนวนของอนุภาคที่ผ่านเข้าไปยังฟาราเดย์คลับ โดยสัญญาณ กระแสไฟฟ้าที่ได้จะถูกแปลงผันไปเป็นแรงดันไฟฟ้าในช่วง 0 ถึง 5 โวลต์ เพื่อส่งไปยังตัวแปลง ผันสัญญาณอนาลอกไปเป็นสัญญาณดิจิตอล ในการศึกษานี้จะใช้โมดูลอนาลอกอินพุตของ เพื่อนำสัญญาณดิจิตอลที่ได้ไปประมวลผลข้อมูลด้วยโปรแกรม ADAM คอมพิวเตอร์ที่พัฒนาขึ้น การแสดงผลข้อมูลของโปรแกรมที่พัฒนาขึ้น จะออกมาในรูปแบบของ กราฟและตารางข้อมูลที่แสดงถึงค่าความเข้มข้นเชิงจำนวนของอนุภาคที่มีการเปลี่ยนแปลงตาม



รูปที่ 4.1 ลักษณะโครงสร้างและการทำงานของต้นแบบเครื่องวิเคราะห์ปริมาณความเข้มข้นเชิงจำนวนของอนุภาคนาโนแบบใช้หลักการวัดประจุไฟฟ้าสถิตนี้

เวลา สำหรับการเชื่อมต่อระหว่างโมดูลอนาลอกอินพุตและเอาต์พุตและคอมพิวเตอร์จะใช้การ ติดต่อโดยมาตรฐาน RS-485 ผ่านตัวแปลงผัน RS-485 ไปเป็น USB เวลาที่ใช้ในการเก็บข้อมูล แต่ละครั้ง (sampling time) ประมาณ 100 มิลลิวินาที ถึง 1 วินาที

4.2 ส่วนประกอบของระบบต้นแบบ

ในการสร้างและประกอบระบบต้นแบบ คณะผู้วิจัยได้ใช้อุปกรณ์เชิงพาณิชย์ต่างๆ ใน การประกอบเป็นระบบต้นแบบที่สมบูรณ์ ซึ่งอุปกรณ์ประกอบเพิ่มเติมที่ใช้ในระบบต้นแบบ ประกอบด้วย โมดูลอนาลอกอินพุตและเอาต์พุต (analog input and output modules) โมดูล แหล่งจ่ายไฟฟ้าแรงดันสูง (high voltage supply module) โมดูลแหล่งจ่ายไฟฟ้ากระแสตรง 12 โวลต์ดีซี (12 VDC power supply) ตัวแปลงผัน RS-485 ไปเป็น USB (RS-485 to USB converter) ตัวควบคุมอัตราการไหล (flow controller) และเครื่องดูดสุญญากาศ (vacuum pump) และแผ่นกรองอนุภาคประสิทธิภาพสูง (HEPA filter) ซึ่งรายละเอียดของอุปกรณ์ต่างๆ เหล่านี้จะได้อธิบายในหัวข้อดังต่อไปนี้

4.2.1 โมดูลอนาลอกอินพุตและเอาต์พุต

โมดูลอนาลอกอินพุต (analog input module) เป็นอุปกรณ์ที่ใช้สำหรับรับสัญญาณ อนาลอกเอาต์พุตจากวงจรอิเล็กโทรมิเตอร์ และจากอนาลอกเอาต์พุตของแหล่งจ่ายไฟฟ้าแรงดัน สูงเพื่อการแสดงสถานะการทำงานและระดับแรงดันไฟฟ้า ซึ่งมีแรงดันอนาลอกอยู่ในช่วง 0 ถึง 5 โวลต์ โดยในการศึกษานี้จะใช้โมดูลอนาลอกอินพุต 8 ช่องของบริษัท Advantech โมเดล ADAM-4017 จำนวน 4 โมดูล มีค่าการแยกชัด (resolution) 16 บิต (bit) ความถูกต้องประมาณ ± 0.1 เปอร์เซ็นต์ อัตราการสุ่มตัวอย่าง (sampling rate) 10 ตัวอย่าง ต่อ วินาที ค่า zero drift ประมาณ ± 6 ไมโครโวลต์ ต่อ องศาเซลเซียส และในการศึกษานี้ได้ใช้โมดูลอนาลอกเอาต์พุต (analog output module) จำนวน 4 ช่อง ของบริษัท Advantech โมเดล ADAM-4024 จำนวน 1 โมดูล ในการส่งสัญญาณอนาลอกเอาต์พุตสำหรับการควบคุมแรงดันไฟฟ้าของแหล่งจ่ายไฟฟ้า แรงดันสูงสำหรับชุดให้ประจุไฟฟ้า และชุดดักจับไอออน ซึ่งโมเดล ADAM-4024 มีค่าการแยก ชัด (resolution) 12 บิต (bit) แรงดันเอาต์พุตอยู่ในช่วง 0 ถึง 10 โวลต์ ความถูกต้องประมาณ ± 0.2 เปอร์เซ็นต์ ค่า zero drift ประมาณ ± 30 ไมโครโวลต์ ต่อ องศาเซลเซียส และมีการ ติดต่อสื่อสารด้วยคำสั่ง ASCII ผ่านมาตรฐานการติดต่อสื่อสารแบบ RS-485 รูปที่ 4.2 แสดง รูปภาพของโมดูลอนาลอกอินพุตและเอาต์พุตที่ใช้ในการศึกษานี้

4.2.2 โมดูลแหล่งจ่ายไฟฟ้าแรงดันสูง

โมดูลแหล่งจ่ายไฟฟ้าแรงดันสูงแบบปรับค่าได้ ได้ถูกนำมาใช้ในการจ่ายแรงดันไฟฟ้า ให้กับชุดให้ประจุไฟฟ้าอนุภาคและแรงดันไฟฟ้าให้กับชุดดักจับไอออน ซึ่งในการศึกษานี้ใช้ โมดูลแหล่งจ่ายไฟฟ้าแรงดันสูงของบริษัท Spellman รุ่น Bertan โมเดล PMT-50CP จำนวน 1 โมดูล สำหรับชุดให้ประจุไฟฟ้าอนุภาคซึ่งสามารถปรับแรงดันเอาต์พุตได้ในช่วง 0 ถึง 5 กิโล-



รูปที่ 4.2 รูปถ่ายของโมดูลอนาลอกอินพุตและเอาต์พุตของ Advantech

โวลต์ และรุ่น Bertan โมเดล PMT-05CP จำนวน 1 โมดูล สำหรับชุดดักจับไอออนซึ่งสามารถ ปรับแรงดันเอาต์พุตได้ในช่วง 0 ถึง 500 โวลต์ โดยทั้งสองโมดูลมีกระแสโหลดสูงสุดที่ 1 มิลลิ แอมป์ และมีค่าความพลิ้วของแรงดัน (ripple voltage) ประมาณ 200 มิลลิโวลต์ (Vp-p) โดย สามารถควบคุมแรงดันเอาต์พุตได้ด้วยสัญญาณอนาลอกอินพุต 0 ถึง 5 โวลต์ รูปที่ 4.3 แสดง รูปถ่ายของโมดูลแหล่งจ่ายไฟฟ้าแรงดันสูงโมเดล PMT-50CP สำหรับการเชื่อมต่อแรงดันไฟฟ้า ระหว่างโมดูลแหล่งจ่ายไฟฟ้าแรงดันสูงกับชุดให้ประจุไฟฟ้าและชุดดักจับไอออน จะใช้สาย ไฟฟ้าแรงสูงในการเชื่อมต่อ ซึ่งเป็นสายไฟฟ้าแรงสูงที่สามารถทนแรงดันไฟฟ้าได้สูงสุด 15 กิโล โวลต์ ที่กระแสไฟฟ้าสูงสุด 10 แอมป์

4.2.3 โมดูลแหล่งจ่ายไฟฟ้ากระแสตรง 12 โวลต์ ดีซี

แหล่งจ่ายไฟฟ้ากระแสตรง 12 โวลต์ ดีซี เป็นอุปกรณ์ที่ใช้สำหรับจ่ายไฟเลี้ยงให้กับ อุปกรณ์ทั้งหมดในระบบต้นแบบ ในการศึกษานี้ใช้โมดูลแหล่งจ่ายไฟฟ้ากระแสตรง 12 โวลต์ ดี ซี ของบริษัท ACRO Engineering Inc. โมเดล AD1048-12FS (รูปที่ 4.4) มีกำลังไฟฟ้า 48 วัตต์ กระแสสูงสุด 3 แอมป์ และมีค่าความพลิ้วของแรงดัน 100 มิลลิโวลต์ (Vp-p)



รูปที่ 4.3 รูปถ่ายของโมดูลแหล่งจ่ายไฟฟ้าแรงดันสูงโมเดล PMT-50CP



รูปที่ 4.4 รูปถ่ายของโมดูลแหล่งจ่ายไฟฟ้ากระแสตรง 12 โวลต์ ดีซี

4.2.4 ตัวแปลงผัน RS-485 ไปเป็น USB

ตัวแปลงผัน RS-485 ไปเป็น USB เป็นอุปกรณ์ที่ใช้สำหรับแปลงผันมาตรฐานการ ติดต่อสื่อสารแบบ RS-485 ไปเป็นมาตรฐานการสื่อสาร USB จากโมดูลอนาลอกอินพุต ADAM-4017 และโมดูลอนาลอกเอาต์พุต ADAM-4024 เพื่อนำข้อมูลไปบันทึกและประมวลผลด้วย โปรแกรมคอมพิวเตอร์ ในการศึกษานี้ใช้ตัวแปลงผัน RS-485 ไปเป็น USB ของบริษัท Inex Innovative Experiment โมเดล UCON-UART

4.2.5 ตัวควบคุมอัตราการไหลและเครื่องดูดสุญญากาศ

ระบบการใหลของละอองลอยและอากาศสะอาดภายในเครื่องวิเคราะห์ฯนี้ จะถูกวัดและ ควบคุมด้วยตัวควบคุมการใหลแบบโรตามิเตอร์ (rota-meter) ทำงานร่วมกับเครื่องดูด สุญญากาศ ในการศึกษานี้ใช้ตัวควบคุมอัตราการใหลเชิงมวลของบริษัท Dwyer โมเดล RMA-SSV สามารถควบคุมอัตราการใหลได้ในช่วง 0 ถึง 50 ลิตร ต่อ นาที มีค่าความถูกต้องประมาณ ± 2 เปอร์เซ็นต์ ที่เต็มสเกล รูปที่ 4.5 แสดงรูปถ่ายของตัวควบคุมอัตราการของ Dwyer เครื่องดูดสุญญากาศที่ใช้ในการศึกษานี้จะใช้แบบโรตารีของ Busch โมเดล SV 1003 มีอัตราการดูดเชิงปริมาตร (displacement volume rate) เท่ากับ 3 ลูกบาศก์เมตร ต่อ ชั่วโมง ที่มีความ ดัน 0.15 บาร์ โดยรูปถ่ายของเครื่องดูดสูญญากาศแบบโรตารีแสดงไว้ดังรูปที่ 4.6 สำหรับท่อที่ ใช้ในการเชื่อมต่อในระบบการใหลจะใช้ท่อแบบ polyethylene ขนาด 5 × 8 มิลลิเมตร



รูปที่ 4.5 รูปถ่ายของตัวควบคุมอัตราการของ Dwyer



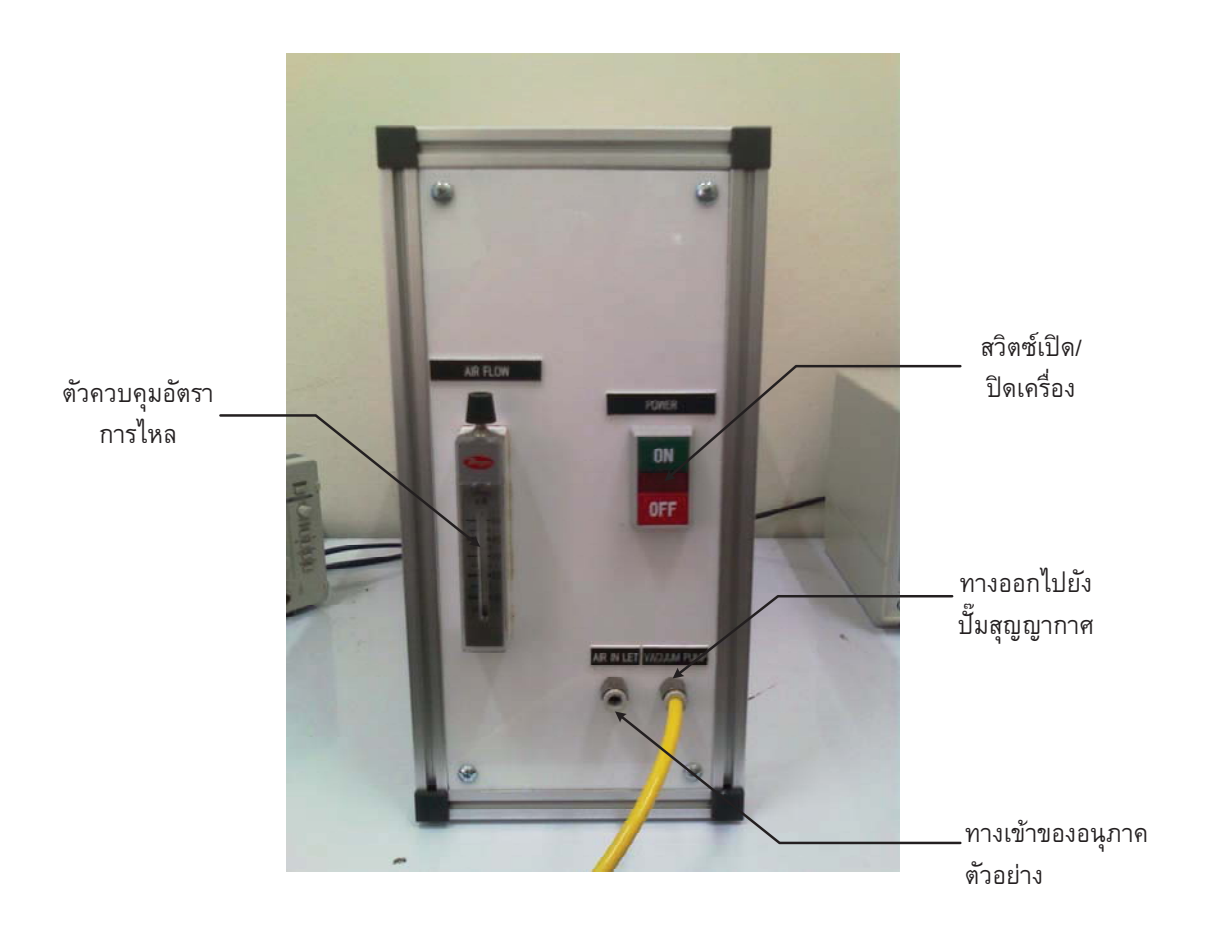
รูปที่ 4.6 รูปถ่ายของเครื่องดูดสูญญากาศแบบโรตารีของ Busch



รูป 4.7 รูปถ่ายของแผ่นกรองอนุภาคประสิทธิภาพสูงแบบ HEPA

4.2.6 แผ่นกรองอนุภาคประสิทธิภาพสูง

แผ่นกรองอนุภาคประสิทธิภาพสูง (high efficiency particulate-free air filter) หรือที่ เรียกว่า HEPA เป็นอุปกรณ์ที่ใช้ในการเก็บตัวอย่างอนุภาค สำหรับการวิเคราะห์ปริมาณความ เข้มข้นจำนวนอนุภาคเชิงมวล โดยในการศึกษานี้ใช้แผ่นกรองอนุภาคประสิทธิภาพสูงแบบใย แก้ว (glass fiber) ของบริษัท Whatman โมเดล EPM 2000 (รูปที่ 4.7) ขนาดเส้นผ่าน ศูนย์กลาง 47 มิลลิเมตร หนา 330 ไมโครเมตร มีอัตราการในการกักเก็บอนุภาค (particle retention rating) ที่ 98 เปอร์เซ็นต์ และสามารถทำงานที่อุณหภูมิสูงถึง 500 องศาเซลเซียส



รูปที่ 4.8 รูปถ่ายต้นแบบเครื่องวิเคราะห์ปริมาณความเข้มข้นเชิงจำนวนของอนุภาคนาโนแบบ ใช้หลักการวัดประจุไฟฟ้าสถิต

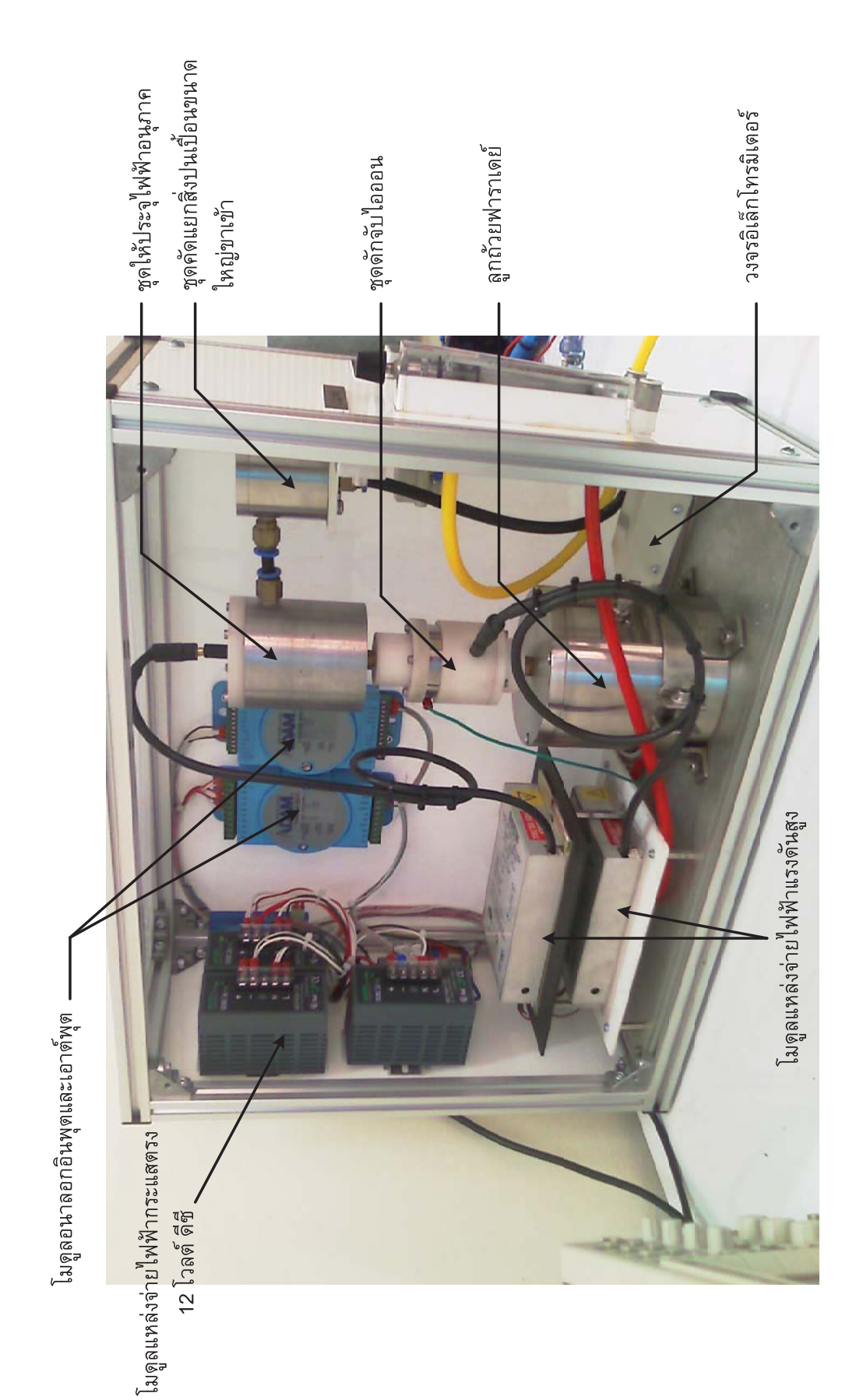
4.3 ตันแบบที่ประกอบรวมกัน

แสดงรูปถ่ายต้นแบบเครื่องวิเคราะห์ปริมาณความเข้มข้นเชิงจำนวนของ อนุภาคนาโนแบบใช้หลักการวัดประจุไฟฟ้าสถิตที่ประกอบอุปกรณ์ต่างๆ รวมกันเสร็จสมบูรณ์ โครงสร้างของต้นแบบทำจากโครงสร้างอลูมิเนียม (aluminum profile) ขนาด 20 × 20 มิลลิเมตร โดยโครงสร้างของต้นแบบมีขนาดมิติเท่ากับ 160 imes 480 imes 360 มิลลิเมตร ด้านหน้า ของเครื่องวิเคราะห์แสดงการติดตั้งตัวควบคุมอัตราการไหล สวิตซ์เปิด/ปิด ทางเข้าของอนุภาค และทางออกอนุภาค รูปที่ 4.9 แสดงด้านหลังของเครื่องวิเคราะห์ที่แสดงถึงตำแหน่งของพอร์ต USB และจุดเชื่อมต่อไฟฟ้า 220 โวลต์ รูปที่ 4.10 แสดงลักษณะการติดตั้งอุปกรณ์ต่างๆ และ และท่อในระบบการไหลที่ด้านข้างของ การเชื่อมต่อสายสัญญาณและสายไฟฟ้ากำลังต่างๆ เครื่องวิเคราะห์ฯต้นแบบ โดยชุดคัดแยกสิ่งปนเปื้อนขนาดใหญ่ขาเข้า ชุดให้ประจุไฟฟ้าอนุภาค ลูกถ้วยฟาราเดย์และวงจรอิเล็กโทรมิเตอร์จะติดตั้งและจับยึดให้อยู่ตรงกลาง ชุดดักจับไอออน และเชื่อมต่อลงกราวด์ที่โครงสร้างอลูมิเนียมเพื่อป้องกันอันตรายจาก ของโครงสร้างหลัก ไฟฟ้าแรงสูง โมดูลแหล่งจ่ายไฟฟ้ากระแสตรงขนาด 12 โวลต์ สำหรับโมดูลอนาลอกต่างๆและ วงจรอิเล็กโทรมิเตอร์จะติดตั้งที่ตำแหน่งบนของผนังด้านหลัง ซึ่งเป็นจุดที่มีความง่ายในการ เชื่อมต่อสายไฟฟ้าไปยังอุปกรณ์ต่างๆ ส่วนตำแหน่งการติดตั้งของโมดูลอนาลอกอินพุตและ

เอาต์พุตจะติดตั้งที่ผนังด้านข้างของโครงสร้าง โดยโมดูลแหล่งจ่ายไฟฟ้าแรงสูงจะถูกติดตั้งไว้ ด้านล่างของโครงสร้าง เพื่อป้องกันสัญญาณรบกวนจากสนามไฟฟ้าของแหล่งจ่ายไฟฟ้าแรงสูง และเชื่อมต่อด้วยสายไฟฟ้าแรงสูงไปยังชุดให้ประจุไฟฟ้าอนุภาคและชุดดักจับไอออน ติดตั้ง วงจรอิเล็กโทรมิเตอร์จะถูกเชื่อมต่อเข้ากับลูกถ้วยฟาราเดย์ด้วยขั้วต่อแบบ BNC เพื่อหลีกเลี่ยง สัญญาณรบกวน และการรั่วไหลของกระแสไฟฟ้าระหว่างลูกถ้วยฟาราเดย์กับวงจรอิล็กโทร มิเตอร์ และการเชื่อมต่อสัญญาณเอาต์พุตจากอิเล็กโทรมิเตอร์ไปยังโมดูลอนาลอกอินพุต จะใช้ สายสัญญาณที่มีสัญญาณรบกวนต่ำ



รูปที่ 4.9 รูปถ่ายด้านหลังของเครื่องวิเคราะห์ที่แสดงถึงตำแหน่งของพอร์ต USB และจุด เชื่อมต่อไฟฟ้า 220 โวลต์



รูปที่ 4.10 รูปถ่ายลักษณะการติดตั้งอุปกรณ์ต่าง ๆ และการเชื่อมต่อสายสัญญาณและสายไฟฟ้ากำลังต่าง ๆ และท่อในระบบการใหล

บทที่ **5** อุปกรณ์และวิธีการทดลอง

ในบทนี้จะกล่าวถึงรายละเอียดของเครื่องมือและอุปกรณ์หลักที่ใช้ในการทดลอง กระบวนการที่ใช้ในการทดสอบสมรรถนะการทำงานของต้นแบบเครื่องวิเคราะห์ฯ โดยในหัวข้อ แรกจะอธิบายถึงคุณลักษณะของอุปกรณ์การทดลอง ซึ่งประกอบด้วย filter) ระบบการจ่ายและวัดไฟฟ้าแรงดันสูง ประสิทธิภาพสูง (HEPA (high measurement and supply system) อิเล็กโทรมิเตอร์มาตรฐาน (standard electrometer) ออสซิลโลสโคปแบบดิจิตอล (digital oscilloscope) มัลติมิเตอร์แบบดิจิตอล (digital multimeter) เครื่องวิเคราะห์ขนาดอนุภาค และกล้องจุลทรรศน์ mobility spectrometer) (electrical อิเล็กตรอนแบบส่องกราด (scanning electron microscope) ในส่วนของกระบวนสร้างอนุภาค ตัวอย่างสำหรับการทดลอง รวมไปถึงการทดสอบสมรรถนะการทำงานของอุปกรณ์ประกอบย่อย ต่างๆ อันได้แก่ ชุดคัดแยกสิ่งปนเปื้อนขนาดใหญ่ขาเข้า ชุดดักจับไอออน ชุดให้ประจุไฟฟ้า อนุภาค และวงจรอิเล็กโทรมิเตอร์ จะได้อธิบายในหัวข้อสุดท้ายของบทนี้

5.1 เครื่องมือและอุปกรณ์การทดลอง

5.1.1 ตัวกรองอนุภาคประสิทธิภาพสูง

ตัวกรองอนุภาคประสิทธิภาพสูง (high efficiency particulate-free air filter) หรือที่ เรียกว่าตัวกรองอนุภาคแบบ HEPA เป็นอุปกรณ์ที่ใช้ในการกำจัดอนุภาคขนาดเล็กออกจาก กระแสการใหลของแก๊ส ในการศึกษานี้ใช้ Pall HEPA Capsule โมเดล 12144 ใช้ในการกำจัด อนุภาคขนาดเล็กสำหรับการทดสอบสมรรถนะของอุปกรณ์ประกอบย่อยต่างๆ ซึ่งตัวกรอง อนุภาคนี้มีประสิทธิภาพการกรองประมาณ 99.97 เปอร์เซ็นต์ ที่ 0.3 ไมโครเมตร สำหรับอากาศ หรือแก๊ส รูปที่ 5.1 แสดงรูปถ่ายของตัวกรองอนุภาคแบบ HEPA

5.1.2 ระบบการจ่ายและวัดไฟฟ้าแรงดันสูง

ระบบการจ่ายและวัดไฟฟ้าแรงดันสูงจะให้ในการทดลองต่างๆ ซึ่งจะประกอบด้วย แหล่งจ่ายไฟฟ้าแรงดันสูงแบบปรับค่าได้ (adjustable DC high voltage power supply) สายไฟฟ้าแรงดันสูง (high voltage cable) และหัววัดไฟฟ้าแรงดันสูง (high voltage probe) ใน การทดลองนี้จะใช้แหล่งจ่ายไฟฟ้าแรงสูงแบบปรับค่าได้ของบริษัท Leybold Didactic โมเดล 521721 สามารถปรับแรงดันเอาต์พุตได้อยู่ในช่วง 0 ถึง 25 กิโลโวลต์ ที่กระแสโหลดสูงสุด 0.5 มิลลิแอมป์ และมีค่าความพลิ้วของแรงดันประมาณ 3 เปอร์เซ็นต์ ของค่าแรงดันไฟฟ้าสูงสุด รูป ที่ 5.2 แสดง Leybold Didactic โมเดล 521721 ส่วนหัววัดไฟฟ้าแรงดันสูง เป็นอุปกรณ์เสริมที่ ใช้ต่อเข้ากับมัลติมิเตอร์แบบดิจิตอลสำหรับวัดไฟฟ้าแรงดันสูง ในการศึกษานี้ใช้หัววัดของ



รูปที่ 5.1 รูปถ่ายของตัวกรองอนุภาคแบบ HEPA ที่ใช้ในการศึกษานี้

Fluke โมเดล 80K-40 สามารถวัดไฟฟ้าแรงดันสูงได้ในช่วง 1 ถึง 40 กิโลโวลต์ มีค่าความ ถูกต้อง 1 เปอร์เซ็นต์ และ มีค่าความต้านทานทางด้านอินพุตเท่ากับ 1000 เมกกะโอห์ม รูปที่ 5.3 แสดง Fluke โมเดล 80K-40

5.1.3 อิเล็กโทรมิเตอร์มาตรฐาน

อิเล็กโทรมิเตอร์เป็นอุปกรณ์ที่ใช้ในการวัดสัญญาณกระแสไฟฟ้าระดับต่ำ (low level) ของอนุภาคที่มีประจุและไอออนจากถูกถัวยฟาราเดย์หรือชุดให้ประจุไฟฟ้าอนุภาค ในการศึกษา นี้ใช้อิเล็กโทรมิเตอร์ของบริษัท Keithley โมเดล 6517A ทำงานร่วมกับโมเดล 6522 โดยโมเดล 6517A เป็นอิเล็กโทรมิเตอร์ที่มีกระแสไบอัสอินพุต (input bias current) น้อยกว่า 3 เฟมโต แอมป์ และมีสัญญาณรบกวน 0.75 เฟมโตแอมป์ และสามารถวัดกระแสไฟฟ้าได้อยู่ในช่วง 1 เฟมโตแอมป์ ถึง 20 มิลลิแอมป์ รูปที่ 5.4 แสดงรูปถ่ายของอิเล็กโทรมิเตอร์ Keithley โมเดล 6517A ส่วนโมเดล 6522 เป็นวงจรเรียงระดับสัญญาณจำนวน 10 ช่องวัด สำหรับการวัด สัญญาณไฟฟ้าแบบหลายช่องวัดของอิเล็กโทรมิเตอร์โมเดล 6517A สำหรับโมเดล 6522 มีกระแสออฟเซ็ต (offset current) แต่ละช่องวัดน้อยกว่า 1 พิโคแอมป์ และมีการแยกกันทาง ไฟฟ้า (electrical isolation) ในแต่ละช่องวัดสูง (มากกว่า 10¹⁵ โอห์ม) รูปที่ 5.5 แสดงรูปถ่าย ของ Keithley โมเดล 6522 ในการศึกษานี้ได้ใช้สายสัญญาณเชื่อมต่อแบบแกนร่วมที่มีสัญญาณ รบกวนต่ำ (low-noise coaxial connection cable) เพื่อหลีกเลี่ยงสัญญาณรบกวนและการ ซึ่งสายสัญญาณนี้มีความต้านทานของฉนวนระหว่างแกนตัวนำถึง รั่วไหลของกระแสไฟฟ้า ฉนวนประมาณ 10¹⁵ โอห์ม และมีความต้านทานของตัวนำน้อยกว่า 0.5 โอห์ม และ สายสัญญาณรบกวนต่ำแบบ Triax โมเดล 237-AGL-2 ใช้ในการเชื่อมต่อระหว่างอิเล็กโทร มิเตอร์กับชุดให้ประจุไฟฟ้าอนุภาค สำหรับการวัดกระแสไฟฟ้าของการอัดประจุและไอออน รูปที่ 5.6 แสดงรูปถ่ายของสายสัญญาณของ Keithley โมเดล 237-ALG-2



รูปที่ 5.2 รูปถ่ายของแหล่งจ่ายไฟฟ้าแรงดันสูงของ Leybold Didactic โมเดล 521721



รูปที่ 5.3 หัววัดไฟฟ้าแรงดันสูงของ Fluke โมเดล 80K-40

5.1.4 ออสซิลโลสโคปแบบดิจิตอล

รูปที่ 5.7 แสดงออสซิลโลสโคปแบบดิจิตอล (digital oscilloscope) ของ Tektronix โมเดล TDS 210 ซึ่งในการศึกษานี้ใช้ออสซิลโลสโคปในการวิเคราะห์ค่าสัญญาณทางไฟฟ้า ต่างๆ สำหรับการทดสอบวงจรอิเล็กโทรมิเตอร์ เช่น แรงดันไฟฟ้า กระแสไฟฟ้า และสัญญาณ รบกวนต่างๆ โดยโมเดล TDS 210 มีช่องสัญญาณอนาลอกจำนวน 4 ช่องวัด มีช่องความถึ่ (bandwidth) 200 เมกะเฮรตซ์ อินพุตอิมพิแดนซ์ (input impedance) 1 เมกะโอห์ม และ สามารถบันทึกข้อมูลผ่านพอร์ต USB ได้



รูปที่ 5.4 รูปถ่ายของอิเล็กโทรมิเตอร์ของ Keithley โมเดล 6517A



รูปที่ 5.5 รูปถ่ายของ Keithley โมเดล 6522

5.1.5 มัลติมิเตอร์แบบดิจิตอล

มัลติมิเตอร์แบบดิจิตอล (digital multi-meter) เป็นอุปกรณ์ที่ใช้สำหรับการวัดค่า สัญญาณทางไฟฟ้าต่างๆในการทดลอง ในการศึกษานี้จะใช้ของ Digicon โมเดล DM-815 มี ความถูกต้อง ±2.5 เปอร์เซ็นต์ รูปที่ 5.8 แสดงมัลติมิเตอร์แบบดิจิตอลที่ใช้ในการทดสอบนี้



รูปที่ 5.6 รูปถ่ายของสายสัญญาณของ Keithley โมเดล 237-ALG-2



รูปที่ 5.7 รูปถ่ายของออสซิลโลสโคปของ RIGOL โมเดล DS1000

5.1.6 เครื่องวิเคราะห์ขนาดอนุภาค

เครื่องวิเคราะห์ขนาดอนุภาค (electrical mobility spectrometer) หรือ EMS เป็น เครื่องมือที่ใช้ในการวิเคราะห์การแจกแจงขนาดเส้นผ่านศูนย์กลางของอนุภาค EMS สามารถ วิเคราะห์ขนาดอนุภาคได้ในช่วง 10 ถึง 1,000 นาโนเมตร ที่ความเข้มขันเชิงจำนวนน้อยกว่า 10^{14} อนุภาค ต่อ ลูกบาศก์เมตร ใช้เวลาในการประมวลผลน้อยกว่า 1 วินาที มีความถูกต้องใน การวิเคราะห์ \pm 5 เปอร์เซ็นต์ รูปที่ 5.9 แสดงรูปถ่ายของ EMS (Intra and Tippayawong, 2009)



รูปที่ 5.8 มัลติมิเตอร์แบบดิจิตอลที่ใช้ในการทดสอบนี้



รูปที่ 5.9 เครื่องวิเคราะห์ขนาดอนุภาค (Intra and Tippayawong, 2009)



รูปที่ 5.10 รูปถ่ายของกล้องจุลทรรศน์อิเล็กตรอนแบบส่องกราดของ JEOL JSM-6335F

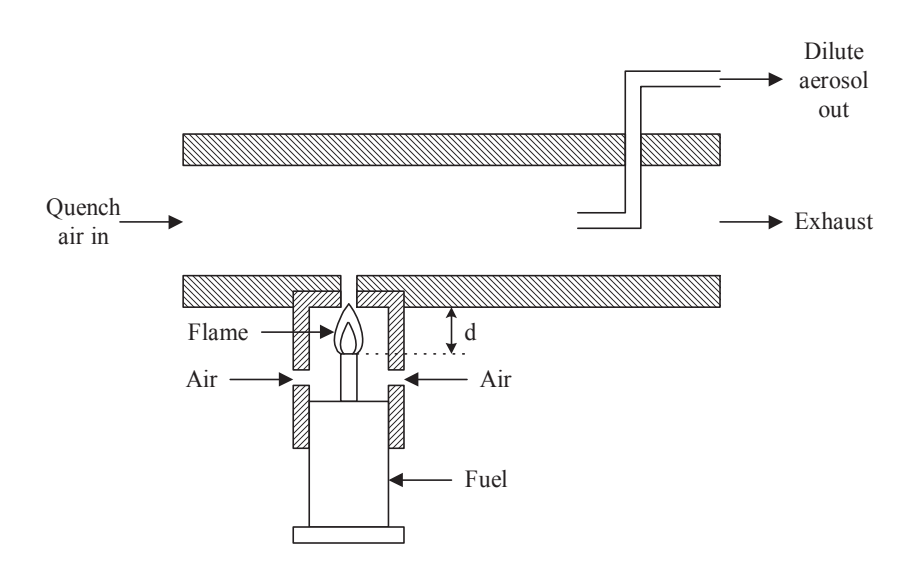
5.1.7 กล้องจุลทรรศน์อิเล็กตรอนแบบส่องกราด

ในการศึกษานี้ใช้กล้องจุลทรรศน์อิเล็กตรอนแบบส่องกราด (scanning electron microscope) หรือ SEM ของ JEOL โมเดล JSM-6335F เพื่อถ่ายภาพอนุภาคตัวอย่างจาก แหล่งจ่ายอนุภาคที่สร้างขึ้น ซึ่งกล้องจุลทรรศน์นี้เป็นกล้องจุลทรรศน์อิเล็กตรอนแบบส่องกราดที่ มีการแยกชัดสูง โดยมีค่าการแยกชัดประมาณ 1.5 นาโนเมตร และมีกำลังขยายระหว่าง 10 เท่า ถึง 500,000 เท่า รูปที่ 5.10 แสดงรูปถ่ายของกล้องจุลทรรศน์อิเล็กตรอนแบบส่องกราดของ JEOL โมเดล JSM-6335F

5.2 ระเบียบวิธีการทดลอง

5.2.1 การสร้างอนุภาคตัวอย่างสำหรับการทดสอบ

รูปที่ 5.11 แสดงใดอะแกรมของการสร้างอนุภาคตัวอย่างสำหรับการทดลองนี้ โดย อนุภาคตัวอย่างจะถูกสร้างโดยการเผาใหม้แพร่กระจายแบบราบเรียบ (Iaminar diffusion burner) ด้วยน้ำมันก๊าดที่สภาวะก่อนการเป็นเขม่า (presooting condition) ภายใต้สภาวะนี้เขม่า จะถูกสร้างโดยเปลวที่กลายเป็นออกใชด์ ซึ่งจะให้ความเข้มข้นจำนวนอนุภาคที่ต่ำมากๆ โดย การใหลของอากาศที่ตัดผ่านปลายของเปลวไฟ จะช่วยในการสร้างอนุภาคที่มีความเข้มขันสูง และอากาศยังช่วยพาอนุภาคให้เคลื่อนที่ออกจากห้องเผาใหม้ โดยไอเสียจากเปลวไฟจะถูกผสม กับอากาศอย่างรวดเร็วโดยการใช้เครื่องเป่าอากาศ เพื่อทำให้เกิดอนุภาคการ์บอนที่มีขนาดเล็ก ลง การสุ่มเก็บตัวอย่างอนุภาคจะใช้วิธีการสุ่มตัวอย่างแบบที่มีจลศาสตร์เท่ากัน (isokinetic sampling) โดยความเข้มขันจำนวนและการแจกแจงขนาดของอนุภาคสามารถปรับเปลี่ยนได้

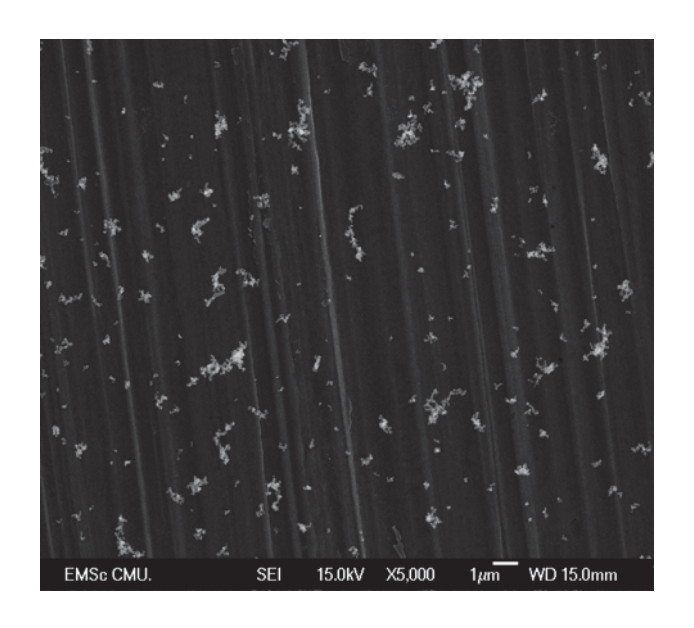


รูปที่ 5.11 ไดอะแกรมของเครื่องสร้างอนุภาคตัวอย่างที่ใช้ในการศึกษานี้ (Yawootti et al., 2010)

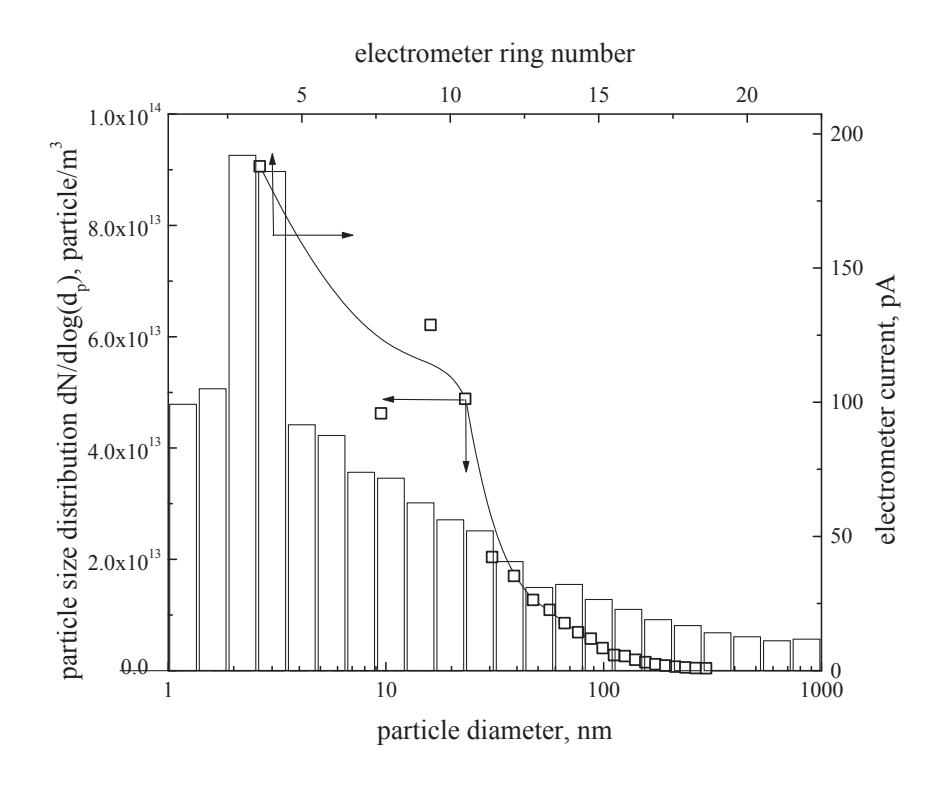


รูปที่ 5.12 รูปถ่ายของเครื่องสร้างละอองลอยที่ใช้ในการศึกษานี้ (Yawootti et al., 2010)

โดยการปรับเปลี่ยนอัตราการใหลของอากาศในห้องเผาใหม้และระดับของเปลวไฟ โดยปกติแล้ว ละอองลอยที่ได้จะมีความเข้มข้นจำนวนประมาณ 10¹⁴ อนุภาค ต่อ ลูกบาศก์เมตร รูปที่ 5.12 แสดงรูปถ่ายของเครื่องสร้างอนุภาคที่ใช้ในการศึกษานี้ โดยขนาดเส้นผ่านศูนย์กลางของอนุภาค โดยเฉลี่ย ที่ถ่ายได้จากกล้องจุลทรรศน์อิเล็กตรอนแบบส่องกราดจะอยู่ในช่วงขนาดเล็กกว่า 1 ไมโครเมตร ดังแสดงไว้ในรูปที่ 5.13 และรูปที่ 5.14 แสดงการแจกแจงขนาดของอนุภาคของ เครื่องสร้างอนุภาคที่พัฒนาขึ้นที่วิเคราะห์โดยเครื่อง EMS จากรูปจะเห็นว่าอนุภาคที่วิเคราะห์ได้ มีการแจกแจงขนาดอยู่ในช่วง 10 นาโนเมตร ถึง 1 ไมโครเมตร ซึ่งสอดคล้องกับรูปถ่ายจาก SEM ในการศึกษานี้ยังได้นำอนุภาคตัวอย่างที่สร้างได้ไปวิเคราะห์องค์ประกอบของธาตุ

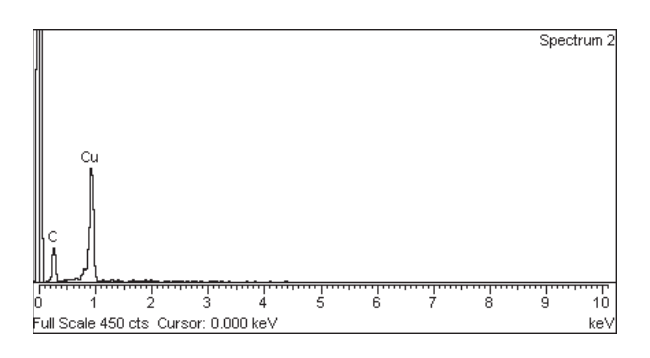


รูปที่ 5.13 รูปถ่ายจากกล้องจุลทรรศน์อิเล็กตรอนของอนุภาคตัวอย่าง (Yawootti et al., 2010)



รูปที่ 5.14 การแจกแจงขนาดของอนุภาคของเครื่องสร้างอนุภาคที่พัฒนาขึ้นที่วิเคราะห์โดย เครื่อง EMS (Yawootti et al., 2010)

โดยอนุภาคที่สร้างขึ้นจะถูกเก็บตัวอย่างไว้บนเทปทองแดงแล้วนำไปวิเคราะห์ด้วยเครื่อง EDS (energy dispersive spectroscopy) รูปที่ 5.15 แสดงผลการวิเคราะห์องค์ประกอบธาตุของ อนุภาคตัวอย่าง จากรูปจะเห็นว่าอนุภาคที่ได้เป็นอนุภาคคาร์บอน (C) มีเปอร์เซ็นต์ของน้ำหนัก (weight%) 41.36 เปอร์เซ็นต์ และมีเปอร์เซ็นต์ของอะตอม (atomic%) 78.86 เปอร์เซ็นต์ และ จากรูปจะสังเกตได้ว่ามีธาตุที่เป็นทองแดง (Cu) นั่นคือแผ่นเทปทองแดงที่เก็บตัวอย่าง



รูปที่ 5.15 ผลการวิเคราะห์องค์ประกอบธาตุของอนุภาคตัวอย่างด้วย EDS (Yawootti et al., 2010)

5.2.2 การทดสอบสมรรถนะของชุดคัดแยกสิ่งปนเปื้อนขนาดใหญ่

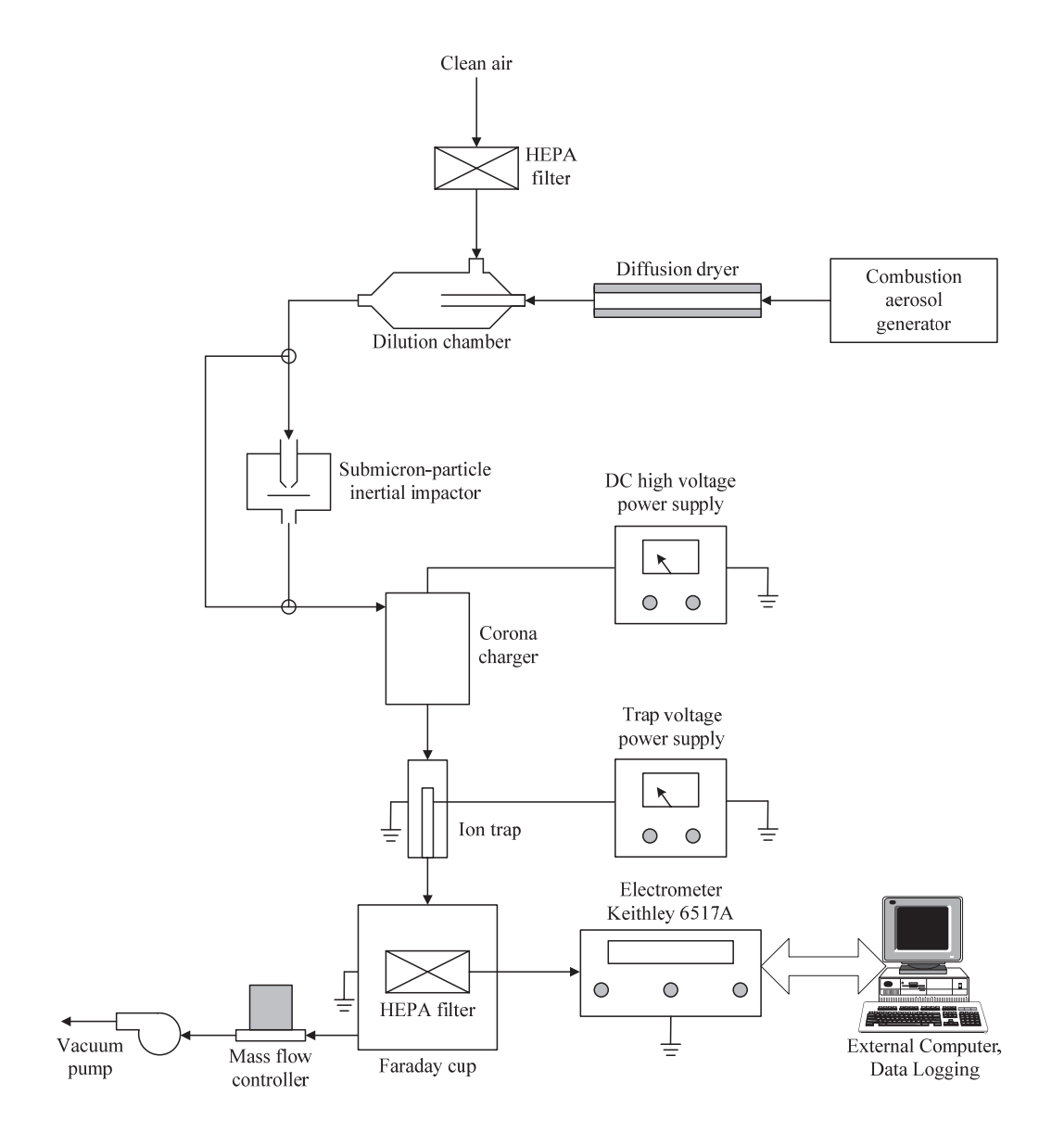
รูปที่ 5.16 แสดงใดอะแกรมของการทดสอบสมรรถนะการสะสมตัว (particle collection efficiency) ของอนุภาคภายในชุดคัดแยกสิ่งปนเปื้อนขนาดใหญ่ ในการทดสอบสมรรถนะการ สะสมตัวเริ่มต้นโดยการดูดอนุภาคตัวอย่าง (อธิบายไว้ในหัวข้อ 5.2.1) ผ่านท่อเก็บตัวอย่าง โดย อัตราการใหลของอนุภาคจะถูกควบคุมด้วยตัวควบคุมอัตราการใหลเชิงมวลอยู่ในช่วง 1.0 ถึง 5.0 ลิตร ต่อ นาที จากนั้นอนุภาคจะถูกกำจัดความชื้นโดยผ่านเข้าไปในตัวดักความชื้นแบบ แพร่กระจาย (diffusion dryer) ก่อนและถูกทำให้เจือจางลงโดยผ่านชุดเจือจาง (dilution chamber) หลังจากนั้นอนุภาคตัวอย่างจะผ่านเข้าไปยังชุดคัดแยกสิ่งปนเปื้อนขนาดใหญ่ที่ ต้องการทดสอบ โดยความเข้มจำนวนของอนุภาคที่ด้านทางเข้าและทางออกของชุดคัดแยกสิ่ง ปนเปื้อน จะถูกวัดด้วยการวัดกระแสไฟฟ้าของประจุของอนุภาค (charged particle current) ด้วยลูกฟาราเดย์และอิเล็กโทรมิเตอร์ เพื่อหาประสิทธิภาพการสะสมตัวของอนุภาคภายในชุดคัด แยก ซึ่งค่าความเข้มข้นจำนวนของอนุภาคสามารถคำนวณได้จาก

$$N_p = \frac{I_p}{n_p e Q_a} \tag{5.1}$$

เมื่อ N_p คือความเข้มข้นจำนวนของอนุภาค I_p คือค่ากระแสไฟฟ้าที่วัดได้จากลูกถ้วยฟารา เดย์อิเล็กโทรมิเตอร์ n_p คือจำนวนประจุที่อยู่บนอนุภาค e คือค่าประจุพื้นฐานของอิเล็กตรอน (Elementary charge) มีค่าเท่ากับ 1.61 × 10 $^{-19}$ C และ Q_a คืออัตราการไหลของอนุภาคดังนั้น ประสิทธิภาพการสะสมตัวของอนุภาคภายในชุดคัดแยกสิ่งปนเปื้อนสามารถหาได้จาก

$$E = 1 - \frac{N_{p,out}}{N_{p,in}} \tag{5.2}$$

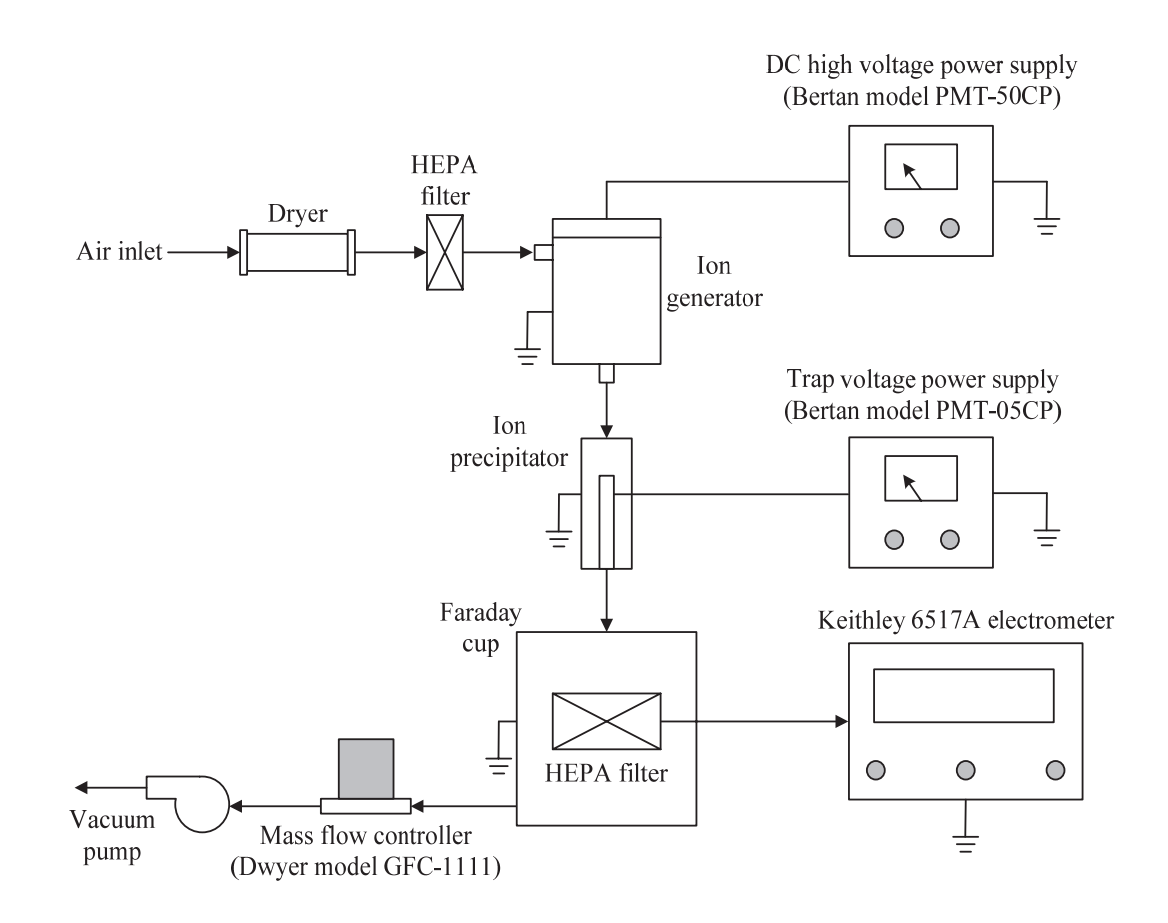
เมื่อ $N_{p,in}$ และ $N_{p,out}$ คือจำนวนความเข้มข้นของอนุภาคทางด้านทางเข้าและทางออกของชุด คัดแยก



รูปที่ 5.16 ไดอะแกรมของการทดสอบสมรรถนะการสะสมตัวของอนุภาคภายในชุดคัดแยกสิ่ง ปนเปื้อนขนาดใหญ่ (Intra, 2008)

5.2.3 การทดสอบสมรรถนะของชุดดักจับไอออน

การทดสอบสมรรถนะการดักจับไอออนของชุดดักจับไอออน จะทำการทดสอบโดยการ จ่ายไอออนที่รู้ค่าความเข้มขันจำนวน (number concentration) เข้าไปในชุดดักจับไอออน แล้ว หาประสิทธิภาพ จากสัดส่วนความเข้มขันจำนวนของไอออนที่วัดได้จากทางเข้าและทางออก ไดอะแกรมการทดสอบสมรรถนะของชุดดักจับไอออนแสดงไว้ดังรูปที่ 5.17 ในการศึกษานี้จะใช้ ชุดให้ประจุอนุภาคแบบโคโรนาเข็มเป็นแหล่งจ่ายไอออน ซึ่งจะจ่ายแรงดันไฟฟ้าให้กับโคโรนา เข็มประมาณ 3.5 กิโลโวลต์ จะได้ค่าความเข้มขันจำนวนของไอออนเท่ากับ 3 × 10¹² ไอออน ต่อ ลูกบาศก์เมตร ในการทดสอบจะทำการดูดอากาศเข้ามายังระบบด้วยปั๊มสุญญากาศและ ควบคุมอัตราการไหลด้วยตัวควบคุมการไหล อากาศที่เข้ามาจะถูกทำกำจัดความซื้นโดยตัวดัก ความชื้น และถูกกรองอนุภาคที่ปะปนเข้ามาด้วยตัวกรองอนุภาคแบบ HEPA เมื่ออากาศจะผ่าน

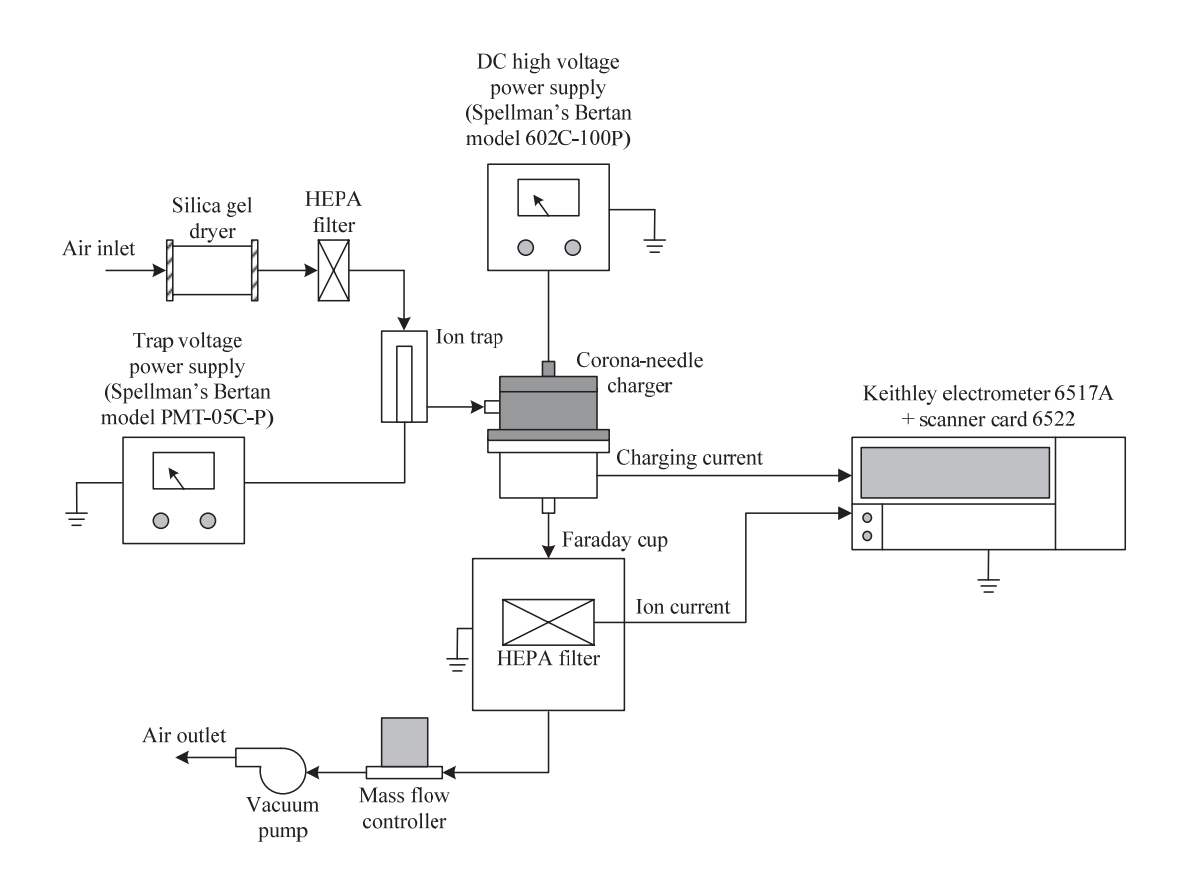


รูปที่ 5.17 ใดอะแกรมของการทดสอบสมรรถนะของชุดดักจับใอออน

เข้าไปยังชุดให้ประจุอนุภาคฯแล้วอากาศจะเป็นตัวนำพาไอออนออกมาพร้อมกัน อากาศที่มี ไอออนปนอยู่จะเข้าไปยังชุดดักจับไอออน จากนั้นจะทำการวัดกระแสไฟฟ้าของไอออน (ion current) ที่ทางเข้าและทางออกของชุดดักจับไอออนด้วยลูกถัวยฟาราเดย์และอิเล็กโทรมิเตอร์ โดยค่ากระแสไฟฟ้าของไอออนจะสอดคล้องกับค่าความเข้มข้นจำนวนไอออน และสามารถ คำนวณได้จากสมการที่ 3.32 ในการทดลองนี้จะทำการปรับเปลี่ยนตัวแปรและเงื่อนไขการ ทำงานดังแสดงไว้ในตารางที่ 5.1

ตารางที่ 5.1 เงื่อนไขที่ใช้ในการทดสอบสมรรถนะการทำงานของชุดดักจับไอออน

ตัวแปรและเงื่อนไขการทำงาน	ช่วงที่กำหนด
แรงดันไฟฟ้าที่ขั้วอิเล็กโทรด	10, 50, 100 และ 150 โวลต์
ขั้วของแรงดัน	บวก
อัตราการไหล	5, 10 และ 15 ลิตร ต่อ นาที
ชนิดแก๊ส	อากาศ
ขั้วของไอออน	ไอออนบวก (+)
ความดันทำงาน	1 บาร์



รูปที่ 5.18 ไดอะแกรมการทดสอบสมรรถนะการทำงานของชุดให้ประจุไฟฟ้า (Intra and Tippayawong, 2010)

5.2.4 การทดสอบสมรรถนะของชุดให้ประจุอนุภาค

รูปที่ 5.18 แสดงใดอะแกรมการทดสอบสมรรถนะการทำงานของชุดให้ประจุไฟฟ้านี้ ซึ่ง สมรรถนะการทำงานของชุดให้ประจุไฟฟ้าเป็นฟังก์ชั่นของความเข้มข้นของไอออนในพื้นที่ของ การให้ประจุไฟฟ้า (charging zone) ดังนั้น จึงจำเป็นต้องมีการวัดค่ากระแสของไอออนจากขั้ว อิเล็กโทรดเข็มโคโรนาด้านในกับอิเล็กโทรดด้านนอกของเครื่องอัดประจุ อนุภาคด้วยตัวกรองอนุภาคประสิทธิภาพสูงและนำเข้ามาในระบบ โดยผ่านการควบคุมด้วย เครื่องควบคุมอัตราการใหลเชิงมวลกับเครื่องดูดสุญญากาศ ซึ่งจะทำการควบคุมอัตราการใหล ให้อยู่ในช่วง 3 ถึง 8 ลิตร ต่อ นาที ซึ่งอยู่ในช่วงการทำงานของเครื่องวิเคราะห์ขนาดอนุภาคนี้ฯ ส่วนแรงดันไฟฟ้าที่จ่ายให้กับขั้วอิเล็กโทรดเข็มปลายแหลม จะถูกจ่ายด้วยเครื่องจ่ายไฟฟ้า แรงดันสูงกระแสตรงแบบปรับค่าได้ โดยกระแสไฟฟ้าที่วัดได้จากทดสอบนั้น มิเตอร์วัดกระแสไฟฟ้าที่ได้จากการให้ประจุไฟฟ้า (charging current) และตรงทางออกของชุด ให้ประจุไฟฟ้า โดยความเข้มจำนวนไอออนภายในพื้นที่การให้ประจุไฟฟ้าเป็นสิ่งที่จำเป็นต้องรู้ เนื่องจากว่าเป็นตัวแปรหลักที่ควบคุมประสิทธิภาพการให้ประจุไฟฟ้าของอนุภาค กระแสไอออน ที่ทางออกของชุดให้ประจุไฟฟ้าถูกวัดโดยวิธีการกรอง โดยอากาศตัวอย่างจะถูกส่งผ่านเข้าไป ยังลูกถ้วยฟาราเดย์ โดยกระแสของไอออนที่วัดได้จากอิเล็กโทรมิเตอร์จะถูกแปลงไปเป็นความ เข้มขันจำนวนไอออน ด้วยอัตราการใหลของอากาศทั้งหมดที่ใหลผ่านชุดให้ประจุไฟฟ้า ความ

ตารางที่ 5.2 เงื่อนไขที่ใช้ในการทดสอบสมรรถนะการทำงานของชุดให้ประจุไฟฟ้าอนุภาค

 ตัวแปรและเงื่อนไขการทำงาน	ช่วงที่กำหนด
แรงดันไฟฟ้า	0 ถึง 10 กิโลโวลต์
ระยะห่างระหว่างขั้วอิเล็กโทรด	1.75 มิลลิเมตร
มุมของขั้วอิเล็กโทรดเข็ม	10 และ 20 องศา
ชนิดไอออน	ไอออนบวก (+) และ ไอออนบวก (–)
ชนิดแก๊ส	อากาศ
อัตราการไหล	3, 5, และ 8 ลิตร ต่อ นาที
ความดันทำงาน	1 บาร์

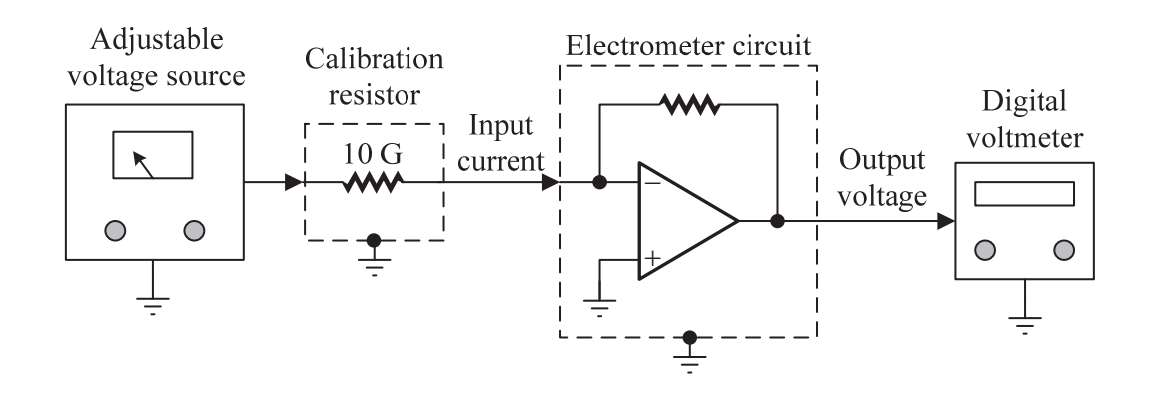
เข้มขันจำนวนไอออนที่ทางออกของชุดให้ประจุไฟฟ้า สามารถคำนวณได้จากสมการที่ 3.32 ดังนั้นค่าการผ่านทะลุของไอออน (ion penetration) P ของชุดให้ประจุไฟฟ้าสามารถคำนวณ ได้จากสมการที่ 3.33 ตารางที่ 5.2 แสดงเงื่อนไขที่ใช้ในการทดสอบสมรรถนะการทำงานของชุด ให้ประจุไฟฟ้าอนุภาค

5.2.5 การทดสอบสมรรถนะของวงจรอิเล็กโทรมิเตอร์

รูปที่ 5.19 แสดงไดอะแกรมสำหรับการทดสอบสมรรถนะของวงจรอิเล็กโทรมิเตอร์ ในการศึกษานี้ได้ทำการทดสอบการวัดเทียบวงจรอิเล็กโทรมิเตอร์ด้วยวงจรจ่ายกระแสไฟฟ้า (หรือ แหล่งจ่ายกระแสไฟฟ้าที่มีค่าอิมพีแดนซ์สูง) ซึ่งวงจรนี้ประกอบด้วยตัวตำนทานมาตรฐานสูงขนาด 10 × 10 ใอห์ม มีค่าความผิดพลาดประมาณ 1 เปอร์เซ็นต์ และค่าความไม่แน่นอนของการวัด (measurement uncertainty) เท่ากับ 0.017 × 10 โอห์ม (วัดโดย Fluke โมเดล 8508A) และแหล่งจ่ายแรงดันไฟฟ้ากระแสตรงที่มีความถูกต้องสูงสามารถปรับค่าแรงดันไฟฟ้า ได้อยู่ในช่วง 0 ถึง 5 โวลต์ โดยกระแสไฟฟ้าทางด้านเอาต์พุตของวงจรจ่ายแระแสไฟฟ้านี้สามารถคำนวณได้จากกฎของโอห์ม (Ohm's law) คือ

$$I = \frac{V_s}{R} \tag{5.3}$$

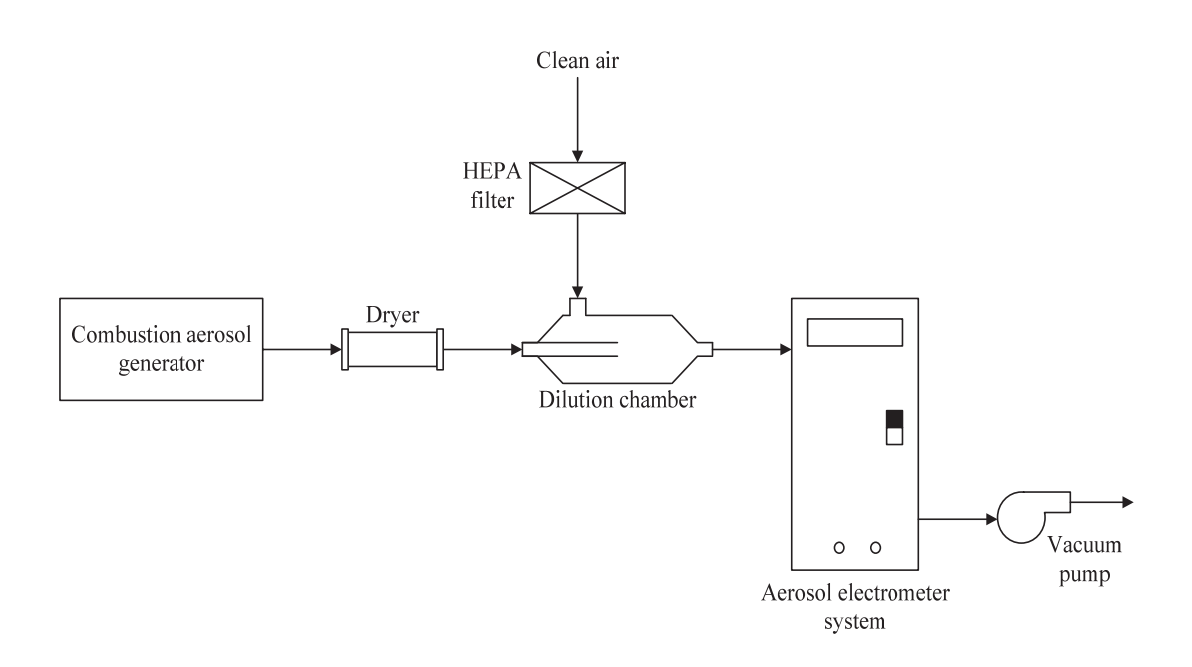
เมื่อ V_s คือแรงดันของแหล่งจ่าย และ R คือความต้านทานของตัวต้านทาน ดังนั้นค่า กระแสไฟฟ้าทางด้านเอาต์พุตที่ได้จะอยู่ในช่วง 1 ถึง 500 พิโคแอมป์ โดยแรงดันเอาต์พุตจาก วงจรอิเล็กโทรมิเตอร์จะถูกวัดและบันทึกด้วยเครื่องวัดแรงดันไฟฟ้าแบบดิจิตอล ที่มีค่าความ ถูกต้องแม่นยำสูงและแรงดันจะถูกแปลงไปเป็นกระแสไฟฟ้าที่วัดได้ และจะถูกนำไป เปรียบเทียบกับอิเล็กโทรมิเตอร์มาตรฐาน



รูปที่ 5.19 ไดอะแกรมสำหรับการทดสอบการวัดเทียบอิเล็กโทรมิเตอร์ในแต่ละช่อง (Intra and Tippayawong, 2008)

5.2.6 การทดสอบสมรรถนะการวัดของเครื่องวิเคราะห์ฯ

รูปที่ 5.20 แสดงไดอะแกรมของการทดสอบการวัดของเครื่องวิเคราะห์ฯที่พัฒนาขึ้น โดยอุปกรณ์ที่ใช้ในการทดสอบนี้จะปรกอบด้วย แหล่งจ่ายอนุภาคตัวอย่างแบบเผาไหม้ ตัวดัก ความชื่นแบบแพร่กระจาย ตัวกรองอนุภาคแบบ HEPA และตัวเจือจางอากาศ โดยอัตราการ ไหลของละอองลอยจะถูกควบคุมด้วยตัวควบคุมอัตราการไหลเชิงมวลอยู่ในช่วง 5 ถึง 15 ลิตร ต่อ นาที อนุภาคตัวอย่างจะผ่านเข้าไปยังเครื่องวิเคราะห์ฯ เพื่อลดความผิดพลาดเนื่องจากการ เปลี่ยนแปลงเวลาของความเข้มข้นของอนุภาค ในการทดลองนี้จะทำการวัดซ้ำหลังที่อนุภาค ผ่านเข้าไปยังเครื่องวิเคราะห์อย่างน้อย 5 นาที โดยจะทำการปรับเปลี่ยนอัตราการไหล 4 ระดับ คือ 5, 10 และ 15 ลิตร ต่อ นาที

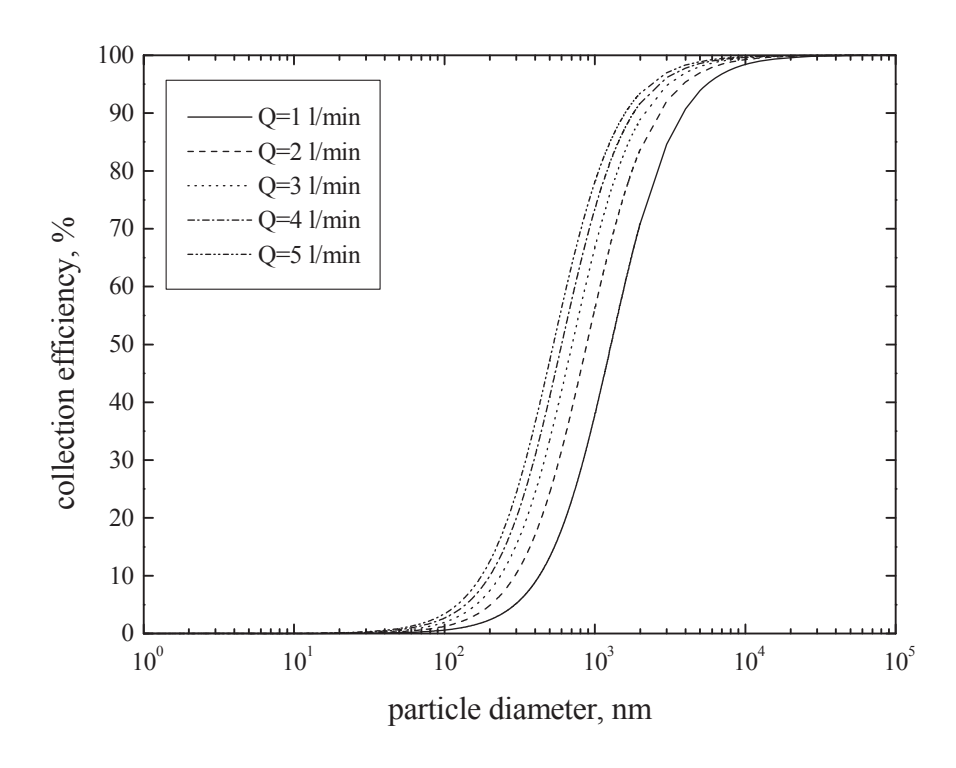


รูปที่ 5.20 ไดอะแกรมการทดสอบสมรรถนะการวัดของเครื่องวิเคราะห์ฯ

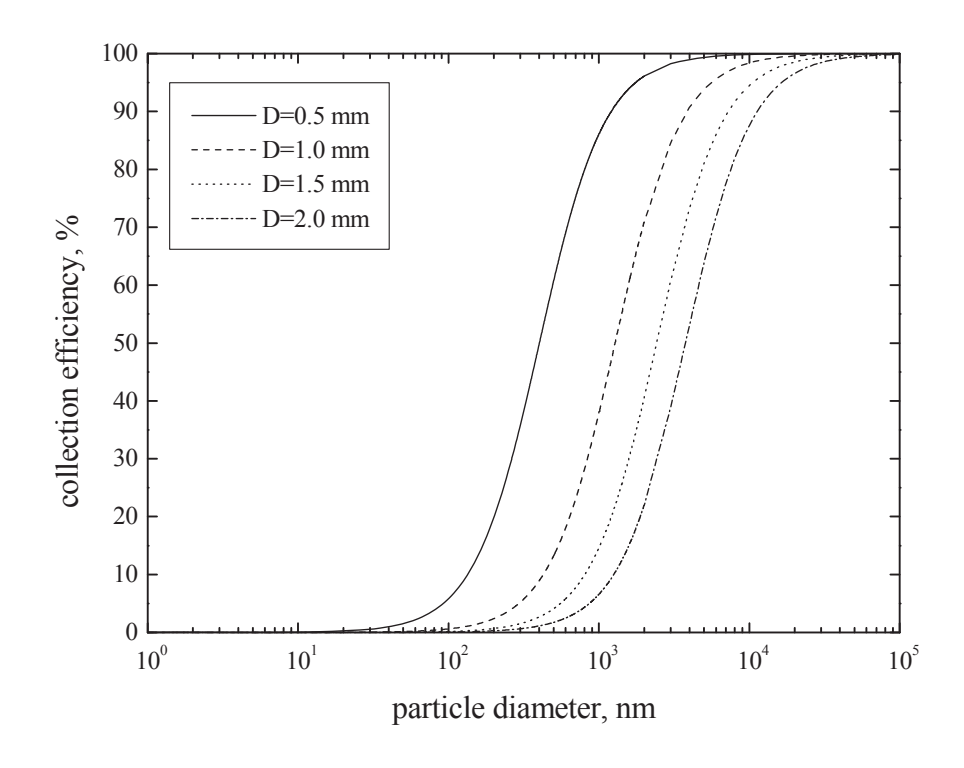
บทที่ **6** ผลการวิจัยและวิจารณ์ผล

6.1 สมรรถนะของชุดคัดแยกสิ่งปนเปื้อนขนาดใหญ่

รูปที่ 6.1 แสดงการเปรียบเทียบการทำนายประสิทธิภาพการสะสมตัวของชุดคัดแยกสิ่ง ปนเปื้อนขนาดใหญ่กับขนาดเส้นผ่านศูนย์กลางของอนุภาคที่อัตราการไหลของอนุภาค 1 ถึง 5 ลิตร ต่อ นาที จากรูปพบว่าขนาดเส้นผ่านศูนย์กลางของอนุภาคที่จุดตัดมีค่าลดลงเมื่ออัตราการ ไหลของอนุภาคเพิ่มขึ้น โดยขนาดเส้นผ่านศูนย์กลางของอนุภาคที่จุดตัดจะอยู่ในช่วง 1.28 ถึง 0.53 ไมโครเมตร สอดคล้องกับอัตราการไหล 1 ถึง 5 ลิตร ต่อ นาที ตามลำดับ ซึ่งเป็นที่ทราบ กันดีอยู่แล้วว่าทั้งความเร็วของของไหลและประสิทธิภาพการสะสมตัวจะเพิ่มขึ้น เมื่ออัตราการ ไหลของอนุภาคเพิ่มขึ้นเนื่องจากการเพิ่มขึ้นของความเฉื่อย จากรูปแสดงให้เห็นว่าประสิทธิภาพการสะสมตัวเพิ่มขึ้นระหว่างอัตราการไหลในช่วง 1 ถึง 5 ลิตร ต่อ นาที เพราะว่าแรงเฉื่อยที่ กระทำบนอนุภาคมีค่ามากที่อัตราการไหลในช่วง 1 ถึง 5 ลิตร ต่อ นาที เพราะว่าแรงเฉื่อยที่ กระสิทธิภาพการสะสมตัวของชุดคัดแยกสิ่งปนเปื้อนขนาดใหญ่กับขนาดเส้นผ่านศูนย์กลางของ อนุภาคที่ขนาดเส้นผ่านศูนย์กลางของช่องเร่ง (D) ต่างกัน จากรูปจะเห็นว่าประสิทธิภาพการ สะสมตัวลดลงเมื่อขนาดเส้นผ่านศูนย์กลางของช่องเร่งเพิ่มขึ้น



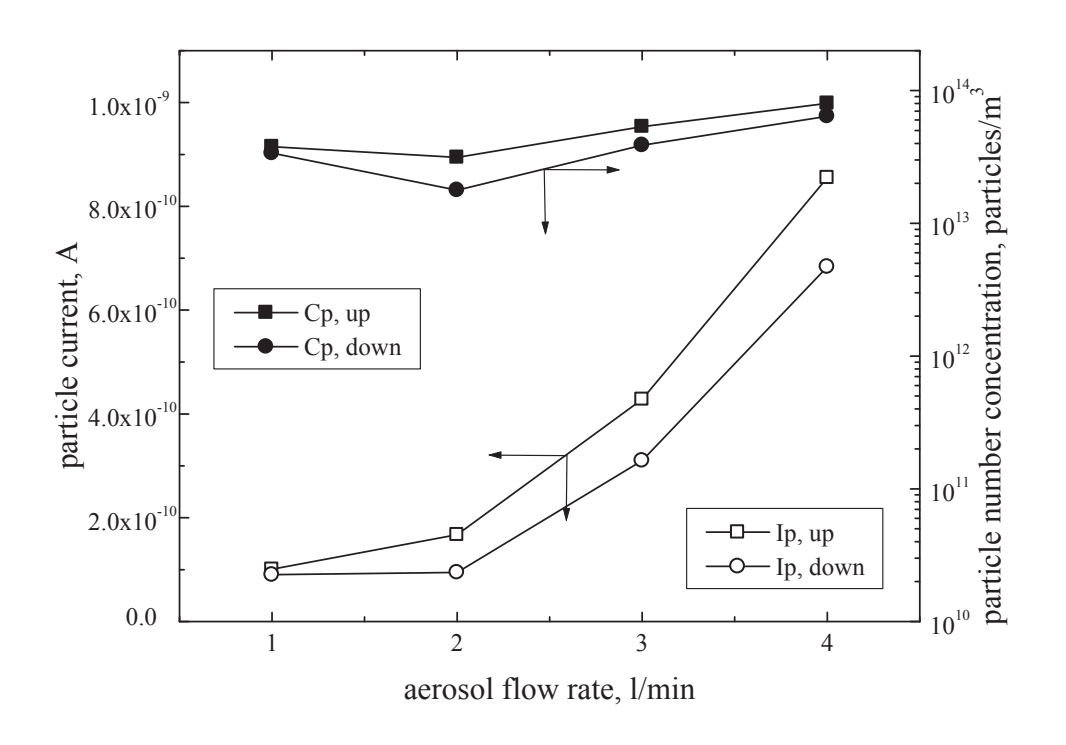
รูปที่ 6.1 การเปรียบเทียบประสิทธิภาพการสะสมตัวกับขนาดเส้นผ่านศูนย์กลางของอนุภาคของ ชุดคัดแยกสิ่งปนเปื้อนที่อัตราการไหลของละอองต่างกัน (Intra, 2008)



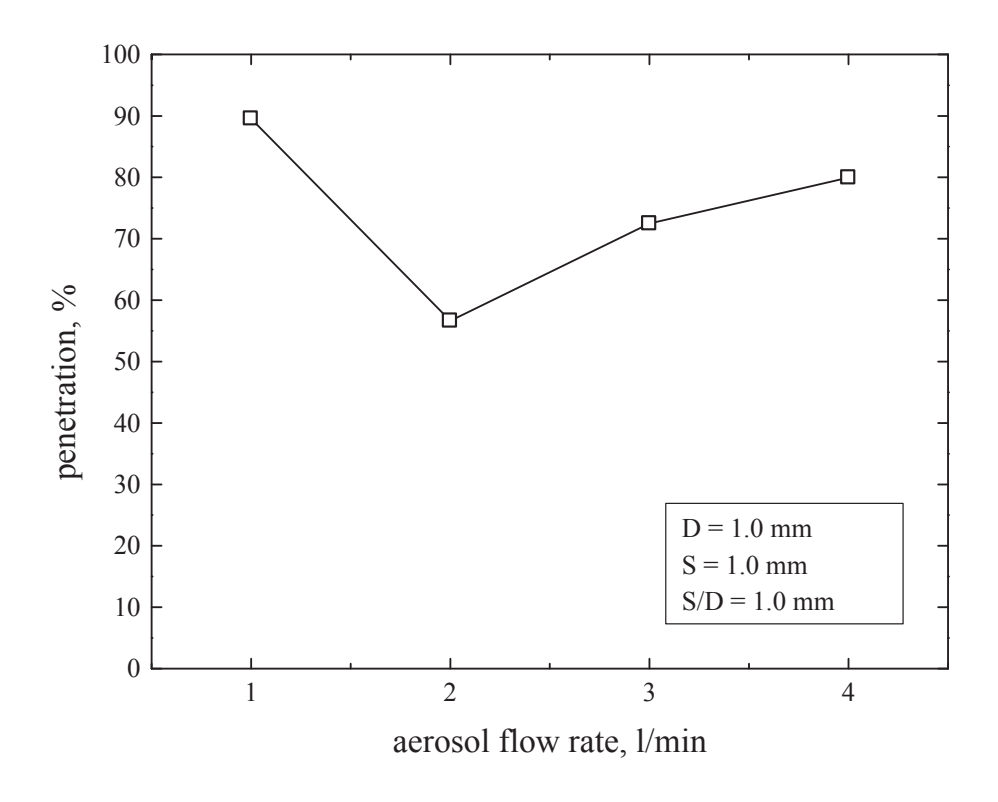
รูปที่ 6.2 การเปรียบเทียบประสิทธิภาพการสะสมตัวกับขนาดเส้นผ่านศูนย์กลางของอนุภาคของ ชุดคัดแยกสิ่งปนเปื้อนที่ขนาดเส้นผ่านศูนย์กลางช่องเร่งต่างกัน (Intra, 2008)

สำหรับการศึกษาผลของอัตราส่วนของขนาดเส้นผ่านศูนย์กลางช่องเร่ง ที่มีผลต่อเส้นโค้ง ประสิทธิภาพ โดย Marple and Willeke (1976) ได้แสดงให้เห็นว่าขนาดของอนุภาคที่จุดตัดที่ 50 เปอร์เซ็นต์จะขึ้นอยู่กับอัตราส่วนของ S/D สำหรับ S/D น้อยกว่า 1 สำหรับช่องเร่งที่มี ลักษณะเป็นท่อสี่เหลี่ยม และสำหรับ S/D น้อยกว่า 1/2 สำหรับช่องเร่งที่มีลักษณะเป็นท่อกลม สำหรับอัตราส่วน S/D ที่มากกว่าค่าเหล่านี้ขนาดเส้นผ่านศูนย์กลางจุดตัดและรูปร่างของเส้นโค้ง ประสิทธิภาพจะคงที่ ดังนั้นในการออกแบบค่า S/D ควรจะมีค่าน้อยที่สุด

รูปที่ 6.3 แสดงการเปรียบเทียบความเข้มข้นจำนวนของอนุภาคและกระแสไฟฟ้าที่วัด ได้จากลูกถ้วยฟาราเดย์อิเล็กโทรมิเตอร์กับอัตราการไหลของละอองลอยที่ทางเข้าและทางออก ของชุดคัดแยกสิ่งปนเปื้อนขนาดใหญ่ โดยค่าความเข้มจำนวนของอนุภาคคำนวณจากสมการที่ 5.1 ค่ากระแสไฟฟ้าและความเข้มขันจำนวนอนุภาคที่วัดได้จากลูกถ้วยฟาราเดย์จะอยู่ในช่วง 1.5 × 10⁻¹⁰ ถึง 9 × 10⁻⁹ แอมป์ และ 3 × 10¹³ ถึง 3 × 10¹³ อนุภาค ต่อ ลูกบาศก์เมตร ตามลำดับ จากรูปแสดงให้เห็นว่ากระแสไฟฟ้าและความเข้มจำนวนของอนุภาคที่วัดได้ทั้ง ทางเข้าและทางออกมีค่าเพิ่มขึ้นตามอัตราการไหลละอองลอย และจะสังเกตได้ว่าทั้ง กระแสไฟฟ้าและความเข้มข้นจำนวนอนุภาคที่ทางเข้ามีค่าสูงกว่าที่ทางออก รูปที่ 6.4 แสดงการ เปรียบเทียบค่าการผ่านทะลุของอนุภาค (particle penetration) ของชุดคัดแยกสิ่งปนเปื้อนกับ อัตราการไหลละอองลอย จากรูปแสดงให้เห็นว่าค่าการผ่านทะลุของอนุภาคที่อัตราการไหลของ



รูปที่ 6.3 การเปรียบเทียบความเข้มข้นจำนวนของอนุภาคและกระแสไฟฟ้าที่วัดได้จากลูก ถ้วยฟาราเดย์อิเล็กโทรมิเตอร์กับอัตราการไหลของละอองลอยที่ทางเข้าและทางออกของชุดคัด แยกสิ่งปนเปื้อนขนาดใหญ่ (Intra, 2008)



รูปที่ 6.4 การเปรียบเทียบค่าการผ่านทะลุของอนุภาคของชุดคัดแยกสิ่งปนเปื้อนกับอัตราการ ไหลละอองลอย (Intra, 2008)

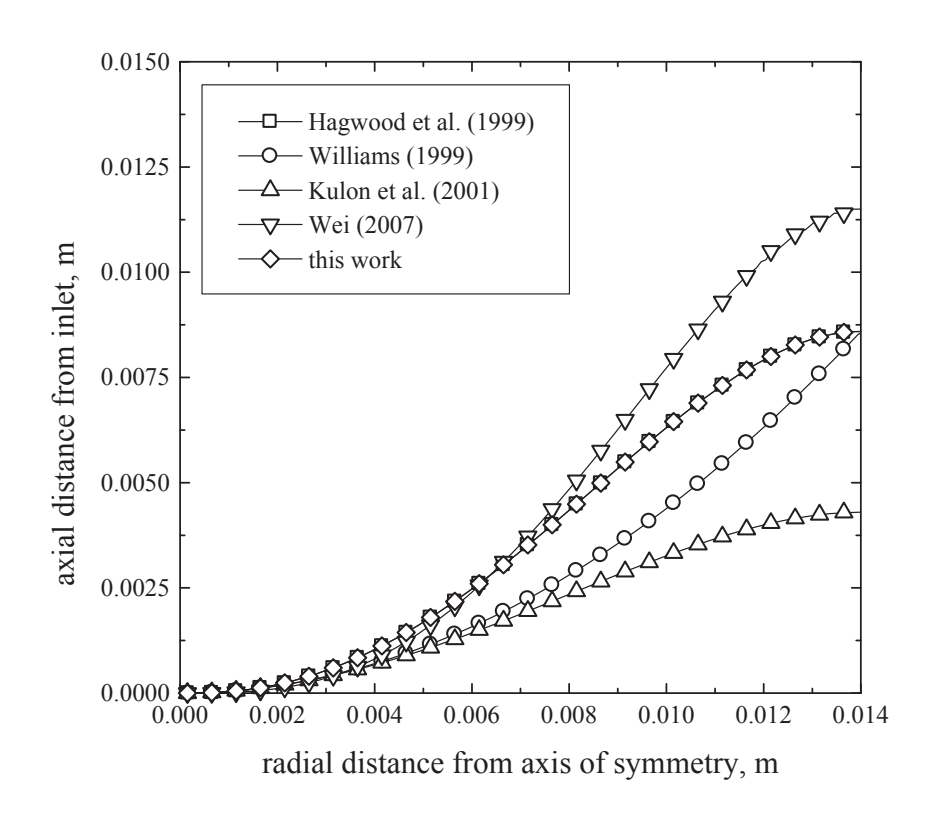


รูปที่ 6.5 รูปถ่ายของอนุภาคที่สะสมตัวบนพื้นผิวของแผ่นกระทบภายในชุดคัดแยกสิ่งปนเปื้อน (Intra, 2008)

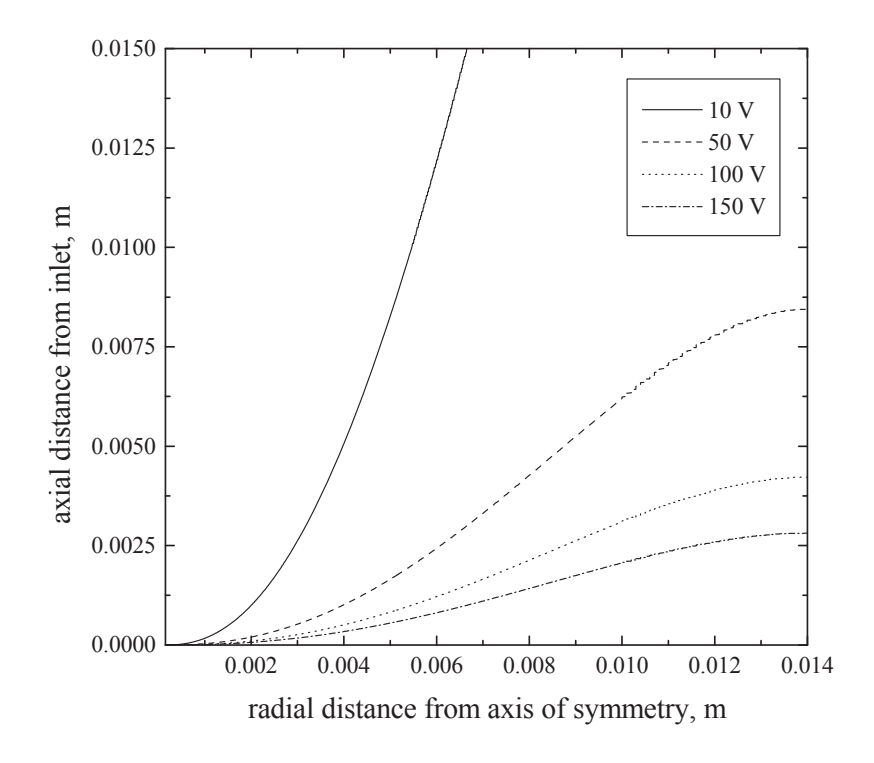
ละอองลอย 1, 2, 3 และ 4 ลิตร ต่อ นาที เท่ากับ 89, 56, 72 และ 79 เปอร์เซ็นต์ ซึ่งจะสังเกตได้ ว่าค่าการผ่านทะลุของชุดคัดแยกสิ่งปนเปื้อนนี้มีค่าค่อนข้างสูงอยู่ ซึ่งอาจจะเป็นเพราะว่าการวัด อนุภาคทั้งหมดภายในลูกถ้วยฟาราเดย์นั้นได้สมมุติให้ประจุของอนุภาคเป็นประจุเดียว (singly charged) หรือ n=1 ดังนั้นในการศึกษาต่อไปควรมีการศึกษาในเรื่องการประมวลผลการวัดใน ส่วนนี้ด้วย รูปที่ 6.5 แสดงรูปถ่ายของอนุภาคที่สะสมตัวบนพื้นผิวของแผ่นกระทบภายในชุดคัด แยกสิ่งปนเปื้อน โดยได้ทำการทดลองที่อัตราการไหลละอองลอย 2 ลิตร ต่อ นาที เป็นเวลา 30 นาที จากรูปจะพบว่าอนุภาคได้มีการก่อตัวอยู่บนพื้นผิวของแผ่นกระทบ และยังพบปัญหาการ เด้ง (bounce) และการเข้ามาใหม่ (re-entrainment) ของอนุภาคที่อัตราการไหลสูงอีกด้วย

6.2 สมรรถนะของชุดดักจับไอออน6.2.1 การเคลื่อนที่ของไอออน

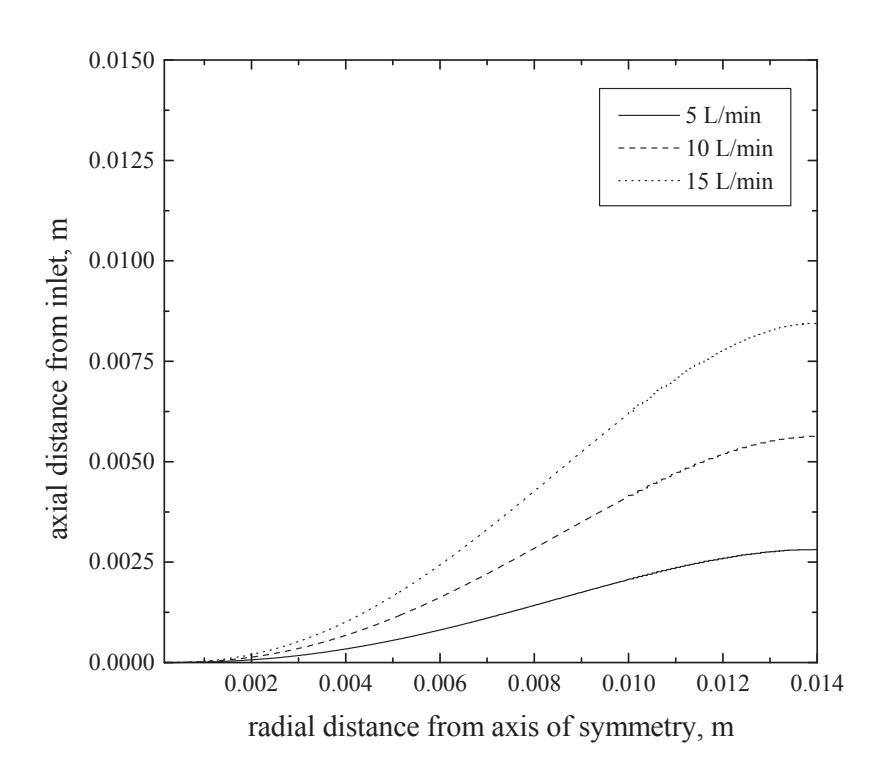
รูปที่ 6.6 แสดงการเปรียบเทียบผลการวิเคราะห์เส้นโคจรของไอออนระหว่างโมเดลที่ พัฒนาขึ้นกับโมเดลที่มีอยู่ เงื่อนไขในการวิเคราะห์กำหนดให้แรงดันไฟฟ้าที่เส้นลวดอิเล็กโทรด 10 โวลต์ และอัตราการไหล 1 ลิตร ต่อ นาที จากรูปพบว่าเส้นโคจรของไอออนมีลักษณะ ใกล้เคียงกันมากกับโมเดลที่นำเสนอโดย Hagwood et al. (1999) และ Williams (1999) แต่ อย่างไรก็ตาม จะสังเกตเห็นความแตกต่างระหว่างโมเดลที่พัฒนาขึ้นกับโมเดลของ Kulon et al. (2001) และ Wei (2007) เนื่องมาจากโมเดลเหล่านั้นไม่ได้คิดรวมผลของค่าคงที่ของ pressure gradient เข้าไปในสมการรูปร่างความเร็วของการไหลอาจทำให้เกิดความคลาดเคลื่อนได้ รูปที่ 6.7 แสดงเส้นโคจรของไอออนภายในชุดตักจับไอออนที่มีการเปลี่ยนแปลงแรงดันไฟฟ้าที่เส้น ลวดอิเล็กโทรดในช่วง 10 ถึง 150 โวลต์ โดยไอออนจะถูกผลักด้วยแรงทางไฟฟ้าสถิตเข้าหา พื้นผิวด้านในของท่ออิเล็กโทรดด้านนอก จากการเปรียบเทียบพบว่าแรงดันไฟฟ้าที่จ่ายให้เส้น ลวดอิเล็กโทรดจะช่วยเพิ่มค่าความสามารถในการเคลื่อนตัวเชิงไฟฟ้าขึ้น และแรงดันไฟฟ้าจะ แปรผกผันกับระยะการเคลื่อนที่ของไอออนคือ โดยที่แรงดันไฟฟ้าสูงขึ้นจะทำให้ประสิทธิภาพการ ดักจับไอออนสูงขึ้นตามไปด้วย



รูปที่ 6.6 การเปรียบเทียบเส้นโคจรของไอออนระหว่างโมเดลที่พัฒนาขึ้นกับโมเดลที่มีอยู่ (Intra and Tippayawong, 2009)



รูปที่ 6.7 เส้นโคจรของไอออนภายในชุดดักจับไอออนที่มีการเปลี่ยนแปลงแรงดันไฟฟ้าที่เส้น ลวดอิเล็กโทรดต่างกัน (Intra and Tippayawong, 2009)

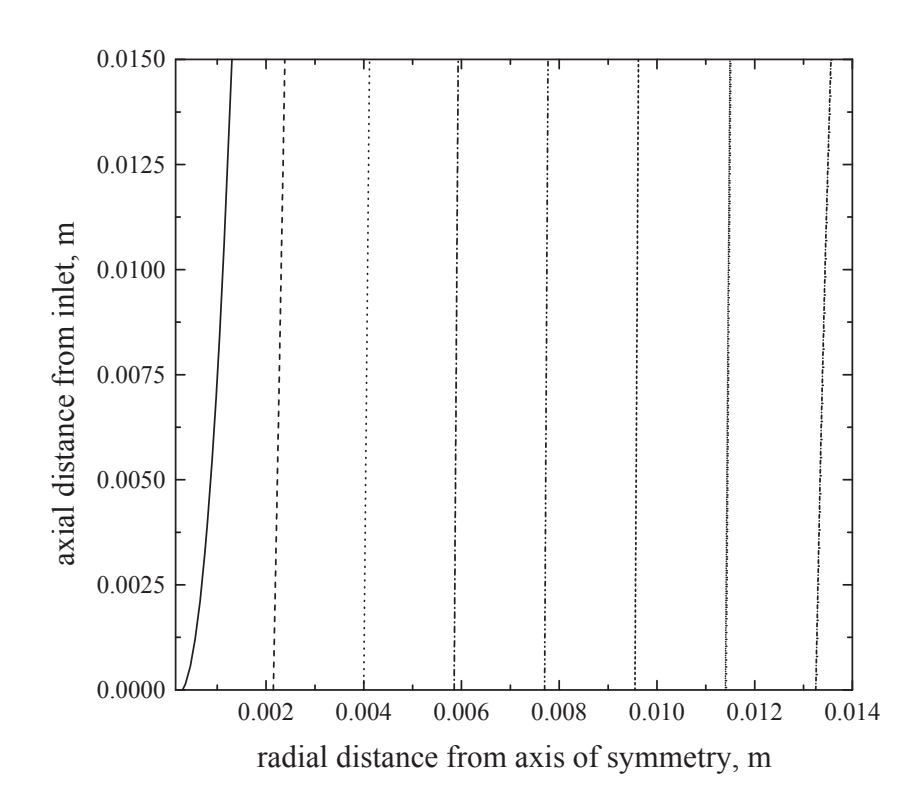


รูปที่ 6.8 เส้นโคจรของไอออนภายในชุดดักจับไอออนที่มีการเปลี่ยนแปลงอัตราการไหลต่างกัน (Intra and Tippayawong, 2009)

จากผลการวิเคราะห์ในรูปที่ 6.7 พบว่าแรงดันไฟฟ้าที่เหมาะสมคือ 100 โวลต์ หลังจากที่ได้ค่า แรงดันไฟฟ้าที่เหมาะแล้วจะทำการวิเคราะห์หาค่าอัตราการไหลที่เหมาะสม โดยรูปที่ 6.8 แสดง เส้นโคจรของไอออนภายในชุดดักจับไอออนที่มีการเปลี่ยนแปลงอัตราการไหลในช่วง 5, 10 และ 15 ลิตร จากรูปจะพบว่าอัตราการของของไหลแปรผันตรงกับระยะการเคลื่อนที่ของไอออนโดยที่ อัตราการไหลด่ำๆ ระยะการเคลื่อนที่ของไอออนจากทางเข้าไปจนถึงท่ออิเล็กโทรดด้านนอกจะ ใกล้กว่าที่อัตราการใหลที่สูงกว่า ในการพัฒนาเครื่องวิเคราะห์นี้ได้กำหนดให้เส้นผ่านศูนย์กลาง ของอนุภาคที่เล็กที่สุดที่ต้องการวัดได้คือ 10 นาโนเมตร ซึ่งอนุภาคขนาดเล็กนี้จะมีค่า ความสามารถในการเคลื่อนตัวทางไฟฟ้าค่อนข้างสูงซึ่งใกล้เคียงกับไอออน รูปที่ 6.9 แสดงเส้น โคจรของอนุภาคที่มีประจุขนาดเส้นผ่านศูนย์กลาง 10 นาโนเมตร ที่ตำแหน่งรัศมีทางเข้าต่างกัน จากรูปพบว่าอนุภาคที่มีประจุขนาด 10 นาโนเมตร ที่เข้าไปในชุดดักจับอนุภาคสามารถผ่าน ทะลุออกไปได้ โดยไม่มีการตกตะกอนของอนุภาคที่พื้นผิวด้านในของท่ออิเล็กโทรดด้านนอก

6.2.2 ประสิทธิภาพการดักจับไอออน

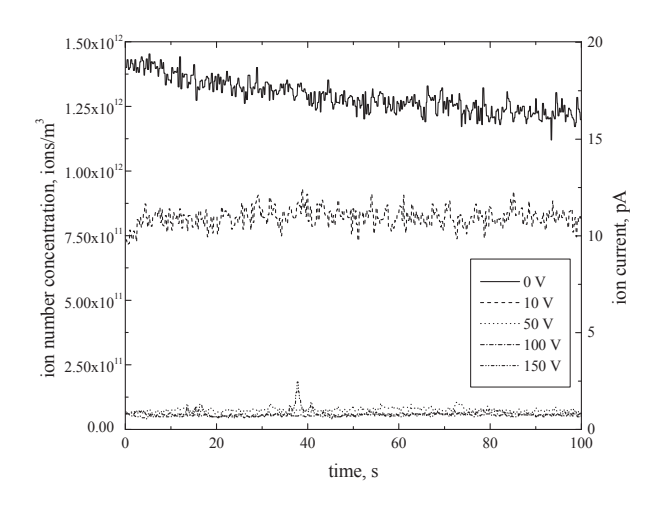
รูปที่ 6.10 แสดงการเปลี่ยนแปลงตามเวลาของความเข้มข้นจำนวนของไอออนและ สัญญาณกระแสไฟฟ้าทางด้านทางออกของชุดดักจับไอออนที่แรงดันและอัตราการไหลต่างๆ กัน โดยค่าความเข้มข้นจำนวนของไอออนจะคำนวณจากค่ากระแสไฟฟ้าที่วัดได้โดยสมการที่ 3.32 จากการทดลองพบว่าค่ากระแสไฟฟ้าที่วัดได้ที่ด้านทางออกของชุดดักจับไอออนจะอยู่ในช่วง 0



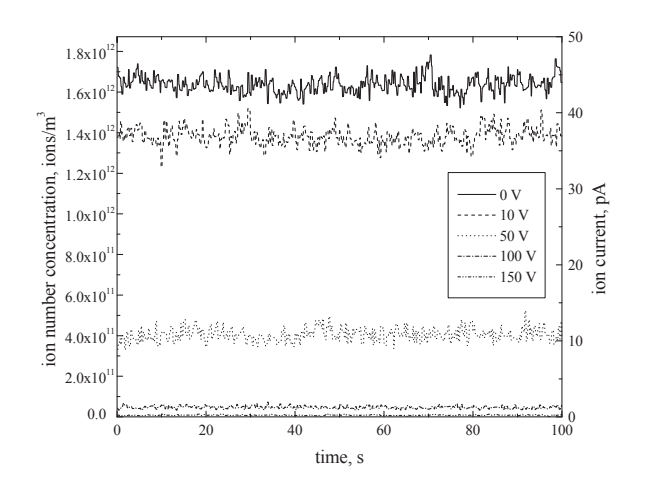
รูปที่ 6.9 เส้นโคจรของอนุภาคที่มีประจุขนาดเส้นผ่านศูนย์กลาง 10 นาโนเมตร ที่ตำแหน่งรัศมี ทางเข้าต่างกัน (Intra and Tippayawong, 2009)

ถึง 100 พิโคแอมป์ ซึ่งสอดคล้องกับค่าความเข้มข้นจำนวนของไอออนในช่วง 0 ถึง 2.5 × 10¹² ไอออน ต่อ ลูกบาศก์เมตร จากการสังเกตพบว่าการเพิ่มขึ้นของแรงดันไฟฟ้าที่ขั้วอิเล็กโทรดมี ผลทำให้ค่าความเข้มข้นจำนวนและกระแสไฟฟ้าของไอออนที่วัดได้มีค่าลดลงตามไปด้วย และที่ อัตราการไหลของของไหลสูงขึ้น จะมีผลทำให้ค่าความเข้มขันจำนวนและกระแสไฟฟ้าของ ไอออนที่วัดได้มีค่าสูงขึ้น โดยการเปลี่ยนแปลงของค่าความเข้มขันจำนวนของไอออนทางด้าน ทางออกกับแรงดันไฟฟ้าที่จ่ายให้ขั้วอิเล็กโทรดที่อัตราการไหลของไอออนต่างกันแสดงไว้ในรูป ที่ 6.11 จากรูปแสดงให้เห็นว่าเมื่ออัตราการไหลของไอออนมีค่าต่ำและแรงดันไฟฟ้ามีค่าสูงจะทำ ให้ค่าความเข้มขันจำนวนของไอออนที่วัดได้ที่ด้านทางออกของชุดดักจับไอออนมีค่าลดลง โดย ค่าความเข้มขันจำนวนของไอออนที่วัดได้ที่ด้านทางออกจะลดลงเหลือ 0 ที่แรงดันไฟฟ้ามากว่า 150 โวลต์

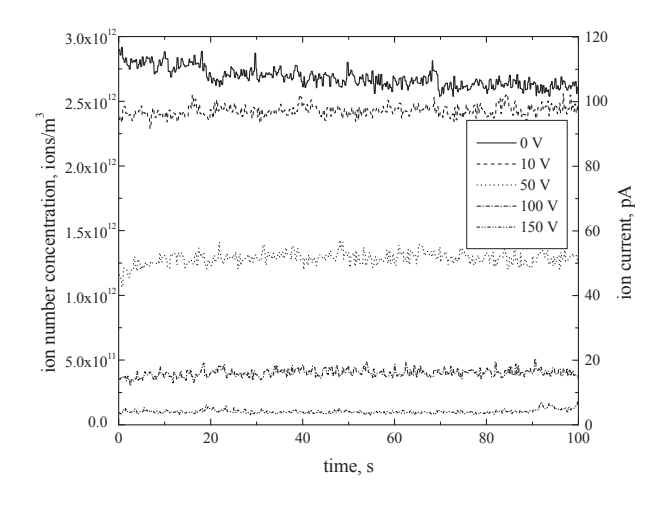
รูปที่ 6.12 แสดงการเปลี่ยนแปลงของค่าประสิทธิภาพการตกตะกอนของชุดดักจับ ไอออนที่เป็นฟังก์ชั่นของแรงดันไฟฟ้าที่มีการเปลี่ยนแปลงอัตราการไหลต่างๆกัน ซึ่งโดยปกติ แล้วการเพิ่มขึ้นของแรงดันไฟฟ้า จะมีผลทำให้ค่าประสิทธิภาพในการตกตะกอนของชุดดักจับ ไอออนเพิ่มขึ้นตามไฟด้วย โดยประสิทธิภาพการตกตะกอนของชุดดักจับไอออนจะมีค่าสูงถึง 99 เปอร์เซ็นต์ที่แรงดันไฟฟ้าสูงกว่า 100 โวลต์ ดังแสดงไว้ในรูปที่ 6.11 และ 6.12 สำหรับทุกๆ อัตราการไหล นอกจากนี้ข้อมูลที่ได้จากการทดลองยังได้ทำการเปรียบเทียบกับผลการวิเคราะห์



(ก) 5 ลิตร ต่อ นาที

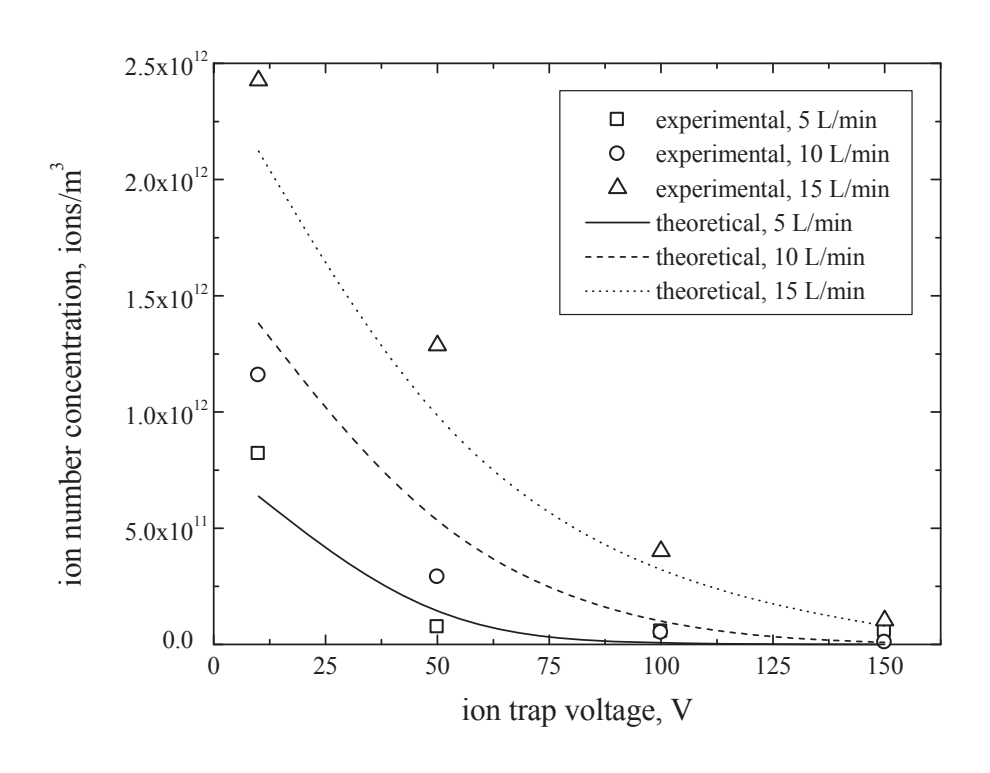


(ข) 10 ลิตร ต่อ นาที

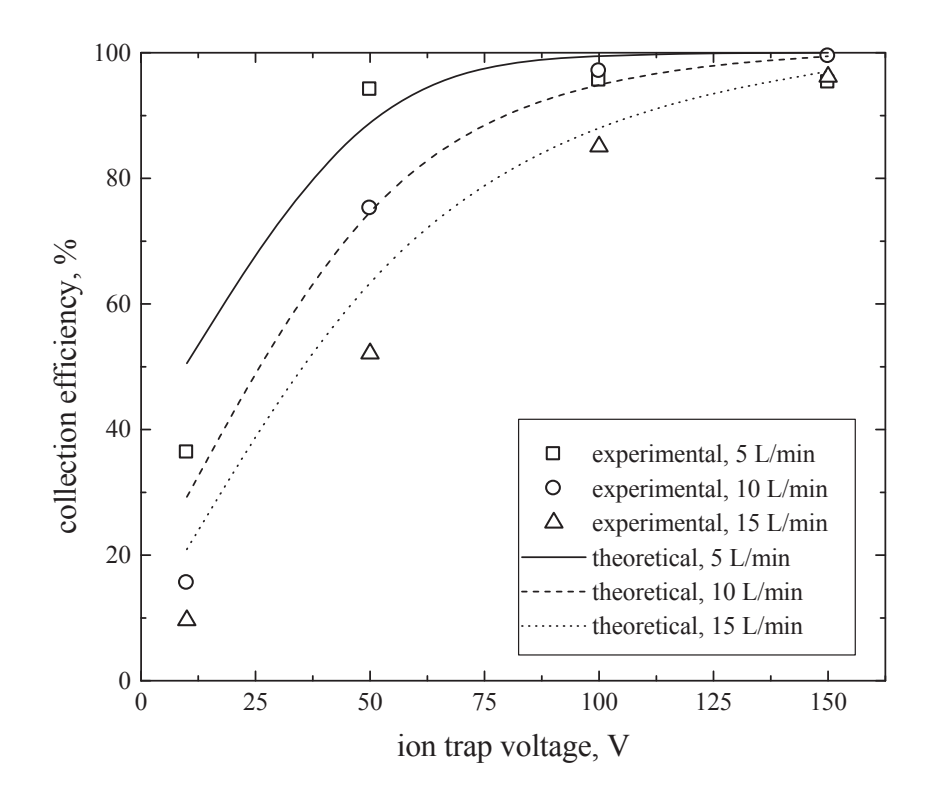


(ค) 15 ลิตร ต่อ นาที

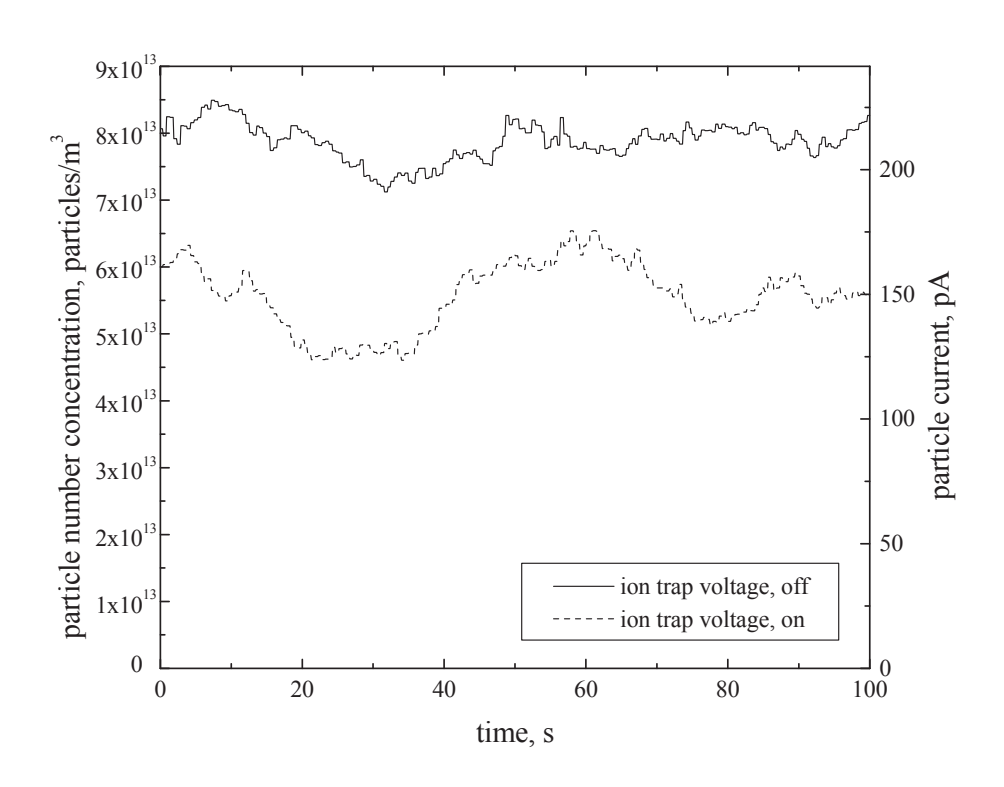
รูปที่ 6.10 การเปลี่ยนแปลงตามเวลาของความเข้มข้นจำนวนของไอออนและสัญญาณ กระแสไฟฟ้าทางด้านทางออกของชุดดักจับไอออนที่แรงดันและอัตราการไหลต่างๆ



รูปที่ 6.11 การเปลี่ยนแปลงของค่าความเข้มข้นจำนวนของไอออนทางด้านทางออกกับ แรงดันไฟฟ้าที่จ่ายให้ขั้วอิเล็กโทรดที่อัตราการไหลของไอออนต่างๆ



รูปที่ 6.12 การเปลี่ยนแปลงของค่าประสิทธิภาพการตกตะกอนของชุดดักจับไอออนที่เป็น ฟังก์ชั่นของแรงดันไฟฟ้าที่มีการเปลี่ยนแปลงอัตราการไหลต่างๆ



รูปที่ 6.13 สัญญาณกระแสไฟฟ้าและค่าความเข้มข้นจำนวนของอนุภาคที่วัดได้ที่ทางออกของ ชุดดักจับไอออนในกรณีที่จ่ายแรงดันไฟฟ้าและไม่มีการจ่ายแรงดันไฟฟ้า

ในทางทฤษฎีด้วยสมการของ Deutsch-Anderson จากการเปรียบเทียบพบว่าค่าประสิทธิภาพที่ ได้จากการทดลองมีค่าใกล้เคียงกับค่าประสิทธิภาพที่ได้จากการคำนวณ แต่อย่างไรก็ตาม ยังมี ความแตกต่างของข้อมูลระหว่างการทดลองและการคำนวณที่แรงดันไฟฟ้าต่ำกว่า 100 โวลต์ ซึ่งอาจจะเนื่องมาจากว่าสมการของ Deutsch-Anderson ไม่ได้คิดรวมผลของการผสมกัน ปั่นป่วน (turbulence mixing) โดยการพัดพาของสนามไฟฟ้า (electric wind) และการ แพร่กระจายของไอออน (ion turbulent diffusion) จึงนำไปสู่ความแตกต่างกันได้

รูปที่ 6.13 แสดงสัญญาณกระแสไฟฟ้าและค่าความเข้มขันจำนวนของอนุภาคที่วัดได้ที่ ทางออกของชุดดักจับไอออนในกรณีที่จ่ายแรงดันไฟฟ้าและไม่มีการจ่ายแรงดันไฟฟ้า โดยใน การศึกษานี้จะใช้แหล่งอนุภาคที่ได้อธิบายไว้ในบทที่ 5 ในการทดสอบ กำหนดให้อัตราการไหล 10 ลิตร ต่อ นาที และแรงดันไฟฟ้าที่ขั้วอิเล็กโทรดเท่ากับ 150 โวลต์ จากการทดลองพบว่า ค่าเฉลี่ยความเข้มขันจำนวนของอนุภาคที่วัดได้ในกรณีที่จ่ายแรงดันไฟฟ้ามีค่าเท่ากับ 5.57 × 10¹³ อนุภาค ต่อ ลูกบาศก์เมตร และในกรณีที่ไม่มีการจ่ายแรงดันไฟฟ้ามีค่าเท่ากับ 7.87 × 10¹³ อนุภาค ต่อ ลูกบาศก์เมตร ซึ่งจะสอดคล้องกับสัญญาณกระแสไฟฟ้าที่วัดได้คือ 149.45 และ 211.27 พิโคแอมป์ ตามลำดับ โดยจะสามารถอธิบายได้ว่าในกรณีที่ไม่มีการจ่าย แรงดันไฟฟ้าให้กับชุดดักจับไอออน ไอออนจะเข้าไปในชุดตรวจวัดไอออนและถูกวัดไปพร้อมๆ กับอนุภาคที่มีประจุ และในทางตรงกันข้าม เมื่อจ่ายแรงดันไฟฟ้าให้กับชุดดักจับไอออน ไอออน ไอออนจะเข้าใปในชุดตรวจวัดไออกังกับไอออน ไอออน

จะถูกตกตะกอนภายในชุดดักจับไอออนจึงทำให้เฉพาะอนุภาคที่มีประจุสามารถผ่านออกไปได้ ดังนั้น สัญญาณกระแสไฟฟ้าที่วัดได้จึงเป็นกระแสไฟฟ้าเฉพาะของอนุภาคที่มีประจุเท่านั้น

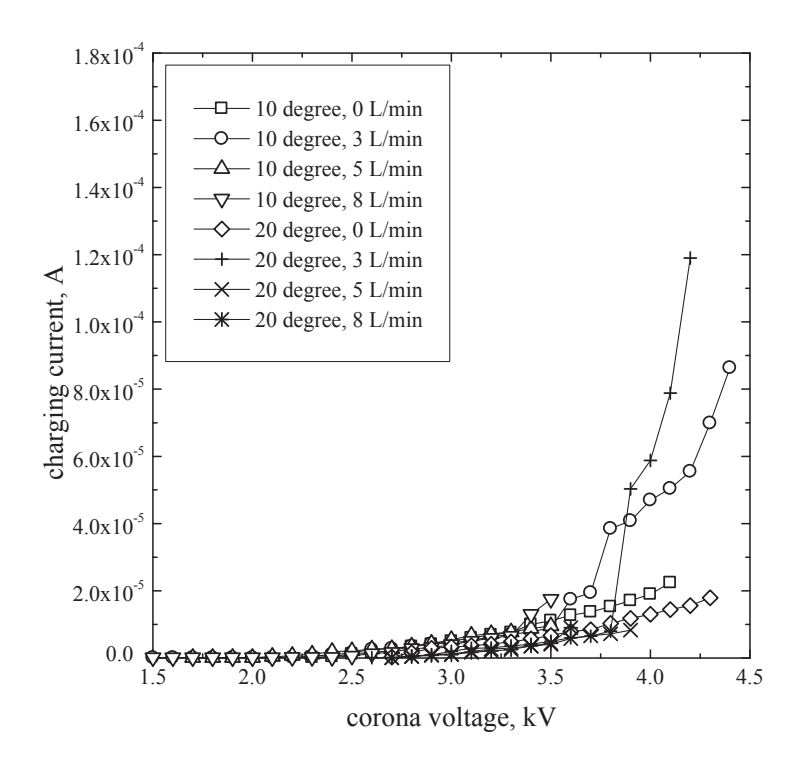
6.3 สมรรถนะของชุดให้ประจุไฟฟ้าอนุภาค

6.3.1 ความสัมพันธ์ระหว่างกระแส – แรงดันของชุดให้ประจุไฟฟ้าอนุภาค

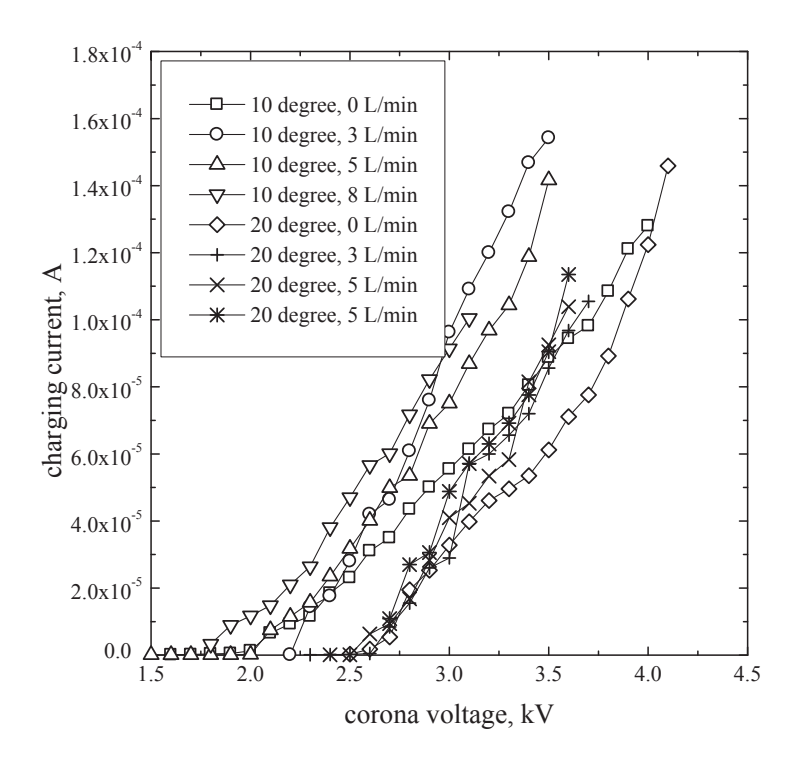
รูปที่ 6.14 แสดงกระแสของการให้ประจุ (charging current) ที่วัดได้เป็นฟังก์ชั่นของ แรงดันโคโรนาบวกและลบที่จ่ายให้กับขั้วอิเล็กโทรดเข็มโคโรนาของชุดให้ประจุ จากรูปที่ 6.14 พบว่าค่ากระแสของการให้ประจุจะมีค่าเพิ่มขึ้นเมื่อแรงดันโคโรนาเพิ่มขึ้น องศาของมุมอิเล็กโทรดเข็มเพิ่มขึ้นจาก 10 องศา เป็น 20 องศา ซึ่งอาจจะเนื่องมาจาก ความเครียดของสนามไฟฟ้าภายในพื้นที่การให้ประจุไฟฟ้ามีค่าเล็กน้อยสำหรับองศาของมุมขั้ว อิเล็กโทรดที่โตขึ้น โดยกระแสของการให้ประจุจะมีค่าเพิ่มขึ้นเมื่อความเครียดของสนามไฟฟ้า เพิ่มขึ้นและสอดคล้องกับแรงดันไฟฟ้าที่เพิ่มขึ้น ขนาดของกระแสของการให้ประจุสำหรับ อิเล็กโทรดเข็ม 10 องศา จะมีค่าสูงกว่าอิเล็กโทรดเข็ม 20 องศาที่แรงดันโคโรนาเดียวกัน จาก รูปยังแสดงให้เห็นว่าเกิดประกายไฟ (spark over) ขึ้นที่แรงดันโคโรนาบวกที่สูงกว่า 4.1 กิโล โวลต์ และที่แรงดันโคโรนาลบที่สูงกว่า 4 กิโลโวลต์ สำหรับขั้วอิเล็กโทรดเข็ม 10 องศา และเกิด ประกายไฟขึ้นที่แรงดันโคโรนาบวกที่สูงกว่า 4.3 กิโลโวลต์ และที่แรงดันโคโรนาลบที่สูงกว่า 4.1 กิโลโวลต์ สำหรับขั้วอิเล็กโทรดเข็ม 20 องศา โดยแรงดันโคโรนาที่สูงกว่าค่าเหล่านี้จะทำให้ กระแสไฟฟ้าที่เกิดขึ้นไม่สามารถควบคุมได้และไม่สามารถจะทำการวัดได้ และจากรูปที่ 6.14 จะ พบว่าแรงดันไฟฟ้าเริ่มเกิดโคโรนา (corona onset voltage) สำหรับโคโรนาบวกมีค่าเท่ากับ 2.4 และ 2.7 กิโลโวลต์ ที่มุมของขั้วอิเล็กโทรดเข็ม 10 และ 20 องศา ตามลำดับ และสำหรับโคโรนา ลบมีค่าเท่ากับ 2.0 และ 2.6 กิโลโวลต์ ที่มุมของขั้วอิเล็กโทรดเข็ม 10 และ 20 องศา ตามลำดับ ยังพบว่าแรงดันเริ่มเกิดโคโรนาเพิ่มขึ้นตามองศาของมุมอิเล็กโทรดเข็มที่เพิ่มขึ้น และยังสังเกต ได้ว่าค่ากระแสของโคโรนาลบจะมีค่าค่อนข้างสูงกว่ากระแสของโคโรนาบวก เนื่องมาจากไอออน ลบมีค่าความสามารถในการเคลื่อนตัวเชิงไฟฟ้า (electrical mobility of ions) สูงกว่าไอออนบวก ค่าความสามารถในการเคลื่อนตัวเชิงไฟฟ้าของไอออนจะมีค่าเท่ากับ 1.15 imes 10 $^{ extstyle 4}$ m 2 /V s สำหรับไอออนบวก และมีค่าเท่ากับ $1.425 \times 10^{-4} \,\mathrm{m}^2/\mathrm{V}$ s สำหรับไอออนลบ (Reischl *et al.*, 1996) ดังนั้น ไอออนลบจะมีอัตราการตกกระทบและสะสมตัวเนื่องจากแรงทางไฟฟ้าสถิตอยู่บน ขั้วอิเล็กโทรดด้านนอกของชุดให้ประจุไฟฟ้ามากกว่าไอออนบวก

6.3.2 กระแสไอออนที่ทางออกของชุดให้ประจุไฟฟ้าอนุภาค

รูปที่ 6.15 แสดงการเปลี่ยนแปลงของค่ากระแสไอออนกับแรงดันโคโรนาที่ทางออกของ ชุดให้ประจุไฟฟ้าที่อัตราการใหลของอากาศต่างกัน โดยจะทำการประเมินค่ากระแสไอออนที่ ทางออกของชุดให้ประจุไฟฟ้าทั้งไอออนบวกและลบที่มุมของอิเล็กโทรดเข็ม 10 และ 20 องศา อัตราการไหล 3, 5 และ 8 ลิตร ต่อ นาที และแรงดันโคโรนาในช่วง 1 ถึง 5 กิโลโวลต์ จาก รูปแสดงให้เห็นว่าแรงดันเริ่มเกิดโคโรนาที่โคโรนาบวกที่สูงกว่า 1.8 กิโลโวลต์ ที่อัตราการไหล 3



(ก) ไอออนบวก



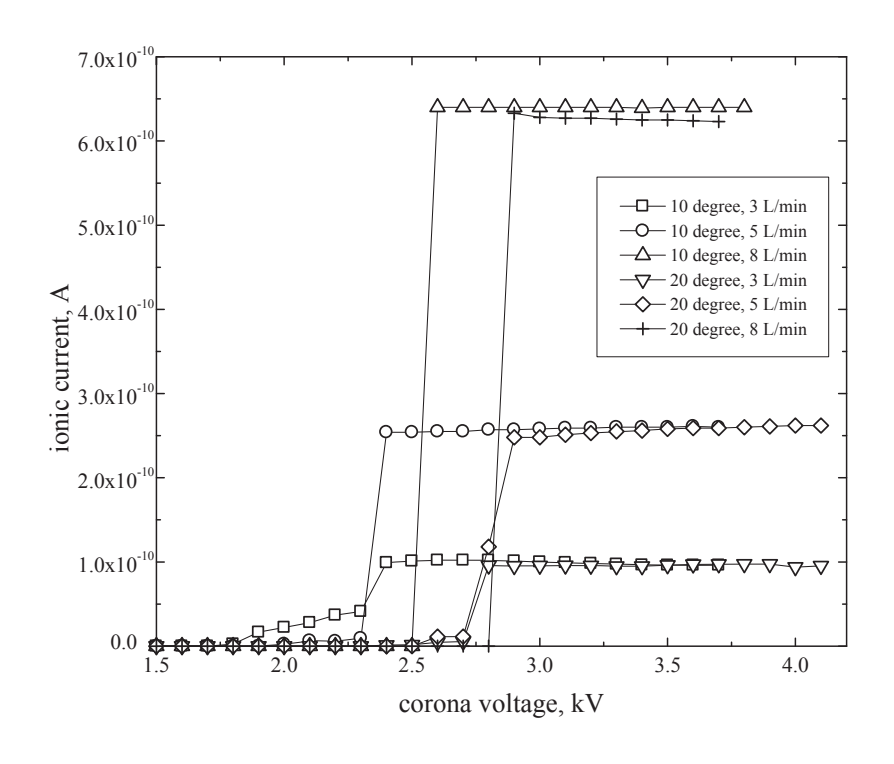
(ข) ไอออนลบ

รูปที่ 6.14 ความสัมพันธ์ระหว่างกระแส – แรงดันของชุดให้ประจุไฟฟ้าอนุภาค (Intra and Tippayawong, 2010)

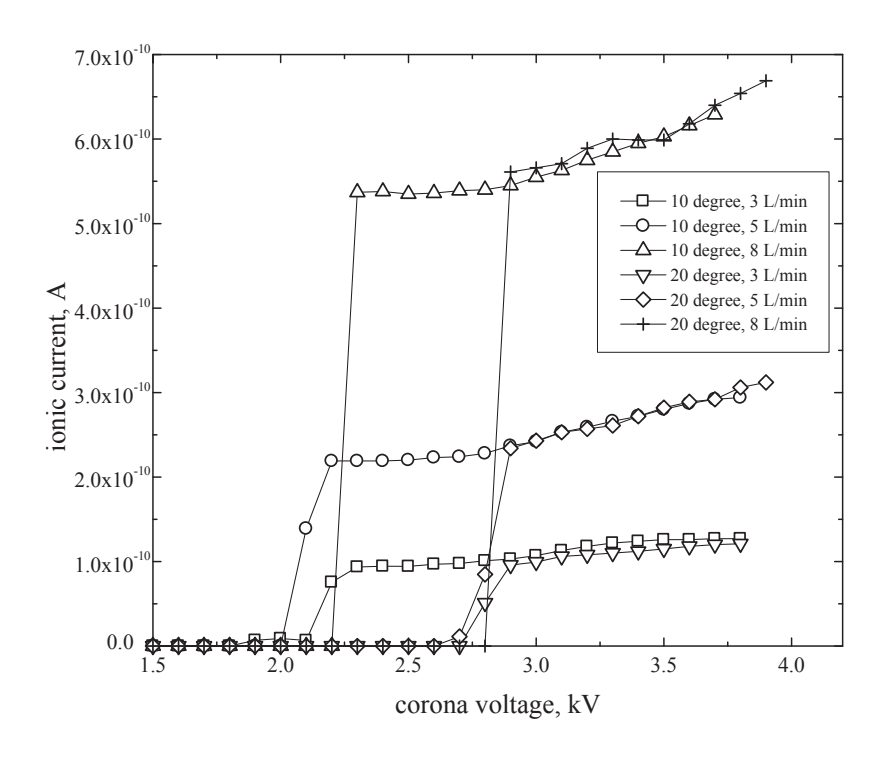
ลิตรต่อ นาที่ 2.0 กิโลโวลต์ ที่อัตราการไหล 5 ลิตร ต่อ นาที่ 2.5 กิโลโวลต์ ที่อัตราการไหล 8 ลิตร ต่อ นาที และสำหรับแรงดันเริ่มเกิดโคโรนาลบที่สูงกว่า 1.8 กิโลโวลต์ ที่อัตราการไหล 3 ลิตร ต่อ นาที 2.0 กิโลโวลต์ ที่อัตราการไหล 5 ลิตร ต่อ นาที 2.2 กิโลโวลต์ ที่อัตราการไหล 8 ลิตรต่อนาทีสำหรับเข็มโคโรนา 10 องศา และจะเกิดประกายไฟขึ้นที่แรงดันโคโรนาบวกที่สูงกว่า 2.6 กิโลโวลต์ ที่อัตราการใหล 3 ลิตร ต่อ นาที 2.7 กิโลโวลต์ ที่อัตราการใหล 5 ลิตร ต่อ นาที 2.8 กิโลโวลต์ ที่อัตราการใหล 8 ลิตร ต่อ นาที และสำหรับแรงดันโคโรนาลบที่สูงกว่า 2.6 กิโล โวลต์ ที่อัตราการไหล 3 ลิตร ต่อ นาที 2.6 กิโลโวลต์ ที่อัตราการไหล 5 ลิตร ต่อ นาที 2.8 กิโล โวลต์ ที่อัตราการไหล 8 ลิตรต่อนาที สำหรับเข็มโคโรนา 20 องศา สำหรับแรงดันโคโรนาที่ต่ำ กว่า 2 กิโลโวลต์ กระแสไอออนจะมีค่าต่ำมากซึ่งในช่วงนี้จะไม่เกิดการดิสชาร์จ และจากรูปจะ เห็นว่ากระแสของไอออนที่ได้จากเข็มโคโรนาขนาด 10 องศา จะมีค่าค่อนข้างสูงกว่ากระแสของ ไอออนที่ได้จากเข็มโคโรนาขนาด 20 องศา ทั้งโคโรนาบวกและลบและที่อัตราการไหลสูงขึ้น กระแสของไอออนก็จะสูงขึ้นด้วย สำหรับในกรณีที่แรงดันเพิ่มขึ้น ค่ากระแสของไอออนบวกจะ ขึ้นอยู่กับแรงดันโคโรนาเฉพาะภายในช่วงของแรงดันที่จำกัด และที่แรงดันโคโรนาสูงกว่า ค่ากระแสของไอออนจะมีค่าคงที่เป็นอิสระจากแรงดันโคโรนา ในขณะเดียวกันค่ากระแสของ ไอออนลบจะเพิ่มขึ้นเล็กน้อยเมื่อแรงดันโคโรนาเพิ่มขึ้น ซึ่งอาจจะอธิบายได้ว่าเมื่อแรงดันโคโร นาเพิ่มขึ้น ทำให้ความเครียดของสนามไฟฟ้าและกระแสไอออนภายในชุดให้ประจุมีค่าเพิ่มขึ้น ทำให้เกิดการสูญเสียของไอออน (ion loss) เนื่องจากไฟฟ้าสถิต (electrostatic loss) ภายในชุด ให้ประจุมากขึ้น โดยการสูญเสียของไอออนเนื่องจากไฟฟ้าสถิตถูกนิยามไว้คืออัตราส่วนของค่า ความเข้มข้นจำนวนของไอออนที่ทางออกของชุดให้ประจุต่อค่าความเข้มข้นจำนวนของไอออนที่ เกิดขึ้นภายในชุดให้ประจุ

6.3.3 ความเข้มข้นจำนวนของไอออนและการทะลุผ่านของไอออน

ประสิทธิภาพการให้ประจุของอนุภาค (charging efficiency) จะขึ้นอยู่กับค่าความ เข้มขันจำนวนของไอออนภายในชุดให้ประจุ ซึ่งค่าความเข้มขันจำนวนของไอออนสูงจะทำให้ ประสิทธิภาพการให้ประจุสูงขึ้นเช่นกัน โดยค่าความเข้มขันจำนวนของไอออนจะเป็นสัดส่วนกับ กระแสของไอออน รูปที่ 6.16 แสดงการเปลี่ยนแปลงของค่าความเข้มขันจำนวนไอออนกับ แรงดันโคโรนาภายในพื้นที่อัดประจุของชุดให้ประจุ จากรูปพบว่ากระแสไอออนเพิ่มขึ้นด้วยการ เพิ่มแรงดันโคโรนา โดยเมื่อแรงดันโคโรนาเพิ่มขึ้นจะทำให้ค่าความเข้มขันจำนวนของไอออน และความเข้มสนามไฟฟ้าเพิ่มขึ้นซึ่งหมายความว่ามีอัตราการให้ประจุที่สูง ความเข้มข้นจำนวนของไอออน เข้มขันจำนวนของไอออนที่ 10 องศา มีค่าสูงกว่า 20 องศา ประมาณ 1.5 เท่า และเป็นที่ทราบ กันอยู่แล้วว่าค่าความเข้มขันจำนวนของไอออนดบมาค่าสูงกว่าไอออนบวก รูปที่ 6.17 แสดง กราฟความเข้มขันจำนวนของไอออนที่ทางออกของชุดให้ประจุที่เป็นฟังก์ชั่นของแรงดันโคโรนา องศาของมุมขั้วอิเล็กโทรดเข็ม และอัตราการไหลของอากาศ จากรูปพบว่าค่ากระแสของไอออน สูงสุดที่วัดได้จากลูกถ้วยฟาราเดย์สำหรับอิเล็กโทรดเข็ม 10 องศามีค่าเท่ากับ 6.4 × 10⁻¹⁰ และ

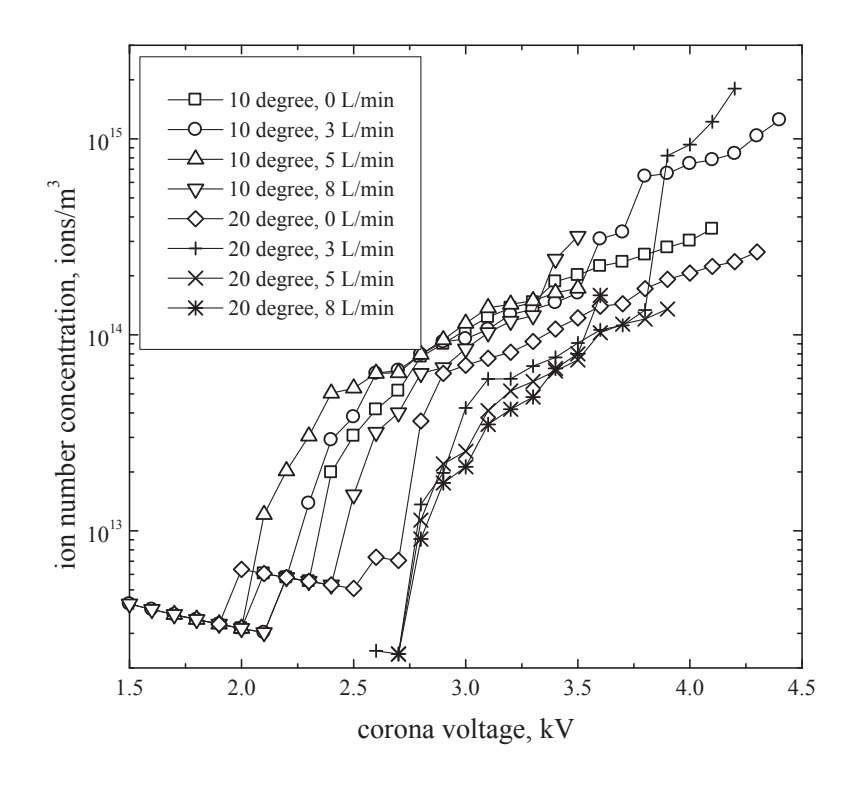


(ก) ไอออนบวก

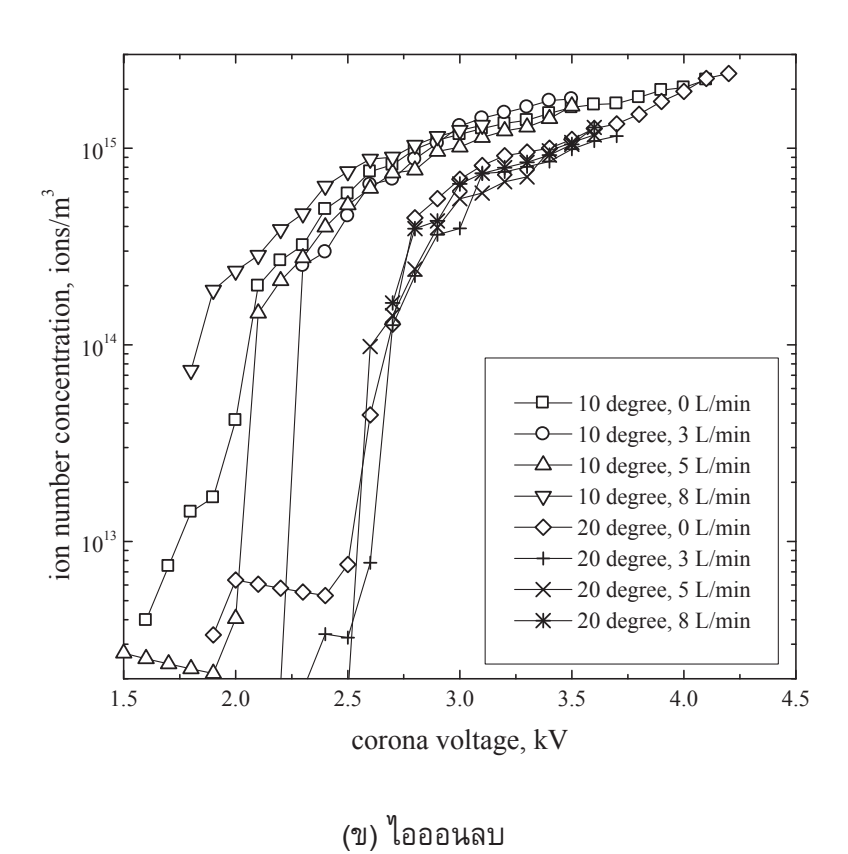


(ข) ใอออนลบ

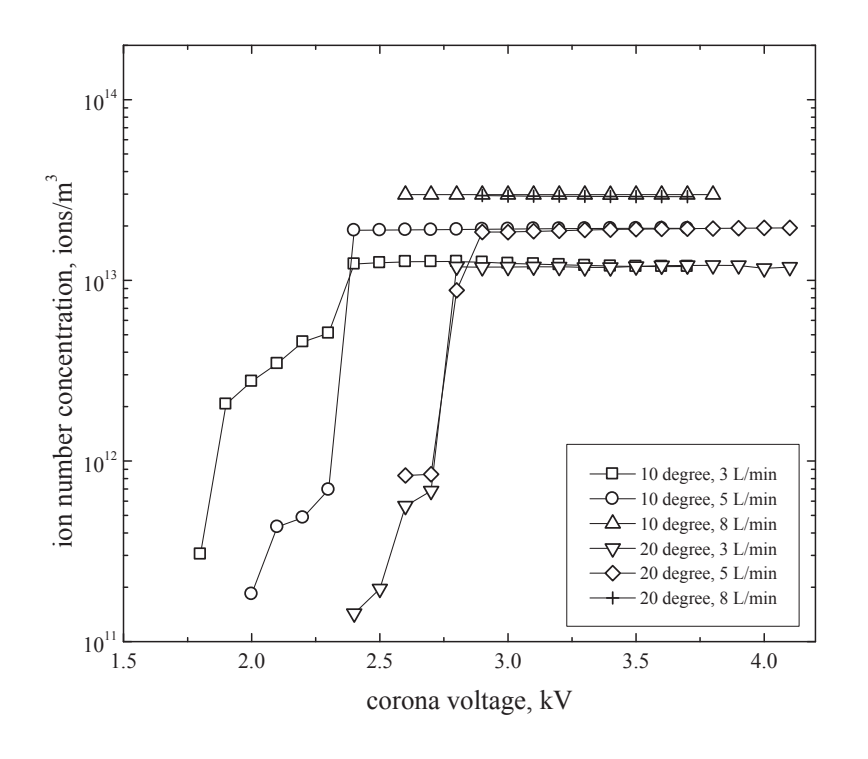
รูปที่ 6.15 การเปลี่ยนแปลงของค่ากระแสไอออนกับแรงดันโคโรนาที่ทางออกของชุดให้ประจุ ไฟฟ้าที่อัตราการไหลของอากาศต่างกัน (Intra and Tippayawong, 2010)

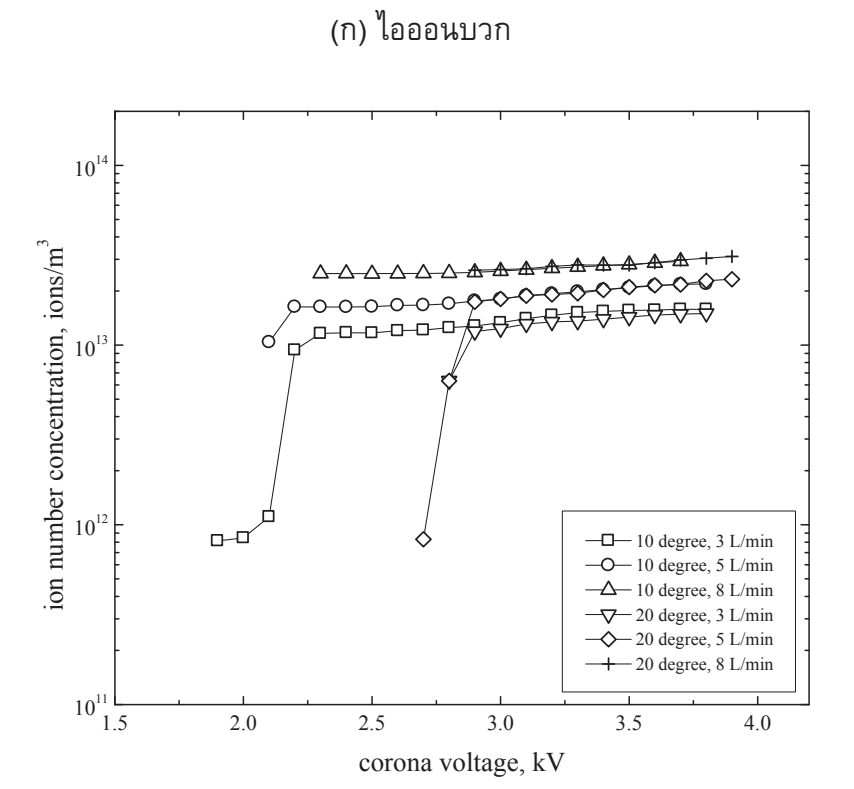






รูปที่ 6.16 การเปลี่ยนแปลงของค่าความเข้มข้นจำนวนไอออนกับแรงดันโคโรนาภายในพื้นที่อัด ประจุของชุดให้ประจุ (Intra and Tippayawong, 2010)



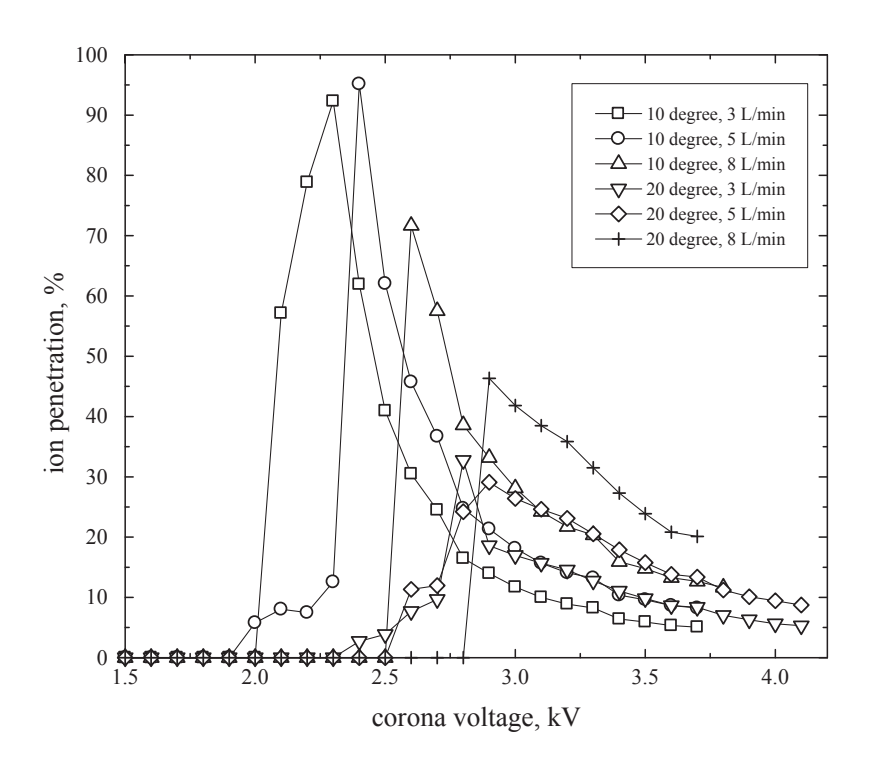


รูปที่ 6.17 กราฟความเข้มข้นจำนวนของไอออนที่ทางออกของชุดให้ประจุที่เป็นฟังก์ชั่นของ แรงดันโคโรนา องศาของมุมขั้วอิเล็กโทรดเข็ม และอัตราการไหลของอากาศ (Intra and Tippayawong, 2010)

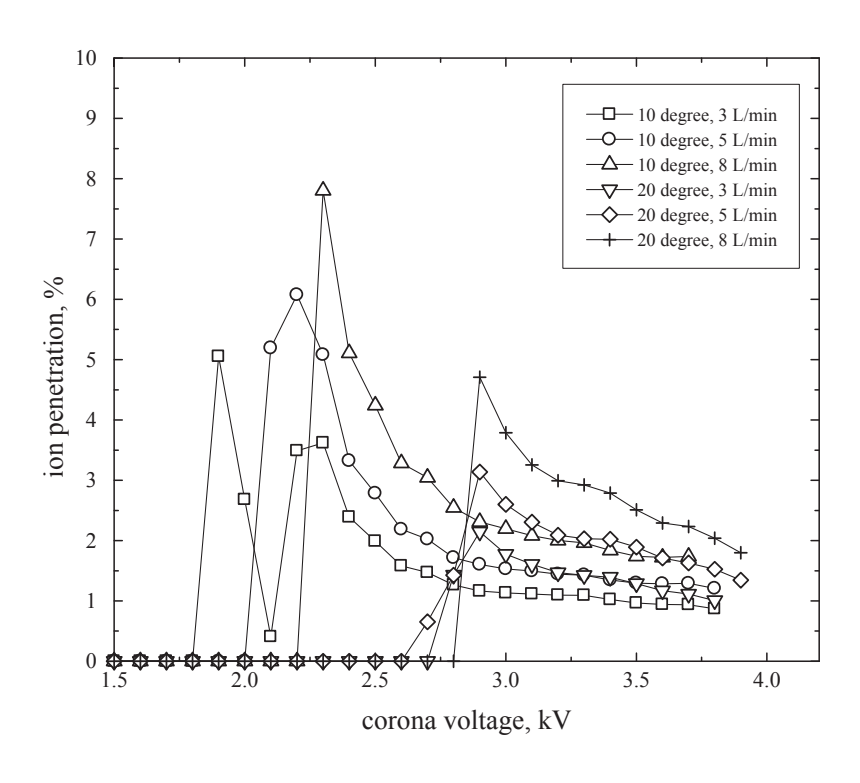
(ข) ใอออนลบ

 6.29×10^{-10} แอมป์ จะสอดคล้องกับค่าความเข้มขันจำนวนของไอออนเท่ากับ 2.98×10^{13} และ 2.93×10^{13} ไอออน ต่อ ลูกบาศก์เมตร เกิดขึ้นที่แรงดันโคโรนา 2.9 และ 3.7 กิโลโวลต์ สำหรับสำหรับไอออนบวกและลบ และอัตราการไหล 8 ลิตร ต่อ นาที ตามลำดับ สำหรับ อิเล็กโทรดเข็ม 20 องศา ค่ากระแสของไอออนสูงสุดที่วัดได้จากลูกถ้วยฟาราเดย์มีค่าเท่ากับ 6.25×10^{-10} และ 6.69×10^{-10} แอมป์ และสอดคล้องกับค่าความเข้มขันจำนวนของไอออน เท่ากับ 2.92×10^{13} และ 3.11×10^{13} ไอออน ต่อ ลูกบาศก์เมตร เกิดขึ้นที่แรงดันโคโรนา 3.4 และ 3.9 กิโลโวลต์ สำหรับสออนบวกและลบ และอัตราการไหล 8 ลิตร ต่อ นาที ตามลำดับ ในทางตรงกันข้าม ค่ากระแสของการให้ประจุของอิเล็กโทรดที่ 10 องศาที่สภาวะ เงื่อนไขเดียวกันจะมีค่าเท่ากับ 4.1×10^{-6} และ 9.82×10^{-5} แอมป์ จะสอดคล้องกับความ เข้มขันจำนวนของไอออนภายในชุดให้ประจุเท่ากับ 8.99×10^{13} และ 1.688×10^{15} ไอออน ต่อ ลูกบาศก์เมตร สำหรับไอออนบวกและลบ ตามลำดับ ในขณะเดียวกันกระแสของการให้ ประจุของอิเล็กโทรดที่ 20 องศาที่สภาวะเงื่อนไขเดียวกันจะมีค่าเท่ากับ 5.7×10^{-6} และ 1.06×10^{-4} แอมป์ จะสอดคล้องกับความเข้มขันจำนวนของไอออนภายในชุดให้ประจุเท่ากับ 1.07×10^{-6} และ 1.73×10^{15} ไอออน ต่อ ลูกบาศก์เมตร สำหรับไอออน ต่อ ลูกบาศก์เมตร สำหรับไอออนบวกและลบ ตามลำดับ

รูปที่ 6.18 แสดงการเปลี่ยนแปลงค่าการทะลุผ่านไอออนของปลายเข็มโคโรนาที่ 10 และ 20 องศา ที่แรงดันโคโรนาบวกและลบและที่อัตราการไหลต่างๆ พบว่าที่แรงดันโคโรนา บวกจะให้ค่าการทะลุผ่านไอออนได้สูงกว่าแรงดันโคโรนาลบของปลายเข็มโคโรนาทั้ง 10 และ องศา ค่าการผ่านทะลุของไอออนมีค่าลดลงเมื่อแรงดันโคโรนามีค่าเพิ่มขึ้นเนื่องจากการ สูญเสียของไอออนเนื่องจากไฟฟ้าสถิตดังที่ได้กล่าวมาในข้างต้น และยังพบว่าที่อัตราการไหลที่ สูงขึ้นค่าการทะลุผ่านไอออนมีค่าค่อนข้างเพิ่มขึ้น เพราะว่าไอออนสามารถโอนย้ายจากชุดให้ ประจุด้วยการใหลของอากาศได้ง่ายมาก และสามารถสรุปได้ว่าที่แรงดันโคโรนาบวกปลายเข็ม โคโรนา 10 องศา ให้ค่าการทะลุผ่านของไอออนได้สูงสุดที่แรงดันโคโรนา 2.4 กิโลโวลต์ ที่ อัตราการไหล 5 ลิตร ต่อ นาที และที่ปลายเข็มโคโรนา 20 องศา ให้ค่าการทะลุผ่านของไอออน ได้สูงสุดที่แรงดันโคโรนา 2.9 กิโลโวลต์ ที่อัตราการไหล 8 ลิตร ต่อ นาที และที่แรงดันโคโรนา ลบ ปลายเข็มโคโรนา 10 องศา ให้ค่าการทะลุผ่านของไอออนได้สูงสุดที่แรงดันโคโรนา 2.3 กิโล โวลต์ ที่อัตราการไหล 8 ลิตร ต่อ นาที และที่ปลายเข็มโคโรนา 20 องศา ให้ค่าการทะลุผ่านของ ไอออนได้สูงสุดที่แรงดันโคโรนา 2.9 กิโลโวลต์ ที่อัตราการไหล 8 ลิตร ต่อ นาที เนื่องจาก ความสามารถในการเคลื่อนตัวทางไฟฟ้าสูงของไอออนลบ ทำให้ค่าการผ่านทะลุของไอออนบวก ้มีค่าสูงกว่าไอออนลบสำหรับขั้วอิเล็กโทรดเข็ม 10 และ 20 องศา จากรูปที่ 6.18 จะพบว่าค่าการ ผ่านทะลุของไอออนสูงสุดที่อิเล็กโทรดเข็ม 10 องศา มีค่าเท่ากับ 95.1 และ 7.8 เปอร์เซ็นต์ สำหรับไอออนบวกและลบ ตามลำดับ และค่าการผ่านทะลุของไอออนสูงสุดที่อิเล็กโทรดเข็ม 20 องศา มีค่าเท่ากับ 46.3 และ 4.7 เปอร์เซ็นต์ สำหรับไอออนบวกและลบ ตามลำดับ



(ก) ไอออนบวก



(ข) ใอออนลบ

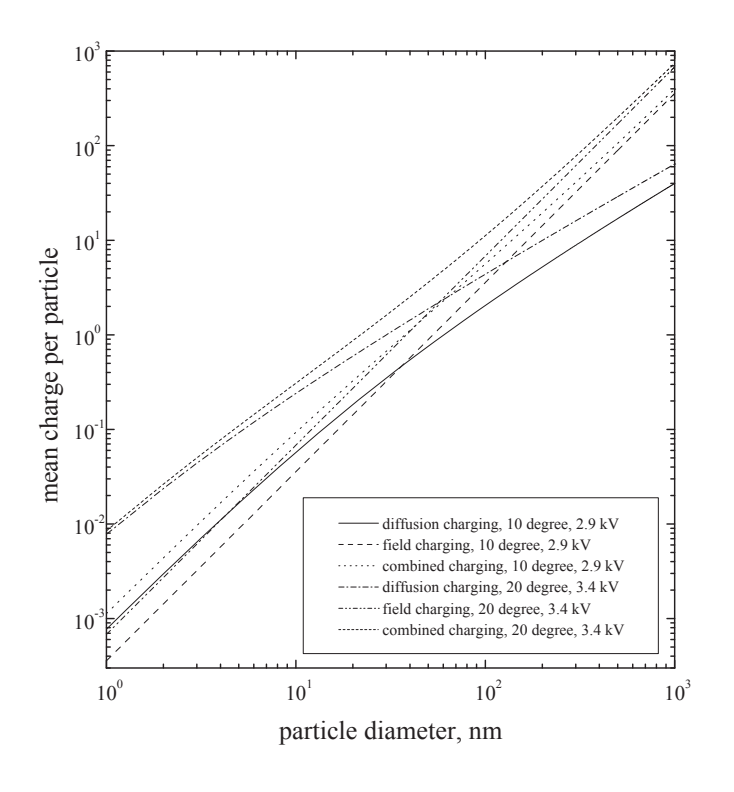
รูปที่ 6.18 การเปลี่ยนแปลงค่าการทะลุผ่านไอออนของปลายเข็มโคโรนาที่ 10 และ 20 องศา ที่ แรงดันโคโรนาบวกและลบและที่อัตราการไหลต่างๆ

6.3.4 การวิเคราะห์จำนวนประจุของอนุภาค

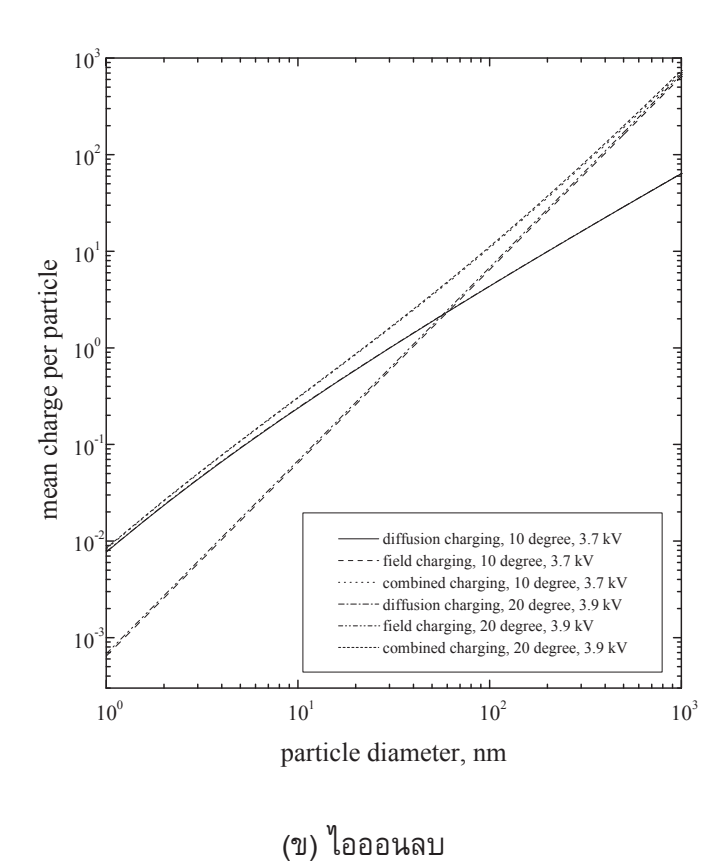
จากรูปที่ 6.18 จะเห็นว่าค่าการผ่านทะลุของไอออนสูงสุดของชุดให้ประจุไฟฟ้าสำหรับ ขั้วอิเล็กโทรดเข็ม 10 และ 20 องศา จะเกิดขึ้นที่แรงดันโคโรนา 2.9 และ 3.4 กิโลโวลต์ และ สอดคล้องกับกระแสการให้ประจุ 4.1 imes 10 $^{ ilde{-}6}$ และ 5.7 imes 10 $^{ ilde{-}6}$ แอมป์ ตามลำดับ สำหรับไอออน บวก และที่แรงดันโคโรนา 3.7 และ 3.9 กิโลโวลต์ จะสอดคล้องกับกระแสการให้ประจุ 9.82 imes $10^{^{-5}}$ และ $1.06 imes 10^{^{-4}}$ แอมป์ ตามลำดับ สำหรับไอออนลบ ซึ่งค่าต่างๆเหล่านี้เป็นค่าที่ เหมาะสมและจะใช้ในการประมาณค่าจำนวนประจุของอนุภาคด้วยใช้สมการที่ 2.50 และ 2.53 รูปที่ 6.19 แสดงการเปลี่ยนแปลงของจำนวนประจุของอนุภาคกับขนาดเส้นผ่านศูนย์กลางของ อนุภาคสำหรับการให้ประจุแบบแพร่กระจาย สนาม และผสม โดยจะพิจารณาอนุภาคที่มีขนาด เส้นผ่านศูนย์กลางอยู่ในช่วง 1 ถึง 1,000 นาโนเมตร ซึ่งเป็นช่วงขนาดที่ต้องการวัดสำหรับใน การออกแบบนี้ จากรูปแสดงให้เห็นว่าจำนวนประจุของการให้ประจุแบบแพร่กระจายและสนาม เพิ่มขึ้น เมื่อขนาดเส้นผ่านศูนย์ของอนุภาคเพิ่มขึ้น โดยประจุที่ได้รับจะเป็นสัดส่วนกับฟังก์ชั่น แบบเส้นตรง (d) สำหรับการให้ประจุแบบแพร่กระจายและฟังก์ชั่นกำลังสอง (d²) สำหรับการให้ ประจุแบบสนาม โดยจำนวนประจุของอนุภาคทั้งการแพร่กระจายและสนามจะมีค่าเท่ากันที่เส้น ผ่านศูนย์กลางของอนุภาคประมาณ 100 นาโนเมตร และจากรูปยังสังเกตได้ว่าค่าจำนวนประจุ ทั้งการแพร่กระจาย สนาม และผสมของอนุภาคของขั้วอิเล็กโทรดเข็ม 10 องศา จะมีค่าสูงกว่า ขั้วอิเล็กโทรดเข็ม 20 องศา เล็กน้อย ซึ่งหมายความว่าขั้วอิเล็กโทรดเข็ม 10 องศา จะให้ ประสิทธิภาพในการให้ประสูงกว่าขั้วอิเล็กโทรดเข็ม 20 องศา

6.3.5 การประมาณค่าการผ่านทะลุของอนุภาคที่มีประจุ

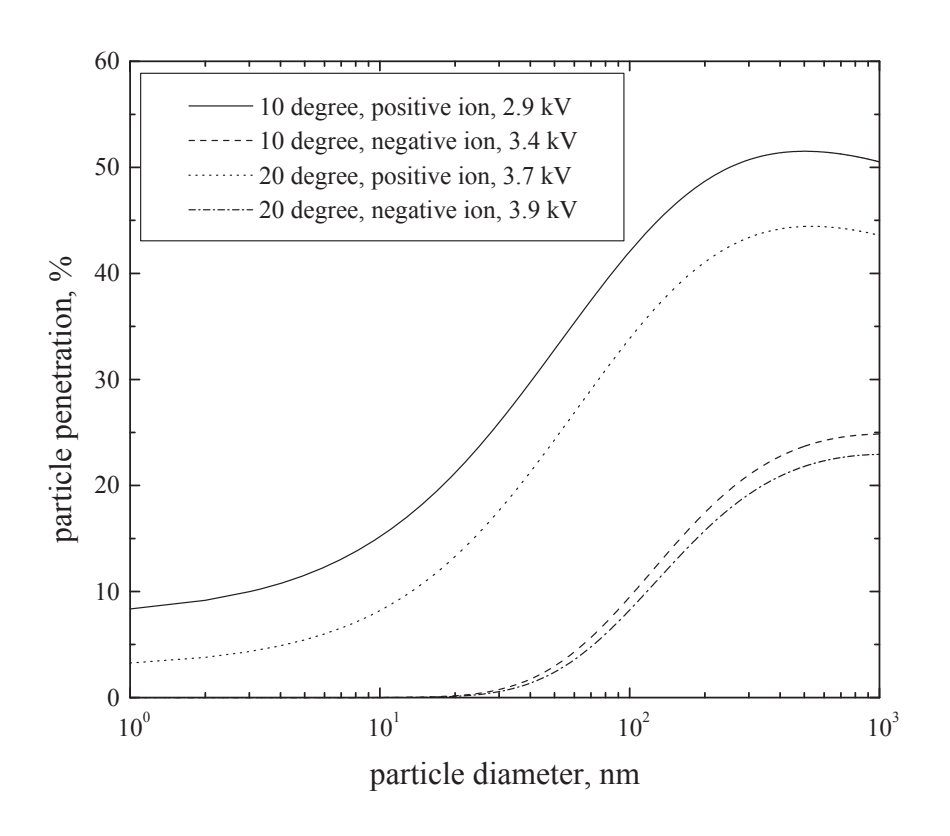
รูปที่ 6.20 แสดงค่าการผ่านทะลุของอนุภาคของชุดให้ประจุเปรียบเทียบกับขนาดเส้น ผ่านศูนย์กลางของอนุภาคในช่วง 1 ถึง 1,000 นาโนเมตร จากรูปจะพบว่าค่าการผ่านทะลุจะมี ค่าเพิ่มขึ้นตามขนาดเส้นผ่านศูนย์กลางของอนุภาคที่เพิ่มขึ้น ซึ่งเนื่องจากความสามารถในการ เคลื่อนตัวเชิงไฟฟ้าที่สูงกว่าของอนุภาคที่มีประจุลบ จึงทำให้อนุภาคที่มีประจุบวกจะมีค่าการ ผ่านทะลุสูงกว่าอนุภาคที่มีประจุลบ ซึ่งหมายความว่าอนุภาคที่มีประจุลบจะมีค่าการสูญเสีย ภายในชุดให้ประจุไฟฟ้าสูงกว่าอนุภาคที่มีประจุบวก และจากรูปยังสังเกตได้ว่าค่าการผ่านทะลุของอนุภาคที่มีประจุสำหรับขั้วอิเล็กโทรดเข็ม 10 องศา จะมีค่าสูงกว่าขั้วอิเล็กโทรดเข็ม 20 องศา ทั้งอนุภาคที่มีประจุบวกและลบ ซึ่งหมายความว่าขั้วอิเล็กโทรดเข็ม 10 องศา จะให้ ประสิทธิภาพการให้ประจุสูงกว่าขั้วอิเล็กโทรดเข็ม 20 องศา



(ก) ไอออนบวก



รูปที่ 6.19 การเปลี่ยนแปลงของจำนวนประจุของอนุภาคกับขนาดเส้นผ่านศูนย์กลางของอนุภาค สำหรับการให้ประจุแบบแพร่กระจาย สนาม และผสม



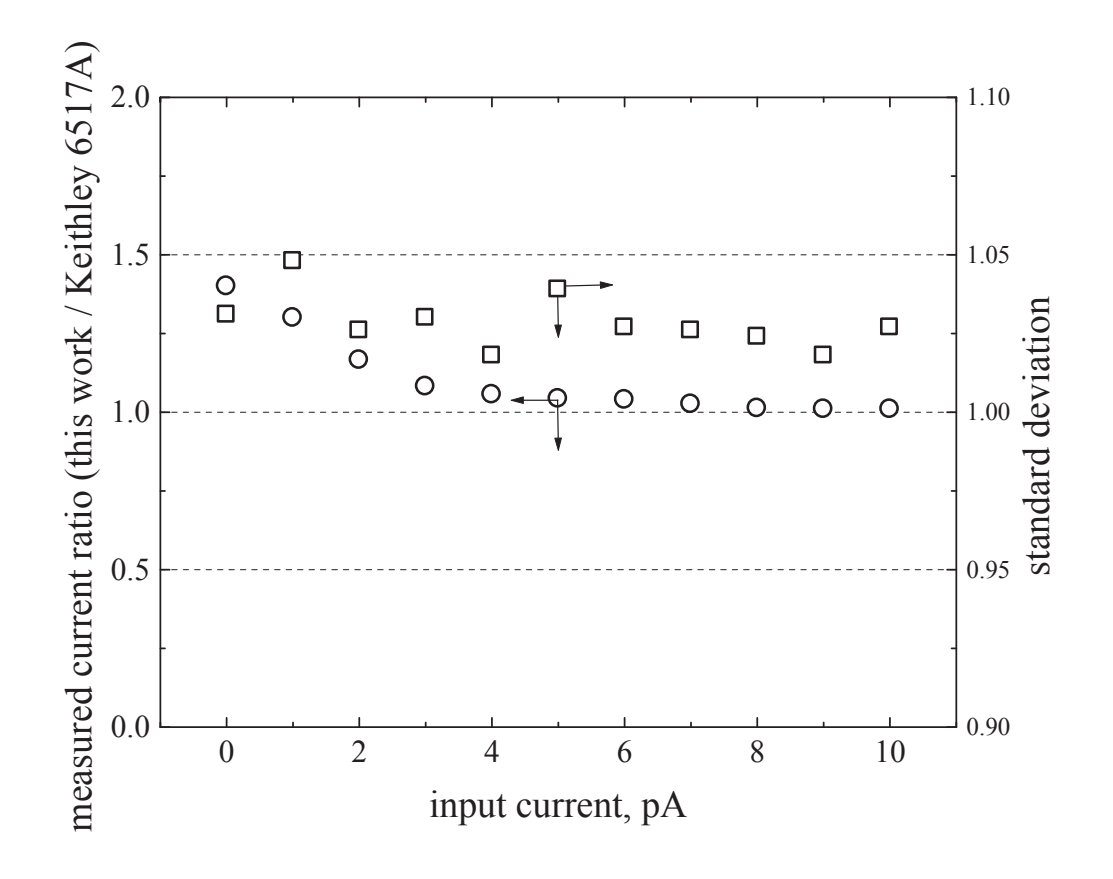
รูปที่ 6.20 ค่าการผ่านทะลุของอนุภาคของชุดให้ประจุเปรียบเทียบกับขนาดเส้นผ่านศูนย์กลาง ของอนุภาค

6.4 สมรรถนะของวงจรอิเล็กโทรมิเตอร์

ในการศึกษานี้จะใช้แหล่งจ่ายกระแสไฟฟ้าระดับต่ำหรือวงจรอนุกรมดังที่ได้อธิบายไว้ในบท ที่ 5 ในการทดสอบสมรรถนะของวงจรอิเล็กโทรมิเตอร์ที่พัฒนาขึ้น เมื่อป้อนแรงดันอินพุตในช่วง 0 ถึง 100 มิลลิโวลต์ ให้กับวงจรจะได้กระแสไฟฟ้าที่ออกมาในช่วง 0 ถึง 10 พิโคแอมป์ โดย กระแสไฟฟ้านี้จะถูกจ่ายให้กับวงจรอิเล็กโทรมิเตอร์ทำให้ได้ผลค่าต่ำสุด (Minimum) สงสด (Maximum) และค่าเฉลี่ย (Average) ของแรงดันเอาต์พูตวงจรอิเล็กโทรมิเตอร์ที่ค่าอินพูตต่างๆ เมื่อ นำมาแปลงเป็นกระแสอินพุต โดยพบว่าค่าเบี่ยงเบนมาตรฐาน (standard กระแสไฟฟ้าที่วัดจะอยู่ในช่วง 1.018 ถึง 1.048 ค่าเบี่ยงเบนมาตรฐานมีค่าสูงที่กระแสต่ำกว่า 5 พิโค แอมป์ (ตารางที่ 6.1) การเปรียบเทียบขึ้นกับอิเล็กโทรมิเตอร์ของ Keithley โมเดล 6517A เพื่อ ตรวจสอบความถูกต้องของวงจรพิโคแอมมิเตอร์ที่สร้างขึ้น โดยรูปที่ 6.21 แสดงการเปรียบเทียบ กระแสไฟฟ้าที่วัดได้จากวงจรอิเล็กโทรมิเตอร์ที่ได้สร้างขึ้นกับอิเล็กโทรมิเตอร์ของ Keithley โมเดล 6517A พบว่ากระแสไฟฟ้าที่ได้จากวงจรอิเล็กโทรมิเตอร์ที่สร้างขึ้นมีค่าใกล้เคียงกับอิเล็กโทรมิเตอร์ ของ Keithley โมเดล 6517A โดยสัดส่วนระหว่างกระแสจากวงจรอิเล็กโทรมิเตอร์ที่พัฒนาขึ้นต่ออิ เล็กโทรมิเตอร์ของ Keithley โมเดล 6517A มีค่าอยู่ในช่วง 1.00 ถึง 1.40 ซึ่งความแตกต่างระหว่าง วงจรอิเล็กโทรมิเตอร์ที่พัฒนาขึ้นกับอิเล็กโทรมิเตอร์ของ Keithley โมเดล 6517A จะอยู่ที่ประมาณ 2 และรูปที่ 6.22 แสดงสัญญาณกระแสไฟฟ้าของวงจรอิเล็กโทรมิเตอร์ที่วัดได้จากออส-เปอร์เซ็นต์

ตารางที่ 6.1 กระแสไฟฟ้าที่วัดได้จากวงจรอิเล็กโทรมิเตอร์ที่ได้สร้างขึ้น

Input current	Minimum	Maximum	Average	Standard
	current	current	current	deviation
(pA)	(pA)	(pA)	(pA)	
0	-0.136	0.500	0.174	1.031
1	0.801	1.392	1.133	1.048
2	1.626	1.923	1.756	1.026
3	2.304	2.699	2.455	1.030
4	3.324	3.608	3.453 4.852 5.748	1.018
5	4.600	5.180		1.039
6	5.584	5.870		1.027
7	6.587	6.874	6.723	1.026
8	7.523	7.769	7.648	1.024
9	8.411	8.625	8.523	1.018
10	9.655	9.909	9.786	1.027



รูปที่ 6.21 การเปรียบเทียบกระแสไฟฟ้าที่วัดได้จากวงจรอิเล็กโทรมิเตอร์ที่ได้สร้างขึ้นกับอิเล็ก โทรมิเตอร์ของ Keithley โมเดล 6517A

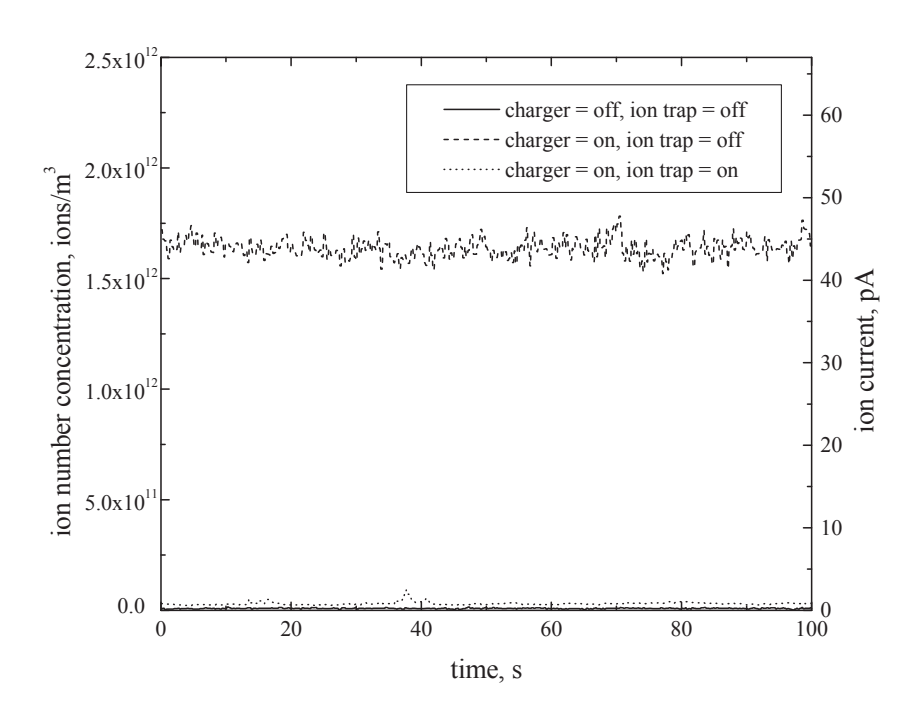


รูปที่ 6.22 สัญญาณกระแสไฟฟ้าของวงจรอิเล็กโทรมิเตอร์ที่วัดได้จากออสซิโลสโคป

ซิโลสโคปในกรณีที่ใส่และไม่ใส่ตัวกรองความถี่ต่ำ (ค่า Vdiv และ tdiv ของออสซิโลสโคบถูกตั้ง ค่าไว้ 5 มิลลิโวลต์และ 500 มิลลิวินาที) จากรูปที่ 6.22 แสดงให้เห็นว่าในกรณีที่วงจรไม่ได้ใส่ตัว กรองความถี่ต่ำ (กราฟด้านบน) สัญญาณทางไฟฟ้าที่วัดได้มีการเปลี่ยนแปลงจากสัญญาณ รบกวนค่อนข้างมาก เมื่อใส่ตัวกรองความถี่ต่ำเข้าไปในวงจรพบว่าสัญญาณไฟฟ้าที่วัดได้มีความ ราบเรียบขึ้น (กราฟด้านล่าง) ซึ่งตัวกรองความถี่ต่ำจะช่วยลดสัญญาณรบกวนจากอุปกรณ์ไฟฟ้า ต่างๆที่เกิดขึ้นในขณะทำการวัดได้

6.5 สมรรถนะการวัดไอออนและอนุภาคของเครื่องวิเคราะห์ฯตันแบบ

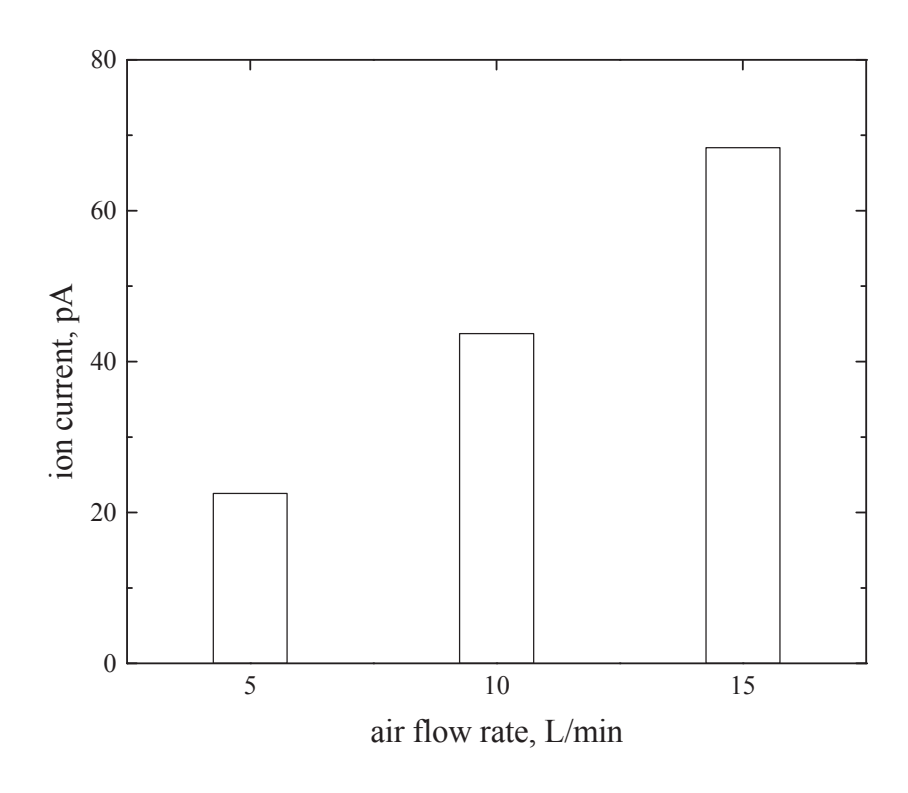
จากที่ได้กล่าวไว้ในบทที่ 5 เกี่ยวกับการทดสอบสมรรถนะการวัดของเครื่องวิเคราะห์ ต้นแบบ โดยจะได้ทำการทดสอบกับแหล่งจ่ายอนุภาคที่สร้างขึ้น รูปที่ 6.23 แสดงการ เปลี่ยนแปลงตามเวลาของความเข้มขันจำนวนของไอออนและสัญญาณกระแสไฟฟ้าที่วัดได้จาก ลูกถ้วยฟาราเดย์และวงจรอิเล็กโทรมิเตอร์ โดยให้ระบบทำงานที่แรงดันไฟฟ้าที่ชุดให้ประจุไฟฟ้า เท่ากับ 3.5 กิโลโวลต์ แรงดันไฟฟ้าที่ชุดดักจับไอออนเท่ากับ 150 โวลต์ อัตราการไหลเท่ากับ 10 ลิตร ต่อ นาที และความดันบรรยากาศ 1 บาร์ และจากรูปที่ 6.23 ยังพบว่าไม่มีสัญญาณ กระแสไฟฟ้าในกรณีที่ไม่ได้จ่ายแรงดันไฟฟ้าให้กับชุดให้ประจุไฟฟ้าและชุดดักจับไอออน และใน กรณีที่จ่ายแรงดันไฟฟ้าให้กับชุดให้ประจุไฟฟ้าแต่ไม่ได้จ่ายแรงดันไฟฟ้าให้กับชุดดักจับไอออน พบว่ามีสัญญาณกระแสไฟฟ้าวัดได้จากลูกถ้วยฟาราเดย์และวงจรอิเล็กโทรมิเตอร์ประมาณ 47 พิโคแอมป์ และสอดคล้องกับความเข้มข้นจำนวนของไอออนเท่ากับ 1.6 × 10¹² ไอออน ต่อ ลูกบาศก์เมตร ในทางตรงกันข้าม เมื่อจ่ายแรงดันไฟฟ้าให้กับชุดให้ประจุไฟฟ้าและชุดดักจับ ไอออนจะทำให้สัญญาณกระแสไฟฟ้าที่วัดได้มีค่าเท่ากับศูนย์



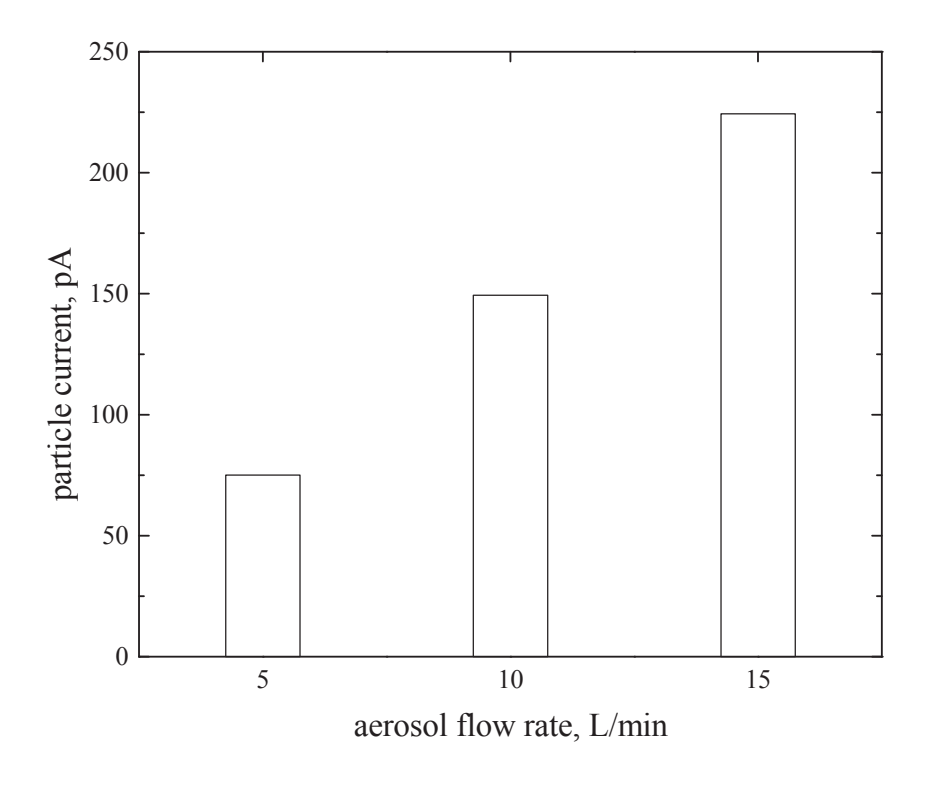
รูปที่ 6.23 การเปลี่ยนแปลงตามเวลาของความเข้มข้นจำนวนของไอออนและสัญญาณ กระแสไฟฟ้าที่วัดได้จากลูกถ้วยฟาราเดย์และวงจรอิเล็กโทรมิเตอร์

รูปที่ 6.24 แสดงการเปลี่ยนแปลงของกระแสไฟฟ้าของไอออนที่วัดได้จากวงจรอิเล็กโทร มิเตอร์กับอัตราการไหลของอากาศ โดยทำการเปลี่ยนแปลงค่าอัตราการไหลจากตัวควบคุม อัตราการไหลเชิงมวลอยู่ในช่วงระหว่าง 5 ถึง 15 ลิตร ต่อ นาที จากรูปที่ 6.24 พบว่าค่า กระแสไฟฟ้าของไอออนที่วัดได้อยู่ในช่วง 22 ถึง 68 พิโคแอมป์ และสอดคล้องกับค่าความ เข้มขันจำนวนของไอออนประมาณ 1.5 × 10¹² ไอออน ต่อ ลูกบาศก์เมตร และยังพบว่าเมื่อเพิ่ม อัตราการไหลของของไหลขึ้นจะทำให้ค่ากระแสไฟฟ้าของไอออนที่วัดได้มีค่าเพิ่มขึ้นตามไปด้วย เนื่องมาจากกระแสไฟฟ้าของไอออนเป็นสัดส่วนโดยตรงกับอัตราการไหลของของไหล จากผล การทดสอบการวัดไอออนพบว่าเครื่องมือที่พัฒนาขึ้นสามารถวัดกระแสไฟฟ้าของไอออน และ ความเข้มขันจำนวนของไอออนได้

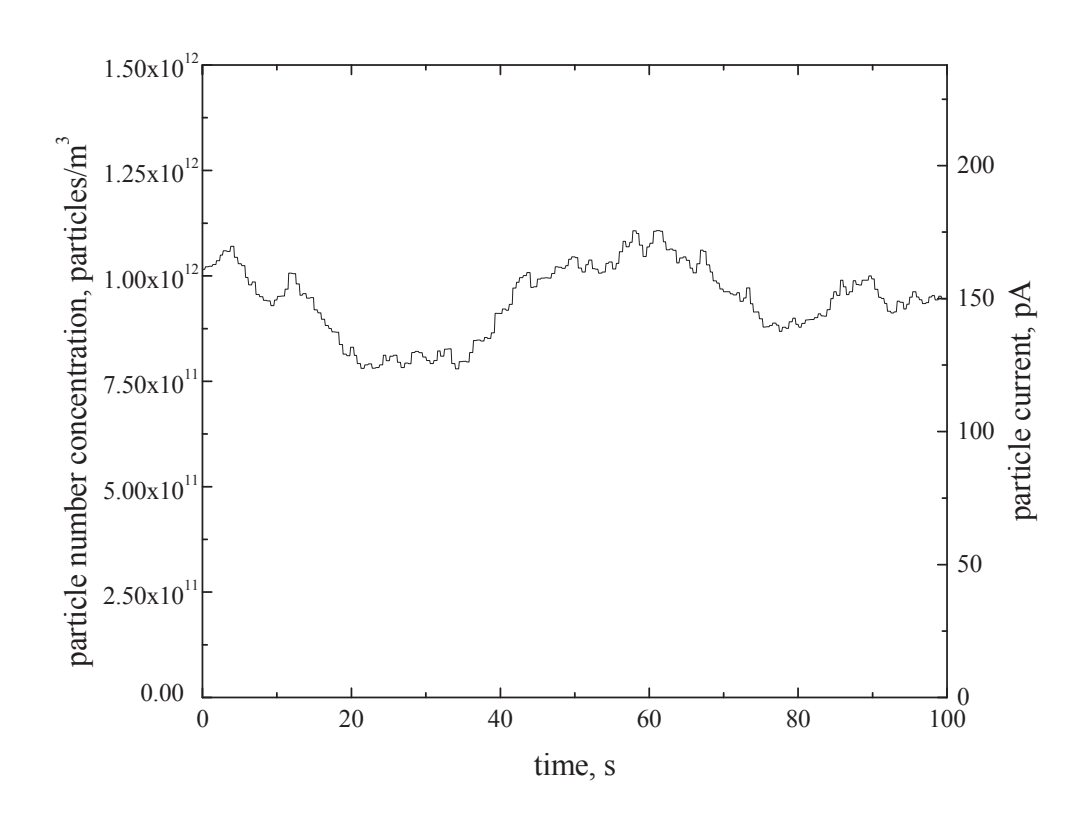
รูปที่ 6.25 แสดงการเปลี่ยนแปลงของกระแสไฟฟ้าของอนุภาคที่วัดได้กับอัตราการไหล ของอนุภาค สัญญาณกระแสไฟฟ้าของอนุภาคที่วัดได้จากวงจรอิเล็กโทรมิเตอร์จะมีค่าอยู่ในช่วง 75 ถึง 255 พิโคแอมป์ และจะสอดคล้องกับค่าความเข้มข้นเชิงจำนวนของอนุภาคที่ประมาณ 9.5 × 10¹¹ อนุภาค ต่อ ลูกบาศก์เมตร และจากรูปเมื่อเพิ่มอัตราการไหลของของไหลขึ้นจะมีผล ทำให้ค่ากระแสไฟฟ้าของอนุภาคที่วัดได้จากวงจรอิเล็กโทรมิเตอร์มีค่าลดลงตามไปด้วย เนื่อง จากกระแสไฟฟ้าของอนุภาคเป็นฟังก์ชั่นของอัตราการไหลของของไหลเช่นเดียวกัน โดยอัตรา การไหลของของไหลที่สูงขึ้น จะมีผลทำให้อนุภาคมีการตกสะสมตัวอยู่บนตัวกรองเพิ่มขึ้นตาม รูปที่ 6.26 แสดงค่าความเข้มข้นเชิงจำนวนและสัญญาณกระแสไฟฟ้าของอนุภาคที่วัดจาก วงจรอิเล็กโทรมิเตอร์ที่มีการเปลี่ยนแปลงตามเวลาที่อัตราการไหล 10 ลิตร ต่อ นาที



รูปที่ 6.24 การเปลี่ยนแปลงของกระแสไฟฟ้าของไอออนที่วัดได้จากวงจรอิเล็กโทรมิเตอร์กับ อัตราการไหลของอากาศ



รูปที่ 6.25 การเปลี่ยนแปลงของกระแสไฟฟ้าของอนุภาคที่วัดได้จากวงจรอิเล็กโทรมิเตอร์กับ อัตราการไหลของอนุภาค



รูปที่ 6.26 ค่าความเข้มข้นเชิงจำนวนและสัญญาณกระแสไฟฟ้าของอนุภาคที่วัดจากวงจรอิเล็ก โทรมิเตอร์ที่มีการเปลี่ยนแปลงตามเวลา

จากรูปที่ 6.26 ความเข้มข้นเชิงจำนวนและกระแสไฟฟ้าของอนุภาคมีการเปลี่ยนแปลงตามเวลา ในช่วง 0 ถึง 100 วินาที โดยมีค่ากระแสไฟฟ้าที่วัดได้จากวงจรอิเล็กโทรมิเตอร์เฉลี่ยเท่ากับ 150 พิโคแอมป์ และมีค่าสูงสุดและค่าต่ำสุดที่ 176 และ 124 พิโคแอมป์ ตามลำดับ เมื่อสมมุติให้ อนุภาคมีประจุไฟฟ้าของอนุภาคเป็นแบบประจุเดียว ($n_p = 1$) จะได้ค่าความเข้มข้นเชิงจำนวน ของอนุภาคที่ได้มีค่าเฉลี่ยประมาณ 9.5×10^{11} อนุภาค ต่อ ลูกบาศก์เมตร จากผลการทดลอง จะเห็นได้ว่าเครื่องวิเคราะห์ฯ ต้นแบบที่พัฒนาขึ้นสามารถวัดค่าความเข้มข้นเชิงจำนวนของ อนุภาคระดับนาโนเมตรได้

บทที่ 7 สรุปผลการวิจัยและข้อเสนอแนะ

วัตถุประสงค์ของบทนี้คือการสรุปผลการวิจัยที่ผ่านมาและให้ข้อเสนอแนะสำหรับการทำการวิจัยต่อในอนาคต โดยในหัวข้อแรกของบทนี้จะเป็นการสรุปผลการวิจัยเกี่ยวกับสมรรถนะ ของอุปกรณ์แต่ละส่วนของเครื่องวิเคราะห์ฯต้นแบบทั้งทฤษฎีและการทดลอง และในหัวข้อ สุดท้ายจะเป็นการนำเสนอข้อเสนอแนะสำหรับการทำการวิจัยในอนาคต ทั้งในส่วนของภาค ทฤษฎีและการทดลอง

7.1 สรุปผลการวิจัย

7.1.1 สมรรถนะของชุดคัดแยกสิ่งปนเปื้อนขนาดใหญ่

ได้ทำการออกแบบ สร้าง และทดสอบการทำงานต้นแบบชุดคัดแยกสิ่งปนเปื้อนขนาด ใหญ่ทั้งภาคทฤษฎีและการทดลอง โดยได้ทำการการปรับเปลี่ยนตัวแปรหลักที่มีผลต่อสมรรถนะ การทำงานของชุดคัดแยกฯ เช่น อัตราการไหลของอนุภาค ระยะห่างระหว่างช่องเร่งกับแผ่นตก กระทบ และขนาดเส้นผ่านศูนย์กลางของช่องเร่ง โดยต้นแบบฯจะถูกทดสอบกับอนุภาคตัวอย่าง เพื่อตรวจสอบประสิทธิภาพการคัดแยกฯ และการสะสมตัวของอนุภาคบนแผ่นตกกระทบภายใน ชุดคัดแยกฯ จากผลการวิจัยพบว่าค่าประสิทธิภาพการคัดแยกฯ จะมีค่าลดลงเมื่ออัตราการไหล ของอนุภาคมีค่าเพิ่มขึ้น และยังมีค่าลดลงเมื่อขนาดเส้นผ่าศูนย์กลางของช่องเร่งลดลงอีกด้วย และได้นำเสนอและวิจารณ์ผลการทดลองของต้นแบบฯ และภาพถ่ายของอนุภาคที่สะสมตัวอยู่ บนแผ่นตกกระทบ

7.1.2 สมรรถนะของชุดดักจับไอออน

ได้ทำการออกแบบ สร้าง และทดสอบสมรรถนะการทำงานของชุดดักจับไอออนทั้งใน ส่วนภาคทฤษฎีและการทดลอง ในส่วนของภาคทฤษฎีได้ทำการสร้างแบบจำลองทาง คณิตศาสตร์ขึ้นมาเพื่อทำนายระยะการเคลื่อนที่ของไอออนและประสิทธิภาพการตกตะกอนของ ไอออนภายในชุดดักจับไอออน โดยมีการเปรียบเทียบผลการวิเคราะห์กับแบบจำลองที่ได้มีการ พัฒนาขึ้นโดยนักวิจัยหลายท่านซึ่งให้ผลการวิเคราะห์เป็นที่น่าพอใจ ในส่วนของภาคการทดลอง ได้ทำการทดลองโดยการใช้แหล่งจ่ายไอออนที่รู้ค่าจ่ายผ่านชุดดักจับไอออน เพื่อหาค่า ประสิทธิภาพการตกตะกอนของไอออนโดยการวัดค่ากระแสไฟฟ้าของไอออนที่ด้านทางเข้าและ ออกของชุดดักจับไอออน และได้ทำการปรับเปลี่ยนตัวแปรหลักที่มีผลที่ประสิทธิภาพการ ตกตะกอน เช่น แรงดันไฟฟ้า อัตราการไหลของไหล และนอกนี้ค่าประสิทธิภาพที่ได้จากการ เปรียบเทียบพบว่าค่าประสิทธิภาพมีค่าใกล้เคียงกับค่าประสิทธิภาพที่ได้จากการคำนวณ เปรียบเทียบพบว่าค่าประสิทธิภาพมีค่าใกล้เคียงกับค่าประสิทธิภาพที่ได้จากการคำนวณ เปรียบเทียบพบว่าค่าประสิทธิภาพมีค่าใกล้เคียงกับค่าประสิทธิภาพที่ได้จากการคำนวณ

7.1.3 สมรรถนะของชุดให้ประจุไฟฟ้าของอนุภาค

ได้ทำการออกแบบ สร้าง และทดสอบต้นแบบชุดให้ประจุไฟฟ้าอนุภาคแบบโคโรนาเข็ม ที่ใช้หลักการการโคโรนาดิสชารจ์ โดยได้ทำการศึกษาคุณสมบัติทางไฟฟ้าสถิตในเทอมของ ความสัมพันธ์ของกระแสและแรงดันภายในพื้นที่การให้ประจุของชุดให้ประจุไฟฟ้าทั้งแบบโคโร นาบวกและลบ โดยในการวิจัยนี้ได้ทำการศึกษาผลของมุมของอิเล็กโทรดเข็มที่ 10 และ 20 ได้ทำการทดสอบสมรรถนะของชุดให้ประจุอนุภาคโดยวิธีการหาค่าความสัมพันธ์ของ ได้นำเสนอวิธีการกึ่งการทดลองสำหรับการคำนวณหาความเข้มข้นของ กระแสและแรงดัน ไอออนภายในและทางออกของชุดประจุอนุภาคโดยอาศัยการวัดกระแสของไอออน การวิเคราะห์ลักษณะการไหลของของไหลและสนามไฟฟ้าภายในเครื่องอัดประจุด้วยระเบียบ วิธีการคำนวณเชิงตัวเลข เพื่อทำให้เกิดความเข้าใจในการทำงานของเครื่องอัดประจุมากยิ่งขึ้น จากการวิจัยพบว่ากระแสการการให้ประจุและความเข้มข้นของไอออนภายในชุดให้ประจุมีค่า เพิ่มขึ้นตามค่าแรงดันโคโรนาที่เพิ่มขึ้น และมีค่าลดลงเมื่อค่าองศาของมุมอิเล็กโทรดเข็มเพิ่มขึ้น จาก 10 เป็น 20 องศา และขนาดของกระแสของการให้ประจุสำหรับอิเล็กโทรดเข็ม 10 องศา จะ มีค่าสูงกว่าอิเล็กโทรดเข็ม 20 องศาที่แรงดันโคโรนาเดียวกัน โดยค่าการผ่านทะลุของไอออนมี ค่าลดลงเมื่อแรงดันโคโรนามีค่าเพิ่มขึ้น เนื่องจากความเครียดของสนามไฟฟ้าและกระแสไอออน ภายในชุดให้ประจุมีค่าเพิ่มขึ้นทำให้เกิดการสูญเสียของไอออนเนื่องจากไฟฟ้าสถิตภายในชุดให้ ประจุมากขึ้น และยังพบว่าที่อัตราการใหลที่สูงขึ้นค่าการทะลุผ่านไอออนมีค่าค่อนข้างเพิ่มขึ้น เพราะว่าไอออนสามารถโอนย้ายจากชุดให้ประจุด้วยการไหลของอากาศได้ง่ายมากเมื่อแรงดัน โคโรนาเพิ่มขึ้น

7.1.4 สมรรถหะของวงจรอิเล็กโทรมิเตอร์และระบบบัหทึกและประมวลผลข้อมูล

สร้าง และทดสอบต้นแบบวงจรอิเล็กโทรมิเตอร์สำหรับวัด ได้ทำการออกแบบ โดยวงจรต้นแบบที่ได้พัฒนาขึ้นเป็นการผสมกันของวงจร กระแสไฟฟ้าระดับต่ำของอนุภาค แปลงผันกระแสไปเป็นแรงดันอย่างง่ายกับวงจรขยายแบบป้อนกลับสองขั้น ได้ทำการสร้าง แบบจำลองทางคณิตศาสตร์สำหรับการคำนวณหาค่าแรงดันเอาต์พุตของวงจร โดยสมรรถนะ โดยรวมของวงจรฯถูกทดสอบด้วยแหล่งจ่ายกระแสระดับต่ำมาตรฐาน และเปรียบเทียบด้วยอิ เล็กโทรมิเตอร์ของ Keithley โมเดล 6517A จากการทดลองพบว่าค่าที่ได้จากวงจรตันแบบมีค่า ใกล้เคียงกับเครื่องมือมาตรฐาน และได้ทำการพัฒนาระบบการบันทึกและประมวลผลข้อมูลอย่าง ง่าย เพื่อใช้ในการแปลงค่าสัญญาณกระแสไฟฟ้าของอนุภาคที่มีประจุไปเป็นค่าความเข้มขันเชิง จำนวนของอนุภาค และยังใช้ในการควบคุมเครื่องวัดอัตราการไหลเชิงมวลและแหล่งจ่ายไฟฟ้า แรงดันสูง ระบบจะถูกเชื่อมต่อเข้ากับเครื่องคอมพิวเตอร์ผ่านตัวแปลงผันจากมาตรฐาน RS-485 ไปเป็นมาตรฐาน RS-232 เข้ากับพอร์ตอนุกรมของเครื่องคอมพิวเตอร์ โดยค่าแรงดันอินพุต อนาลอกที่วัดได้จะสามารถเก็บบันทึกไว้ในรูปของแฟ้มข้อมูล และนำข้อมูลที่ได้ออกมาวิเคราะห์ ด้วยวิธีการเขียนโปรแกรมคอมพิวเตอร์ที่พัฒนาขึ้นโดยโปรแกรม ผลให้อยู่ในรูปเชิงกราฟิก Microsoft Visual Basic

7.1.5 สมรรถนะการวัดไอออนและอนุภาคของเครื่องวิเคราะห์ตันแบบ

ในการศึกษานี้ได้ทำการทดสอบสมรรถนะการวัดไอออนและอนุภาคของเครื่องวิเคราะห์ ฯ โดยใช้แหล่งจ่ายไอออนและแหล่งจ่ายอนุภาคนาโนตัวอย่างที่สร้างขึ้น เพื่อทดสอบสมรรถนะ ในการวัด โดยมีการปรับเปลี่ยนตัวแปรหลักๆที่มีผลต่อการวัดของเครื่องวิเคราะห์ ได้แก่ แรงดันไฟฟ้า และอัตราการไหลของของไหล จากการศึกษาพบว่าอัตราการไหลของของไหลมี ผลต่อค่าของกระแสไฟฟ้าโดยเมื่อเพิ่มอัตราการไหลของของไหลขึ้นจะทำให้ค่ากระแสไฟฟ้ามีค่า เพิ่มขึ้น และจากผลการทดสอบการวัดไอออนพบว่าเครื่องวิเคราะห์ที่พัฒนาขึ้นนี้สามารถวัดค่า ความเข้มข้นจำนวนของไอออนและอนุภาคได้ในช่วง 0 ถึง 10¹² ไอออนหรืออนุภาค ต่อ ลูกบาศก์เมตร

7.2 ข้อเสนอแนะและการพัฒนาต่อในอนาคต

ในหัวข้อนี้จะให้ข้อเสนอแนะสำหรับการทำการวิจัยในอนาคตทั้งส่วนของทฤษฎี และ การทดลอง โดยรายละเอียดมีดังนี้

- 7.2.1 สำหรับชุดคัดแยกสิ่งปนเปื้อนขนาดใหญ่ ในการวิจัยนี้ใช้หลักการของการกระทบ เนื่องจากแรงเฉื่อยที่ให้ประสิทธิภาพการสะสมตัวที่ 50 เปอร์เซ็นต์ ซึ่งข้อจำกัดของหลักการนี้ก็ คือมือนุภาคที่มีขนาดใหญ่กว่าจุดตัดบางส่วนสามารถผ่านออกไปได้ โดยอนุภาคที่มีขนาดใหญ่ เหล่านี้จะได้รับประจุแบบหลายประจุ ซึ่งอนุภาคที่มีหลายประจุจะมีขนาดเส้นผ่านศูนย์กลางของ ความสามารถในการเคลื่อนตัวเชิงไฟฟ้าเดียวกัน จึงทำให้ค่ากระแสไฟฟ้าที่วัดได้จะเกิดจาก อนุภาคที่มีขนาดแตกต่างกัน ดังนั้น สำหรับในการศึกษาต่อไปควรให้ความสนใจเกี่ยวกับผลของ อนุภาคขนาดใหญ่กว่าขนาดเส้นผ่านศูนย์กลางจุดตัดบางส่วน ที่มีต่อสมรรถนะของเครื่อง วิเคราะห์ฯ ด้วยอนุภาคที่มีการกระจายขนาดเดี่ยว
- 7.2.2 สมรรถนะการให้ประจุของชุดให้ประจุไฟฟ้าอนุภาคควรมีการทดสอบกับอนุภาคที่ มีขนาดเดี่ยว เพื่อหาการกระจายตัวของประจุขั้วเดี่ยวสมดุล (equilibrium unipolar charge distribution) ของอนุภาคที่ทางออกของเครื่องอัดประจุ และทำการทดสอบกับอนุภาคหลาย ๆ ชนิดที่ครอบคลุมช่วงขนาดทำให้เข้าใจถึงสมรรถนะของการอัดประจุ และควรมีการทดสอบ เปรียบเทียบชุดให้ประจุไฟฟ้านี้กับการให้ประจุด้วยวิธีการอื่น ๆ และควรมีการศึกษาและ ปรับปรุงสมรรถนะของชุดให้ประจุไฟฟ้าโดยการลดการสูญเสียที่เกิดขึ้นภายในชุดให้ประจุไฟฟ้า เนื่องจากการให้ประจุแบบสนามสำหรับอนุภาคที่มีขนาดใหญ่ ซึ่งอนุภาคที่มีขนาดใหญ่นี้จะ ขึ้นอยู่กับค่าคงที่ของความเป็นฉนวนของวัสดุ ซึ่งถ้าค่าคงที่ของความเป็นฉนวนแตกต่างจาก ค่าที่กำหนดไว้จะทำให้จำนวนประจุที่ได้มีค่าแตกต่างด้วย ดังนั้นในการวิจัยต่อไปควรมี การศึกษาทางทฤษฎีและการทดลองเกี่ยวกับผลของค่าคงที่ของความเป็นฉนวนของอนุภาคต่อ สมรรถนะการให้ประจุไฟฟ้าของอนุภาคของชุดให้ประจุนี้
- 7.2.3 อนุภาคในธรรมชาติส่วนใหญ่จะมีลักษณะไม่เป็นทรงกลม ซึ่งรูปร่างของอนุภาค จะมีผลกระทบกับแรงเสียดลาก ความเร็วการตก และการได้รับประจุไฟฟ้า ซึ่งในการวิเคราะห์

ทฤษฎีของการทำวิจัยนี้ได้สมมุติให้อนุภาคมีลักษณะเป็นทรงกลม ดังนั้นในการศึกษาต่อไปควร ให้ความสนใจเกี่ยวกับผลของรูปร่างของอนุภาคที่มีต่อสมรรถนะโดยรวมของเครื่องวิเคราะห์ฯ

- 7.2.4 เพื่อให้สามารถวิเคราะห์จำนวนของอนุภาคที่มีค่าความเข้มข้นต่ำ ๆ และมีการ ตอบสนองในการวัดที่เร็วขึ้น ในการศึกษาต่อไปควรมีการปรับปรุงในเรื่องความละเอียดในการ วัดและสัญญาณรบกวนต่าง ๆที่เกิดขึ้นในวงจรอิเล็กโทรมิเตอร์
- 7.2.5 ในการศึกษาต่อไปควรมีการวัดและเปรียบเทียบผลของการวัดของเครื่องวิเคราะห์ ฯตันแบบที่พัฒนาขึ้นกับเครื่องวิเคราะห์อนุภาคมาตรฐานอื่นๆ เช่น SMPS EAS DMS และ EEPS เพื่อเป็นการยืนยันความถูกต้องของเครื่องมือวัดมากยิ่งขึ้น

เอกสารอ้างอิง

- Adachi, M., Kousaka, Y. and Okuyama, K., "Unipolar and bipolar diffusion charging of ultrafine aerosol particles", Journal of Aerosol Science, Vol. 16, No.2, 109-123, 1985.
- Agrawal, J.K. and Sem, G.J., "Continuous Flow, Single-particle-counting Condensation Nucleus Counter", Journal of Aerosol Science, Vol. 11, 343, 1980.
- Alonso, M., Martin, M.I. and Alguacil, F.J., "The measurement of charging efficiencies and losses of aerosol nanoparticles in a corona charger", Journal of Electrostatics, Vol. 64, 203-214, 2006.
- Balachandran, S., Meena, B.R. and Khillare, P.S., "Particle size distribution and its elemental composition in the ambient air of Delhi", Environment International, Vol. 26, No. 1-2, 49-54, 2000.
- Biskos, G., "Theoretical and experimental investigation of the differential mobility spectrometer", Ph.D. Thesis, University of Cambridge, U.K., 2004.
- Boisdron, K. and Brock, J.R., "On the stochastic nature of the acquisition of electrical charge and radioactivity by aerosol particles", Atmospheric Environment, Vol. 4, 35-50, 1970.
- Bricard, J., "L'equilibre ionique de la basse atmosphere", Journal of Geophysical Research, Vol. 54, No. 1, 39-52, 1949.
- Bricard, J., "La fixation des petits ions atmospheriques sur les aerosols ultra-fins", Geofisica Pura e Applicata, Vol. 51, 237, 1962.
- Chang, J., Kelly, A.J. and Crowley, J.M., Handbook of Electrostatic Processes, Marcel Dekker, Inc., New York, 1995.
- Chen, S-J., Liao, S-H., Jian, W-J. and Lin, C-C., "Particle size distribution of aerosol carbons in ambient air", Environment International, Vol. 23, No. 4, 475-488, 1997.
- Cunningham, E., "On the velocity of steady fall of spherical particles through fluid medium", Proceeding of the Royal Society, A-83, 357-365, 1910.
- Fierz, M., Scherrer, L. and Burtscher, H., "Real-time measurement of aerosol size distributions with an electrical diffusion battery", Journal of Aerosol Science, Vol. 33, 1049 – 1060, 2002.
- Flagan, R. C., "History of Electrical Aerosol Measurement", Aerosol Science Technology, Vol. 28, 301-380, 1998.

- Fuchs, N.A., "On the charging of particles in atmospheric aerosols", Izvestiia Akademii Nauk SSSR. Seriia Geograficheskaia i Geofizicheskaia, Vol. 11, 341-348, 1947.
- Fuchs, N.A., "On the stationary charge distribution on aerosol particles in a bipolar ionic atmosphere", Geofisica Pura e Applicata, Vol. 56, 185-193, 1963.
- Fuchs, N.A. and Sutugin, A.G., "High-dispersed aerosols", Topics in Current Aerosol Research, Pergamon Press Inc., Elmsford, New York, Vol. 2, 1971.
- Gentry, J.W. and Brock, J.R., "Unipolar diffusion charging of small aerosol particles", Journal of Chemical Physics, Vol. 47, 64-69, 1967.
- Gunn, R., "The statistical electrification of aerosols by ionic diffusion", Journal of Colloid and Interface Science, Vol. 10, 107-119, 1955.
- Hagwood, C., Sivathanu, Y. and Mulholland, G., "The DMA transfer function with Brownian motion a trajectory/Monte-Carlo approach", Aerosol Science and Technology, Vol. 30, 40-61, 1999.
- Hernandez-Sierra, A., Alguacil, F.J. and Alonso, M., "Unipolar charging of nanometer aerosol particle in a corona ionizer", Journal of Aerosol Science, Vol. 34, 733-745, 2003.
- Hinds, W.C., Aerosol Technology, John Wiley & Sons, New York, 1999.
- Intra, P. and Tippayawong, N., "Particle size analyzers", Journal of the Scientific and Technological Research Equipment Centre, Vol. 11, 156-170, 2003.
- Intra, P., "Investigation of a submicron-particle inertial impactor for size-selective inlet of the electrical mobility spectrometer", Chiang Mai University Journal of Natural Science, Vol. 7, No. 2, pp. 257 – 268, 2008.
- Intra, P. and Tippayawong, N., "Measurements of ion current from a corona-needle charger using a Faraday cup electrometer", Chiang Mai Journal of Science, Vol. 36, No. 1, pp. 110 119, 2009.
- Intra, P. and Tippayawong, N., "Effect of needle cone angle and air flow rate on electrostatic discharge characteristics of a corona-needle ionizer", Journal of Electrostatics, 2010, in press, 10.1016/j.elstat.2010.01.008.
- Johnson, T., Kaufman, S. and Medved, A., "Response of an Electrical Aerosol Detector based on a Corona Jet Charger", 6th Intl. ETH Conf. Nanoparticle Measurement, 19 21 August, Zurich, Switzerland, 2002.
- Kaufman, S.L. et al., "An Electrical Aerosol Detector based on the Corona-jet Charger", Poster P12-07, Abstract of 2002 AAAR, Charlotte, NC, 223, 2002.
- Keefe, D., Nolan, P.J. and Rich, T.Z., "Charge equilibrium in aerosols according to the Boltzmann law", Proceedings of the Royal Irish Academy, 60A, 27-45, 1959.

- King, J. G., The Design of Cleanrooms for the Microelectronics Industry. in Cleanroom Design, edited by Whyte. W, John Wiley & Sons, Chichester, 1999.
- Kulon, J., Hrabar, S., Machowski, W. and Balachandran, W., "A Bipolar charge measurement system for aerosol characterization, IEEE Transactions on Industry Applications, Vol. 37, 472-479, 2001..
- Lehtimaki, M., "Modified electrical aerosol detector", Aerosol in the mining and industrial work environments, Vol. 3 (edited by Marple, V.A., and Liu, B.Y.H.), Ann Arbor Science Publishers, Ann Arbor, 1135 1143, 1983.
- Liu, B.Y.H. and Kapadia, A., "Combined field and diffusion charging of aerosol particles in the continuum regime", Journal of Aerosol Science, Vol. 9, 227-242, 1978.
- Liu, B.Y.H., Whitby, K.T. and Yu, H.H.S., "Diffusion charging of aerosol particles at low pressures", Journal of Applied Physics, Vol. 38, No. 4, 1592-1597, 1967.
- Marple, V. A. and Willeke , K., "Impactor design", Atmospheric Environment, Vol. 10, 891-896, 1976.
- Park, S.S., Lee, C.J. and Kim, S.W., "A Novel Ultrafine Particle Measurement System with an Electrometer", Proceedings of Circuits and Systems, 48th Midwest Symposium, Vol. 1, 227 230, 7 10 August, 2005.
- Parker, K.R., Applied Electrostatic Precipitation, Blackie Academic & Professional, New York, 1997.
- Peek, F. W., Dielectric Phenomena in High Voltage Engineering, McGraw Hill, New York, 1929.
- Pui, D.Y.H., "Experimental study of diffusion charging of aerosols", Ph.D. thesis, University of Minnesota, Minneapolis, U.S.A., 1976.
- Thermo-System Inc., "Instruction Manual, Revision F, for Condensation Particle Counter, Model 3010", Minnesota, 2002.
- Thermo-System Inc., "Instruction Manual, Revision B, for Electrical Aerosol Detector, Model 3070A", Minnesota, 2005.
- Tippayawong, N., Vorayos, N., Suksamai, S. and Lee, A. L., "Sampling high concentration ambient particles", ESTECH 2002 (The IEST 48th Annual Technical Meeting and Exposition & the 16th ICCCS International Symposium on Contamination Control), 28 April 1 May, Anaheim, California, USA, 2002.
- White, H.J., "Particle charging in electrostatic precipitation", AIEE Transaction, Vol. 70, 1186-1191, 1951.
- White, H.J., Industrial Electrostatic Precipitation, Addison-Wesley, Reading, Massachusetts, 1963.

- Williams, P.I. 1999., "Construction and validation of a DMPS for aerosol characterization", Ph.D. Thesis, University of Manchester, U.K.
- Willeke, K. and Baron, P.A., Aerosol Measurement: Principles, Techniques, and Applications, John Wiley & Sons, New York, 1993.
- Wilson, W.E. et al., "Use of the Electrical Aerosol Detector as an Indicator for the Total Particle Surface Area Deposited in the Lung", Proceedings of 2004 ABWMA, paper #37, 2004.

ภาคผนวก ก

สรุปผลผลิตของโครงการ

ก.1. ผลผลิตของโครงการผลผลิตส่งมอบของโครงการประกอบด้วย

	ผลลัพธ์	ทางตรง (หน่วยนับ)	ทางอ้อม (หน่วยนับ)	ปีที่ได้
1.	องค์ความรู้	1 เรื่อง		ปีที่ 2
2.	กระบวนการใหม่			
3.	เทคโนโลยีใหม่			
4.	ต้นแบบ	1 ตันแบบ		
•	พร้อมใช้ (ผลิตภัณฑ์)			
•	ต้องวิจัยและพัฒนาต่อ			
•	ระดับห้องปฏิบัติการ	1		ปีที่ 2
5.	สู่เชิงพาณิชย์			
6.	สู่สาธารณประโยชน์			
7.	บทความทางวิชาการ	11 เรื่อง		
•	ผลงานตีพิมพ์ในวารสารระดับนานาชาติ	5 (2 เรื่องอยู่ ระหว่างการ พิจารณา)		ปีที่ 2
•	ผลงานตีพิมพ์ในวารสารระดับภูมิภาค			
•	ผลงานตีพิมพ์ในวารสารในประเทศ			
•	เอกสารประกอบการประชุม/สัมมนาระดับ นานาชาติ	1		ปีที่ 1
•	เอกสารประกอบการประชุม/สัมมนาระดับ ภูมิภาค			
•	เอกสารประกอบการประชุม/สัมมนาใน ประเทศ	3		ปีที่ 1
•	บทความในหนังสือพิมพ์และเอกสารอื่นๆ (เช่น จดหมายข่าว สื่อวิทยุ สื่อโทรทัศน์ การแถลงข่าว Media Forum นิทรรศการ/			
	การแสดงผลงาน)			
8.	สิทธิบัตร/ลิขสิทธิ์/เครื่องหมายการค้า			
9.	รางวัลและเกียรติบัตร			
10.	การผลิตบุคลากร			

ผลลัพธ์	ทางตรง (หน่วยนับ)	ทางอ้อม (หน่วยนับ)	ปีที่ได้
• ปริญญาเอก			
• ปริญญาโท			
• ปริญญาตรี			
• อื่นๆ (โปรดระบุ)			
11. เอกสารทางวิชาการ [Technical Paper]	1 เรื่อง		
• รายงานฉบับสมบูรณ์ [Final Report]	1		ปีที่ 2
• สรุปย่อทางเทคนิค[Technical Paper]			
12. หนังสือ/ตำราวิชาการ [Copyright]			
13. วิทยานิพนธ์			
14. จำนวนหลักสูตรการสอน			
15. จำนวนหลักสูตรการฝึกอบรม			
16. พัฒนาความสามารถของบุคลากรร่วม			
วิจัย			
• นักศึกษาร่วมโครงการ			
• นักวิจัยร่วมโครงการ			
• นักวิชาการ (วิศวกร/นักวิทยาศาสตร์/นัก			
เศรษฐศาสตร์)			
• นักอุตสาหกรรม			

ก.2. รายละเอียดของผลผลิตสำคัญที่ได้

ก.2.1 ผลงานตีพิมพ์ในวารสารระดับนานาชาติ

- Intra, P., "Investigation of a submicron-particle inertial impactor for size-selective inlet of the electrical mobility spectrometer", *Chiang Mai University Journal of Natural Science*, Vol. 7, No. 2, pp. 257 268, 2008. <u>গ্রী impact factor = 0.0</u>
- Intra, P. and Tippayawong, N., "Measurements of ion current from a coronaneedle charger using a Faraday cup electrometer", Chiang Mai Journal of Science, Vol. 36, No. 1, pp. 110 119, 2009. ฐกบรรจุเข้าใน Journal Citation Reports/Science Edition ตั้งแต่ปี 2008 (http://science.thomsonreuters.com/cgibin/jrnlst/jlresults.cgi)

- Intra, P. and Tippayawong, N., "Progress in unipolar corona discharger designs for airborne particle charging: A literature review", Journal of Electrostatics, Vol. 67, No.4, pp. 605 615, 2009. มี impact factor = 1.240 (JCR ปี 2008)
- Intra, P. and Tippayawong, N., "An electrostatic sensor for nanometer-sized aerosol particles detection", *Journal of the Japan Society of Applied Electromagnetics and Mechanics*, Vol.17, Supplement, pp. s17 s20, 2009. มี impact factor = 0.0
- Intra, P. and Tippayawong, N., "Effect of needle cone angle and air flow rate on electrostatic discharge characteristics of a corona-needle ionizer", Journal of Electrostatics, 2010, in press, 10.1016/j.elstat.2010.01.008. มี impact factor = 1.240 (JCR ปี 2008)
- Intra, P. and Tippayawong, N., "Performance evaluation of an electrometer system for ion and aerosol charge measurements", *Korean Journal of Chemical Engineering*, under review. (MS. ID: KJ2010-004) <u>มี impact factor</u> = 0.830 (JCR ปี 2008)
- Intra, P. and Tippayawong, N., "Use of electrostatic precipitation for excess ion trapping in an electrical aerosol analyzer", *Journal of Electrostatics*, submitted for publication. มี impact factor = 1.240 (JCR ปี 2008)

ก.2.2 เอกสารประกอบการประชุม/สัมมนาระดับนานาชาติ

 Intra, P. and Tippayawong, N., "An electrostatic sensor for nanometer-sized aerosol particles detection", Poster presentation, Asia-Pacific Symposium on Applied Electromagnetics and Mechanics, Bangkok, Thailand, 24 – 25 July, 2008.

ก.2.3 เอกสารประกอบการประชุม/สัมมหาใหประเทศ

- Intra, P. and Tippayawong, N., "A submicron electrical aerosol detection system with a Faraday cup electrometer", Oral presentation, The 22nd Conference on Mechanical Engineering Network of Thailand, Pathumthani, Thailand, 15 – 17 October, 2008.
- Intra, P. and Tippayawong, N., "Analytical investigation of an electrostatic precipitator for excess ions removal after charging process of the electrical

- mobility spectrometer", Oral presentation, *The 7th PSU-Engineering Conference*, 21 22 May, 2009.
- Intra, P. and Tippayawong, N., "An electrical detector for nanometer-sized aerosol particles detection: development of the equipment and preliminary results", *The* 9th *TRF Academic Meeting*, Phetchaburi, Thailand, 15 17 October, 2009.

ภาคผนวก ข

สิ่งตีพิมพ์และผลงานอื่น ๆจากโครงการนี้

ภาคผนวก ข-1

Intra, P., "Investigation of a submicron-particle inertial impactor for size-selective inlet of the electrical mobility spectrometer", *Chiang Mai University Journal of Natural Science*, Vol. 7, No. 2, pp. 257 – 268, 2008. มี impact factor = 0.0



働

Panich Intra*

College of Integrated Science and Technology, Rajamangala University of Technology Lanna, Chiang Mai 50300, Thailand

*Corresponding author, E-mail: panich intra@yahoo.com

ABSTRACT

An inertial impactor is widely used for sampling, separating and measuring aerosol particles of aerodynamic size. In this study, a prototype of the submicronparticle inertial impactor for size selective inlet of the electrical mobility particle sizing instruments was designed, constructed and investigated. The effects of major design parameters on the cut-off diameter were analytically investigated including the aerosol flow rate, acceleration nozzle-to-impaction plate distance, and acceleration nozzle diameter. A prototype of the impactor was preliminarily tested experimentally to investigate the particle collection efficiency of the impactor and the deposited particles on the surface of the impaction plate inside the impactor. The combustion aerosol generator was used to generate a polydisperse carbonaceous diffusion flame aerosol in the size range of approximately 10 nm – 10 μm for this experiment. It was shown that the theoretical 50% cut-off diameter decreased with increasing aerosol flow rate and also decreased with decreasing acceleration nozzle diameter. Finally, the results of the preliminary experimental tests and the photograph of particle deposited on the surface of the impaction plate inside the impactor was presented and also observed in this paper.

Key words: Particle aerosol, Inertial impactor, Size-selective inlet, Electrical mobility Spectrometer

INTRODUCTION

Inertial impactors have been widely used for many years for sampling and separating airborne aerosol particles of aerodynamic size for further chemical analysis because they are simple in construction with high separation and collection capabilities (Hinds, 1999). It consists of an acceleration nozzle and a flat plate, called an impaction plate. In inertial impactor, particles with sufficient inertia are unable to follow the streamlines and will impact on the impaction plate. Smaller particles will follow the streamlines and not be collected on the impaction plate. The aerodynamic particle size at which the particles are separated is called the cut-point diameter. Numerous extensive studies had been carried out in the past (May, 1945; Ranz and Wong, 1952; Andersen, 1966; Lundgren, 1967; Cohen and Montan, 1967; Mercer and Chow, 1968; Mercer and Stafford, 1969; Marple, 1970; Marple and Liu,





1974; Marple and Willeke, 1976; Dzubay et al., 1976; Markowski, 1984). In a later work, inertial impactors have been used extensively for measurements of micron or super-micron aerosol particle size distribution by mass known as an electrical low pressure impactor (ELPI) (Keskinen, 1992; Keskinen et al., 1992; Marjamaki et al., 2000).

In the electrical mobility particle sizing instruments, inertial impactors were also used to remove submicron-sized particles outside the measurement size range upstream of the instruments due to their contribution to multiple-charged aerosols (TSI, 2002; Intra, 2006; Intra and Tippayawong, 2006a, 2006b). These multiplecharged aerosols have the same electrical mobility diameter, and may therefore be detected on the same sensor. Consequently, the signal measured at a given sensor will be due to particles of different physical sizes. Even though inertial impactors have been widely studied for micron or super-micron aerosol collection, separation and measurement, submicron-particle inertial impactor for size selective inlet of the electrical mobility particle sizing instruments have not yet been studied extensively. So far, studies on submicron size selective inlet impactors were not carried out enough.

Therefore, an inertial impactor for upstream separating submicron size aerosol particles for the electrical mobility particle sizing instruments was designed, and theoretically and experimentally investigated in this study. The effects of major design parameters on the cut-off diameter were theoretically investigated. The parameters included the aerosol flow rate, nozzle-to-impaction plate distance and acceleration nozzle diameter. A prototype of the impactor was built and preliminarily tested experimentally. Finally, preliminary test results are also presented.

IMPACTOR DESIGN

The most important characteristic of an inertial impactor is the collection efficiency curve which indicates the percent of particles of any size which is collected on the impaction plate as a function of the particle size. According to Marple and Willeke (1976), for conventional inertial impactor, the aerosol flow rate, the acceleration nozzle-to-impaction plate distance and the acceleration nozzle diameter are the important parameters governing the performance of the inertial impactor. A schematic diagram of the inertial impactor used in this study is shown in Figure 1. The design of the impactor is based on the inertial impactor configuration of Marple and Willeke (1976). It consists of an acceleration nozzle and an impaction plate. The acceleration nozzle and the impaction plate are made of a stainless steel. In the inertial impactor, the aerosol flow is accelerated through an acceleration nozzle directed at an impaction plate. The impaction plate deflects the flow streamlines to a 90° bend. The particles larger than the cut-off diameter of the impactor impact on the impaction plate while the smaller particles follow the streamlines and avoid contact to the impaction plate and exit the impactor. A picture of the impactor used in this study is shown in Figure 2.







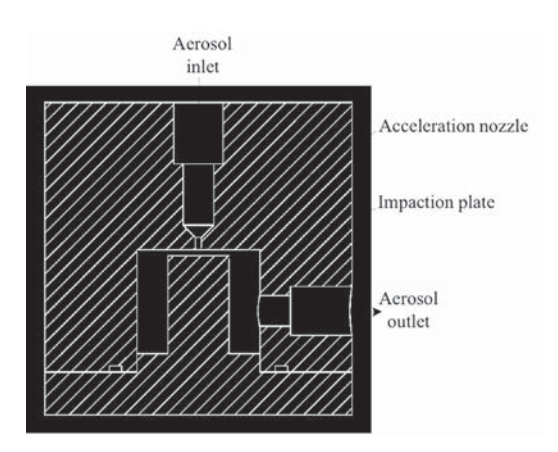


Figure 1. Schematic deagram of the submicron-sized particle inertial impactor.





Figure 2. A picture of the submicron-sized particle inertial impactor.

The acceleration nozzle diameter can be calculated from the Stokes number (Stk). The Stokes number is a dimensionless parameter that characterizes impaction, defined as the ratio of the particle stopping distance to the halfwidth or the radius of the impactor throat. The Stokes number equation for a round jet impactor is defined as (Hinds, 1999):

$$Stk = \frac{\rho_p C_c d_p^2 U}{9\eta D}, \qquad (1)$$

where ρ_p is the particle density, C_c is the Cunningham slip correction factor, d_p is the particle cut-off diameter, U is the mean velocity at the throat, η is the gas viscosity, and D is the acceleration nozzle diameter. Air density and viscosity are 1.225 kg/m³ and 1.7894×10^{-5} kg/m/s, respectively. Temperature of 294°K is used. For the round jet impactor, the expression of the average velocity within the round jets is given by the following equation

$$U = \frac{4Q}{\pi D^2} \ . \tag{2}$$





Substituting Equation 2 into Equation 1 gives

$$Stk = \frac{4\rho_p C_c d_p^2 Q}{9\pi n D^3} . \tag{3}$$

Solving the above equation for the particle cut-off diameter at 50% collection efficiency, d_{50} , can be calculated by (Hinds, 1999)

$$d_{50}\sqrt{C_c} = \sqrt{\frac{9\pi\eta D^3 \text{Stk}_{50}}{4\rho_p Q}} \ . \tag{4}$$

Because C_c is a function of d_{50} , Equation 4 cannot be conveniently solved for particle diameter. For conventional impactor, d_{50} can be estimated from $d_{50}\sqrt{C_c}$ using the following empirical equations (Hinds, 1999)

$$d_{50} = d_{50}\sqrt{C_c} - 0.078 \times 10^{-8}$$
, d_{50} is in m. (5)

This equation is accurate within 2% for $d_{50} > 0.2 \,\mu\text{m}$ and pressure from $0.9 - 1 \,\text{atm}$ (Hinds, 1999). Thus, the acceleration nozzle diameter is given by

$$D = \sqrt[3]{\frac{4\rho_{p} \left(d_{50} \sqrt{C_{c}}\right)^{2} Q}{9\pi \eta \operatorname{Stk}_{50}}},$$
(6)

where Stk_{50} is the Stokes number of a particle having 50% collection efficiency. For the round jet impactor, Stk_{50} is 0.24, and the ratio of the acceleration nozzle diameter to the nozzle-to-plate distance is 1.0 (Marple and Willeke, 1976; Hinds, 1999). In this study, the 50% cut-off diameter >= 1 μ m for the size selective inlet of the electrical mobility particle sizing instruments. The fractional particle penetration efficiency (*P*) of the impactor was determined as follows:

$$P(\%) = (1 - E) \times 100 \tag{7}$$

where E is the particle collection efficiency of the impactor, and it is determined from (Marjamaki et al., 2000)

$$E = \left[1 + \left(\frac{d_{50}}{d_p} \right)^{2s} \right]^{-1}, \tag{8}$$

where s is the parameter affecting the steepness of the collection efficiency curve. In the present study, s = 1 is arbitrarily assumed for the steepness of the collection efficiency curve.

PRELIMINARY EXPERIMENTAL TESTING

In order to measure the particle collection efficiency, it is necessary to measure the particle concentration both upstream and downstream of the impactor.

For each particle size, the particle collection efficiency of the impactor was defined as:

$$E = 1 - \frac{C_{\text{p, down}}}{C_{\text{p, up}}}, \qquad (9)$$

where $C_{\rm p,\;up}$ and $C_{\rm p,\;down}$ are the particle number concentrations in upstream and downstream, respectively. Unfortunately, particle size distribution of both upstream and downstream of the impactor was not measured because no aerosol sizer was available at the time of the experimentation. Thus, only particle number concentrations of both upstream and downstream of the impactor were preliminarily investigated using unipolar corona charging and electrostatic detection of highly charged particles (Intra and Tippayawong, 2008). The deposited particles on the surface of the impaction plate inside the impactor were also observed. A schematic diagram of the preliminary experimental setup used to investigate the collection efficiency of particles of the impactor and the deposited particles inside the impactor is shown in Figure 3. The combustion aerosol generator was used to generate a polydisperse carbonaceous diffusion flame aerosol for this experiment. Stable polydisperse aerosols with particle number concentrations of approximately $10^{12} - 10^{14}$ particles/m³ were obtained (Cleary et al., 1992). The particle size obtained by scanning electron microcopy (SEM) was in the range between approximately 10 nm – 10 μm. Figure 4 shows the particle morphologies of agglomerates obtained from the scanning electron micrograph, taken with a JEOL JSM-6335F Field Emission Scanning Electron Microscope, operated at 15 kV and magnification of 5,000X. In this study, the sampling aerosol flow rate was regulated and controlled by means of mass flow meter and controller with a vacuum pump and the flow rate ranging from 1.0 to 5.0 I/min. The particles were first dried with the diffusion drier. Thus, any remaining water was removed. Before aerosol particles entering the impactor, the particles were diluted and mixed with clean air, which had been filtered through a HEPA filter, in the mixing chamber. In the impaction plate, impaction surface was coated with an adhesive collection substrate to prevent particle bounce. Particle number concentrations of both upstream and downstream of the impactor were measured. In the measurement system, aerosol sample first pass through the unipolar corona charger that sets a charge on the particles and enter the ion trap to remove the free ions. After the ion trap, the charged particles then enter the Faraday cup electrometer for measuring ultra low current about 10⁻¹² A induced by charged particles collected on the filter in Faraday cup corresponding to the number concentration of particles. Finally, signal current is then recorded and processed by a data acquisition system (Intra and Tippayawong, 2008). The particle number concentration, C_p , is related to the signal current, I_p , at Faraday cup electrometer is given by

$$C_p = \frac{I_p}{peQ_a},\tag{10}$$

where p is the number of elementary charge units, e is the elementary unit of charge $(1.6 \times 10^{-19} \, \text{C})$, and Q_a is the volumetric aerosol sampling flow rate into a Faraday cup. To reduce errors due to time variations in the upstream aerosol concentrations,

repeat measurements were commenced at least 5 min after the introduction of the aerosol into the measurement system.

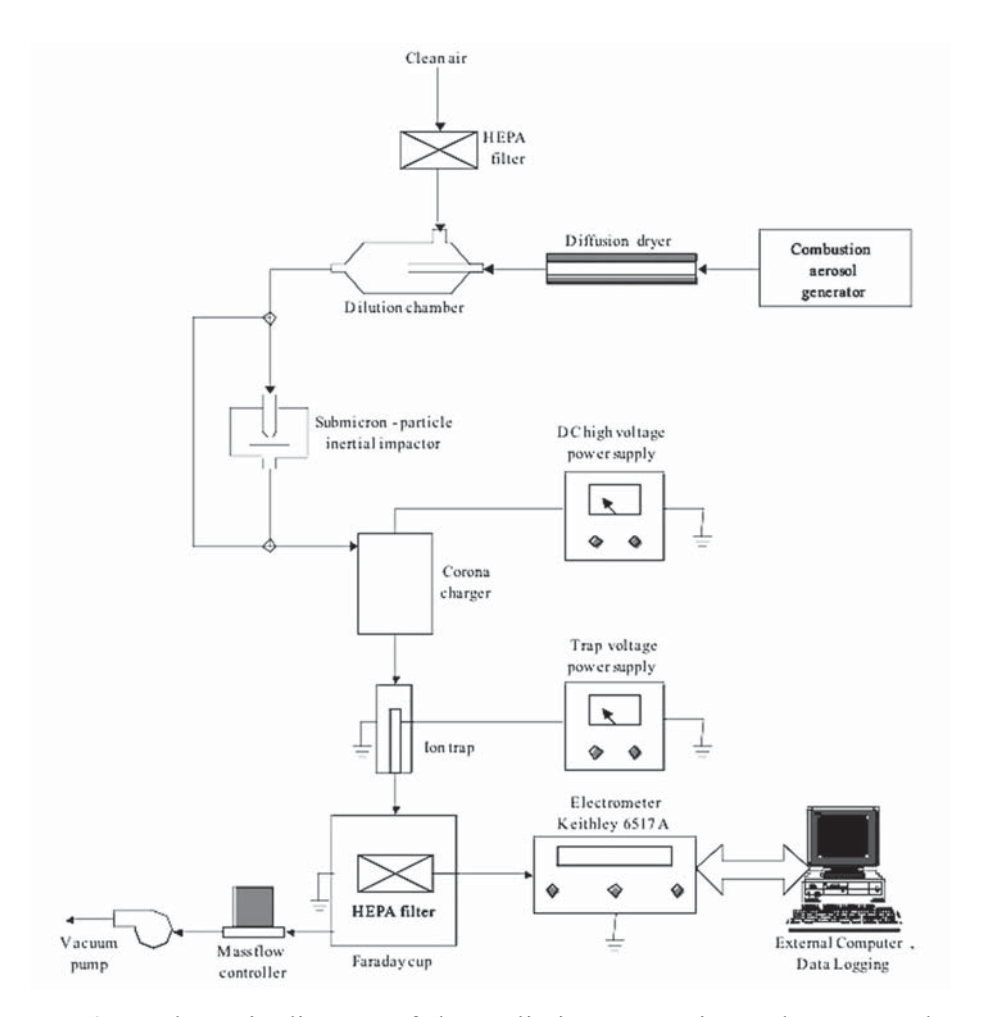


Figure 3. A schematic diagram of the preliminary experimental setup used to investigate the collection efficiency and the deposited particles inside the impactor.

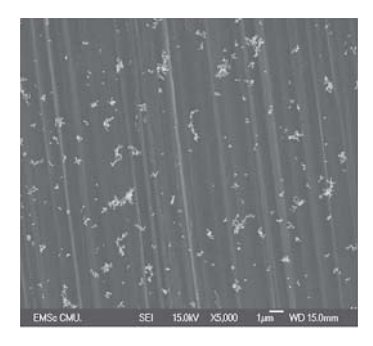


Figure 4. Scanning electron micrograph of sampling particle from the generator.





RESULTS AND DISCUSSION

The following parameters affecting the cut-off diameter were theoretically investigated in this study: the aerosol flow rate, acceleration nozzle-to-impaction plate distance and acceleration nozzle diameter. These calculations were carried out at varying aerosol flow rates between 1.0 to 5.0 l/min. An operating pressure was set at 1 bar. The acceleration nozzle diameter was varied from 0.5 to 2 mm. Figure 5 shows variation of theoretical impactor efficiency curves as a function of particle size at aerosol flow rates of 1, 2, 3, 4 and 5 l/min with the acceleration nozzle diameter of 1.0 mm. Calculations have been performed for particle size range from 10 nm to 10 μm. It was found that the cut-off diameter decreased as the flow rate increased. With respect to the influence of the aerosol flow rate on the performance of the size selective inlet, the cut-off diameter corresponding to 1 and 5 l/min were 1.28 and 0.53 µm, respectively. It is natural that both throat velocities and collection efficiencies increase as aerosol flow rates increase due to increased inertia. Thus, the impactor collection efficiency depends on aerosol flow rate, as shown in Figure 5. It is apparent that the collection efficiency increases between the aerosol flow rates of 1 and 5 l/min, because the inertial force acting on the particles is greater at the higher flow rate.

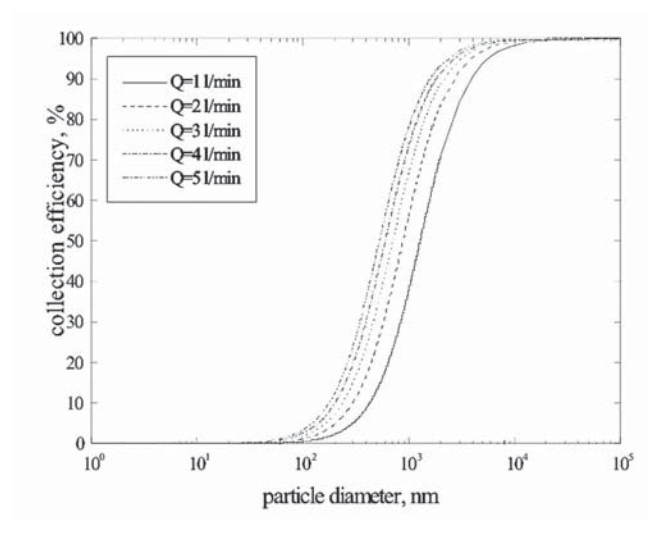


Figure 5. Variation of impactor collection efficiency with particle diameter at different operating aerosol flow rates.

For the study of the effect of the ratios of the acceleration nozzle diameter (D) to impaction plate distance (S) on the efficiency curve, Marple and Willeke (1976) showed that the 50% cut-off size $\sqrt{Stk_{50}}$ was strongly dependent upon S/D for S/D < 1 for rectangular impactors and for S/D < 1/2 for round impactors. For S/Dratios larger than these values, $\sqrt{Stk_{50}}$ and the shape of the efficiency curves are relatively constant. As design criteria, the values of S/D should be the minimum nozzle-to-plate distance used. Figure 6 shows variation of theoretical impactor efficiency curves as a function of acceleration nozzle diameter of 0.5, 1, 1.5, and 2





mm with the aerosol flow rate of 1.0 l/min, and operating pressure of 1 bar. It was found that the collection efficiency of impactor decreased when acceleration nozzle diameter decreased.

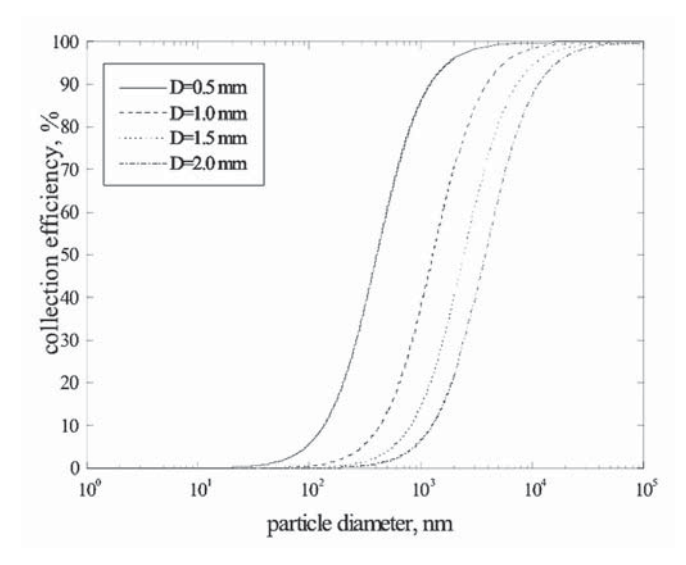


Figure 6. Variation of impactor collection efficiency with particle deameter at different acceleration nozzle diameters.

Figure 7 shows variation of measured particle number concentration and current with aerosol flow rates of both upstream and downstream of the impactor. As shown in Figure 7, the measured particle current and concentration, particle number concentration is derived from the current by using Equation 10, of both upstream and downstream was in the range from 1.5×10^{-10} to 9×10^{-9} A and 3 \times 10¹³ to 3 \times 10¹³ particles/m³, respectively. It was shown that the particle currents of both upstream and downstream of the impactor increased with increasing aerosol flow rate. In the same way, the particle number concentrations of both upstream and downstream increased slightly with increasing aerosol flow rate. It was also evident that the upstream particle number concentrations and currents of the impactor were slightly higher than downstream. Variation of measured particle penetration through the impactor with aerosol flow rates is shown in Figure 8. It was shown the measured particle penetration through the impactor was about 89, 56, 72 and 79% for aerosol flow rates of 1, 2, 3 and 4 l/min, respectively. It can be seen that the particle penetration through the impactor is slightly high. This was expected because all particles captured on the Faraday cup are assumed to be singly charged (p = 1), data reduction is required. Thus, detailed reasons of this problem should be theoretically and experimentally discussed further.





Figure 7. Variation of measured particle number concentration and current with aerosol flow rates of both upstream and ownstream of the impactor.

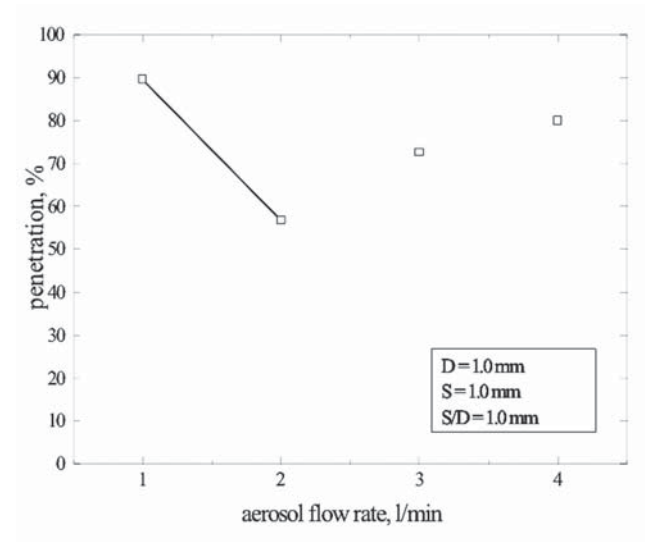


Figure 8. Variation of measured particle penetration through the impactor with aerosol flow rates.

The photograph of typical particles collected on the surface of the impaction plate inside of the impactor with sampling aerosol flow rate of 2 l/min for 30 minutes is shown in Figure 9. They were found to be agglomerated on the impaction plate. It was found inherent problems which were particle bounce and re-entrainment. The various problems in impactor use, such as the problem of particle bounce and re-entrainment, interstage wall losses and non-ideal collection characteristics of the impaction surface has been widely reported (Marple and Willeke, 1976). Particle bounce can be a severe problem in high velocity.









Figure 9. Photograph of typical particles collected on the impaction surface inside of the impactor.

CONCLUSION AND FUTURE WORK

The submicron-particle inertial impactor for size selective inlet of the electrical mobility particle sizing instruments has been designed, constructed and investigated. The design of the inertial impactor was based on the inertial impactor configuration of Marple and Willeke (1976). The effects of major design parameters on the cut-off diameter were analytically investigated, they were the aerosol flow rate, acceleration nozzle-to-impaction plate distance, and acceleration nozzle diameter. The impactor was preliminarily tested experimentally to observe the deposited particles on the surface of the impaction plate inside the impactor. The combustion aerosol generator was used to generate a polydisperse carbonaceous diffusion flame aerosol in the size range of approximately $10 \text{ nm} - 10 \mu\text{m}$ for this experiment. It was shown that the theoretical 50% cut-off diameter decreased as the flow rate increased and also decreased when acceleration nozzle diameter decreased. Finally, the results of the preliminary experimental tests and the photograph of typical particles collected on the surface of the impaction plate inside of the impactor was also shown and observed. Results obtained were very promising and was also found particles agglomerated on the impaction plate.

Therefore, future ongoing research will experiment on the effects of the design parameters on the impactor performance. The particle penetration efficiency of the impactor, particle size distribution both upstream and downstream of the impactor should be further theoretically and experimentally studied. One of the principal limitations of the inertial impaction method is that a significant fraction of the particles greater than the cut-point diameter (50% is from particle larger than the cut-point) that pass through the impactor contributed to multiple-charged aerosols. Therefore, further research should be also focused on this effect.

ACKNOWLEDGEMENTS

This work was supported by the Thailand Research Fund (TRF), Contract no MRG5180217.

Asst. Prof Dr. Nakorn Tippagawang, Mechanical Engineering Department Chiang Mai University, is also thanked for valuable support and assistance during the preparation of this research paper.

REFERENCES

- Andersen, A.A. 1966. A sampler for respiratory health hazard assessment. American Industrial Hygiene Association Journal, 27:160.
- Biswas, P., and R.C. Flagan. 1988. The particle trap impactor. Journal of Aerosol Science 19:113 121.
- Cleary, T.G., G.W. Mulholland, L.K. Ives, R.A. Fletcher and J.W. Gentry. 1992. Ultrafine Combustion Aerosol Generator. Aerosol Science and Technology 16:166-170.
- Cohen, J.J., and D.N. Montan. 1967. Theoretical considerations, design, and evaluation of a cascade impactor. American Industrial Hygiene Association Journal, 28: 95 104.
- Dzubay, T.H., L.E. Hines, and R.K. Stevens. 1976. Particle bounce errors in cascade impactors. Atmospheric Environment 10:229 234.
- Hinds, W.C. 1999. Aerosol Technology. John Wiley & Sons, New York.
- Intra, P. 2006. Aerosol Size Measurement System Using Electrical Mobility Technique. Ph.D. Thesis, Chiang Mai University, Chiang Mai, Thailand.
- Intra, P., and N. Tippayawong. 2006a. An electrical mobility spectrometer for aerosol size distribution measurement. International Conference on Technology and Innovation for Sustainable Development, 25-27 January, Khon Kaen, Thailand.
- Intra, P., and N. Tippayawong. 2006b. Aerosol size distribution measurement using multi-channel electrical mobility sensor. Journal of Aerosol Research Japan 21: 329-340.
- Intra, P., and N. Tippayawong. 2008. An electrostatic sensor for nanometer-sized aerosol particles detection. Asia-Pacific Symposium on Applied Electromagnetics and Mechanics, 24 25 July, Bangkok, Thailand.
- Keskinen, J. 1992. Experimental study of real time aerosol measurement techniques. Ph.D. Thesis, Tampere University of Technology, Tampere, Finland.
- Keskinen, J., K. Pietarinen, and M. Lehtimaki. 1992. Electrical low pressure impactor. Journal of Aerosol Science 23:353-360.
- Lundgren, D.A. 1967. An aerosol sampler for determination of particle concentration as a function of size and time. Journal of Air Pollution Control Association 17:225.
- Marjamaki, M., J. Keskinen, D.-R. Chen, and D.Y.H. Pui. 2000. Performance evaluation of the electrical low pressure impactor (ELPI). Journal of Aerosol Science 31:249 261.
- Markowski, D.R. 1984. Reducing blowoff in cascade impactor measurements. Aerosol Science and Technology 3:431 439.
- Marple, V.A. 1970. A fundamental study of inertial impactors. Ph.D. Thesis, University of Minnesota, Minnesota.

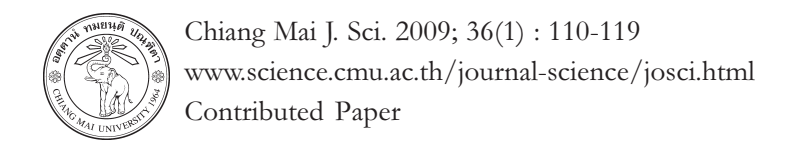




- Marple, V.A., and B.Y.H. Liu. 1974. Characteristics of laminar jet impactors. *Envi*ronmental Science and Technology 8:648 654.
- Marple, V.A., and K. Willeke. 1976. Impactor design. Atmospheric Environment 10:891-896.
- May, K.R. 1945. The cascade impactor: an instrument for sampling coarse aerosols. Journal of Scientific Instruments 22:187 195.
- Mercer, T.T., and H.Y. Chow. 1968. Impaction from rectangular jets. Journal of Colloid and Interface Science 27:75.
- Mercer, T.T., and R.G. Stafford. 1969. Impaction from round jets. The Annals of Occupational Hygiene 12:41.
- Ranz, W.E., and J.B. Wong. 1952. Impaction of dust and smoke particles. Industrial and Engineering Chemistry 44:1371.
- TSI Incorporated. 2002. Instruction Manual, Revision E, for Electrostatic Classifier, Model 3080, Minnesota.

ภาคผนวก ข-2

Intra, P. and Tippayawong, N., "Measurements of ion current from a corona-needle charger using a Faraday cup electrometer", *Chiang Mai Journal of Science*, Vol. 36, No. 1, pp. 110 – 119, 2009. ถูกบรรจุเข้าใน Journal Citation Reports/Science Edition ตั้งแต่ปี 2008 (http://science.thomsonreuters.com/cgi-bin/jrnlst/jlresults.cgi)



Measurements of Ion Current from a Corona-needle Charger Using a Faraday Cup Electrometer

Panich Intra^{*}[a], and Nakorn Tippayawong [b]

- [a] College of Integrated Science and Technology, Rajamangala University of Technology Lanna, Chiang Mai 50300, Thailand.
- [b] Department of Mechanical Engineering, Faculty of Engineering, Chiang Mai University, Chiang Mai 50200, Thailand.
- *Author for correspondence; e-mail: panich_intra@yahoo.com, panich.intra@hotmail.com

Received: 19 September 2008 Accepted: 17 December 2008.

ABSTRACT

Corona-needle charger is widely used to impose a known net charge distribution on the aerosol particles for the electrical mobility particle sizer. However, the corona discharge and charging processes in the corona-needle charger at different operating conditions is not well understood. In the present paper, measurement of ion current from a corona-needle charger using a Faraday cup electrometer was performed in order to optimize the coronaneedle charger with respect to maximization of the ion number concentration. It was shown that the corona onset increased with increasing air flow rate. At higher air flow rate, the ion current and concentration were found to be relatively high for the same corona voltage. The highest ion current in the Faraday cup electrometer was found to be about 6.4×10^{-10} , and 6.29×10^{-10} A, corresponding to the ion number concentration of about 2.98×10^{13} , and 2.93×10^{13} ions/m³ occurring at the corona voltage of 2.9 and 3.7 kV for positive and negative coronas, and air flow rate at 8.0 L/min, respectively.

Keywords: corona discharge, faraday cup, electrometer, ion current.

1. INTRODUCTION

One of the most common techniques to produce high ion concentrations is corona discharge, defined as the low energy electrical discharge with non-thermal ionization that takes place in the vicinity of an electrode of sufficiently low radius of curvature in a medium the pressure of which is close to atmospheric [1]. Corona discharge is produced by a non-uniform electrostatic field such as that between a needle and plate or a concentric wire and a tube. Air and other gases can

undergo electrical breakdown when the electric field strength is high. For the case of wire and tube, the only place this breakdown can occur is in a very thin layer on the wire surface. In this corona region, energy is highly intense to knock electron from gas molecules creating positive ions and free electrons.

There have been numerous studies in corona discharge phenomena in the past [2] which are widely used in many industrial applications such as electrostatic coating and

precipitation [3-5]. Electrostatic charging of fine particles by the DC corona dischargers is also commonly employed in determining particle size distribution by electrical mobility technique both corona-wire and coronaneedle chargers [6, 7]. Corona-needle charger is among the most commonly used to generate ions in aerosol diffusion chargers for the particle sizing instruments. Knowledge of the mechanism of the corona discharge attainable in a given charger is needed. The reason is that one has to know how particle charging depends on the ion concentration flowing through the charging zone, charging time, and the electric field inside it. The issue of corona discharge in the corona-needle charger has not been extensively studied in existing literature. Most papers concern about characteristics of corona discharge in wire to cylinder geometry. Only a few of them focus on the corona discharge in the needle to nozzle [8 - 11].

In the present paper, the ion current and number concentration of ions from the corona-needle charger were measured using a Faraday cup electrometer at different operating air flow rates and corona voltages. The research is aimed at the optimization of the corona-needle charger with respect to maximization of the ion concentration. A detailed description of the operating principle of the Faraday cup electrometer was also presented.

□. E□PERIMENTA□APPARATUS

2.1 Corona-needle Charger

Figure 1 shows the schematic diagram of the corona-needle charger used in this study. The corona-needle charger geometrical configuration is similar to the charger used by Hernandez-Sierra et al. [9], Alonso et al. [10] and Intra and Tippayawong [11]. However, differences between the present charger and existing chargers are aerosol inlet geometry which was modified to ensure uniform particle distribution across the annular aerosol entrance to charging zone. This charger consists essentially of a coaxial needle electrode placed along the axis of a cylindrical tube with tapered end. The needle electrode is made of a stainless steel rod, 6 mm in diameter ending in a sharp tip. The angle of the needle cone is

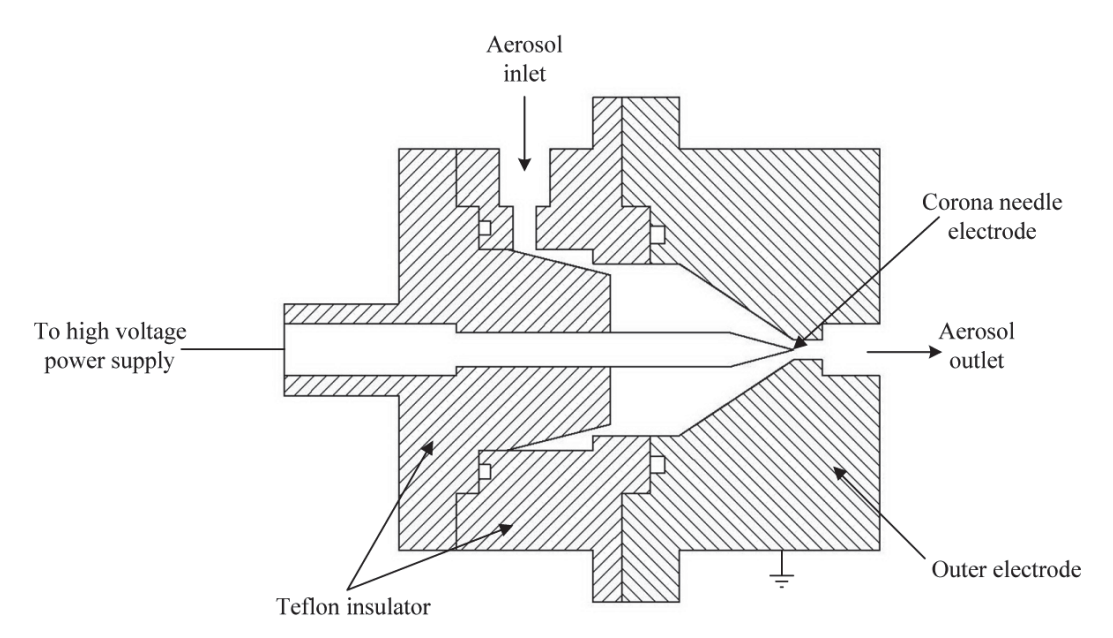


Figure 1. Schematic diagram of the corona-needle charger.

about 10° and the tip radius is about $50~\mu m$, as estimated under a microscope. The outer electrode is made of a stainless steel tube, 30~mm in diameter and 15~mm in length with conical shape. The orifice diameter is about 3.5~mm. The distance between the needle electrode and the cone apex is 1.75~mm. The corona-needle electrode head is connected to an adjustable DC high voltage supply, while the outer electrode is grounded. The corona discharge generates ions which move rapidly in the strong corona discharge field towards the outer electrode wall.

2.2 Faraday Cup

The schematic diagram of the Faraday cup electrometer is shown in Figure 2. It consists of an outer housing, a High Efficiency Particulate Air (HEPA) filter, a filter holder,

and a Teflon insulator. To completely shield the HEPA filter collecting the air ions, outer housing is made of a stainless steel, HEPA filter was equipped with a fine collection metal grid, and was electrically isolated from the outer housing and ground with Teflon stand (a volume resistivity exceeding $10^{18} \,\Omega$ cm). The HEPA filter was used in this work, because the collection efficiency for small air ions was very high. The Faraday cup plays a role to prevent electric noise for measuring low electric signal current (in pA range) from accumulated charge of air ions on an internal HEPA filter inside the Faraday cup corresponding to the total number concentration of the ions. If the object of measurement is not shielded completely, noise which is 1000 times of resolutions is expected. To transfer charges gathered at the HEPA filter to an

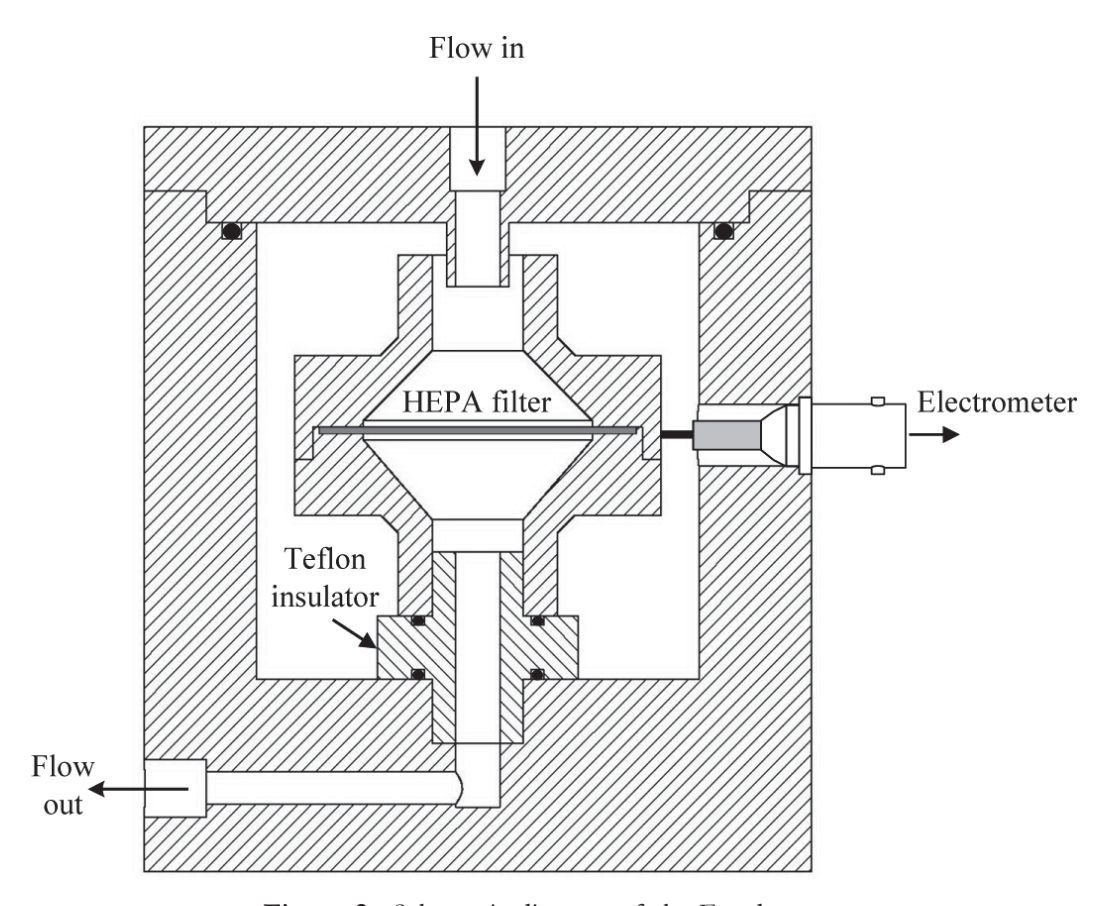


Figure 2. Schematic diagram of the Faraday cup.

electrometer circuit that is outside the Faraday cup, BNC connector is connected to HEPA filter. Because material of HEPA filter is conductive such as glass fiber, charges collected in the filter can move to the electrometer through the low noise cable and BNC connector without delay. In the case of existing electrometer air ions flow is curved at 90° while air is drifted from sampling probe to the filter. It can become the cause of charge loss. To solve this problem airflow into Faraday cup is straightened without changing the direction of the flow and loss the charge.

2.3 Electrometer Circuit

An electrometer circuit is used to measure the electric signal current, which are typically in the range 1 pA to 1 nA, from the Faraday cup. The schematic presentation of an electrometer circuit design for air ions detection system is shown in Figure 3. This circuit is a simple current-to-voltage converter, where the voltage drop caused by a current

flowing through a resistor is measured. The circuit adopted two cascaded negative feedback amplifiers. The extra component in this circuit is primarily for fine offset voltage adjustment and input/output protection. A ±12V DC power supply capable of providing 100 mA is required. The feedback capacitor and RC low-pass filter were used to reduce high-frequency noise and to prevent oscillations of the amplifier output [12]. In order to avoid expensive construction, commercially-available low-cost monolithic operational amplifiers were used. The commercially-available operational amplifiers used in this circuit is the LMC662, which was designed for low current measurement and featured ultra-low input bias current (2 fA maximum) and low offset voltage drift $(1.3 \,\mu\text{V/}^{\circ}\text{C})$ [13]. This circuit gives an output voltage of 10 mV per 1 pA of input signal current. The electrometer circuit was calibrated with a current injection circuit, high-impedance current source [12]. The performance of the

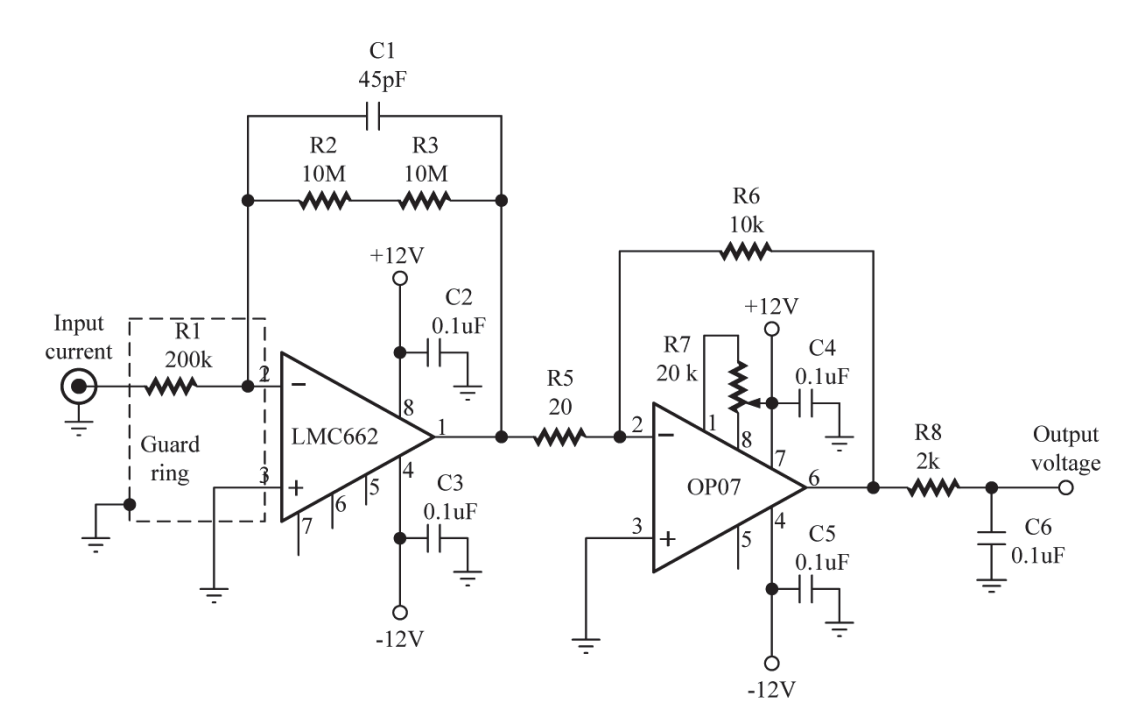


Figure 3. Schematic diagram of the sensitive electrometer circuit.

electrometer circuit used in this work was also evaluated and compared with a commercial electrometer, Keithley model 6517A, and good agreement was found from the comparison [14].

□ E PERIMENTA S STEM AND PROCEDURE

The schematic diagram of the experimental system for measurement of ion number concentration from the corona-needle charger is shown in Figure 4. It consists of a corona-needle charger, a Faraday cup electrometer, a flow system, and a data acquisition and processing system. In our experiments, the Faraday cup is connected directly to the charger outlet via a very short connecting pipe. The air flow was regulated and controlled by means of a mass flow meter and controller with a vacuum pump, typically in the range between 3.0 – 8.0 L/min. A commercial adjustable DC high voltage power supply, a

Leybold Didactic model 521721, was used to maintain the positive and negative corona voltages difference in the charger, generally in the range between 1.0 - 5.0 kV. An air sample was first filtered through a HEPA filter, and was then drawn into the charger. The ions produced inside the charger are then entered the Faraday cup. In the Faraday cup, the ions were removed from the air stream by the filter and the resulting ion current flow was measured with the electrometer. It should be noted that the ion current was measured by the electrometer corresponding to the ion number concentration at the charger outlet. The output signal from the electrometer circuit is in the range of 0 to +10V. It is then sent to the ADAM-4017 analog input module, which is a 16-bit, 8 channel analog input module, controlled and data sampled by an external personal computer via RS-485 to RS-232 converter interface. Software running on an

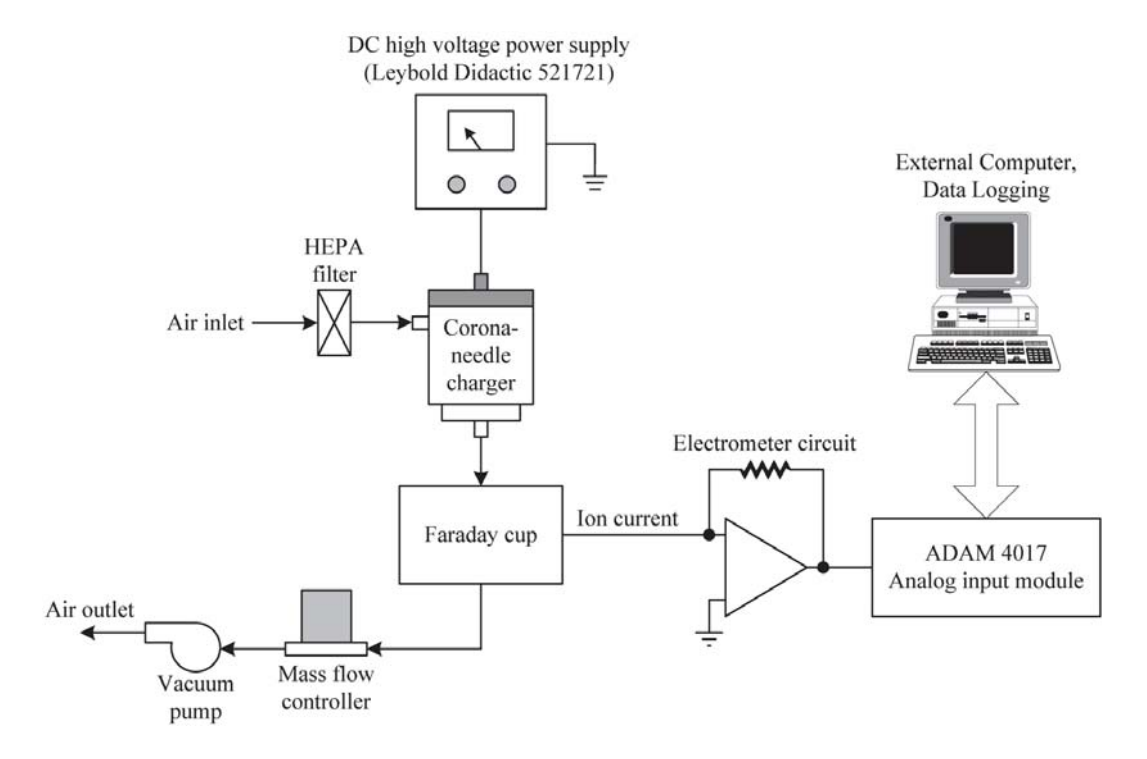


Figure 4. Schematic diagram of the experimental system for measurement of dc ion current from the corona-needle charger.

external computer was developed, based on Microsoft Visual Basic programming for all data processing. The software is able to display the ion current and number concentration. The ion current measurements were translated into ion number concentrations given the total air flow rate through the charger. Thus, the total number concentration of the ion at the charger outlet, N_i , can be calculated from the expression [11]

$$N_i = \frac{I_i}{eQ_a} \tag{1}$$

where I_i is the ion current at the charger outlet, e is the elementary charge (1.6 × 10⁻¹⁹ C), and Q_a is the aerosol flow rate.

□ RESU□TS AND DISCUSSION

4.1 Current-voltage Characteristics of the Charger

The charging current from the corona-

needle electrode was measured directly with the micro-ampmeter via the outer electrode of the charger. Figure 5 shows the currentvoltage characteristics in the charging zone of the charger. In this charger, the corona onset was found to be about 2.4 kV, and 2.0 kV for positive and negative coronas, respectively. Increase in corona voltage produced a monotonic increase in charging current. It was shown that the spark-over phenomena occurred for both positive and negative corona voltages larger than about 4.2 kV. Above these values, the current was found to exhibit a fluctuation in an uncontrollable manner and no measurement could be made. Generally, the currents for negative ions were slightly higher than those for positive ions. This was expected because negative ions have higher electrical mobility than positive ions $(Z_i^+ = 1.15 \times 10^{-4} \text{ m}^2/\text{V s}, Z_i^- = 1.425 \times$ 10⁻⁴ m²/V s, based on the work of Reischl

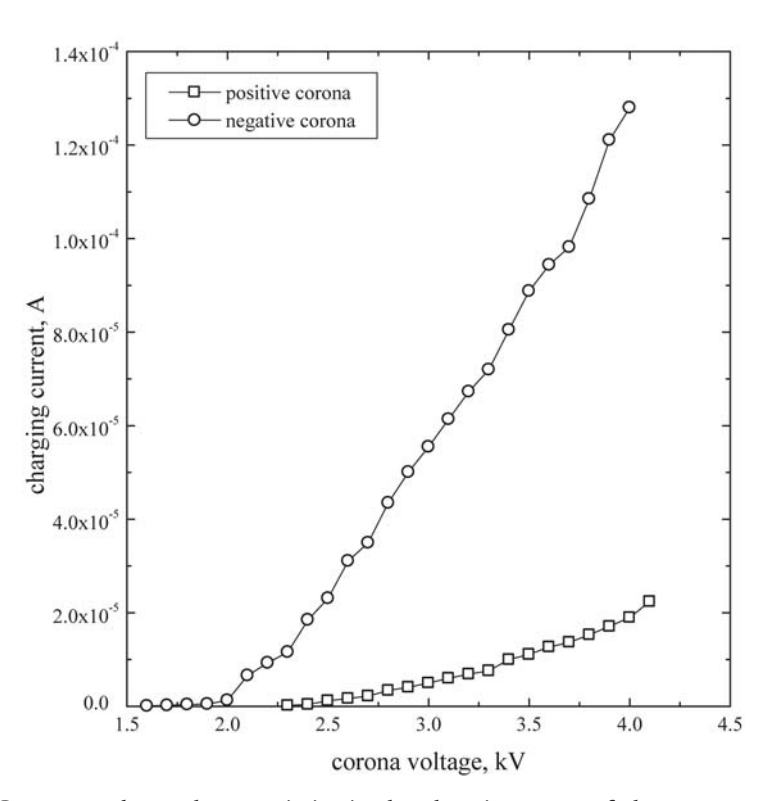


Figure 5. Current-voltage characteristics in the charging zone of the corona-needle charger.

et al. [15]). Thus, it was more likely to impact and deposit on the outer electrode wall of the charger. The ion concentration in the charging zone, N_i , of the charger was approximately proportional to the charging current. Thus, the high ion concentration in the charging zone of a charger is desirable for high particle charging efficiency. The ion concentration in the charging zone can be estimated from the relation

$$N_i = \frac{I}{eZ_i EA} \tag{2}$$

where Z_i is the electrical mobility of ions, E is the electric field, and A is the inner surface area of the outer electrode of the charger. This charging current increased with the electric field, hence applied voltage.

4.2 Ion Current and Concentration at the Charger Outlet

Figures 6 and 7 show the variations in the ion current and concentration of the charger outlet with corona voltage at different operating air flow rates for both positive and negative coronas. The resultant ion current and concentration of both positive and negative coronas were evaluated for 3.0, 5.0, and 8.0 L/min and 1.0 - 5.0 kV. The obtained results were expected for the effects of aerosol flow and corona voltage. As seen in Figure 6, the negative corona onset (i.e. negative ion generation) appeared at about 2.0, 2.1, and 2.3 kV for air flow rates of 3.0, 5.0, and 8.0 L/min, respectively, while the positive corona onset was observed at about 2.0, 2.3, and 2.5 kV for air flow rates of 3.0, 5.0, 8.0 L/min, respectively. For corona voltage less than 2.0 kV, the ion current was low. In this range, corona discharge was not present. It can be seen that the corona onset increase with increasing air flow rate. For both cases, at higher air flow rates, the ion current and concentration were found to be relatively high with the same corona voltage. This is because the ions can be more easily drawn off the charger by faster flowing air. In case of positive corona, the ion current and concentration appeared to depend on applied voltage only within a narrow voltage interval. For larger voltages, ion current and concentration of positive corona became practically constant, independent of the applied voltage. Meanwhile, ion current and concentration of negative corona slightly increases with increasing applied voltage. The reason for this may be due to greater degree of ion loss. It was evident that when the applied voltage increased, the charging current and electric field strength in the charging zone were found to increase. More ions have tendency to be electrostatically lost in the charging zone of the charger. The ion loss inside the charger due to electrostatic loss is defined as the ratio of the ion number concentration at the charger outlet, N_{au} , over the number concentration of ions inside the charger, N_{ii} . The ion penetration, P, through the charger can be estimated by Deutsch-Anderson equation as [16]

$$P = \frac{N_{out}}{N_{in}} = \exp\left(\frac{-Z_i E A}{Q_a}\right) \tag{3}$$

Form Eq. (3) it can be calculated that the ion penetration was getting smaller with increasing electric field strength as a function of the corona voltage. It is commonly known that the ion current and concentration for positive corona of the charger was slightly higher than for negative corona. The highest ion current in the Faraday cup was found to be about 6.4×10^{-10} , and 6.29×10^{-10} A, corresponding to the ion number concentration of about 2.98×10^{13} , and 2.93×10^{13} ions/m³ occurring at the corona voltage of 2.9, and 3.7 kV for positive and negative coronas, and air flow rate at 8.0 L/min, respectively.

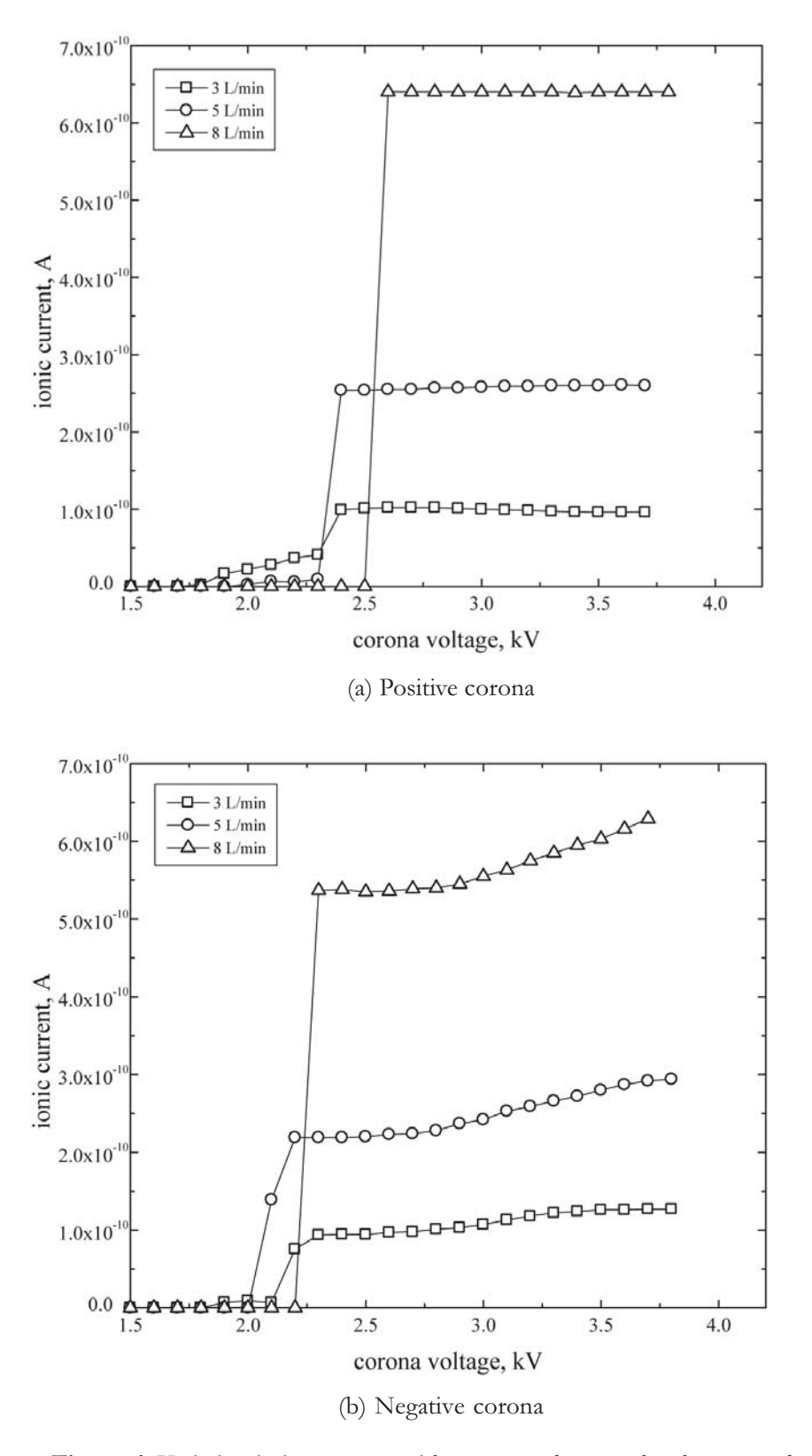


Figure 6. Variation in ion current with corona voltage at the charger outlet.

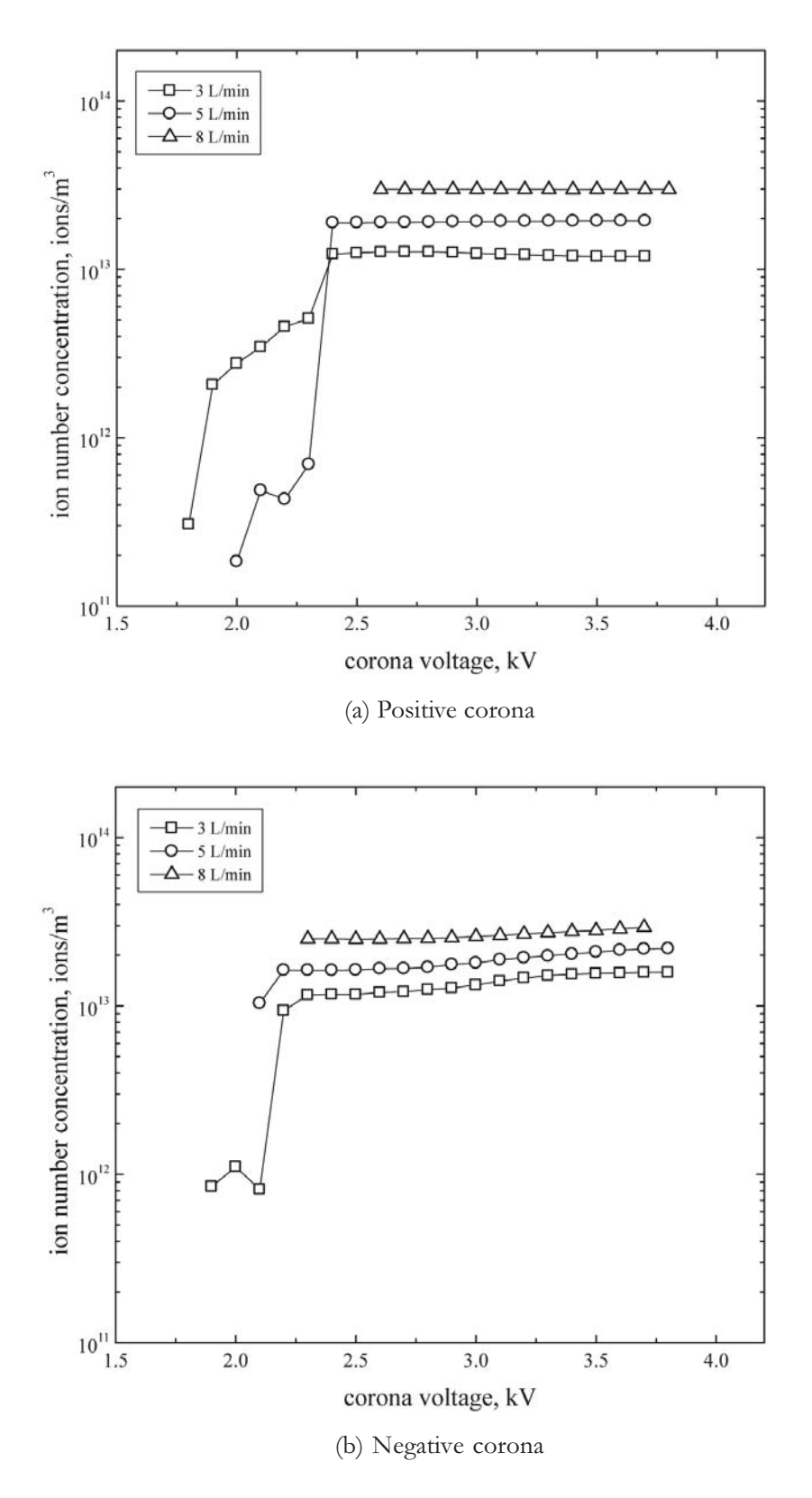


Figure 7. Variation in ion number concentration with corona voltage at the charger outlet.

□ CONC UDIN □ REMAR □ S

In this paper, the Faraday cup electrometer was used to measure the DC ion current from the corona-needle charger in order to study the corona discharge inside it. A semi-empirical method based on current measurements was used to determine the total ion concentration at the outlet of the charger. It was found that the corona onset increased with increasing air flow rate. At higher air flow rate, the ion current and concentration were found to be relatively high for the same corona voltage. The effect of air flow rate was more significant than that of corona voltage. The negative corona was found to be in higher concentration than the positive corona. The highest ion current in the Faraday cup electrometer was found at the air flow rate of 8.0 L/min about 6.4×10^{-10} , and 6.29 \times 10⁻¹⁰ A, for positive and negative coronas, respectively, corresponding to the ion number concentration is about 2.98×10^{13} , and $2.93 \times$ 10¹³ ions/m³ occurring at the corona voltage of 2.9, and 3.7 kV for positive and negative coronas, respectively.

AC NO ED EMENT

Financial support from the Thailand Research Fund (TRF) is gratefully acknowledged.

REFERENCES

- [1] Beuthe T.G., and Chang J.S., Gas Discharge Phenomena, Handbook of Electrostatic Processes, Marcel Dekker, New York, 1995.
- [2] Intra P., and Tippayawong N., An Overview of Unipolar Charger Development for Nano-Aerosols, *J. Chem. Eng. Japan.*, in press.
- [3] Parker K.R., Applied Electrostatic Precipitation, Blackie Academic & Professional, New York, 1997.
- [4] Lawless P. A., and Sparks L.E., Modeling Particulate Charging in ESPs, *IEEE Trans. Ind. Applicat.*, 1988; 24(5): 922-925.

- [5] Tan X., and Shang J.K., Electric Field-Induced Intersections of 90° Domain Walls in Tetragonal Ferroelectric Crystals, *Chiang Mai J. Sci.*, 2005; 32(3): 245 - 252.
- [6] Intra P., and Tippayawong N., An Overview of Aerosol Particle Sensors for Size Distribution Measurement, Mj. Int. J. Sci. Tech., 2007; 1(2): 120 - 136.
- [7] Intra P., and Tippayawong N., An Overview of Differential Mobility Analyzers for Size Classification of Nanometer-Sized Aerosol Particles, *Songklanakarin J. Sci. Technol.*, 2008; 30(2): 243 256.
- [8] Whitby K.T., Generator for Producing High Concentration of Small Ions, Rev. Sci. Instrum., 1961; 32(12): 1351-1355.
- [9] Hernandez-Sierra A., Alguacil F.J., and Alonso M., Unipolar Charging of Nanometer Aerosol Particle in a Corona Ionizer, *J. Aerosol Sci.*, 2003; 34: 733 - 745.
- [10] Alonso M., Martin M.I., and Alguacil F.J., The Measurement of Charging Efficiencies and Losses of Aerosol Nanoparticles in a Corona Charger, *J. Electrostatics*, 2006; 64: 203 214.
- [11] Intra P., and Tippayawong N., Corona Ionizer for Unipolar Diffusion Charging of Nanometer Aerosol Particles, 29th Electrical Engineering Conference, Pattaya, Thailand, 2006; 9 - 10 November.
- [12] Intra P., and Tippayawong N., An Ultra-Low Current Meter for Aerosol Detection, *CMU. J. Nat. Sci.*, 2007; 6(2): 313 – 320.
- [13] National Semiconductor Corporation, LMC662 Data Sheet, 2003.
- [14] Intra P., and Tippayawong N., An Electrostatic Sensor for Nanometer-Sized Aerosol Particles Detection, *Asia-Pacific Symposium on Applied Electromagnetics and Mechanics*, Bangkok, Thailand, 2008; 24 25 July.
- [15] Reischl G.P., Makela J.M., Harch R., and Necid J., Bipolar Charging of Ultrafine Particles in the Size Range below 10 nm, *J. Aerosol Sci.*, 1996; 27: 931 - 949.
- [16] Hinds W.C., Aerosol Technology, John Wiley & Sons, New York, 1999.

ภาคผนวก ข-3

Intra, P. and Tippayawong, N., "Progress in unipolar corona discharger designs for airborne particle charging: A literature review", *Journal of Electrostatics*, Vol. 67, No.4, pp. 605 – 615, 2009. มี impact factor = 1.240 (JCR ปี 2008)



Contents lists available at ScienceDirect

Journal of Electrostatics

journal homepage: www.elsevier.com/locate/elstat



Progress in unipolar corona discharger designs for airborne particle charging: A literature review

Panich Intra a,*, Nakorn Tippayawong b

^a College of Integrated Science and Technology, Rajamangala University of Technology Lanna, Chiang Mai 50300, Thailand

ARTICLE INFO

Article history: Received 2 November 2007 Accepted 24 December 2008 Available online 24 January 2009

Keywords: Aerosol charger Airborne particles Corona discharge Unipolar charging

ABSTRACT

Particle motion induced by electrical forces is the basis for important class of measuring instruments. Charging is important in aerosol size measurement. Unipolar charger is a crucial component in the aerosol particle sizing system by electrical mobility analysis. For an electrical mobility analyzer, the charging is aimed to impose a known net charge distribution on each aerosol size. The charger performance depends on the charging efficiency and stable operation. A well-designed unipolar charger should provide high charging efficiency and stability that can be accurately determined for any given operating conditions. This article presents and discusses progress on the development of existing unipolar aerosol chargers based on corona discharge technique. The operating principles as well as detailed physical characteristics of these chargers, including the corona-wire and corona-needle chargers, are described with extensive list of references.

© 2009 Elsevier B.V. All rights reserved.

1. Introduction

Aerosol is a complex mixture of liquid and solid particles that exist in dynamic equilibrium with surrounding vapor phase. It has a wide range of physical, chemical and biological properties. Applications of aerosol have been found in diverse fields, including materials synthesis, biotechnology, semiconductor manufacturing, pharmaceutical products, emission control, health effects, instrumentation, and studies of fundamental transfer processes [1]. Their unique properties depend on their sources and processes undergone. Important physical properties of airborne particles are: size, shape, number, mass, surface area and density. Knowledge of the properties of aerosols is of great practical importance in aerosol science. Measurement capabilities are required to gain understanding of these particle dynamics.

Electrical mobility analysis is an important class of aerosol size measuring techniques. The most crucial step in the aerosol size measurement based on electrical technique is the particle charging mechanism. Charging mechanism is aimed to impose a known net charge distribution on the aerosol particles. Since particle size distribution is commonly classified by the electrical mobility, prediction of particle size requires the knowledge of the charge distribution for each particle size interval. The charger performance

E-mail addresses: panich_intra@yahoo.com, panich.intra@hotmail.com (P. Intra).

depends on the charging efficiency, defined as the fraction of charged particles among all the particles present at the charger downstream. Thus, high charging efficiency of aerosol particles results in high precision of measurement. There are several mechanisms by which aerosol particles acquire net charge distributions; flame charging, static electrification, diffusion charging and field charging [1]. The most commonly used mechanism for charging particles in electrical measurement instruments is diffusion charging. Generally speaking, particles are allowed to collide with ions and the charge carried by these ions is transferred to the particles. This mechanism is so called due to the mechanism that ions travel in the gas and collide with the particles. Diffusion charging of particles can be unipolar or bipolar depending on the polarity of the ions colliding to the particles. Bipolar diffusion charging leads to a charge equilibrium which has low charging efficiencies, e.g. 3.3% for positively charged 10 nm particles and 5.7% for negatively charged particles, respectively [2,3]. Unipolar diffusion charging has advantages over bipolar diffusion charging as it does not reach an equilibrium charge distribution, therefore potentially enabling the attainment of a higher charging efficiency. There are three conventional methods to generate ions for unipolar diffusion charging in a gas; corona discharge, photoemission from UV-light radiation, and radiation from α -ray or β -ray sources. For the ionizing radiation, this produces a stable ion concentration, but the dynamic range in ion concentration is typically smaller compared to a corona discharge.

^b Department of Mechanical Engineering, Faculty of Engineering, Chiang Mai University, Chiang Mai 50200, Thailand

^{*} Corresponding author.

Corona discharge is among the most common technique to produce high ion concentrations. There have been numerous studies in the past [4-8] and used in many industrial applications such as electrostatic coating and precipitation [9]. Electrostatic charging by the corona dischargers is also common in aerosol size determination by electrical mobility analysis. Corona discharge is produced by a nonuniform electrostatic field such as that between a needle and a plate or a concentric wire and a tube. Air and other gases can undergo electrical breakdown when the electric field strength is high. For the case of the wire and the tube, the only place this breakdown can occur is in a very thin layer at the wire surface. In this corona region, electrons have sufficient energy to knock an electron from gas molecules creating positive ions and free electrons. During this process, aerosol particles flow is directed across the corona discharge field and is then charged by attachment of ions produced by the corona discharge. Ions are transported by the electric field and/or by thermal diffusion. Particle charging due to the ions transported by electric field is called "field charging". For supermicron particles ($>1 \mu m$), field charging is dominant. For ultrafine particles (<0.1 µm), thermal diffusion becomes dominant, and "diffusion charging" becomes important. For the size range in between, both mechanisms show varying degree of effect. The amount of ion deposition on the particle surface depends on resident time, particle radius and shape, electric field, etc. This technique has been applied successfully and several designs of aerosol corona charger are employed and described in the published literature, both corona-wire [4,6-8,10-16] and corona-needle chargers [17-24]. A number of particle sizing instruments employ unipolar corona chargers [25-38] as important upstream component to impart known charge to the aerosol system. Generally, the ideal charger would need to have (i) high ion concentration, (ii) no gas-to-particle conversion and low coagulation between charged particles, (iii) low particle losses, (iv) no contamination, (v) applicability to nanoparticles, and (vi) ability to work at various conditions.

In the present article, its main purpose is to present and discuss progress on the state-of-the-art unipolar charger for airborne particles, based on corona discharging. These chargers are either commercially available or still remain as laboratory prototypes. A detailed description of the operating principles, physical characteristics of the corona-wire and corona-needle chargers are presented.

2. Particle charging theory

During exposition to gaseous ions, aerosol particle captures the ions, resulting in an electrical charge on the particle. The charging level is dependent on the size and shape of the particle, the unipolar ion density, the particle residence time, and the external electric and magnetic fields. The process of ion collisions can be further divided in two different subcategories, diffusion and field charging. In the absence of electric field, this particle will be diffusionally charged by the Brownian motion of the ions. This diffusion charging, first characterized by White [5] and more recently modified by Pui [8], can be expressed in a convenient analytic form. For an initially neutral particle immersed in a unipolar ion cloud, the flux of ions impinging on the particle surface area is $j = \pi a^2 \bar{c}_i n$, where a is the particle radius, n is the concentration of ions above the surface and \overline{c}_i is the mean thermal speed of the ions. The spatial distribution of ions is given by the classical Boltzmann distribution for the equilibrium state. Neglecting the image force attraction between the ions and the particle, the Boltzmann distribution at the particle surface is given by [8]

$$n = n_{\rm i} \exp\left(-K_E \frac{q_{\rm p} e^2}{akT}\right) \tag{1}$$

where n_i is the ion concentration at infinity, $q_{\rm p}$ is the particle charge, e is the elementary unit of charge, $K_E=1/4\pi\epsilon_0$ with the vacuum permittivity, k is the Boltzmann's constant (1.380658 \times 10⁻²³ J/K), and T is the operating temperature of the system. Thus, the ion flux to the particle is:

$$j = \pi a^2 \overline{c}_i n_i \exp\left(-K_E \frac{q_p e^2}{akT}\right) \tag{2}$$

The above equation was originally derived by White [5]. This is valid for spherical particles and free molecular regime (Kn \gg 1), where Kn is the Knudsen number ($=\lambda_i/a$; λ_i is the mean free path of the ion). The charging rate expression can be described by a system of differential equation as

$$\frac{\mathrm{d}q_{\mathrm{p}}}{\mathrm{d}t} = \pi a^{2} \overline{c}_{\mathrm{i}} n_{\mathrm{i}} \exp\left(-K_{E} \frac{q_{\mathrm{p}} e^{2}}{akT}\right) \tag{3}$$

With the initial condition that $q_{\rm p}=0$ at t=0 for the charging of an aerosol (initially neutral), the average charge of particle can be integrated analytically to give

$$\int_0^{q_p} \exp\left(-K_E q_p e^2 / akT\right)^{-1} dq_p = \int_0^t \pi a^2 \overline{c}_i n_i dt \tag{4}$$

Thus, the average charge, $q_{\rm diffusion}$, caused by the diffusion charging in a time period, t, by a particle radius can be found from

$$q_{\text{diffusion}} = \frac{akT}{K_F e^2} \ln\left(1 + \frac{\pi K_E a \bar{c}_i e^2 n_i t}{kT}\right)$$
 (5)

In field charging, ions are transported to suspended particles along the field lines. The field lines are repelled as the particle charge becomes high, and finally no electric field line reaches the particle. This condition causes charge saturation. The effect of the finite electric field used in the charging region can be estimated by a classical field charging equation derived by White [5], the saturation charge, n_s , of a particle (radius, a, and dielectric constant, ε) in an electric field E is given by

$$n_{\rm s} = \left(1 + \frac{2\varepsilon - 1}{\varepsilon + 2}\right) \left(\frac{Ea^2}{K_E e}\right) \tag{6}$$

The charging rate expression, dq_p/dt , is given by the following differential equation

$$\frac{\mathrm{d}q_{\mathrm{p}}}{\mathrm{d}t} = n_{\mathrm{s}} K_{E} e Z_{\mathrm{i}} n_{\mathrm{i}} \left(1 - \frac{q_{\mathrm{p}}}{n_{\mathrm{s}}} \right)^{2} \tag{7}$$

If the particle is initially neutral, the average number of the elementary units of charge on a particle, $n_{\rm field}$, acquired in an average electric field E is given by

$$q_{\text{field}} = \left(1 + \frac{2\varepsilon - 1}{\varepsilon + 2}\right) \left(\frac{Ea^2}{K_E e}\right) \left(\frac{\pi K_E e Z_i n_i t}{1 + \pi K_E e Z_i n_i t}\right) \tag{8}$$

where ε is the particle dielectric constant. The first two terms in Equation (8) represent the saturation charge situation, the first term is dependent on the dielectric constant of material, and it may have values from 1 to ∞ as the ε can have values from 1 (insulating particle) to ∞ (conductive particle). For most materials the ε varies from 1 to 10. The second term in Equation (8) is dependent on the electric field strength and the surface area of the particle. The third

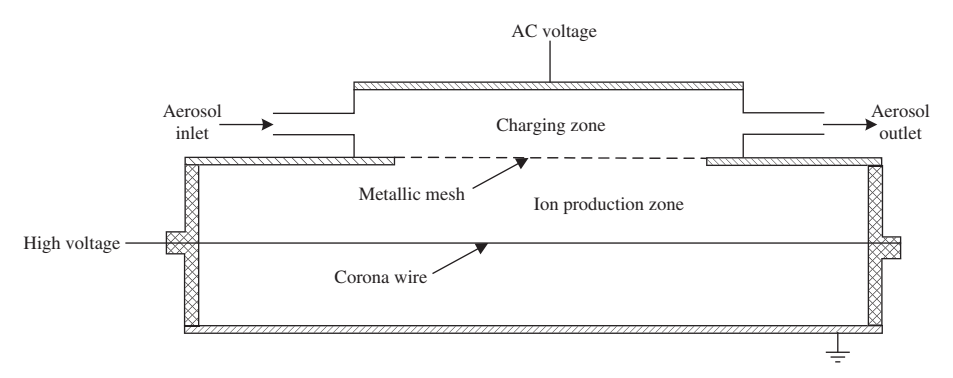


Fig. 1. Schematic diagram of the corona-wire charger developed by Hewitt [4].

term in Equation (8) represents the time dependence of the charging process. Both diffusion and field occur at the same time. This is known as continuum charging where particle charge is the sum of the contributions from diffusion and field charge [40].

3. Designs of unipolar corona chargers

Different designs of unipolar corona charger have been developed and reported in the literature. They can be classified as: (i) corona-wire charger and (ii) corona-needle charger. The following paragraphs give a brief overview of different designs, and a comparison based on the reported $N_i t$ product, product of the ion concentration, the mean residence time of the particles to the ions in the charger, and charging efficiencies.

3.1. Corona-wire chargers

Hewitt [4] was one of the first to develop a corona-wire diffusion charger to investigate the charging process in the electrostatic

precipitators. The Hewitt charger, shown schematically in Fig. 1, consisted of a cylinder with a concentric corona wire along the axis. Attached to the inner surface of the cylinder, a small path was formed to carry the aerosol flow. The main corona discharge volume and the aerosol flow region were separated by a metallic mesh. An alternating voltage (AC) difference was applied between this mesh and the outer electrode of the charger to reduce particle losses. The particles flowing through the charger undergo oscillations but are not deflected to the electrodes. Experiments were conducted for particle in the size range between 60 and 700 nm. Hewitt reported that the perpendicular electric field strength used to direct the ions causes high-mobility nanoparticles with diameter as small as 70 nm to be deposited on the outer cylinder wall. Several subsequent researchers have used similar designs to investigate diffusion charging of aerosol particles. Liu et al. [6] subsequently studied the diffusion charging of monodispersed dioctyl phthalate aerosols by unipolar ions at low pressure of 0.03-0.96 bar. The procedure involved exposing a monodispersed aerosol to unipolar ions produced by a high voltage corona discharge, and measuring the

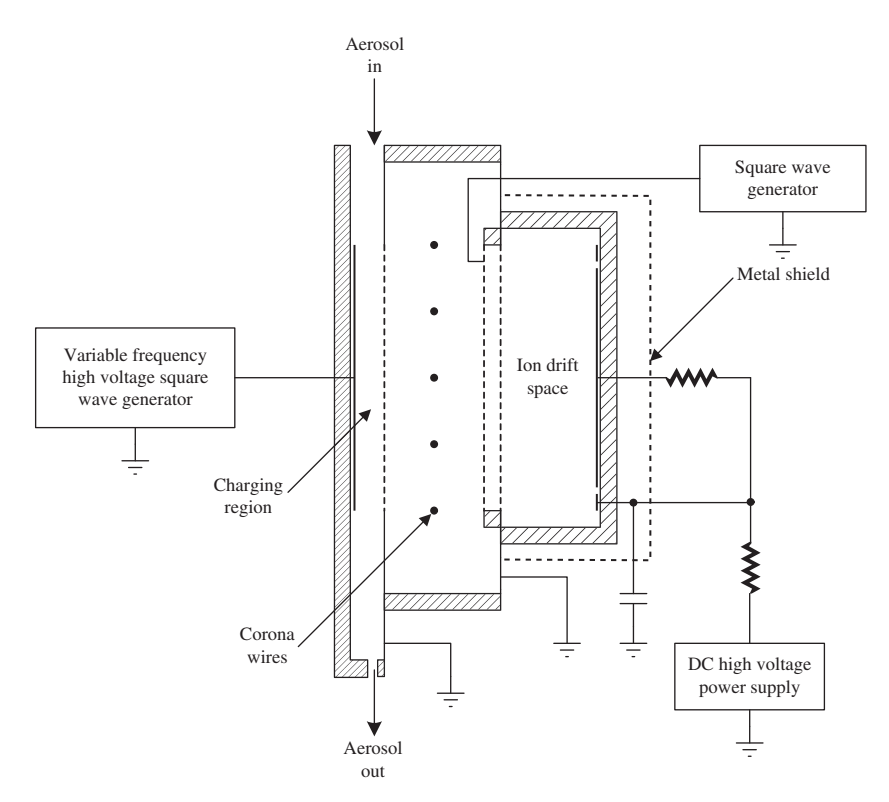


Fig. 2. Schematic diagram of the diffusion charger developed by Liu et al. [6].

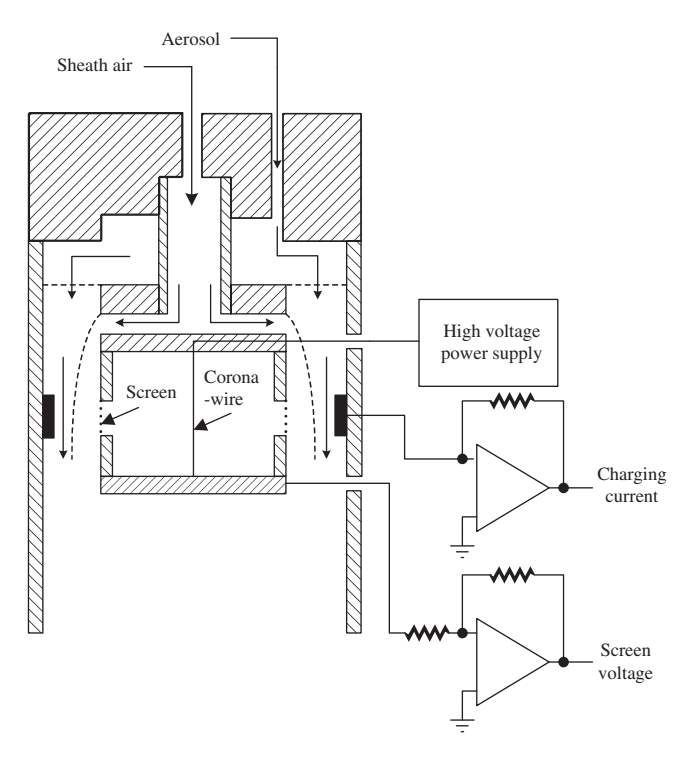


Fig. 3. Schematic diagram of the diffusion charger developed by Liu and Pui [7] and Pui [8].

electrical mobility and charge of the aerosol in a straight-through, dynamic flow system. The schematic diagram of the diffusion charger used is presented in Fig. 2. It is similar to the charger, first described by Hewitt [4]. In Liu et al. charger, the aerosol was exposed

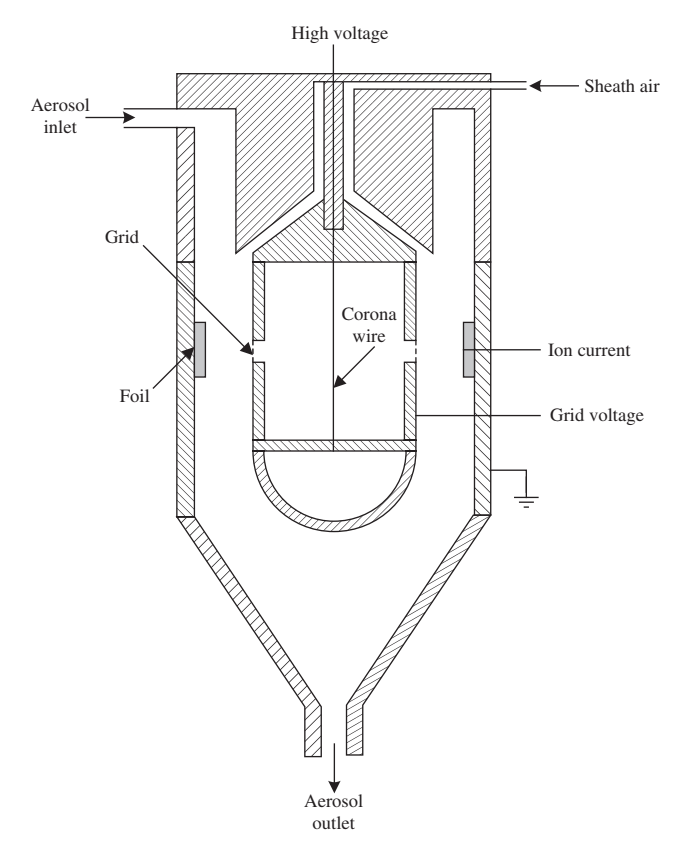


Fig. 4. Schematic diagram of the square-wave charger developed by Buscher et al. [10].

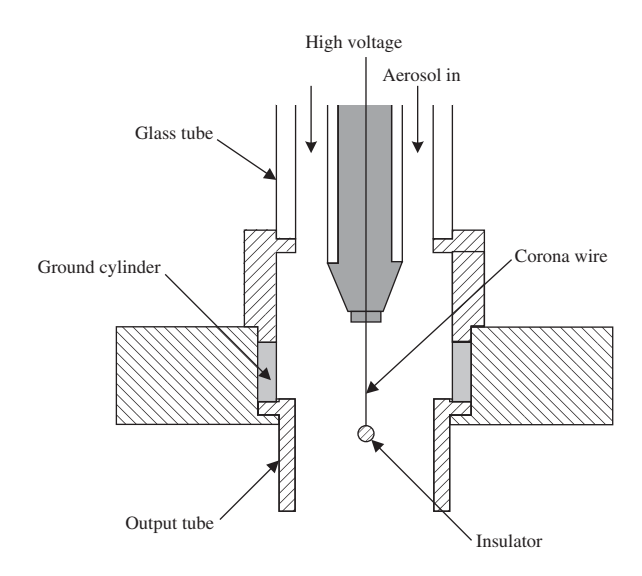


Fig. 5. Schematic diagram of the wire-cylinder corona charger developed by Unger et al. [11].

to positive ions in the charging region bounded on one side by a solid electrode and on the other by a screen through which the positive ions flow. An AC square-wave voltage was used to minimize the aerosol loss occurring in the charging process. The 10-60 Hz frequency of the AC square-wave voltage was used. The amplitude of the square wave was kept low to approximate as closely as possible the condition of pure diffusion charging. In pure diffusion charging, the charge acquired by an aerosol of a given size at a given pressure was a function of the number concentration of small ions in the charging region and the charging time or the time during which the aerosol was exposed to ions. The number concentration of small ions in the charging region was measured by substituting a DC voltage for the AC square-wave voltage and measuring the corresponding DC current which flowed through the screen into the charging region. The current was on the order of 10^{-9} – 10^{-6} A. Good agreement between the experimental data and White's equation [5] was reported. Similar design concept of Hewitt [4] and Liu et al. [6] has been adopted and improved by Liu and Pui [7] and later by Pui [8] for monodisperse aerosols in the size range between 75 nm and 5.04 µm. A schematic diagram of the diffusion charger is shown in Fig. 3. The charger consisted of two concentric metal cylinders with a 25 µm diameter tungsten wire positioned along the axis of the cylinders. A positive high voltage was applied to produce a corona discharge field. The ions were either collected by the inner cylinder or flowed through the screen to the annular gap outside. In the annular gap, collisions between the ions and the aerosol particles occurred, causing the latter to become charged. The total flow through the Liu and Pui charger was fixed at 5 L/min (4 L/min aerosol + 1 L/min sheath air). The residence time of the charger was 0.217 s. A sheath air flow was used adjacent to the inner cylinder. This arrangement was intended to displace the aerosol stream away from the screen and to prevent aerosol particles from entering the high intensity corona discharge region within the inner cylinder. It was reported that the nominal $N_i t$ product was adjustable over a range from less than 1×10^6 to over 3×10^7 ions/cm³ s.

Buscher et al. [10] pointed out that the high particle losses were associated with corona-wire diffusion chargers. Subsequently, Buscher and coworkers proposed the square-wave diffusion charger for ultrafine particles. In the Buscher et al. charger shown in Fig. 4, its geometrical configuration was similar to the one used in the TSI EAA 3030 [7]. However, the surfaces in contact with the aerosol were conductive and connected to ground to avoid particle

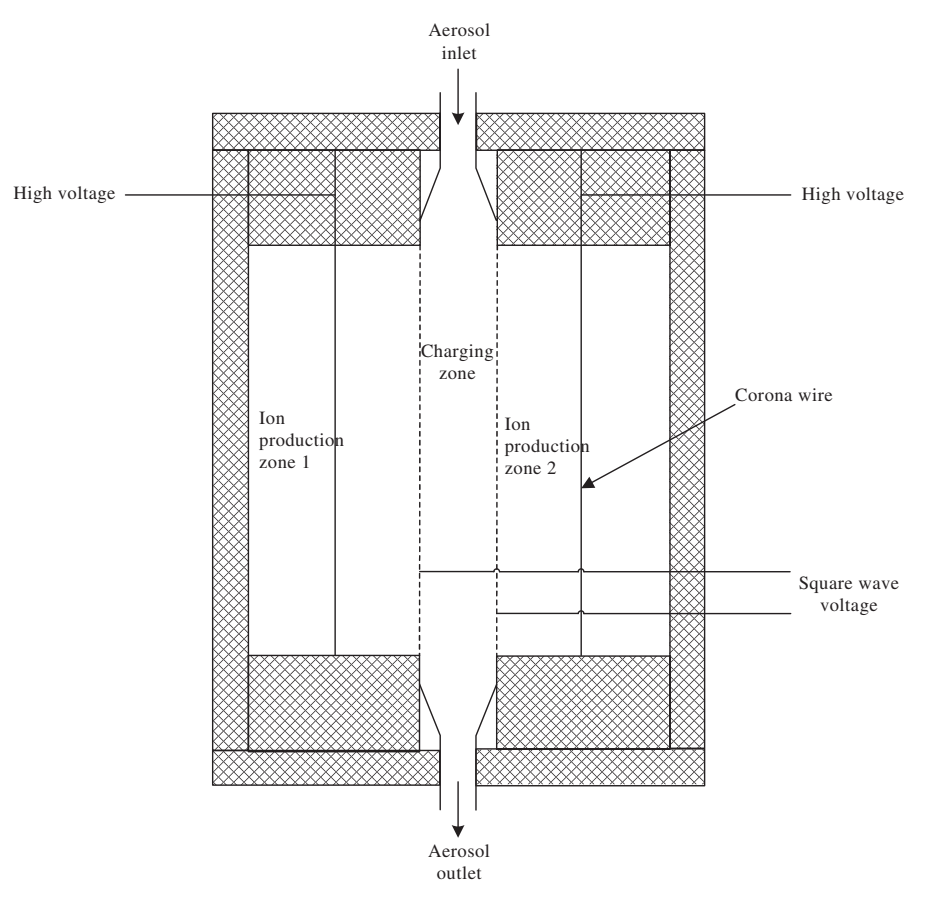


Fig. 6. Schematic diagram of the twin Hewitt charger developed by Kruis and Fissan [12].

losses due to insulator charging. The inlet tubes for aerosol and sheath air were arranged to achieve a high particle penetration and laminar flow inside the charger. A 4.5 kV corona discharge from a wire along the axis of the two concentric metal cylinders (radii $r_i = 1.65$ cm and $r_a = 3.0$ cm) generated ions. A positive voltage was applied to the inner cylinder, a grid with width of 1.17 cm allowed ions from the discharge zone to reach the aerosol. The aerosol flowed into the annular gap between the cylinders. The aerosol flow was 2 L/min and sheath air flow was 0.5 L/min. The sheath air surrounded the inner cylinder with the grid, preventing aerosol particles from entering the corona discharging zone. A square-wave voltage was applied to the grid in the charging zone, guaranteeing minimum particle losses due to electrostatic force. The particles flowing through the charging zone underwent oscillations without precipitating on the charger walls. In the Buscher et al. charger, the square-wave voltage was in the range of ± 75 V to ± 300 V corresponding to the frequency of 25-70 Hz. An isolated foil on the inner side of the outer cylinder, opposite to the grid, was connected to an electrometer amplifier to measure the ion current. In Buscher et al. work, an evaporation nucleation generator was employed to generate polydisperse sodium chloride particles. A Differential Mobility Analyzer (DMA) type 3/150 was used downstream of the generator to separate monodisperse samples from the polydisperse particles in the size range between 5 and 35 nm in diameter. Particle losses and charging efficiencies of the charger were determined by measuring particle concentrations at the inlet and outlet of the charger. Monodisperse sodium chloride particles in the size range between 5 and 35 nm in diameter were used. The monodisperse aerosol was bipolarly charged in a neutralizer. The charged particles were removed in a subsequent electrostatic precipitator. The number concentration of particles entering the charger was measured by the first Condensation Particle Counter (CPC). The particle concentration leaving the charger was measured by the second CPC. It was found that the particle penetration, the ratio of output concentration to input concentration of particle, decreased towards small particles where diffusion losses were highest, and the $N_i t$ product was approximately 1.1×10^7 ions/cm³ s for the charger. It was also reported that for the ion concentrations greater than 10^6 ions/cm³, space charge had to be considered for the spatial dependence of the $N_i t$ product.

Unger et al. [11] proposed another type of the unipolar coronawire charger to induce a stable negative corona discharge in flowing air with insulating material nearby the discharge gap. The downstream part dealt with the influence of the aerosol concentration and flow rate on the evolution of the discharge current related to the

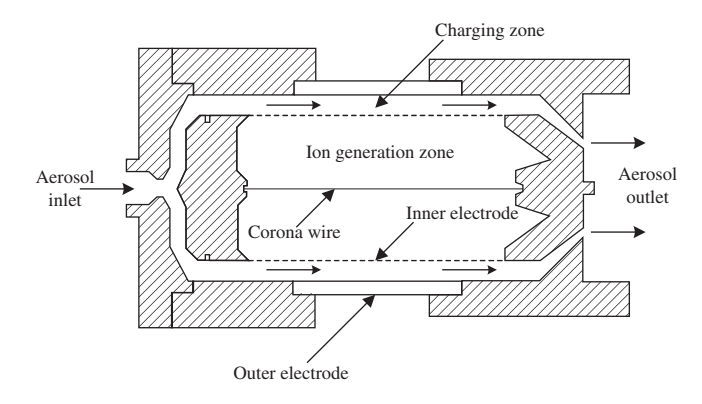


Fig. 7. Schematic diagram of the unipolar corona-wire diffusion charger developed by Biskos et al. [13–15].

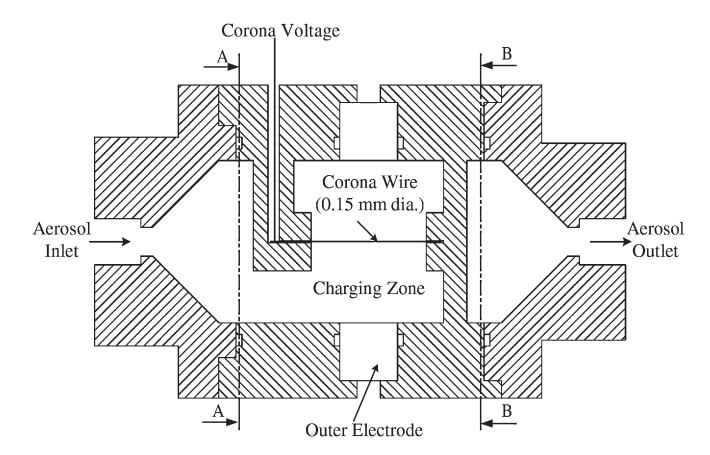


Fig. 8. Schematic diagram of the unipolar corona charger developed by Intra and Tippayawong [16].

particles deposition on both the wire and the cylinder. Fig. 5 shows the wire-cylinder corona charger. The wire diameter was 330 μm, and the grounded cylinder had an internal diameter of 14 mm for a length of 3 mm. With this electrode system, and with a voltage of -8.5 kV, the discharge current was about -30 μ A, leading to ion densities in the range of 10¹⁰ ions/cm³. The electrical measurements were obtained by oscilloscope connected to the cylinder for the discharge current and to a metallic foam for the charged particles output current. The tested aerosol was produced with a nebulizer and dried with a silica-gel diffusion dryer. Granulometric characterization was achieved by DMA coupled with a CPC 3022. It was found that an increase of the relative humidity implied a reduction of the discharge current by reduction of the ion mobilities leading to space charge accumulation in the discharge gap, lowering the electric field. The lifetime of the charger and the charged particles current at the output of the charger were a function of the flow rate and the aerosol concentration. High flow rate resulted in reduced particle losses in the charger and with nearly constant charging efficiency, whereas lower flow rate resulted in a lower output current and a higher time of life.

An improvement on the corona-wire chargers based on Hewitt's original design has been carried out by Kruis and Fissan [12]. It was called the twin Hewitt charger. Fig. 6 shows the schematic diagram of the developed twin Hewitt charger. The aerosol flow is introduced via a short inlet section into a square charging zone of 16 mm wide and 10 mm high. The charging zone is separated from the two ion production zones by metal wire meshes to prevent the aerosol expand into the corona discharge zone. These wire screens are

connected to two square-wave generators with opposite phase and a maximal voltage difference of 600 V. The top and bottom of the charging zone are electrically isolated. Positive ions are produced by corona discharge of 25 µm thick Au wire in the center of metal cylinder. There is a slit of length 150 mm and height 10 mm at one side. This slit is positioned towards the charging zone. The wire was fixed to a needle inserted through the openings at the end of the cylinder. Its electrical contact was made by means of a drop of silver paste. In the authors' work, the operation parameters of the charger were experimentally investigated at standard conditions with the goal to optimize the extrinsic charging efficiency in N₂ carrier gas. It was reported that there exists an optimal length of the charging channel for each gas flow rate through the charger which minimizes losses of charged particles and at the same time having a sufficiently large N_it product and the extrinsic charging efficiencies of the charger as high as about 30% for particles with a diameter of 10 nm.

Biskos et al. [13-15] later developed and investigated the electrostatic properties of a Hewitt-type corona charger analytically and numerically at different operating conditions. Fig. 7 shows a schematic layout of the unipolar corona-wire diffusion charger. It was composed of two concentric electrodes, 50 and 74 mm in diameter, respectively, with a corona wire along the axis. A tungsten wire of 16 μm diameter was used to produce the corona discharge. The generated ions migrated to the inner electrode due to the high electric field in the region. The inner electrode was made of a metallic mesh in order to allow ions to flow in the charging zone. An AC voltage was applied on the outer electrode forcing ions to enter the charging region without causing charged particles to precipitate on the charger walls, while the perforated inner electrode was connected to ground. Laminar flow of the aerosol stream was maintained. Sheath air flowed in the ion-generation area with the same axial pressure gradient of the aerosol and sheath flow streams. The aerosol flow passed through the annulus formed by the two cylinders, where the active charging region had a total length of 60 mm. The ammeter built into the high voltage power supply (Bertan series 230) was used to measure the current from the corona-wire electrode in the range of 0–10 mA. The 50 Hz AC voltage was coupled to the outer electrode via an isolating transformer. The other end of the secondary winding was connected to ground through an electrometer in parallel with a 1 kHz high pass filter to allow measurement of the average charging ion current. Average and spatial distributions of ion concentrations for the two zones of the charger were calculated by a semi-empirical method based on ion current measurements. It was emphasized that neglecting the space charge effect can lead to significant errors when the ion concentration in the charger is greater than 5×10^{13} ions/m³.

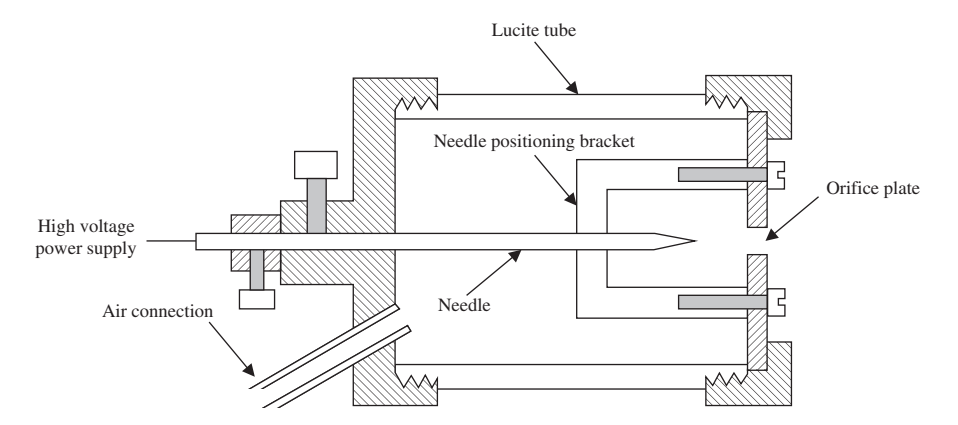


Fig. 9. Schematic diagram of the sonic jet ion generator developed by Whitby [17].

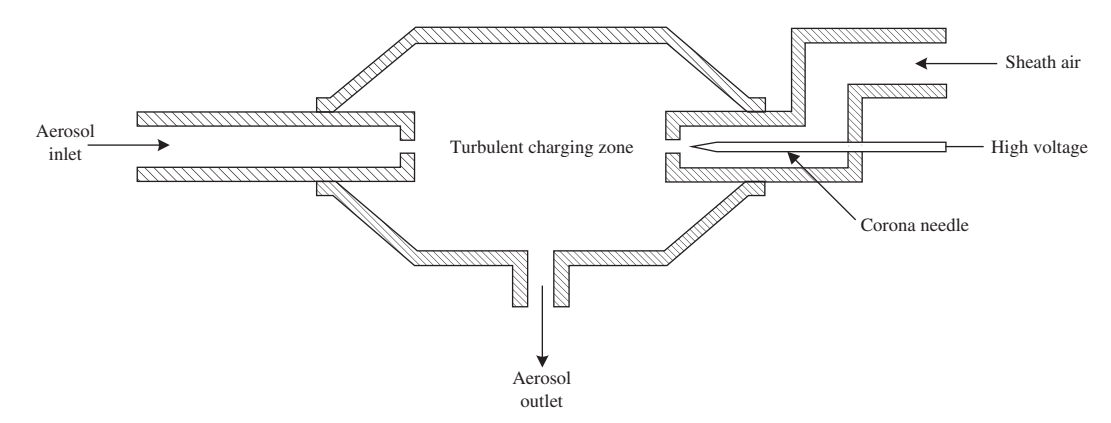


Fig. 10. Schematic diagram of the corona jet charger developed by Medved et al. [18].

Estimation of ion penetration levels through the inner electrode showed better agreement with the experimental results at sub-atmospheric pressures of about 250 mbar. The average $N_i t$ product appeared to increase with pressure, despite the fact that the ionic concentration was significantly lower.

For a recent attempt, Intra and Tippayawong [16] developed and tested a unipolar corona charger at different operating conditions. Schematic diagram of the corona charger is shown in Fig. 8. Its configuration is similar to the charger used by Unger et al. [11]. It consists of coaxial corona-wire electrode placed along the axis of a metallic cylinder (28 mm in diameter and 10 mm in length). The wire electrode is made of stainless steel, 150 μ m in diameter and 10 mm long. DC high voltage is employed to produce the corona discharge on the wire electrode while the outer metallic cylinder is grounded. The corona discharge generates ions which move rapidly in the strong corona discharge field (>10⁵ V/m) towards the outer electrode wall. A semi-empirical method was also adopted to determine the electrostatic characteristics of the unipolar corona aerosol charger. It was reported that the results from mathematical model were in agreement with those from

experimental investigation. The space charge effect was significant and must be taken into account, especially at high ion number concentration and low flow rate.

3.2. Corona-needle chargers

Whitby [17] developed the first needle-type corona charger which was capable of converting the corona current into free small ions with 100% efficiency. A schematic of the sonic jet ion generator is shown in Fig. 9. It consisted of an arrangement of a sharp needle held at high potential upstream of a small sonic orifice to generate the ions within a non-conductive housing which is capable of forcing nearly all of the ions generated in the corona at the needle tip through the orifice and hence free of the electric field. Clean air entered at inlet and then passed through the orifice plate. Positive, negative, or AC voltages on the needle electrode with respect to orifice plate were used to produce positive, negative, or a mixture of positive and negative ions. The ion generator was reported to produce unipolar or mixed positive and negative ion concentration of up to 10¹¹ ions/cm³ in the charging zone and total ion outputs of

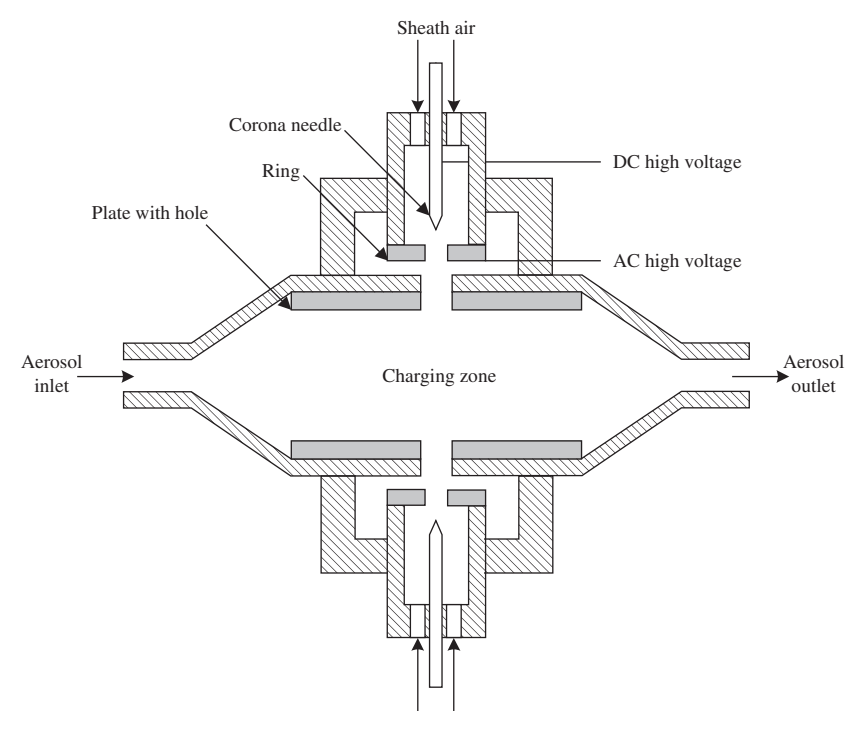


Fig. 11. Schematic diagram of the twin corona module charger developed by Marquard et al. [19].

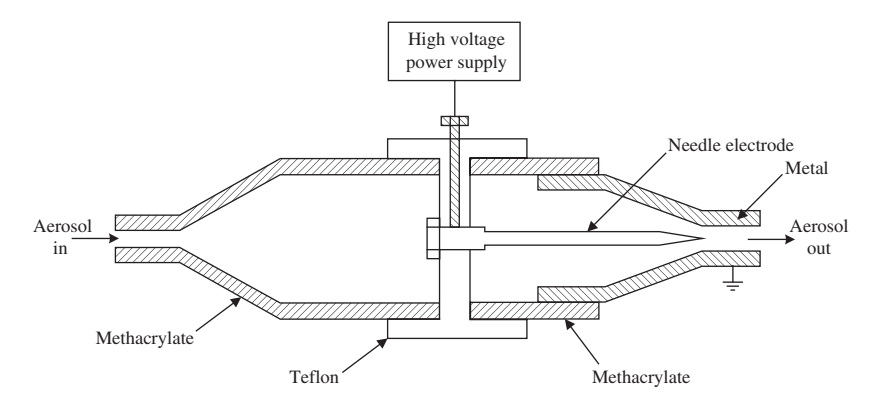


Fig. 12. Schematic diagram of the unipolar corona ionizer developed by Hernandez-Sierra et al. [20].

 10^{14} /s had been achieved using 70 L/min of free air at 2 bar through a 1.59 mm orifice diameter.

Another type of the corona-needle charger for aerosol particles was proposed by Medved et al. [18]. A schematic diagram of the new corona jet charger is shown in Fig. 10. It is currently employed by the commercial Electrical Aerosol Detector (EAD) (model TSI 3070A, Thermo-Systems, Inc., 2500 N. Cleveland Ave., St. Paul, MN 55113, USA) [39]. Generation of ions occurs at a corona-needle tip in a small ion-generation chamber connected to a mixing chamber via an orifice. An air flow transferred the ions into the mixing chamber, and an opposing aerosol flow promoted mixing of the aerosol and the ions. Because the aerosol-ion mixture was not subjected to an applied electric field, the only field being a negligible one was from the ion space charge itself. It was reported that particles were more efficiently charged, compared to corona-wire chargers due to better turbulent mixing. In a subsequent work by Marquard et al. [19], a twin corona-needle charger was developed. A schematic diagram of this charger is shown in Fig. 11. It consisted of a $70 \times 90 \times 120$ mm chamber made of polyethylene with two charging modules on opposing sides perpendicular to the main flow. Within these modules, ions were generated in a point-ring corona configuration (1 cm gap, ring diameter 15 mm) based on the ion gun concept of Whitby [17] and transported by humidified air (50% RH; 1, 10 or 20 L/min, respectively) through the ring into the particle charging chamber. Inside the charger, additional metallic plates were placed around the corona module holes. Particle residence times were between 3 and 10 s. Dilution ratios resulting from the corona flows were 1.1 < f < 1.9. The device was reported to have high charging efficiencies for sub-100 nm particles.

A simple corona-needle charger for high efficiency unipolar charging of nanometer-sized aerosol particles was proposed by Hernandez-Sierra et al. [20]. Fig. 12 shows the schematic diagram of the unipolar corona ionizer. The design was a cylindrical tube with tapered ends, and divided into three sections. The first and second (from left to right in the drawing) were made of methacrylate, and the third (outlet section) of aluminum. A circular piece made of Teflon, placed between the two methacrylate sections, contained a series of orifices through which the aerosol flows. This central piece served to hold a stainless steel needle electrode, ending in a sharp tip, coaxial with the external cylinders. The electrode head was connected to a DC high voltage power supply. The outlet metallic section was grounded. It was reported that the charging efficiencies of positive and negative corona were high, about 30% for 10 nm particles. The charging efficiency was also found to increase with particle size, corona voltage and mean aerosol residence time in the charger. At high corona voltage, the electrostatic deposition of charged particles within the charger was relatively high. An improvement of the Hernandez-Sierra et al. charger was made by Alonso et al. [21]. Corona-needle charger, annular aerosol inlet geometry as well as the manner of holding the discharge electrode of the previous charger were modified. Fig. 13 shows a schematic diagram of the Alonso et al. corona-needle charger. It consists of an inner stainless steel electrode ending in a sharp tip, to which a DC high voltage is applied. The electrode is coaxial with a grounded metal cylinder whose inner wall has a conical shape. The distance between the electrode tip and the cone apex is 1.75 mm. The neutral aerosol enters the charger through the annular gap. The annular gap can be adjusted between 0 and 6 mm in 1 mm step. Diffusion losses in the charger were about 25% and 7% for 3 nm and 10 nm particles, respectively. It was reported that the attainable extrinsic charging efficiency for nanometer-sized particles is about one order of magnitude higher than that of commercially available bipolar chargers. It was also shown that no additional new particles are formed by the corona discharge under certain conditions: clean charger without dirtiness operating in the appropriate voltage range, and aerosol not containing contaminants (such as organics) which might undergo a gas-to-particle conversion process. Similarly, Intra and Tippayawong [22,23] constructed and evaluated a corona-needle charger, shown in Fig. 14, for unipolar diffusion charging of nanoparticles. The corona-needle charger is similar to the ionizer used by Hernandez-Sierra et al. [20] and Alonso et al. [21]. Notable differences are (i) a tangential aerosol inlet, and (ii) low operating pressure. It consists of a coaxial corona-needle electrode placed along the axis of a cylindrical tube with tapered end. The needle electrode is made of a stainless steel rod, 3 mm in diameter and 49 mm in length, ending in a sharp tip. The angle of the needle cone is about 9° and the tip radius is about 50 μm, as estimated under a microscope. The outer cylindrical is made of an aluminum tube, 30 mm in diameter and 25 mm in

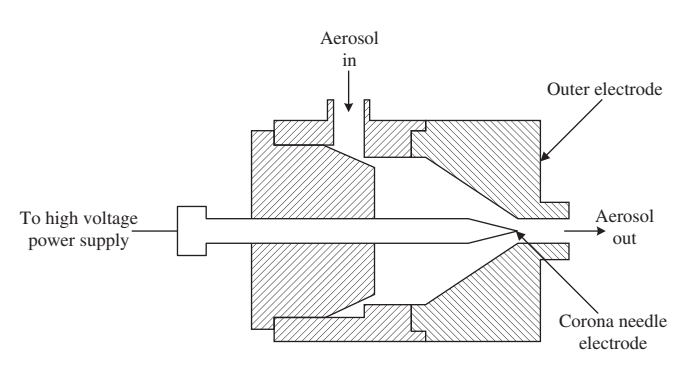


Fig. 13. Schematic diagram of the corona-needle charger developed by Alonso et al. [21].

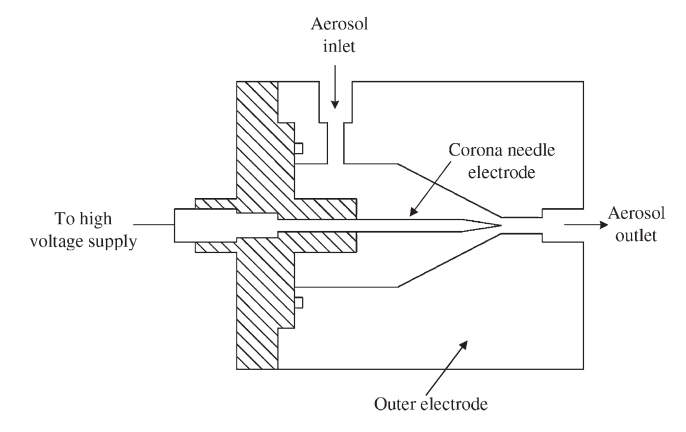


Fig. 14. Schematic diagrams of the corona-needle charger developed by Intra and Tippayawong [22,23].

length with conical shape. The angle of the cone is about 30° and the orifice diameter is about 4 mm. The distance between the needle electrode and the cone apex is 2 mm. The corona-needle electrode head is connected to an adjustable DC high voltage supply, while the outer electrode is grounded. In the authors' work, the electrical discharge characteristics of a corona charger based on current measurements for positive and negative coronas were investigated and discussed. The charging current from the coronaneedle electrode was measured directly with the sensitive electrometer via the outer electrode. A semi-empirical method, relying to some extent on observation or experiment, was used to determine the ion concentrations in the charging zone and at the outlet of the charger. It was reported that the charging current and ion concentration in the charging zone were found to increase with corona voltage. The ion number concentration at the outlet for positive corona of the ionizer was higher than for negative corona at the same voltage. Electric field distribution in the charging zone of the charger was also analyzed via numerical computation. Strong electric field strength zone was identified and led to high charging. It was also reported that particle loss inside this charger was smaller than the corona-wire charger from the authors' previous work [16].

Recently, design concept of the corona jet charger has been utilized in the unipolar diffusion charger by Park et al. [24]. A new unipolar diffusion charger, shown schematically in Fig. 15, consists of a corona discharge zone, mixing zone and ion trap zone. The

main body of the charger was made of Duralumin (also called duraluminum, duraluminium or dural). Two bottom covers, each of which was connected to the needle electrode, were made of Teflon. A tungsten needle tip of 0.25 mm diameter and 29 mm long was used as the needle electrode. The surface area of the ground electrode was 0.005 m². The distance between the needle and the ground electrode was 3 mm. The volume of the mixing and charging zones was 95.5 cm³. Aerosol and clean air flow rates were both 5 L/min, respectively. The positive DC voltage was applied to the needle electrode of the discharge zone in the range of 3-6 kV. For the performance evaluation of this charger, NaCl particles smaller than 0.1 µm in diameter, and dioctyl sebacate particles of 0.1–0.7 µm were used. It was reported that the total particle losses inside the mixing and charging zones were below 15%. The number of charges was almost linearly related to the particle diameter.

4. Summary and future design needs

Corona discharge is one of the most common techniques to produce great number concentration of ions in a gas, and is also employed in determining the aerosol size distribution by electrical mobility analysis. This paper has summarized a current status of literature of the available unipolar corona chargers' developments for airborne particles. A brief outline focuses on the unipolar charger based on corona discharge. It has covered the operating principles as well as detailed physical characteristics of these chargers, including the corona-wire and corona-needle chargers. The main purpose of these chargers is to charge the particles efficiently with minimal losses. Table 1 summarizes different designs of the unipolar aerosol charger for airborne particle reported. The charger performance is dependent on the charging efficiency which is a function of particle size, corona voltage, and aerosol flow rate. The charging efficiency increases with particle diameter and decreases with increasing aerosol flow rate. Typically, corona discharge used in a charger has poor charging efficiencies in the ultrafine particle size range (d_p < 20 nm) due to high particle losses. Because the high ion concentration needed for efficient diffusion charging requires a high electric field to charge aerosol, a fraction of the particle losses is unavoidable in unipolar diffusion chargers. Works towards improving the performance of these chargers by reducing particle losses inside the chargers have been ongoing. This can be carried out by

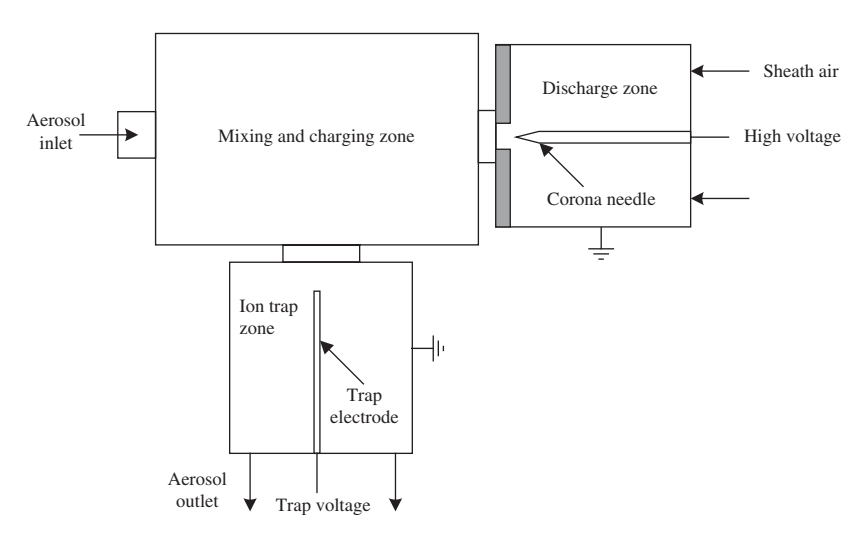


Fig. 15. Schematic diagram of the unipolar diffusion charger developed by Park et al. [24].

Table 1Comparison of different unipolar corona aerosol chargers.

D. C		v 1 . 1	0 . 1 . 1	4 1	C1 .1 .	F1 . 1	D 1 1:	N. 1 .	A 1/:	C1 :
Reference	Corona	Inner electrode	Outer electrode	Aerosol	Sheath air	Electrode	Polarity	N _i t product	Aerosol/ion	Charging
	electrode	diameter	diameter	flow rate	flow rate	voltage range	_	_	direction	efficiency
Hewitt [4]	Wire	n/a	n/a	n/a	No	n/a	n/a	n/a	Perpendicular	n/a
Liu et al. [6]	Wire	n/a	n/a	n/a	No	n/a	Positive	n/a	Perpendicular	n/a
Liu and Pui [7]	Wire	25 μm	n/a	4 L/min	1 L/min	n/a	Positive	1×10^{6}	Perpendicular	1.3% at 6 nm
								$3 \times 10^7 \text{ s/cm}^3$		
Buscher et al. [10]	Wire	n/a	30 mm	2 L/min	0.5 L/min	4.5 kV	Positive	$1.1 \times 10^7 \text{ s/cm}^3$	Perpendicular	4% at 5 nm
Unger et al. [11]	Wire	330 μm	14 mm	2-6 L/min	No	8.5 kV	Negative	n/a	Perpendicular	n/a
Kruis and Fissan [12]	Wire	25 μm	16 mm	n/a	No	n/a	Positive	$1-8 \times 10^{7}$	Perpendicular	30% at 10 nm
								s/cm ³		
Biskos et al. [13-15]	Wire	16 μm	74 mm	5 L/min	n/a	2-9 kV	Positive	$3 \times 10^{7} \text{ s/cm}^{3}$	Perpendicular	60% at 20 nm
Intra and	Wire	300 μm	28 mm	1-5 L/min	No	5-10 kV	Positive	$1.5-4 \times 10^{7}$	Perpendicular	n/a
Tippayawong [16]								s/cm ³		
Whitby [17]	Needle	n/a	n/a	70 L/min	No	0-9 kV	Positive/	n/a	Perpendicular	n/a
							negative			
Medved et al. [18]	Needle	n/a	n/a	n/a	n/a	n/a	Positive	n/a	Perpendicular	40% at 10 nm
Marquard et al. [19]	Needle	n/a	n/a	n/a	n/a	n/a	Positive	n/a	Perpendicular	n/a
Hernandez-Sierra	Needle	3 mm	4 mm	0-10 L/min	No	2.5-4 kV	Positive/	n/a	Perpendicular	30% at 10 nm
et al. [20]							negative			
Alonso et al. [21]	Needle	n/a	3.5 mm	0-10 L/min	No	3.1-3.7 kV	Positive	$1-4 \times 10^{7}$	Circular	55% at
								s/cm ³		13.6 nm
Intra and	Needle	3 mm	4 mm	0-5 L/min	No	3-5 kV	Positive	$2-8 \times 10^{7}$	Circular	n/a
Tippayawong								s/cm ³		
[22,23]										
Park et al. [24]	Needle	0.25 mm	n/a	5 L/min	5 L/min	3.5-5 kV	Positive	$1-7 \times 10^{7}$	Perpendicular	n/a
								s/cm ³	-	

n/a: information not available.

- introduction of surrounding sheath air flows at the boundary between the aerosol stream and the wall to allow more space for the charged particles to flow through the charger without precipitating on the charger walls [7,8,10,12–15],
- use of a turbulent jet of unipolar ions in a mixing chamber [18,19,24],
- application of a sinusoidal or square-wave voltage to the electrode instead of DC voltage [6,10,12–15]. The AC voltage was shown to produce high charging efficiencies due to lower particle losses because the charged particles flowing through the charger undergo oscillations without precipitating in the electrode.

Additionally, aerosol charging is a function of the ion concentration N_i and the mean residence time t of the particles within the ion zone, t. For this reason, a well-designed corona charger should provide a stable $N_i t$ product that can be accurately determined for any given operating conditions. Further research in the unipolar charger design should be focused on:

- o the particle shape effects on the unipolar diffusion charging for non-spherical particles. Most particles, such as asbestos fibers, soot aggregates, and bioaerosols are non-spherical. The shape of a particle affects the drag force, settling velocity and electrical mobility. Non-spherical particles were also expected to play important role in the unipolar diffusion charging because highly charged particles cause a great deal of electrostatic force between charged particles and ions, which is comparable with pure diffusion force.
- o the effect of particle dielectric constant and conductivity on the charging performance should be explored. Because the diffusion charging is independent of particle material, it can be concluded that for particles smaller than 0.2 μm particle material is irrelevant considering the charging process. For larger particles, charging is dependent on the dielectric constant and conductivity of material. However, if the dielectric constant and conductivity of particle material differ significantly from calibration values, great difference can be expected.

Acknowledgement

The authors wish to express their deepest gratitude to the Thailand Research Fund (TRF) for the financial support, contract no. MRG5180217.

References

- [1] W.C. Hinds, Aerosol Technology, John Wiley & Sons, New York, 1999.
- [2] A. Wiedensohler, An approximation of the bipolar charge distribution for particles in the submicron size range, Journal of Aerosol Science 19 (3) (1988) 387–389.
- [3] M. Adachi, Y. Kousaka, K. Okuyama, Unipolar and bipolar diffusion charging of ultrafine aerosol particles, Journal of Aerosol Science 16 (2) (1985) 109–123.
- [4] G.W. Hewitt, The charging of small particles for electrostatic precipitation, AIEE Transactions 76 (1957) 300–306.
- [5] H.J. White, Industrial Electrostatic Precipitation, Addison-Wesley, Reading, MA 1963
- [6] B.Y.H. Liu, K.T. Whitby, H.H.S. Yu, Diffusion charging of aerosol particles at low pressures, Journal of Applied Physics 38 (4) (1967) 1592–1597.
- [7] B.Y.H. Liu, D.Y.H. Pui, On the performance of the electrical aerosol analyzer, Journal of Aerosol Science 6 (1975) 249–264.
- [8] D.Y.H. Pui, Experimental study of diffusion charging of aerosols, Ph.D. thesis, University of Minnesota, Minneapolis, MN, USA, 1976.
- [9] P.A. Lawless, L.E. Sparks, Modeling particulate charging in ESPs, IEEE Transactions on Industry Applications 24 (5) (1988) 922–925.
 [10] P. Buscher, A. Schmidt-Ott, A. Wiedensohler, Performance of a unipolar
- [10] P. Buscher, A. Schmidt-Ott, A. Wiedensohler, Performance of a unipolar "Square Wave" diffusion charger with variable nt-product, Journal of Aerosol Science 25 (4) (1980) 651–663.
- [11] L. Unger, D. Boulaud, J.P. Borra, Unipolar field charging of particles by electric discharge: effect of particle shape, Journal of Aerosol Science 35 (2004) 965-
- [12] F.E. Kruis, H. Fissan, Nanoparticle charging in a twin Hewitt charger, Journal of Nanoparticle Research 3 (2001) 39–50.
- [13] G. Biskos, E. Mastorakos, N. Collings, Monte-Carlo simulation of unipolar diffusion charging for spherical and non-spherical particles, Journal of Aerosol Science 35 (2004) 707–730.
- [14] G. Biskos, K. Reavell, N. Collings, Electrostatic characterization of corona-wire aerosol charges, Journal of Electrostatics 63 (2005) 69–82.
- [15] G. Biskos, K. Reavell, N. Collings, Unipolar diffusion charging of aerosol particles in the transition regime, Journal of Aerosol Science 36 (2005) 247– 265
- [16] P. Intra, N. Tippayawong, Approach to characterization of a diode type corona charger for aerosol size measurement, KIEE International Transactions on Electrophysics and Applications 5-C (5) (2005) 196–203.
- [17] K.T. Whitby, Generator for producing high concentration of small ions, Review of Scientific Instruments 32 (12) (1961) 1351–1355.

- [18] A. Medved, F. Dorman, S.L. Kaufman, A. Pocher, A new corona-based charger for aerosol particles, Journal of Aerosol Science 31 (2000) s616–s617.
- [19] A. Marquard, M. Kasper, J. Meyer, G. Kasper, Nanoparticle charging efficiencies and related charging conditions in a wire-tube ESP at DC energization, Journal of Electrostatics 63 (2005) 693–698.
- [20] A. Hernandez-Sierra, F.J. Alguacil, M. Alonso, Unipolar charging of nanometer aerosol particle in a corona ionizer, Journal of Aerosol Science 34 (2003) 733–745.
- [21] M. Alonso, M.I. Martin, F.J. Alguacil, The measurement of charging efficiencies and losses of aerosol nanoparticles in a corona charger, Journal of Electrostatics 64 (2006) 203–214.
- [22] P. Intra, N. Tippayawong, Corona ionizer for unipolar diffusion charging of nanometer aerosol particles, in: 29th Electrical Engineering Conference, Pattaya, Thailand, 9–10 November, 2006.
- [23] P. Intra, N. Tippayawong, Comparative study on electrical discharge and operation characteristics of needle and wire-cylinder corona chargers, Journal of Electrical Engineering & Technology 1 (4) (2006) 520–527.
- [24] D. Park, M. An, J. Hwang, Development and performance test of a unipolar diffusion charger for real-time measurements of submicron aerosol particles having a log-normal size distribution, Journal of Aerosol Science 38 (4) (2007) 420-430.
- [25] M. Lehtimaki, New current measuring technique for electrical aerosol analyzers, Journal of Aerosol Science 18 (1987) 401–407.
- [26] A. Mirme, Electric aerosol spectrometry, Ph.D. thesis, University of Tartuensis, Tartu, Estonia, 1994.
- [27] H. Tammet, A. Mirme, E. Tamm, Electrical aerosol spectrometer of Tartu University, Journal of Aerosol Science 29 (1998) s427–s428.
- [28] H. Tammet, A. Mirme, E. Tamm, Electrical aerosol spectrometer of Tartu University, Atmospheric Research 62 (2002) 315–324.
- [29] J. Kulon, W. Balachandran, The measurement of bipolar charge on aerosols, Journal of Electrostatics 51–52 (2001) 552–557.

- [30] J. Kulon, S. Hrabar, W. Machowski, W. Balachandran, A bipolar charge measurement system for aerosol characterization, IEEE Transactions on Industry Applications 37 (2001) 472–479.
- [31] K. Reavell, Fast response classification of fine aerosols with a differential mobility spectrometer, in: Proceedings of the 13th Annual Conference of the Aerosol Society, Lancaster, 2002.
- [32] G. Biskos, Theoretical and experimental investigation of the differential mobility spectrometer, Ph.D. thesis, University of Cambridge, UK, 2004.
- [33] G. Biskos, K. Reavell, N. Collings, Description and theoretical analysis of a differential mobility spectrometer, Aerosol Science and Technology 39 (2005) 527–541.
- [34] TSI Incorporated, Operation and Service Manual, Revision B, for Engine Exhaust Particle Sizer™ Spectrometer, Model 3090, Minnesota, 2004.
- [35] P. Intra, N. Tippayawong, An electrical mobility spectrometer for aerosol size distribution measurement, in: International Conference on Technology and Innovation for Sustainable Development, 25–27 January, Khon Kaen, Thailand, 2006.
- [36] P. Intra, Aerosol size measurement system using electrical mobility technique, Ph.D. thesis, Chiang Mai University, Chiang Mai, Thailand, 2001.
 [37] P. Intra, N. Tippayawong, Aerosol size distribution measurement using
- [37] P. Intra, N. Tippayawong, Aerosol size distribution measurement using multi-channel electrical mobility sensor, Journal of Aerosol Research 21 (2006) 329–340.
- [38] P. Intra, N. Tippayawong, Brownian diffusion effect on nanometer aerosol classification in electrical mobility spectrometer, Korean Journal of Chemical Engineering 26 (1) (2009) 269–276.
- [39] TSI Incorporated, Operation and Service Manual, Revision B, for Electrical Aerosol Detector™ Spectrometer, Model 3070, Minnesota, 2004.
- [40] B.Y.H. Liu, A. Kapadia, Combined field and diffusion charging of aerosol particles in the continuum regime, Journal of Aerosol Science 9 (1975) 249–264.

ภาคผนวก ข-4

Intra, P. and Tippayawong, N., "An electrostatic sensor for nanometer-sized aerosol particles detection", *Journal of the Japan Society of Applied Electromagnetics and Mechanics*, Vol.17, Supplement, pp. s17 – s20, 2009. มี impact factor = 0.0

An Electrostatic Sensor for Nanometer-Sized Aerosol Particles Detection

P. Intra¹ and N. Tippayawong²

¹College of Integrated Science and Technology,
Rajamangala University of Technology Lanna, Chiang Mai 50300, Thailand

²Department of Mechanical Engineering, Chiang Mai University,

Chiang Mai 50200, Thailand

In this study, an electrostatic sensor was developed for detecting the number concentration of nanometer-sized aerosol particles. It consists of a size selective inlet, a corona charger, an ion trap, a Faraday cup, an electrometer, a signal conditioning and processing system, and an I/O control and human-computer interface. In the present sensor, aerosol flow is regulated and controlled by means of mass flow meters and controllers with a vacuum pump. An aerosol sample first passes through the size selective inlet to remove particles outside the measurement size range based on their aerodynamic diameter, and then pass through the unipolar corona charger that sets a charge on the particles and enter the ion trap to remove the free ions. After the ion trap, the charged particles then enter the Faraday cup electrometer for measuring ultra low current about 10⁻¹² A induced by charged particles collected on the filter in Faraday cup corresponding to the number concentration of particles. Finally, signal current is then recorded and processed by a data acquisition system. A detailed description of the operating principle of the system as well as main components was presented. The performance of the prototype electrometer circuit used in this work was also evaluated and compared with a commercial electrometer, Keithley model 6517A, and good agreement was found from the comparison.

Key Words: aerosol, nanoparticle, electrostatic, electrometer, sensor.

1. Introduction

Nanometer-sized aerosol particles, defined as aerosols with particle diameters less than 0.1 µm, suspended in air have significant effects on the human health, global climate, air quality and processes in various industries such as food, pharmaceutical and medical, electronic semiconductor industries [1]. Detection measurement of nanometer-sized aerosol particles have become an important issue. For this purpose, nanoparticle sensors were developed to monitoring indoor and outdoor aerosols for pollution and process control industry. There are several commercial instruments using various methods of detecting particle number concentration. Available instruments include a SMPS (Scanning Mobility Particle Sizer) using electrical mobility of particles, a CPC (Condensation Particle Counter) which uses particle growth and optical property, an EAD (Electrical Aerosol Detector) which uses electrostatic charge measurement technique, and an ELPI (Electrical Low Pressure Impactor) using inertia impaction of particles under low pressure [2].

Correspondence: P. Intra, College of Integrated Science and Technology, Rajamangala University of Technology Lanna, Chiang Mai 50300, Thailand.

email: panich_intra@yahoo.com

These commercial instruments are widely used for measuring airborne ultra fine particles and provide high-resolution measurement, but they are very expensive and larges sizes. In addition, the CPC should be carefully moved in caution to protect the optics contamination from working fluid like alcohol (C₄H₉OH) [3]. The movability of instruments should be considered in monitoring airborne aerosol particles.

To avoid this problem, an inexpensive sensor was developed in this study, suitable for detection of particle number concentration in the nanometer size range. This sensor is based on unipolar corona charging and electrostatic detection of highly charged particles. A detailed description of the operating principle of the sensor was presented. The sensor performance also was evaluated and compared with a commercial instrument.

2. Description of the Sensor

Fig. 1 shows the schematic diagram of the electrostatic sensor for detecting nanometer-sized aerosol particles was developed in this study. The sensor system is composed of a flow system is regulated and controlled by means of mass flow controllers with a vacuum pump, a size selective inlet to remove the particle outside the measurement range, a particle charger using corona discharge tec-

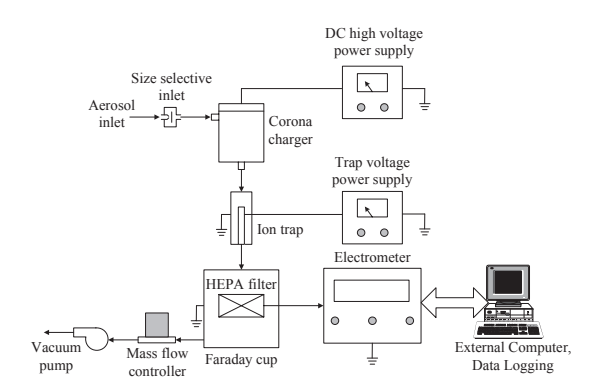


Fig. 1 Schematic diagram of the electrostatic sensor.

hnique, an ion trap to remove the high electrical mobility of free ions after charger, a Faraday cup to collect charged particles, an electrometer for measuring signal current from the Faraday cup, and a computer controlled data acquisition and management system.

2.1 Size selective inlet

The inertial impactor was used to remove particles larger than a known aerodynamic size, upstream of the system. The aerodynamic particle size at which the particles are separated is called the cut-point diameter. In the impactor, the aerosol flow is accelerated through a nozzle directed at a flat plate. The impaction plate deflects the flow streamlines to a 90° bend. Particles with sufficient inertia are unable to follow the streamlines and impact on the plate. Smaller particles are able to follow the streamlines and avoid contact with the plate and exit the impactor.

2.2 Unipolar corona charger

The particle charger in the present study consists of a coaxial corona-needle electrode placed along the axis of a cylindrical tube with tapered ends [4]. The needle electrode is made of a stainless steel rod 3 mm in diameter and 49 mm in length, ended in a sharp tip. The angle of the needle cone was approximately 9° and the tip radius approximately 50 µm, as estimated under a microscope. The outer cylindrical is made of aluminum tube 30 mm in diameter and 25 mm in length with conical shape. The angle of the cone was approximately 30° and the orifice diameter was approximately 4 mm. The distance between the needle electrode and the cone apex is 2 mm. The corona electrode head is connected to a DC high voltage supply, while the outer electrode is grounded.

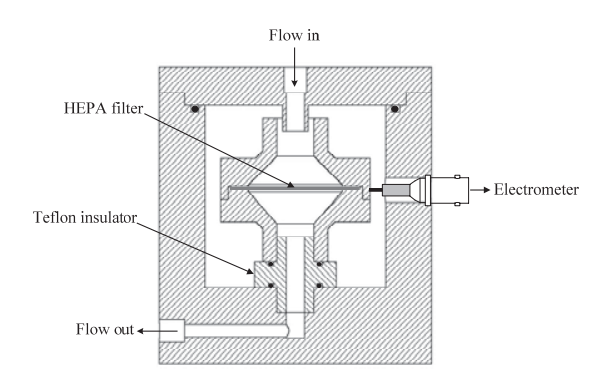


Fig. 2 Schematic diagram of the Faraday cup.

An adjustable DC high voltage power supply is used to maintain the corona voltage difference, typically of the order of 3.0 kV. The corona discharge generates ions which move rapidly in the strong corona discharge field toward the outer electrode wall. Aerosol flow is directed across the corona discharge field and is charged by ion-particle collisions via diffusion charging and field charging mechanisms.

2.3 Ion trap

The ion trap was used to remove the high electrical mobility of free ions after the charger. As the free ions can potentially reach the detector and ruin the measurement, a trap field is introduced just after the corona charger. The trap field is across the aerosol flow and has a 200 V.

2.4 Faraday cup

Fig. 2 shows the schematic diagram of the Faraday cup used in this study. It consists of an outer housing, a HEPA (High Efficiency Particulate Air) filter, a filter holder, and a Teflon insulator. To completely shield the filter holder collecting the charged particles, the outer housing is made of a stainless steel, and filter holder is electrically isolated from the outer housing with Teflon insulator stand, while the outer housing is grounded. The Faraday cup plays a role to prevent electric noise for measuring ultra-low electric signal current (pA) from collected charged particles on an internal HEPA filter inside the Faraday cup corresponding to the total number concentration of the particles. If the filter holder is not shielded completely, noise which is 1000 times of resolutions to be expected. To transfer charges gathered at the HEPA filter to an electrometer circuit that is outside the Faraday cup, BNC connector is connected to HEPA filter.

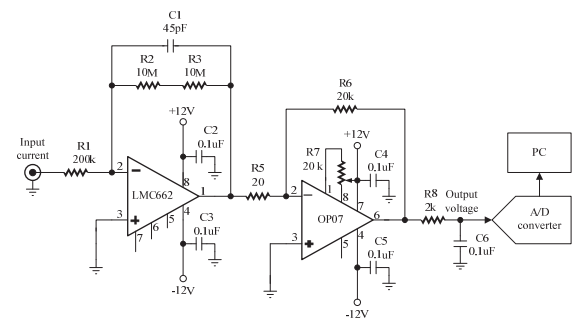


Fig. 3 Schematic diagram of the sensitive electrometer circuit.

Because material of HEPA filter is a conductor such as glass fiber, charges collected in the filter can move to the electrometer via the BNC connector and low noise cable without delay. In the case of existing aerosol electrometer airflow is curved at 90° while air is drifted from sampling probe to the filter. It can become the cause of charge loss. To solve this problem airflow into Faraday cup is straightened not to change the direction of the flow and loss the charge. The particle number concentration, N_p , is related to the signal current, I, at HEPA filter is given by

$$N_p = \frac{I}{peO_*} \tag{1}$$

where p is the number of elementary charge units, e is the elementary unit of charge (1.6 × 10⁻¹⁹ C), and Q_a is the volumetric aerosol sampling flow rate into a Faraday cup.

2.5 Sensitive electrometer

A sensitive electrometer is used to measure the electric signal current, which are typically in the range 1 to 10 pA, from the Faraday cup. The schematic presentation of an electrometer circuit design for aerosol detection system is shown in Fig. 3. This circuit is a simple current-to-voltage converter, where the voltage drop caused by a current flowing through a resistor is measured. The circuit adopted two cascaded negative feedback amplifiers. The extra component in this circuit is primarily for fine offset voltage adjustment and input/output protection. A 12V power supply capable of providing 100 mA is required. The feedback capacitor and RC low-pass filter were used to reduce high-frequency noise and to prevent oscillations of the amplifier output [5]. In order to expensive construction, commerciallyavailable low-cost monolithic operational amplifiers were used. The commercially-available operational amplifiers used in this circuit is the LMC662, which was designed for low current measurement and featured ultra-low input bias current (2 fA maximum) and low offset voltage drift (1.3 μ V/°C) [6]. The output voltage, V_o , of this circuit is given by the following equation:

$$V_o = I_i R_1 \left(\frac{R_2 + R_3}{R_1} \frac{R_6}{R_5} \right) \tag{2}$$

where I_i is the input current, R_1 and R_5 are the input resistors of the first and second amplifiers, respectively, R_2 and R_3 are the feedback resistors of the first amplifier, and R_6 is the feedback resistors of the second amplifier. This circuit gives an output voltage of 10 mV per 1 pA of input signal current.

2.6 Data acquisition and processing system

The output voltage of the electrometer circuit in the range of 0 to +5V was connected to a unipolar 12-bit analog to digital converter (ADC), controlled by I²C bus from the external personal computer via RS-232 serial port interface. The digital ADC signal was processed by computer software, based on Microsoft Visual Basic programming for all data processing. The software is able to display the particle number concentration.

3. Electrometer Calibration and Testing

The electrometer circuit is one of the most important parts influencing accurate particle number concentration measurement corresponding to signal current in the sensor system. In the present paper, a laboratory test facility was developed and constructed to evaluate performance of a prototype electrometer circuit. Fig. 4 shows the experimental setup used to evaluate the fabricated electrometer circuit performance. In this study, the electrometer circuit was calibrated with a current injection circuit, high-impedance current source [4]. This circuit consists of an appropriately high-standard resistor (10 G) and a highly-accurate adjustable voltage source in the range between 0 to +5 V. The output current of this circuit can simply be calculated from the Ohm's law. The range of the output current is from 1 pA to 10 pA. It should be noted that the electrometer circuit input was operated at virtual ground potential during calibration and subsequent current measurement. The output voltage from the

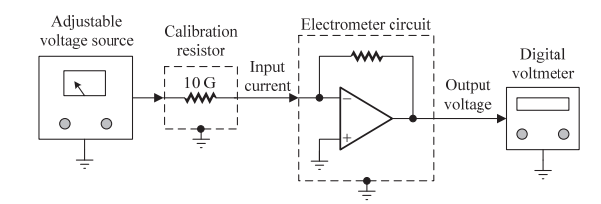


Fig. 4 Schematic diagram of the experimental setup for the electrometer test.

electrometer circuit was measured and recorded by a highly-accurate digital voltmeter. The voltage reading was then translated into the current measurement.

Fig. 5 provides comparison of measured current from this work and a commercial electrometer, Keithley model 6517A, with a high-accuracy current source. It can be found that the measured current was rising linearly as input current increased. Generally, the currents measured from this work were found to agree very well with those measured by the Keithley model 6517A. A very small difference of about 5 % was obtained. It is worthy to point out that there were some interferences on the connector at small potentials. Additionally, leakage of currents through the body of the connector can potentially impair the performance of the electrometer significantly. A detailed investigation of this problem may be improved and experimental studied further [5].

4. Conclusion and Future Work

The electrostatic sensor for detecting nanometer-sized aerosol particles developed at Rajamangala University of Technology Lanna and Chiang Mai University has been presented and described in this paper. The detecting method was based on unipolar corona charging and electrostatic detection of highly charged particles. It was able to detect particle number concentration in the nanometer size range. A prototype of the prototype electrometer circuit has been constructed, evaluated, and compared against a commercial electrometer, Keithley model 6517A. The results obtained were very promising. It was demonstrated that the electrometer can be used successfully in detecting the signal current corresponding the particle number concentration.

Among the various techniques and devices exist for producing aerosol samples to testing and calibration of any instrument that measures aerosol particles. One of the most widely used techniques of

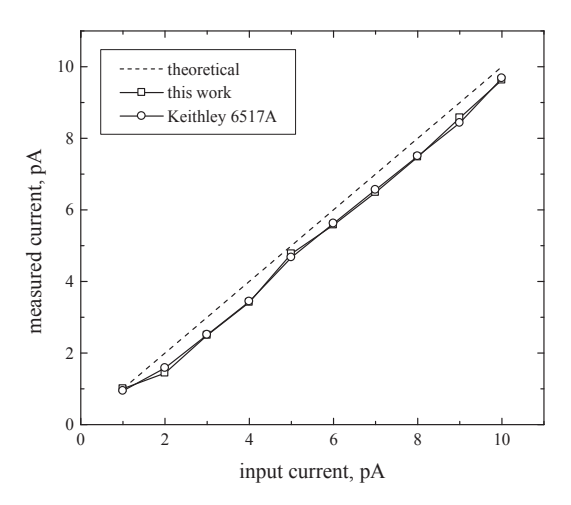


Fig. 5 Performance comparison between the prototype and commercial electrometer.

generating monodisperse aerosol particles is by using a Tandem DMA method. The main advantage of this method is the wide range of particle sizes it can generate. Further research, may involve a Tandem DMA method. Finally, calibration and comparison of the instrument with other particle measuring devices (e.g. SMPS, CPC, EAD, and ELPI) should be conducted further.

Acknowledgment

The authors wish to express their deepest gratitude to the Thailand Research Fund (TRF) for the financial support, contract no. MRG5180217.

References

- W. C. Hinds, Aerosol Technology. John Wiley & Sons, New York, USA, 1999.
- [2] P. Intra, and N. Tippayawong, "An overview of aerosol particle sensors for size distribution measurement," Mj. Int. J. Sci. Tech., Vol. 1, No. 2, pp. 120 – 136, 2007.
- [3] TSI Incorporated, Instruction Manual for Condensation Particle Counter Model 3010. Revision F, Minnesota, USA, 2006.
- [4] P. Intra, and N. Tippayawong, "Corona ionizer for unipolar diffusion charging of nanometer aerosol particles," *Proceeding of 29th Electrical Engineering Conference*, pp. 1177 1180, Pattaya, Thailand, 9 10 November, 2006.
- [5] P. Intra, and N. Tippayawong, "An ultra-low current meter for aerosol detection", *CMU. J. Nat. Sci.*, Vol. 6, No. 2, pp. 313 – 320, 2007.
- [6] National Semiconductor Corporation, LMC662 data sheet. 2003.

ภาคผนวก ข-5

Intra, P. and Tippayawong, N., "Effect of needle cone angle and air flow rate on electrostatic discharge characteristics of a corona-needle ionizer", *Journal of Electrostatics*, 2010, in press, 10.1016/j.elstat.2010.01.008.

มี impact factor = 1.240 (JCR ปี 2008)

ARTICLE IN PRESS

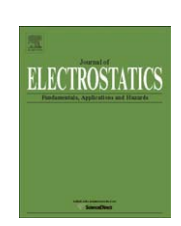
Journal of Electrostatics xxx (2010) 1-7



Contents lists available at ScienceDirect

Journal of Electrostatics

journal homepage: www.elsevier.com/locate/elstat



Effect of needle cone angle and air flow rate on electrostatic discharge characteristics of a corona-needle ionizer

Panich Intra a,*, Nakorn Tippayawong b

^a College of Integrated Science and Technology, Rajamangala University of Technology Lanna, Chiang Mai 50300, Thailand

ARTICLE INFO

Article history:
Received 22 December 2008
Received in revised form
8 June 2009
Accepted 19 January 2010
Available online xxx

Keywords: Aerosol Corona discharge Ionizer Unipolar charging

ABSTRACT

In this study, the corona-needle ionizer was designed, constructed, and characterized. Experimental characterizations of the electrostatic discharge in terms of current–voltage relationships of the corona ionizer, including the effects of discharge electrode cone angle and air flow rate were presented. It was found that the charging current and ion concentration in the charging zone increased monotonically with corona voltage. Conversely, discharge currents decreased with increasing angle of the needle cone. The negative corona was found to have higher current than the positive corona. At higher air flow rates, the ion current and concentration were found to be relatively high for the same corona voltage. The effect of air flow rate was more pronounced than the corona voltage. It was also shown that the ion penetration through the ionizer decreased with increasing corona voltage, and increased with increasing air flow rate. The highest ion penetration through the ionizer of the 10° needle cone angle was found to be about 93.7 and 7.7% for positive and negative coronas, respectively. The highest ion penetration for the needle cone angle of 20° was found to be 96.6 and 6.1% for positive and negative coronas, respectively.

© 2010 Elsevier B.V. All rights reserved.

1. Introduction

Corona discharge is a low-power electrical discharge with non-thermal ionization that takes place at or near atmospheric pressure in a region of non-uniform high electric field intensity such as a sharp metal point held at several kilovolts [1]. The corona discharge is one of the most common techniques to generate high number concentration of ions. There have been numerous extensive studies in the past. Corona ionization is widely used in the semiconductor manufacturing industry to reduce the damage of sensitive circuit elements by electrostatic discharge, and to reduce electrostatic enhanced deposition of particulate contaminants on silicon wafers [2]. Another application of corona ionizers is in charging of particles in aerosol sizing based on electrical mobility analysis to impose a known net charge distribution on the particles because prediction of particle size distribution requires the knowledge of the charge distribution for every particle sizes [3].

There are several designs of corona ionizer employed and described in the published literature, both corona-wire and corona-needle ionizers [4]. A widely used ionizer is a corona-needle dischargers because of its simplicity and capability to provide high

0304-3886/\$ – see front matter © 2010 Elsevier B.V. All rights reserved. doi:10.1016/j.elstat.2010.01.008

number concentrations of ions [5]. There have been numerous studies and developments on the corona-needle ionizer, both ac and dc sources. Recently, Asano et al. [6] reported the ac ion current measurement from an alternating corona-needle ionizer using Faraday cage at the different frequencies and operating pressures. It is well known that the performance of these corona-needle ionizers depends on the ion number concentration in the discharge zone of the ionizer. A well designed corona ionizer should provide high magnitude of ion number concentration and stability that can be accurately determined for any given operating conditions. The magnitude of the ion number concentration in the discharge zone depends, however, on the ionizer geometry, i.e., the distance between discharge electrode and the plane or nozzle, and also on the angle of discharge electrode cone. To our knowledge, the issue of corona discharge in the needle to nozzle geometry has not been extensively studied in literature. Most of published papers concern merely characteristics of corona discharge in wire to cylinder, wire to plane, and point to plane geometries [4]. Only a few of them discuss the corona discharge in needle to nozzle [7-11]. The influence of the discharge electrode cone angle and air flow rate on electrostatic discharge characteristics of a corona-needle ionizer is important for corona discharge due to the presence of different electric field profiles and space-charge effects in the discharge zone of the ionizer. Therefore, the aim of this paper was to design, construct, and characterize a unipolar corona-needle ionizer. The

^b Department of Mechanical Engineering, Faculty of Engineering, Chiang Mai University, Chiang Mai 50200, Thailand

^{*} Corresponding author.

E-mail addresses: panich_intra@yahoo.com, panich.intra@hotmail.com (P. Intra).

2

results of the experimental characterizations of the electrostatic discharge in terms of current–voltage relationships of the corona ionizer on the effects of discharge electrode cone angle and air flow rate (or residence time) in dc electric field were experimentally studied and discussed. A detailed description of the operating principle as well as physical characteristic of the ionizer was also presented.

2. Materials and methods

2.1. Unipolar corona-needle ionizer

Fig. 1 shows the schematic diagram of the corona-needle ionizer employed in this study. The ionizer's geometrical configuration is similar to the ionizer used by Hernandez-Sierra et al. [8], Alonso et al. [9], and Intra and Tippayawong [10, 11]. However, differences between the present ionizer and existing ionizers are air inlet geometry which was modified to ensure uniform distribution across the annular entrance to discharge zone. This ionizer consists essentially of a coaxial needle electrode placed along the axis of a cylindrical tube with tapered end, and divided into three sections. The first and second sections (from left to right in the drawing) are made of Teflon, and the third (outlet section) of stainless steel tube. The needle electrode is made of a stainless steel rod, 6 mm in diameter, ending in a sharp tip. The tip radius is about 50 μm, as estimated under a microscope. In this work, experiments have been performed with the needle cone at two different angles, 10° and 20°, respectively. The diameter of the outer electrode was 30 mm, its length 15 mm with conical shape. The orifice diameter is about 3.5 mm. The distance between the needle electrode and the cone apex is 1.75 mm. The needle electrode head is connected to a positive high voltage, while the outer electrode is grounded.

2.2. Electric field inside the ionizer

In this study, a numerical model was developed to investigate the distribution of electric field in the discharge zone of the ionizer to give a better understanding on the operating of the ionizer for both needle cone angle of 10° and 20° , respectively. The Poisson's equation for the electric potential can be used:

$$\nabla^2 V = -\frac{\rho}{\varepsilon_0} \tag{1}$$

where V is the applied voltage, ρ is the space-charge density, and ε_0 is the vacuum permittivity (8.854 × 10⁻¹² F/m). For the present ionizer configurations, the resulting Laplace's equation in the 2-D, axisymmetric, cylindrical coordinates is given as:

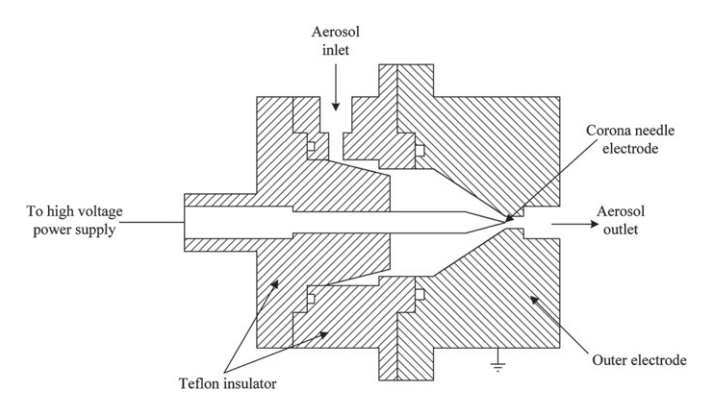


Fig. 1. Schematic diagram of the corona-needle ionizer.

$$\frac{1}{r}\frac{\partial}{\partial r}\left(r\frac{\partial V}{\partial r}\right) + \frac{\partial^2 V}{\partial z^2} + \frac{\rho(r,z)}{\varepsilon_0} = 0 \tag{2}$$

Once the electric potential is obtained, the electric field strength in the *r*- and *z*-directions can be calculated by the following equations:

$$E_r = -\frac{\partial V}{\partial r}, \quad E_z = -\frac{\partial V}{\partial z}$$
 (3)

The Laplace's equation (Equations (2) and (3)) for electric potential cannot be solved analytically in this study, especially for the complex geometry of the present ionizer. Numerical simulation has to be performed in order to obtain the solutions. The commercial computational fluid dynamic software package, CFDRCTM is employed in this study. This software was based on finite volume method (FVM). With respect to the boundary conditions used, constant potentials are applied to the corona-needle electrode (V= corona voltage), the outer electrode (V= 0), and the zero gradient conditions is applied to the boundaries with out walls.

2.3. Experimental system

The schematic diagram of the experimental setup for the electrostatic discharge characterization of the present ionizer is shown in Fig. 2. Air flow was regulated and controlled by means of a mass flow controller (Dwyer model GFC-1111) with a vacuum pump, typically in the range between 1.0 and 8.0 L/min. The air was first dried with the diffusion dryer, any remaining water was removed, and then filtered through a high efficiency particulate-free air (HEPA) filter, Pall HEPA capsule model 12144 with filtration efficiency of 99.97% and retention of 0.3 μm for air/gas, to remove any particles and then enter the ion trap to remove the air ions. A commercial adjustable DC high voltage power supply (Spellman's Bertan model 602C-100P) was used to maintain the positive high voltage difference in the ionizer, generally in the range between 1.0 and 5.0 kV. The discharge current from the corona-needle electrode was measured directly with a Keithley 6517A electrometer incorporating a Keithley 6522 scanner card. The electrometer is capable of autoranging and has a 1 fA resolution. The rate of discharging is proportional to the mean ion number concentration in the discharge zone. Therefore, the mean number concentration of ions, n_{in} , in the discharge zone of the ionizer in the absence of aerosol particles can be estimated from the discharge current using the expression:

$$n_{\rm in} = \frac{I_{\rm in}}{eZ_i EA} \tag{4}$$

where $I_{\rm in}$ is the current deposited on the grounded conical-shaped wall, e is the elementary charge, Z_i is the electrical mobility of the ions, E is the electric field inside the discharge zone, and A is the inner surface area of the metallic cone (charger outlet) where the discharge current is collected. The ion number concentration has units of ions/m³.

In this study, the ion current at the ionizer outlet was measured by filtration method. An air sample was drawn into a shielded Faraday cup with a HEPA filter through which all the air passed. A Faraday cup was devised using a stainless steel 47 mm filter holder in a 70 mm diameter stainless steel container. The filter was equipped with a fine collection metal grid, and was electrically isolated with Teflon from the container and ground. In the Faraday cup, the 99.99% of ions were removed from the air stream by the filter and the resulting ion current flow was measured with the electrometer. Thus, the total number concentration of ions at the ionizer outlet, $n_{\rm out}$, can be calculated from the ion current by the following equation:

P. Intra, N. Tippayawong / Journal of Electrostatics xxx (2010) 1-7

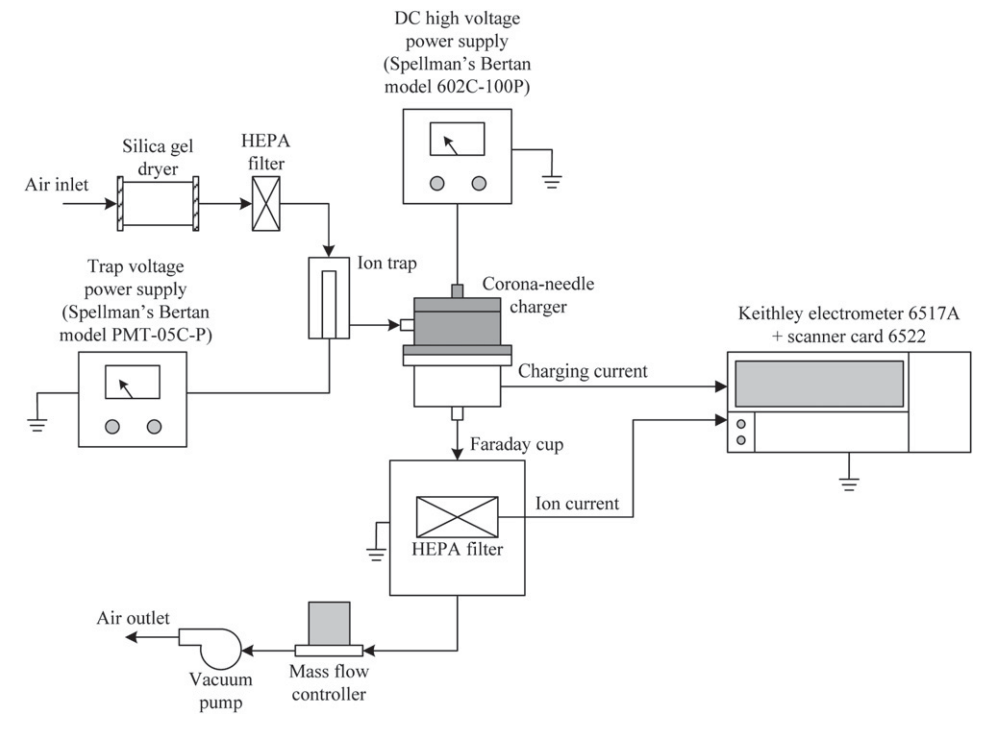


Fig. 2. Experimental setup for the characterization of the corona-needle ionizer.

$$n_{\rm out} = \frac{I_{\rm out}}{eQ} \tag{5}$$

where $I_{\rm out}$ is the ion current at the ionizer outlet was measured by the Faraday cup electrometer, and Q is the volumetric air flow through the Faraday cup. The ions penetration, P, through the ionizer is defined as the ratio of the number concentration of ions at the ionizer outlet over the number concentration of ions in the discharge zone of the ionizer, and can be estimated from the relation

$$P = \frac{n_{\text{out}}}{n_{\text{in}}} \tag{6}$$

As shown in Table 1, several sets of experiments were carried out at varying corona polarity and voltage, aerosol flow rates, and angle of the needle electrode cone. For each set of operating conditions, measurements were repeated at least three times.

3. Results and discussion

3.1. Current-voltage characteristics

Fig. 3 shows the corona discharge current–voltage characteristics of the positive and negative coronas in the discharge zone of the ionizer at different needle cone angles and operating air flow rates. The discharge currents were found to increase monotonically

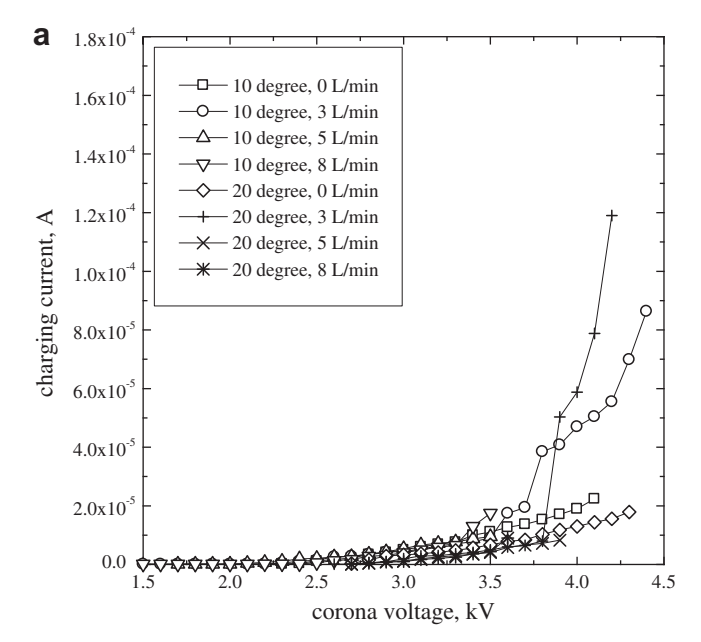
Table 1Limits of variables investigated.

Variable	Range
Corona voltage	0-10 kV
Orifice diameter	3.5 mm
Needle cone angle	10°, 20°
Ion generated	Positive ion $(+)$, negative ion $(-)$
Ionized gas	Air
Gas flow rate	3, 5, and 8 L/min
Pressure	1 bar

with an increase in the corona voltage, and decrease with increasing angle of the needle cone. This was due to a weaker electric field strength in the discharge zone for the more obtuse needle cone angle (as evident in Fig. 4). This discharge current increased with the electric field strength, hence applied voltage. At the same corona voltage, magnitude of the discharge current was markedly higher for the 10° needle cone angle, compared to cone angle of 20°. The corona onset voltages were also found to increase with the increasing angle of the needle cone. For the needle cone angle of 10°, the onset of positive corona was found to be about 2.4 kV, and negative corona was about 2.0 kV. For the needle cone angle of 20°, the onset of positive corona was found to be about 2.7 kV, and negative corona was about 2.5 kV. In the case of the needle cone angle of 10°, the spark-over phenomena occurred for the positive corona at voltages larger than 4.0 kV and negative corona at voltages larger than 3.9 kV. In the case of the needle cone angle of 20°, the spark-over phenomena occurred for the positive corona at voltages larger than 4.3 kV and negative corona at voltages larger than 4.0 kV. The spark-over phenomena were observed to release higher charging currents, but it was undesirable because it interfered with the detector circuitry. Above these values, the current was found to exhibit a fluctuation in an uncontrollable manner and no measurement could be made. For both cases, the currents for negative ions were slightly higher than those positive ions. This was expected because negative ions have higher electrical mobility than positive ions $(Z_i^+ = 1.15 \times 10^{-4} \text{ m}^2/\text{V s},$ $Z_i^+ = 1.425 \times 10^{-4} \, \text{m}^2/\text{V}$ s, based on the work of Reischl et al. [12]). Thus, it was more likely to impact and deposit on the outer electrode wall of the ionizer due to the electrostatic force. For a given needle cone angle, the discharge current was also increased with the air flow rate, hence space-charge effect.

3.2. Ion current at the ionizer outlet

Variation in ion currents of the positive and negative ions at the ionizer outlet with corona voltage at different needle cone angles



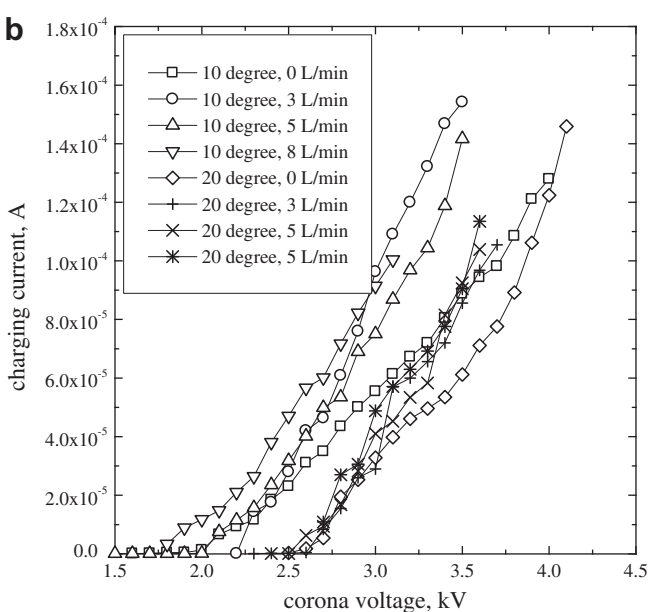
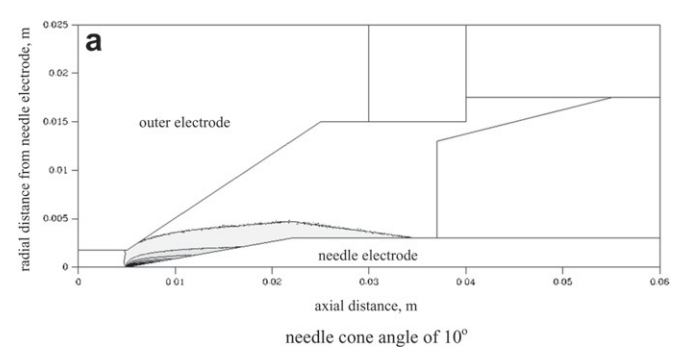
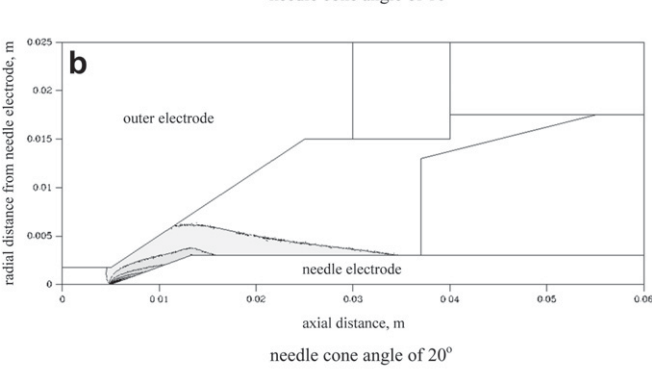


Fig. 3. Current–voltage characteristics in the charging zone of the ionizer, (a) positive ion, (b) negative ion.

and operating air flow rates is shown in Fig. 5. The resultant ion currents at the ionizer outlet of both positive and negative coronas were evaluated for 10° and 20° , 3.0, 5.0, and 8.0 L/min, and 1.0-5.0 kV. As seen in Fig. 5, the positive corona onset (i.e. positive ion generation) of the 10° needle cone angle appeared to occur at about 2.3, 2.4, and 2.5 kV for air flow rates of 3.0, 5.0, and 8.0 L/min, respectively, while the negative corona onset was observed at about 2.3, 2.2, and 2.3 kV for 3.0, 5.0 and 8.0 L/min, respectively. The positive corona onset of the 20° needle cone angle appeared to occur at about 2.8, 2.9, and 2.8 kV for 3.0, 5.0, and 8.0 L/min, respectively, while the negative corona onset was observed at about 2.8, 2.9, and 2.8 kV for air flow rates of 3.0, 5.0 and 8.0 L/min, respectively. For corona voltages less than 2.0 kV, the ion current was relatively low. In this range, corona discharge did not occur. For the air flow effect, the results showed that increase in air flow rate resulted in an increase of the ion current at a fixed corona voltage.





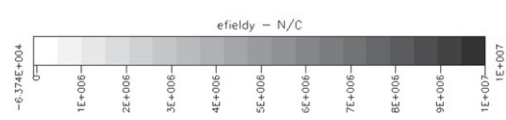
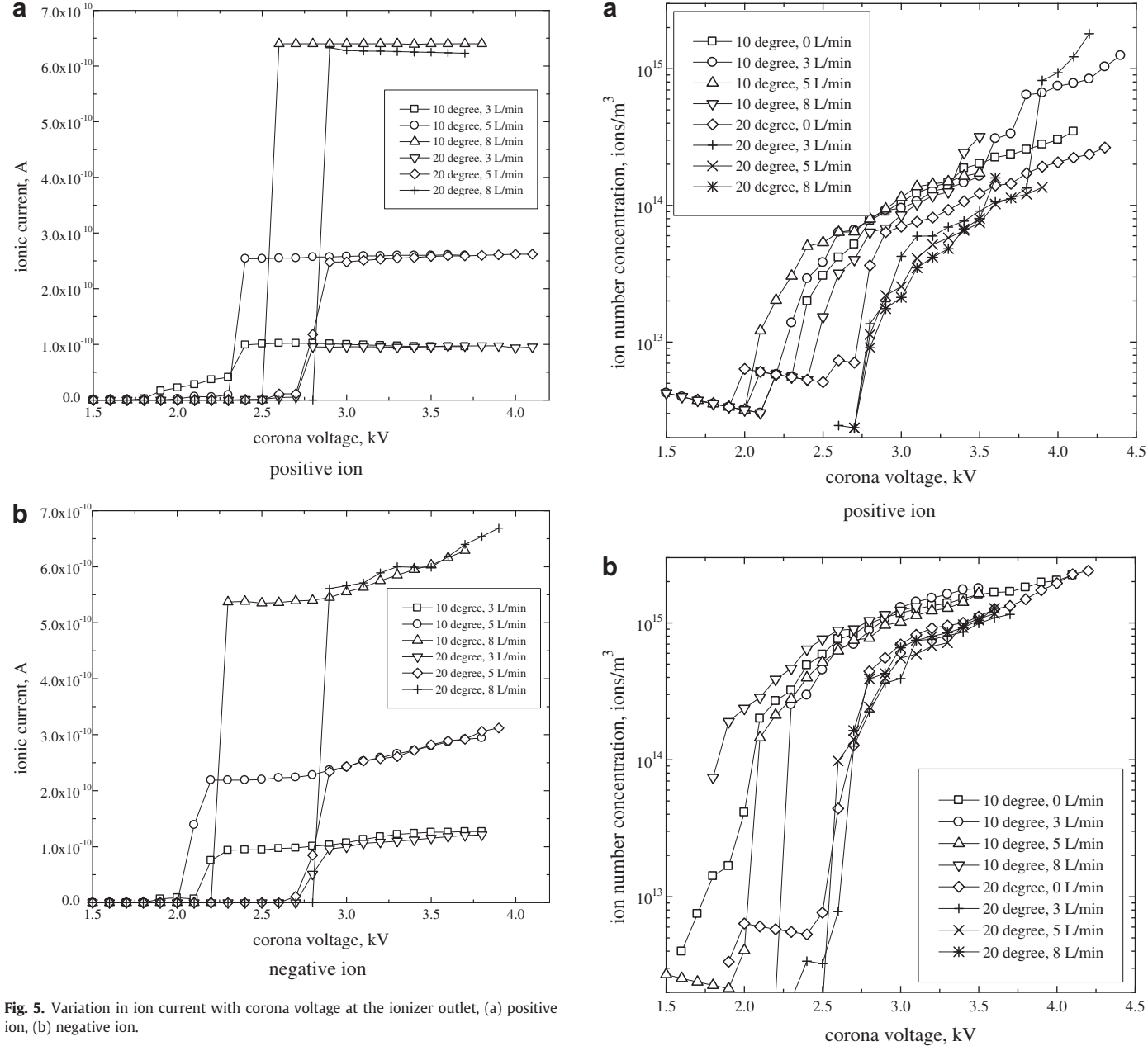


Fig. 4. Distributions of electric field strength inside the ionizer, (a) needle cone angle of 10° , (b) needle cone angle of 20° .

In both needle cone angles, the positive ion current was found to depend only on corona voltage within a narrow interval. At larger voltages, positive ion currents practically become constant, independent of the corona voltage. Meanwhile, negative ion currents increased slightly with increasing corona voltage. This may be explained by the fact that higher degree of ion loss was inevitable when a great number of ions were densely populated. It was evident that when the applied voltage increased, the discharge current and electric field strength in the discharge zone were found to increase. Many more ions have tendency to be electrostatically lost in the discharge zone of the ionizer. The ion loss inside the ionizer due to electrostatic loss is defined as the ratio of the ion number concentration at the ionizer outlet over the number concentration of ions inside the ionizer. At the same corona voltage, magnitude of the ion current was slightly higher for the needle cone angle of 10°, compared to cone angle of 20°. It was also found that the ion current at the ionizer outlet for positive corona was slightly higher than for negative corona, presumably because negative ions, having higher electrical mobility, are electrostatically lost within the ionizer to a higher extent.

3.3. Ion number concentration and penetration

Fig. 6 shows the variation in ion number concentration with corona voltage in the discharge zone of the ionizer at different needle cone angles and air flow rates. The ion number concentration in the discharge zone was calculated based on measurements and the method presented in Section 2.2. The number concentration of ions was approximately proportional to the discharge current. As seen in the plot, the ion number concentration in the discharge zone increased with increasing corona voltage. According



ion, (b) negative ion,

Fig. 6. Variation in ion number concentration with corona voltage in the charging zone of the ionizer, (a) positive ion, (b) negative ion.

negative ion

to the discharge currents, the ion number concentration in the discharge zone was found to decrease with increasing angle of the needle cone. The ion concentrations from the 10° needle cone angle were 1.5 times larger than those from the 20° needle cone angle. It is commonly known that the number concentration of negative ion is generally larger than positive ion, in a range well above corona onset.

The plots of the ion number concentration at the ionizer outlet as a function of the corona voltage at different needle cone angles and air flow rates are shown in Fig. 7. For the needle cone angle of 10°, the highest ion current in the Faraday cup was found to be about 6.4×10^{-10} , and 6.29×10^{-10} A, corresponding to the ion number concentration of about 2.98×10^{13} , and 2.93×10^{13} ions/m³ occurring at the corona voltage of 2.9, and 3.7 kV for positive and negative coronas, and air flow rate at 8.0 L/min, respectively. For the needle cone angle of 20°, the highest ion current in the Faraday cup was found to be about 6.25×10^{-10} , and 6.69×10^{-10} Å,

corresponding to the ion number concentration of about 2.92×10^{13} , and 3.11×10^{13} ions/m³ occurring at the corona voltage of 3.4, and 3.9 kV for positive and negative coronas, and air flow rate at 8.0 L/min, respectively. Conversely, the discharge current of 10° needle cone angle under the same conditions was about 4.1×10^{-6} , and 9.82×10^{-5} A, corresponding to the ion number concentration in the discharge zone of about 8.99×10^{13} , and 1.688×10^{15} ions/m³ for positive and negative coronas, respectively. Meanwhile, the discharge current for the 20° needle cone angle was about 5.7×10^{-6} , and 1.06×10^{-4} A, corresponding to the ion number concentration in the discharge zone of about 1.07×10^{14} , and 1.73×10^{15} ions/m³ for positive and negative coronas, respectively.

P. Intra, N. Tippayawong / Journal of Electrostatics xxx (2010) 1-7

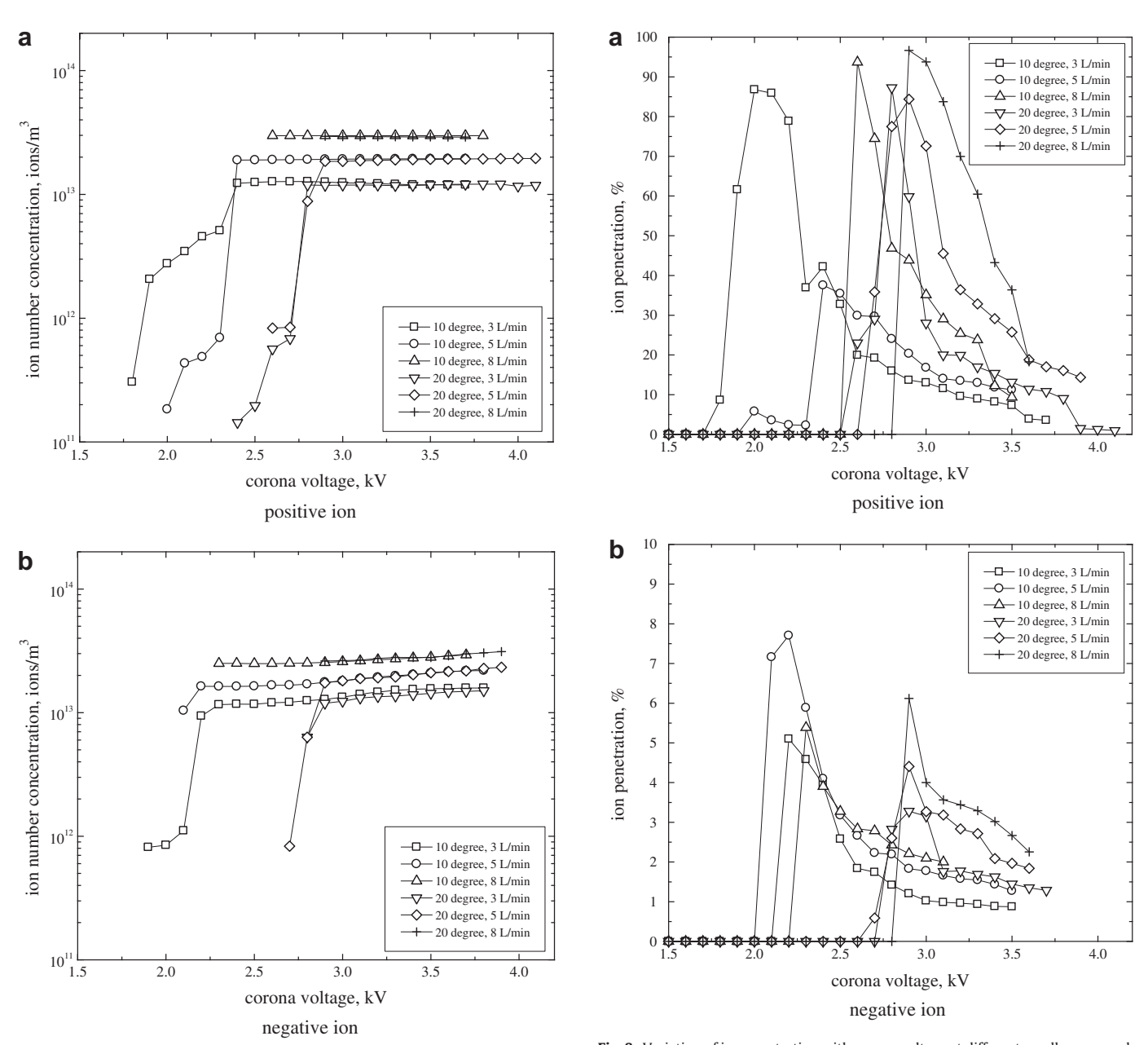


Fig. 7. Variation in ion number concentration with corona voltage at the ionizer outlet, (a) positive ion, (b) negative ion.

Fig. 8 shows variation of ion penetration with corona voltage at

needle cone angles of 10° and 20° and different operating flow rates for positive and negative coronas. It can be seen that after corona onset of both cases, the ion penetration gradually decreased with increasing corona voltage as a function of the electric field strength inside the ionizer. This was expected. When the corona voltage increased, the discharge current and the electric field strength in the discharge zone were found to increase, hence, more ions loss due to electrostatic deposition on the inner surface of the outer electrode inside the ionizer. When the air flow rate increased, the ion penetration through the ionizer was found to slightly increase. This is because the ions can be transported from the charger more

easily by faster flowing air. Due to high electrical mobility of

negative ion, the penetration of positive ions was found to be

higher than negative ions for both needle cone angles. As it can be

 $\label{eq:Fig. 8. Variation of ion penetration with corona voltage at different needle cone angles and operating flow rates, (a) positive ion, (b) negative ion.}$

seen from Fig. 8, the highest ion penetration through the ionizer of the needle cone angle of 10° was found to be about 93.7%, and 7.7% for positive and negative coronas, respectively. Meanwhile, the highest ion penetration for the needle cone angle of 20° was found to be about 96.6%, and 6.1% for positive and negative coronas, respectively.

4. Concluding remarks

Electrostatic discharge characteristics of corona-needle ionizer were investigated and presented in this work. Discharge current, ion number concentration, and ion penetration as a function of corona voltage, aerosol flow rate, and needle cone angle were evaluated. The results showed that the discharge current and ion concentration in the charging zone increased with increasing corona voltage. Conversely, discharge currents decreased with

P. Intra, N. Tippayawong / Journal of Electrostatics xxx (2010) 1-7

increasing angle of the needle cone. The negative corona was found to have higher current than the positive corona. At higher air flow rate, the ion current and concentration were found to be relatively high for a fixed corona voltage. The effect of air flow rate was more significant than that of corona voltage. It was also shown that the ion penetration through the ionizer decreased with increasing corona voltage, and increased with increasing air flow rate. The highest ion penetration through the ionizer of the 10° needle cone angle was found to be about 93.7%, and 7.7% for positive and negative coronas, respectively. Meanwhile, the highest ion penetration for the 20° needle cone angle was found to be about 96.6%, and 6.1% for positive and negative coronas, respectively.

Acknowledgment

The authors wish to express their deepest gratitude to the Thailand Research Fund for the financial support of this project, contract no. MRG5180217.

References

 T.G. Beuthe, J.S. Chang, "Gas Discharge Phenomena", Handbook of Electrostatic Processes. Marcel Dekker, New York, 1995.

- [2] P.C.D. Hobbs, V.P. Gross, K.D. Murray, Reviewing clean corona discharge, laser-produced plasma ionization technologies. Microcontamination 9 (1991) 19–26
- [3] P. Intra, N. Tippayawong, An overview of aerosol particle sensors for size distribution measurement. Maejo International Journal of Science and Technology 1 (2) (2007) 120–136.
- [4] P. Intra, N. Tippayawong, Progress in unipolar corona discharger designs for airborne particle charging: a literature review. Journal of Electrostatics 67 (4) (2009) 605–615.
- [5] P. Intra, N. Tippayawong, Comparative study on electrical discharge and operation characteristics of needle and wire-cylinder corona chargers. Journal of Electrical Engineering & Technology 1 (4) (2006) 520–527.
- [6] K. Asano, Y. Fukada, T. Yasukawa, Measurement of ac ion current from a corona ionizer using a Faraday cage, Journal of Electrostatics 66 (2008) 275–282.
- [7] K.T. Whitby, Generator for producing high concentration of small ions. Review of Scientific Instruments 32 (12) (1961) 1351–1355.
- [8] A. Hernandez-Sierra, F.J. Alguacil, M. Alonso, Unipolar charging of nanometer aerosol particle in a corona ionizer. Journal of Aerosol Science 34 (2003) 733–745.
- [9] M. Alonso, M.I. Martin, F.J. Alguacil, The measurement of charging efficiencies and losses of aerosol nanoparticles in a corona charger. Journal of Electrostatics 64 (2006) 203–214.
- [10] P. Intra, N. Tippayawong, "Corona ionizer for unipolar diffusion charging of nanometer aerosol particles", in: 29th Electrical Engineering Conference, Pattava, Thailand, 9–10 November, 2006.
- [11] P. Intra, N. Tippayawong, "Current-voltage characteristics of unipolar coronaneedle charger for nanoparticles", in: 31st Electrical Engineering Conference, Nakhon Nayok, Thailand, 29–31 October, 2008.
- [12] G.P. Reischl, J.M. Makela, R. Harch, J. Necid, Bipolar charging of ultrafine particles in the size range below 10 nm. Journal of Aerosol Science 27 (1996) 931–949.

ภาคผนวก ข-6

Intra, P. and Tippayawong, N., "Performance evaluation of an electrometer system for ion and aerosol charge measurements", *Korean Journal of Chemical Engineering*, under review. (MS. ID: KJ2010-004) มี impact factor = 0.830 (JCR ปี 2008)









Korean Journal of Chemical Engineering

Step 4 - Confirmation of Input Data

Corresponding author EDIT

Name Panich Intra

Affiliation Rajamangala University Of Technology Lanna

Contact E-mail: panich_intra@yahoo.com, Tel: +66-089-755-1985

Manuscript EDIT

Manuscript Title in English Performance evaluation of an electrometer system for ion and aerosol charge

measurements

Keywords (semi-colon

separated)

Aerosol; Ion; Faraday cup; Electrometer

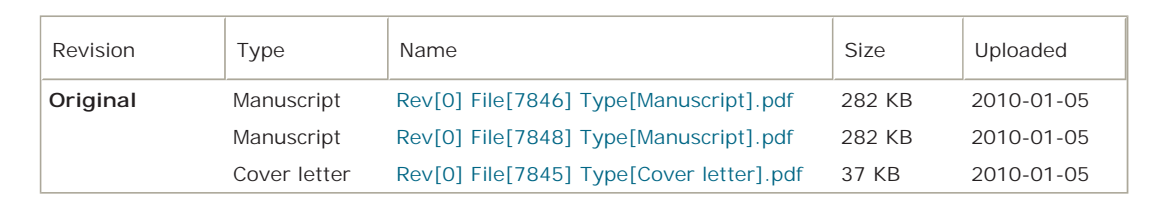
Section for Submission Environmental Engineering

Manuscript Type Research Paper

Potential Reviewers

Name	Affiliation	E-Mail	Phone
Jaan Salm	Institute Of Physics, University Of Tartu, Tartu, Estonia	Jaan.Salm@ut.ee	-
Yoshi Otani	Department Of Chemistry And Chemical Engineering, Kanazawa University, Kanazawa, Japan	otani@t.kanazawa- u.ac.jp	-
Wiwut Tanthapanichkoon	National Nanotechnology Center (Nanotec), National Science And Technology Development Agency, Thailand	wiwut@nanotec.or.th	-

Uploaded Files EDIT



PRINT

SUBMIT TO EDITORIAL OFFICE

PREVIOUS

Copyright (a) 1995–2004 KIChE. All rights reserved. SF, 34-1, 5-ga, Anam-dong, Seongbuk-gu, Seoul 135-075, Korea

College of Integrated Science and Technology



Rajamangala University of Technology Lanna, Chiang Mai 50300 Tel. 0-5392-1444, Fax. 0-5321-3183

The Editor-in-Chief, Korean Journal of Chemical Engineerings 5F, 34-1, 5-ga, Anam-dong, Seongbuk-gu, Seoul 135-075, Korea

5 January 2010

Dear the Editor-in-Chief

Enclosed are the typed original and the complete paper files of a manuscript by Panich Intra and Nakorn Tippayawong titled "Performance evaluation of an electrometer system for ion and aerosol charge measurements" which is being submitted for consideration and possible publication in the Korean Journal of Chemical Engineerings.

This manuscript is new, is not being considered elsewhere and reports the results of an ongoing research at our department. Any suggestion for improvement of the manuscript is welcomed.

Yours sincerely,

Dr. Panich Intra

Correspondence for manuscript, please contact:

Dr. Panich Intra

College of Integrated Science and Technology,

Rajamangala University of Technology Lanna,

Chiang Mai 50300, Thailand

Phone: 0-5392-1444, Fax: 0-5321-3183

e-mail: panich intra@yahoo.com, panich.intra@hotmail.com

Performance evaluation of an electrometer system for

ion and aerosol charge measurements

Panich Intra* and Nakorn Tippayawong**

*College of Integrated Science and Technology, Rajamangala University of Technology Lanna,

Chiang Mai 50300, Thailand

**Department of Mechanical Engineering, Faculty of Engineering, Chiang Mai University,

Chiang Mai 50200, Thailand

*Corresponding author. E-mail address: panich intra@yahoo.com

Abstract – In this study, an aerosol electrometer system for measuring ion and aerosol charge using electrostatic

detection technique was developed and presented. It consists of a size selective inlet, a particle charger, an ion

trap, a Faraday cup, an electrometer, and a data acquisition and processing system. In this system, an aerosol

sample first passes through the size selective inlet to remove particles outside the measurement size range based

on their aerodynamic diameter, and then pass through the unipolar corona charger that sets a charge on the

particles and enter the ion trap to remove the free ions. After the ion trap, the charged particles then enter the

Faraday cup electrometer for measuring ultra low current about 1 pA induced by ion and aerosol charge

collected on the filter in Faraday cup corresponding to the number concentration of ion and aerosol. Signal

current is then recorded and processed by a data acquisition system. A detailed description of the operating

principle of the system as well as main components was presented. Performance of the prototype aerosol

electrometer circuit used in this work was evaluated and compared with a commercial electrometer, Keithley

model 6517A. Good agreement was found from the comparison. Finally, experimental testing results of ion and

aerosol charge measurements were shown and discussed.

Keywords: Aerosol, Ion, Faraday cup, Electrometer

1

INTRODUCTION

Detection and measurement of ion and aerosol charges have become an important topic in atmospheric pollution monitoring and source characterization. In recent years, considerable interest has been shown to submicron-sized aerosol particles, defined as aerosols with diameter less than 1 µm, for two main reasons. First, such particles have been associated with adverse health effects in areas of high concentrations, and second, aerosols are believed to have a significant influence on atmospheric quality, climate at a local and global scale and processes in various industries such as food, pharmaceutical and medical, electronic and semiconductor industries [1]. Ion and aerosol charge detectors have been developed to monitor indoor and outdoor aerosols for pollution and process control industry for this purpose. A widely used instrument capable of detecting ion and aerosol charge is an electrical aerosol detector (EAD). A typical EAD consists of two key components: one for aerosol charging, and the other for measurement of the current or charges on charged aerosols with an electrometer. Readout of an EAD depends strongly on the charging technique used. There have been numerous studies and developments on the EAD. Recent developments were reviewed by Intra and Tippayawong [2]. Many previous studies concern about nanoparticle number and surface area concentration measurement [3-5], ambient ion and aerosol charge measurement [6 - 7], aerosol integral parameter measurement [8], and nanoparticle size distribution measurement [9]. Available commercial instruments designed to measure net charge on aerosol particles is the TSI Model 3070A Electrical Aerosol Detector [10]. An alternative instrument that can also be used to detect aerosol particles is a condensation particle counter (CPC) which uses particle growth and optical property [11 - 12]. These commercial instruments are widely used for detecting airborne ultra fine particles and provide high-resolution measurement, but they are very expensive and large in size. A CPC does not operate in ambient temperatures outside the control range of 10 to 34°C, and the pump and flow sensor of the CPC cannot control the flow when the pressure at the aerosol inlet, the make up air inlet, or the pump exhaust is too high or too low. The CPC must be carefully moved in caution to protect the optics from contamination with working fluid like alcohol. In addition, the CPC have a size dependent counting efficiency, with low detection efficiency for particle size less than ~30 nm [12].

The movability of instruments should be considered in monitoring ion and airborne aerosol particles. To avoid this problem, an inexpensive detector, suitable for detection of ion and aerosol number concentrations, was developed and experimentally tested in this study. This system is based on unipolar corona charging and electrostatic detection of highly charges. A detailed description of the operating principle of the sensor was presented. The performance of the prototype electrometer circuit used in this work as well as the preliminary

experimental testing results of ion and aerosol charge were also introduced and discussed.

AEROSOL ELECTROMETER SYSTEM

Fig. 1 shows the schematic diagram of the aerosol electrometer system, developed in this study. The system is composed of a size selective inlet, a particle charger, an ion trap, a Faraday cup, an electrometer circuit, and a data acquisition and management system. In this study, a flow system is regulated and controlled by means of mass flow controllers with a vacuum pump. Sampled aerosols are first passed through a size selective inlet to remove particles with diameter larger than 1.0 μm. Sampled aerosol are then directly introduced into the particle corona charger to charge the particles. Charged particles exiting from the charger are passed through an ion trap, with the voltage set at 150V to remove excess ions. The electrical charges carried by particles are measured in a Faraday cup electrometer downstream of the ion trap. The readout of the system has shown a relationship between the time and the number concentration of particles by a data acquisition and processing system. The following paragraphs give a detailed description of main components of the aerosol electrometer system.

1. Size Selective Inlet

In this study, the inertial impactor was used to remove the particle outside the measurement range, 1.0 μ m, based on their aerodynamic diameter upstream of the system. The design of this impactor is based on the inertial impactor configuration of Intra [13]. It consists of an acceleration nozzle and an impaction plate. The acceleration nozzle in the diameter of 1 mm and the impaction plate are made of a stainless steel. The distance between the acceleration nozzle and the impaction plate was 1 mm. In the impactor, the aerosol flow is accelerated through an acceleration nozzle directed at an impaction plate. The impaction plate deflects the flow streamlines to a 90° bend. The particles larger than the cut-off diameter of the impactor impact on the impaction plate while the smaller particles follow the streamlines and avoid contact to the impaction plate and exit the impactor.

2. Particle Charger

The corona-needle charger used in the present study consists of a coaxial corona-needle electrode placed along the axis of a cylindrical tube with tapered ends [14]. The needle electrode is made of a stainless steel rod 3 mm in diameter and 49 mm length, ended in a sharp tip. The angle of the needle cone was about 9°

and the tip radius was about 50 µm, estimated under a microscope. The outer cylindrical is made of stainless steel tube 30 mm in diameter and 25 mm length with conical shape. The angle of the cone was about 30° and the orifice diameter was about 4 mm. The distance between the needle electrode and the cone apex is 2 mm. The corona electrode head is connected to a DC high voltage supply, while the outer electrode is grounded. An adjustable DC high voltage power supply module, a Bertan model PMT-50CP, is used to maintain the corona voltage difference, typically of 3.5 kV. The output voltage of the Bertan model PMT-50CP was controlled by the ADAM-4024 analog output module. The corona discharge generates ions which move rapidly in the strong corona discharge field toward the outer electrode wall. Aerosol flow is directed across the corona discharge field and is charged by ion-particle collisions via diffusion charging and field charging mechanisms.

3. Ion Trap

In this study, the ion trap was used to remove the high electrical mobility of free ions after the charger. As the free ions can potentially reach the detector and ruin the measurement, a trap field is introduced just after the corona charger. Ion trap has a geometrical configuration similar to the unipolar corona-wire charger and the wire-cylinder electrostatic precipitator [15]. It consists of a coaxial wire electrode placed along the axis of a metallic cylinder tube. The outer electrode is made of stainless steel tube 28 mm in diameter and 15 mm in length. The wire electrode is made of stainless steel wire 300 µm in diameter and 15 mm in length. DC voltage supply module, a Bertan model PMT-05CP, was applied to the wire electrode, typically of 150 V, while the outer metallic electrode is grounded. The output voltage of the Bertan model PMT-05CP was controlled by the ADAM-4024 analog output module. The most important topic while operating the ion precipitator is about setting a proper voltage to deposit the ions. This voltage will ensure that all ions can be removed but most charged particles are not influenced.

4. Faraday Cup

Fig. 2 shows schematic diagram of the Faraday cup. This device is basically an open-ended Faraday cup with a filter to collect the charges. It consists of an external case, a filter holder, HEPA (high efficiency particulate air) filter, and BNC connector. To completely shield the filter collecting the charged particles, external case is made of a stainless steel, and filter is electrically isolated from the external case with Teflon stand. In the filter holder, the filter was placed on the top of a rigid stainless-steel net. The Faraday cup plays a role to prevent electric noise to measure very low current caused by charges, which are collected by an internal

filter. If the object of measurement is not shielded completely, noise which is 1000 times of resolutions to be expected. To transfer charges gathered at the filter to an electrometer that is outside the faraday cage, BNC connector is connected to filter holder. Because material of filter holder is conductor, charges collected in the filter can move to the electrometer through the low noise cable and BNC connector without delay. In the case of existing aerosol electrometer airflow is curved at 90 degrees while air is drifted from sampling probe to the filter. It can become the cause of charge loss. To solve this problem airflow into faraday cage is straightened in such a way that the change in direction of the flow and loss the charge do not occur. Thus, the signal current, I_p , of collected charges on the filter in the Faraday cup can be calculated by [14]

$$I_i = N_i e Q \tag{1}$$

where N_i is the total ion number concentration, e is the elementary unit of charge (1.6 × 10⁻¹⁹ C), and Q is the volumetric air flow rate into a Faraday cup. In the case of aerosol charge, the signal current equation, I_p , has to be rewritten as [16]:

$$I_p = n_p(d_p)N_p eQ (2)$$

where N_p is the total particle number concentration, and n_p is the mean charge level of aerosol particles as a function of particle diameter.

5. Electrometer Circuit

The schematic diagram of an electrometer circuit design for the system is shown in Fig. 3. This circuit is a simple current-to-voltage converter, where the voltage drop caused by a current flowing through a resistor is measured. The circuit adopted two cascaded negative feedback amplifiers. Extra component in this circuit is primarily for fine offset voltage adjustment and input/output protection. A 12V power supply capable of providing 100 mA is required. The feedback capacitor and RC low-pass filter were used to reduce high-frequency noise and to prevent oscillations of the amplifier output [16]. In order to avoid expensive construction, commercially-available low-cost monolithic operational amplifiers were used. The commercially-available operational amplifiers used in this circuit is the LMC662, which was designed for low current measurement and featured ultra-low input bias current (2 fA maximum) and low offset voltage drift (1.3 μ V/°C) [17]. The zero

offsets are temperature-dependent, and therefore the electrometers are temperature-stabilized to about 32°C, eliminating offset drift. This circuit gives an output voltage of 20 mV per 1 pA of input signal current. The electrometer circuit was calibrated with a current injection circuit, high-impedance current source [16]. It consists of an appropriately high standard resistor (10 G Ω) and an adjustable voltage source in the range between 0 – 5 V. The output current of this circuit can simply be calculated from the Ohm's law. The range of the output current is from 1 pA to 10 pA. It should be noted that the electrometer circuit input was operated at virtual ground potential during calibration and subsequent current measurement. The output voltage from the electrometer circuit was measured and recorded by a highly accurate digital voltmeter. The voltage reading was then translated into the current measurement as shown in Table 1. The ratio and standard deviation of measured current from this work and a commercial electrometer, Keithley model 6517A, with high-accuracy current source is shown in Fig. 4. It was found that the measured current ratio was found in the range of 1.00 – 1.40 corresponding to the standard deviation in the range of 1.018 – 1.048. As shown in Fig. 4, the measured current ratio and the standard deviation of this work was increased when input current smaller than 5 pA. Generally, the currents measured from this work were found to agree very well with those measured by the Keithley model 6517A. Very small difference (<5%) was obtained.

6. Data Acquisition and Processing System

The output signal from the electrometer circuit is in the range of 0 to +10V. It is then sent to the ADAM-4017 analog input module, which is a 16-bit, 8 channel analog input module, controlled and data sampled by an external personal computer via RS-485 to USB converter interface. Software running on an external computer was developed, based on Microsoft Visual Basic programming for all data processing. The software is able to display the ion current and number concentration with a time response of approximately 1 s.

PERFORMANCE EVALUATION

In the case of ion measurement, high number concentration of ions was generated by corona discharge with corona-needle charger, typically larger than 3×10^{12} ions/m 3 . An air sample was first dried with the dryer. Thus, any remaining water was removed. Dried air sample was filtered through a HEPA filter, and was then drawn into the charger. In the case of aerosol charge measurement, the schematic diagram of the experimental setup is shown in Fig. 5. It consists of a combustion aerosol generator (CAG), a dryer, a dilution chamber, a HEPA filter, and a vacuum pump. The CAG was used to generate polydisperse, carbonaceous diffusion flame

aerosols for this experiment [18]. The particle size distribution of polydisperse aerosols obtained by the electrical mobility spectrometer (EMS) was in the range between approximately 50 nm to 500 nm with particle number concentrations of approximately $10^{11} - 10^{12}$ particles/m³ [19]. Fig. 6 shows typical particle size distribution from the CAG with the geometric mean diameter of 208 nm and the geometric standard deviation of 1.084. During the measurement, the vacuum pump was switched on and the aerosol sample was sucked into the system using an isokinetic sampling system. The aerosol particles were first dried with the dryer. Before aerosol particles entering the system, the particles were diluted and mixed with clean air, which had been filtered through a HEPA filter, in the mixing chamber. The system was operated at aerosol flow rate in the range of 5.0 - 15.0 L/min. To reduce errors due to time variations in the aerosol concentrations, repeat measurements were commenced at least 5 min after the introduction of the aerosol into the measurement system.

Fig. 7 shows time variation of ion number concentration and signal current from the Faraday cup electrometer. The system was operated at charger voltage of 3.5 kV, ion trap voltage of 150 V, air flow rate of 10 L/min, and operating pressure of 1 atm. In the case of the charger and ion trap voltages were off, there was no ion. Measured signal current from Faraday cup was 0 pA. The number concentration of ions was calculated from measured signal current by the Equation 1. It was shown that ion number concentration was found to be about 1.6×10^{12} ions/m³, corresponding to measured signal current of about 47 pA when the charger voltage was on, and the ion trap voltage was off. On the other hand, when both charger and ion trap voltages were on, most ions were removed inside the ion trap. For the effect of air flow rate, variation of measured ion current from Faraday cup electrometer with air flow rates is shown in Fig. 8. Three different operating conditions of the aerosol flow rates were tested. Variation of flow rate was carried out by adjusting the outlet mass flow controller in the range between 5.0 - 15.0 L/min. Ion current was found to be in the range of approximately 22 - 68 pA, corresponding to the ion number concentration of about 1.5×10^{12} ions/m³. It was also shown that increasing the flow rate resulted in the increase in ion current. This may be attributed to the fact that the ion current was proportional to the air flow rate. At higher flow rates, ion current was relatively high.

In the case of aerosol charge measurement, Fig. 9 shows variation of measured particle current with aerosol flow rates. Signal current was measured to be in the range of about 75 - 225 pA, corresponding to the mean particle number concentration of approximately 9.5×10^{11} particles/m³. It was found that an increase in the aerosol flow rate resulted in an increase in measured signal current. This was because the signal current was approximately proportional to the aerosol flow rate. The larger aerosol flow rates led to more collected charged particles, giving rise to a larger induced current. In addition, high particle number concentration may lead to

large signal current due to that the fact that more particles had chances to be collected in this situation. Time variation of measured particle number concentration and signal current from the Faraday cup electrometer at aerosol flow rate of 10.0 L/min were also shown in Fig. 9.

ADVANTAGES AND LIMITATIONS

1. Advantages

- The system was simple, low cost, efficient and reliable to detect ion and aerosol charge. Overall dimensions and weight were such that it was easy to handle and move around.
- Rather than diffusion charging, the instrument employed unipolar corona discharge (diffusion and field) charging method.
- The system was capable of measuring both ion and aerosol charge. Collected aerosol particles in
 the filter can be also further analysis for physical and chemical properties e.g. electron microscopy,
 or mass spectrometry.

2. Limitations

- The detection limit is more pronounced for smaller particles because they carry less charge, and it is lower for slower sampling rates where the longer averaging time reduces the noise.
- The time response depends on two factors; the fluid time response and the electrical time response. For the fluid time response, simple improvement may be done by using high sample flow rate inside the system. For the electrical time response, sensitivity of the Faraday cup electrometer depends on the electrometer circuit sensitivity.
- Use of electrometer in the system limits the sensitivity of the instrument when detecting samples with low concentrations. This sensitivity was limited by signal to noise ratio.

CONCLUSIONS

The simple system for measuring ion and aerosol charge with a Faraday cup electrometer has been developed and evaluated in this paper. The detecting method was based on unipolar corona-needle charging and electrostatic detection of highly charges. The performance of the prototype aerosol electrometer circuit used in this work was evaluated and compared with a commercial electrometer, Keithley model 6517A, and good agreement was found from the comparison. Experimental evaluation of the system was also carried out by the

corona discharge charger and the combustion aerosol. Experimental testing results of ion and aerosol charge measurements obtained were very promising. It was demonstrated that the system can be used in detecting the number concentration of ion and aerosol charge of approximately 0 to 2×10^{12} per m³, corresponding to signal current of approximately 0 - 250 pA with a time resolution of less than 1 s.

ACKNOWLEDGMENT

This research was financially supported by the Thailand Research Fund (TRF), contract no. MRG5180217.

REFERENCES

- 1. W. C. Hinds, Aerosol Technology, John Wiley & Sons, New York, USA (1999).
- 2. P. Intra and N. Tippayawong, Mj. Int. J. Sci. Tech., 1, 120 (2007).
- 3. T. Johnson, S. Kaufman and A. Medved, 6th Int. ETH Conference Nanoparticle Measurement, Zurich, Switzerland, 19 21 August (2002).
- 4. J. Wei, *Development of a method for measuring surface area concentration of ultrafine particles*, D. Eng. Thesis, University of Duisburg-Essen, Germany (2007).
- 5. P. Intra and N. Tippayawong, J. Japan Soc. Applied Electromagnet. Mech., 17, s17 (2009).
- 6. M. Murtomaa, P. Pekkala, T. Kalliohaka and J. Paasi, J. Electrostat., 63, 571 (2005).
- 7. F.O. J-Fatokun, L. Morawska, M. Jamriska and E.R. Jayaratne, Atmos. Environ., 42, 8827 (2008).
- 8. L. Li, D.R. Chen and P.J. Tsai, J. Electrostat., 67, 765 (2009).
- 9. L. Li, D.R. Chen and P.J. Tsai, J. Nanopart. Res., 11, 111 (2009).
- TSI Incorporated, Instruction Manual for Electrical Aerosol Detector Model 3070A, Minnesota, USA (2002).
- 11. J.K. Agrawal and G.J. Sem, J. Aerosol Sci., 11, 343 (1980).
- TSI Incorporated, Instruction Manual for Condensation Particle Counter Model 3010, Minnesota, USA (2002).
- 13. P. Intra, CMU. J. Nat. Sci., 7, 257 (2008).
- 14. P. Intra and N. Tippayawong, Chiang Mai J. Sci., 36, 110 (2009).
- 15. P. Intra and N. Tippayawong, 7th PSU-Engineering Conference, Songkla, Thailand, 21 22 May (2009).
- 16. P. Intra and N. Tippayawong, CMU. J. Nat. Sci., 6, 313 (2007).

- 17. National Semiconductor Corporation, LMC662 CMOS Dual Operational Amplifier Data Sheet, (2003).
- 18. T.G. Cleary, G.W. Mulholland, L.K. Ives, R.A. Fletcher and J.W. Gentry, *Aerosol Sci. Tech.*, **16**, 166 (1992).
- 19. P. Intra and N. Tippayawong, Korean J. Chem. Eng., 26, 1770 (2009).

Table 1. Measured signal current from the electrometer circuit.

Input current	Minimum current	Maximum current	Average current	Standard deviation
(pA)	(pA)	(pA)	(pA)	
0	-0.136	0.500	0.174	1.031
1	0.801	1.392	1.133	1.048
2	1.626	1.923	1.756	1.026
3	2.304	2.699	2.455	1.030
4	3.324	3.608	3.453	1.018
5	4.600	5.180	4.852	1.039
6	5.584	5.870	5.748	1.027
7	6.587	6.874	6.723	1.026
8	7.523	7.769	7.648	1.024
9	8.411	8.625	8.523	1.018
10	9.655	9.909	9.786	1.027

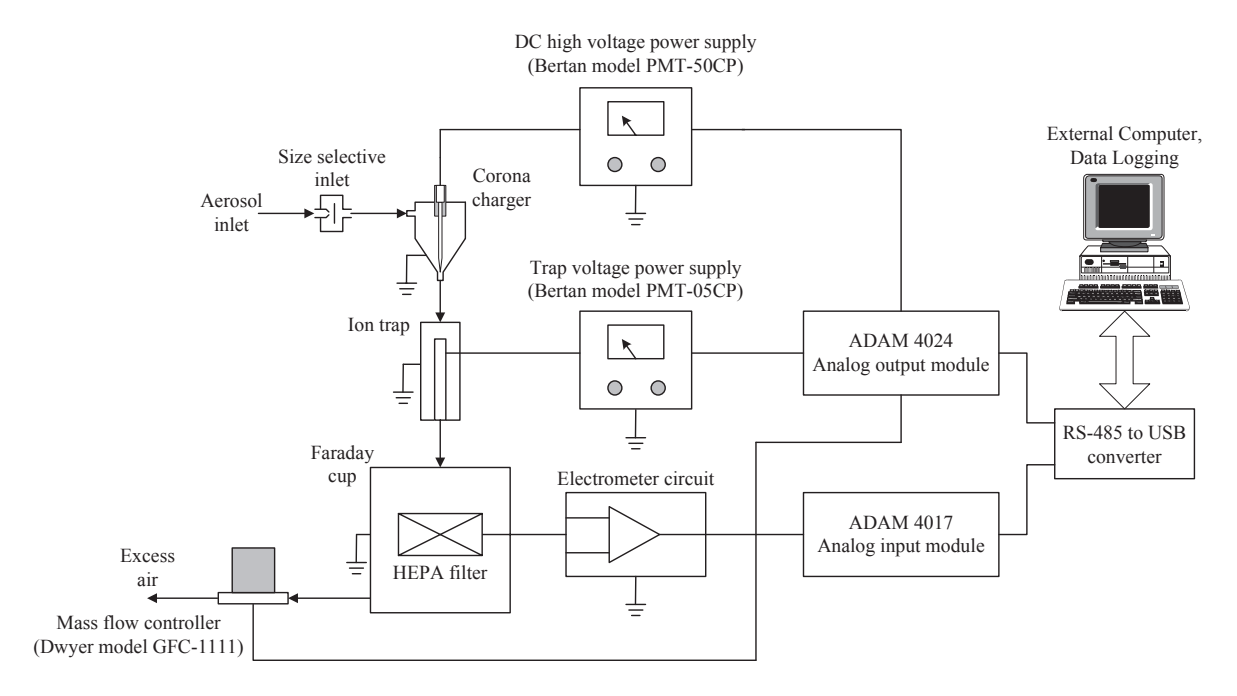


Fig. 1. Schematic diagram of the aerosol electrometer system.

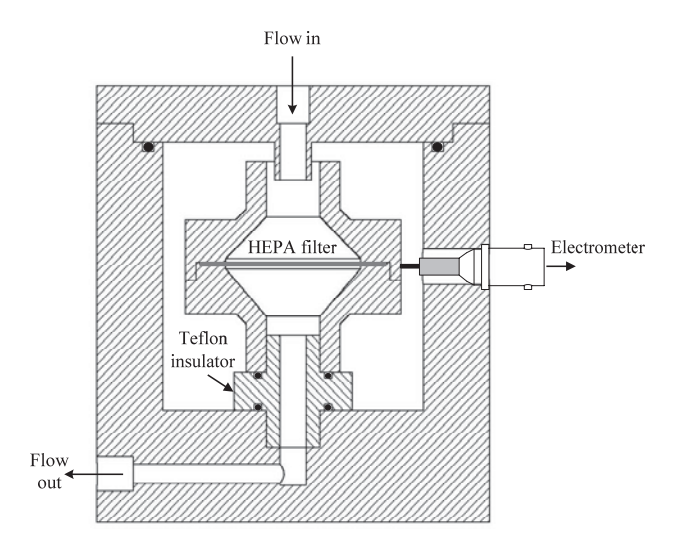


Fig. 2. Schematic diagram of the Faraday cup.

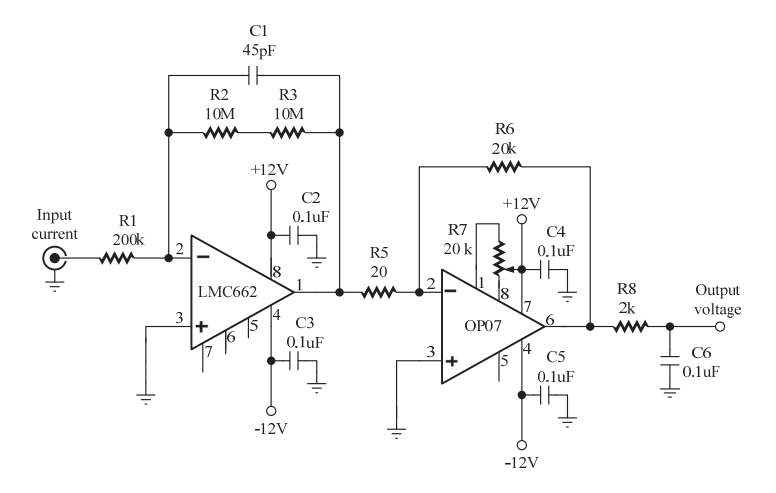


Fig. 3. Schematic diagram of the sensitive electrometer circuit.

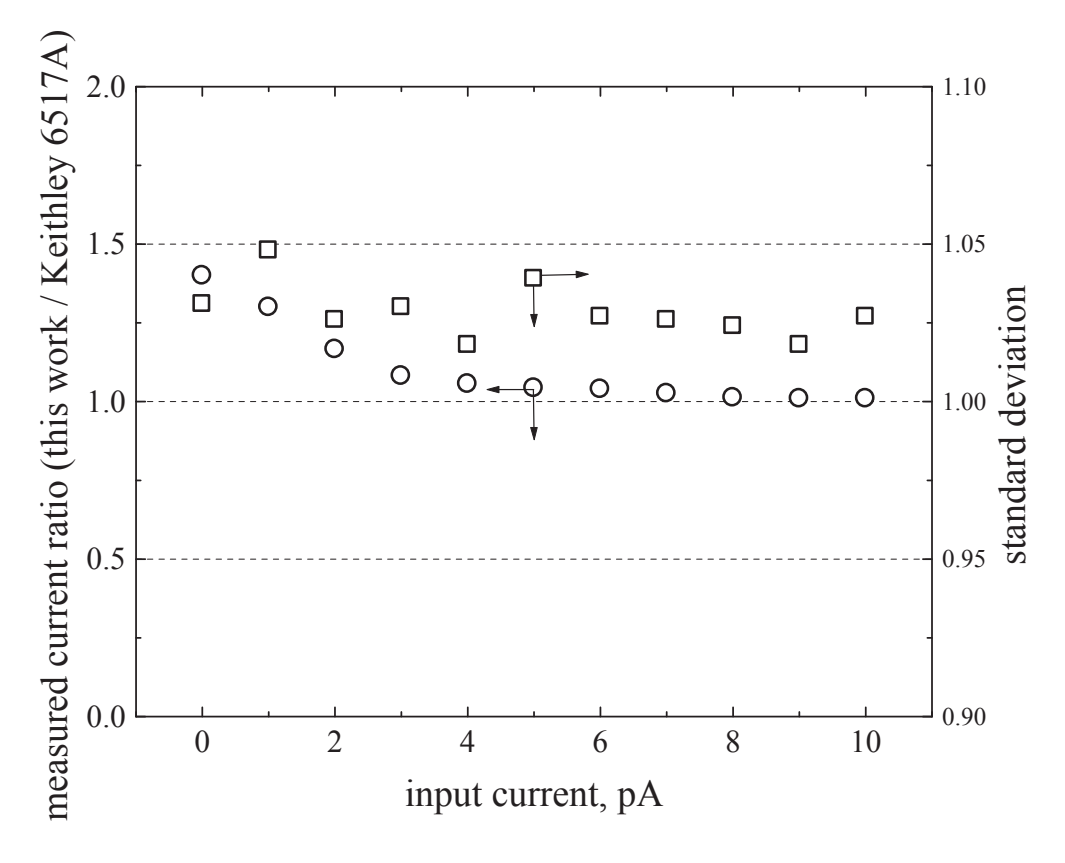


Fig. 4. Performance comparison between the prototype and commercial electrometer

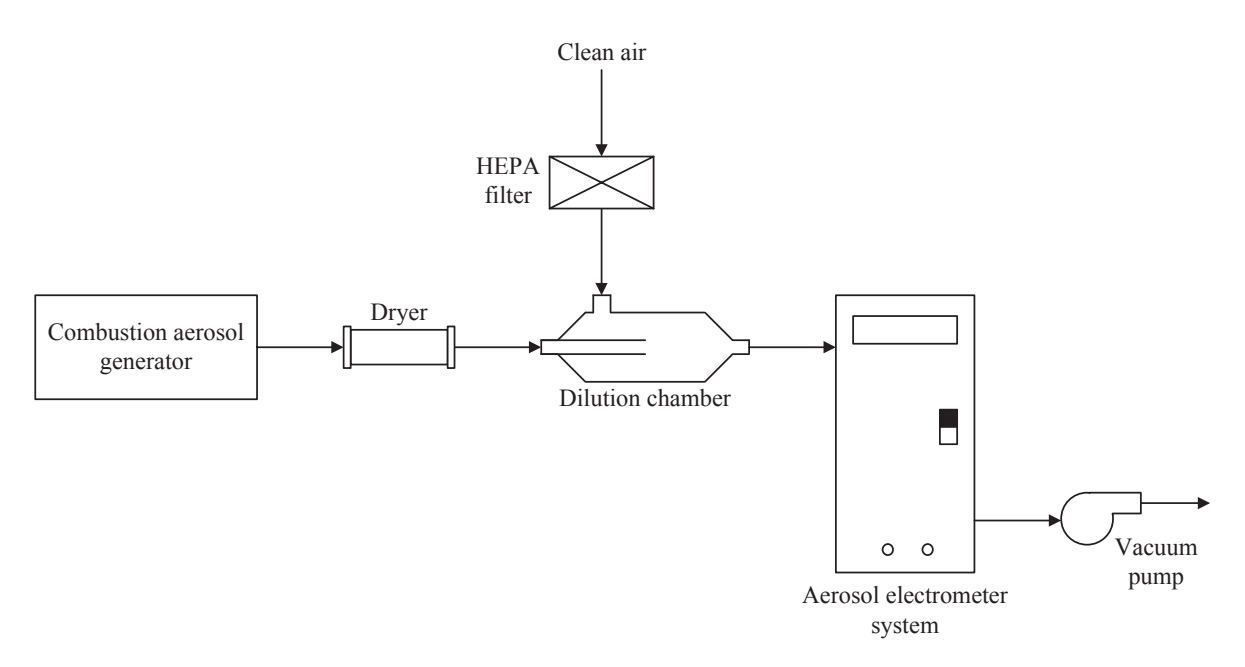


Fig. 5. Schematic diagram of the experimental setup for preliminary testing of the aerosol electrometer system.

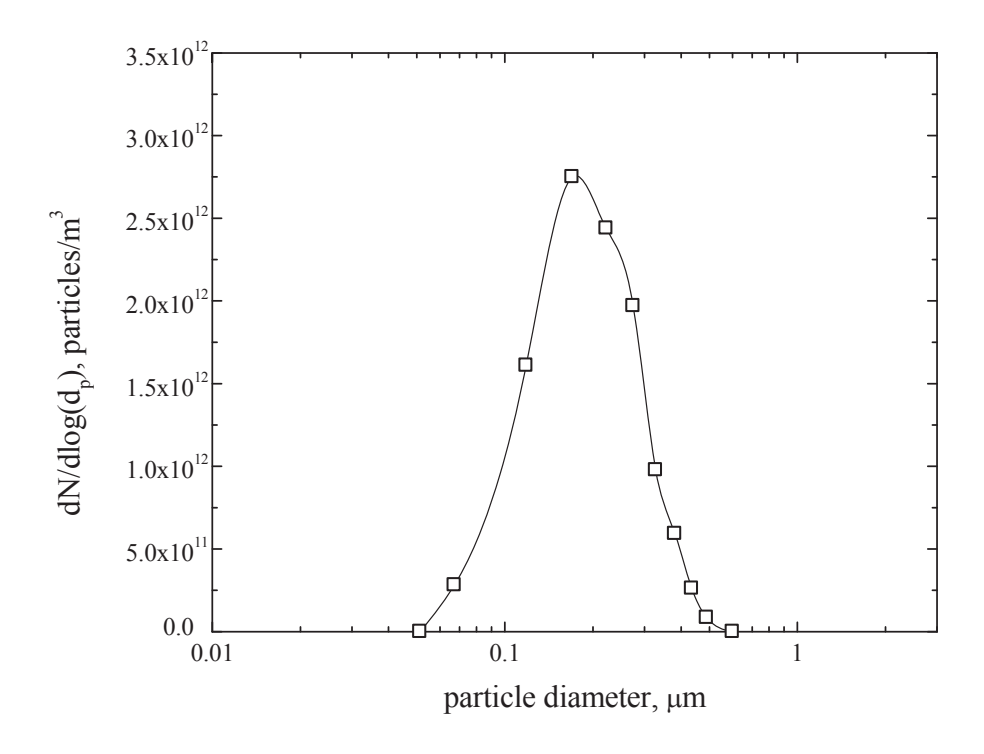


Fig. 6. Typical particle size distribution from the CAG.

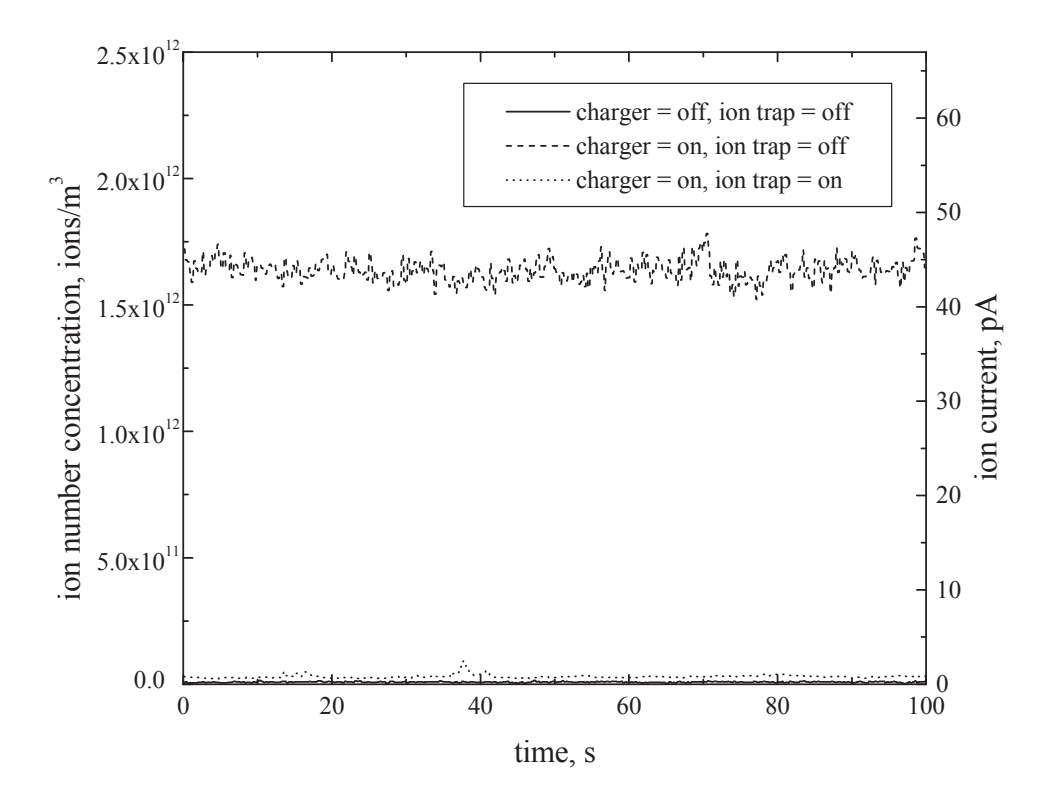


Fig. 7. Time variation of measured ion number concentration and signal current.

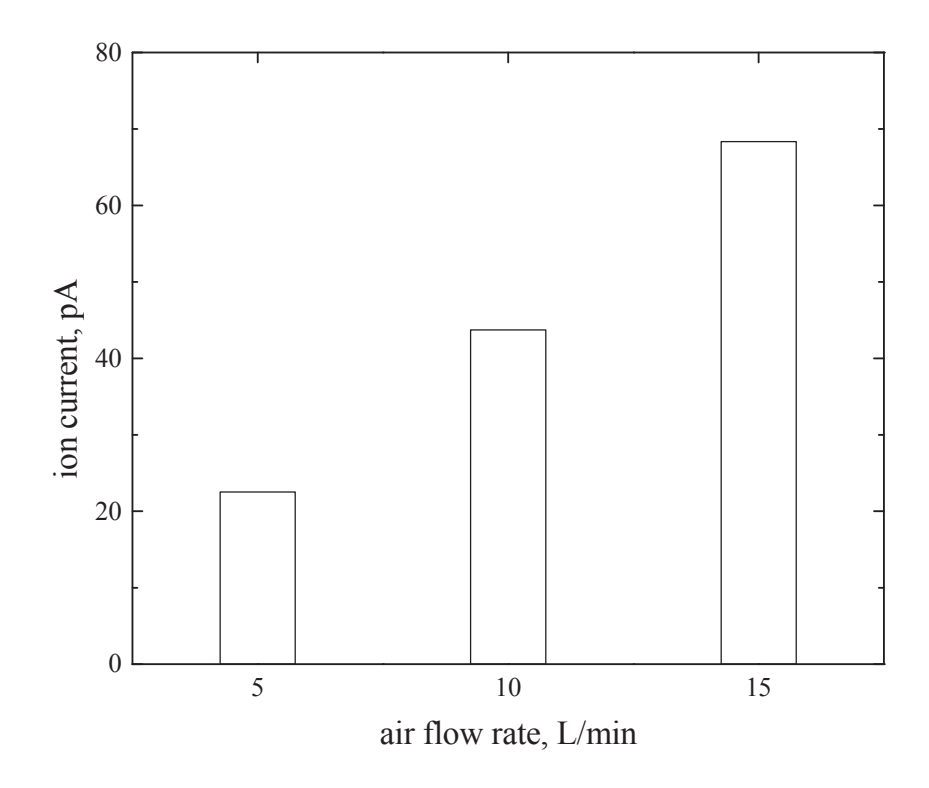


Fig. 8. Variation of measured ion current with air flow rates.

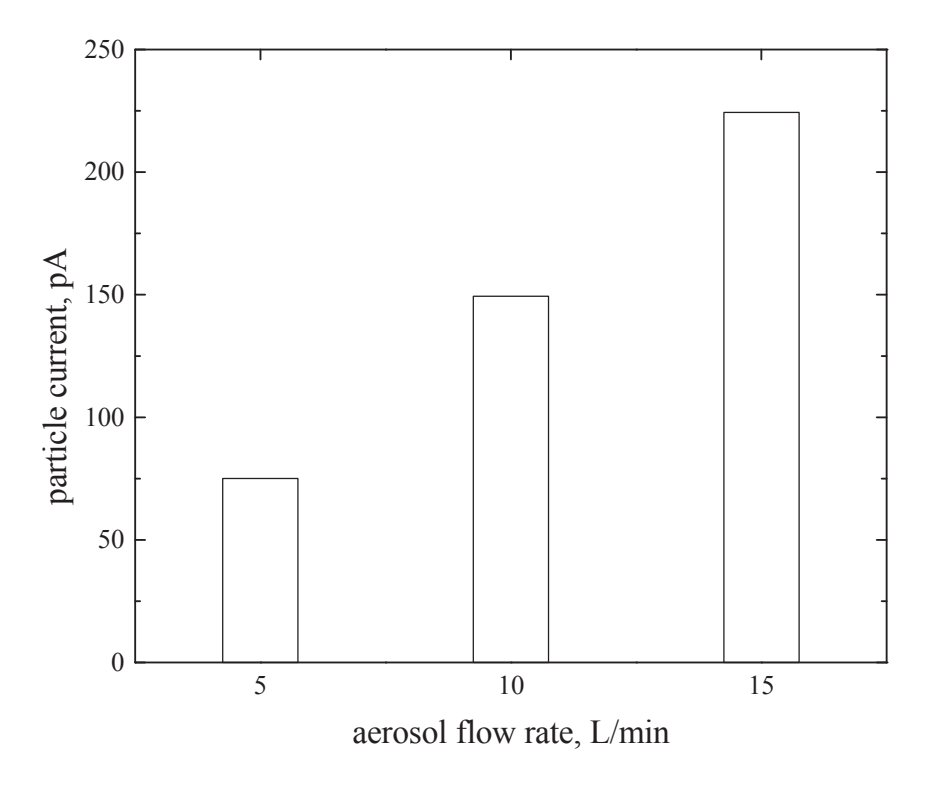


Fig. 9. Variation of measured particle current with aerosol flow rates.

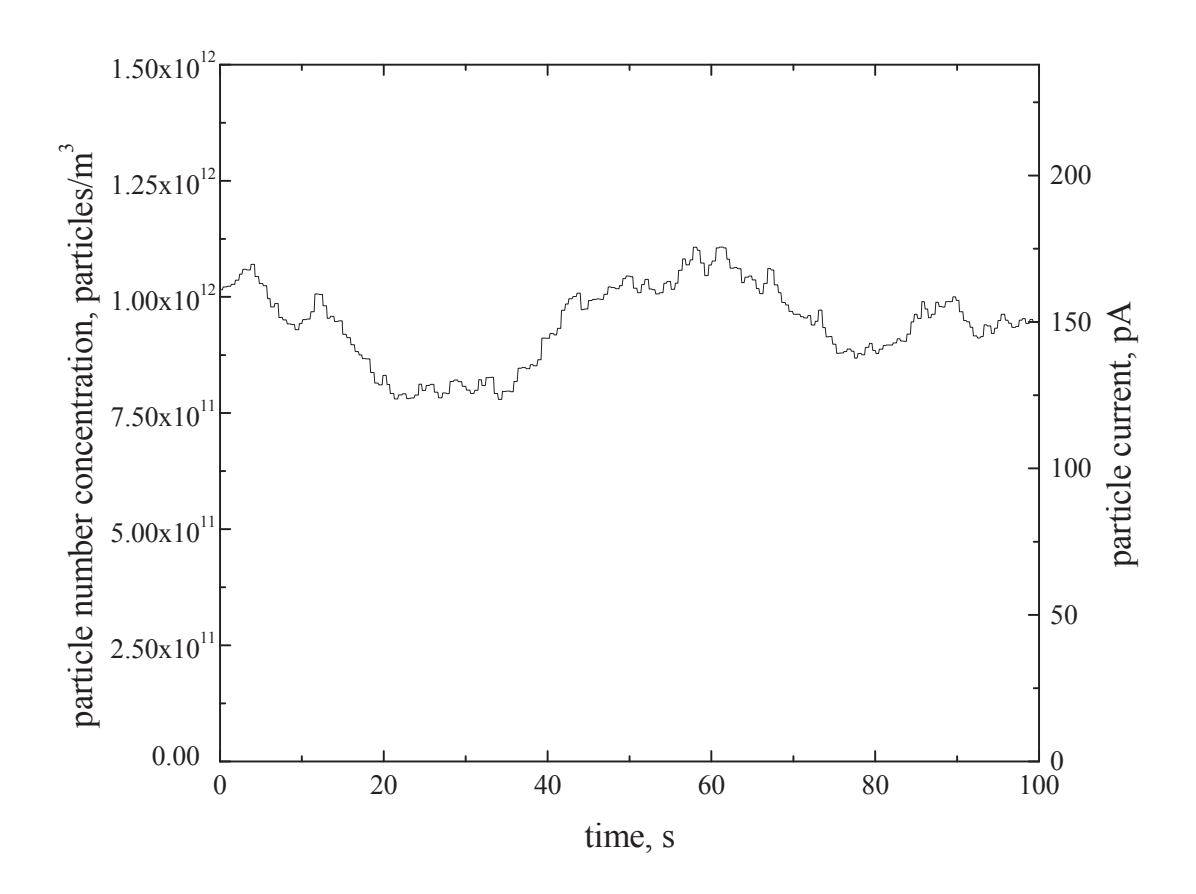


Fig. 10. Time variation of measured particle number concentration and signal current.

ภาคผนวก ข-7

Intra, P. and Tippayawong, N., "Use of electrostatic precipitation for excess ion trapping in an electrical aerosol analyzer", *Journal of Electrostatics*, submitted for publication.
มี impact factor = 1.240 (JCR ปี 2008)

Elsevier Editorial System(tm) for Journal of Electrostatics Manuscript Draft

Manuscript Number:

Title: Use of electrostatic precipitation for excess ion trapping in an electrical aerosol analyzer

Article Type: Full Length Article

Keywords: ion trap; electrostatic precipitator; electrical mobility; spectrometer

Corresponding Author: Dr. Panich Intra, Ph.D.

Corresponding Author's Institution: Rajamangala University of Technology Lanna

First Author: Panich Intra, Ph.D.

Order of Authors: Panich Intra, Ph.D.; Nakorn Tippayawong, Ph.D.

Abstract: In this paper, the ion precipitator for the electrical mobility spectrometer was designed, constructed, and analytical and experimental evaluated. It was found that higher applied wire electrode voltage caused ions to deposit closer to the entrance. Conversely, faster flow rate forced ions to impact the wall further downstream. Collection efficiency of the ion precipitator was found to increase to about 99% at the ion trap voltage larger than 100 V for all ion flow rates. The experimental data was compared against theoretical prediction. It was found that the experimental data were in a good agreement with the Deutsch-Anderson model.

Suggested Reviewers: Chin-Chieh Chen Institute of Occupational Medicine and Industrial Hygiene, College of Public Hea, National Taiwan University ccchen@ccms.ntu.edu.tw

Manuel Alonso National Center for Metallurgical Research (CSIC) malonso@cenim.csic.es



College of Integrated Science and Technology

Rajamangala University of Technology Lanna, Chiang Mai 50300 Tel. 0-5392-1444, Fax. 0-5321-3183

The Editor,

Journal of Electrostatics

31 March 2010

Dear the Editor

Enclosed are the typed original and the complete paper files of a manuscript by Panich Intra and Nakorn Tippayawong titled "Use of electrostatic precipitation for excess ion trapping in an electrical aerosol analyzer" which is being submitted for consideration and possible publication in the *Journal of Electrostatics*.

This manuscript is new, is not being considered elsewhere and reports the results of an ongoing research at our department. Any suggestion for improvement of the manuscript is welcomed.

Yours sincerely,

Dr. Panich Intra

Correspondence for manuscript, please contact:

Dr. Panich Intra

College of Integrated Science and Technology,

Rajamangala University of Technology Lanna,

Chiang Mai 50300, Thailand

Phone: 0-5392-1444, Fax: 0-5321-3183

e-mail: panich_intra@yahoo.com, panich.intra@hotmail.com

Use of electrostatic precipitation for excess ion trapping in an electrical aerosol analyzer

Panich Intra¹*, Nakorn Tippayawong²

¹College of Integrated Science and Technology, Rajamangala University of Technology Lanna, Chiang Mai 50300 Thailand

²Department of Mechanical Engineering, Faculty of Engineering, Chiang Mai University,
Chiang Mai 50200 Thailand

*Corresponding author, E-mail: panich_intra@yahoo.com

Abstract

Electrostatic precipitation technique is adopted to remove excess ions mixing with the charged particles prior to charged particle collection in an electrical mobility analyzer. In this paper, the ion precipitator for the electrical mobility spectrometer was designed, constructed, and evaluated. An analytical model was developed to investigate ion transport inside the ion precipitator in this study. Experimental investigations were carried out for positive ions, positively applied voltage at the wire electrode between 10 and 150 V, ion flow rate of 5 and 15 L/min, operating pressure of 1 atm and radial distance of the inlet between 0.15 and 14 mm at a fixed separation between wire and outer electrodes. It was found from the calculations that higher applied wire electrode voltage caused ions to deposit closer to the entrance. Conversely, faster flow rate forced ions to impact the wall further downstream. All charged particles of 10 nm in diameter can pass through the ion precipitator smoothly without precipitated at the outer electrode. Collection efficiency of the ion precipitator was found to increase to about 99% at the ion trap voltage larger than 100 V for all ion flow rates. The experimental data was compared against theoretical prediction. It was found that the experimental data were in a good agreement with the Deutsch-Anderson model.

Keywords: ion trap, electrostatic precipitator, electrical mobility, spectrometer

1. Introduction

Fine aerosols are generally referred to airborne particles of diameter in submicron or nanometer size range. Measurement and characterization of these particles is very important in understanding and controlling their dynamics. The most efficient and widely used technique suitable for measuring these submicron particles is essentially electrical mobility determination. Many electrical mobility determination instruments have been developed and used widely [1]. Charging is the basis of these instruments in which a known net charge distribution is imposed on to the particles. High ion concentrations are usually generated to ensure high charging efficiency. An aerosol charger is always positioned upstream of an electrical mobility analyzer, with an ion trap to remove excess ions. The aim of the ion trap for the electrical mobility analyzer was to remove the high electrical mobility of the excess free ions mixing with the charged particles prior to charged particle collection [2], as the free ions can potentially reach the detector and contaminate the signal current to be measured.

It is well known that electrostatic precipitators (ESP) are widely used for removing particles from gas streams in various industrial processes and room air-conditioning system [3 – 5]. Typically, it consists of a discharge electrode placed along the axis of the collecting electrode. A DC high electrical voltage is applied to the discharge electrode, while the collecting electrode is grounded. The high voltage produces an electric field and a flow of electric charges (ions) from discharge electrode to the collecting electrode. Dirty gas containing particulate pollutants is introduced into ESP. The particulates are bombarded by monopolar ions from the discharge electrode and are strongly charged; they are driven by electrostatic force toward the collecting electrode and are deposited in its inner surface. In this way the outgoing gas flow would become particle-free. Although ESPs are initially designed to precipitate particles, they are also suitable for depositing ions under certain conditions. This is because ions are, just like the charged particles, carrying charges. Therefore they can be precipitated with an electric field. The key in adopting an ESP into an ion precipitator lies in applying a proper voltage to the ESP such that only ions are precipitated while charged particles can pass through smoothly. There have been numerous studies and developments on the wire-cylinder-type ESP as the particle charger in a number of electrical mobility analyzers [6]. To our knowledge, the

issue of design and performance evaluation of the ion trap has not been extensively studied and reported in the literature [7-11].

In the present study, a simple and efficient electrostatic precipitator was developed as an ion trap for an electrical mobility spectrometer. Analytical investigation of the design was carried out to predict the ion trajectory inside the ion precipitator. Experimental evaluation of the ion precipitator performance was carried out for positive ions, positively applied voltage at the wire electrode between 10 to 150 V, total flow rate of 5 to 15 L/min, operating pressure of 1 atm and radial distance of the inlet between 0.15 to 14 mm at a fixed separation between wire and outer electrodes. A detailed description of the ion precipitator design was also presented in this paper.

2. Design of the Ion Precipitator

2.1 Description

A schematic diagram of the ion precipitator used in this study is shown in Fig. 1. It has a geometrical configuration similar to the unipolar corona-wire charger and the wire-cylinder ESP. It consists of a coaxial wire electrode placed along the axis of a metallic cylinder tube. The outer electrode is made of aluminum tube 28 mm in diameter and 15 mm in length. The wire electrode is made of stainless steel wire 300 μ m in diameter and 15 mm in length. DC voltage supply was applied to the wire electrode, typically in the range between 10-150 V, while the outer metallic electrode is grounded. The most important topic while operating the ion precipitator is setting a proper voltage to deposit the ions. This voltage will ensure that all ions can be removed but most charged particles are not influenced.

2.2 Ions transport

The transportation of ions and charged particles inside the electrostatic precipitator and the differential mobility analyzer have been studied and presented in the published literature [11 - 15]. As shown in Fig. 2, the axial motion of ion was influenced by the fluid velocity profile in the axial flow. The radial motion of ion is due to electric force which is by far greater than other forces. When the ions introduced into the ion precipitator, any ions under the influence of an electric field will have an

electrical mobility. It is assumed that the flow and electric fields are axisymmetric and steady, the flow in the precipitator is laminar, fully developed and incompressible, the space charge effect is negligible, and Brownian diffusion effects are negligible. For the particular case of annular geometries where the ions enters the precipitator on an axial flow and the ions migrate along the radial direction of electric field, motion of the ions within the precipitator can be described by the system of differential equations as [12]

$$\frac{\mathrm{d}r}{\mathrm{d}t} = u_r + Z_i E_r \tag{1}$$

$$\frac{\mathrm{d}z}{\mathrm{d}t} = u_z + Z_i E_z \tag{2}$$

where r and z are the radial and axial dimensions of the classifier, u_r and u_z are the radial and axial components of the air flow velocity. Similarly, E_r and E_z are the radial and axial components of the electric field and Z_l is the electrical mobility of ions, which is a complicated function of the gas density, electric field strength, and the constituent species of the gas. Based on the work of Reischl et al. [17], the average value for the positive ion electrical mobility at atmospheric pressure was $Z_l = 1.425 \times 10^{-4} \text{ m}^2/\text{V}$ s. Typically, ions and charged particles have quite different electrical mobility in magnitude, electrical mobility of ions is in general much higher than that of particles. When a uniform electric field is established between the two electrodes of the precipitator, the electric field components are given by the following relations: $E_r = V/r \ln(r_2/r_1)$ and $E_z \approx 0$ where r_l and r_2 are the radii of the wire and outer electrodes, respectively. Assuming that the radial velocity component for a laminar annular flow is zero ($u_r = 0$) and combining the above equations, the ions trajectories can be described by

$$\frac{\mathrm{d}r}{\mathrm{d}t} = \frac{Z_i V}{r \ln(r_2/r_1)} \tag{3}$$

$$\frac{\mathrm{d}z}{\mathrm{d}t} = u_z(r) \tag{4}$$

Using Equations (3) and (4), the trajectory of the ions is given by

$$\frac{\mathrm{d}r}{\mathrm{d}z} = \frac{Z_i V}{r u_z(r) \ln(r_z/r_1)} \tag{5}$$

where:

$$u_z(r) = ar^2 + b\ln(r) + c,$$
 (6)

$$a = \frac{1}{4\mu} \frac{\mathrm{d}p}{\mathrm{d}z},\tag{7}$$

$$b = -\frac{1}{4\mu} \frac{\mathrm{d}p}{\mathrm{d}z} \left(\frac{r_2^2 - r_1^2}{\ln(r_2/r_1)} \right),\tag{8}$$

$$c = \frac{1}{4\mu} \frac{\mathrm{d}p}{\mathrm{d}z} \left(\frac{r_2^2 - r_1^2}{\ln(r_2/r_1)} \ln(r_1) - r_1^2 \right),\tag{9}$$

dp/dz denotes the constant pressure gradient is given by the following equations

$$\frac{\mathrm{d}p}{\mathrm{d}z} = -\frac{\rho \overline{U}^2 f}{2D_h} \tag{10}$$

where:

$$D_h = 2r_2 \left(1 - \left(r_1 / r_2 \right) \right), \tag{11}$$

$$f = \frac{64}{\text{Re}} \left(\frac{1 + (r_1/r_2)^2}{\left(1 - (r_1/r_2)\right)^2} + \frac{1 + (r_1/r_2)}{\left(1 - (r_1/r_2)\right) \ln(r_1/r_2)} \right)^{-1},$$
(12)

$$Re = \frac{2r_2\left(1 - \left(r_1/r_2\right)\right)\overline{U}\rho}{\mu},\tag{13}$$

 D_h is the hydraulic diameter for an annular flow area, f is the friction factor, \overline{U} is the mean axial flow velocity, ρ is the gas density and Re is the Reynolds number in the annular flow. Substituting Equation (6) into Equation (5) and Integrating Equation (5), the migration paths of the ions can be determined as

$$\int_{r_{in}}^{r_2} ar^3 + b \ln(r^2) + cr dr = \int_0^z \frac{VZ_i dz}{\ln(r_2/r_1)}$$
(14)

where r_{in} is the radial position at which the ions enters the precipitator. Therefore, the ions entering the precipitator at a radial position of r_{in} has trajectory taking it to an axial position of z, which can be obtained as

$$z = -\frac{g(r_{in})\ln\left(r_2/r_1\right)}{4VZ_i} \tag{15}$$

$$g(r_{in}) = \begin{pmatrix} ar_2^4 - ar_{in}^4 + br_{in}^2 - br_2^2 + 2br_2^2 \ln(r_2) \\ -2br_{in}^2 \ln(r_{in}) + 2cr_2^2 - 2cr_{in}^2 \end{pmatrix}$$
(16)

2.3 Ion trapping efficiency

Removal or trapping efficiency is defined as the ratio of the difference between inlet and outlet concentrations to the inlet concentration. Assuming uniform ion distribution across the cylindrical tube, the ion removal efficiency of the precipitator, η , can be estimated by Deutsch-Anderson equation as [18]

$$\eta = 1 - \exp\left(-\frac{2\pi r_2 L Z_i E}{Q_i}\right) \tag{17}$$

where L is the length of the outer electrode of the precipitator, and Q_i is the ion flow rate. Therefore, the number concentration of ions, N_i , at the outlet of the precipitator is given by

$$N_i = N_0 - N_0 \eta \tag{18}$$

where N_0 is the number concentration of ions at the inlet of the precipitator

3. Experimental Setup

The schematic diagram of the experimental system for performance evaluation of ion precipitator is shown in Fig. 3. It consists of an ion generator, a DC high voltage power supply, a Faraday cup, an electrometer, and a flow system. In this study, high number concentration of ions was generated by corona discharge with the corona-needle generator [19], typically larger than 3 × 10¹² ions/m³. In our experiments, the ion precipitator is connected directly to the ion generator outlet via a very short connecting pipe. The air flow was regulated and controlled by means of a mass flow meter and controller (a Dwyer model GFC-1111) with a vacuum pump, typically in the range between 5.0 – 15.0 L/min. A commercial adjustable DC high voltage power supply, a Bertan model PMT-50CP, was used to maintain the positive corona voltages difference in the charger, generally 3.5 kV. An air sample was first dried with the dryer. Thus, any remaining water was removed. Dried air sample was filtered through a high efficiency particulate-free air (HEPA) filter (Pall HEPA capsule model 12144

with filtration efficiency of 99.97 % and retention of 0.3 μ m for air/gas), and was then drawn into the charger. The ions produced inside the charger are then entered the ion precipitator. A commercial adjustable DC high voltage power supply, a Bertan model PMT-05CP, was used to maintain the positive trap voltages difference in the precipitator, generally in the range between 10-150 V. After the precipitator, ions were then entered the Faraday cup. In the Faraday cup, the ions were removed from the air stream by the filter and the resulting ion current flow was measured with the Keithley 6517A electrometer. It should be noted that the ion current was measured by the electrometer corresponding to the ion number concentration at the charger outlet. The ion current measurements were translated into ion number concentrations given the total air flow rate through the charger. Thus, the total number concentration of the ion at the charger outlet, N_i , can be calculated from the expression [20]

$$N_i = \frac{I_i}{eQ_i} \tag{19}$$

where I_i is the ion current at the charger outlet, and e is the elementary charge (1.6 × 10⁻¹⁹ C).

4. Results and Discussion

4.1 Ions transport

An analytical model was developed to investigate the ions transport inside the ion precipitator to give a better understanding on the operation of the ion precipitator. Calculations have been performed for positive ions and charged particles. These calculations were carried out at varying positively applied voltage at the wire electrode between 10 and 150 V, total air flow rate between 5 and 15 L/min, and the radial distance of the inlet between 0.15 to 14 mm at a fixed radial of wire and outer electrodes ($r_I = 0.15$ mm and $r_2 = 14$ mm). The parameters and operating conditions used are shown in Table 1. Air density and viscosity were 1.225 kg/m³ and 1.7894 × 10⁻⁵ kg/m/s, respectively. Operating temperature and pressure were 294 K and 1 atm, respectively. In this study, the flow conditions inside the ion precipitator were assumed to be steady, incompressible and laminar. The electric field distribution inside the ion precipitator was also assumed to be uniform in the axial direction. The ion and particle trajectories were calculated using Equations (15) and (16) with

Microsoft Visual Basic programming. In our previous work [21], comparison of ion trajectories along the precipitator between the existing models and the present model was introduced. Intra and Tippayawong [21] reported that the ion trajectory of the present model agreed very well with that proposed by Hagwood et al. [13] and Williams [14]. However, large difference between this model and the models developed by Kulon et al. [15] and Wei [11] was also observed. This may be due to the fact that Kulon and Wei models did not take into account the constant pressure gradient effect on the annular flow velocity profile which could result in significant errors.

Fig. 4 shows a number of trajectories of the positively ions as a function of wire electrode voltage. The ions were deflected radially toward the inner surface of the outer electrode of the precipitator. It was found that higher applied wire electrode voltage caused ions to deposit closer to the entrance. This was expected because the motion of ions was mainly influenced by the applied electrical force. Increase in applied voltage resulted in the increase of the ions collecting efficiency. It was clear that the optimal wire electrode voltage was about 100 V. After the optimal wire electrode voltage was found, the optimal total flow rate through the precipitator was determined. Fig. 5 shows variation of ion trajectories along the precipitator with total flow rate. It was shown that faster flow rate forced ions to impact the wall further downstream.

It is still necessary to prove that the chosen voltage has barely minimum influence on the charged particles. This can be easily done by calculating particle trajectories with the ion precipitator at the identical voltage. In the calculations, particle governing equations are identical to ion governing Equation (15) with the only exception of the ion electrical mobility Z_i in the Equation (15), which should be replaced by particle electrical mobility Z_p . The electrical mobility of particle can be calculated as [17]:

$$Z_p = \frac{n_p e C_c}{3\pi\mu d_p} \tag{20}$$

where n_p is the net number of elementary charges on the particle, e is the value of elementary charge on an electron, C_c is the Cunningham slip correction factor, μ is the gas viscosity, and d_p is the particle diameter. When an extreme case in which a particle diameter of 10 nm (the lower limit of particle size in the electrical mobility spectrometer) is singly charged was considered, the particle tended to have the largest electrical mobility. Fig. 6 illustrates the charged particle trajectories within the ion precipitator, starting from different initial locations. It was shown that all charged particles can pass through the ion precipitator smoothly without deposition onto the outer electrode.

4.2 Ion trapping

Fig. 7 shows time variation of ion number concentration and signal current of the precipitator outlet at different operating ion flow rate and trap voltage. Number concentration of ions was calculated from the measured ion current by Equation (19). Measured current of ions at the precipitator outlet was found to be from 0 to 100 pA, corresponding to the ion number concentration of 0 to 2.5×10^{12} ions/m³. It can be seen that increasing the trap voltage resulted in the decrease of ion number concentration and signal current at the precipitator outlet. At higher ion flow rates, the ion number concentration and signal current were relatively high. Variation of outlet ion number concentration with ion trap voltage at different operating ion flow rate is shown in Fig. 8. It was shown that low ion flow rate and high trap voltage resulted in a decrease in the number concentration of ions at the precipitator outlet. The ion number concentration at the precipitator outlet decreased to about 0 at the ion trap voltage greater than 150 V for all ion flow rates considered.

Fig. 9 shows variation of collection efficiency of the precipitator as a function of ion trap voltage at different operating ion flow rate. Generally, an increase in ion trap voltage produced an increase in ion collection efficiency of the precipitator. For all ion flow rates, the collection efficiency of the precipitator increased to about 99% at the ion trap voltage larger than 100 V. As shown in Figs. 8 and 9, the experimental data of the ion precipitator was also compared with theoretical prediction of the Deutsch-Anderson model. It was observed that the experimental data was in good agreement with the model. However, the Deutsch-Anderson model underestimated or overestimated the collection efficiency of the precipitator at the trap voltage lower than 100 V. This was attributable to the fact that the model did not take into account the effect of turbulence mixing by electric wind and ion turbulent diffusion, leading to significant error [22].

Measured particle number concentration and signal current with and without the ion trap voltage of the precipitator is shown in Fig. 10. In this study, a combustion aerosol generator (CAG)

was used to generate a polydisperse aerosol for this experiment. The particle size distribution from the CAG was in the range between approximately 10 nm to 400 nm [23]. Aerosol sampling was carried out using an isokinetic sampling system. The aerosol particles were first dried with the diffusion drier. Thus, any remaining water was removed. Due to the high particle concentration in the particle stream flow rate of the exhaust, before aerosol particles entering the ion generator, the particles were diluted and mixed with clean air, which had been filtered through a HEPA filter, in the mixing chamber. The aerosol particles were charged by corona discharge in the ion generator. This experimental system was operated at aerosol flow rate of 10 L/min and ion trap voltage of 150 V. It was found that the average number concentrations of particles with and without the ion trap voltage of the precipitator were 5.57×10^{13} particles/m³ and 7.87×10^{13} particles/m³, respectively, corresponding to the measured signal currents of 149.45 pA and 211.27 pA, respectively. When the ion trap voltage was off, ions entered the Faraday cup and was measured together with the charged particles. On the other hands, when the ion trap voltage was on, most ions were removed. Hence, only charged particles can pass through the precipitator. Thus, the measured signal current was only derived from charged particles.

5. Conclusion

A wire-cylinder ion precipitator for the electrical mobility spectrometer was designed, constructed, and investigated in this paper. An analytical model was developed to investigate the ions transport inside the ion precipitator. The experimental study was carried out for positive ions, positively applied voltage at the wire electrode between 10 and 150 V, total flow rate of 5 and 15 L/min, operating pressure of 1 atm and radial distance of the inlet between 0.15 and 14 mm at a fixed radial of wire and outer electrodes. It was found that higher applied wire electrode voltage caused ions to deposit closer to the entrance. Conversely, faster flow rate forced ions to impact the wall further downstream. All charged particles of 10 nm in diameter can pass through the ion precipitator smoothly without precipitated at the outer electrode was found at the ion flow rate of 5 L/min and the trap voltage of 100 V. An increase in ion trap voltage produced an increase in ion collection efficiency of the precipitator. For all ion flow rate, the collection efficiency of the precipitator increased to about 99% at the ion trap voltage larger than 100 V. Experimental data was found to be in good agreement

with the analytical model. The precipitator proved to be particularly useful in removing excess ions in the electrical mobility analyzer.

Acknowledgments

This research was financially supported by the Thailand Research Fund (TRF), contract no. MRG5180217.

References

- [1] P. Intra and N. Tippayawong, An overview of aerosol particle sensors for size distribution measurement. *Maejo International Journal of Science and Technology* 1 (2007) 120-136.
- [2] P. Intra and N. Tippayawong, An electrostatic sensor for nanometer-sized aerosol particles detection. *Journal of the Japan Society of Applied Electromagnetics and Mechanics* 17 (2009) s17 – s20.
- [3] H.J. White, "Industrial Electrostatic Precipitation", Addison-Wesley, Reading, Massachusetts, USA, 1963.
- [4] K.R. Parker, "Applied Electrostatic Precipitation", Blackie Academic & Professional, New York, USA, 1997.
- [5] A. Joworek, A. Krupa and T. Czech, Modern electrostatic devices and methods for exhaust gas cleaning: A brief review. *Journal of Electrostatic* 65 (2007) 133 155.
- [6] P. Intra and N. Tippayawong, Progress in unipolar corona discharger designs for airborne particle charging: A literature review. *Journal of Electrostatics* 67 (2009) 605 615.
- [7] J. Keskinen, K. Pietarinen and M. Lehtimaki, Electrical low pressure impactor. *Journal of Aerosol Science* 23 (1992) 353-360.
- [8] A. Medved, F. Dorman, S. L. Kaufman and A. Pocher, A new corona-based charger for aerosol particles. *Journal of Aerosol Science* 31 (2000) s616 s617.
- [9] TSI Incorporated, "Operation and Service Manual, Revision B, for Electrical Aerosol Detector™ Spectrometer Model 3070", Minnesota, USA, 2004.
- [10] D. Park, M. An and J. Hwang, Development and performance test of a unipolar diffusion charger

- for real-time measurements of submicron aerosol particles having a log-normal size distribution. *Journal of Aerosol Science* 38 (2007) 420 430.
- [11] J. Wei, "Development of a Method for Measuring Surface Area Concentration of Ultrafine Particles", D.Eng. Thesis, University of Duisburg-Essen, Germany, 2007.
- [12] E.O. Knutson, and K.T. Whitby, Aerosol classification by electric mobility: apparatus, theory, and applications. *Journal of Aerosol Science* 6 (1975) 443-451.
- [13] C. Hagwood, Y. Sivathanu and G. Mulholland, The DMA transfer function with Brownian motion a trajectory/Monte-Carlo approach. *Aerosol Science and Technology* 30 (1999) 40-61.
- [14] P.I. Williams, "Construction and Validation of a DMPS for Aerosol Characterization", Ph.D. Thesis, University of Manchester, UK, 1999.
- [15] J. Kulon, S. Hrabar, W. Machowski and W. Balachandran, A bipolar charge measurement system for aerosol characterization. *IEEE Transactions on Industry Applications* 37 (2001) 472-479.
- [16] G.P. Reischl, J.M. Makela, R. Harch and J. Necid, Bipolar charging of ultrafine particles in the size range below 10 nm. *Journal of Aerosol Science* 27 (1996) 931 949.
- [17] P. Intra and N. Tippayawong, Analytical investigation of aerosol transport under electric field, $\Box ST \Box A \ Annual \ \Box onference$, Bangkok, Thailand, March 27 30, 2005. (in Thai)
- [18] W.C. Hinds, "Aerosol Technology", John Wiley & Sons, New York, USA, 1999.
- [19] P. Intra and N. Tippayawong, Effect of needle cone angle and air flow rate on electrostatic discharge characteristics of a corona-needle ionizer. *Journal of Electrostatics* (2010), in press, 10.1016/j.elstat.2010.01.008.
- [20] P. Intra and N. Tippayawong, Measurements of ion current from a corona-needle charger using a Faraday cup electrometer. □*hiang Mai Journal of Science* 36(1) (2009) 110 119.
- [21] P. Intra and N. Tippayawong, Analytical investigation of an electrostatic precipitator for excess ions removal after charging process of the electrical mobility spectrometer, \Box^{th} $\Box S \Box$ Engineering \Box onference, Songkla, Thailand, May 21 22, 2009.
- [22] S.H. Kim and K.W. Lee, Experimental study of electrostatic precipitator performance and comparison with existing theoretical prediction models. *Journal of Electrostatics* 48 (1999) 3 25.
- [23] A. Yawootti, P. Intra and N. Tippayawong, A combustion aerosol generator for submicron

aerosol production. \Box^{rd} *Technology and Inno* Lation for Sustaina $\Box e \Box e \Box e lopment \Box on ference$, Nong Khai, Thailand, March 4-6, 2010.

Table 1 Model parameter and operating condition values

Parameter and operating conditions	Values
Diameter of wire electrode, r_{\square} (mm)	0.15
Diameter of outer electrode, $r_{\square}(\text{mm})$	14
Length of precipitator, □(mm)	15
Wire electrode voltage, $\Box(V)$	10, 50, 100, 150
Total flow rate, (L/min)	5, 10, 15
Nature of flow	Laminar
Operating temperature, $T(K)$	294
Operating pressure, \Box (atm)	1
Gas density, (kg/m³)	1.225
Gas viscosity, μ (kg/m/s)	1.7894×10^{-5}
Polarity of ions	Positive
Electrical mobility of ion, \Box (m ² /V/s)	1.425×10^{-4}
Particle diameter, d_p (nm)	10

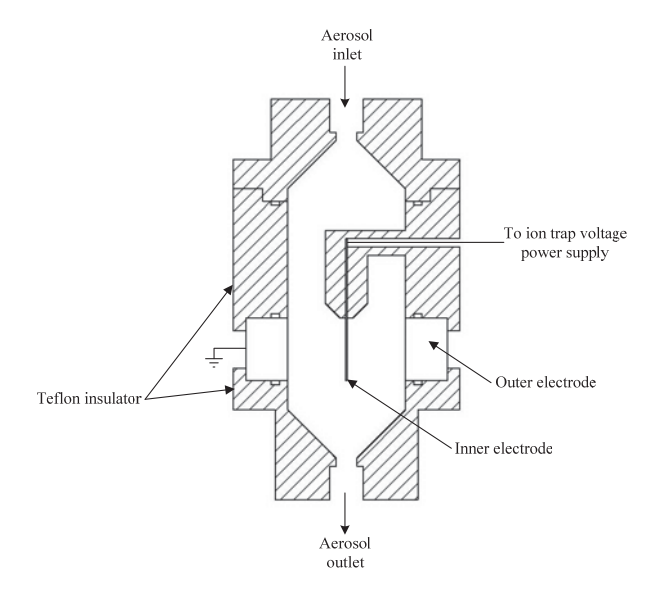


Fig. 1 Schematic diagram of the ion precipitator

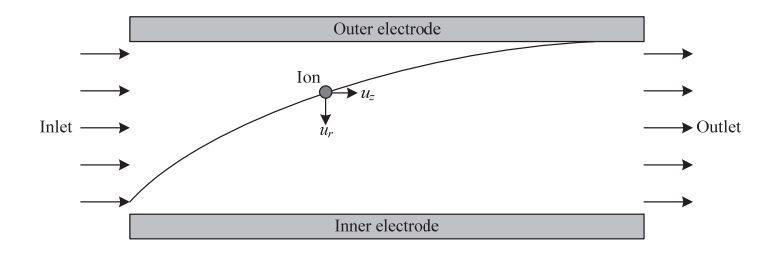


Fig. 2 ion transport in the precipitator

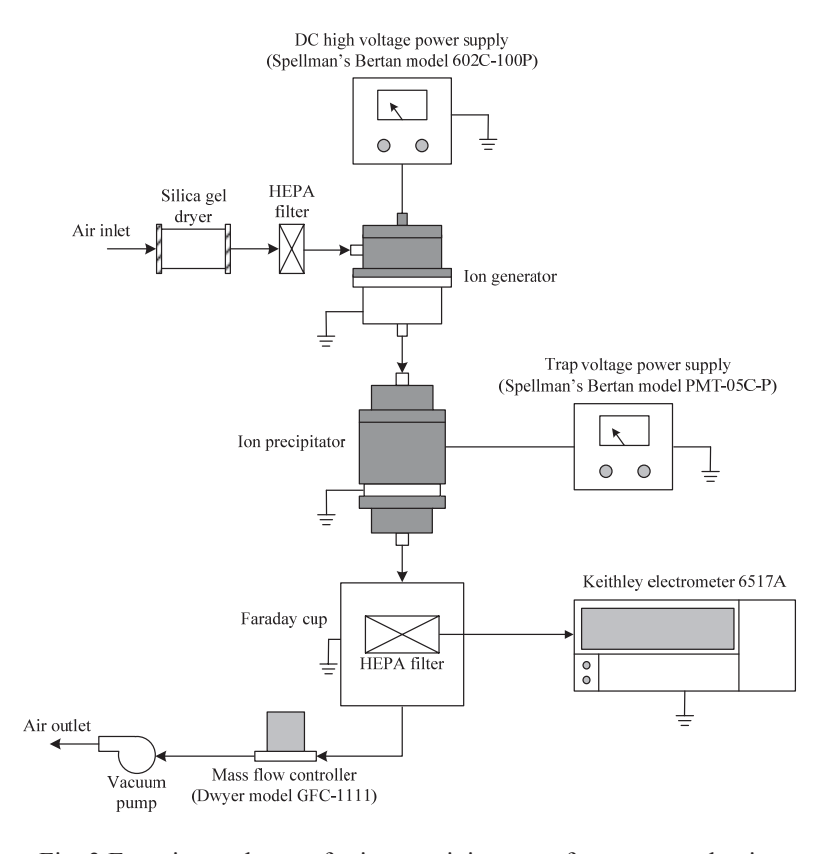


Fig. 3 Experimental setup for ion precipitator performance evaluation

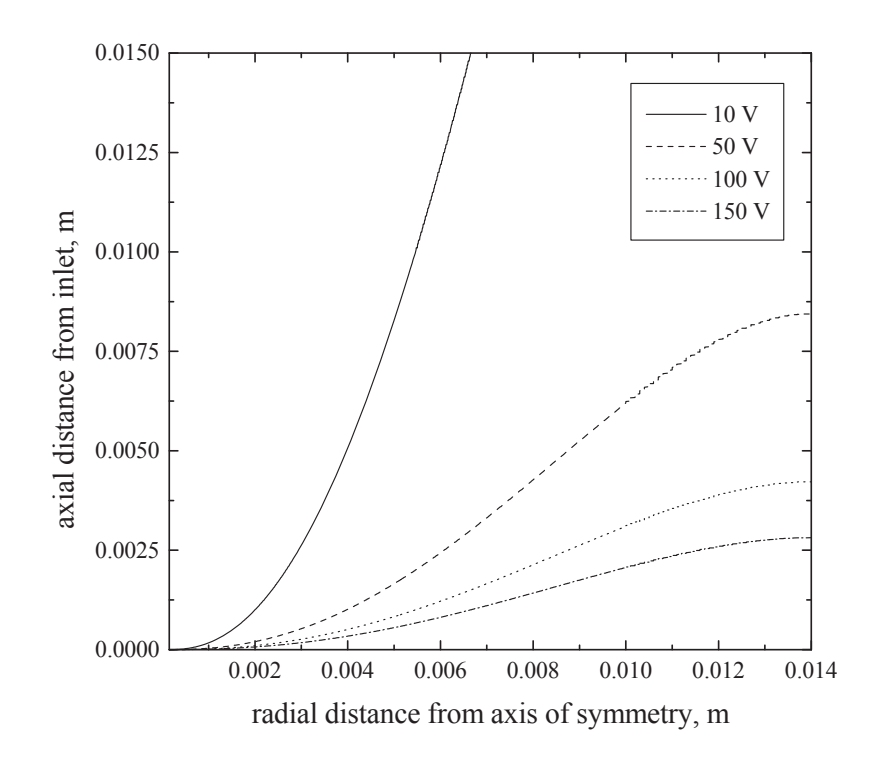


Fig. 4 Variation of ion trajectories along the precipitator with wire electrode voltage (5 L/min total flow rate)

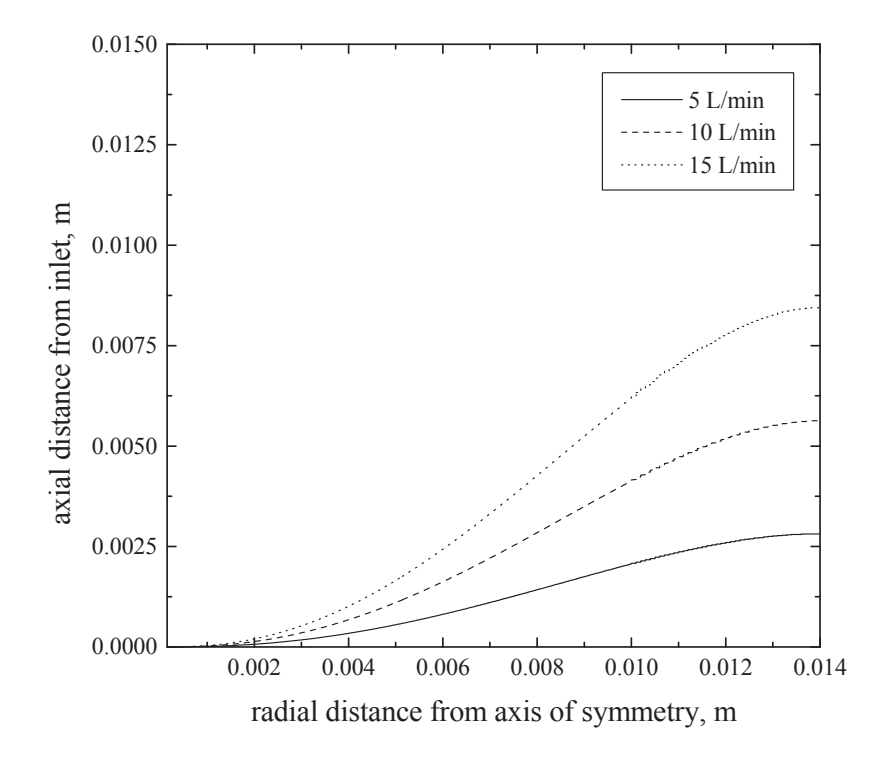


Fig. 5 Variation of ion trajectories along the precipitator with total flow rate (150 V wire electrode voltage)

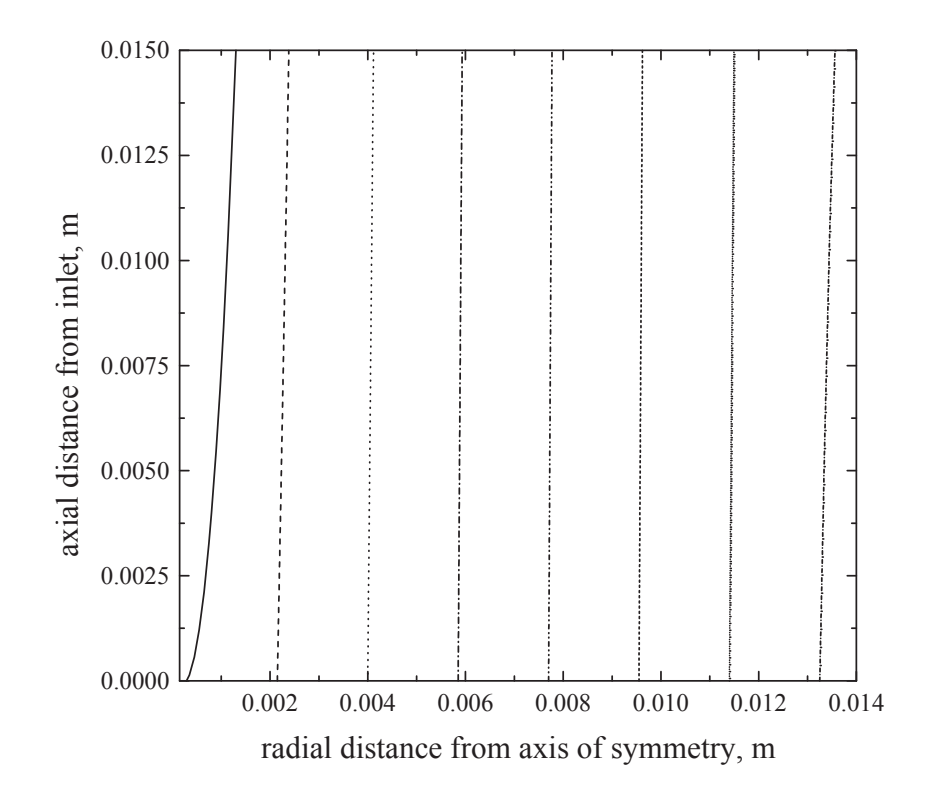
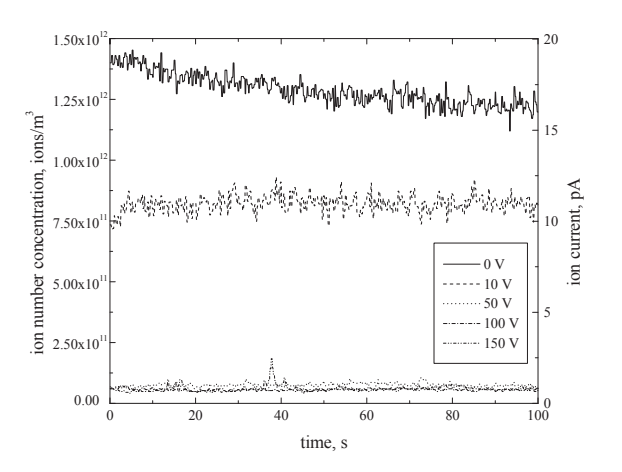
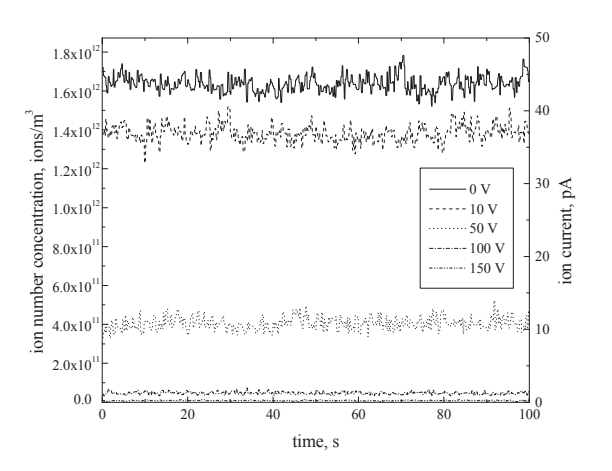


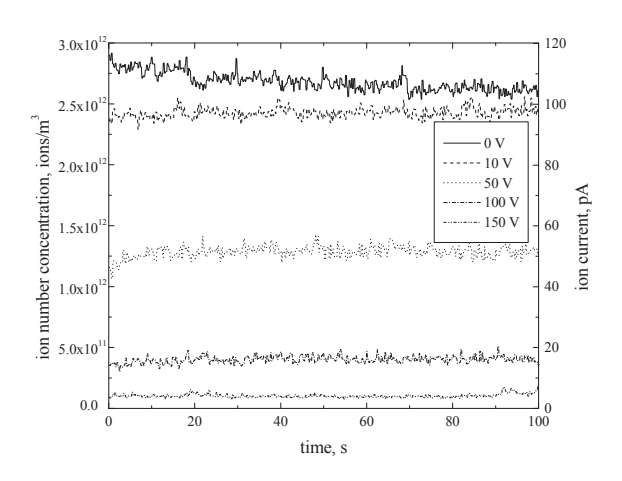
Fig. 6 Variation of charged particle trajectories along the precipitator with inlet radial distance (100 V wire electrode voltage, 10 nm particle diameter, and 5 L/min total flow rate)



(a) 5 L/min



(b) 10 L/min



(c) 15 L/min

Fig. 7 Time variation of outlet ion number concentration and signal current with trap voltage at different operating ion flow rate

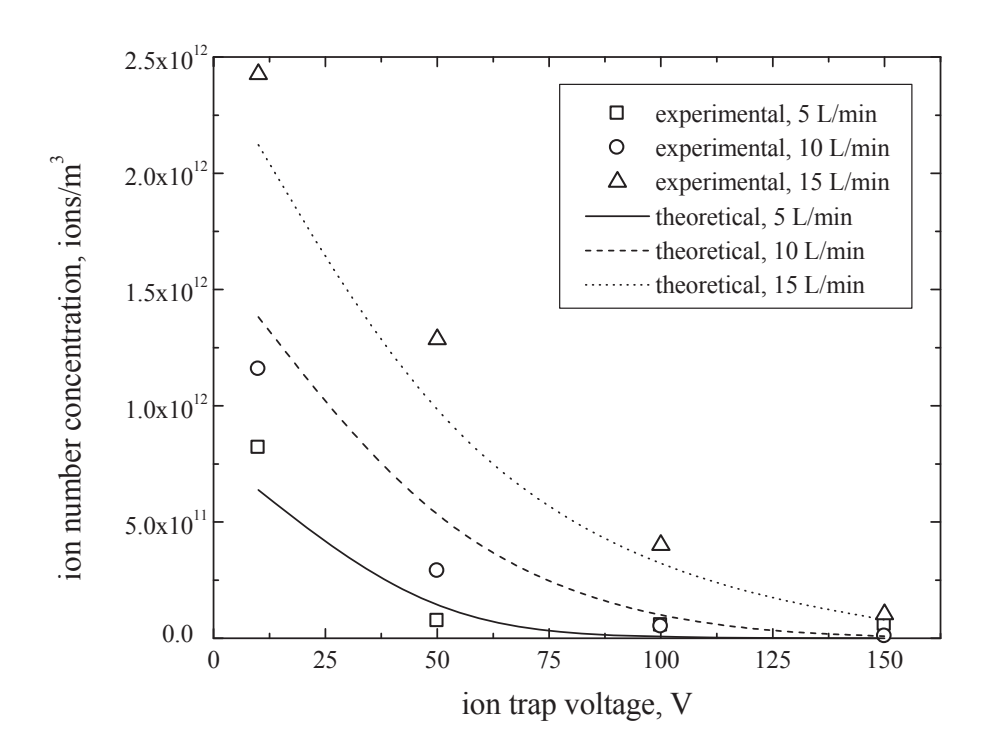


Fig. 8 Variation of outlet ion number concentration with ion trap voltage at different operating ion flow rate

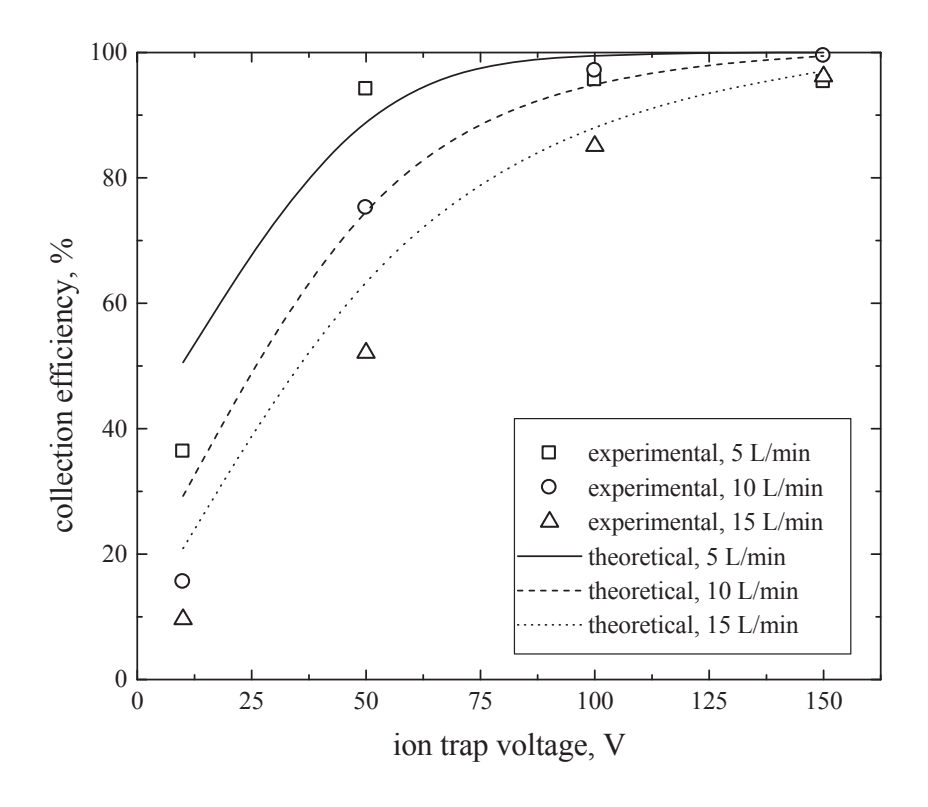


Fig. 9 Variation of collection efficiency with ion trap voltage at different operating ion flow rate

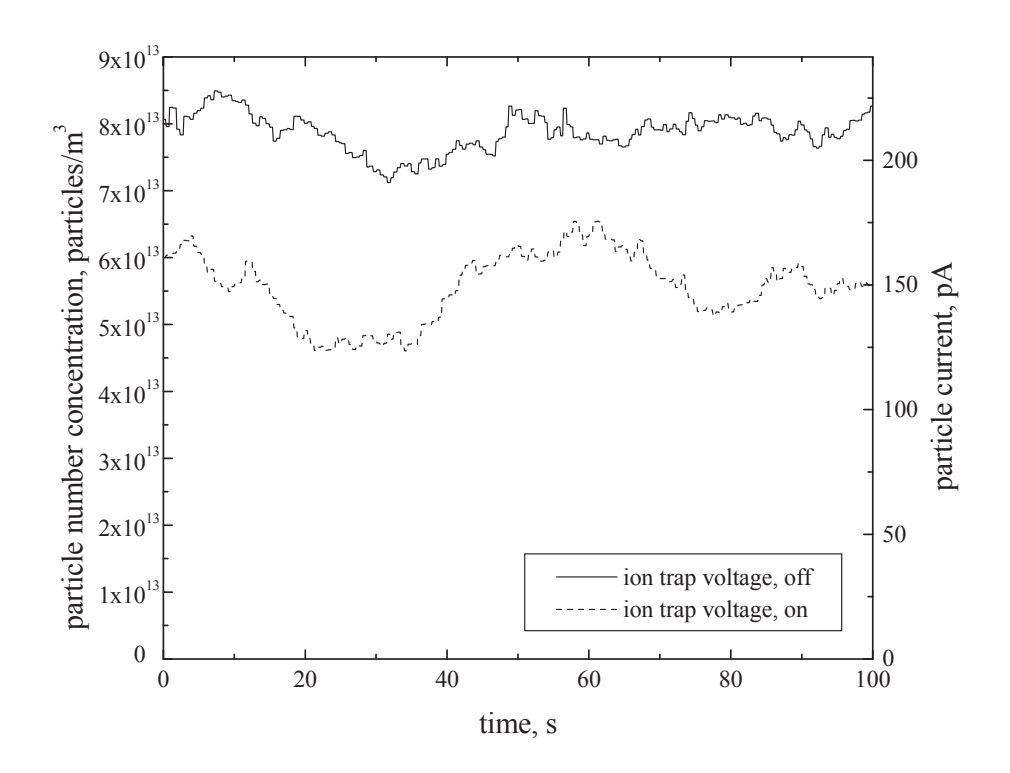


Fig. 10 Time variation of particle number concentration and current with and without the ion trap voltage

ภาคผนวก ข-8

Intra, P. and Tippayawong, N., "An electrostatic sensor for nanometer-sized aerosol particles detection", Poster presentation, *Asia-Pacific Symposium on Applied Electromagnetics and Mechanics*, Bangkok, Thailand, 24 – 25 July, 2008.

An Electrostatic Sensor for Nanometer-Sized Aerosol Particles Detection

P. Intra¹ and N. Tippayawong²

¹ College of Integrated Science and Technology,
Rajamangala University of Technology Lanna, Chiang Mai 50300, Thailand

² Department of Mechanical Engineering, Chiang Mai University,

Chiang Mai 50200, Thailand

In this study, an electrostatic sensor was developed for detecting the number concentration of nanometer-sized aerosol particles. It consists of a size selective inlet, a corona charger, an ion trap, a Faraday cup, an electrometer, a signal conditioning and processing system, and an I/O control and human-computer interface. In the present sensor, aerosol flow is regulated and controlled by means of mass flow meters and controllers with a vacuum pump. An aerosol sample first passes through the size selective inlet to remove particles outside the measurement size range based on their aerodynamic diameter, and then pass through the unipolar corona charger that sets a charge on the particles and enter the ion trap to remove the free ions. After the ion trap, the charged particles then enter the Faraday cup electrometer for measuring ultra low current about 10⁻¹² A induced by charged particles collected on the filter in Faraday cup corresponding to the number concentration of particles. Finally, signal current is then recorded and processed by a data acquisition system. A detailed description of the operating principle of the system as well as main components was presented. The performance of the prototype electrometer circuit used in this work was also evaluated and compared with a commercial electrometer, Keithley model 6517A, and good agreement was found from the comparison.

Keywords: aerosol, nanoparticle, electrostatic, electrometer, sensor.

1. INTRODUCTION

Nanometer-sized aerosol particles, defined as aerosols with particle diameters less than 0.1 µm, suspended in air have significant effects on the human health, global climate, air quality and processes in various industries such as food, pharmaceutical and medical, electronic and semiconductor industries [1]. Detection and measurement of nanometer-sized aerosol particles have become an important issue. For this purpose, nanoparticle sensors were developed to monitoring indoor and outdoor aerosols for pollution and process control industry. There are several commercial instruments using various methods of detecting particle number concentration. Available instruments include a SMPS (Scanning Mobility Particle Sizer) using electrical mobility of particles, a CPC (Condensation Particle Counter) which uses particle growth and optical property, an EAD (Electrical Aerosol Detector) which uses electrostatic charge measurement technique, and an ELPI (Electrical Low Pressure Impactor) using inertia impaction of particles under low pressure [2]. These commercial instruments are widely used for measuring airborne ultra fine particles and provide high-resolution measurement, but they are very expensive and larges sizes. In addition, the CPC should be carefully moved in caution to protect the optics contamination from working fluid like alcohol (C₄H₉OH) [3]. The movability of instruments should be considered in monitoring airborne aerosol particles.

To avoid this problem, an inexpensive sensor was developed in this study, suitable for detection of particle

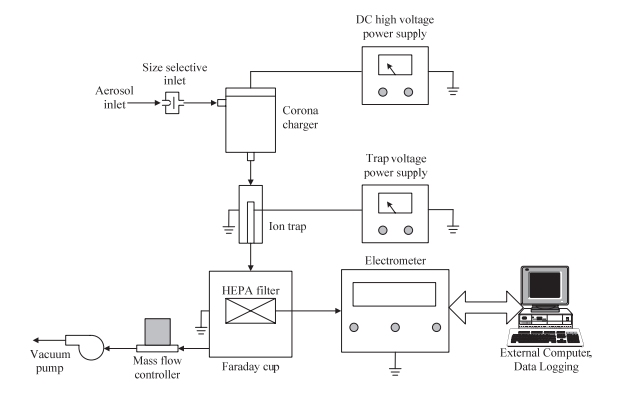


Fig. 1 Schematic diagram of the electrostatic sensor.

number concentration in the nanometer size range. This sensor is based on unipolar corona charging and electrostatic detection of highly charged particles. A detailed description of the operating principle of the sensor was presented. The sensor performance also was evaluated and compared with a commercial instrument.

2. DESCRIPTION OF THE SENSOR

Figure 1 shows the schematic diagram of the electrostatic sensor for detecting nanometer-sized aerosol particles was developed in this study. The sensor system is composed of a flow system is regulated and controlled by means of mass flow controllers with a vacuum pump, a size selective inlet to remove the

particle outside the measurement range, a particle charger using corona discharge technique, an ion trap to remove the high electrical mobility of free ions after charger, a Faraday cup to collect charged particles, an electrometer for measuring signal current from the Faraday cup, and a computer controlled data acquisition and management system.

2.1 Size Selective Inlet

The inertial impactor was used to remove particles larger than a known aerodynamic size, upstream of the system. The aerodynamic particle size at which the particles are separated is called the cut-point diameter. In the impactor, the aerosol flow is accelerated through a nozzle directed at a flat plate. The impaction plate deflects the flow streamlines to a 90° bend. Particles with sufficient inertia are unable to follow the streamlines and impact on the plate. Smaller particles are able to follow the streamlines and avoid contact with the plate and exit the impactor.

2.2 Unipolar Corona Charger

The particle charger in the present study consists of a coaxial corona-needle electrode placed along the axis of a cylindrical tube with tapered ends [4]. The needle electrode is made of a stainless steel rod 3 mm in diameter and 49 mm in length, ended in a sharp tip. The angle of the needle cone was approximately 9° and the tip radius was approximately 50 µm, as estimated under a microscope. The outer cylindrical is made of aluminum tube 30 mm in diameter and 25 mm in length with conical shape. The angle of the cone was approximately 30° and the orifice diameter was approximately 4 mm. The distance between the needle electrode and the cone apex is 2 mm. The corona electrode head is connected to a DC high voltage supply. while the outer electrode is grounded. An adjustable DC high voltage power supply is used to maintain the corona voltage difference, typically of the order of 3.0 kV. The corona discharge generates ions which move rapidly in the strong corona discharge field toward the outer electrode wall. Aerosol flow is directed across the corona discharge field and is charged by ion-particle collisions via diffusion charging and field charging mechanisms.

2.3 Ion Trap

The ion trap was used to remove the high electrical mobility of free ions after the charger. As the free ions can potentially reach the detector and ruin the measurement, a trap field is introduced just after the corona charger. The trap field is across the aerosol flow and has a 200 V.

2.4 Faraday Cup

Figure 2 shows the schematic diagram of the Faraday cup used in this study. It consists of an outer housing, a HEPA (High Efficiency Particulate Air) filter, a filter holder, and a Teflon insulator.

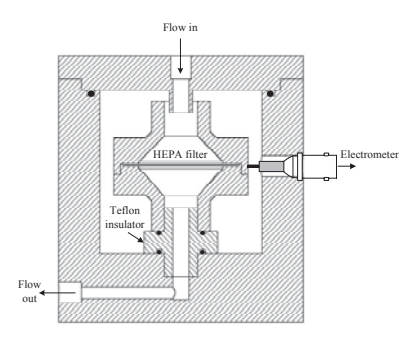


Fig. 2 Schematic diagram of the Faraday cup.

To completely shield the filter holder collecting the charged particles, the outer housing is made of a stainless steel, and filter holder is electrically isolated from the outer housing with Teflon insulator stand, while the outer housing is grounded. The Faraday cup plays a role to prevent electric noise for measuring ultra-low electric signal current (pA) from collected charged particles on an internal HEPA filter inside the Faraday cup corresponding to the total number concentration of the particles. If the filter holder is not shielded completely, noise which is 1000 times of resolutions to be expected. To transfer charges gathered at the HEPA filter to an electrometer circuit that is outside the Faraday cup, BNC connector is connected to HEPA filter. Because material of HEPA filter is a conductor such as glass fiber, charges collected in the filter can move to the electrometer via the BNC connector and low noise cable without delay. In the case of existing aerosol electrometer airflow is curved at 90° while air is drifted from sampling probe to the filter. It can become the cause of charge loss. To solve this problem airflow into Faraday cup is straightened not to change the direction of the flow and loss the charge. The particle number concentration, \square_p , is related to the signal current, I, at HEPA filter is given by

$$\Box_p = \frac{I}{pe\Box_a} \tag{1}$$

where p is the number of elementary charge units, e is the elementary unit of charge $(1.6 \times 10^{-19} \text{ C})$, and \Box_a is the volumetric aerosol sampling flow rate into a Faraday cup.

2.5 Sensitive Electrometer

A sensitive electrometer is used to measure the electric signal current, which are typically in the range 1 to 10pA, from the Faraday cup. The schematic presentation of an electrometer circuit design for aerosol detection system is shown in Figure 3. This circuit is a simple current-to-voltage converter, where the voltage drop caused by a current flowing through a resistor is measured. The circuit adopted two cascaded negative feedback amplifiers. The extra component in this circuit is primarily for fine offset voltage adjustment and input/output protection. A 12V power supply capable of

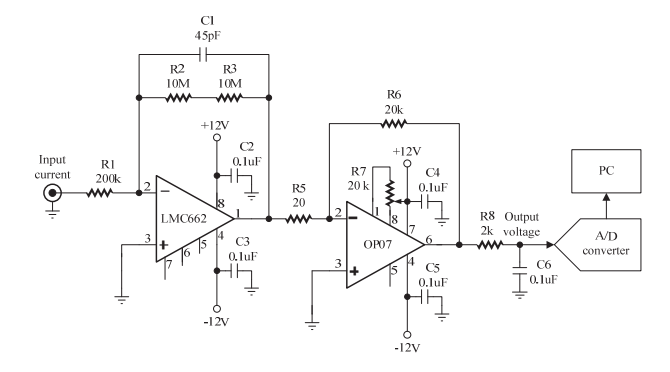


Fig. 3 Schematic diagram of the sensitive electrometer circuit.

providing 100 mA is required. The feedback capacitor and RC low-pass filter were used to reduce high-frequency noise and to prevent oscillations of the amplifier output [5]. In order to avoid expensive construction, commercially-available low-cost monolithic operational amplifiers were used. The commercially-available operational amplifiers used in this circuit is the LMC662, which was designed for low current measurement and featured ultra-low input bias current (2 fA maximum) and low offset voltage drift (1.3 μ V/°C) [6]. The output voltage, \square_o , of this circuit is given by the following equation:

$$\square_o = I_i \square_i \left(\frac{\square_2 + \square_3}{\square_i} \frac{\square_6}{\square_5} \right)$$
 (2)

where I_i is the input current, \square_{\square} and \square_{\square} are the input resistors of the first and second amplifiers, respectively, \square_{\square} and \square_{\square} are the feedback resistors of the first amplifier, and \square_{\square} is the feedback resistors of the second amplifier. This circuit gives an output voltage of 10 mV per 1 pA of input signal current.

2.6 Data Acquisition and Processing System

The output voltage of the electrometer circuit in the range of 0 to +5V was connected to a unipolar 12-bit analog to digital converter (ADC), controlled by I²C bus from the external personal computer via RS-232 serial port interface. The digital ADC signal was processed by computer software, based on Microsoft Visual Basic programming for all data processing. The software is able to display the particle number concentration.

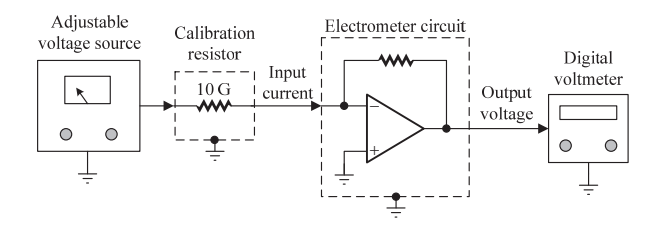


Fig. 4 Schematic diagram of the experimental setup for the electrometer test.

3. ELECTROMETER CALIBRATION AND TESTING

The electrometer circuit is one of the most important parts influencing accurate particle number concentration measurement corresponding to signal current in the sensor system. In the present paper, a laboratory test facility was developed and constructed to evaluate performance of a prototype electrometer circuit. Figure 4 shows the experimental setup used to evaluate the fabricated electrometer circuit performance. In this study, the electrometer circuit was calibrated with a current injection circuit, high-impedance current source This circuit consists of an appropriately high-standard resistor (10 G) and a highly-accurate adjustable voltage source in the range between 0 to +5 V. The output current of this circuit can simply be calculated from the Ohm's law. The range of the output current is from 1 pA to 10 pA. It should be noted that the electrometer circuit input was operated at virtual ground potential during calibration and subsequent current measurement. The output voltage from the electrometer circuit was measured and recorded by a highly-accurate digital voltmeter. The voltage reading was then translated into the current measurement.

Figure 5 provides comparison of measured current from this work and a commercial electrometer, Keithley model 6517A, with a high-accuracy current source. It can be found that the measured current was rising linearly as input current increased. Generally, the currents measured from this work were found to agree very well with those measured by the Keithley model 6517A. A very small difference of about 5% was obtained. It is worthy to point out that there were some interferences on the connector at small potentials. Additionally, leakage of currents through the body of the connector can potentially impair the performance of the electrometer significantly. A detailed investigation of this problem may be improved and experimental studied further [5].

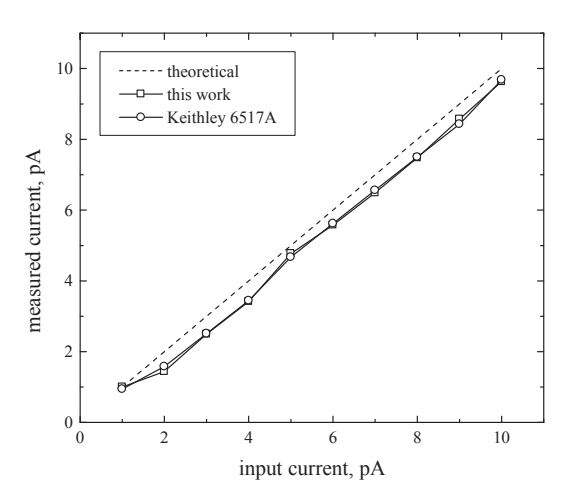


Fig. 5 Performance comparison between the prototype and commercial electrometer

4. CONCLUSION AND FUTURE WORK

The electrostatic sensor for detecting nanometer-sized aerosol particles developed at Rajamangala University of Technology Lanna and Chiang Mai University has been presented and described in this paper. The detecting method was based on unipolar corona charging and electrostatic detection of highly charged particles. It was able to detect particle number concentration in the nanometer size range. A prototype of the prototype electrometer circuit has been constructed, evaluated, and compared against a commercial electrometer, Keithley model 6517A. The results obtained were very promising. It was demonstrated that the electrometer can be used successfully detecting the in signal current corresponding the particle number concentration.

Among the various techniques and devices exist for producing aerosol samples to testing and calibration of any instrument that measures aerosol particles. One of the most widely used techniques of generating monodisperse aerosol particles is by using a Tandem DMA method. The main advantage of this method is the wide range of particle sizes it can generate. Further research, may involve a Tandem DMA method. Finally, calibration and comparison of the instrument with other particle measuring devices (e.g. SMPS, CPC, EAD, and ELPI) should be conducted further.

5. ACKNOWLEDGMENTS

Financial support from the Thailand Research Fund (TRF) is gratefully acknowledged.

REFERENCES

- [1] W. C. Hinds, "Aerosol Technology", John Wiley & Sons, New York (1999).
- [2] P. Intra and N. Tippayawong, "An Overview of Aerosol Particle Sensors for Size Distribution Measurement", *Mj*□*Int*□*J*□*Sci*□*Tech*□**1(2)**, 120 (2007).
- [3] TSI Incorporated, "Instruction Manual, Revision F, for Condensation Particle Counter, Model 3010", Minnesota (2006).
- [4] P. Intra and N. Tippayawong, "Corona Ionizer for Unipolar Diffusion Charging of Nanometer Aerosol Particles", □roceeding of □ th Electrical Engineering □onference, Pattaya, Thailand, 9 10 November, 1177 (2006).
- [5] P. Intra and N. Tippayawong, "An Ultra-Low Current Meter for Aerosol Detection", $\Box M \Box J \Box J \Box t \Box Sci \Box 6(2)$, 313 (2007).
- [6] National Semiconductor Corporation, "LMC662 data sheet", (2003).

AN ELECTROSTATIC SENSOR FOR NANOMETER-SIZED AEROSOL PARTICLES DETECTION

P. Intra¹¹ and N. Tippayawong²

College of Integrated Science and Technology, Rajamangala University of Technology Lanna, Chiang Mai 50300, Thailand

Department of Mechanical Engineering, Chiang Mai University, Chiang Mai 50200, Thailand

*Email: panich_intra@yahoo.com, panich.intra@hotmail.com



ABSTARCT

In this study, an electro static sensor was developed for detecting the number concentration of nanometer-sized aerosol particles. It consists of a size selective inlet, a corona charger, an ion trap, a Faraday cup, an electrometer, a signal conditioning and processing system, and an I/O control and human-computer interface. In the present sensor, aerosol flow is regulated and controlled by means of mass flow meters and controllers with a vacuum pump. An aerosol sample first passes through the size selective inlet to remove particles outside the measurement size range ed on their aerodynamic diameter, and then pass through the unipolar corona charger that sets a charge on the particles and enter the ion trap to remove the free ions. After the ion trap, the charged particles then enter the Faraday cup electrometer for measuring ultra low current about 10⁻¹² A induced by charged particles collected on the filter in Faraday cup corresponding to the number concentration of particles. Finally, signal current is then recorded and processed by a data acquisition system. A detailed description of the operating principle of the system as well as main components was presented. The performance of the prototype electrometer circuit used in this work was also evaluated and compared with a commercial electrometer, Keithley model 6517A, and good

INTRODUCTION

eter-sized aerosol particles suspended in air have significant effects on the human health, global climate, air quality and processes in various industries such as food, pharmaceutical and medical, electronic and semiconductor industries [1]. Detection and measurement of nanometer-sized aerosol particles have become an important issue. For this purpose, nanoparticle sensors were developed to monitoring indoor and outdoor aerosols for pollution and process control industry. There are several commercial instruments using various methods of detecting particle number concentration. Available instruments include a SMPS (Scanning Mobility Particle Sizer) using electrical mobility of particles, a CPC (Condensation Particle Counter) which uses particle growth and optical property, an EAD (Electrical Aerosol Detector) which uses electrostatic charge measurement technique, and an ELPI (Electrical Low Pressure Impactor) using inertia impaction of particles under low pressure [2]. These commercial instruments are widely used for measuring airborne ultra fine particles and provide high-resolution measurement, but they are very expensive and larges sizes. To avoid this problem, an inexpensive senso was developed in this study, suitable for detection of particle number concentration in the nanometer size range based on unipolar corona charging and electrostatic detection of highly charged particles. A detail description of the operating principle of the sensor was presented. The sensor performance also was evaluated and compared with a commercial

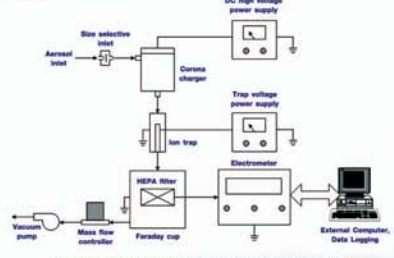


Figure 1: Schematic diagram of the electrostatic sensor.

DESCRIPTION OF THE SENSOR

Figure 1 shows the schematic diagram of the electrostatic sensor for detecting nanometer-sized aerosol particles was developed in this study. The sensor system is composed of a flow system is regulated and controlled by means of mass flow controllers with a vacuum pump, a size selective inlet to remove the particle outside the measurement range, a particle charger using corona discharge technique, an ion trap to remove the high electrical mobility of free ions after charger, a Faraday cup to collect charged particles, an electrometer for measuring signal current from the Faraday cup, and a computer controlled data acquisition and management system.

Size Selective Inlet

The inertial impactor was used to remove particles larger than a known aerodynamic size, upstream of the system. The aerodynamic particle size at which the particles are separated is called the cut-point diameter. In the impactor, the aerosol flow is accelerated through a nozzle directed at a flat plate. The impaction plate deflects the flow streamlines to a 90° bend. Particles with sufficient inertia are unable to follow the streamlines and impact on the plate. Smaller particles are able to follow the streamlines and avoid contact with the plate and exit the impactor.

Unipolar Corona Charger

The particle charger in the present study consists of a coaxial corona-needle electrode placed along the axis of a cylindrical tube with tapered ends [4]. The needle electrode is made of a stainless steel rod 3 mm in diameter and 49 mm in length, ended in a sharp tip. The angle of the needle cone was approximately 9° and the tip radius was approximately 50 µm, as estimated under a microscope. The outer cylindrical is made of aluminum tube 30 mm in diameter and 25 mm in length with conical shape. The angle of the cone was approximately 30° and the orifice diameter was approximately 4 mm. The distance between the needle electrode and the cone apex is 2 mm. The corona electrode head is connected to a DC high voltage supply, while the outer electrode is grounded. The corona discharge generates ions which move rapidly in the strong corona discharge field toward the outer electrode wall. Aerosol floating is directed across the corona discharge field toward necessarial charged by ion-particle collisions via diffusion charging and field charging mechanisms.

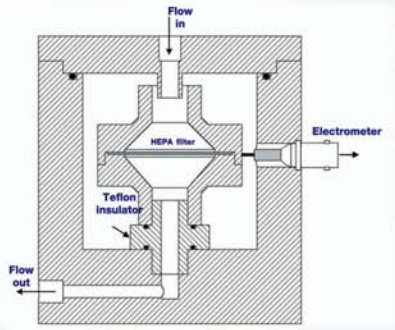


Figure 2: Schematic diagram of the Faraday cup

Ion Trap

The ion trap was used to remove the high electrical mobility of free ions after the charger. As the free ions can potentially reach the detector and ruin the measurement, a trap field is introduced just after the corona charger. The trap field is across the aerosol flow and has a 200 V.

Faraday Cup

Figure 2 shows the schematic diagram of the Faraday cup used in this study. It consists of an outer housing, a HEPA (High Efficiency Particulate Air) filter, a filter holder, and a Teflon insulator. To completely shield the filter holder collecting the charged particles, the outer housing is made of a stainless steel, and filter holder is electrically isolated from the outer housing with Teflon insulator stand, while the outer housing is grounded. The Faraday cup plays a role to prevent electric noise for measuring ultra-low electric signal current (pA) from collected charged particles on an internal HEPA filter inside the Faraday cup corresponding to the total number concentration of the particles. To transfer charges gathered at the HEPA filter to an electrometer circuit that is outside the Faraday cup, BNC connector is connected to HEPA filter. Because material of HEPA filter is a conductor such as glass filter, charges collected in the filter can move to the electrometer via the BNC connector and low noise cable without delay. The particle number concentration, N_p , is related to the signal current, I, at HEPA filter is given by

$$N_p = \frac{I}{peQ_a}$$

where p is the number of elementary charge units, e is the elementary unit of charge (1.6 x 10⁻¹⁹ C), and Q_a is the volumetric aerosol sampling flow rate into a Faraday cup.

Sensitive Electrometer

A sensitive electrometer is used to measure the electric signal current, which are typically in the range 1 to 10pA, from the Faraday cup. The schematic presentation of an electrometer circuit design for aerosol detection system is shown in Figure 3. This circuit is a simple current-to-voltage converter, where the voltage drop caused by a current flowing through a resistor is measured. The circuit adopted two cascaded negative feedback amplifiers. The extra component in this circuit is primarily for fine offset voltage adjustment and input/output protection. The feedback capacitor and RC low-pass filter were used to reduce high-frequency noise and to prevent oscillations of the amplifier output [5]. In order to avoid expensive construction, commercially-available low-cost monolithic operational amplifiers were used. The commercially-available operational amplifiers used in this circuit is the LMC662, which was designed for low current measurement and featured ultra-low input bias current (2 fa maximum) and low offset voltage drift (1.3 μ V/°C) [6]. The output voltage, $V_{\rm co}$ of this circuit is given by the following equation:

$$V_o = I_i R_1 \left(\frac{R_2 R_3}{R_i} \frac{R_6}{R_5} \right)$$

where $I_{\rm i}$ is the input current, $R_{\rm 1}$ and $R_{\rm 5}$ are the input resistors of the first and second amplifiers, respectively, $R_{\rm 2}$ and $R_{\rm 3}$ are the feedback resistors of the first amplifier, and $R_{\rm 6}$ is the feedback resistors of the second amplifier. This circuit gives an output voltage of 10 mV per 1 pA of input

Data Acquisition and Processing System

The output voltage of the electrometer circuit in the range of 0 to +5V was connected to a unipolar 12-bit analog to digital converter (ADC), controlled by i⁷C bus from the external personal computer via RS-232 serial port interface. The digital ADC signal was processed by computer software, based on Microsoft Visual Basic programming for all data processing. The software is able to display the particle number concentration.

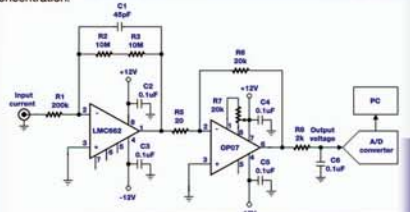


Figure 3: Schematic diagram of the sensitive electrometer circuit

ELECTROMETER CALIBRATION AND TESTING

The electrometer circuit is one of the most important parts influencing accurate particle number concentration measurement corresponding to signal current in the sensor system. In the present paper, a laboratory test facility was developed and constructed to evaluate performance of a prototype electrometer circuit. Figure 4 shows the experimental setup used to evaluate the fabricated electrometer circuit performance. In this study, the electrometer circuit was calibrated with a current injection circuit, high-impedance current source [4]. This circuit consists of an appropriately high-standard resistor (10 G) and a highly-accurate adjustable voltage source in the range between 0 to +5 V. The output current of this circuit can simply be calculated from the Ohm's law. The range of the output current is from 1 pA to 10 pA. The output voltage from the electrometer circuit was measured and recorded by a highly-accurate digital voltmeter and was then translated into the current measurement.

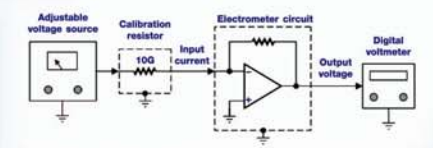


Figure 4: Schematic diagram of the experimental setup for the electrometer test.

Figure 5 provides comparison of measured current from this work and a commercial electrometer, Keithley model 6517A with a high-accuracy current source. It can be found that the measured current was rising linearly as input current increased. Generally, the currents measured from this work were found to agree very well with those measured by the Keithley model 6517A. A very small difference of about 5% was obtained. It is worthy to point out that there were some interferences on the connector at small potentials. Additionally, leakage of currents through the body of the connector can potentially impair the performance of the electrometer significantly. A detailed investigation of this problem may be improved and experimental studied further [5].

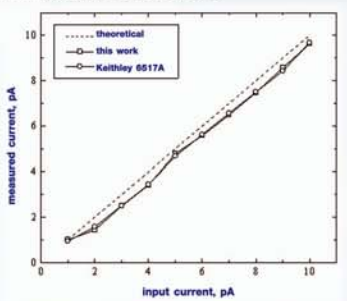


Figure 5: Performance comparison between the prototype and commercial electrometer

CONCLUSION AND FUTURE WORK

The electrostatic sensor for detecting nanometer-sized aeroso developed at Rajamangala University of Technology Lanna and Chiang Mai University has been presented and described in this paper. The detecting method was based on unipolar corona charging and electrostatic detection of highly charged particles. It was able to detect particle number concentration in the nanometer size range. A prototype of the prototype electrometer circuit has been constructed, evaluated, and compared against a commercial electrometer. The results obtained were very promising. It was demonstrated that the electrometer can be used successfully in detecting the signal current corresponding the particle number concentration. There are various techniques and devices exist for producing aerosol samples to testing and calibration of any instrument that measures aerosol particles. One of the most widely used techniques of generating monodisperse aerosol particles is by using the Tandem DMA method. The main advantage of this method is the wide range of particle sizes it can generate. Further research, may involve the Tandem DMA method. Finally, calibration and comparison of the instrument with other particle measuring devices (e.g. SMPS, CPC, EAD, and ELPI) should be

REFERENCES

 W. C. Hinds, "Aerosol Technology", John Wiley & Sons, New York (1999).
 P. Intra and N. Tippayawong, "An Overview of Aerosol Particle Sensors for Size Distribution Measurement", Mj. Int. J. Sci. Tech. 1(2), 120 (2007).

[3] TSI Incorporated, "Instruction Manual, Revision F, for Condensatio Particle Counter, Model 3010", Minnesota (2006).

[4] P. Intra and N. Tippayawong, "Corona Ionizer for Unipolar Diffusion Charging of Nanometer Aerosol Particles", Proceeding of 29th Electrical Engineering Conference, Pattaya, Thailand, 9 - 10 November, 1177 (2006).
[5] P. Intra and N. Tippayawong, "An Ultra-Low Current Meter for Aerosol

Detection*, CMU. J. Nat. Sci. 6(2), 313 (2007).
[6] National Semiconductor Corporation, *LMC662 data sheet*, (2003)

ACKNOWLEDGMENTS

Financial support from the Thailand Research Fund (TRF) is gratefully acknowledged.



ภาคผนวก ข-9

Intra, P. and Tippayawong, N., "A submicron electrical aerosol detection system with a Faraday cup electrometer", Oral presentation, *The 22*nd *Conference on Mechanical Engineering Network of Thailand*, Pathumthani, Thailand, 15 – 17 October, 2008.

A Submicron Electrical Aerosol Detection System with a Faraday Cup Electrometer

Panich Intra^{1*}, and Nakorn Tippayawong²

¹College of Integrated Science and Technology,
Rajamangala University of Technology Lanna, Chiang Mai 50300, Thailand
Tel: 0-5392-1444, Fax: 0-5321-3183, *E-mail: panich.intra@hotmail.com, panich_intra@yahoo.com

² Department of Mechanical Engineering, Chiang Mai University,
Chiang Mai 50200, Thailand

Tel: 0-5394-4146, Fax: 0-5394-4145, E-mail: n.tippayawong@yahoo.com

Abstract

Submicron-sized aerosol particles, defined as aerosols with particle diameters less than 1 µm, suspended in air have significant effects on the human health, global climate, air quality and processes in various industries such as food, pharmaceutical and medical, electronic and semiconductor industries. Automotive engines have long been recognized as a major source of submicron-sized aerosol particles. Development of aerosol detection and size distribution measurement methods has been primarily motivated by the need to find better means of monitoring and controlling indoor and outdoor aerosols for pollution and process control industry. In this study, a submicron electrical aerosol detection system for measuring particle number concentration in the size range between 1 nm – 1 μm using electrostatic charge measurement technique was developed. It consists of a size selective inlet, a particle charging system, an ion trap, a Faraday cup electrometer, a signal conditioning and processing system, and an I/O control and human-computer interface. In this system, an aerosol sample first passes through the size selective inlet to remove particles outside the measurement size range based on their aerodynamic diameter, and then pass through the unipolar corona charger that sets a charge on the particles and enter the ion trap to remove the free ions. After the ion trap, the charged particles then enter the Faraday cup electrometer for measuring ultra low current about 10⁻¹² A induced by charged particles collected on the filter in Faraday cup corresponding to the number concentration of particles. Signal current is then recorded and processed by a data acquisition system. A detailed description of the operating principle of the system as well as main components was presented. The performance of the prototype electrometer circuit used in this work was evaluated and compared with a commercial electrometer and good agreement was found from the comparison. Finally, the preliminary experimental testing results were also shown and discussed.

Keywords: aerosol, particle, Faraday cup, electrometer **1. Introduction**

Detection and measurement of aerosol particles have become an important topic in atmospheric pollution monitoring and source characterization. In recent years considerable interest has been shown to submicron-sized aerosol particles, defined as aerosols with particle diameters less than 1 µm, for two main reasons. First, such particles have been associated with adverse health effects in areas of high concentrations, and second, aerosols are believed to have a significant influence on atmospheric quality, climate at a local and global scale and processes in various industries such as food, electronic pharmaceutical and medical, semiconductor industries [1]. A submicron-sized aerosol particle instruments have been developed to monitoring indoor and outdoor aerosols for pollution and process control industry for this purpose [2, 3].

There are several commercial instruments using various methods of detecting and measuring the size distribution and number concentration of particles. Available instruments include a Scanning Mobility Particle Sizer (SMPS) using electrical mobility of particles [4], a Condensation Particle Counter (CPC) which uses particle growth and optical property [5, 6], an Electrical Aerosol Detector (EAD) which uses electrostatic charge measurement technique [7], and an Electrical Low Pressure Impactor (ELPI) using inertia impaction of particles under low pressure [8]. These commercial instruments are widely used for measuring airborne ultra fine particles and provide high-resolution measurement, but they are very expensive and larges sizes. According to the instruction manual for CPC (Model 3010, TSI Inc), a CPC does not operate in ambient temperatures outside the control range of 10°C to 34°C, and the pump and flow sensor of a CPC cannot control the flow when the pressure at the aerosol inlet, the make up air inlet, or the pump exhaust is too high or too low [6]. In addition, the CPC should be carefully moved in caution to protect the optics contamination from working fluid like alcohol (C₄H₉OH) [6].

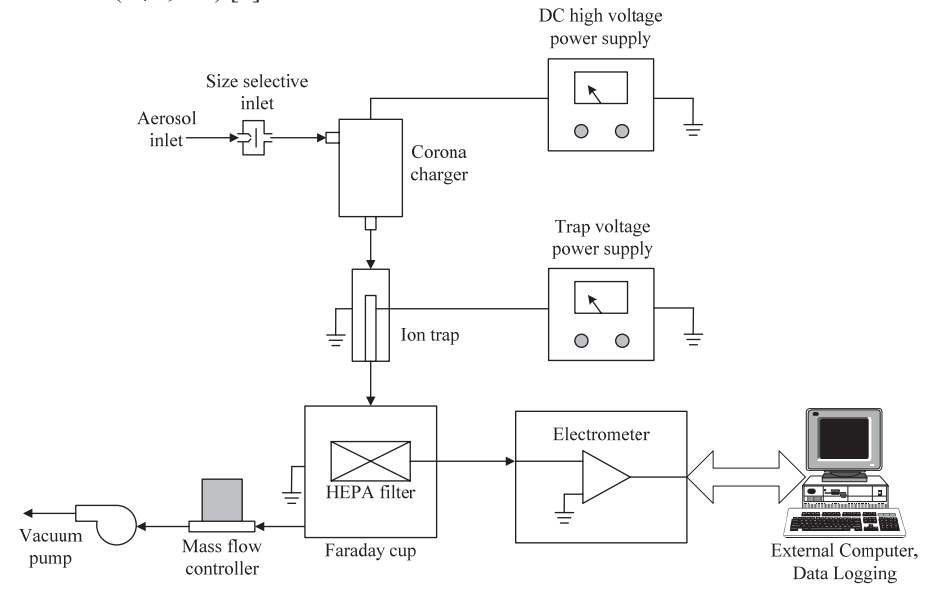


Figure 1. Schematic diagram of the submicron electrical aerosol detection system.

The movability of instruments should be considered in monitoring airborne aerosol particles. To avoid this problem, an inexpensive detector, suitable for detection of particle number concentration in the submicron size range, was built and experimentally tested in this study. This system is based on unipolar corona charging and electrostatic detection of highly charged particles. A detailed description of the operating principle of the sensor was presented. The performance of the prototype electrometer circuit used in this work as well as the preliminary experimental testing results were also shown and discussed.

2. A Submicron Electrical Aerosol Detection System

The following paragraphs give a detailed description of main components of the detection system. Figure 1 shows the schematic diagram of the submicron electrical aerosol detection system, developed in this study. The system is composed of a flow system is regulated and controlled by means of mass flow controllers with a vacuum pump, a size selective inlet to remove the particle outside the measurement range, a particle charger using corona discharge technique to charge the particles, an ion trap to remove the high electrical mobility of free ions after charger, a Faraday cup to collect charged particles, an electrometer for measuring signal current from the Faraday cup, and a computer controlled data acquisition and management system.

2.1 Size Selective Inlet

The inertial impactor was used to remove particles larger than a known aerodynamic size, upstream of the system. The aerodynamic particle size at which the particles are separated is called the cut-point diameter. In the impactor, the aerosol flow is accelerated through a nozzle directed at a flat plate. The impaction plate deflects the flow streamlines to a 90° bend. Particles with

sufficient inertia are unable to follow the streamlines and impact on the plate. Smaller particles are able to follow the streamlines and avoid contact with the plate and exit the impactor. The particle collection efficiency of the impactor, E, is determined from [9]

$$E = \left[1 + \left(\frac{d_{50}}{d_p}\right)^{2s}\right]^{-1} \tag{1}$$

where d_p is the particle diameter, and d_{\square} is the particle cut-off diameter at 50% collection efficiency can be calculated by [1]

$$d_{50} = \sqrt{\frac{9\pi\eta \,\Box^3 \text{Stk}_{50}}{4\rho_p \,\Box_a \,\Box_c}} \tag{2}$$

where \Box_c is the Cunningham slip correction factor, η is the gas viscosity, \Box is the acceleration nozzle diameter, Stk_{50} is the Stokes number for the particle cut-off diameter at 50% collection efficiency, ρ_p is the particle density, and \Box_a is the aerosol flow rate.

2.2 Particle Charger

The corona-needle charger used in the present study consists of a coaxial corona-needle electrode placed along the axis of a cylindrical tube with tapered ends [10]. The needle electrode is made of a stainless steel rod 3 mm in diameter and 49 mm length, ended in a sharp tip. The angle of the needle cone was about 9° and the tip radius was about $50 \ \mu m$, as estimated under a microscope. The outer cylindrical is made of aluminum tube 30 mm in diameter and 25 mm length with conical shape. The angle of the cone was about 30° and the orifice diameter was about 4 mm. The distance between the needle electrode

and the cone apex is 2 mm.

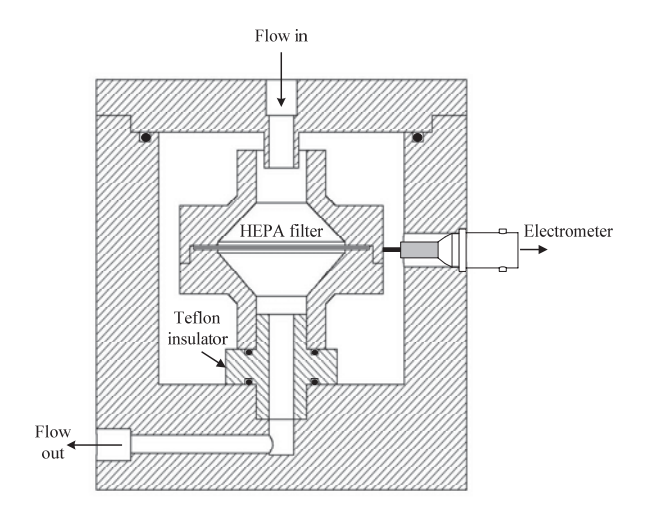


Figure 2. Schematic diagram of the Faraday cup.

The corona electrode head is connected to a DC high voltage supply, while the outer electrode is grounded. An adjustable DC high voltage power supply is used to maintain the corona voltage difference, typically of the order of $1.0-5.0~\rm kV$. The corona discharge generates ions which move rapidly in the strong corona discharge field toward the outer electrode wall. Aerosol flow is directed across the corona discharge field and is charged by ion-particle collisions via diffusion charging and field charging mechanisms.

2.3 Ion Trap

The ion trap was used to remove the high electrical mobility of free ions after the charger. As the free ions can potentially reach the detector and ruin the measurement, a trap field is introduced just after the corona charger. The trap field is across the aerosol flow and has a 200 V, and the trap penetration, $\Box_{trap}\Box$ is given by [1]

$$\Box_{rap} = 1 - \frac{2\pi \Box_i \Box \Box}{\Box_a \ln(r_2 / r_1)} \tag{3}$$

where \Box is the mobility of ion (equal to 0.00014 m²/V.s for the positive ion), \Box is the trap voltage, \Box is the trap length, and r_{\Box} and r_{\Box} are the inner and outer radii of the electrode, respectively.

2.4 Faraday Cup

Figure 2 shows schematic diagram of the Faraday cup. To completely shield the HEPA (high efficiency particulate air) filter collecting the charged particles, external case is made of a stainless steel, and HEPA filter is electrically disconnected from the external case with Teflon stand. The Faraday cup plays a role to prevent electric noise to measure very low current caused by charged particles, which are collected by an internal HEPA filter. If the object of measurement is not shielded completely, noise which is 1000 times of resolutions to

be expected. To transfer charges gathered at the HEPA filter to an electrometer that is outside the faraday cage, BNC connector is connected to HEPA filter. Because material of HEPA filter is conductor such as glass fiber, charges collected in the filter can move to the electrometer through the low noise cable and BNC connector without delay. In the case of existing aerosol electrometer airflow is curved at 90 degrees while air is drifted from sampling probe to the filter. It can become the cause of charge loss. To solve this problem airflow into faraday cage is straighten not to change the direction of the flow and loss the charge. The particle number concentration, \square_p , is related to the signal current, I_p , at HEPA filter is given by [11]

$$\Box_p = \frac{I_p}{n_n(d_n)e\Box_q} \tag{4}$$

where n_p is the number of elementary charge units, e is the elementary unit of charge (1.6 × 10⁻¹⁹ C), and \Box_a is the volumetric aerosol sampling flow rate into a Faraday cup. The average number of elementary charges carried by particles with diameter, d_p , and is given by following equation [1]

$$n_p(d_p) = \frac{d_p \Box T}{2 \Box_E e^2} \ln \left[1 + \frac{\pi \Box_E d_p \overline{c_i} e^2 \Box_i t}{2 \Box T} \right]$$
 (5)

where \overline{c}_i is the mean thermal speed of the ions (240 m/s), \Box is the Boltzmann's constant (1.380658 × 10⁻²³ J/K, for air), T is the temperature, \Box_E is the constant of proportionality, \Box_i is the ion concentration, and t is the residence time of the particle charger. For the coronaneedle charger, an approximate expression for the $\Box_i t$ product can be derived [10]:

$$\Box_{i} = \frac{I_{i}d}{\pi (r_{1} + r_{2})\sqrt{(r_{1} - r_{2})^{2} + \Box^{2}}e\Box_{i}\Box}$$
 (6)

where I_i is the charging current, d is the distance between the electrode tip and the cone apex, r_{\square} and r_{\square} are the inner and outer radii of a conical frustum, respectively, \square is the length of the charging zone, and \square is the corona voltage.

2.5 Sensitive Electrometer

The schematic presentation of an electrometer circuit design for aerosol detection system is shown in Figure 3. This circuit is a simple current-to-voltage converter, where the voltage drop caused by a current flowing through a resistor is measured. The circuit adopted two cascaded negative feedback amplifiers. Extra component in this circuit is primarily for fine offset voltage adjustment and input/output protection. A 12V power supply capable of providing 100 mA is required. The feedback capacitor and RC low-pass filter were used to reduce high-frequency noise and to prevent oscillations of the amplifier output [12]. In order to avoid expensive

construction, commercially-available low-cost monolithic operational amplifiers were used.

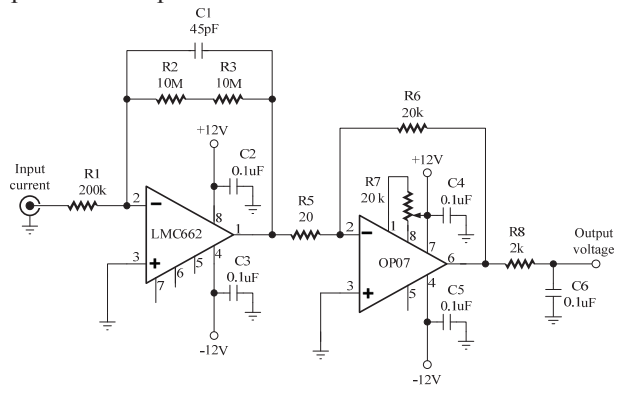


Figure 3. Schematic diagram of the sensitive electrometer circuit.

The commercially-available operational amplifiers used in this circuit is the LMC662, which was designed for low current measurement and featured ultra-low input bias current (2 fA maximum) and low offset voltage drift (1.3 μ V/°C) [13]. The output voltage, \square_o , of this circuit is given by the following equation:

$$\square_o = I_i \square_i \left(\frac{\square_2 + \square_3}{\square_i} \frac{\square_6}{\square_5} \right) \tag{7}$$

where I_i is the input current, \square and \square are the input resistors of the first and second amplifiers, respectively, \square and \square are the feedback resistors of the first amplifier, and \square is the feedback resistors of the second amplifier. This circuit gives an output voltage of 10 mV per 1 pA of input signal current. The electrometer circuit was calibrated with a current injection circuit, high-impedance current source [12]. It consists of an appropriately high-standard resistor (10 G Ω) and an adjustable voltage source in the range between 0-5 V. The output current of this circuit can simply be calculated from the Ohm's law.

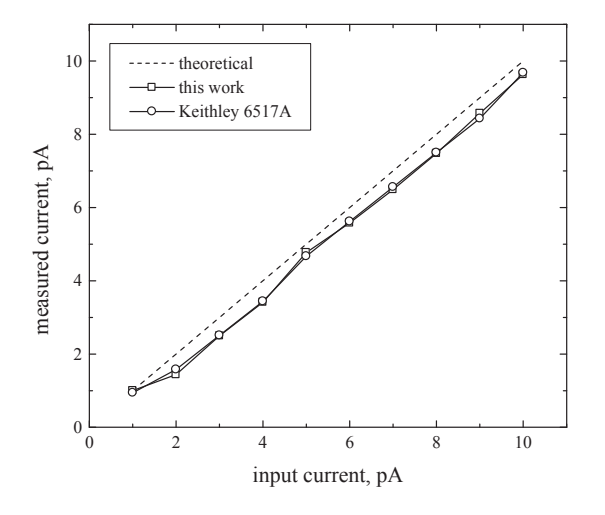


Figure 4. Performance comparison between the prototype and commercial electrometer.

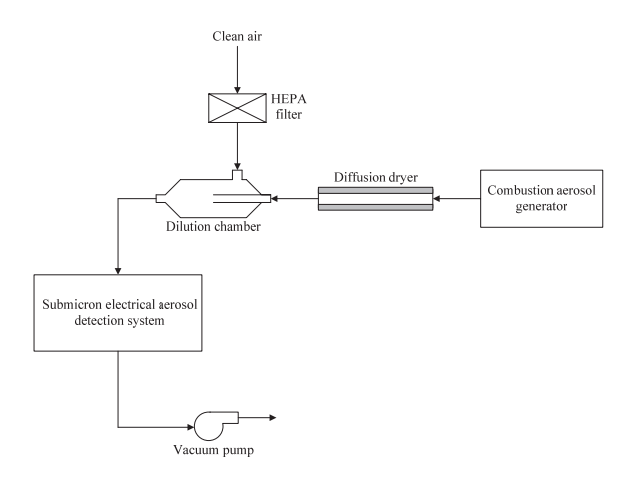


Figure 5. Schematic diagram of the experimental setup for preliminary testing of the submicron electrical aerosol detection system.

The range of the output current is from 1 pA to 10 pA. It should be noted that the electrometer circuit input was operated at virtual ground potential during calibration and subsequent current measurement. The output voltage from the electrometer circuit was measured and recorded by a highly-accurate digital voltmeter. The voltage reading was then translated into the current measurement. The comparison of measured current from this work and a commercial electrometer, Keithley model 6517A, with high-accuracy current source is shown in Figure 4. It was shown that the measured current was rising linearly as input current increased. Generally, the currents measured from this work were found to agree very well with those measured by the Keithley model 6517A. Very small difference about 5% was obtained.

2.6 Data Acquisition and Processing System

The measurement is controlled and data sampled by an external personal computer via RS-232 serial port cable. Software running on an external computer was developed, based on Microsoft Visual Basic programming for all data processing. The software is able to display the particle number concentration.

3. Preliminary Experimental Testing

Figure 5 shows the schematic diagram of the experimental setup for preliminary testing of the submicron electrical aerosol detection system. The combustion aerosol generator was used to generate a polydisperse carbonaceous diffusion flame aerosol for this experiment. Stable polydisperse aerosols with particle number concentrations of approximately $10^{12} - 10^{14}$ particles/m³ were obtained [14]. The particle size obtained by scanning electron microcopy (SEM) was in the range between approximately 10 nm – 10 μ m. Figure 6 shows the particle morphologies of agglomerates obtained from the scanning electron micrograph, taken with a JEOL JSM-6335F Field Emission Scanning

Electron Microscope, operated at 15 kV and magnification of 5,000X.

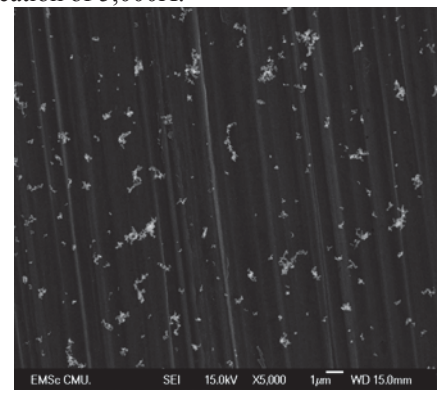


Figure 6. Scanning electron micrograph of sampling particle from the generator.

The particles were first dried with the diffusion drier. Thus, any remaining water was removed. Before aerosol particles entering the system, the particles were diluted and mixed with clean air, which had been filtered through a HEPA filter, in the mixing chamber. The system was operated at aerosol flow rate in the range of 1.0-4.0 L/min. To reduce errors due to time variations in the aerosol concentrations, repeat measurements were commenced at least 5 min after the introduction of the aerosol into the measurement system.

In this paper, four different operating conditions of the aerosol flow rate were preliminary experimental tested on the particle number concentration measurements of the system. Variation of aerosol flow rate was carried out by adjusting the inlet mass flow controller in the range of 1.0 to 4.0 l/min and the operating pressure was about 1000 mbar. Figure 7 shows variation of measured particle number concentration and signal current with aerosol flow rates. The measured signal current and the particle number concentration were found in the range of approximately 90 – 700 pA and 3 – 7×10^{13} particles/m³, respectively. It was found that an increase in the aerosol flow rate resulted in an increase in measured signal current corresponding to the particle number concentration because the signal current was approximately proportional to the aerosol flow rate.

4. Conclusions and Future Work

The system for detecting the number concentration of submicron-sized aerosol particles with a Faraday cup electrometer has been presented and described in this paper. The detecting method was based on unipolar corona charging and electrostatic detection of highly charged particles. It was able to detect particle number concentration in the submicron size range. A prototype of the system has been constructed and evaluated. Preliminary experimental testing results obtained were very promising. It was demonstrated that the system can be used in detecting the number concentration of the particles.

The following paragraphs give specific recommendations for further research work on both the

theoretical and experimental parts of the detector development.

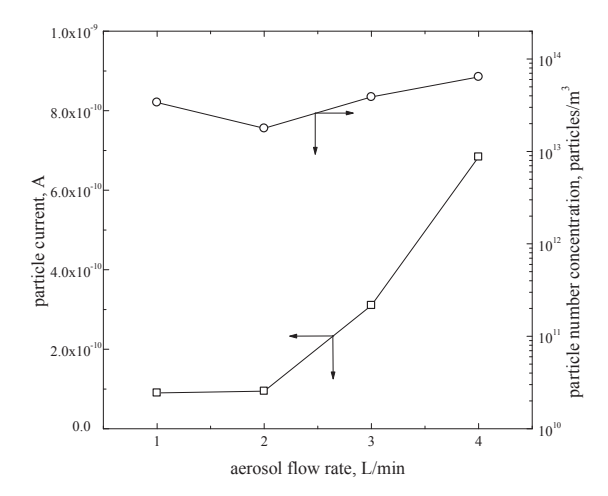


Figure 7. Variation of measured particle number concentration and current with aerosol flow rates.

- There are various techniques and devices exist for generating aerosol samples to testing and calibration of any instrument that measures aerosol particles. One of the most widely used techniques of generating monodisperse aerosol particles is by using the Tandem DMA method. The main advantage of this method is the wide range of particle sizes it can generate. Further research, may involve the Tandem DMA.
- Calibration and comparison of the instrument with other particle measuring devices such as SMPS, CPC, EAD, and ELPI should be conducted further.
- In order to measure transient behavior of airborne particles, such as those found in automotive exhaust gas, the time response of the instrument should be further improved.

Acknowledgment

Financial support from the Thailand Research Fund (TRF) is gratefully acknowledged.

References

- 1. Hinds, W. C., 1999. Aerosol Technology, John Wiley & Sons, New York.
- 2. Intra, P. and Tippayawong, N., 2003. Particle Size Analyzers. Journal of the Scientific & Technological Research Equipment Centre, Vol. 11, 156-170. (in Thai)
- Intra, P. and Tippayawong, N., 2007. An Overview of Aerosol Particle Sensors for Size Distribution Measurement. Maejo International Journal of Science and Technology, Vol. 1, No. 2, pp. 120 -136.
- TSI Incorporated, 2006. Operation and Service Manual, Revision L, for Scanning Electrical Mobility SizerTM (SMPSTM) Spectrometer, Model 3936, Minnesota.

- Agrawal, J.K. and Sem, G.J., 1980. Continuous Flow, Single-particle-counting Condensation Nucleus Counter. Journal of Aerosol Science, Vol. 11, 343 - 357.
- TSI Incorporated, 2002. Instruction Manual, Revision F, for Condensation Particle Counter, Model 3010, Minnesota.
- Johnson, T., Kaufman, S. and Medved, A., 2002. Response of an Electrical Aerosol Detector based on a Corona Jet Charger, 6th International. ETH Conference Nanoparticle Measurement, 19 - 21 August, Zurich, Switzerland.
- 8. Keskinen, J., Pietarinen, K. and Lehtimaki, M., 1992. Electrical Low Pressure Impactor. Journal of Aerosol Science, Vol. 23, pp. 353-360.
- Intra, P., 2008. An Inertial Impactor for Submicron-Particle Separation. Chiang Mai University Journal of Natural Science, under 1st review.
- Intra, P., and Tippayawong, N., 2006. Corona Ionizer for Unipolar Diffusion Charging of Nanometer Aerosol Particles, Proceeding of 29th Electrical Engineering Conference, Pattaya, Thailand, 9 – 10 November, pp. 1177 – 1180.

- Intra, P. and Tippayawong, N., 2008. An Electrostatic Sensor for Nanometer-Sized Aerosol Particles Detection, Asia-Pacific Symposium on Applied Electromagnetics and Mechanics, 24 - 25 July, Bangkok, Thailand.
- 12. Intra, P., and Tippayawong, N., 2007. An Ultra-Low Current Meter for Aerosol Detection. Chiang Mai University Journal of Natural Science, Vol. 6, No. 2, pp. 313 320.
- National Semiconductor Corporation, 2003.
 LMC662 CMOS Dual Operational Amplifier Data Sheet.
- 14. Cleary, T.G., Mulholland, G.W., Ives, L.K., Fletcher, R.A. and Gentry, J.W., 1992. Ultrafine Combustion Aerosol Generator. Aerosol Science and Technology, Vol. 16, pp. 166-170.

ภาคผนวก ข-10

Intra, P. and Tippayawong, N., "Analytical investigation of an electrostatic precipitator for excess ions removal after charging process of the electrical mobility spectrometer", Oral presentation, *The 7th PSU-Engineering Conference*, 21 – 22 May, 2009.

Panich Intra^{1*} Nakorn Tippayawong²

¹College of Integrated Science and Technology, Rajamangala University of Technology Lanna,
Chiang Mai 50300

²Department of Mechanical Engineering, Faculty of Engineering, Chiang Mai University,
Chiang Mai 50200

E-mail: panich.intra@hotmail.com, panich intra@yahoo.com*

Abstract

An electrostatic precipitator (ESP) is widely used to work as an ion precipitator for removing the excess ions mixing with the charged particles after charging process of the electrical mobility spectrometer. In this paper, the ion precipitator for the electrical mobility spectrometer was designed, constructed, analytical investigated. An analytical model was developed to investigate the ions transport inside the ion precipitator to give a better understanding on the operation of the ion precipitator in this study. The analysis was carried out for positive ions, positively applied voltage at the wire electrode between 10 and 100 V, total flow rate of 1 and 5 L/min, operating pressure of 1000 mbar and radial distance of the inlet between 0.15 and 14 mm at a fixed radial of wire and outer electrodes. It was found that higher applied wire electrode voltage caused ions to deposit closer to the entrance. Conversely, faster flow rate forced ions to impact the wall further downstream. It was shown that all charged particles of 10 nm in diameter can pass through the ion precipitator smoothly without precipitated at the outer electrode. It can be concluded that the prediction of ion and particle trajectories was particularly useful in the ion precipitator design.

Keywords: Ion, Electrostatic Precipitator, Electrical Mobility

1. Introduction

The ion precipitator is one of the most important components in the aerosol particle sizing and measurement system by the electrical mobility technique [1]. The aim of the ion precipitator for the electrical mobility spectrometer was to remove the high electrical mobility of the excess free ions mixing with the charged particles after the particle charging process. As the free ions can potentially reach the detector and ruin the measurement, an ion precipitator is introduced just after the particle charger.

It is well known that ESPs are widely used for removing particles from gas streams in various industrial processes and room air-conditioning system [2-4]. Figure 1 shows the basic principle of a typical ESP. It consists of a discharge electrode placed along

the axis of the collecting electrode. A dc high electrical voltage is applied to the discharge electrode, while the collecting electrode is grounded. The high voltage produces an electric field and a flow of electric charges (ions) from discharge electrode to the collecting electrode. Dirty gas containing particulate pollutants is introduced into ESP. The particulates are bombarded by monopolar ions from the discharge electrode and are strongly charged; they are driven by electrostatic force toward the collecting electrode and are deposited in its inner surface. In this way the outgoing gas flow would become particle-free. Although ESPs are initially designed to precipitate particles, they are also proper for depositing ions under certain conditions. This is because ions are, just like the charged particles, carrying charges, therefore they can be precipitated within an electric field. The key to changing an ESP into an ion precipitator lies in applying a proper voltage to the ESP, such only ions are precipitated while charged particles can pass through smoothly.

The aim of the present paper is to develop the mathematical model to predict the ion trajectory inside the ion precipitator. The analysis was carried out for positive ions, positively applied voltage at the wire electrode between 10 to 100 V, total flow rate of 1 to 5 L/min, operating pressure of 1000 mbar and radial distance of the inlet between 0.15 to 14 mm at a fixed radial of wire and outer electrodes. A detail description of the ion precipitator design was also presented in this paper.

2. Description of the Ion Precipitator

A schematic diagram of the ion precipitator used in this study is shown in Figure 2. It has a geometrical configuration similar to that used by Lethtimaki [5],

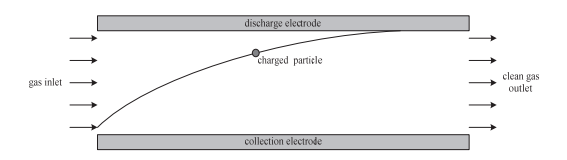


Figure 1. Basic principle of a typical ESP

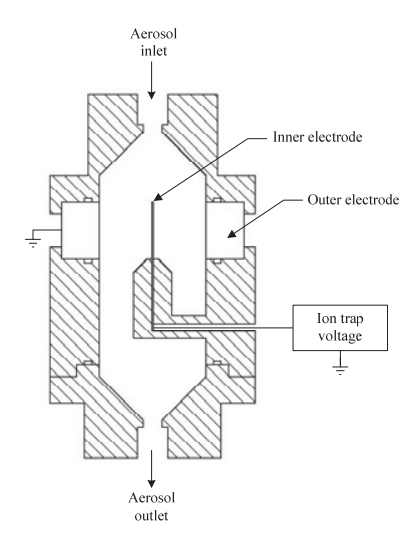


Figure 2. Schematic diagram of the ion precipitator

and Keskinen et al. [6]. It consists of a coaxial wire electrode placed along the axis of a metallic cylinder tube. The outer electrode is made of aluminum tube 28 mm in diameter and 15 mm in length. The wire electrode is made of stainless steel wire 300 μ m in diameter and 15 mm in length. DC voltage supply was applied to the wire electrode, typically in the range between 10 – 100 V, while the outer metallic electrode is grounded.

3. Modeling of Ions Transport inside the Ion Precipitator

The transportation of ions and charged particles inside the electrostatic precipitator have been studied and presented in the published literature [7 - 12]. As shown in Figure 1, the axial motion of ion was influenced by the fluid velocity profile in the axial flow. The radial motion of ion is due to electric force which is by far greater than other forces. When the ions introduced into the ion precipitator, any ions under the influence of an electric field will have an electrical mobility. It is assumed that the flow and electric fields are axisymmetric and steady, the flow in the precipitator is laminar, fully developed and incompressible, the space charge effect is negligible, and Brownian diffusion effects are negligible. For the particular case of annular geometries where the ions enters the precipitator on an axial flow and the ions migrate along the radial direction of electric field, motion of the ions within the precipitator can be described by the system of differential equations as

$$\frac{\mathrm{d}r}{\mathrm{d}t} = u_r + \Box_i E_r \tag{1}$$

$$\frac{\mathrm{d}\Box}{\mathrm{d}t} = u_{\Box} + \Box_{i} E_{\Box} \tag{2}$$

where r and \square are the radial and axial dimensions of the classifier, u_r and u_\square are the radial and axial components of the air flow velocity. Similarly, E_r and E_\square are the radial and axial components of the electric field and \square_i is the electrical mobility of ions. Based on the work of Reischl et al. [13], the average value for the positive ion electrical mobility at atmospheric pressure was $\square_i = 1.425 \times 10^{-4} \text{ m}^2/\text{V}$ s. When a uniform electric field is established between the two electrodes of the precipitator, the electric field components are given by the following relations

$$E_r = \frac{\Box}{r \ln(r_2/r_1)} \text{ and } E_{\Box} \approx 0$$
 (3)

where r_{\square} and r_{\square} are the radii of the wire and outer electrodes, respectively. Assuming that the radial velocity component for a laminar annular flow is zero $(u_r = 0)$ and combining the above equations, the ions trajectories can be described by [11]

$$\frac{\mathrm{d}r}{\mathrm{d}t} = \frac{\Box_i \Box}{r \ln(r_2/r_1)} \tag{4}$$

$$\frac{\mathrm{d}\Box}{\mathrm{d}t} = u_{\Box}(r) = Ar^2 + \Box \ln(r) + \Box \tag{5}$$

where:

$$A = \frac{1}{4\mu} \frac{\mathrm{d}p}{\mathrm{d}\Box},\tag{6}$$

$$\Box = -\frac{1}{4\mu} \frac{\mathrm{d}p}{\mathrm{d}\Box} \left(\frac{r_2^2 - r_1^2}{\ln(r_2/r_1)} \right),\tag{7}$$

$$\Box = \frac{1}{4\mu} \frac{\mathrm{d}p}{\mathrm{d}\Box} \left(\frac{r_2^2 - r_1^2}{\ln(r_2/r_1)} \ln(r_1) - r_1^2 \right), \tag{8}$$

dp/d□denotes the constant pressure gradient is given by the following equations

$$\frac{\mathrm{d}p}{\mathrm{d}\Box} = -\frac{\rho\Box^2 f}{2\Box_h} \tag{9}$$

where:

$$\Box_h = 2r_2 \left(1 - \left(r_1 / r_2 \right) \right), \tag{10}$$

$$f = \frac{64}{\text{Re}} \left(\frac{1 + (r_1/r_2)^2}{(1 - (r_1/r_2))^2} + \frac{1 + (r_1/r_2)}{(1 - (r_1/r_2)) \ln(r_1/r_2)} \right)^{-1},$$
(11)

$$Re = \frac{2r_2(1 - (r_1/r_2))\overline{\Box}\rho}{\mu},$$
 (12)

 \Box_h is the hydraulic diameter for an annular flow area, f is the friction factor, \Box is the mean axial flow velocity, ρ is the gas density and Re is the Reynolds number in the annular flow. Using Equations (4) and (5), the trajectory of the ions is given by

$$\frac{\mathrm{d}r}{\mathrm{d}\Box} = \frac{\frac{\mathrm{d}r}{\mathrm{d}t}}{\frac{\mathrm{d}\Box}{\mathrm{d}t}} = \frac{\Box_{i}\Box}{ru_{\Box}(r)\ln(r_{2}/r_{1})}$$
(13)

Integrating Equation (13), the migration paths of the ions can be determined as

$$\int_{r_{-}}^{r_{2}} r u_{\square}(r) dr = \int_{0}^{\square} \frac{\square \square_{1}}{\ln (r_{2}/r_{1})} d\square$$
 (14)

where r_{in} is the radial position at which the ions enters the precipitator. Therefore, the ions entering the precipitator at a radial position of r_{in} has trajectory taking it to an axial position of \square which can be obtained as

$$\Box = -\frac{g(r_{in})\ln(r_2/r_1)}{4\Box\Box_i} \tag{15}$$

$$g(r_{in}) = \begin{pmatrix} Ar_2^4 - Ar_{in}^4 + \Box r_{in}^2 - \Box r_2^2 + 2\Box r_2^2 \ln(r_2) \\ -2\Box r_{in}^2 \ln(r_{in}) + 2\Box r_2^2 - 2\Box r_{in}^2 \end{pmatrix}$$
(16)

4. Calculation Procedure

An analytical model was developed investigate the ions transport inside the ion precipitator to give a better understanding on the operation of the ion precipitator. Calculations have been performed for positive ions and charged particles. These calculations were carried out at varying positively applied voltage at the wire electrode between 10 and 100 V, total air flow rate between 1 and 5 L/min, and the radial distance of the inlet between 0.15 to 14 mm at a fixed radial of wire and outer electrodes (r_{\square} = 0.15 mm and r_{\square} = 14 mm). The parameters and operating conditions used are shown in Table 1. Air density and viscosity are 1.225 kg/m^3 and 1.7894 × 10⁻⁵ kg/m/s, respectively. Operating temperature and pressure are 294 K and 1000 mbar, respectively. In this study, the flow conditions inside the ion precipitator are assumed to be steady, incompressible and laminar. The electric field distribution inside the ion precipitator is also assumed to be uniform in the axial direction. The ion and particle trajectories were calculated using Equations (15) and (16) with Microsoft Visual Basic programming.

Table 1 Model parameter and operating condition values

Parameter and operating conditions	Values	
Diameter of wire electrode, r_{\square} (mm)	0.15	
Diameter of outer electrode, r_{\square} (mm)	14	
Length of precipitator, □(mm)	15	
Wire electrode voltage, $\Box(V)$	10, 50, 100	
Toal flow rate, (L/min)	1, 3, 5	
Nature of flow	Laminar	
Operating temperature, $T(K)$	294	
Operating pressure, \Box (atm)	1	
Gas density, (kg/m ³)	1.225	
Gas viscosity, μ (kg/m/s)	1.7894×10^{-5}	
Polarity of ions	Positive	
Electrical mobility of ion, \Box (m ² /V/s)	1.425×10^{-4}	
Particle size range, d_p (nm)	10	

5. Results and Discussion

Comparison of ion trajectories along the precipitator between the existing models and the present model is shown in Figure 3. The operating conditions of these models were: 10 V wire electrode voltage and 1 L/min total flow rate. It was shown that the ion trajectory of the present model agreed very well with that proposed by Hagwood et al. [8] and Williams [9]. However, it was also observed that the large difference between this model and the models that developed by Kulon et al. [10] and Wei [12]. It was expected to point out that their models were not taken into account the constant pressure gradient into the annular flow velocity profile which can result in significant errors. Figure 4 shows a number of trajectories of the positively ions as a function of wire electrode voltage. The ions were deflected radially toward the inner surface of the outer electrode of the precipitator. It was found that higher applied wire electrode voltage caused ions to deposit closer to the entrance. This was expected because the motion of ions was mainly influenced by the applied electrical force. Increase in applied voltage resulted in the increase of the ions collecting efficiency. It is clear from the Figure that the optimal wire electrode voltage was about 100 V. After the optimal wire electrode voltage was found, the optimal total flow rate through the precipitator was determined. Figure 5 show variation of ion trajectories along the precipitator with total flow rate. It was shown that faster flow rate forced ions to impact the wall further downstream (Figure 5).

It is still necessary to prove that the chosen voltage has barely minimum influence on the charged particles. This can be easily done by calculating particle trajectories with the ion precipitator at the identical voltage. In the calculations, particle governing equations are identical to ion governing Equations (15) with the only exception of the ion electrical mobility \Box in the Equation (15), with should be replaced by particle electrical mobility \Box . The electrical mobility of particle can be calculated as [14]:

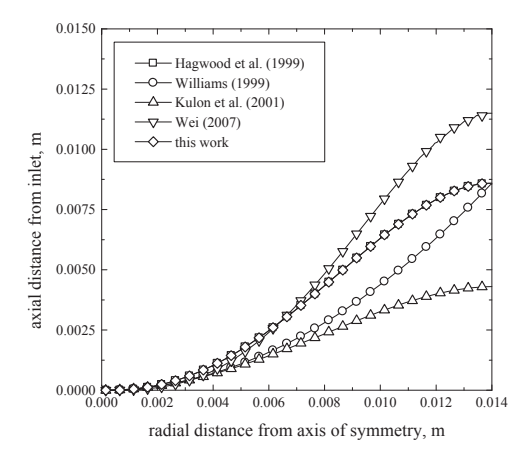


Figure 3. Comparison of ion trajectories along the precipitator between the existing models and the present model (10 V wire electrode voltage, and 1 L/min total flow rate)

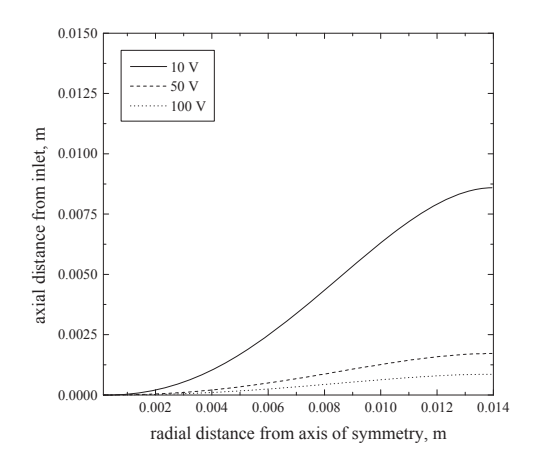


Figure 4. Variation of ion trajectories along the precipitator with wire electrode voltage (1 L/min total flow rate)

$$\Box_p = \frac{n_p e \,\Box_c}{3\pi u d} \tag{17}$$

where n_p is the net number of elementary charges on the particle, e is the value of elementary charge on an electron, \Box_c is the Cunningham slip correction factor, μ is the gas viscosity, and d_p is the particle diameter. Consider an extreme case in which a particle diameter of 10 nm (the lower limit of particle size in this study) is singly charged, thus the particle tends to have the largest electrical mobility. Figure 6 plots the charged particle trajectories within the ion precipitator, starting from different initial radial locations. It was shown that all charged particles can pass through the ion precipitator smoothly without precipitated at the outer electrode.

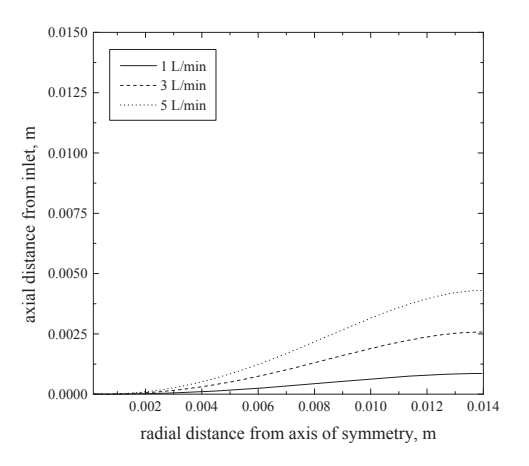


Figure 5. Variation of ion trajectories along the precipitator with total flow rate (100 V wire electrode voltage)

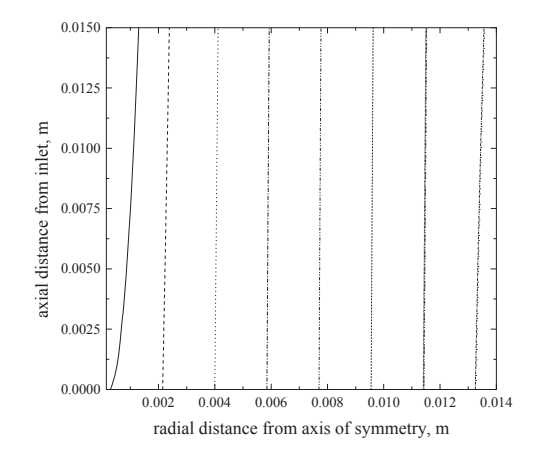


Figure 6. Variation of charged particle trajectories along the precipitator with inlet radial distance (100 V wire electrode voltage, 10 nm particle diameter, and 5 L/min total flow rate)

6. Conclusion

The ion precipitator for the electrical mobility spectrometer was designed, constructed, and analytical investigated in this paper. In this study, an analytical model was developed to investigate the ions transport inside the ion precipitator to give a better understanding on the operation of the ion precipitator. The analysis was carried out for positive ions, positively applied voltage at the wire electrode between 10 and 100 V, total flow rate of 1 and 5 L/min, operating pressure of 1000 mbar and radial distance of the inlet between 0.15 and 14 mm at a fixed radial of wire and outer electrodes. It was found that higher applied wire electrode voltage caused ions to deposit closer to the entrance. Conversely, faster flow rate forced ions to impact the wall further downstream. It was shown that all charged particles of 10 nm in diameter can pass through the ion precipitator smoothly without precipitated at the outer electrode.

Future ongoing research will experiment on the effects of the design parameters on the ion precipitator performance. The particle penetration efficiency of the precipitator downstream of the precipitator should be further theoretically and experimentally studied.

Acknowledgments

This research was financially supported by the Thailand Research Fund (TRF), contract no. MRG5180217.

References

- [1] Intra P. and Tippayawong N. 2008. An Electrostatic Sensor for Nanometer-Sized Aerosol Particles Detection, Asia-Pacific Symposium on Applied Electromagnetics and Mechanics, Bangkok, Thailand, July 24 25.
- [2] White, H.J. 1963. Industrial Electrostatic Precipitation, Addison-Wesley, Reading, Massachusetts, USA.
- [3] Parker K.R. 1997. Applied Electrostatic Precipitation, Blackie Academic & Professional, New York, USA.
- [4] Joworek, A., Krupa, A. and Czech, T. 2007. Modern Electrostatic Devices and Methods for Exhaust Gas Cleaning: A Brief Review. Journal of Electrostatic, 65: 133 – 155.
- [5] Lehtimaki, M. 1986. Studies of Aerosol Measuring Eechniques, Ph.D. Thesis, Tampere University of Technology, Tampere, Finland.

- [6] Keskinen, J., Pietarinen, K. and Lehtimaki, M. 1992. Electrical Low Pressure Impactor. Journal of Aerosol Science, 23: 353-360.
- [7] Knutson, E.O. and Whitby, K.T. 1975. Aerosol Classification by Electric Mobility: Apparatus, Theory, and Applications. Journal of Aerosol Science, 6: 443-451.
- [8] Hagwood, C., Sivathanu, Y. and Mulholland, G. 1999. The DMA Transfer Function with Brownian Motion a Trajectory/Monte-Carlo Approach. Aerosol Science and Technology, 30: 40-61.
- [9] Williams, P.I. 1999. Construction and Validation of a DMPS for Aerosol Characterization, Ph.D. Thesis, University of Manchester, U.K.
- [10] Kulon, J., Hrabar, S., Machowski, W. and Balachandran, W. 2001. A Bipolar Charge Measurement System for Aerosol Characterization, IEEE Transactions on Industry Applications, 37: 472-479.
- [11] Intra, P. and Tippayawong, N. 2005. Analytical Investigation of Aerosol Transport under Electric Field, NSTDA Annual Conference, Bangkok, Thailand, March 27 – 30. (in Thai)
- [12] Wei, J. 2007. Development of a Method for Measuring Surface Area Concentration of Ultrafine Particles, D.Eng. Thesis, University of Duisburg-Essen, Germany.
- [13] Reischl G.P., Makela J.M., Harch R. and Necid, J. 1996. Bipolar Charging of Ultrafine Particles in the Size Range below 10 nm. Journal of Aerosol Science, 27: 931 – 949.
- [14] Hinds W.C. 1999. Aerosol Technology, John Wiley & Sons, New York, U.S.A.

ภาคผนวก ข-11

Intra, P. and Tippayawong, N., "An electrical detector for nanometer-sized aerosol particles detection: development of the equipment and preliminary results", The 9th TRF Academic Meeting, Phetchaburi, Thailand, 15 – 17 October, 2009.

An Electrical Detector for Nanometer-Sized Aerosol Particles Detection: Development of the Equipment and Preliminary Results

Intra, P.1*, Tippayawong, N.2

□ollege of Integrated Science and Technology □ajamangala □ni ersity of Technology □a	ınna 🗆
\Box hiang Mai $\Box\Box\Box\Box\Box$ Thailand	
□epartment of Mechanical Engineering □hiang Mai □ni □ersity □	
\Box hiang Mai $\Box\Box\Box\Box\Box$ Thailand	

Abstract

An electrical detection system for measuring number concentration of nanometer-sized aerosol particles in the size range between 1 nm – 1 µm using electrostatic charge measurement technique was developed in this study. It consists of a size selective inlet, a particle charging system, an ion trap, a Faraday cup electrometer, a signal conditioning and processing system, and an I/O control and human-computer interface. In this system, an aerosol sample first passes through the size selective inlet to remove particles outside the measurement size range based on their aerodynamic diameter, and then pass through the unipolar corona charger that sets a charge on the particles and enter the ion trap to remove the free ions. After the ion trap, the charged particles then enter the Faraday cup electrometer for measuring ultra low current about 10⁻¹² A induced by charged particles collected on the filter in Faraday cup corresponding to the number concentration of particles. Signal current is then recorded and processed by a data acquisition system. The performance of the prototype electrometer circuit used in this work was evaluated and compared with a commercial electrometer and good agreement was found from the comparison. Finally, the preliminary experimental testing results were also shown and discussed.

Keywords: aerosol, particle, electrostatic, Faraday cup, electrometer

Outputs

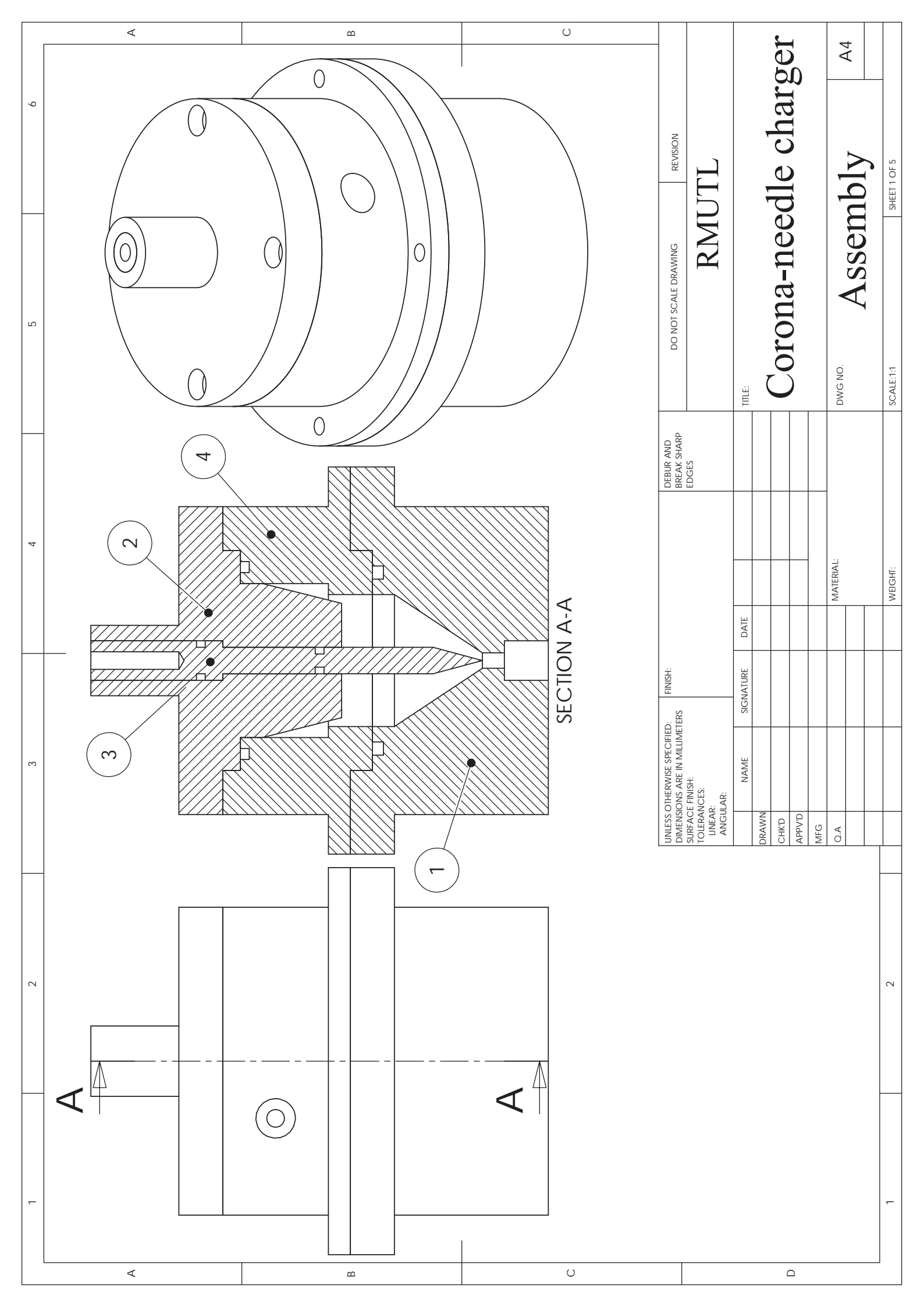
- 1. Intra P, Tippayawong N. *Measurements of ion current from a corona needle charger using a □araday cup electrometer*. Chiang Mai Journal of Science 2009; 36(1): 110 119.
- 2. Intra P, Tippayawong N. An electrostatic sensor for nanometer ided aerosol particles detection. Journal of the Japan Society of Applied Electromagnetics and Mechanics 2009; 17: accepted for publication.

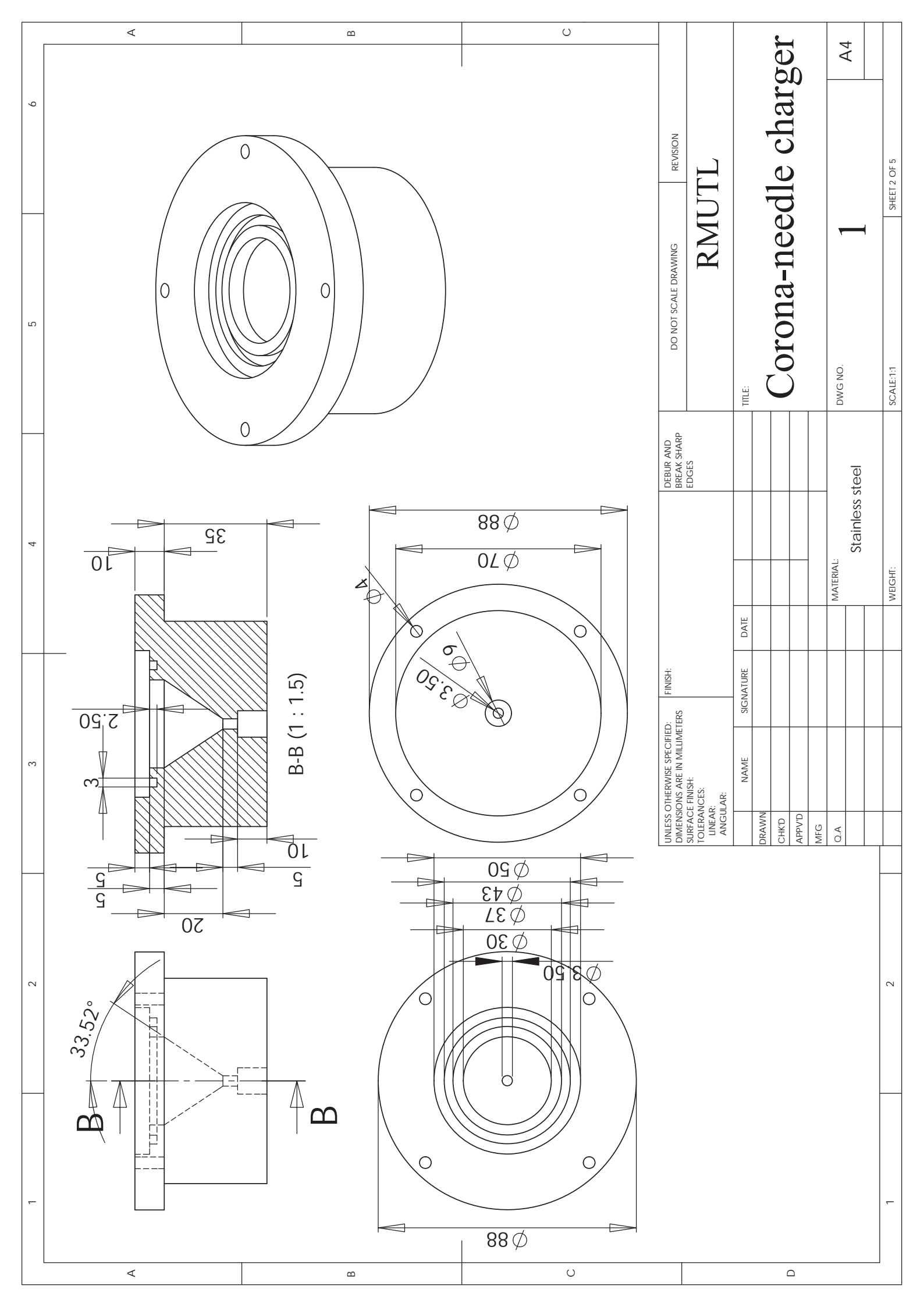
*Corresponding author.

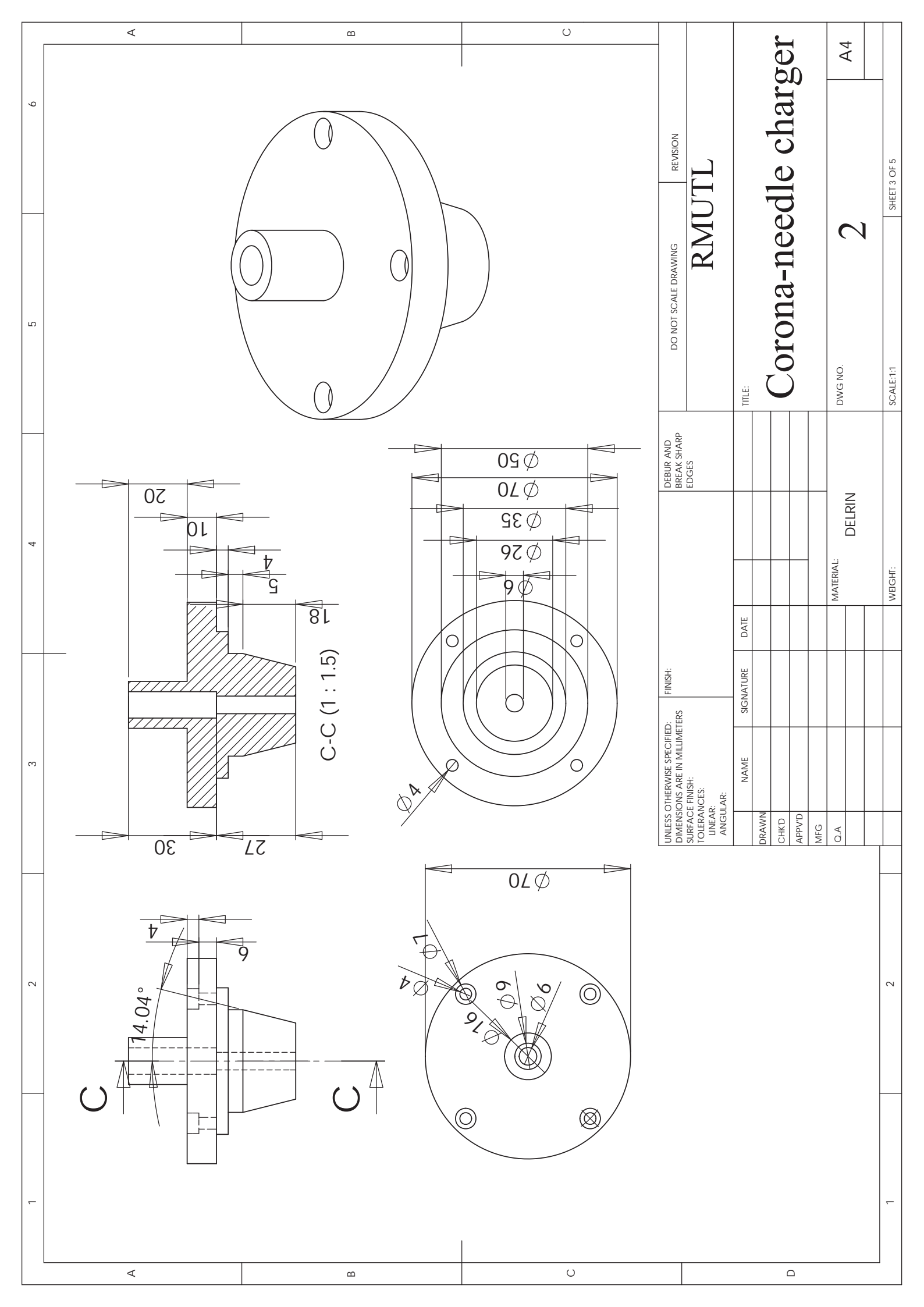
Tel.: 0-5392-1444; Fax: 0-5321-3183 E-mail: panich intra@yahoo.com

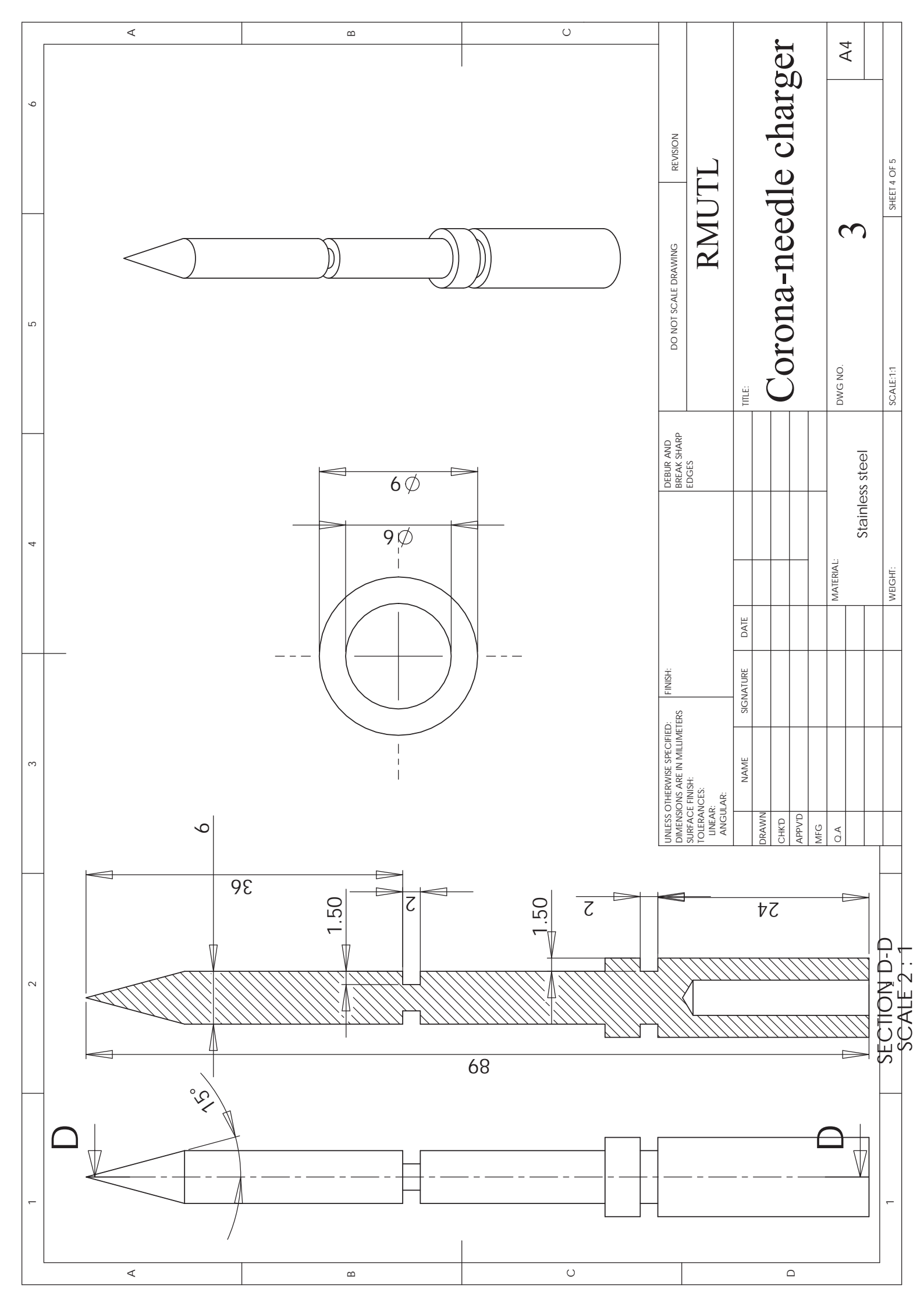
ภาคผนวก ค

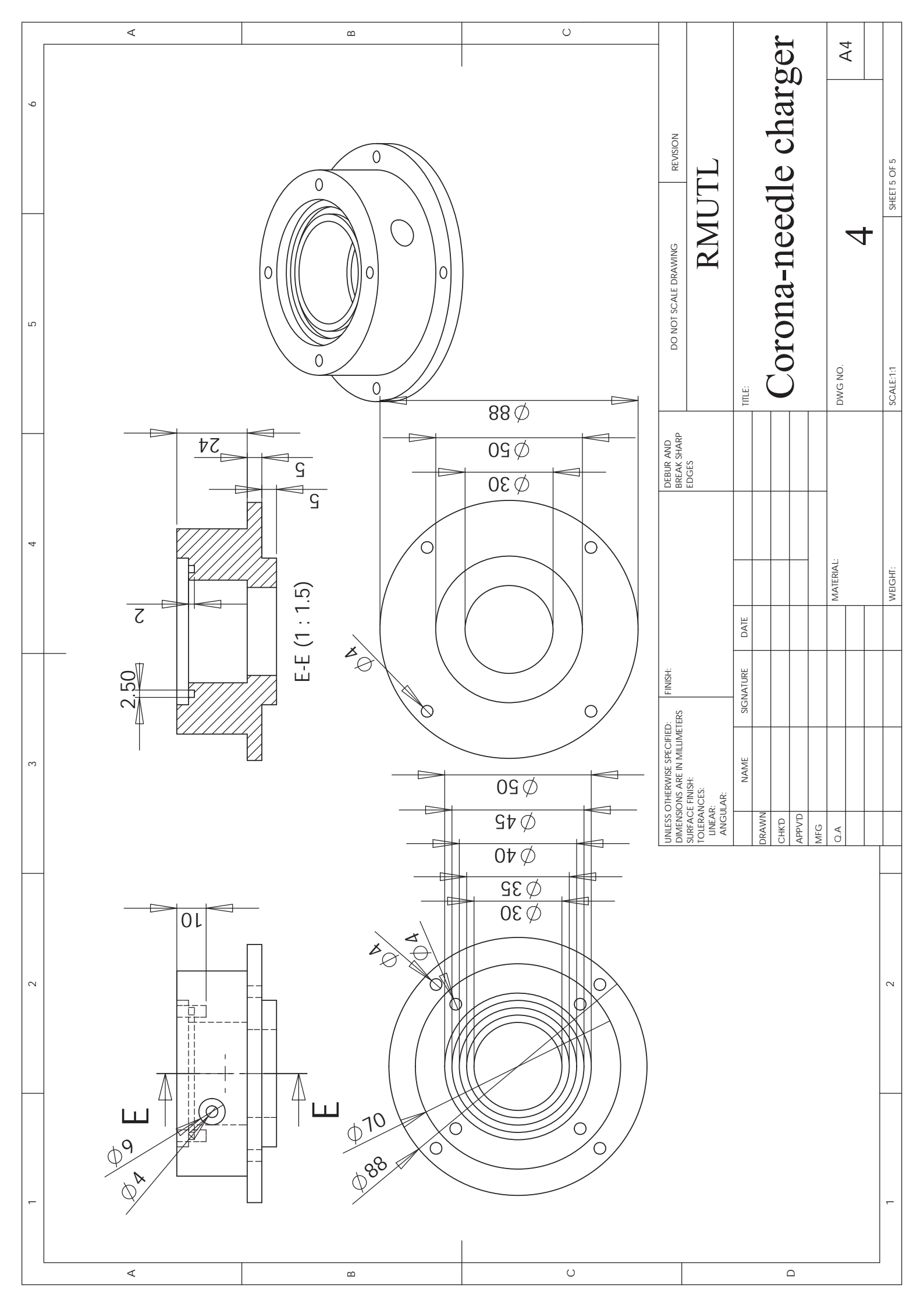
แบบเชิงเทคนิคของต้นแบบเครื่องวิเคราะห์ปริมาณความเข้มข้นเชิงจำนวนของอนุภาค นาโนแบบใช้หลักการวัดประจุไฟฟ้าสถิต

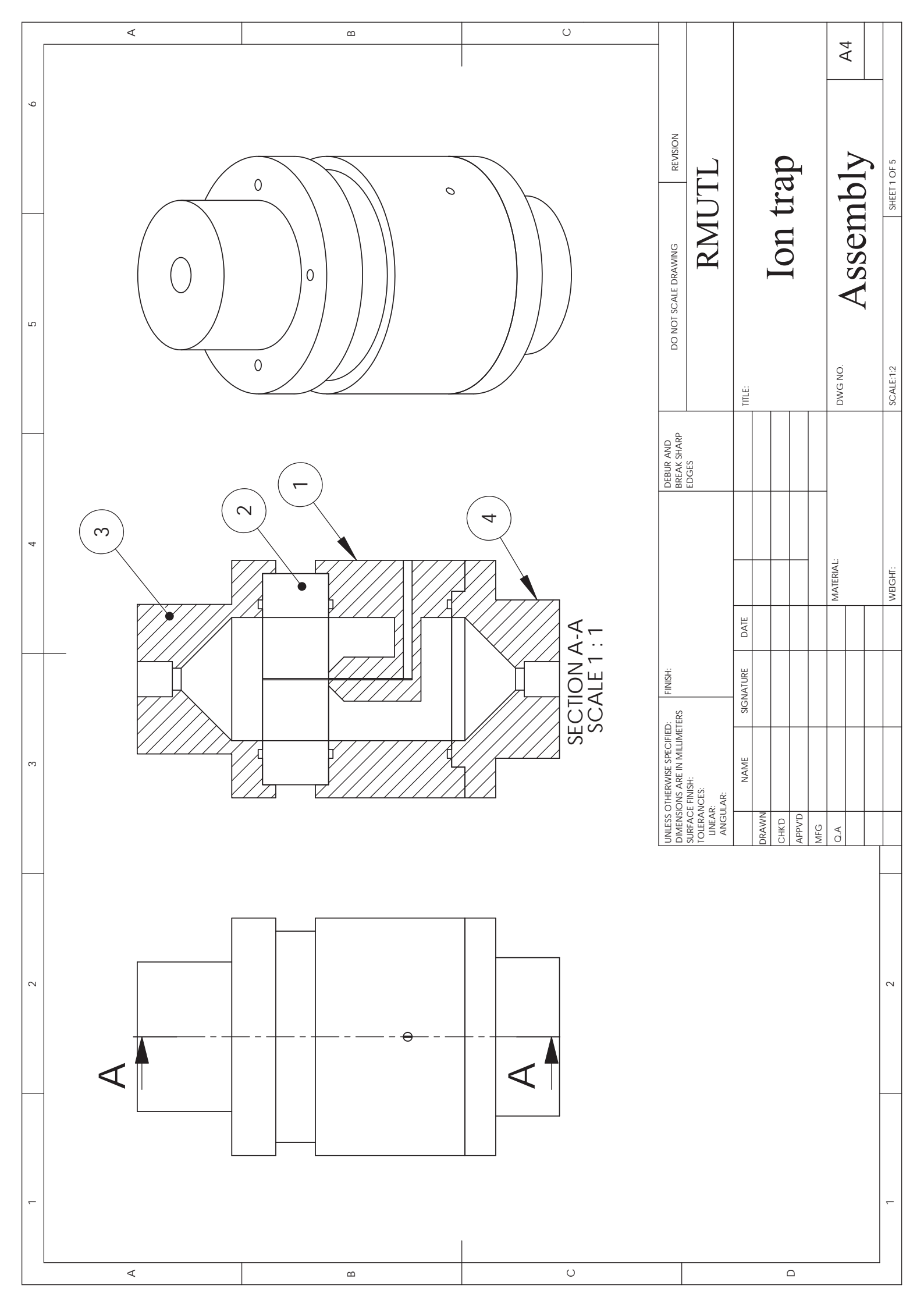


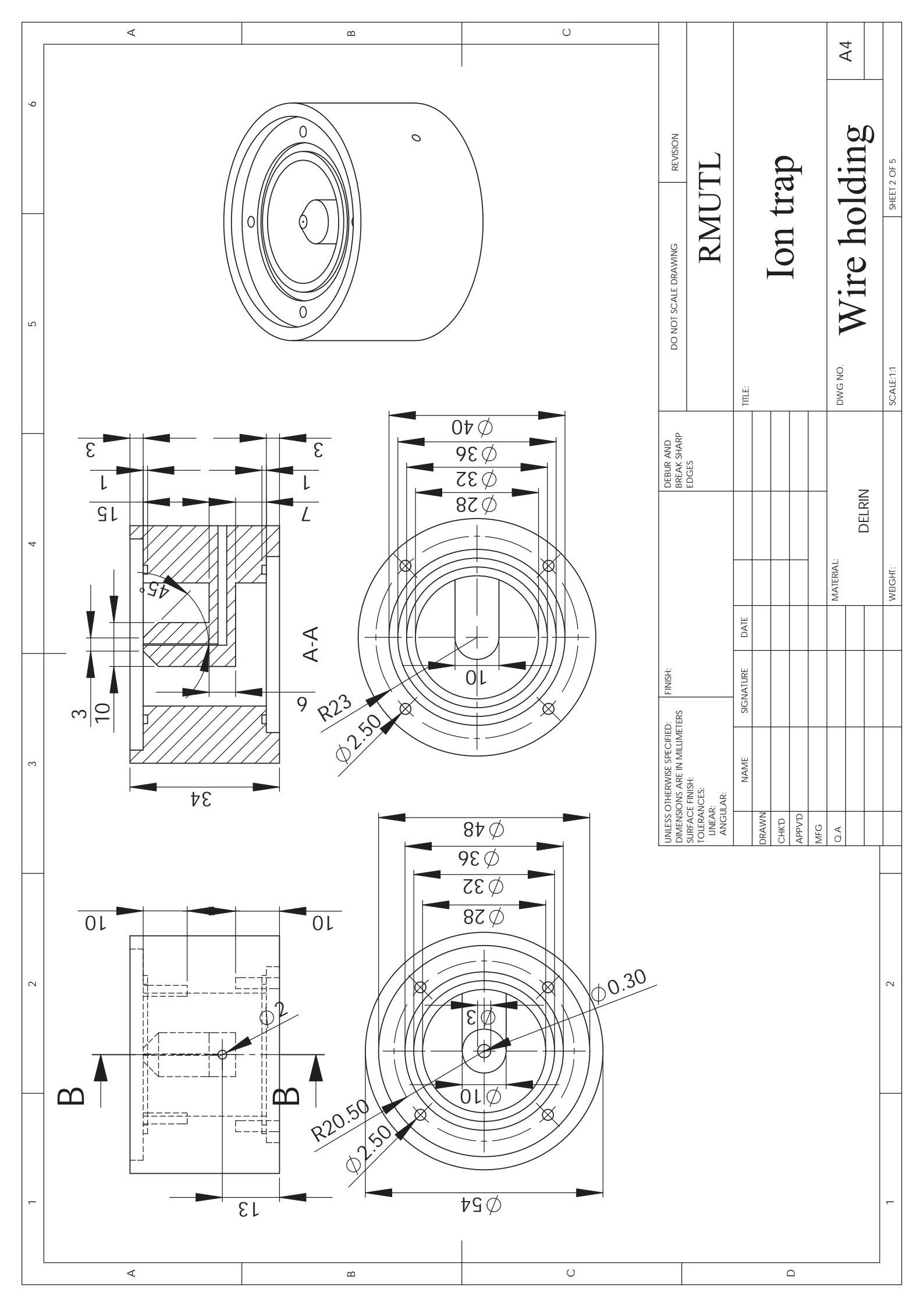


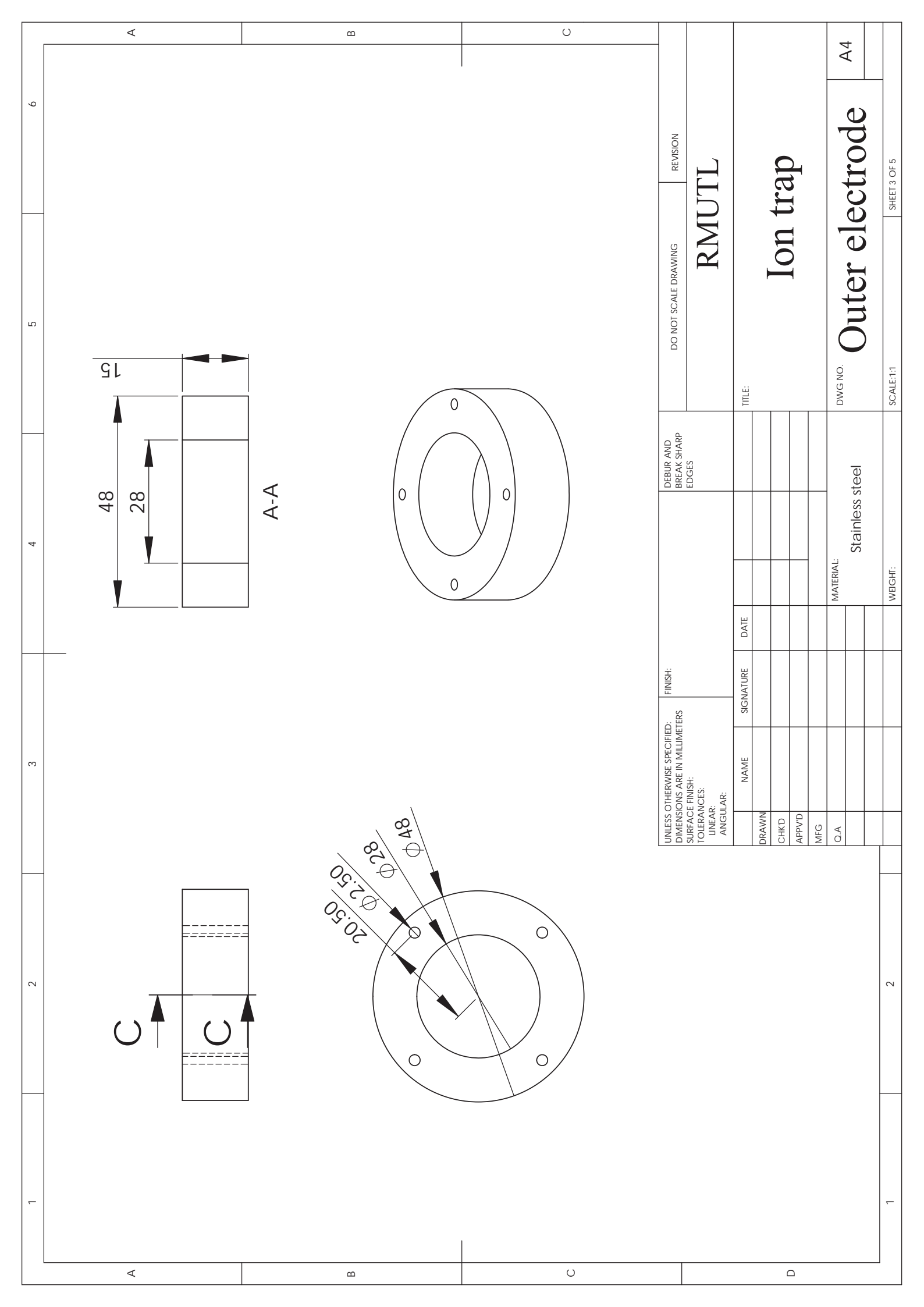


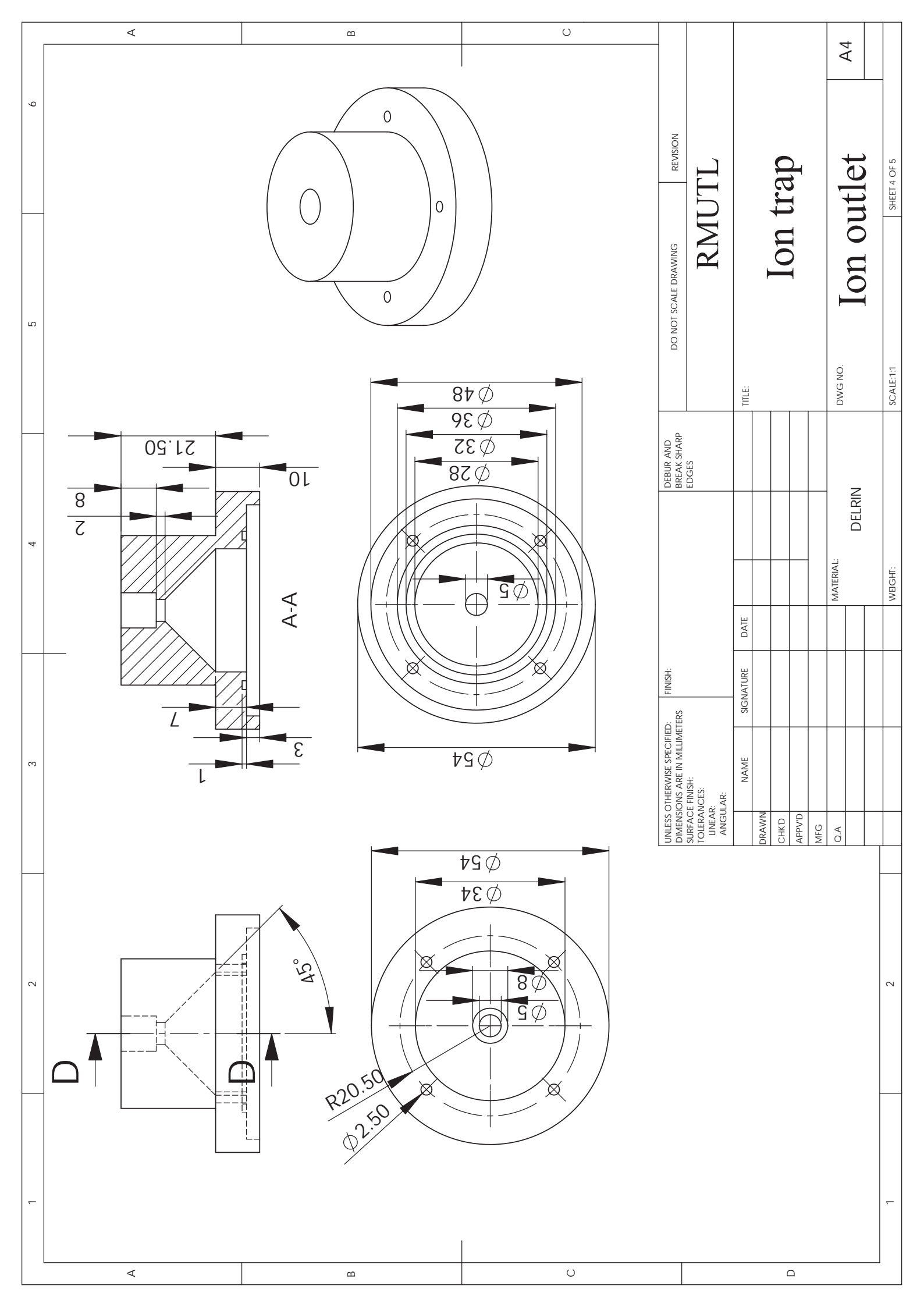


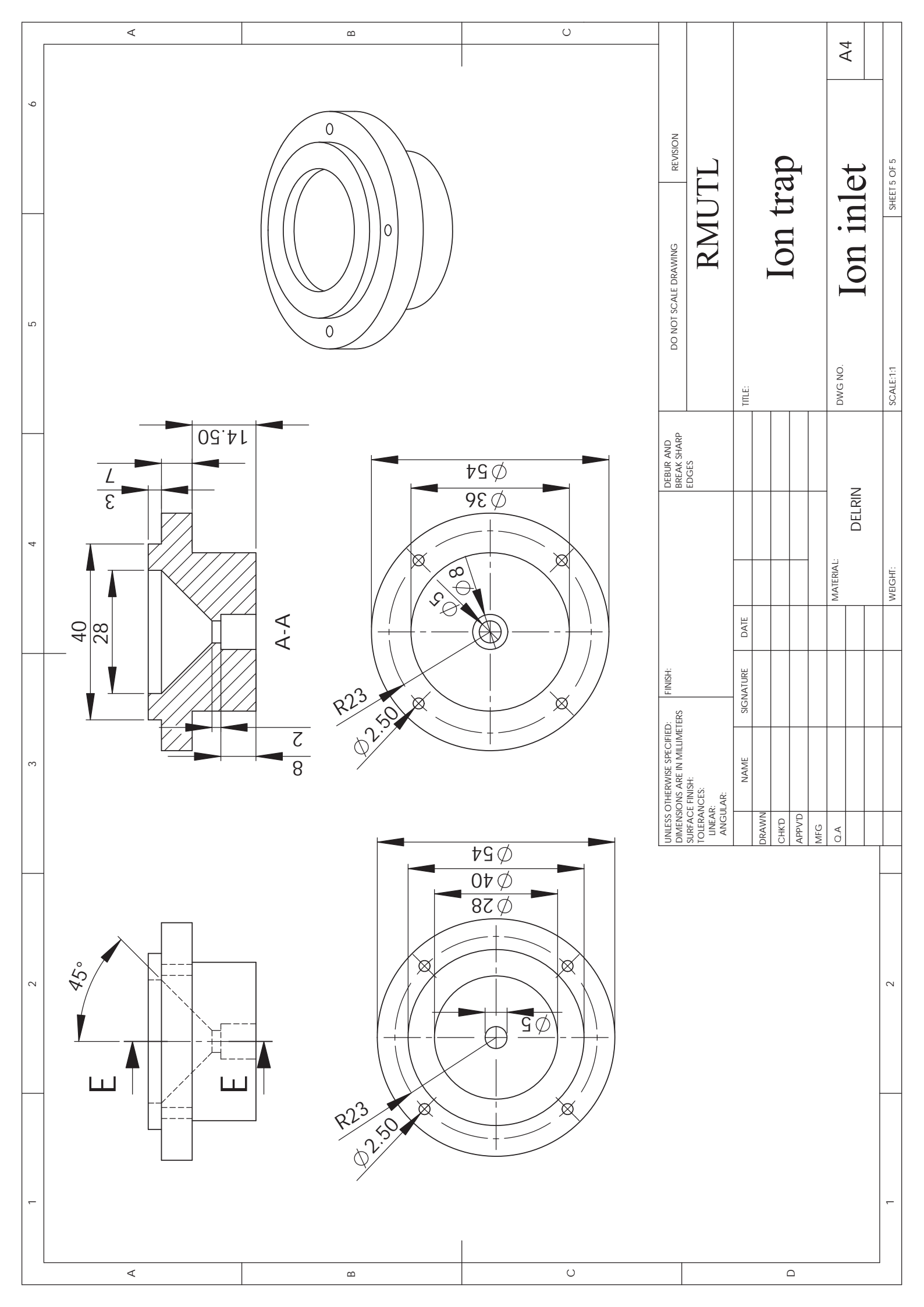


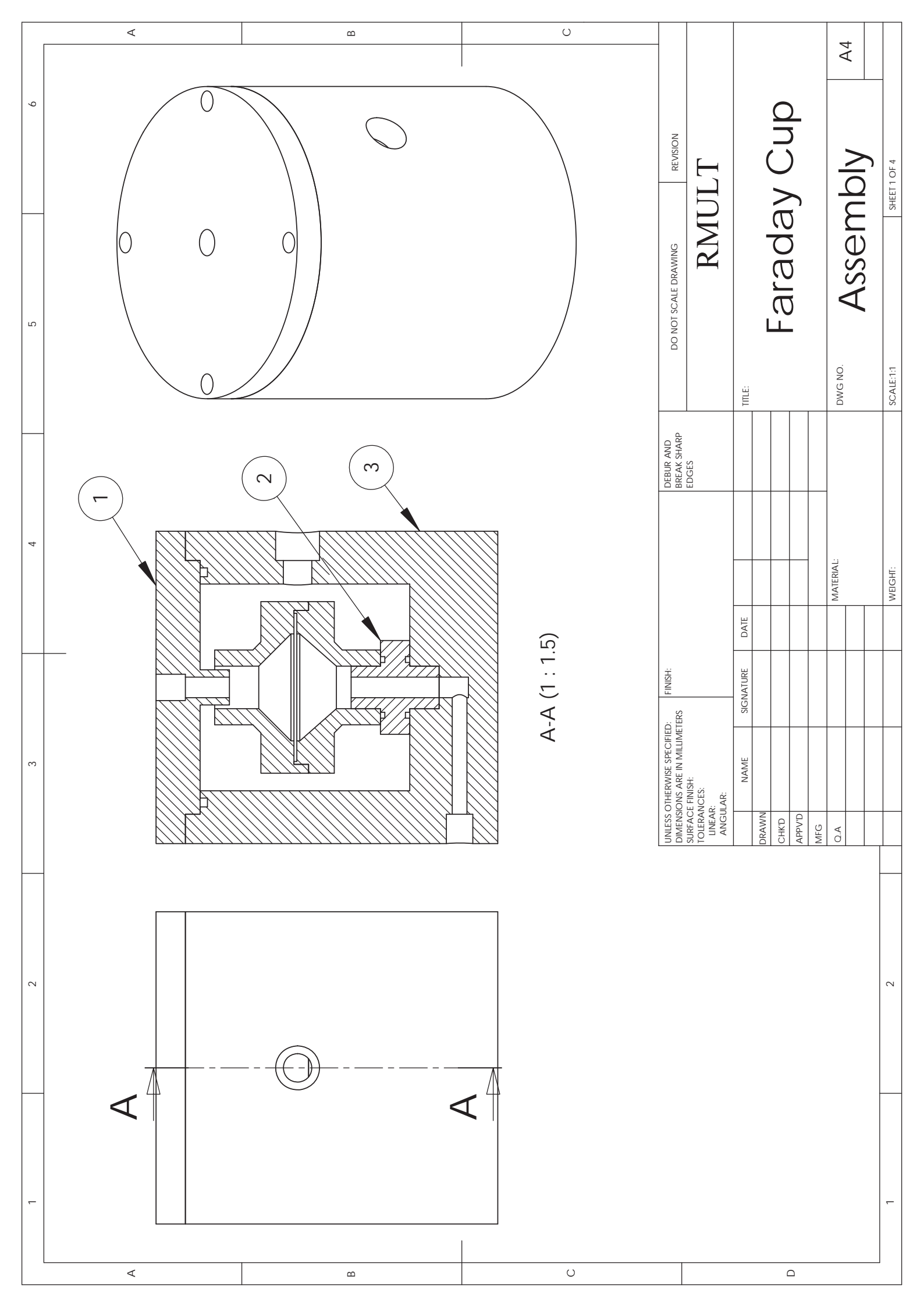


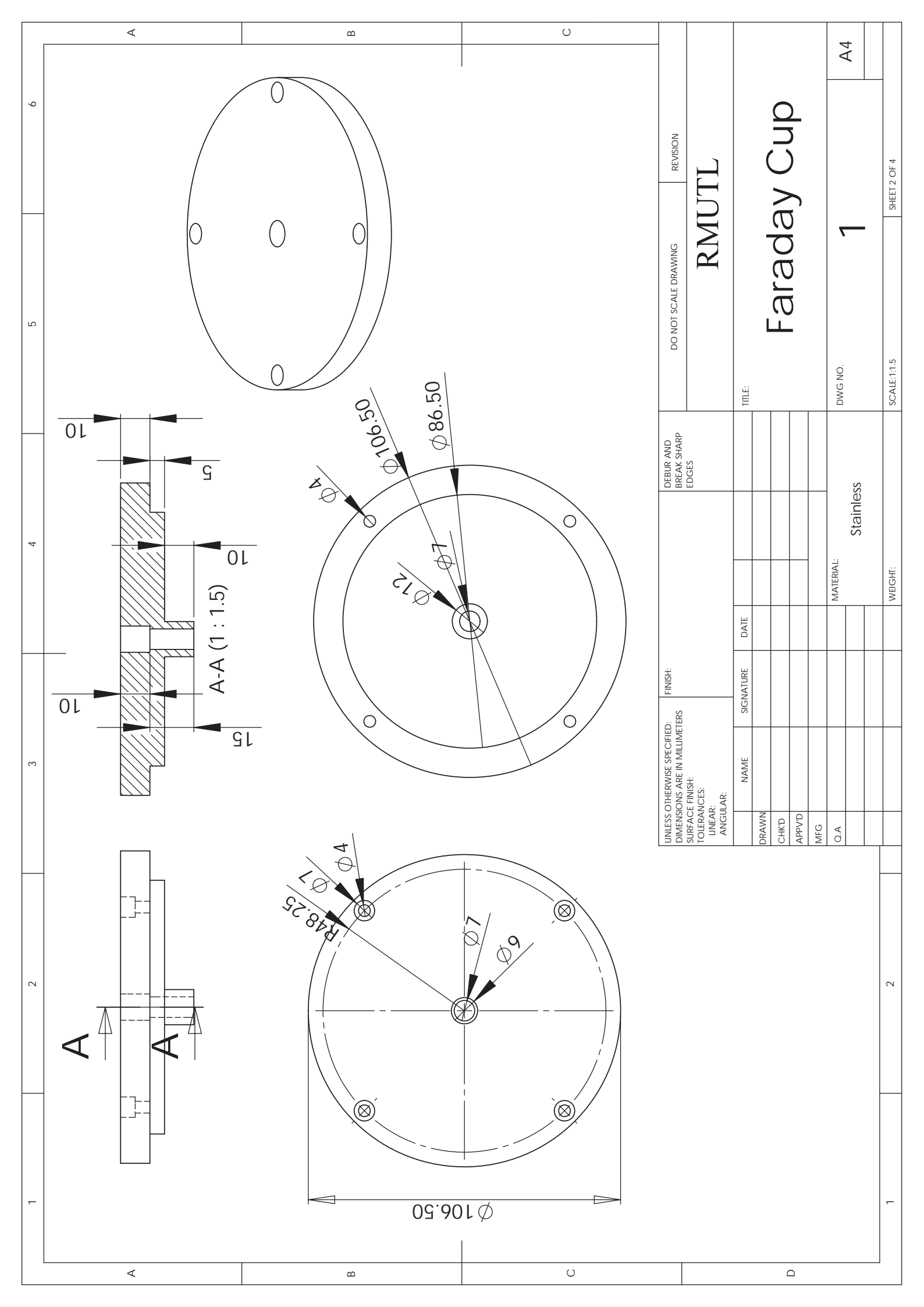


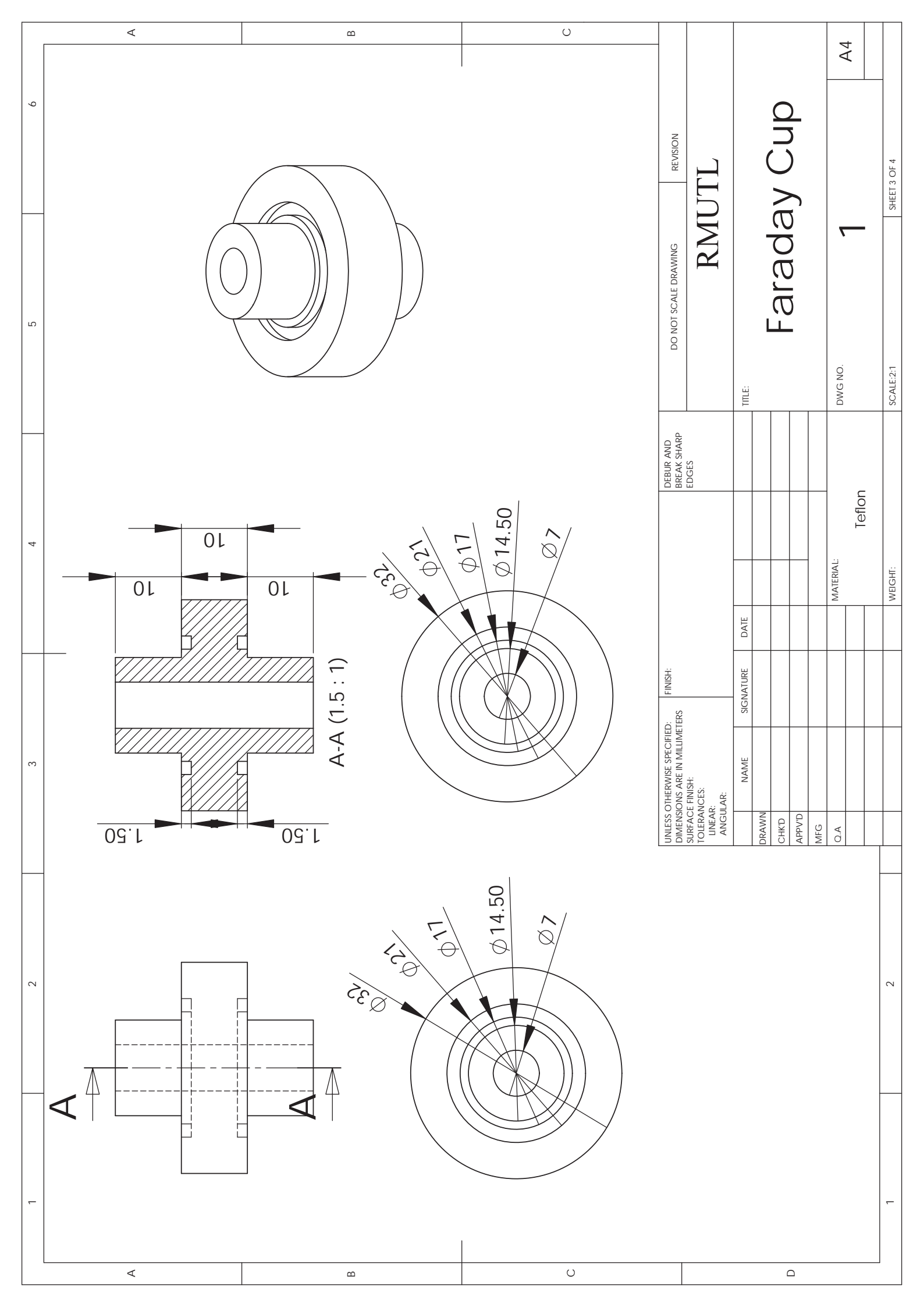


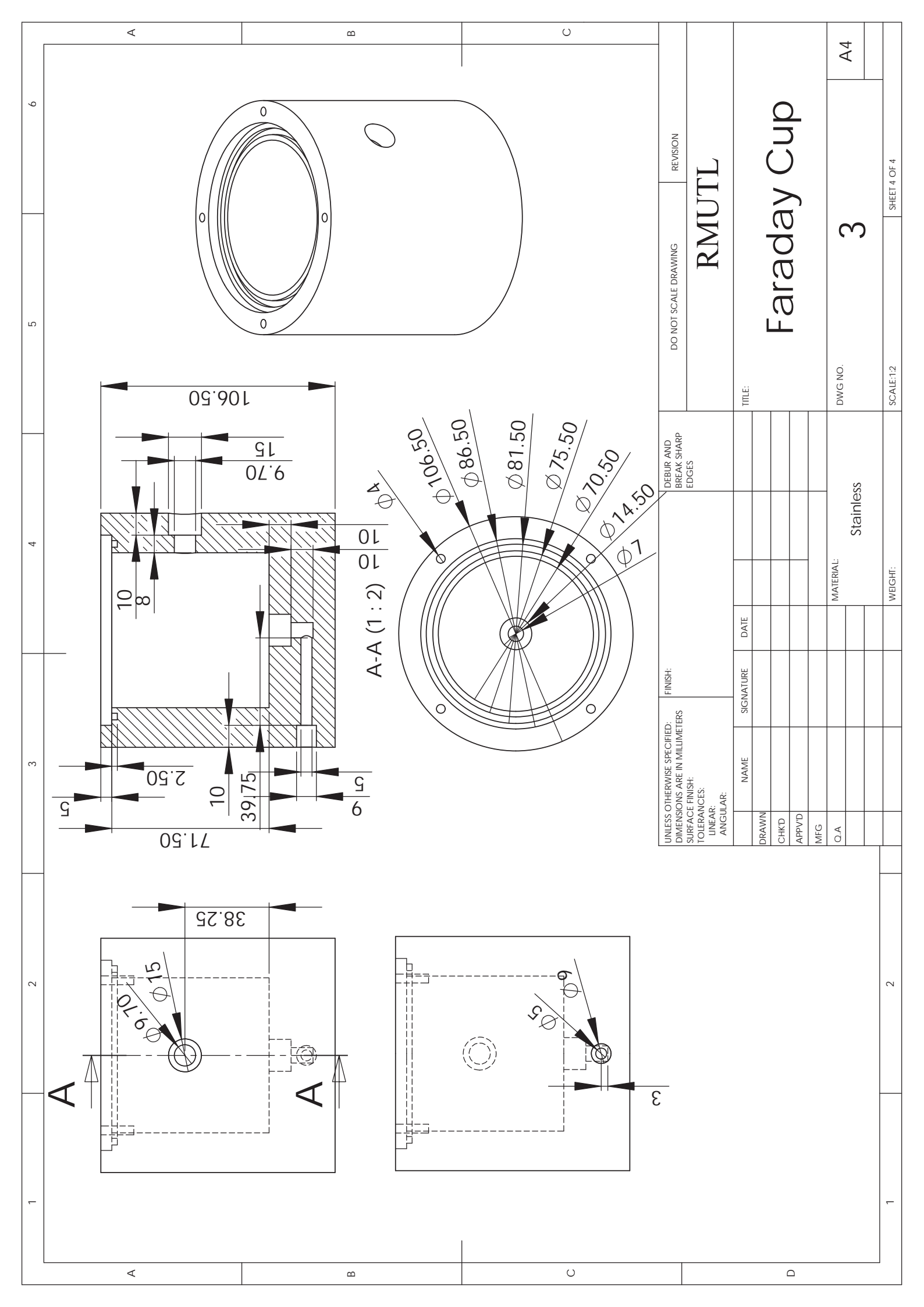












ประวัติผู้วิจัย

- ชื่อและนามสกุล (ภาษาไทย) นาย พานิช อินต๊ะ
 (ภาษาอังกฤษ) Mr. Panich Intra
 วันที่เกิด 4 เดือน กันยายน พ.ศ. 2521 เพศ ชาย ปัจจุบันอายุ 31 ปี
 เชื้อชาติ ไทย สัญชาติ ไทย ศาสนา พุทธ
- ที่อยู่ที่ทำงาน วิทยาลัยเทคโนโลยีและสหวิทยาการ
 มหาวิทยาลัยเทคโนโลยีราชมงคลล้านนา
 เลขที่ 128 ถนนหัวยแก้ว ตำบลช้างเผือก อำเภอเมือง จังหวัดเชียงใหม่
 รหัสไปรษณีย์ 50300 โทรศัพท์ 0-5392-1444 โทรสาร 0-5321-3183
 Email address: panich.intra@rmutl.ac.th Home page: http://college.rmutl.ac.th
- 3. ที่อยู่ที่บ้าน เลขที่ 77 หมู่ที่ 13 ตำบล หนองตอง อำเภอ หางดง จังหวัด เชียงใหม่
 รหัสไปรษณีย์ 50340 โทรศัพท์ 08-9755-1985, 08-6919-3185 โทรสาร E-mail address: panich_intra@yahoo.com Home page: -

4. ประวัติการศึกษาระดับอุดมศึกษา

สถาบันศึกษาระดับอุดมศึกษา	ช่วง พ.ศ. ที่ศึกษา	ระดับ	สาขาวิชา	เกรด เฉลี่ย
มหาวิทยาลัยเชียงใหม่	2546 –	ปริญญาเอก	วิศวกรรมเครื่องกล	-
	2549	(Ph.D.)		
มหาวิทยาลัยเชียงใหม่	2544 –	ปริญญาโท	วิศวกรรมพลังงาน	3.43
	2546	(M.Eng.)		
มหาวิทยาลัยเทคโนโลยีราช	2541 –	ปริญญาตรี	วิศวกรรมไฟฟ้า	3.21
มงคลล้านนา วิทยาเขตภาค	2544	(BS.Tech.Ed.)		
พายัพ				

5. ความรู้พิเศษและความชำนาญเชิงวิชาการ

- การวัดขนาดอนุภาคนาโนด้วยเทคนิคการเคลื่อนตัวเชิงไฟฟ้า (Nanoparticles size measurement using electrical mobility technique)
- การตกตะกอนเชิงไฟฟ้าสถิต (Electrostatic precipitation)

- ระบบเครื่องมือวัด เซ็นเซอร์ ทรานสดิวเซอร์ และการควบคุมอัตโนมัติ (Instrumentation sensor transducer and automation control)
- การเขียนโปรแกรม การจำลองการทำงาน และการเชื่อมต่อคอมพิวเตอร์กับเซ็นเซอร์ และทรานสดิวเซอร์ และอุปกรณ์ภายนอก (Computer programming, computer simulation, and computer interfacing)
- การวิเคราะห์การใช้พลังงานไฟฟ้าและความร้อนในอาคาร (Electrical and thermal energy analysis in building)

6. แนวทางของงานวิจัยที่สนใจ

- การพัฒนาและปรับปรุงเครื่องวิเคราะห์ขนาดอนุภาคแขวนลอยในอากาศแบบใช้
 หลักการเคลื่อนตัวทางไฟฟ้าระดับการทดสอบภาคสนาม
- การพัฒนาเครื่องวิเคราะห์ปริมาณความเข้มข้นเชิงจำนวนของอนุภาคนาโนแบบใช้ หลักการวัดประจุไฟฟ้าสถิต
- การพัฒนาและออกแบบเครื่องวัดกระแสไฟฟ้าระดับต่ำมากๆ (10⁻¹⁵ A) สำหรับการวัด ประจุของอนุภาคนาโน
- การพัฒนาและออกแบบเครื่องตกตะกอนเชิงไฟฟ้าสถิตสำหรับการควบคุมอนุภาค แขวนลอยจากเตาเผาชีวมวล
- การพัฒนาและออกแบบระบบการให้น้ำพืชที่จุดเหมาะสมด้วยวิธีการควบคุมความชื้นใน ดิน
- การพัฒนาและออกแบบเครื่องวัดอัตราการไหลเชิงมวลแบบใช้หลักการเคลื่อนตัวของ ไอออน

7. งานอดิเรกหรือความสนใจ

อ่านหนังสือ คันคว้า ศึกษาหาความรู้และเทคโนโลยีใหม่ๆ และเขียนบทความทางวิชาการ เผยแพร่ลงในวารสารวิชาการด้านวิศวกรรมและอุตสาหกรรมวิจัย

8. ประสบการณ์ทำงาน

- พ.ศ. 2552 ปัจจุบัน ผู้ร่วมวิจัย: การพัฒนาระบบกำจัดฝุ่นควันจากเตาเผาขยะชุมชน
 ขนาดไม่เกิน 1 ตันต่อวัน ได้รับทุนอุดหนุนจากสำนักงานพัฒนาวิทยาศาสตร์และ
 เทคโนโลยีแห่งชาติ เครือข่ายภาคเหนือ
- พ.ศ. 2552 ปัจจุบัน หัวหน้าโครงการ: การพัฒนาเครื่องวิเคราะห์และเก็บตัวอย่าง สำหรับอากาศและฝุ่นละอองลอยขนาดเล็ก PM 2.5 ได้รับทุนอุดหนุนจากสำนักงาน พัฒนาวิทยาศาสตร์และเทคโนโลยีแห่งชาติ เครือข่ายภาคเหนือ

- พ.ศ. 2551 ปัจจุบัน หัวหน้าโครงการ: การพัฒนาระบบกำจัดอนุภาคแขวนลอยจาก เตาเผาชีวมวลด้วยเทคนิคการตกตะกอนเชิงไฟฟ้าสถิต ได้รับทุนอุดหนุนจากสำนักงาน พัฒนาวิทยาศาสตร์และเทคโนโลยีแห่งชาติ เครือข่ายภาคเหนือ
- พ.ศ. 2551 ปัจจุบัน หัวหน้าโครงการ: โครงการพัฒนาเครื่องวิเคราะห์ปริมาณความ เข้มขันเชิงจำนวนของอนุภาคนาโนแบบใช้หลักการวัดประจุไฟฟ้าสถิตได้รับทุนอุดหนุน จากสำนักงานกองทุนสนับสนุนการวิจัย (ทุนพัฒนาศักยภาพในการทำงานวิจัยของ อาจารย์รุ่นใหม่)
- พ.ศ. 2550 ปัจจุบัน อาจารย์: วิทยาลัยเทคโนโลยีและสหวิทยาการ มหาวิทยาลัย เทคโนโลยีราชมงคลล้านนา
- พ.ศ. 2550 ปัจจุบัน ผู้ร่วมวิจัย: โครงการพัฒนาและปรับปรุงเครื่องวิเคราะห์ขนาด อนุภาคแขวนลอยในอากาศแบบใช้หลักการเคลื่อนตัวทางไฟฟ้าระดับการทดสอบ ภาคสนาม ได้รับทุนอุดหนุนโครงการวิจัย พัฒนา และวิศวกรรม สาขาเทคโนโลยี อิเล็กทรอนิกส์ งานวิจัยระบบตรวจวัดสิ่งแวดล้อม จากศูนย์เทคโนโลยีอิเล็กทรอนิกส์ และคอมพิวเตอร์แห่งชาติ สำนักงานพัฒนาวิทยาศาสตร์และเทคโนโลยีแห่งชาติ
- พ.ศ. 2549 2550 นักวิจัย: ศูนย์วิจัยพลังงาน มหาวิทยาลัยแม่โจ้
- พ.ศ. 2547 2549 ผู้ช่วยวิจัย: โครงการพัฒนาเครื่องวิเคราะห์ขนาดอนุภาคแขวนลอย ในอากาศแบบใช้หลักการเคลื่อนตัวทางไฟฟ้า ได้รับทุนอุดหนุนโครงการวิจัย พัฒนา และวิศวกรรม สาขาเทคโนโลยีอิเล็กทรอนิกส์ งานวิจัยระบบตรวจวัดสิ่งแวดล้อม จาก ศูนย์เทคโนโลยีอิเล็กทรอนิกส์และคอมพิวเตอร์แห่งชาติ สำนักงานพัฒนาวิทยาศาสตร์ และเทคโนโลยีแห่งชาติ

9. กรรมการสอบวิทยานิพนธ์

- กรรมการสอบวิทยานิพนธ์ นายสายชล สิทธิพงศ์ รหัส 4626140 นักศึกษาปริญญาโท สาขาวิศวกรรมพลังงาน ภาควิชาวิศวกรรมเครื่องกล คณะวิศวกรรมศาสตร์ มหาวิทยาลัยเชียงใหม่ ในหัวข้อเรื่อง "การออกแบบระบบควบคุมการทำงานสำหรับ สแต็กเซลล์เชื้อเพลิงชนิดเมมเบรนแลกเปลี่ยนโปรตอน"
- กรรมการสอบวิทยานิพนธ์ นายพงศกร ชูพันธ์ รหัส 4626054 นักศึกษาปริญญาโท สาขาวิศวกรรมพลังงาน ภาควิชาวิศวกรรมเครื่องกล คณะวิศวกรรมศาสตร์ มหาวิทยาลัยเชียงใหม่ ในหัวข้อเรื่อง "การวิเคราะห์สมรรถนะของเครื่องอัดประจุโคโร นาแบบเข็มสำหรับการวัดขนาดละอองลอย"
- กรรมการสอบวิทยานิพนธ์ นายปริญ คงกระพันธ์ รหัส 490631111 นักศึกษาปริญญา
 โท สาขาวิศวกรรมเครื่องกล ภาควิชาวิศวกรรมเครื่องกล คณะวิศวกรรมศาสตร์ มหาวิทยาลัยเชียงใหม่ ในหัวข้อเรื่อง "การพัฒนาหัวเผาพลาสมาความร้อนสำหรับการ กำจัดขยะอิเล็กทรอนิกส์"

• กรรมการสอบวิทยานิพนธ์ นายภาสกร อินถาสาน รหัส 500631057 นักศึกษาปริญญา โท สาขาวิศวกรรมเครื่องกล ภาควิชาวิศวกรรมเครื่องกล คณะวิศวกรรมศาสตร์ มหาวิทยาลัยเชียงใหม่ ในหัวเรื่อง "การสลายน้ำมันดินเบาโดยวิธีทางพลาสมา"

10. ผู้ทรงคุณวุฒิพิจารณาบทความวิจัย

- วารสารวิศวกรรมศาสตร์ มหาวิทยาลัยเชียงใหม่
- International Journal of Environmental Engineering
- African Journal of Environmental Science and Technology

11. ทุนวิจัยที่เคยได้รับ

ชื่อโครงการ	แหล่งทุน	งบประมาณ (บาท)	ปีที่ได้- สิ้นสุด	หัวหน้า / ผู้ร่วม วิจัย	จำนวน นักวิจัย
โครงการพัฒนาเครื่อง	ศูนย์เทคโนโลยี	1,696,700	2547 –	ผู้ร่วม	2 คน
วิเคราะห์ขนาดอนุภาค	อิเล็กทรอนิกส์		2549	วิจัย	
แขวนลอยในอากาศแบบใช้	และคอมพิวเตอร์				
หลักการเคลื่อนตัวทาง	แห่งชาติ				
ไฟฟ้า					
โครงการการจัดทำแผน	สำนักงาน	3,000,000	2550	ผู้ร่วม	10 คน
พลังงาน 80 ชุมชนสนอง	พลังงานภูมิภาค			วิจัย	
พระราชดำริ "เศรษฐกิจ	ที่ 9 สำนักงาน				
พอเพียง"	ปลัดกระทรวง				
	พลังงาน				
	กระทรวง				
	พลังงาน				
โครงการพัฒนาและ	ศูนย์เทคโนโลยี	1,379,950	2550 –	ผู้ร่วม	2 คน
ปรับปรุงเครื่องวิเคราะห์	อิเล็กทรอนิกส์		2552	วิจัย	
ขนาดอนุภาคแขวนลอยใน	และคอมพิวเตอร์				
อากาศแบบใช้หลักการ	แห่งชาติ				
เคลื่อนตัวทางไฟฟ้าระดับ					
การทดสอบภาคสนาม					

11. ทุนวิจัยที่เคยได้รับ (ต่อ)

ชื่อโครงการ	แหล่งทุน	งบประมาณ	ปีที่ได้-	หัวหน้า /	จำนวน
		(บาท)	สิ้นสุด	ผู้ร่วม	หักวิจัย
				วิจัย	
โครงการพัฒนาเครื่อง	สำนักงานกองทุน	480,000	2551 –	หัวหน้า	1 คน
วิเคราะห์ปริมาณความ	สนับสนุนการวิจัย		2553		
เข้มข้นเชิงจำนวนของ	(ทุนพัฒนา				
อนุภาคนาโนแบบใช้	ศักยภาพในการ				
หลักการวัดประจุไฟฟ้าสถิต	ทำงานวิจัยของ				
	อาจารย์รุ่นใหม่)				
โครงการพัฒนาระบบกำจัด	สำนักงานพัฒนา	200,000	2551 –	หัวหน้า	3 คน
อนุภาคแขวนลอยจาก	วิทยาศาสตร์และ		2552		
เตาเผาชีวมวลด้วยเทคนิค	เทคโนโลยี				
การตกตะกอนเชิงไฟฟ้า	แห่งชาติ				
สถิต	เครือข่าย				
	ภาคเหนือ				
การพัฒนาเครื่องวิเคราะห์	สำนักงานพัฒนา	200,000	2552 –	หัวหน้า	4 คน
และเก็บตัวอย่างสำหรับ	วิทยาศาสตร์และ		2553 (อยู่		
อากาศและฝุ่นละอองลอย	เทคโนโลยี		ระหว่าง		
ขนาดเล็ก PM 2.5	แห่งชาติ		ดำเนินการ		
	เครือข่าย		วิจัย)		
	ภาคเหนือ				
การพัฒนาระบบกำจัดฝุ่น	สำนักงานพัฒนา	200,000	2553 –	ผู้ร่วม	4 คน
ควันจากเตาเผาขยะชุมชน	วิทยาศาสตร์และ		2554 (อยู่	วิจัย	
ขนาดไม่เกิน 1 ตันต่อวัน	เทคโนโลยี		ระหว่าง		
	แห่งชาติ		ดำเนินการ		
	เครือข่าย		วิจัย)		
	ภาคเหนือ				

12. รางวัลด้านวิชาการหรือด้านวิจัยที่ได้รับ

ปี พ.ศ.	ชื่อรางวัล	หน่วยงานที่ให้	
2544	รางวัลชมเชย ประเภท 12: โปรแกรมเพื่อส่งเสริมการ	ศูนย์เทคโนโลยี	
	เรียนรู้ (ระดับนักศึกษา) โครงการโปรแกรมจำลองการ	อีเล็กทรอนิกส์และ	
	ทำงานของเครื่อง พี แอล ซี	คอมพิวเตอร์แห่งชาติ	
	ในการแข่งขันพัฒนาโปรแกรมคอมพิวเตอร์แห่งประเทศ		
	ไทย ครั้งที่ 3		
	ประจำปี 2544		
2549	รางวัลวิทยานิพนธ์ดีเด่นระดับดุษฎีบัณฑิต สาขา	บัณฑิตวิทยาลัย	
	วิทยาศาสตร์และเทคโนโลยี	มหาวิทยาลัยเชียงใหม่	
	เรื่องระบบการวัดขนาดละอองลอยในอากาศโดยใช้เทคนิค		
	การเคลื่อนตัวทางไฟฟ้า		

13. หนังสือหรือตำรา

• พานิช อินต๊ะ และ โกศล โอพารไพโรจน์, "เรียนรู้การเชื่อมต่อคอมพิวเตอร์กับอุปกรณ์ ภายนอกด้วย Visual Basic", สำนักพิมพ์ The Knowledge Center, กรุงเทพฯ, พ.ศ. 2550.

14. บทความการวิจัยระดับนานาชาติ

14.1 วารสารวิชาการระดับนานาชาติ

- Intra, P. and Tippayawong, N., "Approach to characterization of a diode type corona charger for aerosol size measurement", KIEE International Transactions on Electrophysics & Applications, Vol. 5-C, No. 5, pp. 196 – 203, 2005.
- Intra, P. and Tippayawong, N., "Comparative study on electrical discharge and operation characteristics of needle and wire-cylinder corona chargers", *Journal* of Electrical Engineering & Technology, Vol. 1, No. 4, pp. 520 – 527, 2006.
- Intra, P. and Tippayawong, N., "Aerosol size distribution measurement using multi-channel electrical mobility sensor", *Journal of Aerosol Research Japan*, Vol. 21, No. 4, pp. 329 340, 2006.
- Intra, P. and Tippayawong, N., "An overview of aerosol particle sensors for size distribution measurement", *Maejo International Journal of Science and Technology*, Vol.1, No. 2, pp. 120 – 136, 2007.

- Intra, P. and Tippayawong, N., "An ultra-low current meter for aerosol detection",
 Chiang Mai University Journal of Natural Science, Vol. 6, No. 2, pp. 313 320,
 2007.
- Intra, P. and Tippayawong, N., "An overview of differential mobility analyzers for size classification of nanometer-sized aerosol particles", Songklanakarin Journal of Science and Technology, Vol. 30, No. 2, pp. 243 – 256, 2008.
- Intra, P., "Investigation of a submicron-particle inertial impactor for size-selective inlet of the electrical mobility spectrometer", *Chiang Mai University Journal of Natural Science*, Vol. 7, No. 2, pp. 257 268, 2008.
- Intra, P. and Tippayawong, N., "Brownian diffusion effect on nanometer aerosol classification in electrical mobility spectrometer", *Korean Journal of Chemical Engineering*, Vol. 26, No. 1, pp. 269 276, 2009.
- Intra, P. and Tippayawong, N., "Measurements of ion current from a coronaneedle charger using a Faraday cup electrometer", Chiang Mai Journal of Science, Vol. 36, No. 1, pp. 110 119, 2009.
- Intra, P. and Tippayawong, N., "Progress in unipolar corona discharger designs for airborne particle charging: A literature review", *Journal of Electrostatics*, Vol. 67, No. 4, pp. 605 615, 2009.
- Intra, P. and Tippayawong, N., "An electrostatic sensor for nanometer-sized aerosol particles detection", Journal of the Japan Society of Applied Electromagnetics and Mechanics, Vol.17, Supplement, pp. s17 – s20, 2009.
- Intra, P. and Tippayawong, N., "Experimental characterization of a short electrical mobility spectrometer for aerosol size classification", *Korean Journal of Chemical Engineering*, Vol. 26, No. 6, pp. 1770 – 1777, 2009.
- Intra, P., Lasman, P. P., and Tippayawong, N., "Numerical computation of fluid flow and aerosol transport in a long electrical mobility spectrometer", International Journal of Engineering and Applied Sciences, Vol. 2, No. 1, pp. 16 – 26, 2010.
- Intra, P. and Tippayawong, N., "Effect of needle cone angle and air flow rate on electrostatic discharge characteristics of a corona-needle ionizer", *Journal of Electrostatics*, 2010, in press, 10.1016/j.elstat.2010.01.008.

- Intra, P., Limueadphai, P. and Tippayawong, N., "Particulate emission reduction from biomass burning in small combustion systems with a multiple tubular electrostatic precipitator", Particulate Science and Technology, 2010, in press.
- Intra, P. and Tippayawong, N., "Performance evaluation of an electrometer system for ion and aerosol charge measurements", Korean Journal of Chemical Engineering, under review. (MS. ID: KJ2010-004)
- Intra, P. and Tippayawong, N., "Development of a fast-response, high-resolution electrical mobility spectrometer", Korean Journal of Chemical Engineering, under review. (MS. ID: KJ2010-039)
- Intra, P. and Tippayawong, N., "Use of electrostatic precipitation for excess ion trapping in an electrical aerosol analyzer", *Journal of Electrostatics*, submitted for publication.

14.2 ประชุมวิชาการระดับนานาชาติ

- Intra, P. and Tippayawong, N., "Numerical simulation of flow and electric fields in an electrical mobility spectrometer", International Symposium on Nanotechnology in Environmental Protection and Pollution, Bangkok, Thailand, 12 - 14 January, 2005.
- Intra, P. and Tippayawong, N., "An electrical mobility spectrometer for aerosol size distribution measurement", International Conference on Technology and Innovation for Sustainable Development Conference, Khon Kaen, Thailand, 25 27 January, 2006, pp. 358 362.
- Intra, P., Limueadphai, P. and Tippayawong, N., "Removal of exhaust particulate matter from biomass furnace using a multiple-tube electrostatic trap, World Renewable Energy Congress 2009 Asia, BITEC, Bangkok, Thailand, 19 22 May, 2009.
- Inthasan, P., Tippayawong, N. and Intra, P., "Design of a gliding arc plasma reactor for light tar cracking", Oral presentation, International Conference on the Role of Universities in Hands-On Education, Chiang Mai, Thailand, 23 – 28 August, 2009.
- Wongchingchai, P., Intra, P. and Tippayawong, N., "Air flow velocity measurement using ion electrical mobility technique", Oral presentation, International Conference on the Role of Universities in Hands-On Education, Chiang Mai, Thailand, 23 – 28 August, 2009.

- Yawootti, A., Intra P., and Tippayawong N., "Measurement of unipolar charged aerosol particles using a long electrical mobility spectrometer", Oral presentation, International Conference on Green and Sustainable Innovation 2009, Chiang Rai, Thailand, 2 4 December, 2009, accepted for oral presentation.
- Yawootti, A., Intra, P. and Tippayawong, N., "A combustion aerosol generator for submicron aerosol production", Oral presentation, 3rd Technology and Innovation for Sustainable Development Conference, Nong Khai, Thailand, 4 – 6 March, 2010.

14.3 โปสเตอร์นำเสนอในประชุมวิชาการระดับนานาชาติ

 Intra, P. and Tippayawong, N., "An electrostatic sensor for nanometer-sized aerosol particles detection", Asia-Pacific Symposium on Applied Electromagnetics and Mechanics, Bangkok, Thailand, 24 - 25 July, 2008.

15. บทความการวิจัยระดับชาติ

15.1 วารสารวิชาการระดับชาติ

- พานิช อินต๊ะ และ ประเสริฐ ฤกษ์เกรียงไกร, "ระบบการจัดทำรายงานการตรวจ
 วิเคราะห์การใช้พลังงานในอาคารแบบกึ่งอัตโนมัติ", วารสารวิศวกรรมศาสตร์ มหาวิทยาลัยเชียงใหม่, ปีที่ 11, ฉบับที่ 1 2, หน้า 90 95, มกราคม สิงหาคม
 2546.
- พานิช อินต๊ะ และ นคร ทิพยาวงศ์, "เครื่องวิเคราะห์อนุภาคจุลสารในอากาศ", *วารสาร* ศูนย์เครื่องมือวิจัยวิทยาศาสตร์และเทคโนโลยี, ปีที่ 11, ฉบับที่ 2, หน้า 156 170, ธันวาคม 2546.
- พานิช อินต๊ะ และ ณัฐวุฒิ ดุษฎี, "คุณลักษณะทางไฟฟ้าสถิตของเครื่องตกตะกอนเชิง ไฟฟ้าสถิตแบบทรงกระบอกซ้อนแกนร่วมสำหรับการกำจัดอนุภาคที่ปล่อยออกจาก เตาเผาชีวมวล", วารสารวิศวกรรมศาสตร์ มหาวิทยาลัยเชียงใหม่, ปีที่ 14, ฉบับที่ 1, หน้า 29 – 39. มกราคม – เมษายน 2550.
- พานิช อินต๊ะ และ นคร ทิพยาวงศ์, "การวัดการกระจายขนาดละอองลอยจาก เครื่องยนต์ดีเซลด้วยเครื่องวิเคราะห์ขนาดอนุภาคแบบใช้หลักการเคลื่อนตัวทางไฟฟ้า", วารสารวิจัยและพัฒนา มจธ, ปีที่ 30, ฉบับที่ 4, หน้า 649 658, ตุลาคม ธันวาคม 2550.

15.2 ประชุมวิชาการระดับชาติ

- พานิช อินต๊ะ และ นคร ทิพยาวงศ์, "การวิเคราะห์พฤติกรรมการเคลื่อนที่ของอนุภาค แขวนลอยในอากาศภายใต้สนามไฟฟ้า", การประชุมประจำปี สวทช. 2548, ศูนย์ประชุม อุทยานวิทยาศาสตร์ประเทศไทย, ปทุมธานี, 28 30 มีนาคม 2548.
- Intra, P. and Tippayawong, N., "Corona ionizer for unipolar diffusion charging of nanometer aerosol particles", 29th Electrical Engineering Conference, Pattaya, Thailand, 9 – 10 November, 2006, pp. 1177 – 1180.
- พานิช อินต๊ะ และ ณัฐวุฒิ ดุษฎี, "ศักยภาพการกำจัดอนุภาคแขวนลอยจากเตาเผาชีว มวลด้วยเทคนิคการตกตะกอนเชิงไฟฟ้าสถิต", การประชุมวิชาการเรื่องการถ่ายเท พลังงานความร้อนและมวลในอุปกรณ์ด้านความร้อนครั้งที่ 6, เชียงใหม่, 15 – 16 มีนาคม 2550.
- พานิช อินต๊ะ และ นคร ทิพยาวงศ์, "การวัดการกระจายขนาดละอองลอยจาก เครื่องยนต์ดีเซลด้วยเครื่องวิเคราะห์ขนาดอนุภาคแบบใช้หลักการเคลื่อนตัวทางไฟฟ้า", การประชุมวิชาการด้านพลังงาน สิ่งแวดล้อมและวัสดุครั้งที่ 1, กรุงเทพ, 31 สิงหาคม 2550.
- พานิช อินต๊ะ และ ณัฐวุฒิ ดุษฎี, "การทำนายประสิทธิภาพการตกตะกอนรวมของ เครื่องตกตะกอนเชิงไฟฟ้าสถิตแบบสาย-แผ่นสำหรับการกำจัดอนุภาคฝุ่นจากเตาเผาชีว มวล", การประชุมวิชาการเครือข่ายวิศวกรรมเครื่องกลแห่งประเทศไทยครั้งที่ 21, ชลบุรี, 17 19 ตุลาคม 2550.
- Intra, P., "Effect of an electric field strength on aerosol size distribution measurement of an electrical mobility spectrometer", 30th Electrical Engineering Conference, Kanchanaburi, Thailand, 25 26 October, 2007, pp. 1277 1280.
- Intra, P., "Experimental results on the influence of aerosol flow rate on particle size distribution and number concentration measurements of an electrical mobility spectrometer", 2nd Technology and Innovation for Sustainable Development Conference, Khon Kaen, Thailand, 28 29 January, 2008, pp. 417 421.
- พานิช อินต๊ะ, "ตัวเซ็นเซอร์สมัยใหม่สำหรับการวัดความเข้มข้นจำนวนของอนุภาค ระดับนาโน", การประชุมวิชาการราชมงคลวิชาการวิศวกรรม ครั้งที่ 1, เชียงใหม่, 23 25 เมษายน 2551.
- Intra, P. and Tippayawong, N., "A submicron electrical aerosol detection system with a Faraday cup electrometer", *The 22nd Conference on Mechanical Engineering Network of Thailand*, Pathumthani, Thailand, 15 17 October, 2008.

- Intra, P. and Tippayawong, N., "Current-voltage characteristics of unipolar corona-needle charger for nanoparticles", 31st Electrical Engineering Conference, Nakhon Nayok, Thailand, 29 31 October, 2008.
- พานิช อินต๊ะ, "การคำนวณเชิงตัวเลขของสนามการไหลและสนามไฟฟ้าภายในเครื่อง ตกตะกอนเชิงไฟฟ้าสถิตแบบเส้นลวด-แผ่นบาง", การประชุม 10 ปีวิชาการแม่ฟ้าหลวง, เชียงราย, 26 – 28 พฤศจิกายน 2551.
- พานิช อินต๊ะ ประวิทย์ ลี้เหมือดภัย และ นคร ทิพยาวงศ์, "ทฤษฎีและการออกแบบ เครื่องตกตะกอนเชิงไฟฟ้าสถิตสำหรับการกำจัดอนุภาคแขวนลอยจากเตาเผาชีวมวล", การประชุมวิชาการเครือข่ายพลังงานแห่งประเทศไทยครั้งที่ 5, พิษณุโลก, 29 เมษายน
 1 พฤษภาคม 2552.
- Intra, P. and Tippayawong, N., "Analytical investigation of an electrostatic precipitator for excess ions removal after charging process of the electrical mobility spectrometer", The 7th PSU-Engineering Conference, 21 – 22 May, 2009.
- Yawootti, A., Intra P., and Tippayawong N., "Development and performance evaluation of a picoammeter for measurement of charged airborne particles", Oral presentation, 32nd Electrical Engineering Conference, Prachinburi, Thailand, 28 30 October, 2009.
- Intra, P. and Tippayawong, N., "An electrical detector for nanometer-sized aerosol particles detection: development of the equipment and preliminary results", The 9th TRF Academic Meeting, Phetchaburi, Thailand, 15 17 October, 2009.
- อาทิตย์ ยาวุฑฒิ และ **พานิช อินต๊ะ**, "การคำนวณเชิงตัวเลขของสนามไฟฟ้าและสนาม การไหลภายในชุดอัดประจุไฟฟ้าอนุภาคแบบโคโรนาเข็มของเครื่องวิเคราะห์ขนาด อนุภาคแบบใช้หลักการเคลื่อนตัวเชิงไฟฟ้า", การประชุมวิชาการทางวิศวกรรมศาสตร์ มหาวิทยาลัยสงขลานครินทร์ ครั้งที่ 8, ตอบรับบทความ.
- มงคล ไชยวงศ์ วิสูตร อาสนวิจิตร อาทิตย์ ยาวุฑฒิ และ พานิช อินตัะ, "การวิเคราะห์ ผลของค่าคงที่ความเป็นฉนวนของอนุภาคชนิดต่าง ๆต่อการอัดประจุไฟฟ้าภายในเครื่อง ตกตะกอนเชิงไฟฟ้าสถิตแบบท่อทรงกระบอกซ้อนแกนร่วม", การประชุมเชิงวิชาการ เครือข่ายพลังงานแห่งประเทศไทย ครั้งที่ 6, ตอบรับบทความ.

15.3 โปสเตอร์น้ำเสนอในการประชุมวิชาการระดับชาติ

• พานิช อินต๊ะ และ นคร ทิพยาวงศ์, "การพัฒนาเครื่องวิเคราะห์ขนาดอนุภาคแขวนลอย ในอากาศแบบใช้หลักการเคลื่อนตัวทางไฟฟ้า", โปสเตอร์นำเสนอในการประชุมประจำปี

- สวทช. 2548, ณ ศูนย์ประชุมอุทยานวิทยาศาสตร์ประเทศไทย, ปทุมธานี, 28 30 มีนาคม 2548.
- พานิช อินต๊ะ และ นคร ทิพยาวงศ์, "เครื่องวิเคราะห์ขนาดละอองลอยโดยหลักการ เคลื่อนตัวทางไฟฟ้า", โปสเตอร์นำเสนอในงานประกวดผลงานประดิษฐ์คิดคันประจำปี งบประมาณ 2550, ณ อาคารจักรพันธ์เพ็ญศิริ มหาวิทยาลัยเกษตรศาสตร์ บางเขน, กรุงเทพมหานคร, 1 2 กันยายน 2549.
- พงศกร ชูพันธ์ พานิช อินต๊ะ และนคร ทิพยาวงศ์, "ผลของมุมของขั้วอิเล็กโทรดต่อ การโคโรนาดิสชาร์จภายในเครื่องอัดประจุอนุภาคแบบโคโรนาเข็มปลายเหลม", การ ประชุม 10 ปีวิชาการแม่ฟ้าหลวง, เชียงราย, 26 – 28 พฤศจิกายน 2551.
- พานิช อินต๊ะ และ นคร ทิพยาวงศ์, "เครื่องวิเคราะห์ความสามารถในการเคลื่อนตัวเชิง ไฟฟ้าแบบหลายช่องวัดสำหรับการวัดการแจกแจงขนาดของอนุภาคละอองลอยในระดับ นาโนเมตร", วันวิชาการมหาวิทยาลัยเชียงใหม่ ครั้งที่ 4, เชียงใหม่, 19-20 ธันวาคม 2551.
- นคร ทิพยาวงศ์ และ **พานิช อินต๊**ะ, "เครื่องวิเคราะห์ขนาดอนุภาคแขวนลอยในอากาศ แบบใช้หลักการเคลื่อนตัวทางไฟฟ้า", การประชุมวิชาการและนิทรรศการของเนคเทค ประจำปี 2552, ปทุมธานี, 23-25 กันยายน 2552.
- วิสูตร อาสนวิจิตร มงคล ไชยวงศ์ อาทิตย์ ยาวุฑฒิ และ พานิช อินต๊ะ, "การวิเคราะห์ พลังงานไฟฟ้าของหม้อแปลงแรงสูงในการสร้างโคโรนาและพลาสมาไอออนไนเซชัน", การประชุมเชิงวิชาการเครือข่ายพลังงานแห่งประเทศไทย ครั้งที่ 6, ตอบรับบทความ.

16. บทความทางวิชาการอื่น ๆ

- พานิช อินต๊ะ, "โปรแกรมจำลองการทำงานของเครื่อง PLC", *วารสาร Electrical* & Control, ปีที่ 3, ฉบับที่ 15, หน้า 61 65, กันยายน ตุลาคม 2547.
- พานิช อินต๊ะ, "วิเคราะห์และจัดทำรายงานการใช้พลังงานในอาคารด้วยโปรแกรม BEA
 1.0", วารสาร Industrial Technology Review, ปีที่ 10, ฉบับที่ 131, หน้า 165 169, พฤศจิกายน 2547.
- พานิช อินต๊ะ และ นคร ทิพยาวงศ์, "เครื่องวิเคราะห์อนุภาคจุลสารในอากาศ", *วารสาร* Technic Magazine, ปีที่ 21, ฉบับที่ 243, หน้า 142 152, ธันวาคม 2547.
- พานิช อินต๊ะ, "การวัดขนาดอนุภาคฝุ่นแขวนลอยในอากาศ", *วารสาร Industrial* Technology Review, ปีที่ 11, ฉบับที่ 133, หน้า 100 105, มกราคม 2548.
- พานิช อินต๊ะ, "การวิเคราะห์ปัญหาสนามแม่เหล็กไฟฟ้าแบบสองมิติด้วย Maxwell 9.0", วารสาร Electrical & Control, ปีที่ 3, ฉบับที่ 17, หน้า 60 65, มกราคม กุมภาพันธ์ 2548.

- พานิช อินต๊ะ, "อุปกรณ์และเครื่องวิเคราะห์ขนาดอนุภาคจุลสาร", *วารสาร Industrial* Technology Review, ปีที่ 11, ฉบับที่ 134, หน้า 102 107, กุมภาพันธ์ 2548.
- พานิช อินต๊ะ, "โปรแกรมคอมพิวเตอร์สำหรับวิเคราะห์และจัดทำรายงานการใช้ พลังงานในอาคาร", วารสาร Electrical & Control, ปีที่ 3, ฉบับที่ 18, หน้า 60 65, มีนาคม เมษายน 2548.
- พานิช อินต๊ะ, "หลักการของเครื่องวัดขนาดอนุภาคฝุ่นแบบใช้วิธีการทางไฟฟ้า", วารสาร Industrial Technology Review, ปีที่ 11, ฉบับที่ 135, หน้า 102 106, มีนาคม 2548.
- พานิช อินต๊ะ, "การวัดขนาดฝุ่นละอองลอยในอากาศด้วยวิธีการทางไฟฟ้าสถิต", วารสาร Technic Magazine, ปีที่ 22, ฉบับที่ 248, หน้า 113 120, เมษายน 2548.
- พานิช อินต๊ะ, "หลักการกำจัดอนุภาคฝุ่นด้วยวิธีการตกตะกอนเชิงไฟฟ้าสถิต", วารสาร
 Industrial Technology Review, ปีที่ 11, ฉบับที่ 136, หน้า 96 100, เมษายน 2548.
- พานิช อินต๊ะ, "การสุ่มตัวอย่างและการวัดความเข้มข้นของอนุภาคฝุ่น", วารสาร
 Industrial Technology Review, ปีที่ 11, ฉบับที่ 137, หน้า 99 102, พฤษภาคม
 2548.
- พานิช อินต๊ะ, "การเขียนโปรแกรมเชื่อมต่อคอมพิวเตอร์กับอุปกรณ์ภายนอก (1)", วารสาร Electrical & Control, ปีที่ 4, ฉบับที่ 19, หน้า 76 81, พฤษภาคม มิถุนายน 2548.
- พาหิช อินต๊ะ, "วิเคราะห์ปัญหาสนามแม่เหล็กไฟฟ้าแบบสองมิติด้วยโปรแกรม
 Maxwell 9.0", วารสาร Industrial Technology Review, ปีที่ 11, ฉบับที่ 138, หน้า 118
 122, มิถุนายน 2548.
- พานิช อินต๊ะ, "หลักการตรวจวิเคราะห์และจัดทำรายงานการใช้พลังงานไฟฟ้าและ พลังงานความร้อนในอาคาร (ตอนที่ 1)", วารสาร Industrial Technology Review, ปีที่ 11, ฉบับที่ 138, หน้า 164 170, มิถุนายน 2548.
- พานิช อินต๊ะ, "การเขียนโปรแกรมเชื่อมต่อคอมพิวเตอร์กับอุปกรณ์ภายนอก (2)", วารสาร Electrical & Control, ปีที่ 4, ฉบับที่ 20, หน้า 45 50, กรกฎาคม สิงหาคม 2548.
- พานิช อินต๊ะ, "หลักการตรวจวิเคราะห์และจัดทำรายงานการใช้พลังงานไฟฟ้าและ พลังงานความร้อนในอาคาร (ตอนจบ)", วารสาร Industrial Technology Review, ปีที่ 11, ฉบับที่ 139, หน้า 167 – 172, กรกฎาคม 2548.
- พานิช อินต๊ะ, "เครื่องตกตะกอนเชิงไฟฟ้าสถิตสำหรับการควบคุมมลภาวะทางอากาศ จากอุตสาหกรรม", วารสาร Technic Magazine, ปีที่ 22, ฉบับที่ 252, หน้า 109 122, สิงหาคม 2548.

- พานิช อินต๊ะ, "การพัฒนาเครื่องวิเคราะห์ขนาดอนุภาคแขวนลอยในอากาศแบบใช้ หลักการเคลื่อนตัวทางไฟฟ้า", *วารสาร Industrial Technology Review*, ปีที่ 11, ฉบับที่ 140, หน้า 108 111, สิงหาคม 2548.
- พานิช อินต๊ะ, "การเขียนโปรแกรมเชื่อมต่อคอมพิวเตอร์กับอุปกรณ์ภายนอก (3)", วารสาร Electrical & Control, ปีที่ 4, ฉบับที่ 21, หน้า 47 53, กันยายน ตุลาคม 2548.
- พานิช อินต๊ะ, "เครื่องวัดการกระจายขนาดของละอองระดับนาโนเมตรแบบใช้วิธีการ เคลื่อนตัวทางไฟฟ้า", *วารสาร Industrial Technology Review*, ปีที่ 11, ฉบับที่ 143, หน้า 129 137, ตุลาคม 2548.
- พานิช อินต๊ะ, "การเขียนโปรแกรมเชื่อมต่อคอมพิวเตอร์กับอุปกรณ์ภายนอก (4)", วารสาร Electrical & Control, ปีที่ 4, ฉบับที่ 22, หน้า 37 46, พฤศจิกายน ธันวาคม 2548.
- พานิช อินต๊ะ, "พฤติกรรมการเคลื่อนที่ของอนุภาค", *วารสาร Industrial Technology*Review, ปีที่ 11, ฉบับที่ 145, หน้า 113 118, ธันวาคม 2548.
- พานิช อินต๊ะ, "การเขียนโปรแกรมเชื่อมต่อคอมพิวเตอร์กับอุปกรณ์ภายนอก (5)", วารสาร Electrical & Control, ปีที่ 4, ฉบับที่ 23, หน้า 61 67, มกราคม กุมภาพันธ์ 2549.
- พานิช อินต๊ะ, "การเขียนโปรแกรมเชื่อมต่อคอมพิวเตอร์กับอุปกรณ์ภายนอก (6)", วารสาร Electrical & Control, ปีที่ 4, ฉบับที่ 24, หน้า 49 59, มีนาคม เมษายน 2549.
- พานิช อินต๊ะ, "การเขียนโปรแกรมเชื่อมต่อคอมพิวเตอร์กับอุปกรณ์ภายนอก (7)", วารสาร Electrical & Control, ปีที่ 5, ฉบับที่ 25, หน้า 43 51, พฤษภาคม มิถุนายน 2549.
- พานิช อินต๊ะ, "การเขียนโปรแกรมเชื่อมต่อคอมพิวเตอร์กับอุปกรณ์ภายนอก (8)", วารสาร Electrical & Control, ปีที่ 5, ฉบับที่ 26, หน้า 53 58, กรกฎาคม สิงหาคม 2549.
- พานิช อินต๊ะ, "การเขียนโปรแกรมเชื่อมต่อคอมพิวเตอร์กับอุปกรณ์ภายนอก (9)", วารสาร Electrical & Control, ปีที่ 5, ฉบับที่ 27, หน้า 57 61, กันยายน ตุลาคม 2549.
- พานิช อินต๊ะ, "การแก้ปัญหาพลศาสตร์ของไหลด้วยโปรแกรมคอมพิวเตอร์ CFDRC", วารสาร Mechanical Technology Magazine, ปีที่ 6, ฉบับที่ 62, หน้า 57 61, ตุลาคม 2549.

- พานิช อินต๊ะ, "การติดต่อสื่อสารข้อมูลของเครื่อง PLC", *วารสาร Industrial* Technology Review, ปีที่ 12, ฉบับที่ 157, หน้า 110 113, ตุลาคม 2549.
- พานิช อินต๊ะ, "ต้นแบบระบบการตรวจวัดขนาดละอองลอยระดับนาโนด้วยเทคนิคการ เคลื่อนตัวทางไฟฟ้า", วารสาร Engineering Today, ปีที่ 4, ฉบับที่ 46, หน้า 50 55, ตุลาคม 2549.
- พานิช อินต๊ะ, "การวิเคราะห์ปัญหาทางด้านพลศาสตร์ของใหลด้วยโปรแกรม CFDRC",
 วารสาร Technic Magazine, ปีที่ 23, ฉบับที่ 268, หน้า 122 126, พฤศจิกายน 2549.
- พานิช อินต๊ะ, "โปรแกรมสนับสนุนการเขียนโปรแกรมควบคุมการทำงานเครื่อง PLC ด้วยภาษาแลดเดอร์ไดอะแกรม", วารสาร Industrial Technology Review, ปีที่ 12, ฉบับที่ 158, หน้า 125 130, พฤศจิกายน 2549.
- พานิช อินต๊ะ, "การเขียนโปรแกรมเชื่อมต่อคอมพิวเตอร์กับอุปกรณ์ภายนอก (10)", วารสาร Electrical & Control, ปีที่ 5, ฉบับที่ 28, หน้า 41 46, พฤศจิกายน ธันวาคม 2549.
- พานิช อินต๊ะ, "เครื่องวัดสัญญาณไฟฟ้ากระแสตรงระดับต่ำ", *วารสาร Industrial* Technology Review, ปีที่ 12, ฉบับที่ 159, หน้า 111 114, ธันวาคม 2549.
- พานิช อินต๊ะ, "การส่งข้อมูลระหว่างเครื่องคอมพิวเตอร์กับเครื่อง PLC ผ่านพอร์ต RS-232C ด้วยโปรแกรม Visual Basic", วารสาร Industrial Technology Review, ปีที่ 12, ฉบับที่ 159, หน้า 120 124, ธันวาคม 2549.
- พานิช อินต๊ะ, "การวัดขนาดละอองลอยจากไอเสียของเครื่องยนต์ด้วย EMS และ ELPI", วารสาร Industrial Technology Review, ปีที่ 13, ฉบับที่ 160, หน้า 122 125, มกราคม 2550.
- พานิช อินต๊ะ, "ระบบการวัดขนาดละอองลอยในอากาศ", *วารสาร Technic Magazine*, ปีที่ 23, ฉบับที่ 270, หน้า 132 141, มกราคม 2550.
- พานิช อินต๊ะ, "การเขียนโปรแกรมเชื่อมต่อคอมพิวเตอร์กับอุปกรณ์ภายนอก (11)", วารสาร Electrical & Control, ปีที่ 5, ฉบับที่ 29, หน้า 41 51, มกราคม กุมภาพันธ์ 2550.
- พานิช อินต๊ะ, "เครื่องวิเคราะห์ขนาดอนุภาคไอเสียจากเครื่องยนต์และการเผาไหม้", วารสาร LAB.TODAY, ปีที่ 5, ฉบับที่ 39, หน้า 27 32, กุมภาพันธ์ 2550.
- พานิช อินต๊ะ, "การเขียนโปรแกรมเชื่อมต่อคอมพิวเตอร์กับอุปกรณ์ภายนอก (12)", วารสาร Electrical & Control, ปีที่ 5, ฉบับที่ 30, หน้า 30 38, มีนาคม เมษายน 2550.
- พานิช อินต๊ะ, "การคำนวณเชิงตัวเลขสนามไฟฟ้าสถิตด้วยโปรแกรม CFDRC" วารสาร Technic Magazine, ปีที่ 24, ฉบับที่ 275, หน้า 121 127, พฤษภาคม 2550.

• พานิช อินต๊ะ และ ณัฐวุฒิ ดุษฎี, "ระบบการควบคุมเพื่อการจัดการพลังงาน ตอนที่ 1", วารสาร Industrial Technology Review, ปีที่ 13, ฉบับที่ 165, หน้า 162 – 166, พฤษภาคม 2550.